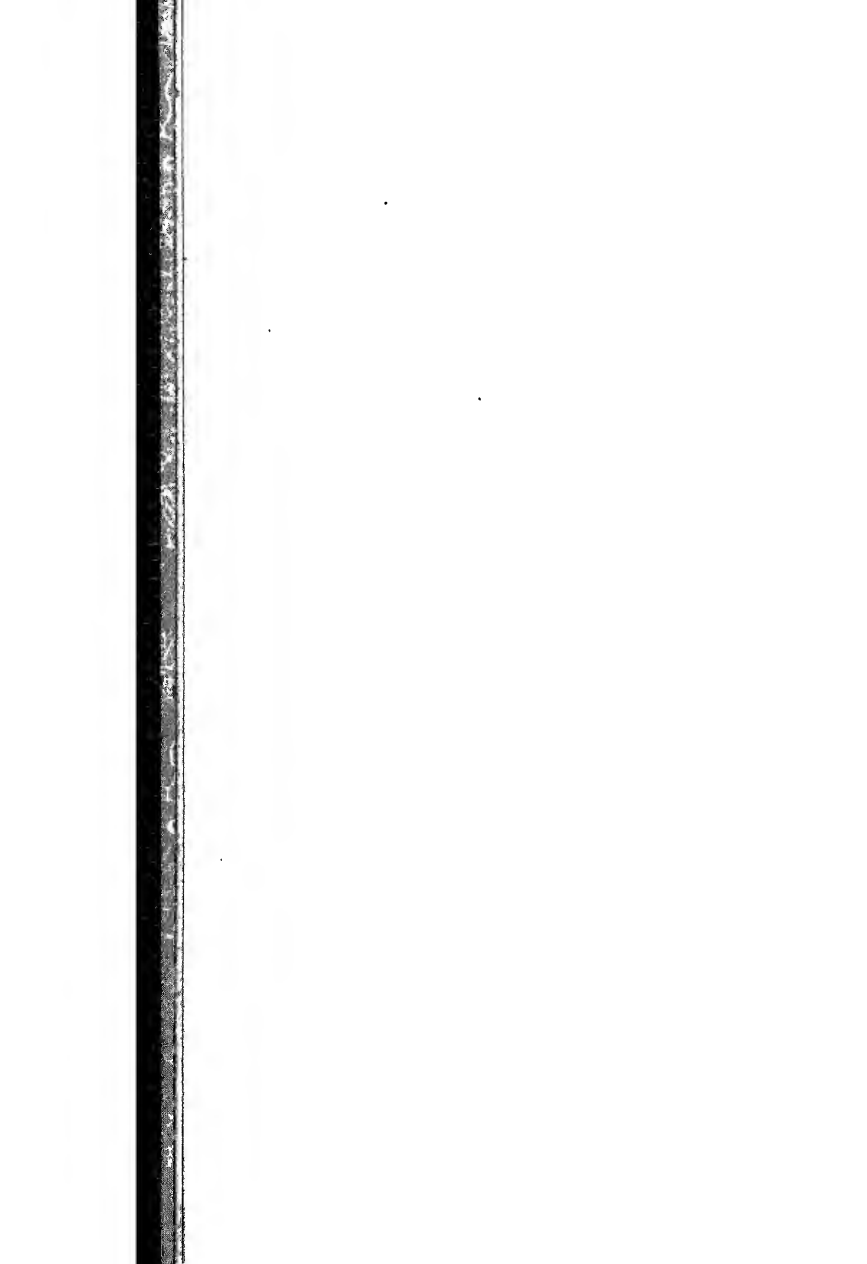




MÜLLER-POUILLE
LEHRBUCH DER P
UND
METEOROLOGIE

VIERTER BAND - ERSTE ABTHEILUNG
FÜNFTES BUCH
MAGNETISMUS UND ELEKTRIZITÄT



MÜLLER-POUILLET
LEHRBUCH DER
UND
METEOROLOGIE

ZEHNTE UMGEARBEITETE UND VERMEHRT

HERAUSGEGEBEN VON

LEOP. PFAUNDLER

PROFESSOR DER PHYSIK AN DER UNIVERSITÄT

UNTER MITWIRKUNG VON

PROF. DR. O. LUMMER-BRESLAU (OPTIK U. STRAHLENDE WÄRME),
LEIPZIG (MOLEKULARPHYSIK), PROF. DR. A. WASSMUTH
UND WÄRMELEITUNG), HOFRAT PROF. DR. J. HANN-WIEN (ELECTRICITÄT),
W. KAUFMANN-KÖNIGSBERG (ELEKTRIZITÄTSLEHRE), PROF.
(ELEKTROCHEMIE), DR. A. NIPPOLDT-POTSDAM (ERDMAGNETISMUS)

IN VIER BÄNDEN

MIT ÜBER 3000 ABBILDUNGEN UND TAFELN
IN FARBENDRUCK

P 87

12

17

Alle Rechte,
namentlich das Recht der Übersetzung in f

Published March 6,
Privilege of Copyright in the United Sta
approved March 3, 1905 by Friedr. Vieweg
Germany.

VORWORT ZUR ZEHNTEN AUFLAGE

Die neunte Auflage des Bandes „Magnetismus“ dieses Werkes erschien im Jahre 1888; der Band noch ehe die Hertz'schen Entdeckungen zeigten, daß die Theorie, die bis dahin in Deutschland wenigstens nur eine akademische Bedeutung gehabt hatte, berufen war, als Fundament unserer Anschauungen zu dienen. Die seit 20 Jahre haben eine Fülle von Entdeckungen auf elektrischem Gebiet gezeitigt und als Folgeerscheinung eine neue Anschauung, durch welche die Maxwell'sche Theorie der Stofftheorien gewissermaßen miteinander verschmolzen. In allen diesen Dingen enthielt die alte Auflage noch viel, was sie stand noch ganz auf dem Boden der historischen Theorie. Als daher Verfasser durch Herrn Hofrat P. C. ehrenvollen Aufgabe betraut wurde, die zehnte Auflage zu bearbeiten, mußte er von vornherein eine bloße Ergänzung zwecklos betrachten: nur eine völlige Neubearbeitung

eingefügte, aber nur für einen kleineren
speziellere Betrachtungen.

Wo Namen genannt wurden, ist p
Zitat gegeben, soweit es dem Verfass
mitteln.

Bezüglich der zitierten Bezugsquelle
Nennung einer bestimmten Firma nicht
betreffenden Apparate nicht auch ande
zu haben sind.

Die im Text beschriebenen Demonst
als logische Grundlage der darauffolgend
nahmslos vom Verfasser selbst in der
worden. Die zugehörigen Abbildungen
Aufnahmen der wirklichen Versuchsano
kann also durchaus sicher sein, daß die
meist äußerst einfachen Instrumentari
sind.

Einer besonderen Bemerkung bed
führungen: Der Tradition des Werkes
vielleicht nicht mehr dem zukünftigen
bildung entsprechend, sollte die Anwend
Analysis vermieden werden. Gleichwohl
höheren Analysis bei einer Besprechung
schauungen nicht wohl umgangen werd
Kompromiß, bei dem vielleicht manche
Leser zunächst etwas bange und man
behaglich zu Mute werden wird. Verfa
einarbeiten, die anderen die Übertragung

Vorwort zur zehnten Auflage

Orientierung über das noch Fehlende diene das folgenden Kapitel des Bandes:

VIII. Elektromagnetismus und Elektrodynamik.

IX. Zeitlich veränderliche Ströme, Induktion.

X. Erzeugung und Fortleitung elektrischer Ströme.

XI. Wechselstrom, Drehstrom, elektrische Telegraphie.

XII. Elektrische Leitung in Gasen.

XIII. Elektronentheorie der festen Körper, Metallelektrizität, Halleffekt usw.).

XIV. Radioaktivität.

XV. Erdmagnetismus.

XVI. Erdelektrizität.

Königsberg i. Pr., Februar 1909.

INHALTSVERZEICHNIS ZU

(ERSTE ABTEILUNG)

Fünftes Buch

Magnetismus und

Erstes Kapitel

Grundtatsachen des Magnetismus
und seine Folgen

- § 1. Anziehung des Eisens durch Magnete
- § 2. Verschiedenheit der Pole; Anziehung
- § 3. Magnetisierung durch Influenz
- § 4. Permanente Magnete
- § 5. Einfluß der Temperatur auf den Magneten
- § 6. Herstellung und Behandlung von Stahlmagneten
- § 7. Wirkung der Magnete nach außen

Zweites Kapitel.

Theorie des magnetischen Kraftflu

§ 27.	Krafröhren
§ 28.	Krafröhrenverlauf bei beliebig verteilten Magneten; Quellen- und Wirbelfreiheit des Kraftflusses . . .
§ 29.	Faraday-Maxwellsche Vorstellung vom magnetischen Feld
§ 30.	Größe der Faradayschen Spannungen
§ 31.	Faradaysche Spannungen an einem in ein ursprüngliches Feld gebrachten Pol
§ 32.	Beweis für das Gleichgewicht eines beliebigen Kraftflußes dem Einflusse der Faraday-Maxwellschen Spannungen . . .
§ 33.	Erzeugung eines homogenen Feldes
§ 34.	Induktionsröhren in permanenten Magneten
§ 35.	Die magnetische Influenz im Lichte der Kraftlinien
§ 36.	Scheinbarer Magnetismus
§ 37.	Magnetische Permeabilität
§ 38.	Gesetze für den Verlauf der Induktionslinien
§ 39.	Quellenfreiheit der Induktion, Wirbelfreiheit der Induktion; Stellung der permanenten Magnete
§ 40.	Faradaysche Spannungen im paramagnetischen Medium
§ 41.	Spannungen an der Grenze zweier Medien; Kräfte an der Körper
§ 42.	Das Magnetisierungsproblem; homogene Magnetisierung
§ 43.	Kraftwirkungen auf para(ferro)magnetische und diamagnetische Körper
§ 44.	Permanente Magnete
§ 45.	Molekulartheorie des Magnetismus
§ 46.	Stärke permanenter Magnete
§ 47.	Magnetische Schirmwirkung
§ 48.	Energie des magnetischen Feldes
§ 49.	Niveauflächen, Einheitszellen
§ 50.	Gestalt der Niveauflächen; Potential
§ 51.	Berechnung der Feldenergie

§	69.	Influenzelektrisiemaschinen; Duplikat
§§	70.	Versuche mit der Elektrisiemaschine
§	71.	Faradayscher Zylinder; Definition menge
§	72.	Faradaysches Influenzgesetz für ges Elektrizitätsmenge
§	73.	Gleichgewicht auf Leitersystemen; Ka
§§	74.	Elektrisches Niveau; Kapazitätsmessun
§§§	75.	Niveaudifferenz
§§§§	76.	Fundamentalgesetz elektrischer Entlad
§	77.	Ansammlungsapparate: Leidener Fla Kondensator
§	78.	Versuche mit Kondensatoren. Thermi logische Wirkungen. Unvollständi
§	79.	Franklins Kaskadenbatterie
§§	80.	Die Lanesche Maßflasche
§§§	81.	Einfluß des Isolators auf die Kapazitä
§§§§	82.	Mosotti-Clausiusse Theorie der I
§	83.	Elektrizitätsentwicklung in Kristallen ratur und Druck

Viertes Kapi

Theorie des elektrisc

§	84.	Coulombsches Gesetz
§§	85.	Absolutes elektrostatisches Maß der E
§§§	86.	Elektrisches Feld; Kraftlinien
§§§§	87.	Niveauflächen; Potential.
§§§§§	88.	Ladungsverteilung und Kapazität einf
§§§§§§	89.	Weitere Folgerungen aus dem Gauss
§§§§§§§	90.	Kapazität eines Kondensators
§§§§§§§§	91.	Verteilungsprobleme; elektrische Bilde
§§§§§§§§§	92.	Elektrische Energie
§§§§§§§§§§	93.	Faraday-Maxwellsche Vorstellung
§§§§§§§§§§§	94.	Influenzvorgänge in Faradayscher A

Inhaltsverzeichnis zum vierten Bande

- § 111. Anwendung des Energiegesetzes; Unhaltbarkeit
Kontakttheorie
- § 112. Chemische Theorie der Voltaschen Versuche . . .
- § 113. Ausführungsformen galvanischer Elemente
- § 114. Drähte, Klemmen, Schalter, Regulierwiderstände .

Sechstes Kapitel.

Elektromagnetische Maßeinheiten. Gesetze Kirchhoff und Joule.

- § 115. Ablenkung der Magnetnadel durch den elektrischen
- § 116. Das Magnetfeld des elektrischen Stromes
- § 117. Galvanoskope; Multiplikatoren
- § 118. Elektromagnetisches Strommaß; Tangentenbusssole .
- § 119. Nadelgalvanometer
- § 120. Verhältnis der elektrostatischen zur elektromagnetischen
- § 121. Ohmsches Gesetz; experimenteller Beweis desselben
- § 122. Einheit des Widerstandes
- § 123. Spezifischer Widerstand; Leitfähigkeit
- § 124. Einfluß der Temperatur auf die Leitfähigkeit der Metalle
- § 125. Leitfähigkeit der Legierungen
- § 126. Leitfähigkeit der Metalloxyde und -sulfide
- § 127. Leitfähigkeit des Selen
- § 128. Präzisionswiderstände
- § 129. Elektromagnetische Einheiten der elektromagnetischen
elemente
- § 130. Elektromagnetische Einheit der Spannung und der
- § 131. Weitere Bestätigungen des Ohmschen Gesetzes . .
- § 132. Günstigste Schaltungsweise einer Batterie
- § 133. Günstigste Bewickelung eines Galvanometers . . .
- § 134. Stromverzweigung; Kirchhoffs Sätze
- § 135. Anwendung der Kirchhoffschen Sätze
- § 136. Eichung und Widerstandsmessung von Galvanometern
- § 137. Wheatstonesche Brücke
- § 138. Vergleichung sehr kleiner Widerstände nach A. M.
Hickin und nach W. Thomson

§ 149.	Konzentrationsänderungen an den Elek
	Wanderung der Ionen
§ 150.	Leitfähigkeit
§ 151.	Äquivalent-Leitvermögen
§ 152.	Die absoluten Wanderungsgeschwindigke
§ 153.	Dissoziationstheorie
§ 154.	Folgerungen aus der Dissoziationstheorie
§ 155.	Katalytische Wirkung der Ionen
§ 156.	Thermochemisches Verhalten der Elektr
§ 157.	Gleichgewicht in Salzlösungen
§ 158.	Folgerungen aus dem Verdünnungsgesetz
§ 159.	Löslichkeitserniedrigung
§ 160.	Löslichkeitsbestimmung schwerlöslicher S
§ 161.	Dissoziation des Wassers
§ 162.	Einfluß der Temperatur
§ 163.	Hydrolyse
§ 164.	Einfluß des Druckes auf die Dissoziation
§ 165.	Andere Lösungsmittel
§ 166.	Geschmolzene Salze
§ 167.	Elektromotorische Kräfte
§ 168.	Thermodynamische Theorie galvanischer ersten Hauptsatzes
§ 169.	Anwendung des zweiten Hauptsatzes
§ 170.	Normalelemente
§ 171.	Berechnung elektromotorischer Kräfte au
§ 172.	Berechnung der elektromotorischen Kraft gewicht
§ 173.	Berechnung elektromotorischer Kräfte Wärmetheorems
§ 174.	Osmotische Theorie der galvanischen Ele
§ 175.	Metallelektroden. Die Lösungstension de
§ 176.	Konzentrationsketten. Änderung der Ion
§ 177.	Anwendungen der Nernstschen Formel
§ 178.	Wasserstoff-Ionen-Konzentrationskette. St
§ 179.	Galvanische Elemente mit zwei verschied
§ 180.	Konzentrationsketten bezüglich der Elek

5
6
7
8
9
10
11
12
13
14
15
16
17
18
19
20
21
22
23
24
25
26
27
28
29
30
31
32
33
34
35
36
37
38
39
40
41
42
43
44
45
46
47
48
49
50
51
52
53
54
55
56
57
58
59
60
61
62
63
64
65
66
67
68
69
70
71
72
73
74
75
76
77

Fünftes Buch.

Magnetismus und Elek

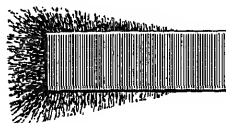
Erstes Kapitel.

Grundtatsachen des Magnetismus; das
Gesetz und seine Folgerun

§ 1. Anziehung des Eisens durch Magnete.
Verschiedenen Eisenerzen gibt es eines, welches nach der Zusammensetzung ist und als Magneteisenstein bezeichnet. Die Stücke dieses Erzes haben die Fähigkeit, Eisenfeilicht oder kleine Stücke, wie Nägel, Drahtstifte u. dgl. anzuziehen und diese Eigenschaft zeigt auch das als Magnetkies bezeichnete Mineral. Die Zusammensetzung $6\text{FeS} + \text{Fe}_2\text{S}_3$.

Die genannte Erscheinung war schon im Altertum bekannt. Man nannte solche Steine „Magnete“ nach ihrem Fundort in Magnesia.

stab bleiben die Eisenspäne hauptsächlich an den Enden (Fig. 1), während sie in der Mitte abfallen.

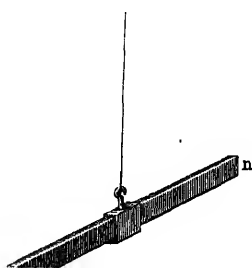


an denen die Wirkung auf das Eisen am stärksten ist, die „Pole“ (eine schärfere Definition würde sich nicht empfehlen), den mittleren Teil mm' , an dem die Wirkung am schwächsten ist, nennt man die indifferente Zone.

Die Anziehung zwischen Magnet und Eisen ist so groß, daß man einen Magnet beweglich aufhängen kann, und ein naheliegender Eisenstück angezogen wird.

§ 2. Verschiedenheit der Pole. Die Pole eines natürlichen oder künstlichen Magneten unterscheiden sich in ihrer Beschaffenheit. Hängt man einen Magnet an einem dünnen Faden, so wird er sich in eine bestimmte Lage einstellen.

Fig. 2.



die die Einstellung bewirkt, und die weiter unten noch näher ist, bewirkt also nur eine Drehung, dagegen keine Verschiebung.

Hat man auf diese Weise an zwei Magneten die Pole bezeichnet (etwa durch verschiedene Färbung oder durch kleine aufgeklebte Papierfölmchen), so l6sst sich eine wesentliche Verschiedenheit in ihrem Verhalten auf folgende Weise zeigen.

Nähert man den Nordpol eines Magneten dem Nordpol eines beweglich aufgehängten Magneten, so wird dieser abgestoßen; nähert man den Nordpol eines Magneten dem Südpol des festgehaltenen Magneten, so wird dieser angezogen. Macht man den Nordpol des festgehaltenen Magneten zum Südpol, so sind die Erscheinungen umgekehrt. Der Südpol des beweglichen Magneten wird abgestoßen, der Nordpol angezogen. Man kann das Ergebnis der vier Versuche in die Regel zusammenfassen:

Gleichartige Pole stoßen sich ab, ungleichartige Pole ziehen sich an.

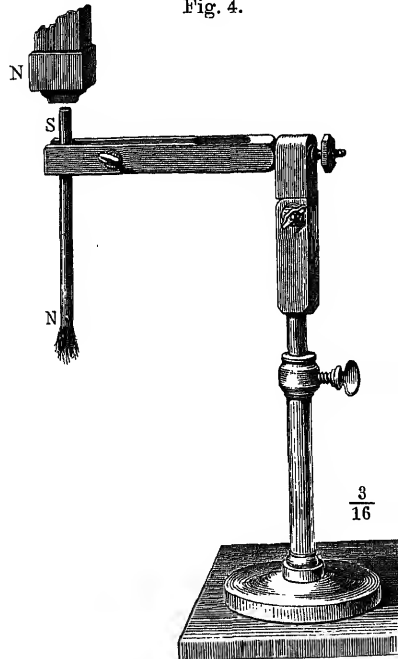
Bemerkung: Die Worte „Abstoßung“ und „Anziehung“ sind nichts weiter als eine kurze Umschreibung der Tatsache, daß ein Körper unter dem Einfluß eines anderen in bestimmter, durch die Gesetze der Mechanik gesetzter Richtung in Bewegung setzt, bzw. daß eine bestimmte mechanische Kraft nötig ist, um die Bewegung zu verhindern. Der inneren Mechanismus des Vorganges ist damit nichts gesagt. Es ist etwa, daß die Magnete wirklich unvermittelt in die Ferne wirken. Die Vorstellungen von dem Mechanismus der Erscheinungen werden später erörtert worden; zunächst müssen wir eine Reihe von Gesetzen erfahrungsmäßig auffinden.

§ 3. Magnetisierung durch Influenz. Man befestigt einen aus-
 ausgeglühten weichen Eisens in einem hölzernen Stativ (Fig. 1).
 das untere Ende in eine Schale mit Eisenfeilicht, während das
 obere Ende eines kräftigen Stabmagneten nähert. Entfernt man
 den Magneten, bleibt an dem unteren Ende des Eisenstabes ein Bart
 von Eisenfeilicht zurück, der sich an dem Magneten anzieht.

so kehren alle einzelnen Stäbe den
unten. Auf diesem Prinzip beruht a
Eisenfeile (Fig. 1 und 4).

Die Influenzwirkung findet nich
in Stahl statt, wenn auch in schwä

Fig. 4.



§ 4. Permanente Magnete.

gestellten Versuch mit einem fri

bezeichnet man deshalb als die Koerzitivkraft des Stabes (= Zusammenhalten).

Sowohl Remanenz wie Koerzitivkraft steigen mit der Temperatur und verschwinden mehr oder minder vollständig wieder, wenn der Stahl „anläßt“, d. h. stark erwärmt. Bei Erhitzung und nachträglicher Abkühlung verschwinden beide fast völlig.

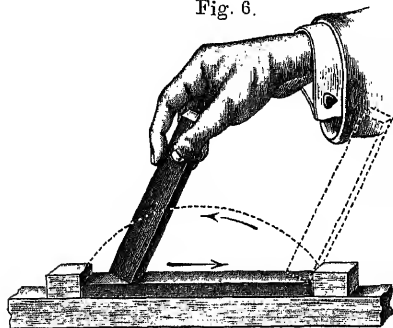
Die Anweisung, den eingangs dieses Paragraphen besprochenen Stab mit einem frisch gehärteten Stabe auszuführen, hat ihren Grund darin, daß fast jeder ältere harte Stahlstab entweder von früheren Versuchen oder aber durch bloßes längeres Liegen im magnetischen Erdfeld magnetisch ist.

Erschütterungen vermindern die Remanenz in beiden Richtungen; wenn man bei Ausführung des Versuchs den einflussierten Stab während der Einwirkung stark klopfen läßt, beobachtet man deutlich stärkeren Magnetismus an. Andererseits vermindert man den remanente Magnetismus, wenn man nach Entfernung des einflussierten Stabes denselben klopfen läßt. Es sieht so aus, als ob sich der einflussierte Stab dem unmagnetischen in den magnetischen Zustand und umgekehrt durch Reibung entgegengesetzt, deren Überwindung ebenso wie die mechanischen Reibung durch Klopfen erleichtert wird. Es ist deshalb nach Möglichkeit, Magnete, auf deren Erhaltung man zu erschüttern.

§ 5. Einfluß der Temperatur auf den Magnetismus. Die Erhitzung auf Rotglühhitze der remanente Magnetismus verschwindet, und der durch das Glühen weich gewordene

bemerkt haben wird, die Wirkung
Entfernung abnehmen, so ist e

Fig. 6.

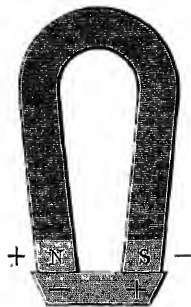


Stabes, worauf man ihn in weite
(Fig. 6). Diese Operation wiederhol
ist es ratsam, alle vier Seiten zu bes

Einfacher und wirkungsvolle
kleinerer Stäbe und Nadeln geeig
„Elektromagnetismus“ (s. Kap. „
fach den Stab mit vielen Wind
ihn in das Innere einer fertig ge
Sekunden einen kräftigen elektr

Künstliches Altern der M
hergestellten Magneten nimmt mit
durch unvermeidliche Erschütterung
bekannter Natur. Man kann dies

Fig. 7.



einen konstante
nach sehr lange
Magnet vor dem
100° erhitzt un
mal etwa fünf
solche Behandlu
von Anfang an

Anker: I
die im Innern
aus, die den v
sucht. Man kan
der Enden verrin
nicht gebraucht

seine Pole verbindenden Stück weichen Eisens verschieblichen förmigen Magneten ist die entmagnetisierende Wirkung gering, da die Wirkungen der nahe beisammen gelegenen Pole sich teilweise kompensieren; der Anker besteht einfach aus einem kurzen geraden Eisenstück (Fig. 7). Bei Stabmagneten legt man zwei gleiche Stäbe mit entgegengesetzten Polen nebeneinander und vor jedes Ende einen Anker *ab* und *cd* (Fig. 8).

Es empfiehlt sich schon, bei der Herstellung den Anker vorzulegen, da die Gegenwirkung der Enden natürlich auch während des Magnetisierens hinderlich ist. Bei der Herstellung durch Streichen bewegt man in diesem Falle den erregenden Magneten, ohne ihn abzuheben, im geschlossenen Kreise herum. Die Wirkung des Ankers erklärt sich leicht aus der Entstehung von induziertem Magnetismus im Anker, dessen Pole (s. Fig. 8) denen des Magneten selbst entgegengesetzt sind und deren Wirkung teilweise aufheben.

Die vielfach verbreitete Meinung, man könne einmahlisches Anhängen immer grosserer Gewichte an den ganzlich grundlos und widerspricht dem Gesetz der wie aus den Ausführungen des § 47 über die Magn wideres hervorgeht.

Magnetische Magazine oder Lamellenmagn mehreren Einzelstäben zusammengesetzte grössere Ma

Fig. 9.

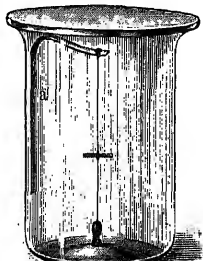


nämlich ein Stück Eisen, das etwa dem wird, so wird das Eisen selbst durch I seitens des influenzierenden Magneten ein zierten Südpols, eine Abstoßung des influ Anziehung wegen der geringeren Entferni wiegt. Die Gesamtwirkung ist also eine der Anziehung eines anfangs unmagnetis die Wirkung auf ein Stück gehärteten S kraft sich schwieriger influenzieren läßt großes Stück Eisen, eine Folgerung, die stätigen läßt.

§ 8. Magnetische Kraft; magne

Versuchen mit länglich geformten Stabn der Nähe der Enden (Pole) genügend dur oder Abstoßung seitens des betreffenden I mehr, wenn wir an beliebigen Stellen stalteten Magneten die Wirkung besch für jeden einzelnen Punkt seiner Um angeben, etwa dadurch, daß wir die Ri

Fig. 10.



drehbar 'aufgehän genannte Magn stellt. Die Richt als die Richtung dem betreffenden fest, daß wir als wählen, nach der hinweist.

Eine einfache tion einer Pro

Da eine bewegliche Magnetnadel auch bei Abwesenheit anderer Magneten sich in eine bestimmte Richtung, die Nordrichtung, einstellt, so müssen wir unsere Erde als einen Magnet betrachten, dessen Feldrichtung von Süden nach Norden ist. Wenn wir nun einen Stahlmagneten aus größerer Entfernung her zu einer beweglichen Nadel, so beobachten wir eine anfangs langsam, dann immer rascher zunehmende Ablenkung der Nadel aus der Richtung des Erdfeldes heraus. Es werde nun (Fig. 11) der Magnetstab NS von Westen her mit dem Nordpol voran der Nadel n genähert, dann dreht sich die Nadel allmählich so, daß ihr Nordpol nach Westen abweicht (Richtung $n's'$) und bei genügend großer Annäherung so, daß sie fast genau nach Westen zeigt. Nun ist aus Symmetriegründen ohne weiteres klar, daß das Feld des Stabmagneten in der Verlängerung seiner Achse nur parallel zu dieser liegen kann, daß also die schiefe Einstellung der Nadel die Richtung des Stabfeldes darstellt; wäre das wohl anders, dann müßten ja, wenn man den Stab um 180° um seine Längsachse dreht, also so, daß seine Unterseite nach Norden kommt, die Stellung der Nadel von $n's'$ in $n''s''$ übergehen. In Wirklichkeit wird man dagegen bei einer solchen Drehung überhaupt keine Änderung der Nadelstellung bemerken und schließen vielmehr, daß sich die Nadel in eine mittleren Richtung zwischen der Richtung sn des Erdfeldes und der Richtung SN des Stabfeldes eingestellt hat, daß also die beiden Felder sich zu einem einzigen „resultierenden“ Feld vereinigt haben. Erst wenn die Entfernung so klein gemacht ist, daß das Stabfeld sehr stark im Vergleich zu dem Erdfeld ist, wird wir die Richtung der Nadel praktisch als identisch mit der Richtung des Stabfeldes ansehen.

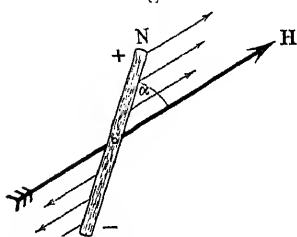
ihrer Punkte mit der Richtung der dort zusammenfällt. Denken wir uns ferner viele Ausgangspunkte A' , A'' usw. des Magneten, die den ganzen Raum ausfüllen. Um schaulicher Weise die Richtung der Kraft anzuzeigen, ziehen wir deshalb als „magnetische Kraftlinien“ Linien, die in der Richtung der Kraftlinie verlaufen. Die Richtung der Kraftlinie wird die im vorigen Paragraphen als die Richtung der Kraft bezeichnet, also diejenige Richtung, in die das (Nord-) Ende der Probenadel hinweist. Da die Wirkung des Stabmagneten die Wirkung sich als eine Anziehung des ungleichnamigen Endes ergibt, so ergibt sich, daß die positive Richtung der Kraftlinie stets nach außen, am Südpole stets nach innen ist. Die Bezeichnungsweise des Nordendes als positive Richtung des Endes kann man also sagen:

Aus dem positiven Ende des Magneten gehen die Kraftlinien aus, am negativen Ende münden Kraftlinien.

Unser früheres Anziehungs- und Abstoßungsvermögen kann auch folgendermaßen ausdrücken:

Das Nordende (+ Ende) eines Magneten wirkt sich in Richtung der an seinem Orte wirkenden Kraft, das

Fig. 13.



Kraft, das entgegen der Kraft, das

Hieraus

Probenadel f

anfangs eine

H (Fig. 13)

Kräfte parallel

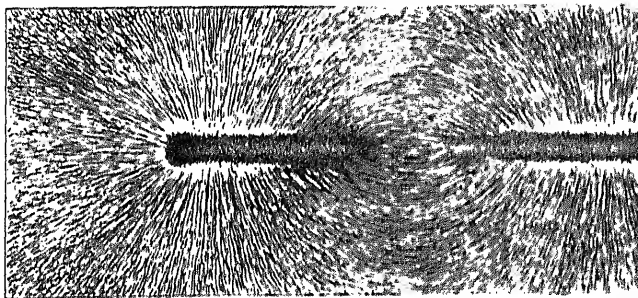
gegengesetzt

Zusammenwi

Das Zustandekommen der sichtbaren Kraftlinien hat zustellen: Jedes Eisenteilchen wird durch Influenz magnetisch möglichst so, daß sein größter Durchmesser in die Richtung der Kraftlinien fällt. Die Teilchen ziehen sich aber außerdem gegenseitig an, indem sich ihre entgegengesetzten Pole aneinander legen. Auf Papier gerichtete leise Schlag erleichtert die Überwindung der Reibung.

Um die Bilder zu fixieren, besprengt man sie mittelst Schellacklösung: Photographische Bilder zur Projektion am besten folgendermaßen. Man stelle das Feilspanbild

Fig. 14.

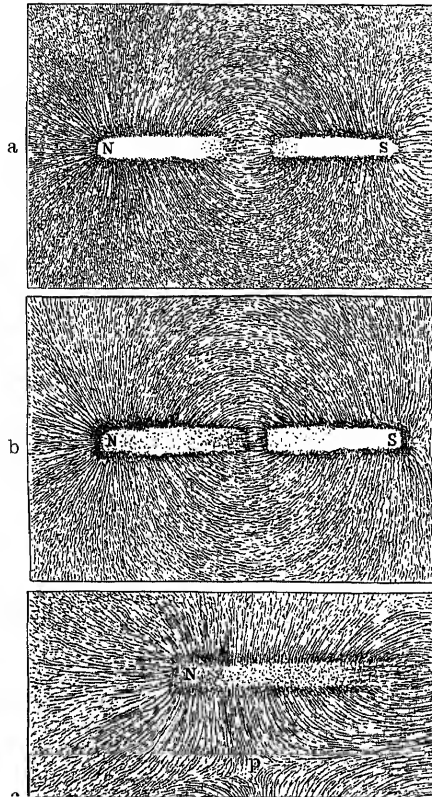


Vom Glimmerblatt her, hebe dieses vorsichtig vom Magneten ab. Bring es der Dunkelkammer auf eine Diapositivplatte, die man mittelst einer Lampe aus 1 m Entfernung etwa eine Minute lang belichtet. Die Feilspanbilder der folgenden Paragraphen sind auf diesem Wege erhalten. Direkte Erzeugung des Feilspanbildes auf der photographischen Platte empfiehlt sich weniger, weil man bei dem schwachen Licht in der Dunkelkammer nicht ordentlich sehen kann, ob die Figur gut gelungen ist.

Die folgenden Fig. 15a bis d (a. f. S.) stellen eine Reihe von Bildern stabförmiger Magnete dar; die Lage der Pole ist

die sie in ihre Ruhelage zurückzieht, so
Maß für die magnetische Kraft abh

Fig. 15a



Methode zuerst vor, um mittels einer mitgenommenen Probe des Erdmagnetismus an verschiedenen Orten der Erde zu verfahren. Al. v. Humboldt wandte sie dann auf seinen Reisen an.

Die Schwingungen der Magnetnadel folgen denselben Pendelschwingungen (s. Bd. I, § 56); nur ist hier der Magnet die Ursache der Schwingungen. Wir haben dort die Schwingungszeiten eines Pendels an verschiedenen Punkten gemessen, oder die Schwingungszahlen direkt wie die Wurzel der Beschleunigung verhalten, daß also die Quadrate der Schwingungszahlen der Intensität der Schwerkraft proportional sind. Sind die Werte der magnetischen Feldstärke an zwei Punkten des Feldes bekannt, so definieren wir

$$H_1/H_2 = n_1^2/n_2^2.$$

Eine Ausmessung möglichst vieler Punkte des Feldes mit derselben Probenadel gibt uns also ein Bild von der relativen Feldstärke.

Über ein von den Eigenschaften der willkürlich gewählten Probenadel freies „absolutes“ Maß der Feldstärke s. w. u. § 25.

Mit der Stärke des Erdfeldes läßt sich das Feld der Probe vergleichen, wenn man die Probenadel einmal im Erdfeld und dann im Felde des Magneten schwingen läßt. Sind die Schwingungszahlen dem stärksten zu messenden Felde unbequem schnell, so kann man kleine Anbringen geeigneter Gewichte (aufgeklebte Wachsklumpen) an der Nadel verlangsamen.

§ 12. Coulombsches Gesetz in erster Fassung. Um die magnetische Kraft an möglichst zahlreichen Punkten der Kraftlinien noch genauer zu bestimmen, ist die magnetische Kraft angegeben, so ist damit alles bestimmt, was die Wirkung der das Feld erzeugenden Magnete auf eine Probenadel angeht; die Wirkung an jedem Punkte des Feldes

Daten, etwa der Feldstärke an einigen wenigen, vorausberechnen zu können. Um das zu ermöglichen, sind die mathematischen Gesetze des Kraftlinienverlaufs

Fig. 16 a.

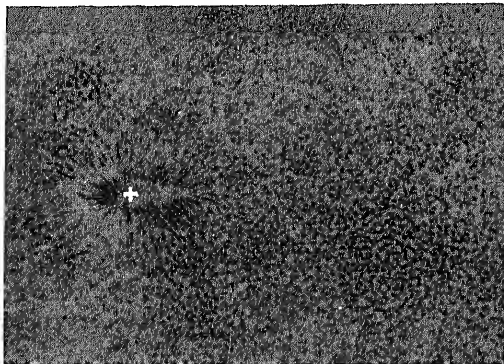
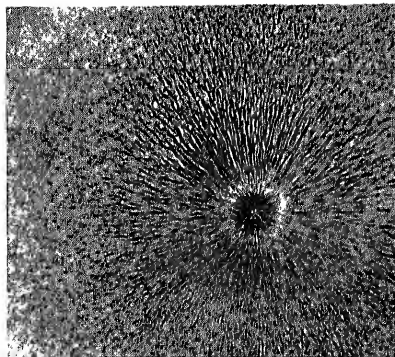


Fig. 16 b.



bezeichnen wollen. Stellen wir die Nadel senkrecht zum Fig. 22), so wird der geradlinige Verlauf der Kraftlinien (Fig. 16 b). Wir können erwarten, daß diesem besonders der Kraftlinien auch ein einfaches Gesetz für die magnetischen Kräfte entspricht. Coulomb war der erste, der im Jahre 1780 versuchte, ein solches Gesetz aufzufinden; von den beiden Methoden, die er benutzte, der Schwingungsmethode und der Drehwagemethode, beschreiben wir hier nur die erstere. (An Stelle der Drehwage, die in ihrer Anwendung auf die ganz analogen elektrischen Erscheinungen weiter unten in § 83 beschrieben wird, soll in § 16 die für Demonstrationen bedeutend bequemere magnetische Wage von Grimsehl benutzt werden.)

Beschreibung eines Schwingungsversuchs nach Coulomb (Fig. 17). Eine kleine Probenadel hing an einem Kokonfaden, durch eine (in der Figur nicht gezeichnete) Glashülle gegen Luftströmungen geschützt. Der zu untersuchende Magnet war ein Stahldraht von etwa 60 cm Länge und 3 mm Dicke. Befand sich der Magnet in sehr weiter Entfernung, so schwang die Probenadel allein unter dem Einflusse des Erdfeldes H_0 mit der Schwingungszahl n_0 . Wurde dagegen das Nordende des senkrecht stehenden Magneten von Süden her in gleicher Höhe mit der Probenadel dieser bis auf eine Entfernung r_1 genähert, so schwang die Nadel schneller, da jetzt zu der Wirkung des Erdmagnetismus noch die des Stabfeldes H_1 hinzukam. Wir nehmen — einstweilen hypothetisch — an, daß sich beide einfach addieren, daß also die jetzige Schwingungszahl n_1 von einem Felde $H_0 + H_1$ herrührt. Dann ist (vgl. das in § 11 ermittelte Schwingungsgesetz der Nadel):

$$(H_0 + H_1)/H_0 = n_1^2/n_0^2. \quad . \quad . \quad .$$

Derselbe Versuch in einer anderen Entfernung r_2 ausgeführt:

$$(H_0 + H_2)/H_0 = n_2^2/n_0^2. \quad . \quad . \quad .$$

woraus:

$$H_1/H_2 = (n_1^2 - n_0^2)/(n_2^2 - n_0^2) \quad . \quad . \quad .$$

Folgendes sind die von Coulomb erhaltenen Werte:

r	n	$n^2 - n_0^2$	$r^2 \cdot (n^2 - n_0^2)$
10	41	$41^2 - 15^2 = 1456$	14560
20	24	$24^2 - 15^2 = 351$	14040
40	17	$17^2 - 15^2 = 64$	10240

Wie aus der letzten Spalte
und $r = 20$ die Produkte aus r
ist also $n^2 - n_0^2$ proportional $1/r^2$

$$H_1 /$$

und wir erhalten in der Umgebun
Länge sehr dünnen Magnetstabes

A. Die Feldstärken an z
eines Magnetstabes verhalte
der Entfernungen von diesen

Für eine etwaige Wiederh
man die in § 8 beschrieben

Fig. 18.

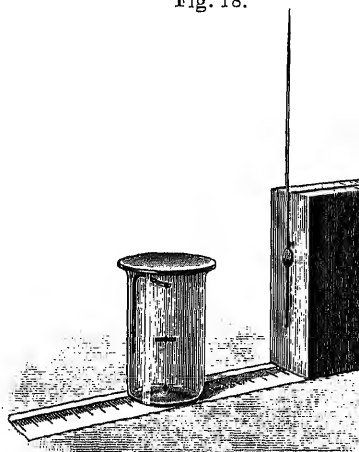


Fig. 19.

$$\underbrace{H}_{H''} P$$

$$r = 40 \text{ cm}$$

gebildete Resultante der beiden Felder H und H'' die jeder Pol für sich erzeugen würde.

Es sei H das Feld, das von dem näher an der Nordpol des Stabes herrührt; der Nordpol liege, so v. mitgeteilten Versuchsreihe, in gleicher Höhe mit der nur in der Richtung drehbaren Probenadel, die sich in P befinde. Da der Südpol der eines Nordpols entgegengesetzt ist, so müssen wir nach dem Südpol hinzeigend annehmen. Die Nadel ist in der Richtung drehbar, es kommt also nicht das ganze resultierende Feld in Wirkung, sondern nur seine horizontale Komponente H , die wir in dem oben angeführten Versuch beobachtet haben. Die Ähnlichkeit der Dreiecke $NP'S$ und $np's$ folgt, daß:

$$(H - H''') : H' = r' : r.$$

Ferner ist:

$$H/H' = r'^2/r^2,$$

woraus folgt:

$$(H - H''') : H = r^3/r'^3$$

und:

$$H = H'''(1 + r^3/r'^3).$$

Für einen Polabstand $l = 60$ cm und $r = 40$ cm erhält man $H = H''' \cdot 1,21$. Multipliziert man die letzte Zahl in der Tabelle auf S. 15 mit 1,21, so erhält man 129 600, was mit den anderen Zahlen der Spalte schon bedeutend näher. Die noch vorhandene Differenz rührt wahrscheinlich von Beobachtungsfehlern her, die von etwa $\frac{1}{3}$ Schwingung in einer Minute zur Hervorbringung genügt. (An Stelle von 140 400 in der zweiten Zeile erhält man nach der Korrektur 145 000.)

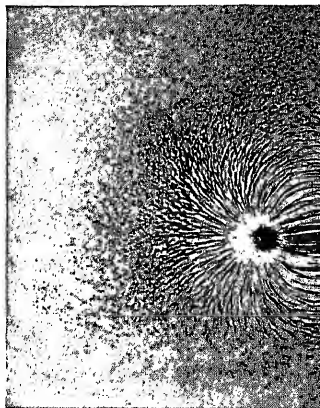
Wir nehmen das Gesetz, daß die Kraft an jeder Stelle der beiden Wirkungen der Pole einfach zusammengesetzt, einsteht, an; der exaktere Nachweis für seine Richtigkeit soll durch

vergessen, während wir die sinnlich klarsich sich übereinander lagern, leicht behalten.

§ 14. Allgemeine Superposition

ob die für das Feld eines einzelnen dünn auch noch brauchbar ist, um das Feld m ob es also gleichgültig ist, ob die beiden gehend denken, einem einzigen oder me

Fig. 20



und 21 zeigen zwei Kraftlinienbilder, die tisierten Stricknadeln in folgender Weise

Fig. 21.



§ 15.

Konstruktion der Kraftlinien eines Polpaars

ihrer großen Entfernung kaum in Betracht. Zum Ver-
die Kraftlinien eines derartigen „Polpaars“ mathem-
versuchen.

§ 15. Konstruktion der Kraftlinien eines I

Eine Kraftlinie ist nach ihrer im § 9 gegebenen Def-
überall die Richtung der resultierenden Kraft hat; auf-
läßt sich nach dem Coulombschen Gesetz die „Gil

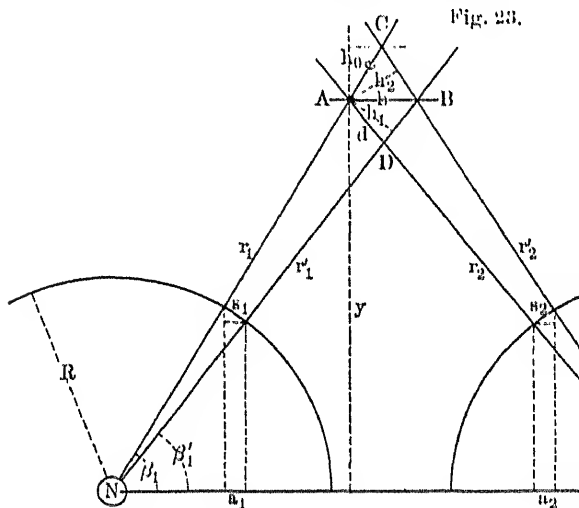


Fig. 23.

auf rein mathematischem Wege ableiten. Sie lautet:
beiden Polen aus nach einem Punkte A der Kraftlinie
und r_2 mit der Verbindungslinie der Pole die Win-
(s. Fig. 23):

$$\cos \beta_1 - \cos \beta_2 = \text{constans für entgegeng}$$

sind. Wir fällen die Lote h_1 und h_2 auf AC , wenn wir die unendlich kleinen Kräfte f_1 und f_2 betrachten:

$$h_1/s_1 =$$

und ferner:

$$a/s_1 =$$

woraus:

$$h_1/a =$$

und ebenso:

$$h_2/a =$$

oder, nach Coulombs Gesetz:

$$\frac{h_1}{h_2} = r_1^2/r_2^2$$

Ferner ist der Inhalt des Parallelogramms

$$f = ch_1 = c h_2$$

oder

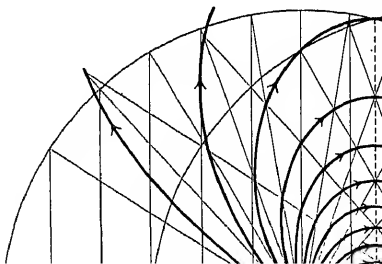
$$\frac{c}{d} = h_2/h_1$$

Die Seiten des Parallelogramms sind proportional den beiden Feldern H_1 und H_2 , sind also proportional und parallel dem resultierenden Feld H .

Haben beide Pole gleiches Vorzeichen, so ist die andere Diagonale DC als Richtungsangabe zu nehmen.

Die verschiedenen zu einem bestimmten Punkte gehörenden Feldlinien unterscheiden sich bloß durch den Wert der Summe oder Differenz der Kosinus in Gl. (1).

Fig.



nach außen hin fort. Dann schlage man um jeden Pol einen Radius gleich einer ganzen Anzahl n_0 der Teile des Polradius (Figur ist $n_0 = 6$). Auf den Teilpunkten errichte man die Durchschnittpunkte der Lote mit den Kreisen in der Richtung nach außen beliebig verlängere.

Aus dem obigen Beweise folgt dann, daß man, wenn man einen beliebigen Schnittpunkt aus der Reihe der durch die Radien gebildeten rautenförmigen Figuren je nachdem man im Beginn die eine oder die andere Richtung als Ausgangspunkt gehenden Diagonalen wählt, erhält man die Kraftlinie der oberen oder die der unteren Hälfte der Figur. Der letzte Radius, bei dem man angekommen ist, ist stets Tangente an der Kraftlinie.

Man vergleiche mit der so erhaltenen Figur die Figuren 20 und 21; ihre Ähnlichkeit mit den konstruierten Kraftlinien ist unserer Voraussetzungen.

Wie man sieht, laufen bei zwei ungleichnamigen Polen die Kraftlinien alle vom einen Pol zum anderen (vgl. die obere Hälfte der Figur). konnten aus Raumangel nicht alle Kurven vollständig gezeichnet werden; sie haben also Ursprung und Endpunkt im Endlichen. Für die obere Hälfte, für die $\cos \beta_1 - \cos \beta_2 = 0$, läuft geradlinig von einem Pol zum anderen und kehrt auf der anderen Seite aus dem Unendlichen zur

Bei zwei gleichnamigen Polen (untere Hälfte) dagegen laufen die Kraftlinien ins Unendliche, wenn beide Pole Nordpole, oder in das Unendliche, wenn beide Pole Südpole sind.

Durch den Mittelpunkt M der Figur geht eine Kraftlinie hindurch. Die Richtung dieser Kraftlinie ist für zwei gleichnamige Pole (obere Hälfte) beiderseits von M dieselbe; für zwei ungleichnamige Pole (untere Hälfte) beiderseits entgegengesetzt. Im Falle der beiden Kraftlinien NM rechtwinkelig untereinander verlaufende Kraftlinien erfahren die Kraftlinien eine scharfe Biegung. Im Punkte M selbst hat die Kraftlinie eine scharfe Biegung.

ihrer Schwingungszahl um 1 vermehrt; dann Probenadel abhängigem Maße:

$$H = n^2 \cdot n_0^2,$$

wo n_0 die Schwingungszahl im Erdfelde; ferner

$$m = r^2 \cdot H = r^2 (n^2 -$$

Diese Größe m sei als die „Polstärke“ des Neten bezeichnet. (Über ein sog. „absolutes“ stärke siehe weiter unten § 18.)

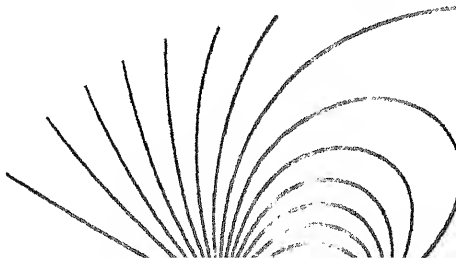
Wir können nun, unter der Voraussetzung setz für die Zusammensetzung des Feldes zwe mit den Polstärken m_1 und m_2 auch noch ge struieren, daß wir $H_1 = m_1 / r_1^2$ und $H_2 = m_2 / r_2^2$ gesetz zusammensetzen. Die Gleichung der K sich leicht nachweisen läßt:

$$a) \quad m_1 \cdot \cos \beta_1 = m_2 \cdot \cos \beta_2 = \text{const.}$$

$$b) \quad m_1 \cdot \sin \beta_1 = m_2 \cdot \sin \beta_2$$

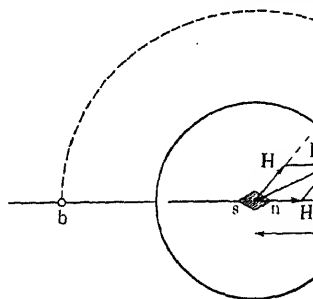
(Gibt man, wie bereits früher erwähnt, einen Südpole das negative Vorzeichen, so daß für

Fig. 25.



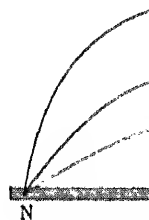
von der Südseite her an die Probenadel mit zunehmender Annäherung immer g
 näherung vorsichtig genau in der Ric
 schließlich, falls unsere Annahme rich
 erreicht wird (Stellung *b*), Stab- und E
 Nadel unendlich langsam schwingen, d
 haben. In Wirklichkeit ist dies natür
 Nadel ja eine endliche Länge hat, und

Fig. 28.



gleichzeitig in dem „neutralen Punkte
 vielmehr, daß in der Entfernung r bei g
 Magneten die Nadel sich nach Westen o
 Ruhelage herausdreht. Wennnämlich die
 einen auch noch so stumpfen Winkel m
 Resultante haben, die diesen Winkel hal
 etwas unter den Betrag r , so dreht sich
 Nordpol nach Süden, weil jetzt das de
 feld das Erdfeld überwiegt. In der Ent
 Feld sein Vorzeichen um, indem es vo

betrachtet werden. Es liegt nahe, so wie wir früher das I. Stabes (im folgenden als Stab I bezeichnet) aus den beiden seiner beiden Pole zusammengesetzten, nun auch die Wirkungen des II. Stabes (Stab II) als die Summe zweier Einzelwirkungen zu betrachten, denen die eine bloß auf seinen $+$ Pol, die andere auf seinen $-$ Pol wirkt. Ist die Ausdehnung des Stabes II mit der von Stab I gleich, so wird im allgemeinen das Feld des Stabes I an den beiden Polen von II verschieden stark und verschieden gerichtet sein. Es ist zu vermuten, daß jede der beiden angenommenen Einzelwirkungen nur von der Feldstärke von I an dem betreffenden Pole von II abhängig ist und daß die Richtung dieser Einwirkung für den $+$ Pol von II dem dort herrschenden von I herrührenden Felde gleichgerichtet, für den $-$ Pol dem entgegengerichtet ist; in Fig. 29 sind die Richtungen der Einwirkungen durch Pfeile angedeutet.



Zur experimentellen Entscheidung der Frage befehle ich, daß bloß einer seiner Pole sich bewegen kann, während der andere fest liegt, was dadurch geschieht, daß wir den Stab sich um einen durch den zweiten Pol gehende Achse drehen lassen; dann kommt der bewegliche Pol in Betracht. An Stelle der von uns früher benutzten Drehwage, die zwar für feine Messungen geeignet, dagegen für Demonstrationszwecke zu subtil ist, benutze ich die von Grimshill¹⁴⁾ konstruierte „magnetische Waage“.

Die in Fig. 30 abgebildete Waage (die Figur ist aus der Beschreibung entnommen) besteht im wesentlichen aus drei Teilen: der

Stricknadel von $L = 20$ cm Länge, in die eingesteckt wird, auf dem sich, wie bei einem Hebel, verschieben lassen. Der eine Pol (in der Figur) liegt dicht am Drehpunkt; die Größe der auf diesen Pol wirkenden Wirkung wird durch die zur Wiederrückkehr des Reitergewichte und ihre Stellung auf dem Hebel ursprünglich im Gleichgewicht, wenn der Teilstrich des Vertikalmaßstabes s zwischen dem Pol und dem Stativ befestigte Waage gemessen wird. Von der auf den Pol wirkenden Kraft kommt nur die in die Bewegungsrichtung wirkende Komponente. Ist die Kraft also, wie wir zunächst annehmen, am Orte des Poles proportional, so kann die wirkende Kraft also bei wagerechter Stellung der Nadel die fallende Komponente des Feldes in Betracht kommen. In der Figur gezeichnet, wagerecht, wirkt die Kraft über dem beweglichen Nordpol der Waage. Die Kraft vom Nordpol des Stabes I herrührende Komponente der Bewegungsrichtung fällt; der Anteil dieser Kraft ist viel kleiner und ist außerdem so stark, daß die Komponente kaum in Betracht kommt. Von der Kraft am Nordpole des Stabes I allein herrührende Kraft, P das Reitergewicht, das ihr im Gleichgewicht hält, so ist nach dem Hebelgesetz

$$P \cdot l = P' \cdot L$$

Eine für verschiedene Abstände r zwischen dem Pol und dem Stativ ergab:

r	7	8	9	10
P'	7.5	5.8	4.2	3.8

Das gefundene Gesetz für die Abhängigkeit der Kraft von der Entfernung bestätigt unsere Vermutung, daß F' der Feldstärke H_1 proportional ist, denn diese ist ja, wenn m_1 die „Polstärke“ des Stabes I

$$H_1 = m_1 / r^2 \quad . \quad . \quad .$$

Ersetzen wir den beweglichen Magneten durch einen anderen magnetischen Körper, so finden wir auch denselben Faktor $a = F' \cdot r^2$. Bezeichnen wir also mit M_2 einen Faktor, der die Eigenschaften des beweglichen Magneten hervorruft, so können wir schreiben:

$$F' = M_2 H_1 = M_2 m_1 / r^2 \quad . \quad . \quad .$$

Vertauschen wir ferner den festen und den beweglichen Magneten miteinander, so finden wir durch den Versuch, daß wir denselben Zustand auch wieder dieselben Werte für F' erhalten, daß die Kraft, die I auf II ausübt, gleich der von II auf I ausgeübten ist, und auch hier das von Newton (Bd. I, § 39) aufgestellte allgemeine Axiom von der Gleichheit von Wirkung und Gegenwirkung erfüllt ist. Es gilt also nun:

$$F' = M_1 \cdot H_2 = M_1 m_2 / r^2 \quad . \quad . \quad .$$

also:

$$M_1 m_2 = M_2 m_1,$$

oder:

$$M_1 / M_2 = m_1 / m_2 \quad . \quad . \quad .$$

Bezeichnen wir also mit k einen Faktor, dessen Wert von den gewählten Maßeinheiten abhängt, so können wir $M_2 = k m_2$ setzen und erhalten für die Kraft, die zwei Magnete aufeinander ausüben:

$$F' = k \cdot m_1 m_2 / r^2 \quad . \quad . \quad .$$

oder, wenn bloß die Feldstärke H_1 (oder H_2) am Orte des Magneten m_2 (oder m_1) gegeben, die Kraft auf letzteren:

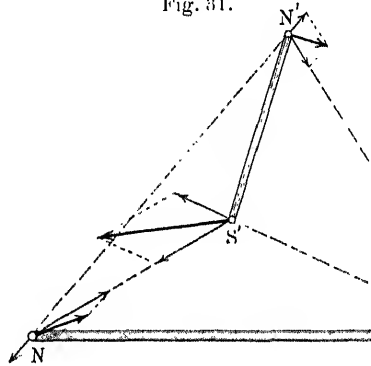
$$F' = k \cdot m_1 H_2 = k \cdot m_2 H_1 \quad . \quad . \quad .$$

Es läßt sich leicht durch Abänderung der Stellung

Die Gleichung (6) stellt in Form dar; in Worten:

A. Die gegenseitige Wirkung zweier sehr dünner Stäbe von vier Einzelwirkungen

Fig. 31.



den acht Einzelkräfte, von denen die Resultanten dargestellt sind.

§ 17. Fernwirkung oder
des Coulombschen Gesetzes ist
gesagt ist, was über das tatsächliche
der Gesamtkraft in vier Einzelwirkungen
Zerlegung eines Feldes in Einzelwirkungen
sie stellt eine Rechnungsregel dar,
die Beobachtungsergebnisse richtig

Zur Zeit, als das Coulombsche Gesetz
weit in unsere Zeit hinein, hergeleitet
fernerer über seine Bedeutung

nicht verhehlen konnten, daß es schwer sei, sich eine d
vermittelte Wirkung in die Ferne sinnlich vorzustellen.

Die großen Erfolge, die die Theorie der Gravita
findung durch J. Newton (siehe Bd. I, § 43) aufzu
offenbar die Veranlassung für Coulomb, auch für die
Magnetismus und der Elektrizität (siehe § 83) nach al
suchen. Newton wies nach, daß die Himmelskörper ,
als ob zwischen ihnen anziehende Kräfte w
Produkte ihrer Massen direkt und dem Quadra
umgekehrt proportional sind“. Er nahm aber
gemacht an, daß es sich dabei um wirkliche Wirkungen
sondern er betrachtete sein Gesetz bloß als eine erfahrung
der mathematischen Darstellung der beobachteten Beweg
haupt die Diskussion über die Ursache der Erscheinun
„hypotheses non fingo“ (Hypothesen mache ich nicht)
sächliche Erfolg seiner Theorie ließ aber bei seinen Sch
bei den nachfolgenden Forschergenerationen immer
einer wirklichen Fernkraft aufkommen, und dieselbe
dann auch auf die magnetischen (und elektrischen)
tragen, die ja durch ein ganz analog gebautes Wirku
waren. An Stelle der außer der Entfernung für die Grav
Massen setzte man hier die Mengen zweier hypoth
(imponderabler) Flüssigkeiten, eines positiven und eines ne
Fluidums, die in jedem Stück Stahl und Eisen für g
gleicher Menge vorhanden sein sollten. Überschuß von
tivem Fluidum an einer Stelle sollte das Eisen oder o
magnetisch machen. Die von uns oben als „Polstärke“ be
in dieser Auffassung als die in dem betreffenden Polo ang

Das zweite sind die mehr oder weniger wir uns von der Bedeutung der einzelnen machen: Die Tatsache, daß uns durch sinn mechanische Vorgänge als ganz kommen, während der Mangel eines Sinns tische Vorgänge diese uns seltsam erfordern, diese Vorgänge nicht nur mechanisch „erklären“, d. h. auf mechanische Vorherausgestellt, daß man eine große Anzahl tischen und elektrischen Erscheinungen kleineren, bald größeren Bruchteil des solches „Modell“ ist die Vorstellung der Fluida. Es hat in dem ganzen Gebiete geleistet und leistet sie auch jetzt: erwiesen für die Erscheinungen in diesen Feldern zu beobachten sind (siehe

Eine Vorstellung, die sowohl diese umfaßt, ist von dem englischen Forscher gebildet worden und soll weiter unten der wichtigste Zug ist die Beseitigung jeglicher Fernwirkungsvorstellung. Die Faradaysche Theorie blieb lange unvollkommen. Maxwell (1831-1879) hat die dargestellten Gesetze Faradays sehr weit ausgebaut, und daß man dann im Stande ist, die beobachtbaren Größen zu denselben zu bringen. Maxwell hat die Fernwirkungsvorstellung. Maxwell hat der von ihm weiter ausgebildeten Faradayschen Theorie ein ganz bestimmtes Bild von der zeitlichen Fortpflanzung elektrischer Wirkungen im Raume mitgegeben, die Gesetze dieser Fortpflanzung.

(1857 bis 1894). gelang es ihm

tun haben, mit ihr operieren; denn die Gleichungen, zu Maxwellsche Theorie für statische Erscheinungen gegeben und nur die Interpretation der Buchstaben in den Gleichungen.

§ 18. Absolutes Maßsystem. Die Notwendigkeiten unabhängig von willkürlichen Festsetzungen ausführen zu können, gab die Veranlassung, das sogenannte „absolute magnetische Maßsystem“ (s. auch Bd. I dieses Werkes, § 40). In diesem Maßsystem nach Anbringung einiger Änderungen in allgemeinen Gleichungen diejenige Kraft definiert, die einer Masse eine Beschleunigung von 1 cm/sec^2 erteilt. Diese Kraft [von dynamis (griechisch) = Kraft] bezeichnet.

Eine Masse von 1 g erhält durch die Schwerkraft von etwa 981 cm/sec^2 , d. h. ihre Geschwindigkeit nimmt um 981 cm/sec zu; die Kraft, die durch die Schwerkraft ausgeübt wird, beträgt somit 981 Dynen. Eine Dyne ist die ein Gewicht von $1/981 \text{ g} = 1,02 \text{ mg}$ (oder abgerundet 1 mg) Unterlage ausübt.

Die Anwendung dieses Maßsystems auf die magnetischen Erscheinungen führt nun zu folgender Definition der Polstärke:

A. Ein Pol hat die Stärke 1, wenn er auf einen gleich starken Pol in 1 cm Entfernung eine Kraft von 1 Dynen ausübt. Setzt man nun in Gleichung (6) des § 16: $F' = 1$, $r = 1$, dann wird nach Definition A auch $k = 1$ und das Gesetz lautet jetzt:

$$F' = m_1 \cdot m_2 / r^2 \quad . \quad .$$

Um nun die Polstärke einer Nadel in absolutem Maßsystem zu bestimmen, können wir folgendermaßen verfahren: Außer der zu bestimmenden Nadel 1 seien noch zwei weitere Nadeln 2 und 3 vorhanden. Wir messen die Kräfte $F'_{1,2}$ und $F'_{2,3}$, die von den Nadeln 1 oder 2 in der Entfernung $r_{1,2}$ auf die in der Waage befestigte Nadel 3 ausgeübt werden.

Zur Erläuterung diene folgend
Stricknadeln von 2 mm Durchmesser
spanbild gefundene Pole etwa 1 cm

In der Wage: Magnet Nr.	Anziehen oder ab stoßend wir Magnet Nr.
3	1
3	2
2	1

Somit ist:

$$\frac{m_2}{m_1} = \frac{60}{55}$$

$$m_2 \cdot m_1 = 80$$

$$\underline{m_2} = \sqrt{\quad}$$

$$\underline{m_1} = \sqrt{\quad}$$

Setzt man auch in Gleichung (

$\frac{F}{\quad}$

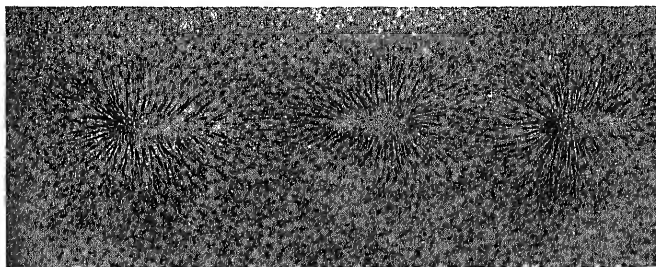
Ist $m = 1$, so wird $F = H$. Die
folgendermaßen definiert:

B. Die Feldstärke an irg
mechanischen Kraft, die auf
befindlichen Einheitspol ausg

Für die Einheit der Feldstärke h

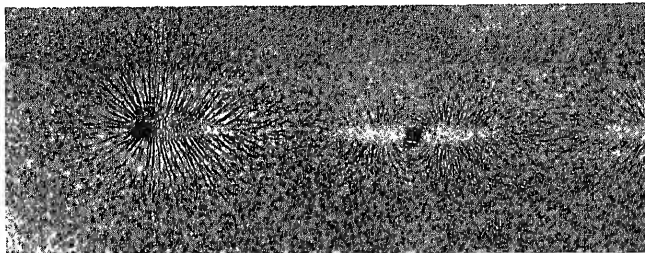
ungeteilten Nadel. Legt man die beiden Bruchstücke d erhält man das Feilspanbild Fig. 32 b, das sich von d Nadel (Fig. 16) nur dadurch unterscheidet, daß in einen

Fig. 32 a.



die Bruchstelle herum sich stark gekrümmte Kraftlinien b abgesehen von der nächsten Umgebung der Bruchstelle, d

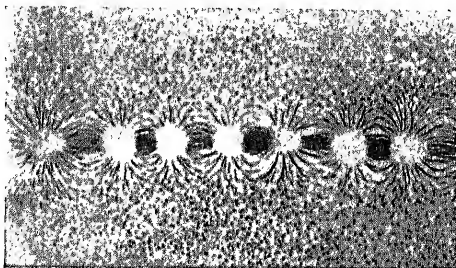
Fig. 32 b.



geblieben; in der Tat müssen ja zwei dicht aneinander namige Pole sich in ihrer Wirkung in größerer Entfernung

Bruchstücke vollständige Magnete von des ursprünglichen Magneten. Fig. 33a einander, Fig. 33b dieselben etwas auseinander der Annahme, daß jedes noch so kleiner ständiger Magnet sei. Denken wir uns aus einer beliebigen Anzahl von teils n „Elementarmagneten“ mit gleicher Pol so muß, wenn alle gleich stark sind, imm

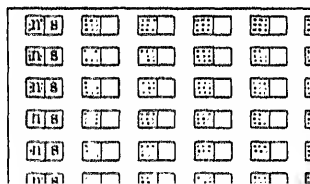
Fig. 3



grenzender Pole sich aufheben, und es g der an den äußersten Enden befindliche stärke des ganzen Magneten ist dann gl in einem Querschnitt nebeneinanderliege

Fig. 3

N



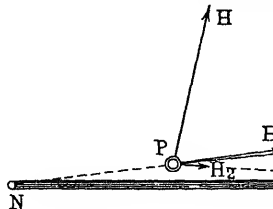
je zwei aneinanderstoßenden Polen zweier benachbarter T und s_4 ausgehen, sind ja überall gleich stark und entgegen sich also auf. Es bleibt nur die Wirkung der Endpo

Diese Übereinstimmung ermutigt zu dem Analogiesch das Verhalten beliebig gestalteter Magnete von beliebig v magnetischen Zustandes in ähnlicher Weise darstellen kö wir jetzt den einzelnen Elementarmagneten verschiedene und annehmen, daß das Coulombsche Gesetz, dessen I den ganzen Magneten in dem speziellen Fall der gleich sierung erkannt haben, für jeden einzelnen Elementarma trachten wir das Kraftlinienbild eines Magnetstabes von Gestalt, etwa Fig. 14, so finden wir, daß Kraftlinien nicht b sondern in nach der Mitte zu allmählich abnehmender Z übrigen Teilen ausgehen. Dasselbe gilt auch für eine St magnetisiert hat, ohne sie vorher besonders zu härten.

Betrachten wir einen Punkt P dicht an einem solch so kann das beträchtliche Feld H , das wir hier beobacht Enden allein herrühren; schon die Feldrichtung widerspricht dem, denn die beiden von den Enden N und S aus gezogenen Radien laufen der Nadel fast parallel, und da die Teilfelder den Radien parallel sind, so müßte das resultierende Feld H_0 zwischen die Richtungen von H_1 und H_2 fallen. In

Wirklichkeit beobachten wir aber ein Feld H , das ganz st des Magneten gerichtet ist. Wollen wir also das Feld a Coulombischen Gesetz aus Teilfeldern zusammensetzen, so

Fig. 36.



innerhalb des abgegrenzten Bezirks liegen herausragen. Sind n_1, n_2 usw. die positiven Stärken der Elementarmagnete, und wird gesetzt, so ist zwischen A und B ein Überschuss $n_5 - n_1$ vorhanden. Liegt also das Nordpolneutrale Zone rechts von B , so ist überall von $+$ Magnetismus vorhanden, wenn der Querschnitt gelegenen Elementarmagnete hin zunimmt. Wir erhalten somit folgendes von 1 cm Länge enthaltenen Überschusse sogenannten „freien Magnetismus“:

A. Bezeichnet man die Richtung, die Elementarmagnete zeigt, als positive Richtung, um 1 cm entfernten Querschnitten enthaltenen nach Größe und Vorzeichen bestimmt durch die Elementarmagnete beim Fortschreiten der Richtung. Nimmt beim Fortschreiten zu, ist also die Abnahme negativ, so Magnetismus vorhanden. Allgemein:

Ist p die Gesamtpolstärke aller in einem Elementarmagnete an einem Punkte, $\delta_1 p$ ihre Änderung in positiver Richtung, so ist die Dichte des auf einem 1 cm langen Stück enthaltene

$$m = - \delta_1 p$$

Es ist nicht nötig, daß die Änderung $\delta_1 p$ auf einem 1 cm langen Wege konstant sei. Ebenfalls

tismus m einerseits und der „Stärke der Magnetis“ erhält (Fig. 38). Die ellipsenähnliche Kurve stelle die Vtisierung, gemessen durch die Größe p dar. Für irg Magneten erhalten wir den freien Magnetismus m al der negativ genommenen Änderung δp und der zug δs , also

$$m = -\delta p / \delta s = \tan \alpha.$$

Tragen wir also die trigonometrische Tangente des Kurve als Ordinate auf, und zwar nach oben, wo α nach unten, wo sie steigt (beim Fortschreiten in positive S nach N), so erhalten wir die Verteilung des freien M die \hookcorner -förmige Kurve dargestellt ist.

Da nach unserer Annahme jeder Elementarmagn — Magnetismus hat, so muß die Gesamtsumme Null se In Worten ausgedrückt:

B. Jeder Magnet enthält gleich viel freien magnetismus, oder:

B'. In jedem Magnet ist die algebraische Magnetismus gleich Null.

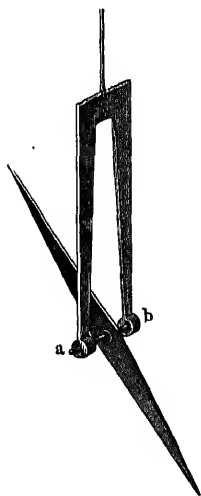
Man kann auch so schließen: Für zwei eben außerhalb Querschnitte ist $p = 0$. Ferner ist die Dichte m Gesamtsumme $m_0 = \sum m$ gleich der negativen Sum von p , d. h. gleich dem Anfangswert weniger dem beide gleich 0, so ist auch ihre Differenz gleich 0.

Ein experimenteller Beweis für die Richtigkeit dies gegeben.

Anmerkung: Der hier von uns als mathematische Begriff des „freien Magnetismus“ entspricht der v benutzten „Dichte des magnetischen Fluidums“.

überall gleich stark ist. Da diese Veränderungen sehr großen Entfernungen bemerkbar machen, innerhalb des Laboratoriums die Stärke an verschiedenen Orten betrachten. Dasselbe findet man auch

Fig. 39.



Kraftlinien des Erdfeldes nicht zu groß bemessen (weniger als ein Kilometer) merklich parallelen Kraftlinien. Die Stärke wie Richtung „homogenes“ oder „g

Deklination:

um eine senkrechte Linie der genauen Nord-Südklination“ (seemännisch) scheidet je nach dem Ort ein westliches oder östliches und Betrag der Deklination. Die Feldstärke mit der Ziffer 1 Nadel bezeichnet man den „Magnetischen Meridian“ des Beobachters, der mit dem astronomischen Meridian zusammenfällt.

Inklination: Wir kitten eine Stahlkugel an einen Faden, so daß sie genau wagerecht hängt. Fig. 39 dargestellt, mit einer wagerechten Faden hängenden Gestell dreht; magnetische Kugel dreht sich nicht nur ihre Schwingungsebene in der Vertikalen, sondern sie senkt sich auch mit ihrem Nordende nach unten. An einem Orte der nördlichen Erdhalbkugel v

Idealmagneten, ein „Polpaar“ (Fig. 40) von der Stärke $+m$ und $-m$ im Abstand r ; der Magnet drehe sich um eine Achse, die durch den Punkt O der Polverbindungsline geht. Ist H die Stärke des in Richtung ON weisenden Erdfeldes, dann wirkt auf den $+$ Pol eine Kraft Hm parallel zu ON , auf den $-$ Pol eine gleich große Kraft entgegengesetzt Hm . Beide zusammen wirken drehend auf den Magneten, und zwar greift jede Kraft Hm im Abstand $y = r/2 \cdot \sin \varphi$ an, wenn φ der Winkel ist, den die „Achse“ mit der Richtung des Erdfeldes bildet. Das gesamte „Drehmoment“ beträgt also:

$$D = 2 H m r/2 \cdot \sin \varphi = H \cdot M \cdot \sin \varphi$$

wenn man zur Abkürzung

$$M = m r \quad . \quad . \quad . \quad .$$

setzt. Die Größe M bezeichnet man als das „magnetische Moment“ des Polpaares. Gleichgewicht tritt ein, wenn $D = 0$, d. h. wenn $\varphi = 0^\circ$ oder $\varphi = 180^\circ$; das Polpaar ist also im Gleichgewicht, wenn seine Achse in die Deklinationsrichtung fällt. Das Gleichgewicht ist stabil für $\varphi = 0^\circ$, labil für $\varphi = 180^\circ$. Folgt aus diesem Resultat, daß die Größe des ausgeübten Drehmomentes nicht von den Polstärken allein, sondern von dem Produkte aus Polstärke und Polabstand, dem „Moment“ des Polpaares abhängt.

Fig. 40.

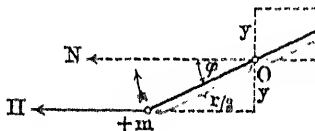
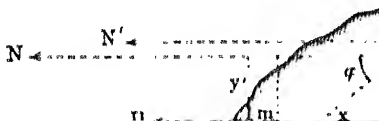


Fig. 41.



Um die Lage des Magneten anzugeben, wähle ich eine feste Richtung OA (die etwa durch einen Pfeil h herausgegriffen, so daß die jeweilige Richtung $AO N = \varphi$ bestimmt ist. Da wir die Eigenschaften des Magneten in ihrer Abhängigkeit von φ untersuchen, können wir den Magnetismus im Innern des Magneten durch Größen ersetzt werden, die die Richtung φ angeben. Wir fällen deshalb ein Lot von m auf OA , den Abstand seines Fußpunktes von O bezeichnen wir mit y' :

$$y' = x \cdot \sin \varphi$$

Das gesamte Drehmoment, das der Magnet ausübt, ist die zu erstreckende Summe:

$$D = \sum d = H \cdot \sum m y' = H \cdot s$$

Wie nun auch die Verteilung des Magnetismus m ist, läßt sich immer die willkürliche Richtung OA wählen. Die Summen, etwa

$$\sum m y$$

wird. Die so bestimmte Richtung von OA nennen wir die „Achse“ des Magneten; die auf

$$\sum m x$$

nennen wir das „magnetische Moment“. Wenn das einfache Polpaar fällt die Richtung der Achse mit der Verbindungslinie zusammen.)

Durch Einsetzen von (6) und (7) in (5) erhält man die Gleichung wie für das einfache Polpaar:

Sei etwa eine Kompaßnadel ungleichmäßig magnetische Achse cd (Fig. 42) nicht mit der geometrischen Achse ab fällt. Bestimmt man nun an einem Teilkreis die Einsteckrichtung der Nadel und kehrt dann die Nadel in ihrer Lagerung so um, daß die Spitze nach unten zu liegen kommt, so erhält man eine etwas andere Einsteckrichtung. Die Mitte zwischen beiden ist dann die Richtung des magnetischen Moments, d. h. die Deklinationsrichtung und zugleich die Richtung der magnetischen Achse der Nadel. Da die Richtung der magnetischen Achse von den Einsteckrichtungen niemals ganz genau mit der geometrischen Achse zum Zusammenfallen gebracht werden kann, so sind alle feineren Instrumente zur Bestimmung des magnetischen Moments (siehe Kapitel „Erdmagnetismus“) so eingerichtet, daß sie „eingeregelt“ werden kann.

Die „magnetische Achse“ ist bloß eine Richtung des magnetischen Moments. Magneteten, wenigstens wenn unsere Voraussetzung $\sum m = 0$ gilt, hat man keine magnetische Achse.

Beweis: Wir denken uns den Magneteten (Fig. 41) statt der früheren parallelen Achse O' drehbar. Dann erhalten wir statt $M = \sum m x$ ein Moment $M' = \sum m(x + x'')$, wo x'' und y'' die Abstände der Massen m von der neuen Achse O bezüglich einer durch O' gezogenen zu OA parallelen Achse OA' ausdrücken, wie wir früher die Lage der Massen m durch x und y ausdrückten. Ebenso erhalten wir statt $\sum m(y + y'')$. Da nun x'' und y'' für alle Glieder der Summe $\sum m$ dieselben sind, so erhalten wir als die zu den früheren Ausdrücken kommenden Glieder: $x'' \cdot \sum m$ und $y'' \cdot \sum m$. Wenn also unsere Voraussetzung $\sum m = 0$ erfüllt ist, dann wird durch eine Verschiebung der Achse mit sich selbst die „Richtung“ der magnetischen Achse gar nicht verändert; denn wenn vorher für die Richtung OA die Größe $\sum m y = 0$ war, so ist es auch jetzt für die zu OA parallele Richtung OA' die Größe $\sum m(y + y'')$.

Einen Beweis für die Voraussetzung, daß $\sum m = 0$, bildet der schon im § 2 er-

Verlängerung des Aufhängefadens geht, was in der Stellung des Magneten möglich wäre, ein Drehmoment ausüben, dessen Größe sich mit der Lage des Magneten illustriert gleichzeitig das oben über die Eigenschaft der Achse Gesagte. Man kann sich die Achse vorstellen, in welchem der verlängerte Aufhängefaden die veränderte Zeigerstellung beweist dann die unvollständige Parallelverschiebung des Magneten.

§ 22. Theorie der Gauss'schen Methode der magnetischen Felder. Gleichung (1) und (2) des vorigen Paragraphen nicht nur für einen unter dem Einfluß des Magnetfeldes des Magneten, sondern jedesmal, wenn ein Magnet in das innerhalb des von dem beweglichen Magneten gebildeten Feld bei Abwesenheit des beweglichen Magneten eingebracht werden kann. Man kann also auch inhomogene Felder in der Richtung von Punkt zu Punkt variiert, mit einem Kompaß untersuchen, wenn man die Nadel nur so klein wählt, daß das Feld sich nicht merklich ändert. Diese Methode wird benutzt, um zu einer Definition der Feldstärke zu kommen.

Wir wollen nunmehr das Feld in der Umgebung eines Magneten, indem wir es mit dem Erdfelde vergleichen.

Der zu untersuchende stabförmige Magnet sei in dem Orte der Probenadel P_1 sein Feld H_1 (Fig. 44).

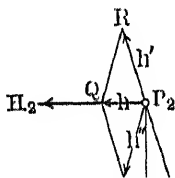


Fig. 44.

gebrachte Nadel gibt ja immer nur die Richtung des des Magneten und dem Erdfelde entstandenen resultierende. Wenn jedoch, wie in der Praxis meist der Fall, ein symmetrischer Magnet, etwa ein zylindrischer oder prismatischer Stab vorliegt, für die die Richtung von H_1 ohne weiteres angegeben werden kann.

In einem Punkte P_1 in der Verlängerung der Achse des Magneten hat H_1 offenbar die Richtung der Achse.

Ferner muß, wie schon aus den früheren Kraftlinienbetrachtungen hervorgeht, für alle Punkte P_2 einer durch den Mittelpunkt O gehenden senkrecht stehenden Ebene das Feld H_2 des Magneten parallel zur Achse vorausgesetzt, daß nicht nur die äußere Gestalt des Magneten, sondern auch der Magnetismus symmetrisch verteilt ist. Man stellt sich nämlich zwei aus dem Magneten herausgeschnittene Queerstücke $+x$ und $-x$ von der Mitte und mit dem freien Nordpol N und $-m$ behaftet, so setzen sich ihre Felder h' und h'' zu einem Gesamtfelde h zusammen, die parallel NS ; denkt man sich also den Magneten in dünne Scheiben zerschnitten, und addiert zunächst immer paarweise von der Mitte gleichweit entfernten Scheiben die zugehörigen Felder h , dann sämtliche h zu einem Gesamtfelde H_2 , so ist H_2 parallel NS .

Legen wir also den Magneten so, daß seine Achse mit dem magnetischen Meridian steht, so ist in allen Punkten P_1 der Verlängerung der Achse und in allen Punkten P_2 einer durch den Mittelpunkt des Magneten gehenden und senkrecht zur Achse gelegenen Ebene das Feld H_2 des Magneten senkrecht zum Erdfelde H_0 . Die Ablenkung φ , die eine in P_1 oder P_2 befindliche kleine Magnetnadel erfährt, ist also nach Gleichung (1) ein Maß für das Verhältnis von H_2 zu H_0 .

Die Stellung von Magnet und Nadel, bei der sich der Magnet mit der Nadel zum magnetischen Meridian und die Nadel auf einem Punkte P_1 der Verlängerung der Achse befindet, bezeichnet man nach Gauss¹⁾ als eine

II. Zweite Hauptlage: Ist P_2 , so ist

$$h' =$$

Aus h' und h'' setzt sich das wegen der Ähnlichkeit der Dreiecke

$$h/h'$$

oder

$$h =$$

oder nach (4)

$$h =$$

Nun ist

$$r^2 = L^2 + x^2$$

somit, wenn man jetzt wieder alle Q

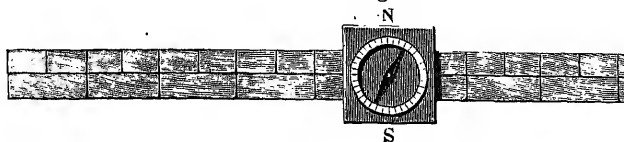
$$H_2 = \frac{1}{L^3}$$

Die recht komplizierten Gleich in den Punkten P_1 und P_2 nicht n des Magneten, sondern auch wegen Summenzeichen in von Punkt zu teilung des Magnetismus in Magnet deutend, wenn man nur Punkte in s ins Auge faßt.

Es sei also die Entfernung L des Magneten, daß $(x_0/L)^2$ klein ge gleich der fünffachen Länge des M $(x_0/L)^4 = 1/10\,000$. Wir begehen höchstens 2 Proz. bei Gleichung (3), v wenn wir den Nenner des Summen der Summenausdruck einfach gleich

Gauss' Mitarbeiter, W. Weber, zunächst der in Fig. 45 dargestellten einfachen Anordnung. Die Probenadel nebst

Fig. 45.



Mitte eines Maßstabes aufgestellt, längs dessen der Magnet *ns* meßbar verschieblich ist. Fig. 45 zeigt die erste, Fig. 46 für die zweite Hauptlage. In der ersten Lage ist die Probenadel senkrecht, in der zweiten parallel zum magnetischen Meridian. Um etwaige Exzentrizität der Probenadel gegen die Kreisteile des Kompasses zu vermeiden, werden stets beide Nadelspitzen abgelesen; um eine systematische magnetische Magnetisierung des Stabes zu eliminieren, wird derselbe einmal mit dem Nordpol, einmal mit dem Südpol gegen die Nadel aufgelegt. Um endlich auch unsymmetrische Magnetisierung der Nadel zu vermeiden, schädlich zu machen, legt man den Stab einmal östlich (resp. südlich), dann westlich (resp. nördlich) von der Probenadel. Man erhält demgemäß acht Ablenkungsablesungen für jede Einstellung, die man zu einem Mittel vereinigt.

Beobachtet man etwa in der ersten Hauptlage, so kann man, indem man in Gleichung (8) für H_1 seinen Wert aus Gleichung (1) einsetzt:

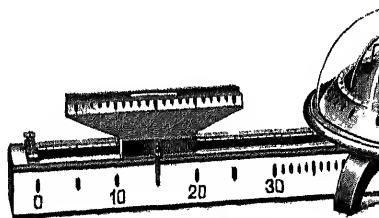
$$H_0 \cdot \operatorname{tg} \varphi = 2 M / L^3$$

oder

$$\operatorname{tg} \varphi \cdot L^3 = 2 M / H_0 \quad . \quad . \quad . \quad .$$

Es muß also bei Beobachtung in verschiedenen Einstellungen L die Größe $\operatorname{tg} \varphi \cdot L^3$ konstant sein. (Die Beobachtungen müssen natürlich genügend schnell hintereinander durchgeführt werden.)

Fig. 47 zeigt eine zur Demonstration geeignete Anordnung der furt a. M.).



Die mit einem langen gekrümmten Pfeil innerhalb einer in der Figur eingezeichneten Linie ihre Bewegung rasch gedämpft wird, auch noch zu anderen Zwecken

§ 24. Schwingungsdauer

Nach Gleichung (8) in § 21 war d der Abstand des drehbaren Magneten, dessen magnetische Richtung des äußeren Feldes H he

$$D =$$

Wir vergleichen diesen Ausdruck mit dem für ein wirkendes Drehmoment gilt: Auf einen Abstand l vom Schwerpunkt der Ruhelage entfernt ist, wirkt ein Dr

$$D' = mgl.$$

Da der Zusammenhang zwis

§ 24.

n Audi-
(Frank-

§ 25. Bestimmung der Horizontalkomponente des Er

bei Beobachtung in erster Hauptlage. Auf Grund Gleichung 2 des § 24 erhält man einen Wert für beiden Größen, wenn man den zuvor als ablenk Stab drehbar aufhängt und unter dem Einfluß des Erdfeldes schwingen läßt. Dann ist:

$$M \cdot H_0 = \pi^2 K / t^2$$

Durch Kombination beider Gleichungen lassen sich rechnen; denn bezeichnet man die experimentelle in folgender Weise:

$$M/H_0 = A \quad \text{und} \quad M \cdot H_0 =$$

so ist:

$$M = \sqrt{B \cdot A} \quad \text{und} \quad H_0 =$$

schwingt
wodurch
Teil eines
ms.

1 Felde.
ne Achse
aus der

n Pendel
und dem
aus der

in beiden

Zur Ausführung der Schwingungsbeobachtung von W. Weber angegebenen in Fig. 48 abgebildet für die Ablenkungsversuche benutzte Magnetstab ist mittels einer eingeschraubten Öse, oder wenn ein derartig vorgerichteter Stab nicht vorhanden, mittels einer Papierschleife an einem möglichst dünnen und ungedrillten Kokonfaden aufgehängt. Der Glaskasten dient zum Schutze gegen Luftströmungen. Die Schwingungen dürfen nur sehr klein sein (höchstens etwa 5° nach jeder Seite). [Über die etwaige Reduktion der Schwingungsdauer auf unendlich kleine

Einflusses der Glieder mit $(x/L)^2$ in der Stabes siehe ebenfalls das zitierte Lehrbuch.

Der absolute Wert der Horizontalkomponente in Deutschland etwa 0,2 Gauss.

(Genauere Tabellen s. Kap. „Erdmagnetismus“.)

§ 26. Über die sogenannten „Pole“. In den leitenden Paragraphen wurden die Wirkungen zunächst als von der Lage ihrer Enden oder unter der Bezeichnung „Pole“ je zwei Pole betrachtet. Man sieht sich den ganzen Magnetismus konzentriert in den Enden an, auch bei den anfangs betrachteten sehr einfachen Stäben. Die Übereinstimmung mit der Theorie ist doch in § 19 demgegenüber darauf hingewiesen. In den „Pole“ eines beliebigen Magneten. Es ist nicht möglich, die Wirkung im Außenraume durch die Wirkung zweier Pole zu ersetzen.

Es ist dagegen möglich, innerhalb des Feldes eines Magneten durch die Wirkung zweier gewählten Polpaars zu ersetzen:

I. Die Entfernung des betrachteten Punktes von der Mitte gegen die halbe Länge x_0 des Magneten, ist nach § 22, Gleichung (8), die Wirkung des Moment und durch die Richtung seiner

Der Magnet kann also in sehr großer Entfernung von beliebiger Stärke m ersetzt werden, wenn x_0 so gewählt wird, daß das Moment $2mx_0$ dem betrachteten Moment des wirklichen Magneten

II. Die Entfernung sei kleiner als im

Wir denken uns jetzt den wirklichen Magneten durch einen Magnet ersetzt, der nur aus einem Polpaar besteht, von der Stärke m' und dem halben Polabstand x' derart, daß

a) das Moment $M' = m'x' = M$, also gleich dem aus den Beobachtungen in großer Entfernung ableitbaren Momenten des wirklichen Magneten,

b) $m'x'^3 = \Sigma m x^3$.

Da hier die beiden Größen m' und x' zwei Gleichungen genügen, so sind sie beide vollständig bestimmt. Während also im Falle I nur das Moment bestimmt war, bei freier Verfügung über die Polstärke bzw. den Polabstand, sind hier beide Größen eindeutig bestimmt. Es gibt stets nur ein einziges Polpaar, das erstens dasselbe Moment wie der wirkliche Magnet und zweitens auch innerhalb einer Entfernung L von der Mitte des Magneten, die nicht kleiner ist als seine $1\frac{1}{2}$ malige Länge, 1 Proz. genau dasselbe Feld liefert, wie der wirkliche Magnet.

Für ein derartiges Polpaar würde bei Beobachtung in der Entfernung L gelten:

$$H = \frac{2}{L^3} \left[M + \frac{4 m' x'^3}{L^2} \right] = \frac{2 M}{L^3} \left[1 + 2 \frac{x'^2}{L^2} \right] = H_0.$$

Beobachtet man nun etwa H bei zwei verschiedenen Entfernungen L und L' und sind die zugehörigen Ablenkungen φ und φ' , so gilt:

$$H_0 \operatorname{tg} \varphi = \frac{2 M}{L^3} \left[1 + 2 \frac{x'^2}{L^2} \right] \quad . \quad .$$

$$H_0 \operatorname{tg} \varphi' = \frac{2 M}{L'^3} \left[1 + 2 \frac{x'^2}{L'^2} \right] \quad . \quad .$$

woraus man erhält:

$$x'^2 = \frac{1}{2} \frac{L^2 L'^5 \operatorname{tg} \varphi' - L'^2 L^5 \operatorname{tg} \varphi}{L^5 \operatorname{tg} \varphi - L'^5 \operatorname{tg} \varphi'}$$

darauf hingewiesen, daß es derartige
ziehung für beliebige Entfernungen
Punkte des Raumes, die noch näher
stimmten Grenze entspricht, wird das
auch nicht annähernd mehr dargeste
 m' keineswegs etwa gleich der Gesamt
lich enthaltenen freien Magnetismus o

Eine bisweilen gegebene andere
der Schwerpunkte des $+$ bzw. des
Pole als der Summe des gesamten
wenig Wert, da eine Möglichkeit
stens angenähert experimentell zu
besteht.

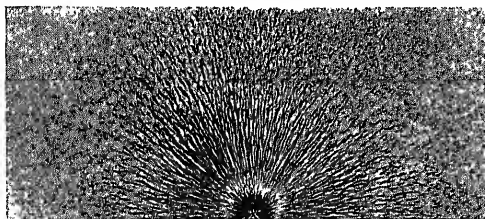
Zweites Kapitel.

Theorie des magnetischen Kraftflu

§ 27. **Kraftröhren.** Die Kraftlinien stellen nicht das Feldes dar, sondern können bei geeigneter Anordnung d zur geometrischen Veranschaulichung seiner Stärke diene

Wir betrachten zunächst das Feld in der Umgebung gleichförmig magnetisierten Nadel, deren anderer Pol so daß seine Einwirkung zu vernachlässigen ist, oder in abgelei weise: das Feld eines einzelnen Poles. Die Kraftli sind dann nach allen Seiten gleichmäßig ausstrahlende Rad

Fig. 49.



beträgt. Da nun nach dem Coulomb in der Entfernung r den Wert

$$H =$$

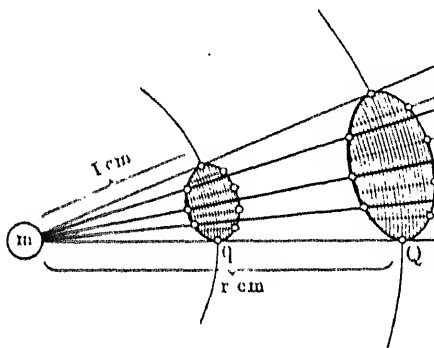
hat, so ist

$$Q =$$

Bilden wir die Röhren in gleicher so wird jedes Quadratcentimeter der Röhren durchsetzt.

A. Zieht man also von einem grenzte Röhren derart, daß alle

Fig. 50.



B. Die Anzahl der von einem ist gleich $4\pi m$.

Das eben abgeleitete Resultat, gleich der Zahl der durch 1 cm^2 „Dichte der Krafttröhren“ ist, gilt

Fig. 24, nur daß hier a nicht wie dort beliebig, sondern bestimmt ist. In der nebenstehenden Fig. 51 sind für jeden Pol nur je zwei Radien r_1 und r'_1 resp. r_2 und r'_2 angegeben, man sich die ganze Figur um die Achse NS gedreht denken. Jeder Radius einen Kegelmantel. Der Raum zwischen den beiden Kegelmänteln von r_1 und r'_1 kann als eine röhrende Kraftröhre betrachtet werden, wie schon oben soll. Wie nämlich in § 15 (Gl. 4) gezeigt wurde, ist in der Stelle A der Abstand h_1 der beiden Radien gegeben durch

$$h_1 = ar_1^2/Ry;$$

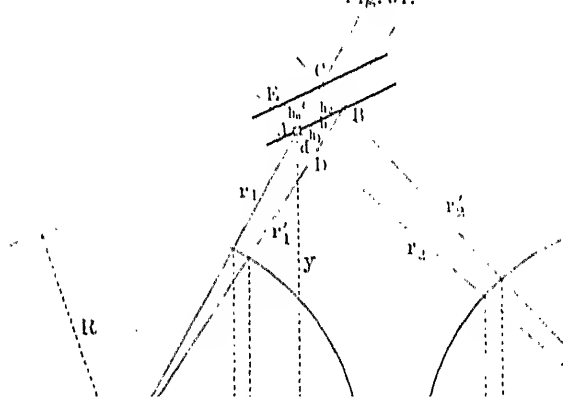
also wegen Gleichung (4):

$$h_1 = \frac{r_1^2}{2\pi my}$$

und ebenso auch:

$$h_2 = \frac{r_2^2}{2\pi my}.$$

Fig. 51.



Läßt man jetzt die Figur rotieren, so schneidet sie die Ebene zwischen den von EC und AB beschriebenen Kreisen in einem Punkt. Der Schnitt ist:

$$q_0 = 2\pi y h$$

In Worten:

1. Macht man in Fig. 24 die Zahl der Strahlen gleich $4\pi m$ und dreht die Figur um die AB , so ist die Fläche zwischen je zwei Strahlen ein Raum, der gleich einer Krafttröhre ist.

§ 28. Krafttröhrenverlauf bei beliebiger Anordnung der Magnete. **Satz; Quellen- und Wirbelfreiheit.** Soll der allgemeine Beweis geführt werden, daß die Feldstärke überall durch eine Anzahl pro qcm) darstellbar ist, so muß die Anzahl der $+$ Magnetismus $4\pi m$ Röhren ausgehen, die die Anzahl der $-$ Magnetismus $4\pi m$ Röhren einmünden läßt).

Es seien eine Anzahl $+$ Magnetismen m_1, m_2, m_3 und eine Anzahl $-$ Mengen m'_1, m'_2, m'_3 vorhanden. Wenn sich um wirkliche Magnete handelt, nach

$$m_1 + m_2 + m_3 + \dots + m_n = m'_1 + m'_2 + m'_3 + \dots + m'_n$$

sein. Wenn wir längs irgend einer von diesen Röhren fortgehen, so gelangen wir unbedingt zu einem Ende, wo wir uns eine möglichst große Zahl solcher Röhren aus dem Feldes aus gezogen, so können wir das Feld mit Krafttröhren ausfüllen, die außerhalb des Feldes enden. Man sagt dann:

Die Krafttröhren erfüllen den Raum „quellenfrei“.

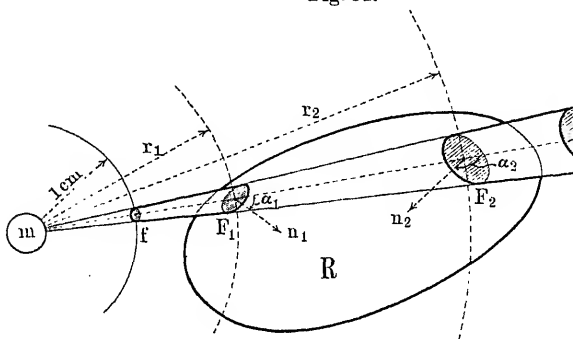
Eine $+$ Menge kann man auch als eine Verschwundung stellen, oder als eine „S

§ 28. Gaussscher Satz; Quellen- und Wirbelfreiheit des Kr.

Wir beweisen zunächst einen für die gesamte Theorie des Magnetismus sehr wichtigen mathematischen Hilfssatz, Gausschen Satz.

Sei (Fig. 52) eine Magnetismussmenge m gegeben, die Punkte konzentriert denken, und ein beliebiger geschlossener Raum R , der m nicht umschließt. Wir betrachten eine von m ausgehende Kraftlinie, die aus einer Einheitskugel die kleine Fläche $f = 1/m$, und aus dem Raume R die Flächen F_1 und F_2 herauschneidet. Die Flächen F_1 und F_2 seien so klein, daß sie als eben betrachtet werden können:

Fig. 52.



ihnen Senkrechte n_1 und n_2 nach der Innenseite des Raumes R der mittleren Richtung H der Krafttröhre die Winkel α_1 und α_2 bilden. Die mittleren Entfernungen des Poles m von F_1 und F_2 seien r_1 und r_2 . Dann ist $F_1 \cos \alpha_1$ gleich der Projektion von F_1 auf die Kugel vom Radius r_1 , d. h. gleich der Fläche, die die Kugel vom Radius r_1 herauschneiden würde, somit:

$$F_1 \cos \alpha_1 / f = r_1^2 / 1$$

oder:

Hierbei ist H_n positiv zu nehmen, wenn es nach außen gerichtet ist.

Befindet sich nicht eine einzelne Zahl von solchen außerhalb der geschlossenen Fläche, es ist also der Summe gemäß ihre Felder, es ist also gleich der Summe der einzelnen Normalkomponenten, es gilt auch jetzt noch.

Wir betrachten nunmehr den Fall, wenn die Fläche R im Inneren des Raumes R liegt; dann treten sämtliche Felder durch die Fläche, und zwar von außen nach innen, ein stumpfer und für jede einzelne Normalkomponente

$$F \cdot H \cdot \cos \alpha =$$

ist. Ziehen wir sämtliche $4\pi m$ von dieser die ganze Oberfläche bedeckt und

$$\sum (H_n F)$$

Liegen mehrere Mengen m innerhalb der Fläche, dann treten sämtliche Felder zu einem Gesamtfeld

$$\sum (H_n \cdot F) =$$

(Der Index i an m deute die Lage in der Fläche)

Sind außer den Mengen m_i auch noch andere Mengen m_j vorhanden, so wird dadurch nichts geändert, kann das Feld dann in zwei Teile zerlegt werden, den m_i herrührend, und es ist

$$\begin{aligned} \sum H_n F &= \sum (H_n F) \\ &= 0 - 4\pi m_i \\ &= -4\pi m_i \end{aligned}$$

Der in Gleichung (7) dargestellte Ausdruck

A. Die Summe der sämtlichen

§ 28. Gauss'scher Satz; Quellen- und Wirbelfreiheit des

Somit ist nach Gleichung (5):

$$H_1 q_1 - H_2 q_2 = 0 \quad \text{oder} \quad H_1 q_1 = H_2 q_2$$

Wenn also an irgend einer Stelle der Röhre der Querschnitt q oder $Hq = 1$ gemacht wird, dann gilt dies auch für jede andere Stelle der Röhre.

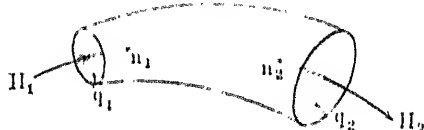
Es ist also tatsächlich möglich, außerhalb des System von Kraftröhren so zu verfahren, daß ihr Querschnitt

$$q = 1/H$$

ist, d. h. daß die Zahl der durch 1 qcm senkrecht zu den Röhren gleich der Feldstärke ist.

Wir denken uns nunmehr die Querschnitte q sämtlich zu einem beliebigen Feldes derart bemessen, daß Gl. (8) überall

Fig. 53.



trachten einen geschlossenen Raum R (Fig. 54); eine unter dem „Einfallswinkel“ α in seine Oberfläche eindringende Röhre vom Querschnitt q schneidet aus der Oberfläche ein Stück heraus:

$$F = q \cos \alpha = 1/H \cos \alpha = 1/H_n$$

oder

$$F \cdot H_n = 1$$

Da durch F eine Kraftröhre hindurchtritt, so tritt durch die Oberfläche 1 $F = 1/H_n$ Röhren hindurch; in Worten:

B. Die Zahl der eine beliebig gelegene Fläche durchsetzenden Kraftröhren ist gleich der Kraftkomponente senkrecht zu dieser Fläche.

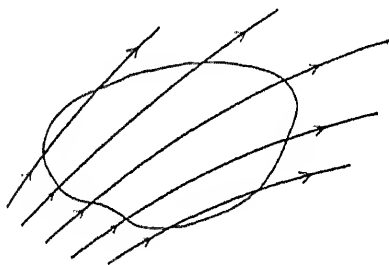
Summieren wir den Ausdruck $F \cdot H_n$ über alle in der Fläche enthaltenen Röhren, d. h. über die ganze geschlossene Oberfläche

gleich $1/H$ ist. Dabei ist es ganz gleich verteilt ist.

Damit ist die am Anfange dieses bewiesen.

Liegen innerhalb der betrachteten besagt Gleichung (10) einfach, daß jede auch irgendwo wieder austreten muß; jede austretende — gerechnet wird, so wi

Fig. 55.



Umschließt ferner die betrachtete (Fig. 56) vollständig, so ist nach § 19 ob

$$\sum m_i =$$

Also nach Gleichung (10) auch N —
 | Ende des Magneten ausgeht, verläuft
 (a), oder wenn sie aus der Fläche heraustr
 die Fläche eintreten, bevor sie in das —

Liegt endlich die Fläche so, daß ein
 Ende, zum Teil aus ihr herausragt (Fig

Wir bezeichnen die Richtungen der drei von einer Ecke ausgehenden Kanten mit x, y, z .

Sei H das Feld an der Fläche (1) und α der Winkel zwischen H und der x -Richtung. Die Zahl der in die Fläche (1), d. h. in die xy -Ebene, eintretenden Röhren ist also nach Gleichung (9): $H_n = H \cos \alpha$. Die gegenüberliegende Fläche (1') ist das Feld ein wenig größer, den H_x beim Fortschreiten um 1 cm in der x -Richtung, werde durch $d_x(H_x)$ bezeichnet; ferner zeigt die Änderung der H_x in der x -Richtung dort nach x . Also $H'_n = H_n + d_x(H_x)$. Die Röhren durch (1) und (1') erhalten wir für die anderen beiden Flächenpaare yz und xz analog.

Wenden wir jetzt den Gaußsschen Satz auf die Gesamtheit der Röhren an, die durch den Würfel gehen, unter der Voraussetzung, daß der Würfel keinerlei Magnetismus enthält, so gilt:

$$0 = H_x + [H_x + d_x(H_x)] + H_y + [H_y + d_y(H_y)] + H_z + [H_z + d_z(H_z)]$$

oder:

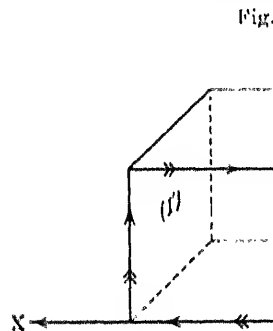
$$0 = d_x(H_x) + d_y(H_y) + d_z(H_z).$$

Enthält dagegen der betrachtete Raum freien Magnetismus pro cem, so ergibt der Gaußssche Satz:

$$4\pi q = d_x(H_x) + d_y(H_y) + d_z(H_z).$$

Gleichung (11) drückt die „Quellenfreiheit“ des magnetischen Feldes aus; denn der Ausdruck $d_x(H_x) + d_y(H_y) + d_z(H_z)$ (Gleichung (11)) ist weiter nichts als der Überschuß der aus dem Raum tretenden Kraftlinien über die eintretenden. Die Gleichung besagt wieder, daß im Falle, wo keine Magnete vorhanden, nirgends Kraftlinien entspringen oder verschwinden, also weder „Quellen“ noch „Senken“ des Kraftflusses vorhanden sind.

Einen weiteren Ausdruck für die räumliche Verteilung von H können wir noch aus dem Gesetz der Erhaltung des Kraftflusses ableiten, wenn wir einen kleinen



Röhre vorhanden, so wurde es
leisten. Man bezeichnet deshalb
„Wirbelfretheit“ des magne-

§ 29. Faraday-Maxwell
Felde. Nachdem durch die in
tellen Methoden ein genaues Be-
schen Gesetzes und somit auch
über den allgemeinen Verlauf des
mehr die Vorstellungen betrachte
der magnetischen Kraftlinien ge-
und Kraftlinien zunächst lediglich
anschaulichung des Feldverlaufs
day ihnen gleichsam physikalische
linien als Repräsentanten eines ver-
raume zwischen den Magneten.

Der Raum zwischen den Ma-
Mittel (die Luft, oder beliebige im
Vakuum beobachtet wird, der
Zwangszustände befinden, die
Körper; die beobachteten schenkt
eine Folge dieser Zwangszustände.

Wir gelangen am besten zu
schen Anschauung, wenn wir uns
Magnetenden verbindenden Kraft-
Gummischnüre ersetzt denken, die
spreche (Fig. 59 a).

Wenn wir allen diesen Schnüre
sie das Bestreben haben, sich zu

Wir denken uns nun zunächst die Magnete festgehalten, so daß sie sich nicht voneinander entfernen können. Sie sind da stehen, sich nicht zu bewegen, denn betrachten wir eine gegriffene Schiene, so wird diese die Bestreben haben, sich gegen das Ende der Axt zu nähern. Da dasselbe für alle gleichem Abstände konzentrisch umgebenden Schiene der Pole alle auf die weiter innen gelegenen einen seitlichen und diese so weit komprimieren, daß der entstehende Gegenrücken gerade das Gleichgewicht halt. Da aber auch die äußeren Schiene in ähnlicher Weise drücken, so erhebt sich allseitigen Seitendruck, der sie in der Querrichtung zusammen sich schließlich in Gleichgewichtszustand her, bei dem, so leicht gehalten werden, sämtliche Schiene unter dem Einflusse konstante Langspannungen und Querdrukke im Gleichgewichte nach außen weisende Doppelpole und in der Figur angedeutet. Läßt man nun die Magnete los, so bewirken nunmehr eine Verkürzung der Schiene und damit eine Magnete. In ganz ähnlicher Weise würden im Falle zweier Pole (Fig. 57b) die Querdrukke der jetzt parallel nebeneinander Schiene eine Entfernung der Magnete voneinander bewirken.

Faraday denkt sich nun, daß die Kraftlinien, ähnlich dem Vergleich herangezogenen Schiene, Sitz einer Lang- und einer Querspannung sind, die Spannung der an den angelegten Kraftlinien soll die ungleichnamigen Pole einen Querdruk die gleichnamigen Pole voneinander entfernen; alle diese beiden betonen Kräfte im magnetischen Felde sind der Spannungen und Drücke der Kraftlinien sein.

Was diese Anschauung zunächst wertvoll macht, ist Anschaulichkeit. Die Kraftlinien lassen sich ja durch einen Versuch (s. 10) ohne große Mühe sichtbar machen, und dann

§ 30. Größe der Farad

daß durch die Annahme einer ganz andern als in den vorigen Paragraphen eingeführten Feldstärken andererseits in den Werten für die beobachtbaren Kräfte eine Änderung eintreten wird, und soll für die Leser, die tiefer in die Materie eintreten wollen, § 32 besonders geführt werden.

geeignet ausgewählte Spezialfälle zu betrachten.

Zunächst läßt sich allgemein zeigen, daß auch die Drucke den Quadraten der Feldstärken proportional sein müssen:

Sei ein beliebiges System von Magneten gegeben, zwischen zwei magnetischen Mengen m_1 und m_2 . Wenn man sich nun allgemein denkt, so werden dadurch die Potentiale V und V' vergrößert. Es wachsen also alle Kräfte auf n -fache, die Feldstärken H dagegen sind nur auf n -fache, die Potentiale V und V' auf n^2 -fache. Denen der einzelnen Magnete addiert, so erhält man den trischen Verlauf der Krafttröhren und die Potentiale überall die n -fache geworden ist, die Feldstärken überall die gleiche Richtung behalten. Es wachsen somit die Spannungen und die Potentiale, wenn die Feldstärken auf das n -fache vergrößert werden.

Bezeichnen wir die Zugspannung Z und demnach

$$Z = k \cdot H^2$$

wobei k und k' zwei noch unbestimmte Konstanten sind.

DE

auch:

$$d =$$

Ferner ist

$$y = b \tan$$

somit:

$$q = 2 \pi y d =$$

Für die Spannung pro Quad
 $Z = k H^2$; somit ist die gesamte S

Zq

oder, da nach Gleichung (3) $H =$

Zq

Die Gesamtkraft, die auf der g
 also, wenn wir sämtliche Werte vor

$$K = \Sigma(Zq) = k$$

Die Summe besteht aus $4 \pi m$
 wenn wir von der äußersten Röhre

$$1/4 \pi m, 2/4 \pi$$

Nehmen wir den gemeinsamen
 demnach:

$$K = \frac{2 k m}{b^2 (4 \pi m)^3} \cdot [1^3 +$$

Der Wert der Summe ist bekannt

und

$$K = m^2 A b^2$$

somit:

$$k' =$$

oder

$$D$$

B. Der senkrecht zu den L ist also ebenso groß wie die p
spannung.

§ 31. Faradaysche Spann
homogenes Feld gebrachten Pol.
dayschen Anschauung in diesem Par
tigen Beispiele zeigen.

Unter „Richtigkeit“ ist hi
rischen Ergebnisse mit den
genommenen Spannungen wirklich
diesem Sinne ist also auch die
man sich auf die bloßen mechan
samt bewegten magnetischen Kör
kungen schnell veränderlicher
Kapitel „Elektrische Schwingun
„falsch“, während die Farad
bleibt; das Anwendungsgebiet d

Schon oben im § 20 wurde
Feldes, in dem die Kraftlinien p
solches Feld nannten wir homoge
nicht nur die Richtung der Kraft,
selbe, da wegen der Parallelität
Krafttröhre, und damit auch die d
Feldstärke konstant bleiben muß.

§ 31.

§ 31.

Pol im homogenen Felde.

(21)

(22)

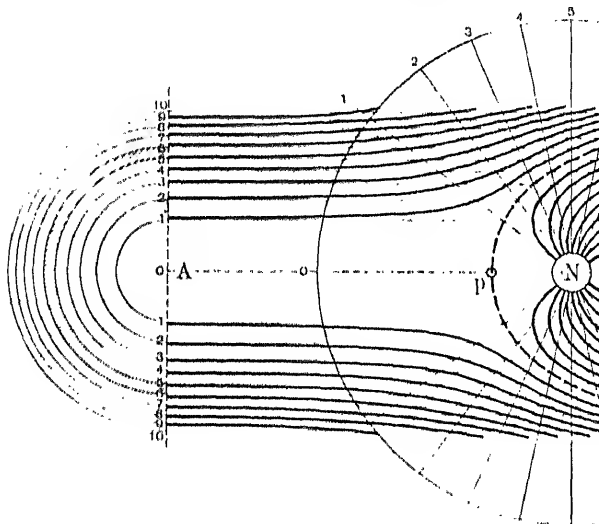
(23)

Ist H_0 die Feldstärke, so muß der Querschnitt solchen Zylinderflächen eingeschlossenen Raumes (wie der Figur zur Hälfte durch Schraffierung hervorgehoben) Es muß also von einem Kreise zum nächsten die Ges um $1/H_0$ wachsen. Demnach ist für den n ten Ring:

$$r_n^2 = n/\pi H_0 \quad \text{und} \quad r_n = \sqrt{n/\pi}$$

In der Figur hat der erste Ring 1 cm Radius ¹⁾, es genommen. Die folgenden Ringe haben die Halbmess Die Längsschnitte der Krafttröhren in der Zeichnungse Linien begrenzt, die im Abstände r_1, r_2, r_3 usw. von o

Fig. 62.



Auf einen Punkt der Achse dieses Feldes bring

in der Nähe des Poles aus und l
wieder einander parallel; an ihre un
röhren getreten, die von dem Pole a
und den zur Seite geschobenen alt
Durchschnitt mit der Zeichnungscheit
ist. Man sieht sofort, daß die Sp
Röhren, die ja alle nach rechts um
und daß diese Wirkung durch de
gebogenen Kraftlinien des ursprüngl

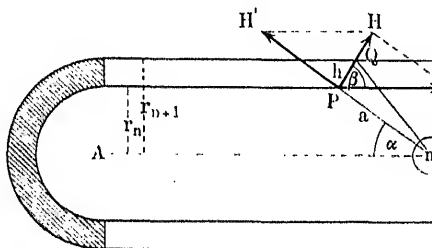


Zur Berechnung des Querdruckes betrachten einzelne Röhre des Feldes H_0 zwischen den Radien r_n Gleichung (1):

$$r_n^2 = n/\pi H_0 \quad . \quad .$$

Die gestrichelte Kurve der Fig. 62, von der PQ Stück darstellt, verbindet die Schnittpunkte derjenigen

Fig. 64.



genen Feldes und des Polfeldes, die gleiche Ordnung man P^m mit m verbindet, so ist demnach der Kosinus zwischen P^m und der Achse des Feldes:

$$\cos \alpha = 1 - n/2 \pi m \quad . \quad .$$

Ist $P^m = a$, also $H' = m/a^2$ das vom Pole hervorgehende resultierende Feld, so ist:

$$H^2 = H_0^2 + H'^2 - 2 H_0 H' \cos \alpha$$

Ferner ist:

$$1/a^2 = \sin^2 \alpha / r_n^2 = (1 - \cos^2 \alpha) \pi$$

Somit wird, wenn man für $\cos \alpha$ seinen Wert aus

$$H' = m/a^2 = H (1 - n/4 \pi m$$

Nun ist, wenn $4\pi m$ eine sehr große Zahl:

$$\Sigma n = 1 + 2 + 3 + \dots + (4\pi m) = \frac{(4\pi m)^2}{2}$$

$$\Sigma n^2 = 1^2 + 2^2 + 3^2 + \dots + (4\pi m)^2 = \frac{(4\pi m)^3}{3}$$

In Gleichung (8) eingesetzt, gibt dies:

$$K_D = \frac{H_0}{8\pi} [8\pi m - 4\pi m] = \frac{mH_0}{2} \dots (9)$$

Die gesamte auf den Pol wirkende Kraft beträgt somit:

$$K = K_Z + K_D = \frac{mH_0}{2} + \frac{mH_0}{2} = mH_0 \dots (10)$$

Wir sind also tatsächlich in Übereinstimmung mit unserer früheren Felddefinition, daß die Kraft auf einen in ein Feld H_0 eingeführten Pol m gleich mH_0 sei.

§ 21). Beweis für das Gleichgewicht eines beliebigen Kraftföhrensystems unter dem Einflusse der Faraday-Maxwell'schen Spannungen. Es sei ein beliebig im Raum verlaufendes System von Kraftföhren gegeben, von dem wir weiter nichts voraussetzen, als daß es überall quellen- und wirbelfrei sei. Die mathematische Vermuthung hierfür ist in den Gleichungen (11) und (12), § 20, gegeben. Ist $d_x(H_y)$ die Änderung, die die y -Komponente des Feldes beim Fortschreiten um 1 cm in der x -Richtung erföhrt, und werden für die Änderungen der anderen Komponenten und in den anderen Fortschrittsrichtungen entsprechende Bezeichnungen gewählt, dann gilt:

$$d_x(H_x) + d_y(H_y) + d_z(H_z) = 0 \text{ [Gl. (11) des § 20]} \dots (1)$$

$$\left. \begin{aligned} d_y(H_x) - d_x(H_y) &= 0 \\ d_z(H_x) - d_x(H_z) &= 0 \\ d_x(H_y) - d_y(H_x) &= 0 \end{aligned} \right\} \text{ [Gl. (12) des § 20]} \dots (2)$$

Es soll bewiesen werden, daß ein un beliebig großer Theil aus dem Raume herausgeschnittener Würfel unter dem Einflusse der an ihm angreifenden Faraday-Maxwell'schen Spannungen im Gleichgewichte ist; wenn dies bewiesen ist, dann folgt auch das Gleichgewicht für das ganze Kraftföhrensystem, das man sich ja durch geeignete Schnitte in würfelförmige Theile zerlegt denken kann.

Für diese Spannungen hatten wir an speziellen Beispielen gefunden, daß sie bestehen:

- a) Aus einer Zugspannung Z längs der Kraftföhren,
- b) Aus einer Druckspannung D quer zu den Kraftföhren

und daß:

$$Z = D = \frac{H^2}{8\pi} \text{ (s. § 20)} \dots (3)$$

Der Würfel habe eine Seitenlänge von 1 cm (Fig. 65).

Es mögen die Kraftföhren an der zunächst allein betrachteten Föhre (1) des Würfels unter einem Winkel α eintreten. Ist $\alpha = 0$, so kommt nur die Zugspannung, ist $\alpha = 90^\circ$, so kommt nur die Druckspannung, bei beliebigem Winkel kommen also beide zur Wirkung. Es ist zunächst die Abdrückkraft der Gesamt-kraft auf die Föhre von α zu bestimmen.

¹⁾ Dieser Paragraph kann beim Studium zunächst ausgelassen werden.

von einem Punkte A der Würfelfläche ziehe man eine beliebige sehr kleine Kugel AM in Richtung von H , und ziehe von M aus zwei weitere sehr kleine Kugeln MB und MC , die senkrecht aufeinander und auf AM senkrecht stehen. Dann bildet $MABC$ ein kleines Tetraeder mit der Grundfläche $ABC \approx f$ und den Seitenflächen $MBC \approx f_1$, $MAC \approx f_2$, $MAB \approx f_3$. Alle drei Flächen stehen in M senkrecht zueinander.

Dann muß auch dieses Tetraeder unter dem Einfluß der Spannungen im Gleichgewicht sein; die Spannungen auf f_1 , f_2 und f_3 können wir annehmen, da $f_1 \perp H$ und f_2 und $f_3 \perp H$ gelten, und wir wegen der Kleinheit des Tetraeders annehmen vier Flächen H als gleich und gleichgerichtet annehmen können.

Dies senkrecht auf f_1 , also AM senkrecht mit der x -Richtung, d. h. mit einer Senkrechten auf f den Winkel α ein. Dann ist auch der Kantenwinkel zwischen f_1 und f an der Kante BC gleich α . Somit:

$$\left. \begin{aligned} f_1 &:= f \cos \alpha \text{ und ähnlich} \\ f_2 &:= f \cos \beta \\ f_3 &:= f \cos \gamma \end{aligned} \right\} \dots \dots \dots (4)$$

$$\left. \begin{aligned} \text{An } f_1 \text{ greift eine Zugkraft an: } K_1 &:= \frac{H_x}{\kappa \Delta} f_1 := \frac{H_x}{\kappa \Delta} f \cos \alpha \text{ in Richtung } AM \\ \text{An } f_2 \text{ greift eine Druckkraft an: } K_2 &:= -\frac{H_y}{\kappa \Delta} f_2 := -\frac{H_y}{\kappa \Delta} f \cos \beta \text{ in Richtung } MB \\ \text{An } f_3 \text{ greift eine Druckkraft an: } K_3 &:= -\frac{H_z}{\kappa \Delta} f_3 := -\frac{H_z}{\kappa \Delta} f \cos \gamma \text{ in Richtung } MC \end{aligned} \right\} \dots \dots \dots (5)$$

Addieren wir die x -Komponenten dieser drei Kräfte, so müssen sie gleich der negativ genommenen x -Komponente der an f angreifenden Kraft sein, die wir mit $X(f)$ bezeichnen wollen, wo $X(f)$ die x -Komponente der gesamten an der Fläche (f) angreifenden Kraft bedeutet.

Wir erhalten die x -Komponenten von K_1 , K_2 , K_3 durch Multiplikation mit $\cos \alpha$, $-\cos \beta$, $-\cos \gamma$, so daß:

$$-X(f) f = \frac{H_x}{\kappa \Delta} f [\cos^2 \alpha + \cos^2 \beta + \cos^2 \gamma] \dots \dots \dots (6)$$

Nun ist $H^2 \cos^2 \alpha + H^2 \cos^2 \beta + H^2 \cos^2 \gamma = H_x^2$ und $H^2 \cos^2 \alpha + H^2 \cos^2 \beta + H^2 \cos^2 \gamma = H_x^2$, also:

$$X(f) := -\frac{1}{\kappa \Delta} [H_x^2 - H_y^2 - H_z^2] \dots \dots \dots (7)$$

Die y -Komponente der an (f) angreifenden Kräfte wird:

$$\begin{aligned} Y(f) \cdot f &= K_1 \cos(\angle M_1, y) + K_2 \cos(\angle M_2, y) + K_3 \cos(\angle M_3, y) \\ &= K_1 \cos(\angle M_1, y) - K_2 \cos(\angle M_2, y) - K_3 \cos(\angle M_3, y) \\ &:= \frac{H_y}{\kappa \Delta} f [\cos \alpha \cos(\angle M_1, y) - \cos \beta \cos(\angle M_2, y) - \cos \gamma \cos(\angle M_3, y)], \end{aligned}$$

da nun $\cos \alpha = \cos(\angle M_1, x)$, $\cos \beta = \cos(\angle M_2, x)$, $\cos \gamma = \cos(\angle M_3, x)$ und $\angle M_1 \perp \angle M_2 \perp \angle M_3$ ist, so ist nach einem bekannten Satz der analytischen Geometrie:

$$\cos(\angle M_1, x) \cos(\angle M_1, y) + \cos(\angle M_2, x) \cos(\angle M_2, y) + \cos(\angle M_3, x) \cos(\angle M_3, y) = \cos(x, y) = 0$$

oder:

$$-\cos \beta \cdot \cos(\angle M_2, y) - \cos \gamma \cdot \cos(\angle M_3, y) + \cos \alpha \cdot \cos(\angle M_1, y) = \cos(H, x) \cdot \cos(H, y),$$

somit:

$$Y_{(1)} = -\frac{1}{8\pi} H_x H_y \quad (8)$$

ähnlich erhält man

$$Z_{(1)} = -\frac{1}{8\pi} H_x H_z \quad (9)$$

Bezeichnet man ferner von den anderen Flächenparametern des Würfels mit:

$$(2) \text{ und } (2') \text{ die Flächen i. y}$$

$$(3) \text{ " } (3') \text{ " " " " " i. z}$$

so wird ähnlich:

$$X_{(2)} = X_{(1)} = -\frac{1}{8\pi} H_x H_y \quad (10)$$

$$X_{(3)} = X_{(1)} = -\frac{1}{8\pi} H_x H_z \quad (11)$$

$$X'_{(3)} = Z_{(2)} = -\frac{1}{8\pi} H_y H_z \quad (12)$$

$$Y_{(2)} = -\frac{1}{8\pi} [H_y^2 - H_x^2 - H_z^2] \quad (13)$$

$$Z_{(2)} = -\frac{1}{8\pi} [H_x^2 - H_y^2 - H_z^2] \quad (14)$$

Im Gleichgewichtszustande müssen nun sämtliche X bzw. Y bzw. Z zusammen 0 ergeben. Wäre das Feld homogen, so würden an der Fläche (1) alle Komponenten von H denselben an (1) gleich sein, und die Fläche dort nach der entgegengesetzten Richtung gewendet, so würde $X_{(1)} = -X_{(2)}$; die würden sich also aufheben. Bei veränderlichem Felde bleibt eine Differenz übrig, weil $X_{(1)}$ von $-X_{(2)}$ etwas verschieden. Wir setzen¹⁾:

$$X_{(1)} = -[X_{(2)} + \delta_x X_{(1)}]$$

also:

$$X_{(1)} + X_{(2)} = -\delta_x X_{(1)}$$

ebenso:

$$X_{(2)} + X_{(3)} = -\delta_y X_{(2)}$$

und

$$X_{(3)} + X_{(2')} = -\delta_z X_{(3)}$$

so daß die Gleichgewichtsbedingung lautet:

$$-\{\delta_x X_{(1)} + \delta_y X_{(2)} + \delta_z X_{(3)}\} = 0 \quad (15)$$

sowie zwei entsprechende Gleichungen für Y und Z .

Nun ist nach Gleichung (7):

$$-\delta_x X_{(1)} = \frac{1}{8\pi} [\delta_x H_x^2 - \delta_x H_y^2 - \delta_x H_z^2]$$

und

$$\delta_x H_x^2 = (H_x + \delta_x H_x)^2 - H_x^2 = 2 H_x \cdot \delta_x H_x$$

wenn man $(\delta_x H_x)^2$ als unendlich klein höherer Ordnung vernachlässigt. Ähnliches wird für die beiden anderen Glieder erhalten, und es wird:

$$-\delta_x X_{(1)} = \frac{2}{8\pi} [H_x \cdot \delta_x H_x - H_y \cdot \delta_x H_y - H_z \cdot \delta_x H_z] \quad (16)$$

Es ist ferner:

$$-\delta_y X_{(2)} = \frac{2}{8\pi} \delta_y (H_x H_y) = \frac{1}{4\pi} [(H_x + \delta_y H_x) (H_y + \delta_y H_y) - H_x H_y]$$

oder unter Vernachlässigung von $\delta_y H_x \cdot \delta_y H_y$

$$-\delta_y X_{(2)} = \frac{2}{8\pi} [H_x \cdot \delta_y H_y + H_y \cdot \delta_y H_x] \quad (17)$$

¹⁾ Im Folgenden bedeutet wieder das Zeichen δ_x vor einer Größe die Änderung dieser Größe beim Fortschreiten um 1 cm in der x -Richtung. Mit der Differentialrechnung vertraute Leser mögen statt dessen $\partial/\partial x$ schreiben.

$$\text{ebenso} \quad -\partial_x X_{11} = -\frac{2}{\kappa_0} \{ H_x \partial_x H_x + H_z \partial_x H_z \} \dots \dots \dots (18)$$

Addition von Gleichung (15) bis (17) ergibt:

$$-\{ \partial_x X_{11} + \partial_y X_{12} + \partial_z X_{13} \} = -\frac{1}{4\pi} \{ H_x \{ \partial_x H_x + \partial_y H_y + \partial_z H_z \} \\ + H_y \{ \partial_y H_x + \partial_x H_y \} + H_z \{ \partial_z H_x + \partial_x H_z \} \} \quad (19)$$

Nach den Gleichungen (1) und (2) sind aber alle in eckige Klammern eingeschlossenen Größen gleich Null, somit ist Gleichung (15) erfüllt.

Ein Krafttrichensystem, das quellen- und wirbelfrei verteilt ist, ist also tatsächlich unter dem Einflusse der Faraday-Maxwell'schen Spannungen im mechanischen Gleichgewicht.

Nehmen wir jetzt an, der Würfel enthalte freien Magnetismus von der Dichte ϱ , d. h. es gehen von ihm, wenn er etwa Nordmagnetismus enthält, $4\pi\varrho$ aufstrahlende Linien aus.

Die linke Seite der Gleichung (19) stellt die gesamte nach X gerichtete Kraft auf den Würfel dar; da nun nach Gl. (11') in § 28:

$$\frac{1}{4\pi} \{ \partial_x H_x + \partial_y H_y + \partial_z H_z \} = \varrho,$$

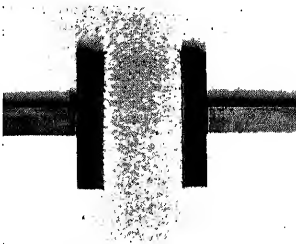
wird die X -Komponente der Kraft auf den Würfel:

$$K_x = H_x \cdot Q \dots \dots \dots (20)$$

Wir erhalten also den früher als Bedingungsbeziehung für H bzw. ϱ bezeichneten Wert für die Kraft auf eine Magnetismenmenge.

§ 33. Erzeugung eines homogenen Feldes. Für Versuche zur experimentellen Darstellung des Kraftlinienverlaufes durch Eisenpulver bei der

Fig. 6a.



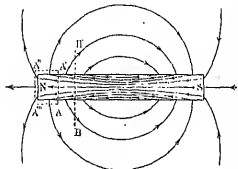
Umformung eines ursprünglich homogenen Feldes durch eingebrachte Magnetisierendes Eisenstück ist das Eisendraht nicht zu gebrauchen, weil seine Stärke zu gering ist. Ein genau homogenes Feld erhält man im Inneren einer vom elektrischen Strome durchflossenen länglichen Drahtspule (s. Kap. „Elektromagnetismus“). Für qualitative Versuche ausreichend genau ist folgende

Methode: Man lege quer vor die einander zugekehrten Induktionsmagneten ein zweier kräftiger Stabmagnete (Fig. 66) zwei „Polscheuk“ aus weichem Eisen, z. B. die bei der Aufbewahrungsart nach Fig. 8 veranordneten Anker. Bei geeigneter Wahl des Abstandes erhält man zwischen den Ankern ein nahezu homogenes Feld.

Die im folgenden abzuhleitenden Gesetze über die Beeinflussung des homogenen Feldes durch eingebrachte Körper setzen stets voraus, daß in einiger Entfernung von den betreffenden Körpern der Feldverlauf ungestört geblieben sei. Will man also die Resultate praktisch prüfen, so achte man darauf, daß die betreffenden Stäbe, Scheiben, Ringe usw. aus weichen Eisen klein gegen den Abstand der das Feld begrenzenden Anker sein müssen. Das Feilschnittbild Fig. 63 und auch die folgenden sind in einem derart erzeugten homogenen Felde erhalten.

§ 34. Induktionsröhren in permanenten Magneten. *NS* in Fig. 67 stelle einen Stabmagneten dar. Wir denken uns bei AA' den Magneten durchgeschnitten; dann ist das links von der Schnittfläche befindliche Stück,

Fig. 67.



wie früher gezeigt, ein vollständiger Magnet. In der alten Theorie bedeutet das, daß die Summe des freien Magnetismus in dem abgetrennten Stücke gleich Null, wie experimentell aus dem Fehlen einer verschobenen Kraft im Erdfelde festgestellt wurde. In der Faradayschen Ausdrucksweise sagen wir, daß in dem abgeschnittenen Stück ebensoviel Kraftlinien ein-, wie ausströmen. Daß beide Aussagen identisch sind, folgt ohne weiteres aus dem

Gauss'schen Satze (§ 28), wenn wir diesen auf eine recht um das abgeschnittene Stück herumgelegte Fläche $AA'A''A$ anwenden. Dann muß, wenn die Summe des in dieser Fläche eingeschlossenen Magnetismus Null ist, auch die algebraische Summe der eintretenden Kraftlinien Null sein, d. h. es müssen ebensoviel ein- wie ausströmen. Da aber an der ursprünglichen Oberflache nur austretende Röhren vorhanden, so können an der Schnittfläche nur eintretende vorhanden sein, und zwar genau so viel, wie aus der Oberflache austreten. Verschieben wir die Schnittfläche nach der Mitte hin, etwa bis BB' , so vervielfacht sich die Zahl der durch sie tretenden Röhren um die Zahl der zwischen AA' und BB' aus der Oberflache austretenden.

Wir gelangen zu der denkbar einfachsten Vorstellung dieses Verhaltens, wenn wir die durch eine irgendwo gelegene Schnittfläche tretenden Röhren auch schon vor Ausführung des Schnittes als vorhanden betrachten, und zwar so, daß sie die kontinuierliche Fortsetzung der im Außenraume verlaufenden Kraftlinien bilden.

Die Kraftlinien des Außenraumes bilden also zusammen mit ihren gedachten Ergänzungen im Innenraume des permanenten Magneten ein System in sich zurücklaufender geschlossener Röhren. Man bezeichnet

esse im Inneren des Stagneten verlaufenden Röhren als „Induktionsröhren“. Wie groß die zu einer bestimmten Dichte der Induktionsröhren gehörige mechanische Kraft auf einen im Inneren des Eisens beweglich gehaltenen Einheitspol ist, soll in § 38 gezeigt werden.

Die Annahme der das Innere des Magneten durchsetzenden Induktionsröhren gibt eine unmittelbar anschauliche Darstellung des magnetischen Zustandes im Inneren des Körpers; ist H die Dichte der Induktionsröhren an irgend einer Stelle, oder wie man kurz sagt, die „Induktion“, so besagt dies einfach, daß ein sehr kurzer Teilmagnet von 1 cm^2 Querschnitt, den man dem gegebenen Magneten an der betrachteten Stelle ohne Änderung des magnetischen Zustandes herausgeschnitten denkt, aus seiner einen Endfläche H Kraftlinien pro Quadratenheit in die Luft austraten, in die andere ebensoviele eintreten läßt.

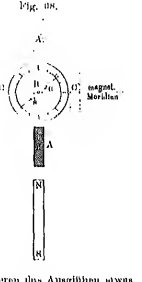
§ 35. Die magnetische Influenz im Innern der Kraftlinienvorstellung.

Wir machen zunächst folgenden Versuch (Fig. 68). Eine mit einem Teilmagnet versehenen Probenadel H (Faschenmaß) sei in erster Hauptlage (s. § 22) zu einem kräftigen Magneten SN in solcher Entfernung aufgestellt, daß die Nadel etwa um 45° aus dem magnetischen Meridian abgelenkt wird. Bringen wir jetzt ein Eisenstück ausgeglüheter Eisenröhre (das Ausglühen soll etwaige Reste von permanenten Induktionismus in den Enden zerstören) zwischen Nadel und Stab (Stellung A in der Figur), so nimmt die Ablenkung der Nadel ab; dasselbe findet statt, wenn auch in etwas schwächerem Maße, wenn wir das Eisenstück in die Stellung A' bringen. Bringen wir das Eisenstück dagegen in die Stellung C oder C' , so beobachten wir eine Abnahme der Ablenkung.

Der Versuch würde auch mit einem massiven Eisenstück, statt des Drahtbündels, gelingen, nur ist bei Anwendung des ersteren das Ausglühen etwas umständlicher.

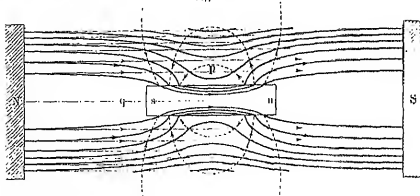
Daten eines ausgeführten Versuches: Länge des Magnetenstabes 40 cm, Abstand der Stabmitte von der Probenadel 80 cm, Länge der Probenadel 2 cm, das Eisenstück bestand aus etwa 100 Drähten von 1 mm Durchmesser und 10 cm Länge, Durchmesser des Teilkreises 10 cm, also kürzester Abstand des Eisens von der Nadelmitte 5 cm, Anfangliche Ablenkung 45° , Die Änderung der Ablenkung in Stellung A betrug -10° , in Stellung C dagegen $-5,5^\circ$. Nähert man das Eisenstück der Nadel von oben her (bei B), so erhält man zuerst eine Ablenkungsvermehrung wie in C , dann aber, wenn man sich dicht über der Nadel befindet, eine starke Vermehrung; diese Kopulation führt, wie leicht zu sehen, von einer Influenzwirkung der Nadel auf das Eisenstück her.

Der Versuch zeigt also, daß ein Eisenstück oder ein Eisenstab, mit seiner Längsrichtung parallel den Kraftlinien eines magnetischen Feldes gelegt, das Feld in der Verlängerung seiner Achse verstärkt, seitlich dagegen



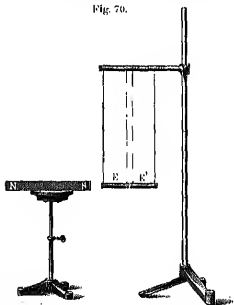
vormindert. Verfolgt man die Einwirkung des Eisens auf das Feld genauer, so erhält man schließlich für den Kraftlinienverlauf eines ursprünglich homogenen Feldes ein Bild, wie es Fig. 69 darstellt. Die dann ausgezogenen Geraden stellen das ursprünglich homogene Feld dar, das etwa von zwei einander gegenüberliegenden Polschalen N und S ausgeht (vgl. § 33); die dick

Fig. 69.



ausgezogenen Kurven zeigen den durch das Einbringen des Eisens veränderten Feldverlauf. Die Bedeutung der gestrichelten Kurven wird im folgenden Paragraphen erklärt werden. Die Kraftlinien des ursprünglich homogenen Feldes haben sich nach

Fig. 70.



dem Eisen hin zusammengezogen; in der Verlängerung der Stabachse, bei q , sind sie dichter, das heißt das Feld ist stärker geworden, seitlich bei p ist ihre Dichte geringer, das Feld also schwächer geworden.

Ein entsprechendes Feldspaltenbild zeigt Fig. 77 a, auf S. 90.

Wir wollen nunmehr den Verlauf des Feldes im Inneren des Eisens betrachten. Zwei Eisenstäbe E und E' (Fig. 70) seien an je zwei Enden hintereinander in etwa 2 mm Abstand aufgelegt. Näher

wir ihnen in Richtung ihrer verlängerten Achse einen kräftigen Magneten, so ziehen sie sich an und gelangen schließlich zur Berührung. Wenn wir uns nun den induzierten Eisenstab in Fig. 69 an irgend einer Stelle durchgeschnitten denken, so müssen wir dasselbe Anziehungsphänomen zwischen seinen beiden

den erwarten. Wir haben also anzunehmen, daß in dem engen Schnitt ein Feld existiert, dessen Kraftlinien von der einen Endfläche zur anderen verlaufen und durch ihre Längespannung eine Annäherung der beiden Enden herbeizuführen suchen¹⁾. Durch eine genügend kleine, in den Spalt eingebrachte Magnetspule können wir dieses Feld tatsächlich nachweisen. liegt nun nahe, sich dieses Feld auch im Inneren des Hohlzylinderrohrs vorstellen, sozusagen bereits existierend zu denken, genau wie wir es früher im Falle der permanenten Magneten taten. Dann ist es aber am einfachsten, wenn wir die Röhren im Inneren als die Fortsetzung der an der Oberfläche endenden Kraftlinien des äußeren Feldes ansehen. Wir denken uns also zunächst durch Ausprobieren innerhalb des ganzen Eisenstückes überall die Richtung bestimmt, in der wir einen Schnitt führen müssen, damit das Feld aus dem entstehenden Spalte senkrecht zur Schnittfläche verläuft, und dann die Richtung dieses Feldes markiert. Dann ziehen wir Röhren durch das Eisen, deren Richtung überall mit dieser Feldrichtung übereinstimmt, und durch deren Schnitt wir so wählen, daß die Endfläche einer Röhre an der Oberfläche des Eisens mit der Endfläche einer Kraftlinie im Außenraum übereinstimmt.

Die so bestimmten Röhren bezeichnen wir wieder als „Induktionslinien“. In Fig. 68 sind sie bereits eingezeichnet.

Bei dieser Darstellungswise finden aber die Röhren des äußeren Feldes ihren Anfang am Eisenstück nicht mehr ihr Ende, sondern laufen durch das Eisen hindurch weiter, um an der anderen Seite wieder auszutreten. Allerdings haben sie im Eisen nicht mehr die Bedeutung, daß ihre Dichte ein Maß der Intensität der magnetischen Kraft ist. Die magnetische Kraft, d. h. die mechanische Kraft auf einen im Eisen beweglich gehaltenen Einheitspol, ist hier nicht mehr nach der Dichte der Induktionslinien proportional, aber der Proportionalitätsfaktor ist nicht mehr gleich 1 (s. § 38).

Betrachten wir nun in Fig. 68 das Bild der in das Eisen hineingezogenen Kraft- bzw. Induktionslinien, so gewinnen wir eine unmittelbare anschauliche Vorstellung des ganzen Vorganges, wenn wir mit Faraday sagen: „Das Eisen hat eine größere Durchlässigkeit für den magnetischen Kraftfluß als die Luft.“

In dieser Ausdrucksweise liegt keinerlei Hypothese enthalten, es ist bloß gesagt, als was wir direkt beobachten können.

Der Vorgang ist ganz analog der Strömung einer Flüssigkeit in einem Röhren, der der Strömung an verschiedenen Stellen verschiedenen starken Gefälle Widerstand entgegengesetzt. Denken wir uns das homogene Feld durch einen Kanal ersetzt, der mit Schiffl durchwachen ist²⁾, und an Stelle des Eisenstückes eine von Schiff befreite Stelle, so wird das Wasser von den Seiten her nach dieser Stelle hin zusammenströmen; die Strömungslinien nehmen dann genau dieselbe Form an, wie die Kraft- und Induktionslinien der Fig. 68. Ganz ähnliche Gesetze gelten auch für die Wärmeleitung, wenn in einem schlecht leitenden Körper, etwa Holz, ein besser leitender, z. B. ein Metallstab, eingebettet ist.

Durch diese Analogie darf man sich natürlich nicht verleiten lassen, in den Kraftlinien wirklich etwas Strömendes anzunehmen. Die Analogie ist

¹⁾ Im Sinne der Fernwirkungstheorie sind es die ungleichen, in der einen Endfläche konzentrierten Pole, die sich gegenseitig anziehen; vgl. § 3, Fig. 5.

²⁾ Der Vergleich führt von Lenz her. Man berücksichtige auch die Bemerkung auf S. 64 über die Vorstellungen L. Eulers.

eine rein formelle; sie hat aber für uns den Nutzen, daß wir den Verlauf der magnetischen Kraft in einem durch Eisenwesen gestörten Felde auch dann finden können, wenn die komplizierte Gestalt der Eisenwesen eine Herleitung nicht zuläßt. Wir können dann rein nach dem Gefühl durch Vergleich mit der unserer sinnlichen Vorstellung viel gehaltreicheren Anschauung einer strömenden Flüssigkeit den ungefähren Verlauf der magnetischen Kraftlinien angeben.

Von dieser gefühlsmäßigen Darstellung des Kraftlinienverlaufes wird ausnehmend in der Elektrotechnik, z.B. bei dem Bau von Dynamomachinen, häufig Gebrauch gemacht.

§ 36. **Scheinharter Magnetismus.** Wir können uns jetzt folgende Frage vorlegen: Wie müßte ein Magnetstab magnetisiert sein, wenn er, bei gleicher Gestalt wie das eingebrachte Eisenstück, mit dem homogenen Felde zusammen ein resultierendes Feld erzeugen soll, das mit dem vom Eisen deformierten Felde übereinstimmt? Die gestrichelten Kurven in Fig. 69 stellen den Verlauf der Kraftlinien eines solchen Magneten dar. Bildet man aus ihnen und den Röhren des homogenen Feldes die resultierenden, so erhält man die Röhren des deformierten Feldes. (Die Kraftlinien des magnetisierten Magneten sind offenbar so zu ziehen, daß die Magnetnadeln in den von ihnen und den undeformierten Kraftlinien des Feldes gebildeten Vierecken die Kraftlinien des wirklichen Feldes bilden.)

Wir könnten uns also auch vorstellen, daß das Eisenstück, solange es sich im Felde befindet, tatsächlich ein Magnet ist, dessen Pol s und n die in der Figur ungedeutete Lage haben; das deformierte Feld entsteht dann durch Überlagerung des ursprünglichen Feldes mit dem des influenzierten Magneten. Das ist aber die Vorstellungsweise der alten (Fernwirkungs-) Theorie, deren wir uns ja Anfangs (§ 3) auch bedient haben. Wir können diese bloß gelauchten Magnetisierungen als „scheinbaren“ Magnetismus bezeichnen.

Man sieht auch hier, daß man in völlig konsequenter Weise die beobachteten Erscheinungen mittels beider Theorien deuten kann. Man sieht aber auch gerade an diesem Beispiel die größere begriffliche Einfachheit der Faradayschen Ausdrucksweise, die bloß mit den direkt zahlenmäßig meßbaren Größen, nämlich den Feldstärken bzw. den die Feldstärken sinnlich repräsentierenden Kraftlinien operiert, wogegen die Fernwirkungstheorie uns nötigt, erst eine bestimmte Verteilung von magnetischen Polen oder Magnetismusemengen zu konstruieren, aus denen wir dann erst durch Rechnung oder Konstruktion die allein beobachteten Feldstärken finden können.

§ 37. **Magnetische Permeabilität.** Untersucht man mittels der Foltspannmethode die etwaige Änderung, die ein magnetisches Feld durch Einbringung verschiedenartiger Körper erleidet, so findet man eine merkliche Änderung nur bei den drei Metallen Eisen, Nickel, Kobalt und bei gewissen Manganlegierungen¹⁾.

Bei allen anderen Körpern ist eine Beeinflussung, wenn überhaupt, nur durch bedeutend empfindlichere Methoden nachzuweisen; da die hierzu nötigen großen Feldstärken nur durch Elektromagnete erzeugt werden

¹⁾ Fr. Heuser, Verh. d. Deutsch. phys. Ges. 5, 210 u. 220 (1903). Siehe auch Faraday, Experim. Unters. 21, 2372; Ostwalds Klassiker Nr. 140.

... so sollen auch die betreffenden Erscheinungen erst im Kap. „Elektromagnetismus“ erörtert werden. Hier sei nur erwähnt, daß es sowohl Körper, die sich qualitativ wie die oben genannten Metalle verhalten, die also Kraftlinien zusammenziehen, und andere, die gerade umgekehrt die Kraftlinien auseinanderdrängen. Erstere nennt man „magnetisch“ oder „paramagnetisch“, letztere „diamagnetisch“.

Die letzte Bezeichnung stammt von Faraday¹⁾, der im Jahre 1845 den Magnetismus zuerst genauer untersuchte (siehe Kap. „Elektromagnetismus“²⁾). Die zu den paramagnetischen Substanzen gehörigen oben genannten alle, die sich durch besonders auffällige Stärke ihrer paramagnetischen Eigenschaft auszeichnen, nennt man nach dem Vorschlage von H. du Bois³⁾ „ferromagnetisch“ (ferrum = Eisen).

Im nachfolgenden soll, um nicht immer den etwas unbequemen Ausdruck „ferromagnetischer Körper“ gebrauchen zu müssen, einfach von „Eisen“ als Repräsentant der ganzen Gruppe gesprochen werden.

In ein homogenes Feld von der Stärke H wurde ein Eisenstab hineingebracht, dessen Länge uns später zu erörternden Gründen sehr groß gegen den Durchmesser sei. Dann entsteht eine Veränderung des Feldverlaufes, wir haben im Inneren des Stabes eine „Induktion“ vom Betrage H , die sich die Zahl der im Eisen verlaufenden Induktionserbhren, dividiert durch Querschnitt des Eisens, also durch die „Dichte“ der Induktionserbhren, messen wird.

Eine Möglichkeit externer-mittelter Messung von H ergibt sich aus folgender Betrachtung. Der Eisenstab sei in der Mitte durchschnitten und die Enden so bearbeitet, daß sie genau ohne merklichen Zwischenraum aneinanderpassen. Denken wir uns nun zunächst noch ohne äußere äußere Zwischenmagneten als vorhanden, dann herrscht in diesem, da die Kraftlinien die ununterbrochen Fortsetzungen der Induktionserbhren bilden, ein Feld $H' = H$. Die Spannung längs dieser Kraftlinien ist $H' \cdot g \cdot n = H \cdot g \cdot n$. Multiplizieren wir diesen Betrag mit dem Querschnitt q des Eisenstabes, so erhalten wir die gegenwärtige Anziehung der beiden Stahlhälften. Befestigen wir also die eine Stahlhälfte vertikal, bringen die andere innerhalb des vertikal verlaufenden Feldes H mit jener in Berührung und messen dann das Gewicht P im Vakuum, das gerade notwendig ist, die beiden Hälften voneinander zu trennen (unter Zurechnung des Eigengewichtes der beweglichen Stahlhälfte), so ist, wenn g die Schwerebeschleunigung:

$$P \cdot g = H' \cdot g \cdot n q$$

$$H = \sqrt{8 \pi \cdot 10^9 \cdot P / q}$$

Über die tatsächliche Ausführung dieser Methode zur Bestimmung von H s. Kap. „Elektromagnetismus“.

Das Verhältnis:

$$\mu = H/H'$$

ist dann ein Maß für die Magnetisierbarkeit des Stabes. Wir können also die paramagnetischen Körper als diejenigen definieren, für die μ größer als 1, die diamagnetischen als diejenigen, für die μ kleiner als 1. Für die

¹⁾ Expositio. Philosoph. 20, 214v; Göttinger Klassiker, Nr. 110.

²⁾ Entdecker des Diamagnetismus ist A. Brugmann, der im Jahre 1778 die Wirkung des Wisnits durch einen Magneten beobachtete. (Erwähnt in Pogg. II, 293.)

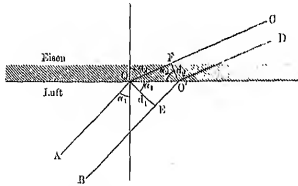
³⁾ Wied. Ann. 40, 486 (1892).

ferromagnetischen Körper ist μ eine sehr große Zahl, während für alle anderen die Differenz gegen 1 außerordentlich klein ist.

Nach dem Vorschlage Lord Kelvins bezeichnet man die Größe μ , die ja in der Faradayschen Vorstellung die „Durchlässigkeit für den magnetischen Kraftfluß“ mißt, als die „magnetische Permeabilität“ (*permeare* = hindurchwandern); (Faraday hatte den Namen „magnetische Leitfähigkeit“ vorgeschlagen, der sich jedoch nicht eingebürgert hat).

§ 38. Gesetze für den Verlauf der Induktionslinien. Wir betrachten eine Kraftrohre (Fig. 71) von der Breite $OE = d_1$ und der Dicke (senkrecht zur Zeichnungsebene) von 1 cm; ihr Durchschnitt mit der Zeichnungsebene werde von den beiden Kraftlinien AO und BO' begrenzt. Die Kraftrohre falle auf die Grenzfläche zwischen Luft und Eisen oder

Fig. 71.



einem anderen paramagnetischen Material unter einem „Einfallswinkel“ α_1 . Da d_1 gleich dem Querschnitt der Röhre in Quadratzentimetern ist, so ist:

$$d_1 = 1/H \quad (1)$$

Die Röhre findet ihre Fortsetzung in einer „Induktionsrohre“ im Eisen, die wir so zeichnen, daß sie die direkte Fortsetzung der einfallenden Kraftrohre bildet. Ist also α_2 der „Brechungswinkel“, unter dem die Induktionsrohre im Eisen verläuft, und dessen Wert wir noch zu berechnen haben, so ist die Größe der „Induktion“ im Eisen gegeben durch:

$$B = 1/d_2 \quad (2)$$

Nun ist aber:

$$d_2/d_1 = \cos \alpha_2 / \cos \alpha_1 \quad \text{oder} \quad d_2 = d_1 \cdot \cos \alpha_2 / \cos \alpha_1,$$

somit nach Gleichung (1) und (2):

$$B = H \cdot \cos \alpha_1 / \cos \alpha_2$$

oder

$$B \cdot \cos \alpha_2 = H \cdot \cos \alpha_1 \quad (3)$$

Die beiden Seiten der Gleichung (3) sind aber weiter nichts, als die senkrecht zur Grenzfläche gerichteten Komponenten B_n bzw. H_n . Die Gleichung (3) kann also auch so geschrieben werden:

$$B_n = H_n \quad (4)$$

A. Die zur Grenzfläche senkrechten Komponenten, die sogenannten „Normalkomponenten“, der Induktion im Eisen und Kraft in der Luft sind einander gleich.

Eine Beziehung für die parallel der Grenzfläche gerichteten Komponenten, die sogenannten „Tangentialkomponenten“, erhalten wir durch eine Verwendung des Gesetzes der Erhaltung der Energie.

Wir denken uns zu diesem Zwecke das Eisen in flüssigem Zustande.

Eine Eisenvitriollösung, die sich, wenn auch relativ schwach, so doch deutlich nachweisbar magnetisch verhält, würde eine experimentelle Realisierung der folgenden Betrachtung bei genügend feiner Messung zulassen; über das magnetische Verhalten von Eisenlösungen s. Kap. „Elektromagnetismus“. Wir nehmen an, daß die für ein flüssiges Medium gefundenen Resultate auch für feste Medien gültig sind. Über die durch den „romantischen“ Magnetismus bedingten Abweichungen siehe weiter unten § 30.

Es werde ein magnetischer Pol m , etwa das Ende einer sehr langen und einen magnetisierten Nadel, zuerst im Luftraum dicht an der Oberfläche des Eisens um 1 cm fortgeführt, dann in das Eisen eingetaucht und innerhalb des Eisens ebenfalls dicht an der Oberfläche um dieselbe Strecke zurückgeführt. Ist $H \sin \alpha_1$ die Tangentialkomponente der Kraft in Luft, so ist die geleistete Arbeit gleich $H \sin \alpha_1 \cdot m$.

Die Tangentialkomponente der Induktion ist $B \sin \alpha_2$. Die in Eisen geleistete Arbeit können wir erst angeben, wenn wir wissen, welche mechanische Kraft die Induktion B auf einen Pol m in einem Medium der Permeabilität μ ausübt. Das Energiegesetz verlangt aber jedenfalls, daß die gesamte Arbeit Null sein muß, wenn am Schlusse der Bewegung sich wieder in seiner Anfangsstellung befindet. Denn wäre ein Überschuß an Arbeit vorhanden, so wäre damit die Möglichkeit eines *perpetuum mobile* gegeben, da man ja nur dauernd den Pol in derselben geschlossenen Bahn herumzuführen brauchte, um ohne Ende Arbeit zu gewinnen. Wäre die geleistete Arbeit des geschlossenen Weges dagegen negativ, d. h. wäre bei der Rückführung gegen die Kraft im Eisen mehr Arbeit aufzuwenden, als beim Hinweg in Richtung der Kraft in Luft gewonnen ist, so brauchte man den Überschuß nur in umgekehrter Richtung vorzunehmen, um wieder Arbeit ohne Gegenleistung zu erhalten. Da beides dem Energiegesetz widerspricht, so setzen wir, daß die gesamte Arbeit Null oder daß die beim Rückweg aufgewandte gleich der beim Hinweg gewonnenen Arbeit ist.

Setzen wir somit für die einer Induktion B entsprechende „magnetische Heiligkeit“ H' , d. h. die Kraft auf einen an den betreffenden Punkt gebrachten Einheitspol: $H' = k \cdot B$, also die bei der Zurückführung aufgewandte Arbeit gleich $k \cdot B \sin \alpha_2 \cdot m$, wo k ein noch zu bestimmender Faktor, so muß sein:

$$H \sin \alpha_1 \cdot m = k \cdot B \sin \alpha_2 \cdot m \quad (4)$$

Den noch unbekannten Faktor k ermitteln wir aus einem Spezialfall. Sei das äußere Feld der Oberfläche parallel, also $\alpha_1 = 90^\circ$; dies ist z. B. der mittlere Teil eines sehr langen Eisenstabes der Fall, der parallel den ursprünglichen Kraftlinien eines homogenen Feldes liegt. Dann ist auch im Eisen $B \cos \alpha_2 = 0$ [nach Gl. (3)]; somit $\alpha_2 = 90^\circ$, und $\sin \alpha_1 = \sin \alpha_2 = 1$.

Die Tangentialkomponenten sind dann gleich H bzw. B selbst. In diesem Falle haben wir aber in § 37 definiert:

$$B/H = \mu \quad \text{oder} \quad B = \mu \cdot H.$$

In Gl. (4) eingesetzt, ergibt dies:

$$H = k \cdot \mu \cdot I$$

oder

$$k = 1/\mu.$$

Daraus folgt:

$$H' = B/\mu \quad \dots \dots \dots (5)$$

In Worten:

B. Die magnetische Kraft H' (d. h. die mechanische Kraft auf einen Einheitspol) in einem Medium mit der Induktion B ist gleich dem μ -ten Teil der Induktion.

An Stelle von Gl. (4) erhalten wir jetzt:

$$H \cdot \sin \alpha_1 = B \cdot \mu \cdot \sin \alpha_2 = H' \sin \alpha_2 \quad \dots \dots \dots (6)$$

oder

$$H_1 = H'_2 \quad \dots \dots \dots (6')$$

in Worten:

C. Die Tangentialkomponenten der magnetischen Kraft sind beiderseits der Grenze gleich.

Division der Gl. (6) in Gl. (3) ergibt das:

D. „Brechungsgesetz der Induktionslinien“:

$$\tan \alpha_1 / \tan \alpha_2 = 1/\mu \quad \dots \dots \dots (7)$$

Den Übergang zwischen zwei Medien mit den Permeabilitäten μ_1 und μ_2 , etwa zwischen einem Stück Eisen und einem Stück Nickel, kann man jetzt leicht berechnen, wenn man sich die beiden Medien zuerst durch einen engen Luftspalt getrennt denkt, den man schließlich zu Null zusammenschrumpfen läßt. Dann erhält man für die Normalkomponenten:

$$\begin{array}{cc} B_1 \cos \alpha_1 =: & H \cos \alpha \\ \text{(Medium 1)} & \text{(Luft)} \end{array}$$

und

$$\begin{array}{cc} H \cos \alpha =: & B_2 \cos \alpha_2 \\ \text{(Luft)} & \text{(Medium 2)} \end{array}$$

oder:

$$H_1 \cos \alpha_1 = H_2 \cos \alpha_2 \quad \dots \dots \dots (8)$$

oder:

$$B_{n1} = B_{n2} \quad \dots \dots \dots (8')$$

d. h. stetigen Durchgang der Normalkomponenten der Induktion durch die Grenze.

Für die Tangentialkomponenten dagegen:

$$B_1 \sin \alpha_1 / \mu_1 = B_2 \sin \alpha_2 / \mu_2 \quad \text{oder} \quad H_1 \sin \alpha_1 = H_2 \sin \alpha_2 \quad \text{oder} \quad H_{t1} = H_{t2} \quad (9)$$

d. h. stetigen Grenzdurchgang der Tangentialkomponenten der Kraft. Endlich

$$\frac{\tan \alpha_1}{\tan \alpha_2} = \frac{\mu_1}{\mu_2} \quad \dots \dots \dots (10)$$

Setzt man in (8'), (9) und (10):

$$\mu_1 = 1; \quad \mu_2 = \mu,$$

so erhält man die früheren Grenzbedingungen zwischen Luft und einem anderen Medium.

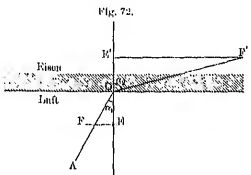
Für Eisen liegt der Zahlenwert von μ (siehe § 45 und Kap. „Elektromagnetismus“) zwischen etwa 100 und 2000; daraus folgt, daß selbst bei

größen α_2 , also fast streifendem Verlauf im Eisen, dennoch α_1 noch klein sein muß, daß also die Kraftlinien aus Luft in Eisen stets senkrecht einfallen¹⁾.

Man betrachte die Feldspanner Fig. 66, 77a, 80, 81, und 91a.)

Aus Gl. (7) ergibt sich folgendes Verfahren zur Konstruktion der Richtung der Kraft bzw. der Induktion an Grenze zwischen Luft und Eisen:

Sei AO (Fig. 72) die Kraftsetzung in Luft. Wir tragen senkrecht zur Grenze beiderseits die beliebige Strecke $OE = OE'$ auf, und ziehen durch E und E' Parallelen zur Grenze. Die Parallele durch E schneidet AO in P . Dann ziehen wir $E'F' \parallel PE$ und verbinden O mit F' . OF' ist dann die Richtung der Induktion im Eisen.



§ 39. Quellenfreiheit der Induktion, Wirbelfreiheit der Kraft, Annahmestellung der permanenten Magnete. Die oben gefundenen Gesetze über den Verlauf der Feldrichtung beim Übergang von einem Medium zu einem anderen lassen sich auch in etwas anderer Weise formulieren. Der α A [Gl. (5') und (8')], der die Gleichheit der Normalkomponenten der Induktion auf beiden Seiten der Grenze auspricht, ist einfach eine Folge der Festsetzung, daß die Induktionsröhren so gezogen werden sollen, daß sie an der Grenze direkt sich fortsetzen.

Es gibt also nirgends im Raume außerhalb der permanenten Magnete Anfangs- oder Endpunkte der Induktionsröhren. Durch unsere Betrachtungen

§ 34 haben wir eine stetige Fortsetzung der Röhren auch durch das Innere der permanenten Magnete hindurch als zweckmäßig hingestellt, so daß es auch in diesem keine Endpunkte gibt. (Leht man deshalb längs einer Induktionsröhre immer weiter, so muß man, da ein Ende nirgends vorhanden, schließlich entweder in unendliche Entfernung oder aber wieder an Ausgangspunkt gelangen, d. h.:

A. Die Induktionsröhren sind in sich geschlossene Kurven; umfassen also „magnetisch“ den ganzen Raum.

Es muß jedoch unbedingt ein Teil jeder Induktionsröhre im Inneren der permanenten Magnete²⁾ verlaufen; denn wäre außerhalb eines solchen eine in sich geschlossene Röhre vorhanden, so würde ein Ring ihr ringförmig geleiteter Einheitspol sich überall in Richtung der Kraft bewegen und würde auf dem geschlossenen Wege eine Arbeit gewonnen werden können; was widerspricht aber dem Energiegesetz, da keine andere Änderung als äquivalent dieser Arbeit vorhanden ist. Mit anderen Worten:

¹⁾ Für $\mu = 500$ würde bei $\alpha_2 = 80^\circ$, also $\tan \alpha_2 = 67,3$, der $\tan \alpha_1 = \frac{57,3}{500} = 0,115$

sein, dem entspricht $\alpha_1 = 6,6^\circ$.

²⁾ Von elektromagnetischen Erscheinungen ist hier noch abgesehen.

B. Außerhalb der permanenten Magnete verlaufen die magnetischen Kraftströme „wirbelfrei“.

Die zweite Grenzbedingung [Gl. (8') und (9)], daß die Tangentialkomponenten an der Grenze zweier Medien beiderseits gleich sind, ist der Ausdruck für die Wirbelfreiheit der Kraft auch an der Grenze.

Für permanente Magnete dagegen ist diese Bedingung offenbar nicht gültig; bereits das schematische Bild des Fohlvorlaufes in einem permanenten Magneten (Fig. 67) zeigt an der Grenze gegen Luft beiderseits entgegengesetzte Feldrichtung, so daß sich dort eine „Wirbelstolle“ nicht bloß für die Induktion, sondern auch für die Kraft befindet.

Da das Vorhandensein derartiger Wirbelstellen in einem massigen Medium, wie oben gezeigt, gegen das Energiengesetz verstoßen würde, so müssen wir jedenfalls den Schluß ziehen, daß die Möglichkeit des permanenten Magnetismus an den festen Zustand geknüpft ist. Die permanenten Magnete haben also eine Art Ausnahmestellung, und die Schlüsse, die im folgenden aus den gefundenen allgemeinen Gesetzen des Induktionsflusses gezogen werden, haben für sie nur beschränkte Geltung. Eine ganz einwandfreie Behandlung des permanenten Magnetismus ist nur mittels spezieller Hilfsannahmen möglich (siehe auch Kap. „Elektromagnetismus“).

§ 40. Faradaysche Spannungen im paramagnetischen Medium. Von dem + Ende eines in Luft befindlichen als „ideal hart“), d. h. absolut unveränderlich angenommenen Stahlmagneten möge eine bestimmte Anzahl N Kraftströme ausgehen. Denken wir uns jetzt den Magneten von einem Medium mit der Permeabilität μ umgeben, doch so, daß zunächst noch eine dünne Luftschicht beide voneinander trennt, so wird die Zahl der Kraftströme, die vom Magneten ausgehend diese Luftschicht durchsetzen, noch immer gleich N sein. Da die Kraftströme sich aber in dem umgebenden Medium unmittelbar als Induktionsströme fortsetzen, so ist auch deren Zahl gleich N . Dies bleibt aber auch noch der Fall, wenn wir jetzt die Luftschicht zwischen dem Magneten und dem umgebenden Medium immer dünner werden lassen, bis sie auf Null zusammenschrumpft. Wir erhalten also das Resultat:

A. Die Anzahl der Induktionsströme, die von einem permanenten Magneten ausgeht, ist unabhängig von der Natur des den Magneten umgebenden Mediums.

Denken wir uns nunmehr zwei Magnete in gegenübergelegter Lage, das eine Mal in Luft, das andere Mal in einem Medium μ . Die Verteilung der Induktionsströme ist, wenn das Medium sich bis in große Entfernungen erstreckt, notwendigerweise dieselbe geblieben, da ihre Zahl sich nicht verändert hat. Die Feldstärke H' , die einer der Magnete aus Orte des anderen erzeugt, ist somit, wenn sie in Luft gleich H war, nunmehr, da B ebenso groß ist, wie vorher H war, nach Gl. (5) des § 38:

$$H' = B/\mu = H/\mu \quad (1)$$

in Worten:

B. Die Kraftwirkung zwischen zwei Magneten ist in einem paramagnetischen Medium μ -mal kleiner als in Luft.

¹⁾ H. Hertz, Ges. Schriften 2, 240.

§ 41. Spannungen an der Grenze zweier Medien; Kräfte auf unpolarierten Körper¹⁾. Wir betrachten zuerst einen Punkt der Oberfläche der Mitte eines langen Eisenstabes, dessen Achse parallel der Richtung des ursprünglich homogenen Feldes H_0 liegt. Das Eisenstück zieht einen der Kraftströme in sich hinein; dann der Quordruck von außen beträgt $H_0^2/8\pi$, er würde dagegen von innen, wenn das Feld unverändert bliebe, $H^2/8\pi$ betragen, nur $H^2/8\pi\mu$ beträgt. Wir können erwarten, daß die Kraftströme sich in Richtung des wirkenden Überdruckes, d. h. in das Eisen hinein in Bewegung setzen, bis ein Gleichgewichtszustand erreicht ist.

Da in der Mitte des Feldes die Oberfläche parallel verläuft, so ist nach § 38, (1), (6) und (8') im Gleichgewichtszustande $H = \mu H_0$, was das durch die Verschiebung der Röhren modifizierte äußere Feld unmittelbar an der Grenze bedeutet. Somit beträgt jetzt:

Der Druck von außen $H_0^2/8\pi$.

Der Druck von innen $H^2/8\pi\mu = H_0^2/8\pi$.

Es besteht also, da $\mu > 1$, im Gleichgewichtszustande ein Überdruck innen gleich der Differenz beider Drücke, d. h. gleich

$$\frac{H^2(\mu - 1)}{8\pi} \quad (1)$$

Die Kraftströme haben sich zuletzt trotz des entstandenen inneren Überdruckes weiter bewegt. Wir müssen deshalb zur Erklärung dieser Bewegung weitere Vorstellungen noch dadurch ergänzen, daß wir eine gegenseitige Anziehung zwischen Kraftströmen und Eisen, dort, wo sie ineinanderdringen, annehmen, deren Natur die Wirkung des Überdruckes gerade kompensiert. Der Ausdruck (1) stellt also die Anziehung dar, die das Eisen die unmittelbar benachbarten Kraftströme ausübt. (Man kann sich die Einwirkung durch das Bild der Kohäsion zwischen einem festen Körper einer ungrenzenden Flüssigkeit klar machen, ohne daß jedoch damit eine

¹⁾ Der experimentelle Nachweis der im folgenden behandelten Gesetze gehört zum Teil nur mit Hilfe der sehr starken Felder, die man mittels Elektromagneten erzeugen kann; die entsprechenden Versuche sollen im Kap. „Elektromagnetismus“ erscheinen, die Ableitungen aber des Zusammenhangs wegen schon hier abgeleitet werden.

physikalische Verwandtschaft zwischen beiden Erscheinungsgruppen behauptet sein soll.)

Dann müssen aber nach dem Newtonschen Axiom der Gleichheit von Wirkung und Gegenwirkung (Hd. I, § 39) auch die Kraftträger eine gleich große Kraft auf das Eisen ausüben, so daß wir den Satz erhalten:

A. Auf jeden Quadratoentimeter einer parallel zum Felde gelegenen Oberfläche eines in Luft oder im Vakuum befindlichen Körpers von der Permeabilität μ wirkt eine senkrecht nach außen gerichtete Kraft

$$H^2(n-1)/8\pi.$$

Betrachten wir zweitens die Mitte des Spirannulus des Eisenstabes, dort, wo die Kraftströme senkrecht zur Oberfläche eintreten, so gilt dort nach Gl. (8'), § 38: $R = H$. Es wirkt also:

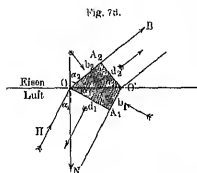
Ein Zug nach außen $H^2/8\pi$.

Ein Zug nach innen $B^2/8\pi\mu = H^2/8\pi\mu$.

Somit besteht ein Überschuß von Zugkraft nach außen, der als Kraftwirkung auf das Eisen zum Ausdruck kommt, im Betrage von:

$$\frac{H^2}{8\pi} \cdot \frac{\mu-1}{\mu} \quad , \quad , \quad , \quad , \quad , \quad , \quad , \quad , \quad (2)$$

Wir betrachten dritten einen beliebigen Punkt der Grenzfläche, an dem die Kraftlinien schief einfallen; die Einfallsebene werde zur Zeichnungsebene



$$\begin{aligned} d_1 &= \cos \alpha_1 & d_2 &= \cos \alpha_2 \\ b_1 &= \sin \alpha_1 & b_2 &= \sin \alpha_2, \end{aligned}$$

Denken wir uns die ganze Figur senkrecht zur Zeichnungsebene um ℓ cm verschoben, so beschreibt O' eine Fläche von 1 qm auf der Grenzfläche. Das ganze schraffierte Viereck beschreibt ein Prisma, an dessen Flächen Zug- und Druckspannungen angreifen, die man ohne weiteres annehmen kann, da die Flächen teils parallel, teils senkrecht zur Kraft-Richtung stehen. Soll das ganze Prisma, das wir uns nach Anbringung der berechneten Spannungen herausgeschnitten denken können, im Gleichgewicht sein, so muß die Resultante der an seiner Oberfläche angreifenden Spannungen gleich der Kraft sein, die an der von O' beschriebenen Fläche von 1 qm angreift. Die Richtungen der einzelnen Kräfte sind durch die Pfeile angegeben; ihre Beträge sind gleich den jeweiligen Maxwell'schen Spannungen, multipliziert mit der Größe der Flächen, d. h. mit $d_1 = \cos \alpha$, usw.

Die Kräfte und ihre Komponenten nach $O'V$ (Tangentialkomponenten) und nach ON (Normalkomponenten) sind in folgender Tabelle zusammengestellt:

$$\begin{array}{ccc}
 d_1 & b_1 & d_2 \\
 & & b_2
 \end{array}$$

Kraft in Pfeilrichtung:

$$\cos \alpha_1 \quad \frac{H^2}{8\pi} \sin \alpha_1 \quad \frac{H^2}{8\pi\mu} \cos \alpha_2 \quad \frac{H^2}{8\pi\mu} \sin \alpha_2$$

Tangentiale Komponente:

$$\cos \alpha_1 \sin \alpha_1 \quad -\frac{H^2}{8\pi} \sin \alpha_1 \cos \alpha_1 \quad \frac{H^2}{8\pi\mu} \cos \alpha_2 \sin \alpha_2 \quad \frac{H^2}{8\pi\mu} \sin \alpha_2 \cos \alpha_2$$

Normalkomponente:

$$\cos^2 \alpha_1 \quad -\frac{H^2}{8\pi} \sin^2 \alpha_1 \quad -\frac{H^2}{8\pi\mu} \cos^2 \alpha_2 \quad \frac{H^2}{8\pi\mu} \sin^2 \alpha_2$$

berücksichtigt man nun, daß nach § 33, III. (3) und (6) gilt:

$$H \cdot \cos \alpha_2 = H \cdot \cos \alpha_1 = H_n \text{ und } H \cdot \sin \alpha_2 = \mu \cdot H_n$$

so erhält man für die Summen der zusammengehörigen Komponenten, d. h. mit 1 genommen der Grenze angreifenden Kräfte die Werte:

$$\text{Tangentiale Kraft} = 0 \quad (3)$$

Normalkraft (vom Eisen in die Luft als positiv gerechnet):

$$N = \frac{H_n^2}{8\pi} \left(\mu - 1 \right) \quad \left| \quad \frac{H_n^2}{8\pi} (\mu - 1) \right. \quad (4)$$

(Gl. (4) sind die beiden Ausdrücke 1 und 2 als Spezialfälle enthalten. Wählt man die durch (Gl. (4) ausgedrückte Kraft über die gesamte Länge eines Körpers, so erhält man dadurch die beobachtbare mechanische Kraft, d. h. diejenige Kraft, die die alte Theorie als eine Anziehung oder Stoß in die Form zwischen den permanenten und den induzierten auffaßt. Weiteres hierüber s. § 43.

Der Mechanismus der magnetischen Induktion stellt sich jetzt also wie folgt:

Beim Einführen eines Eisenstückes wird das bis dahin bestehende Gleichgewicht der Kraftströme gestört, denn erstens sind im Eisen bei gleicher Feldstärke die Spannungen μ -mal kleiner, wodurch ein Druck von außen entsteht; zweitens wirkt an der Grenze eine Anziehung auf die unmittelbar benachbarte Röhre. Die Röhren müssen sich den wirkenden Kräften folgend, in Bewegung setzen, bis ein Gleichgewicht eintritt, der dann erreicht ist, wenn die Anziehung seitens der Röhre durch den inneren Überdruck gerade kompensiert wird. Da die übrige bleibende Kraft zwischen den Kraftströmen und dem Eisenstück der Oberflächenspannung steht [Gl. (3)], so müssen wir offenbar in der Richtung parallel der Grenze den Kraftströmen völlige Beweglichkeit lassen. Sie gleiten so lange an der Grenze entlang bzw. ändern ihre Neigung so lange, bis die Tangentialkraft, die ihre Seitenkräfte unterbindet, gleich Null wird.

Es sei auch an dieser Stelle nochmals betont, daß der oben beschriebene Mechanismus weiter nichts ist als ein Bild; wir wissen von diesem Bild, daß es die bereits bekannten Erscheinungen richtig darstellt, und werden hoffen dürfen, daß es alle weiteren Erscheinungen richtig voraussagen ermöglicht; in diesem Sinne ist das Bild richtig. Es ist aber keineswegs

genügt, daß der dargestellte Mechanismus mit den wirklichen Vorgängen im Magnetfeld irgend eine Ähnlichkeit hat. Man denke an die Ursachen der Wärmeleitung, die man ganz nach Analogie der Strömung einer Flüssigkeit behandelt, ohne im geringsten daran zu denken, daß die Wärme wirklich eine Flüssigkeit sei. Weiter unten (§ 45) wird übrigens noch näher auf die molekularen Vorgänge bei der magnetischen Induktion eingegangen werden, wobei das Bild in seiner feineren Struktur etwas modifiziert werden, in seinen Grundzügen aber völlig erhalten bleiben wird.

Die bisher gewonnenen Kenntnisse über die Induktion setzen uns instand, zwei Probleme, die für die experimentelle Forschung wichtig sind, wenn auch nicht in jedem Falle vollständig zu lösen, so doch in ihren allgemeinen Zügen zu erkennen. Das erste ist die Frage nach der Kraftlinienverteilung, die in einem Stück Eisen von gegebener Gestalt entsteht, wenn wir es in ein ursprünglich homogenes Feld H_0 hineinführen; wir wollen es als das „Magnetisierungsproblem“ bezeichnen und im folgenden § 42 behandeln. Das zweite Problem, welches die Lösung des ersten voraussetzt, betrifft die Frage nach den Kräften, die von dem deformierten Felde auf das Eisenstück ausgeübt werden. Dieses soll im § 43 untersucht werden. Dabei gilt alles, was im folgenden von der Wirkung auf ein Stück Eisen gesagt wird, natürlich ganz ebenso für jeden beliebigen anderen Körper, dessen Permeabilität μ von derjenigen der Luft oder des Vakuums abweicht.

§ 42. Das Magnetisierungsproblem; homogene Magnetisierung. Betrachtet man den Kraftlinienverlauf in der Umgebung eines infinierten zylindrischen Eisenstabes mit gerade abgeschnittenen Enden, wie er in Fig. 69 dargestellt ist, so sieht man ohne weiteres, daß im Innern des Eisens die Linien unendlich geradlinig sein können. Von sie müssen sich auch außen in die von allen Seiten her zusammengehobenen Kraftlinien des äußeren Feldes fortsetzen. Da diese aber notwendigerweise schief einfallen, so müssen nach dem Brechungsgesetz auch im Innern die Linien sich schief zur Normale fortsetzen. In Fig. 69 ist der Verlauf bereits schematisch gezeichnet. Aus der Symmetrie des Ganzen folgt, daß der Winkel beim Eintritt gleich dem beim Austritt ist, während in der Mitte des Eisenstabes die Linien der Achse parallel laufen. Dadurch ist aber, wie ein Blick auf die Figur ohne weiteres zeigt, bedingt, daß in der Mitte die Linien dichter verlaufen als in der Nähe der Enden. Feldstärke und Induktion sind also im Innern des Eisens im allgemeinen inhomogen; in Fig. 69 ist die Induktion in der Mitte stärker als an den Enden.

Für Meßzwecke ist es nun erwünscht, das zu untersuchende Eisenstück so zu gestalten, daß es in einem homogenen Felde auch homogen magnetisiert wird, d. h. daß die Induktionslinien im Innern geradlinig und dem ursprünglichen Felde parallel verlaufen. Man sieht leicht ein, daß man zur Erreichung dieses Zweckes die Enden des Eisenstückes in geeigneter Weise abzurunden muß, derart, daß die nach dem Brechungsgesetz gezeichnete innere Fortsetzung der schief zur Achse einfallenden Kraftlinien parallel der Achse verläuft.

Die Theorie, die durchaus die Anwendung höherer mathematischer Methoden verlangt, zeigt, daß ein diese Bedingung erfüllender Längsschnitt des Körpers die Gestalt einer „Ellipse“ haben muß. Der Körper selbst hat dann die Gestalt eines „Rotationsellipsoids“, das entsteht, wenn man sich den Längsschnitt um eine Achse der Ellipse gedreht denkt. Fig. 74 zeigt den Verlauf der Induktion für ein „verlängertes“, Fig. 75 für ein „abgeplattetes“

Ellipsoid. Fig. 76 endlich für den Fall, daß Längs- und Querdurchmesser ein-
 ander gleich sind, d. h. für eine Kugel. Man sieht bereits an den Figuren,

Fig. 74.

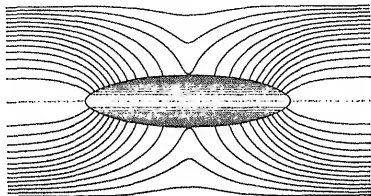


Fig. 75.

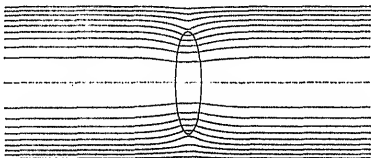
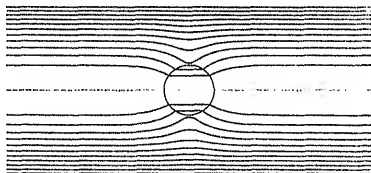


Fig. 76.



daß die Zusammenziehung der Kraftlinien, somit auch die Stärke der In-
 duktion in hohem Maße von der Gestalt des Ellipsoids abhängt. Das ver-
 längerte Ellipsoid ist sehr stark magnetisiert, die Kugel viel weniger, während
 das abgeplattete den Kraftverlauf überhaupt nur ganz wenig ablenkt.

Qualitativ ganz ähnlich ist der äußere Verlauf des Feldes auch für ein mögliches zylindrisches Eisenstück. Steht seine Längsachse parallel dem Felde, so zieht es viel mehr Kraftlinien in sich hinein als bei Querstellung (Fig. 77 a u. 77 b).

Fig. 77 a.

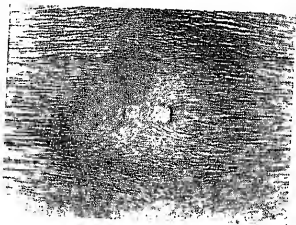
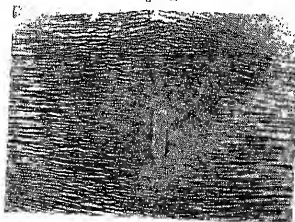


Fig. 77 b.

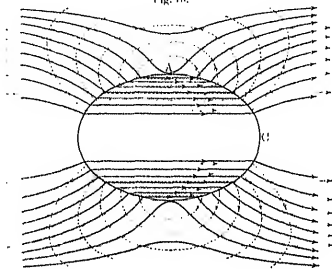


Die geschilderte Abhängigkeit der Induktion von der Gestalt folgt theoretisch daraus, daß für einen Punkt A (Fig. 78) am Rande der Mittellinie des Eisenstückes wegen der Stetigkeit der Tangentialkomponenten $H = \mu \cdot H_A$ sein muß, wo H_A das durch das Eisen veränderte Feld im Punkte A ist. In welchem Maße aber das Feld verändert worden ist, hängt wiederum von der Induktion selbst ab. In jedem Falle ist, da ja die Linien des äußeren Feldes sich zum Teil ins Eisen hineingezogen haben, H_A kleiner als das ursprüngliche Feld H_0 . Es ist also auch B kleiner als $\mu \cdot H_0$. Nur wenn der Körper sehr lang ist, wird, wie sich zeigen wird, nahezu $H_A = H_0$ und $H = \mu \cdot H_0$. Über die Art des Gestaltseinflusses können wir in folgender Weise Aufschluß erhalten (Fig. 78):

Wir denken uns das Eisenellipsoid durch einen gleichgestalteten stromierten Magneten ersetzt, dessen Induktionsröhren B'' im Innern und Kraft-

den H'' im Außenraum so verlaufen, daß sie mit den Röhren des ursprünglichen Feldes H_0 zusammen das deformierte Feld H' im Außenraum und die

Fig. 78.



Induktion H im Innenraum ergeben. In der Figur sind die H'' - und H' -Linien punktiert, die H_0 -Linien schwach, die H - und H' -Linien stark ausgezogen. Es ist somit im Innern des Eisens:

$$H = H_0 + H'' \quad (1)$$

Außenraum:

$$H' = \text{Resultante von } H_0 \text{ und } H''.$$

Berechnen wir einen Punkt der Oberfläche C in der Achse des Eisenkerns, so sind dort H_0 , H' und H'' einander parallel und es ist:

$$H'_C = H_0 + H''_C \quad (2)$$

Formen müssen die Normalkomponenten der Induktion an beiden Seiten der Grenz Luft—Eisen gleich sein, also im Punkt C :

$$H'_0 = H \quad (3)$$

Durch Gleichsetzen von (1) und (2) erhält man demnach:

$$H'_0 = H'' \quad (4)$$

Die eingekerkerten Induktionsröhren H'' finden ihre stetige Fortsetzung in den eingekerkerten Kraftströmen H' ; in der Figur sind die punktierten Linien bereits entsprechenden gezeichnet. Im übrigen Raum ist jedenfalls H'' proportional zu setzen, also:

$$H'' = k \cdot H'_0 = k \cdot H \quad (5)$$

Ein von Punkt zu Punkt sich ändernder Faktor, der von der Gestalt des Eisenstückes abhängt.

Wir betrachten nunmehr einen Punkt A im Äußeren des Eisenkerns. Wir messen die Tangentialkomponenten der Kraft beiderseits gleich sein, es gilt:

$H'_A = H_0 - H_{A'}$, oder wenn k_A der dem Punkte A zugehörige Wert des Faktors k nach Gleichung (6) und (4):

$$B \cdot \mu = H_0 - k_A \cdot H'' \quad (6)$$

Aus (1) und (6) erhält man durch Elimination von H'' :

$$B = \mu H_0 \cdot (1 + k_A) / (1 + \mu k_A),$$

oder wenn man $k_A / (1 + k_A) = \beta$ setzt:

$$\beta = \frac{\mu \cdot H_0}{1 + \beta (\mu - 1)} \quad (7)$$

Der theoretische Zusammenhang zwischen dem erzeugenden Pole H_0 und der Induktion B wird durch die Gleichung (7) dargestellt. Hierbei ist β ein Faktor, dessen Größe nur durch die Gestalt des Eisenstückes bedingt und auf theoretischem Wege berechenbar ist; wir bezeichnen ihn nach H. du Bois als „Entmagnetisierungsfaktor“¹⁾. (Bei du Bois, „Magnetische Kreise“, Berlin 1894, wird aus hier nicht näher zu erörternden Gründen nicht β , sondern $4\pi\beta$ als Entmagnetisierungsfaktor bezeichnet.)

In folgender Tabelle²⁾ sind die Werte von β für einige Rotationsellipsoide in ihrer Abhängigkeit vom „Dimensionsverhältnis“, d. h. dem Verhältnis des Längs- zum Querdurchmesser der Ellipse angegeben.

Entmagnetisierungsfaktoren für Ellipsoide.

Dimensionsverhältnis	500	50	10	4	2	1	0,9	0,5	0,25 u
β	0,000024	0,0014	0,02	0,075	0,17	0,34	0,38	0,53	0,71

Für den mittleren Teil eines gerade abgeschnittenen Stabes gilt ebenfalls Gleichung (7), nur hat β einen etwas kleineren Wert und zwar ist, so lange das Dimensionsverhältnis m größer ist als etwa 50:

$$\beta = 5,77/m^2.$$

Für kürzere Stäbe diene folgende Tabelle:

Entmagnetisierungsfaktoren für Stäbe.

Dimensionsverhältnis	70	50	30	20	10
β	0,00070	0,00127	0,0031	0,0061	0,017

Wir wollen an Hand der Tabelle untersuchen, wie weit die Induktion eines Eisenstabes von mäßiger Länge gegen die eines gleichbeschaffenen sehr langen Stabes ($\beta = 0$) geschwächt erscheint. Es werde etwa $\mu = 200$ angenommen. Das bedeutet also, daß in einem unendlich langen Stabe $H = 200 \cdot H_0$.

Nehmen wir jetzt aus demselben Material einen Stab von 50 cm Länge und 1 cm Durchmesser, so ist für diesen $\beta = 0,00127$. Daraus folgt nach Gleichung (7):

$$B = 200 \cdot H_0 / (1 + 0,00127 \cdot 199) = H_0 \cdot 200 / 1,253 = 160 \cdot H_0.$$

¹⁾ In der Fernwirkungstheorie stellt β die „entmagnetisierende Wirkung“ der im Eisen induzierten „Pole“ dar, die, wie leicht zu sehen, im Innern des Eisens dem Einfluß des äußeren Feldes gerade entgegengerichtet.

²⁾ Nach Winkelmanns Handb. d. Phys. 5, 143 (Leipzig 1905).

Induktion ist also bereits in diesem sehr gestreckten Stabe bei dem angegebenen Werte um 20 Proz. schwächer als in einem unendlich langen Stabe. Für einen Stab von 10 cm Länge und 1 cm Durchmesser man erhalten:

$$B = H_0 \cdot 200 / (1 + 0,017 \cdot 199) = H_0 \cdot 200 / 1,4 = 143,5 \cdot H_0.$$

Für sehr kurze Stäbe wagt man die β -Werte der entsprechenden Ellipsoide zum Vergleich heranziehen. Im extremsten Falle, wenn man es mit einer Platte zu tun hat, also dem Dimensionsverhältnis 0, wird $\beta = 1$ und $B = H_0$.

Durch eine sehr dünne Platte gehen also die Kraftlinien des Feldes hindurch. Dieser Fall ist bereits nahezu verwirklicht bei dem stark abgeplatteten Ellipsoid in Fig. 75 mit dem Dimensionsverhältnis für das bei $\mu = 200$ nur mehr $B = 1,41 \cdot H_0$.

Für das langgestreckte Ellipsoid in Fig. 74 mit dem Dimensionsverhältnis 4 ist $B = 12,6 \cdot H_0$ für $\mu = 200$.

Für die Kugel endlich $B = 3,99 \cdot H_0$ (abgerundet: $B = 4 H_0$) für $\mu = 200$. Es ist von Wichtigkeit für das Experiment, daß, solange μ eine große Zahl ist, der Wert von B unsosehr von μ abhängig erscheint, je größer das Dimensionsverhältnis. Folgende Tabelle zeigt z. B. die Werte von B/H_0 für $\mu = 500$ und für $\mu = 100$.

Tabelle.

Dimensionsverhältnis . . .	50	10	4	1	0,25
B/H_0 für $\mu = 500$. . .	274	45,5	14,1	3,91	1,41
B/H_0 für $\mu = 100$. . .	87,7	33,5	11,9	2,94	1,41

Es folgt hieraus sofort die Regel, für die experimentelle Untersuchung magnetisierbarkeit des Eisens mit Hilfe induzierter Stäbe oder Ellipsoids möglichst langgestreckte Versuchskörper zu nehmen, wenn man ohne nennenswerte Fehlbildung in der Ausführung der Messung richtige Resultate erhalten will).

Interessant ist das Verhalten schwach magnetischer Substanzen, wie Lösungen u. dgl., für die μ von 1 nur wenig verschieden. Dann ist B nahezu gleich 0 und es wird einfach $B = \mu \cdot H_0$.

Die Deformation des Feldes durch den eingebrachten schwach magnetischen Körper ist dann eben so gering, daß das deformierte Feld $B' = H_0$ ist, und $B = \mu \cdot B' = \mu \cdot H_0$ ist.

Feld im Innern des Eisens. Im ganzen Innern eines homogen magnetisierten Eisenstückes herrscht die Feldstärke $B' = B/\mu$.

Vir können dieser Feldstärke eine

physikalische Deutung geben

(79). Wir denken uns im Innern

des Eisens einen sehr feinen Kanal ab

lenkung von B , der kurz gegen die

des Eisenstückes, aber lang gegen

seinen Querdurchmesser sei. Diesen hindurch gefüllten Kanal

den wir dann als ein gegen seinen Durchmesser sehr langes Stück eines

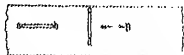


Fig. 79.

Experimentelle Methoden zur Bestätigung der hier entwickelten Theorie (erst im Kapitel „Elektromagnetismus“ besprochen werden).

Körpers betrachten, dessen Permeabilität relativ zu dem Eisen, in das er eingehottet ist, $1/\mu$ beträgt. Dieser „Luftstahl“ befindet sich in einem ursprünglich homogenen Induktionsfeld B .

Wir können die Feldstärke H_i innerhalb dieses Kanals dann ebenso aus der Induktion B im Eisen berechnen, wie wir in Gleichung (7) die Induktion B aus der äußeren Feldstärke H_0 berechneten. Wir haben also in Gleichung (7) H_i an Stelle von B , B an Stelle von H_0 und $1/\mu$ an Stelle von μ zu setzen. Dann wird, da für den sehr langen Kanal $\beta = 0$ wird:

$$H_i = B/\mu = H' \quad \dots \dots \dots (8)$$

das heißt:

A. Das Feld im Innern eines Eisenstückes ist gleich dem Felde, das in einem längs der Kraftrichtung gebohrenen feinen Kanal herrschen würde.

In ganz ähnlicher Weise können wir auch B gemessen denken. Denken wir uns nämlich im Eisen eine scheibenförmige, möglichst flache Hohlung ed senkrecht zur Kraftrichtung, so stellt diese eine „Luftplatte“ dar, verhält sich also wie ein Körper der Permeabilität $1/\mu$ in einem Felde H_i ; wegen des kleinen Dimensionsverhältnisses ist $\beta = 1$ und das Feld in dem Schnitt d wird:

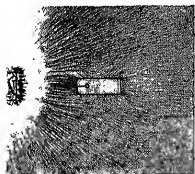
$$H_i = B \quad \dots \dots \dots (9)$$

das heißt:

B. Die Induktion ist gleich der Feldstärke in einem sehr engen quer zur Kraftrichtung geführten Schnitt.

§ 43. Kraftwirkungen auf para(ferro)-magnetische und diamagnetische Körper. Daß ein Magnet auf ein Stück Eisen mechanische Kräfte ausübt, war die erste elementare Erfahrungstatsache, durch die überhaupt die Existenz des Magnetismus dargetan wurde. Die Fernwirkungstheorie erklärte diese Kraftwirkungen

Fig. 80.



durch die Annahme verschieden starker Anziehung seitens der „Pole“ des Magneten auf die verschieden weit entfernten „influenzierten Pole“ des Eisens.

In der Faraday-Maxwell'schen Anschauungsweise sind es die an der Grenzfläche Luft—Eisen auftretenden Spannungen, die an dem Eisen angreifen und die Bewegungen hervorbringen. Diese Spannungen an der Grenzfläche sind, wie im § 41 gezeigt, stets von dem paramagnetischen Medium aus nach außen gerichtet und proportional dem Quadrat der Feldstärke. Befindet sich also ein Eisenkörper in einem inhomogenen Felde, etwa dem Felde in der Nähe des Endes N eines Stabmagneten (Fig. 80), so wird die Zugspannung, die an dem Eisen angreift, an derjenigen Seite stärker sein, an der das Feld stärker ist. Das Eisen wird sich also auf den Magneten zu bewegen (es wird „angezogen“).

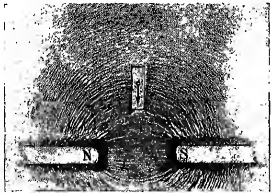
Nehmen wir ferner den in Fig. 81 dargestellten Fall, so sehen wir hier, daß die Wirkungen der an den Seitenflächen des Eisenstückes nahezu senk-

einfallenden Kraftströme beiderseits gleich sind und sich aufheben, daß wegen der Dichte und somit auch der Wirkung der an den Stirnflächen einwirkenden oder tangierenden Ströme an der den induzierenden Polen näheren größer ist als an der entfernteren; der Stab wird somit quer zur Richtung der Kraftströme in das Feld hineingezogen.

Man kann ganz allgemein sagen:

A. Ein Eisenstück (oder allgemeiner: ein paramagnetischer Körper) bewegt sich in einem inhomogenen Felde stets in der Richtung, in der das Feld am stärksten zunimmt, also so, daß die Zahl der durchsetzenden Induktionsströme möglichst groß wird.

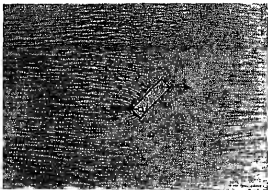
Fig. 81.



Dieser außerordentlich einfache Satz umfaßt alle überhaupt beobachteten Kraftwirkungen auf paramagnetische Körper.

In einem vor dem Einbringen des Eisenstückes homogenen Felde drängen sich die vorhandenen Kräfte gegenseitig auf. In der Tat ist ja, wenn ein Eisenstab sich in der Mitte zwischen zwei Magnetpolen befindet, d. h. an einem

Fig. 82.



in einem nahezu homogenen Felde, gar nicht einzusehen, warum er sich eher nach einer Seite als nach der anderen Seite bewegen sollte (vgl. Fig. 77a u. b). Daß neben Drehbewegungen auch im homogenen Felde möglich, ein Blick auf Fig. 82 ohne weiteres zeigt, in der die Einflusswirkung

auf einen schieß zur ursprünglichen Feldrichtung gezogenen Eisenstab dargestellt ist. Man sieht sofort, daß die Resultanten der an jeder Stabhalfte angreifenden Kräfte zwar entgegengesetzt gleich sind, aber nicht in einer geraden Linie liegen; sie bilden somit ein „Kräftepaar“, das den Stab in die Feldrichtung zu drehen sucht. Im Gleichgewicht, auch drehenden Kräften gegenüber, ist das Eisenstück nur in den in Fig. 77a und b abgebildeten Stellungen, und zwar ist die Lage 77a stabil, 77b dagegen labil; ein in der Stellung 77b befindlicher Eisenstab wird also beim kleinsten Ausstoß in die Stellung 77a umschlagen.

Auch die Drehbewegung fällt als Spezialfall unter den soeben genannten allgemeinen Satz A; denn in der Stellung 77a umfaßt der Stab mehr Induktionslinien als in 77b.

Kräfte auf diamagnetische Körper. In der Anmerkung 2 auf S. 79 ist bereits erwähnt, daß ein Wismutstab von einem Magnetpol abgestoßen wird. Die Wirkung ist ziemlich schwach und mit permanenten Magneten nur zu beobachten, wenn diese sehr kräftig sind und das Wismutstückchen an einem möglichst langen Kokonfaden aufgehängt ist. Die hierher gehörigen Versuche sollen deshalb erst im Kapitel „Elektromagnetismus“ genauer beschrieben, dagegen die Theorie gleich hier erledigt werden.

Für diamagnetische Körper ist μ kleiner als 1, also $\mu - 1$ negativ. Wegen des außerordentlich geringen Unterschiedes zwischen μ und 1 für alle bekannten diamagnetischen Körper kann im Nenner des ersten Gliedes der Gleichung (4) in § 41 $\mu = 1$ gesetzt werden, so daß die Faktoren von H_1^2 und H_2^2 einander gleich werden. Nun ist aber

$$H_1^2 + H_2^2 = H^2$$

und es wird:

$$N = H^2(\mu - 1)/8\pi \quad \dots \quad (1)$$

Diese Kraft ist, da $\mu - 1$ negativ, überall von der Oberfläche des Körpers aus nach innen gerichtet, also gerade umgekehrt als bei paramagnetischen Substanzen. Daraus folgt, daß für diamagnetische Körper an Stelle des Satzes A der folgende gilt:

B. Ein diamagnetischer Körper bewegt sich von Stellen größerer nach solchen kleinerer Feldstärke, also so, daß er möglichst wenig Induktionslinien umfaßt.

Damit erklärt sich sofort die „Abstoßung“ des Wismuts seitens eines Magnetpols; das Feld des Pols nimmt nach außen hin ab, das diamagnetische Wismutstück muß sich also vom Pole entfernen, um zu Stellen kleinerer Feldstärke zu gelangen.

Auch die folgende theoretische Betrachtung, deren experimenteller Beweis ebenfalls erst unter „Elektromagnetismus“ erfolgen soll, läßt sich an einfachsten gleich hier im Zusammenhang mit den soeben Gesagten ausführen.

Ein Körper mit der Permeabilität μ_1 , befindend sich in einem flüssigen oder gasförmigen Medium von der Permeabilität μ_2 . Beide μ seien nahezu gleich 1, so daß Gleichung 1 dieses Paragraphen Gültigkeit hat. Es wirkt also auf die Grenzfläche des Körpers 1 nach außen:

$$N_1 = H^2(\mu_1 - 1)/8\pi;$$

Einwirkung des Körpers 2 nach außen, d. h. in das Innere von 1 hinein
ne Kraft:

$$N_2 = H^2(\mu_2 - 1)/8\pi.$$

Die Gesamtwirkung N auf den beweglichen Körper 1 wird also
er Differenz beider Kräfte:

$$N = H^2(\mu_1 - \mu_2)/8\pi \quad . \quad . \quad . \quad . \quad . \quad . \quad (2)$$

nach $\mu_2 < \mu_1$, so ist N positiv, oder nach außen gerichtet; der Körper
so in einem Medium von geringerer Magnetisierbarkeit die
nungen des Paramagnetismus. Ist dagegen $\mu_2 > \mu_1$, so wird die
negativ, oder nach innen gerichtet; der Körper zeigt also in einem
magnetisierbaren Medium die Erscheinungen des Dia-
magnetismus. Über den experimentellen Beweis dieser Folgerung durch
cy s. Kapitel „Elektromagnetismus“. Faraday kam durch die dort
beschriebenen Versuche zu der Anschauung, daß überhaupt Paramagnetis-
dia-magnetismus nur relativ zu verstehen sind. Je nachdem der
Körper stärker oder schwächer magnetisierbar ist, als das um-
gebende Medium. Da jedoch stark diamagnetische Substanzen wie Wismut
auch im Vakuum als diamagnetisch erwiesen, so mußte Faraday an-
nehmen bzw. dem ihm erfüllenden Äther eine bestimmte magne-
tische Permeabilität zuschreiben. Da die der Beobachtung zugänglichen
Wirkungen nach Gleichung (2) nur von der Differenz $(\mu_1 - \mu_2)$ ab-
hängen, so können wir willkürlich die Permeabilität des Vakuums gleich 1
setzen. Früher haben wir angenommen, daß für Luft $\mu = 1$ sei. Bei
Berechnung ferromagnetischer Substanzen mit sehr großem μ wird mit der
Differenz

$$\mu(\text{Substanz}) - \mu(\text{Luft})$$

Wesentlich geändert, wenn man den von 1 wenig verschiedenen Luft-
wert einfach gleich 1 setzt. Unsere früheren Formeln behalten also für
magnetische Körper in Luft praktisch ihre Gültigkeit. Für sehr schwach
magnetische Körper dagegen ist auf die Magnetisierbarkeit der Luft Rück-
sicht zu nehmen (Zahlenwerte s. Kapitel „Elektromagnetismus“).

Die Bewegungen eines Körpers in einem Medium von kleinerer oder
größerer Magnetisierbarkeit sind ganz analog den Bewegungen eines schweren
Körpers in einem Medium von kleinerem oder größerem spezifischen Gewicht.
Im ersten Falle bewegt er sich in Richtung der Schwere, wird aber von der
„aufgezogen“; im zweiten Falle bewegt er sich der Schwere entgegen,
d. h. von der Erde „abgestoßen“.

44. Permanente Magnete. Bereits in § 4 wurde ein Stahlstück,
welches ist, permanenten Magnetismus anzunehmen, als ein Körper
charakterisiert, der sich jeder Veränderung seines gerade vorhandenen magne-
tischen Zustandes mit einer gewissen Kraft widersetzt. Wenn wir jetzt die
tatsächlichen Zustandsänderungen als eine Verschiebung der Kraftlinien des
Magnetfeldes betrachten und auf das Stahlstück einflussreichere
Felder einwirken lassen, so müssen wir uns vorstellen, daß im Stahle
sich eine Art von Reibung erfährt, die nur durch einen ge-
wissen Anstoß an Kraft in der jeweiligen Bewegungsrichtung überwinden
kann. So erklärt es sich, daß der Stab, in ein Feld hineingebraucht, nur
ter-Paulsen-Pseudor. IV.

relativ wenig Magnetismus annimmt, d. h. daß die Kraftlinien sich fast nie-
 äußeren Überdruckes nicht bis zum Gleichgewicht in ihn hineinziehen, und
 daß er ferner, wenn das äußere Feld bereits wieder entfernt ist, die räum-
 in ihm befindlichen Induktionsröhren festhält. Diese Reibung erklärt auch
 die Möglichkeit, daß an der Grenze des Stahlnagelns, wie in Fig. 67, S. 74
 dargestellt, die Kraftlinien beiderseits der Grenze in fast entgegengesetzter
 Richtung verlaufen können, ohne daß durch ihren beiderseits gleichgerichteten
 tangentialen Zug ein Gleiten eintritt.

Die Vorstellung einer auf die Kraftlinien wirkenden Reibungskraft ist
 natürlich ebenso bildlich zu verstehen, wie die Vorstellung der sich bewegenden
 Kraftlinien überhaupt. Wie man sich aber auch den durch die Kraft-
 röhrenverschiebung dargestellten Vorgang in seinem inneren Mechanismus
 vorstellen mag (siehe auch den folgenden § 45), stets wird man zur Er-
 klärung des permanenten Magnetismus annehmen müssen, daß den Verände-
 rungen in der Lage oder in dem Zustand der Moleküle des Magneten oder
 sonstiger irgendwie ungenannter Träger der magnetischen Eigenschaften
 eine Art Reibungswiderstand entgegenwirkt. Die Kraftlinien stellen uns
 dann ein Symbol für irgend einen hypothetischen Zustand dar, die Kraft-
 röhrenveränderung ist ein Symbol für die Änderung dieses Zustandes und die
 Reibung, die der Wandernng widersteht, ist das Symbol für die Gegen-
 wirkung, die die Zustandsänderung zu verhindern sucht.

§ 45. Molekulartheorie des Magnetismus. Eine weit verbreitete
 Anschauung¹⁾ über den Mechanismus der magnetischen Influenzierung ferro-
 magnetischer Körper ist die folgende.

Man nimmt an, daß die Moleküle der indifferenten Körper von Natur
 magnetisch sind, daß also jedes Molekül einen permanenten Magneten von ganz
 bestimmtem magnetischem Moment²⁾ darstelle. Diese Molekularmagnete sollen
 für gewöhnlich ungeordnet nach allen Richtungen gewandt in dem Körper
 liegen, etwa so wie Fig. 83 darstellt. Es werden also an der Oberfläche die

Fig. 83.



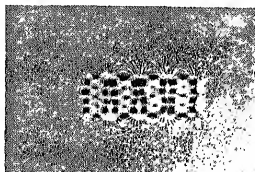
Kraftlinien bald aus-, bald eintreten, ohne jedoch irgendwo über molekulare
 Entfernungen hinauszugelangen. Nebenstehendes Filigranbild (Fig. 84) stellt
 ein Modell eines aus ungeordneten Molekularmagneten zusammengesetzten
 unmagnetischen Stöckes Eisen dar. 20 kleine Drahtstücke einer magneti-
 sierten Stricknadel sind zu je fünf hintereinander in vier parallelen Reihen
 so angeordnet, daß ihre Nordpole abwechselnd nach links und rechts zeigen.
 Die Kraftlinien schließen sich also in unmittelbarer Nähe der Oberfläche.
 Wenn jetzt ein äußeres Feld auf den Körper einwirkt, so werden die unge-

¹⁾ Urheber dieser Anschauung scheint Kirwan (Philos. Ann. 6, 381 [1800])
 zu sein. Eine theoretische Darlegung erfolgte zuerst durch W. Weber (Elektro-
 dynamische Maßbestimmungen, III, 1852).

²⁾ Neuere Forschungen (s. Kap. „Elektromagnetismus“) haben ergeben, daß
 man nicht das Moment, sondern die sogenannte „magnetoelektrische Kraft“ der
 Moleküle als konstant zu betrachten hat.

Oberfläche verlaufenden Kraftlinien dieses Feldes sich mit den Linien Molekularmagnete zu resultierenden Linien vereinigen (Fig. 85), noch e daß hierdurch zunächst die mittlere Richtung des äußeren Feldes wesentlich geändert wird. Wenn wir jetzt aber annehmen, daß die Molekularmagnete frei drehbar sind, so lassen diese sich unter dem Einflusse der

Fig. 84.



Spannungen so zu stellen versuchen, daß ihre Nordpole in die Richtung äußeren Feldes zeigen, genau wie es auch ein beliebiger Magnetstahl tun würde.

Das Freispanbild Fig. 85 zeigt den Feldverlauf, nachdem alle Molekularmagnete sich in die Feldrichtung gestellt haben. Man vergleiche das Bild

Fig. 85.

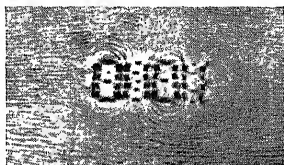
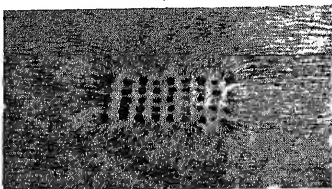


Fig. 69, die die Wirkung auf ein massives Eisenstück darstellt. Man sieht, daß, abgesehen von den kleinen Unregelmäßigkeiten wegen der natürlichem Metall viel zu großen Molekularmagnete, beide Figuren sich ganz entsprechen. (Die im § 41 formell angenommene „Anziehung“ zwischen der Mittellinie des Eisens und den angrenzenden Röhren des Feldes ist somit als Wirkung zwischen den drehbaren Molekularmagneten und den Röhren des Feldes gedeutet.) Fig. 86 würde dagegen etwa das Verhalten eines sehr harten Eisenstückes darstellen, in dem eine Art „Reibung“ (s. § 44) sich der Vorüberwindung der Kraftströme, in unserer oben entwickelten Anschauung also der Bewegung der Molekularmagnete, widersetzt. Umgekehrt würde dann auch Entmagnetisierung des äußeren Feldes dieselbe Reibung die Rückkehr in den ursprünglichen Zustand verhindern, d. h. die einmal parallel und gleichgerichtet

gestellten Molekularmagnete behalten ihre Stellung bei und ergeben für sich allein das Bild eines gleichmäßig magnetisierten permanenten Magneten (Fig. 87); während an den Seiten die Kraftlinien sich noch wie vor in

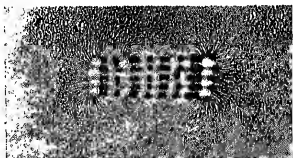
Fig. 86.



molekularer Entfernung (im Modell natürlich viel zu groß erscheinend) schließen, erstrecken sie sich jetzt von den Enden aus in größere Entfernung.

Man braucht nun gar nicht anzunehmen, daß die Molekularmagnete sich stets völlig in die Feldrichtung hineinstellen. Sie wirken ja auch gegenseitig

Fig. 87.



aufeinander ein, und suchen sich dadurch in ihrer Stellung festzuhalten. Es können ferner sonstige Molekularkräfte vorhanden sein, die sie in ihrer An-

Fig. 88.



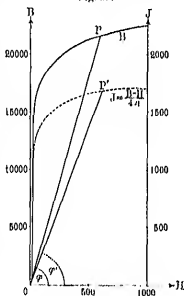
fangstellung festzuhalten suchen. Dann wird das Feld je nach seiner Stärke eine kleinere oder größere mittlere Drehung hervorbringen, die aber immer so wirkt, daß ein Überschuß magnetischen Moments in der Feldrichtung entsteht. Die Stärke der beobachteten Influenz wächst also mit der Feldstärke.

benstehender schematischer Fig. 88 ist die Drehung in der Mitte vollkommen, nach den Enden hin schwächer werdend, angenommen. Die Figur den Zustand eines Stabes dar, in dem die Magnetisierung von der zum Ende hin abnimmt (s. § 19). Die Permeabilität μ mißt dann das Produkt aus Stärke, Zahl und Drehbarkeit der Molekular- etc.

Aus der Molekulartheorie geht hervor, daß die Magnetisierung nicht einen gewissen größten Betrag hinausgehen kann, der erreicht ist, alle Molekularmagnete sich parallel gestellt haben. Es muß also ein Minimum der Magnetisierung vorhanden sein, die sogenannte „magnetische Sättigung“.

Das entspricht tatsächlich den Beobachtungen, wenigstens bei den magnetischen Körpern. B wächst anfangs dem Felde proportional, dann immer langsamer, bis schließlich die Differenz $B - H$ einem konstanten Wert annimmt. In Fig. 89 stellt die angezeichnete Kurve¹⁾ die Abhängig-

Fig. 89.



keit zwischen B und H für einen sehr dünnen Stab aus einem bestimmten Eisenmaterial. Zieht man von jeder Ordinate zugehörigen Abscissenwert ab, erhält man eine Kurve für $B - H$, die sich schließlich einem konstanten Wert nähert; die gestrichelte Kurve in anderem Ordinatenmaßstab den Teil von $B - H$ dar, der sich endlich dem Grenzwert 1700 nähert. Die Bedeutung dieser Kurve wird unten noch näher eingegangen. Die Molekulartheorie gibt für das geordnete Verhalten folgende Erklärung:

Das beeinflusste Eisen besteht aus magnetischen Molekülen und leeren Hohlräumen, die sich wie leerer Raum verhalten müssen, in denen also auch $B = H$ ist. Was wir eigentlich als „Dichte der Induktion“ messen, ist in der Molekulartheorie weiter nichts als der räumliche Mittelwert jener Größe in einem durch den Magneten hindurchgelegten Querschnitt von solcher Ausdehnung, daß er, wenn auch noch so klein, doch sehr viele Moleküle enthält. Die Zahl der resultierenden Kraftlinien, die durch ein Quadratcentimeter hindurchgehen, ist gleich der arithmetischen Mittelstärke H , vermehrt um die Zahl der von den Molekularmagneten ausgehenden Kraftlinien.

Setzt das Eisen homogen magnetisiert, so können wir uns die ganze Wirkung der Moleküldrehung so vorstellen, als ob durch einen jeden Quadratcentimeter eines durch den Stab gelegten Querschnittes eine gewisse Menge $\frac{1}{2} J$ Magnetismus in der Felddirection, eine entsprechende Menge $-\frac{1}{2} J$ von

¹⁾ Nach du Bois, Phil. Mag. 1894.

— Magnetismus der Permeabilität entgegen gerichtet sein, also an jeder Endfläche pro Quadratzentimeter ein Überschuss von J Einheiten von + bzw. von — Magnetismus. Zu den Kraftlinien des äußeren Feldes kommen somit pro Quadratzentimeter $4\pi J$ neue Linien hinzu, und die Gesamtzahl der ein Quadratzentimeter im Innern durchsetzenden Linien wird $H + 4\pi J = B$, oder:

$$J = \frac{B - H}{4\pi} \quad (1)$$

Früher war definiert:

$$B = \mu \cdot H \quad (2)$$

also:

$$4\pi J = H(\mu - 1) \quad (3)$$

Denkt man sich den Magneten in Würfel von t cm Kantenlänge zerschnitten, so befinden sich auf deren Endflächen die Magnetismusschichten $+J$ und $-J$. Der Würfel stellt also einen Magneten vom magnetischen Moment $M = J \cdot dv$.

Es beträgt somit in einem gleichmäßig magnetisierten Stabe das magnetische Moment der Volumeneinheit:

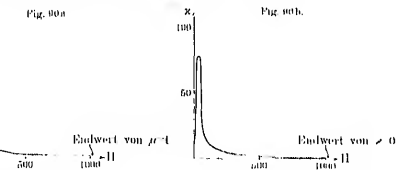
$$J = H \cdot (\mu - 1) / 4\pi = \alpha \cdot H \quad (4)$$

Die Größe α wird die „magnetische Suszeptibilität“ genannt. Zwischen α und μ besteht nach Gleichung (4) die Beziehung:

$$\mu = 1 + 4\pi\alpha \quad (5)$$

Nach der Molekularanschauung muß nun ein Maximum von J erreicht werden, wenn sämtliche Molekularmagnete sich völlig in die Feldrichtung gedreht haben; nennen wir diesen Maximalwert J_0 , so folgt aus Gleichung (1), daß schließlich $B - H = 4\pi J_0$, also konstant werden muß. Man sieht, daß nach der Molekulartheorie nicht B , sondern $B - H$ ein Maß für die Änderung ist, die im Eisen vor sich gegangen ist. Man nennt deshalb wohl auch die vorher als Moment der Volumeneinheit bezeichnete Größe J die „Intensität der Magnetisierung“. Daß diese Größe sich tatsächlich stets einem Grenzwert nähert, den sie nicht überschreitet, kann also als ein wichtiges Argument zugunsten der Molekulartheorie betrachtet werden; W. Weber (Elektrodynamische Maßbestimmungen III) hat hierauf zuerst aufmerksam gemacht und gezeigt, daß auch der übrige Verlauf der Magnetisierungskurve durchaus dieser Anschauung entspricht. Im Kapitel „Elektromagnetismus“ wird gezeigt werden, daß man die Molekularmagnete noch durch etwas andere, ihnen in der Wirkung aber fast gleichbedeutende (Liniende) ersetzen kann. Aus der Kurve (Fig. 89) geht ferner hervor, daß weder μ noch α konstante Größen sind. Nach Definition war $\mu = B/H$, in der Kurve war also, wenn die Ordinate in gleichem Maßstabe wie die Abszisse gezeichnet wären, für einen Punkt P der Kurve $\mu = tg \varphi$. (In die Ordinate der Hammersparnis wegen in 10 mal kleinerem Maßstab als die Abszisse gezeichnet sind, so ist in der Figur $\mu = 10 \cdot tg \varphi$.) Da die Kurve für H schließlich (bei richtigem Maßstab) in eine unter 45° geneigte Gerade übergeht, so muß für sehr große H schließlich auch $\varphi = 45^\circ$, also $\mu = 1$ werden. Im Anfang der Kurve steigt μ von sehr kleinen Werten rapide zu einem Maximum (bei etwa $B = 15000$ und $H = 15$, also $\mu = 1000$) an.

H/H wird in ähnlicher Weise durch $tg\,q$ dargestellt. Da die Kurve schließlich der Abszissenachse parallel läuft, so wird schließlich $\alpha = 0$. Folgt übrigens auch aus Gleichung (6), wenn man dort $\mu \rightarrow 1$ setzt. Minimum von α wird etwa gleichzeitig mit dem von μ erreicht und etwa 80. Der Verlauf von μ und α als Funktion der Feldstärke H wird in den folgenden Kurven dargestellt (Fig. 90a und b):



experimentellen Methoden zur Bestimmung der soeben besprochenen und alle elektromagnetischer Natur und können deshalb nicht weiteren Beispielen erst in Kapitel „Elektromagnetismus“ besprochen

4. Stärke permanenter Magnete. Wir wollen der Einfachheit halber annehmen, daß wir es mit vollkommener Remanenz zu tun haben, daß ganze Magnetisierungsmittel, die in dem Stahlblech erzeugt, nach Erlöschen oder Entfernung des erregenden Feldes im Stahlblech bleibt. Sie kann im günstigsten Falle also gleich dem oben besprochenen Sättigungswert J_0 sein. In Wirklichkeit bleibt nicht der volle Wert, sondern nur ein gewisser Bruchteil davon ¹⁾.

Man kann nun nach der Stärke fragen, die ein permanenter Magnet besitzt und aus einer bestimmten Stahlsorte herstellen kann, wenn man zu berücksichtigen, welche Wirkung des Magneten als Maß für die Stärke betrachtet wird. Durch die Stahlsorte selbst ist J_0 bestimmt. Größe $(H - H)/4\pi$ für sehr große einflussierende Feldstärken H . Nachdem das Feldes bleibt somit im Eisen eine Induktion H zurückgelegt:

$$H = 4\pi J_0. \quad (1)$$

Wir wollen die Abhängigkeit der verschiedenen Wirkungsweisen des Magneten von seinem Gewicht untersuchen:

1. Ablenkung einer entfernten Nadel (etwa bei Anwendung der Methoden nach § 22): Da J_0 das „magnetische Moment pro Volumeneinheit“ (vgl. § 16), so besitzt der ganze Magnet, wenn V sein Volumen, ein

$$M = J_0 \cdot V. \quad (2)$$

Da die Wirkung in großer Entfernung bloß vom Moment des Magneten abhängt (§ 22), so erhalten wir als Resultat:

¹⁾ Vgl. hierzu z. B. Kap. „Elektromagnetismus“.

A. Das Feld eines polaren Magneten ist seinem Volumen proportional.
 b) Wirkung auf eine dicht an einem Pole befindliche Nadel:
 Dicht an einem Pole kommt nur die Wirkung dieses Poles in Betracht. Das Feld ist also der freien Magnetisierungen der Endfläche $J_0 \cdot q$ proportional, d. h.:

B. Die (etwa durch Schwingungsbeobachtungen zu ermittelnde) Feldstärke in der Nähe eines Poles wächst proportional dem Querschnitt, oder für geometrisch ähnliche Magnete proportional der 2/3ten Potenz des Gewichtes.

c) Tragkraft: Die Anziehung auf einen vorgelegten Anker ist der Längsspannung der zwischen der Endfläche des Magneten und dem Anker übergehenden Kraftlinien proportional. Die Kraftliniendichte ist $H = 4\pi J_0$, die an einem Quadratzentimeter des Ankers angreifende Kraft ist $\frac{H^2}{8\pi} \cdot \frac{\mu-1}{\mu}$ [vgl. § 41, Gl. (2)] oder, da μ sehr groß, angenähert: $H^2/8\pi$. Die gesamte Tragkraft ist also:

$$K = H^2 q / 8\pi = 2\pi J_0^2 \cdot q \quad (3)$$

d. h.:

C. Die Tragkraft wächst proportional dem Querschnitt oder für geometrisch ähnliche Magnete proportional der 2/3ten Potenz des Gewichtes.

Fall a und c sind empirisch von Hückler¹⁾ geprüft; er fand für den Fall a, wenn P das Gewicht ist, die mit unserem Resultat übereinstimmende empirische Formel:

$$K = a \cdot \sqrt[3]{P^2} = a \cdot P^{2/3}$$

wo a eine vom Material und den Dimensionsverhältnissen abhängige Konstante. So ergab sich für eine Reihe von geometrisch ähnlichen Hufeisenmagneten:

Gewicht in Kilogrammen	Tragkraft in Kilogrammen	
	berechnet nach Hückers Formel mit $a = 24$	bemessen
0,5	10	11,5
1	21	21
1,5	27	27
2	33	33
6	61	61
10	65	97
20	155	154
30	203	202
40	245	245
50	285	285
100	453	454

Fall a [Gleichung (2)] läßt sich am einfachsten durch Schwingungsbeobachtungen prüfen. Nach Gleichung (1) in § 24 ist die Schwingungsdauer im Felde H der Erde:

$$t = \pi \cdot \sqrt{K / M H}$$

¹⁾ Pogg. Ann. 57, 321, 1842.

Für Stäbe ähnlicher Gestalt ist das Trägheitsmoment K proportional L^3 , wo L die Länge, M ist nach Gleichung (2) proportional V oder L^3 , also

$$K/M \text{ proportional } L^3,$$

somit t proportional L oder $\sqrt[3]{P}$.

Hücker fand für Stäbe variabler Gestalt, bei denen also das Gewicht P nicht proportional L^3 war, die empirische Beziehung, daß

$$t \text{ proportional } \sqrt[3]{P} \cdot \sqrt[3]{L}$$

sei; der zweite Faktor, der nur sehr langsam mit der Länge veränderlich ist (der 10fachen Länge bei gleichem Gewicht würde bloß eine Änderung im Verhältnis $\sqrt[3]{10}:1 = 1,47$ entsprechen), stellt eine Art von Gestaltsfaktor dar, der allerdings umgekehrt wirkt, als man nach den Ausführungen des § 42 erwarten sollte. Aufklärung könnte bloß eine Wiederholung der Versuche verschaffen.

§ 47. Magnetische Schirmwirkung. Nebenstehendes Feilspanbild, Fig. 91 a, zeigt den Einfluß, den ein Ring aus weichem Eisen auf den Verlauf

Fig. 91 a.

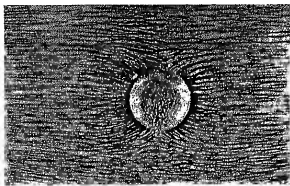
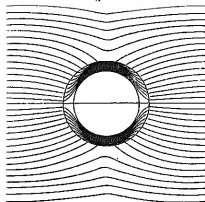


Fig. 91 b.



der Kraftlinien eines ursprünglich homogenen Feldes ausübt. Im Innern des Ringes ist ein Einfluß auf das Eisenpulver kaum zu bemerken, die Feld-

stärke ist dort also äußerst gering. Wir müssen annehmen, daß die Kraftlinien des Feldes fast völlig im Eisen verlaufen und fast gar nicht in den Innenraum des Ringes gelangen, etwa so, wie es in Fig. 91 b schematisch dargestellt ist. Zu einer theoretischen Deutung dieses Verhaltens gelangen wir durch die folgende Betrachtung:

In einem kugelförmigen Eisenkörper sei durch ein äußeres Feld H eine Induktion von der Stärke B erzeugt; in seinem Innern befindet sich ein sehr kleiner kugelförmiger Hohlraum. Wir können das in diesem Hohlraum herrschende Feld H_i offenbar berechnen, wenn wir in Gleichung (7) des § 42 H_i an Stelle von B , und B an Stelle von H setzen, und ferner μ mit $1/\mu$ vertauschen. Denn der Luftraum stellt einfach einen in das Eisen eingetauchten Körper dar, dessen Permeabilität im Verhältnis zum Eisen $1/\mu$ beträgt.

Wir erhalten dann:

$$H_i = B \frac{1}{\mu + \beta} \frac{1}{(1 - \mu)} \dots B \frac{1}{\mu (1 - \beta)} \frac{1}{1 - \beta} \dots \quad (1)$$

Für eine Kugel ist $\beta = 0,33$ (s. § 43), somit, wenn μ sehr groß, rund $B = 3 \cdot H$ (nach Gl. 7, § 42), also:

$$\frac{H_i}{H} = \frac{3}{\mu \dots 1/3} \dots \quad (2)$$

Hier kann man, weil μ sehr groß, das zweite Glied im Nenner vernachlässigen und erhält für das als Maß der Schirmwirkung zu betrachtende Verhältnis:

$$H_i/H = 9/2\mu;$$

wenn z. B. $\mu = 1000$ ist, so wird

$$H_i/H = 1/222.$$

Das Feld im Hohlraum beträgt dann also nur etwa $1/2$ Prozent des Außenfeldes.

Wird der Inhalt des Hohlraumes größer, so daß man es nur mit einer relativ dünnwandigen Hohlkugel zu tun hat, so wird die Schirmwirkung geringer. Die ziemlich komplizierte Theorie dieses Falles ist ausführlich von H. du Bois ¹⁾ behandelt.

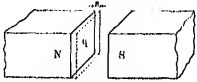
Die magnetische Schirmwirkung ist von großer praktischer Bedeutung, wenn man die Magnetnadeln eines Galvanometers (§ 119) gegen die Einwirkung äußerer magnetischer Störungen schützen will. Man umgibt dann das ganze Instrument mit einem Hohlmantel aus Eisen. Setzt man zwei solche Eisenschilde konzentrisch ineinander, so multiplizieren sich die Wirkungen beider, und man kann die Wirkung äußerer Störungen auf das Innere auf einen ganz minimalen Betrag herabdrücken.

§ 48. Energie des magnetischen Feldes. Wenn man irgend welche Magnete oder Eisenstücke im magnetischen Felde bewegt, so muß Arbeit aufgewandt werden, wenn die Bewegung gegen die Kraftrichtung erfolgt, oder es wird Arbeit gewonnen, wenn die Bewegung in Richtung der wirkenden Kraft geschieht. Die gewonnene (geleistete) Arbeit muß ihr Äquivalent in einem entsprechenden Quantum verschwundener (entstandener) Energie des

¹⁾ Wied. Ann. 63, 340, 1897; 65, 1, 1898.

in Feldes haben. Die ältere Verwirrungstheorie faßte diese
 einfach als Energie der Lage (s. Bd. I, § 76) der in die Ferne auf-
 tretenden Magnete auf, und deutete die Fehlenergie durch Formeln
 für die Stärken und Abstände der Pole an. Die Neu-
 theorie faßt die Fehlenergie als die Arbeit auf, die aufgewandt
 diejenige Veränderung im Raume zwischen den Magneten zu er-
 wir als magnetisches Feld wahrnehmen; die Energie stellt sich
 nicht als ein Ausdruck dar, der jedem Raumteil einen gewissen
 Fehlenergie zuweist; dieser Anteil kann nur von der Feld-
 er betroffenen Stelle selbst abhängen. Durch besondere Rech-
 nungen dann zeigen (s. weiter unten), daß der so gewonnene
 sich auf dieselbe Form bringen läßt, wie die Gleichungen der
 theorie, daß also auch
 rechnungsweise mathematisch
 schärfbar sind.

Fig. 92.



nehmen als einfachsten Fall
 zwei permanente Magnete
 Endflächen, die sich in ge-
 und gegenüberstehen und
 nungen Pole einander zu-
 (92). Die Magnete seien gleichförmig magnetisiert, so daß aus
 zentimeter der Endfläche H Kraftstrahlen zur gegenüberliegenden
 gehen und im Zwischenraum ein homogenes Feld erzeugen. Über
 permanenten Magnete die Kraftstrahlen völlig festlegen, so
 die äußere Spannung $H^2/8\pi$ pro Quadratzentimeter als
 in der Luft. Die Magnete mögen sich um eine Strecke s auf-
 bewegen. Ist ihr Querschnitt gleich q , so ist die gewonnenen
 $A = \text{Kraft} \cdot \text{Weg} = H^2/8\pi \cdot q \cdot s = H^2/8\pi \cdot V$ (1)

Die Verminderung des Zwischenraumes bei der Annäherung der
 Arbeit muß eine gleich große Verminderung der Energie des
 geben. Da das Feld homogen, so muß in jedem Kubik-
 gleiche Energie vorhanden sein. Nennen wir die magnetische
 dichte, d. h. die Energie pro Kubikzentimeter u , so ist die
 eine gleich $u \cdot V = A$, oder durch Einsetzen aus Gleichung (1):
 $u = H^2/8\pi$ (2)

ergiedichte ist also numerisch gleich der Spannung der
 . Dasselbe läßt sich auch für ein Medium mit der Permeabilität
 t ist:
 $\mu = H^2 \cdot \mu/8\pi = B \cdot H/8\pi$ [s. § 40, Gleichung (8)] (2a)

o ferner irgend einer der ein heliolisches Feld erfüllenden Körper
 einen kleinen Strich δx bewegt werden, und sich die gesamte
 dabei um δU vermindern. Dann ist jedenfalls, solange δx nur
 ein gewählt wird, δU dem δx proportional, somit:
 $-\delta U = k \cdot \delta x$,

dem weichen Eisenstück würde die Kraft $\frac{H^2}{8\pi} \frac{\mu - 1}{\mu}$ angreifen.

110 B. Können wir für ein Feld die Zahl seiner Einheitszellen, so erhalten wir seine Gesamtenergie durch Multiplikation dieser Anzahl mit $1/8\pi$.

Zu genau demselben Resultat gelangen wir auch in einem Medium mit der Permeabilität μ . Dort ist $a = H^2/8\pi\mu$, der Querschnitt einer Induktionsröhre ist $q = 1/B$. Ferner ist die auf einen Einheitspol wirkende Kraft $H' = B/\mu$. Die Arbeit ist also gleich 1 längs einer Strecke $a = 1/H' = \mu/B$. Somit wird das Volum einer Einheitszelle:

$$V = q \cdot a = \mu/B^2 \quad \dots \quad (6a)$$

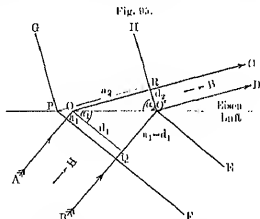
und der Energieinhalt:

$$u_1 = \mu \cdot V = 1/8\pi \quad \dots \quad (7)$$

Wir können ferner leicht den folgenden Satz ableiten:

C. An der Grenze zweier Medien gehen die Niveauflächen stetig ineinander über; nur ihre Richtung erleidet eine Knickung.

Beweis: Sei OO' die Grenze zwischen Luft und Eisen (Fig. 95). Die Induktionslinien AOC und BOD haben in Luft den Abstand d_1 , in Eisen d_2 .



Senkrecht zur Zeichnungsebene möge in beiden Medien die Breite der Röhren 1 cm betragen, so daß d_1 und d_2 auch die Querschnitte der Induktionsröhren darstellen. Dann ist:

$$d_1 = 1/H, \quad d_2 = 1/B \text{ oder } d_2/d_1 = H/B \quad \dots \quad (8)$$

Zwei Niveauflächen schneiden die Zeichnungsebene in $PQ'H$ und PPG ; sie bilden mit der Grenzfläche in Luft den Winkel α_1 , im Eisen α_2 . Nach § 38, Gleichung (7) ist

$$\lg \alpha_1 / \lg \alpha_2 = 1/\mu \quad \dots \quad (9)$$

Der Abstand $O'Q = a_1$ der beiden Niveauflächen in Luft ist gleich $1/H$, also nach Gleichung (8) auch

$$a_1 = d_1 \quad \dots \quad (10)$$

Gesucht wird der Wert des Abstandes a_2 . Es ist:

$$a_2/d_1 = \sin \alpha_2 / \sin \alpha_1 \text{ und } d_2/d_1 = \cos \alpha_2 / \cos \alpha_1 \quad \dots \quad (11)$$

somit:

$$a_2 \cdot d_1 / a_1 d_2 = \lg \alpha_2 / \lg \alpha_1 = \mu \quad \dots \quad (12)$$

$$a_1 = \dots \mu d_2 + \dots \mu' B + \dots 1, H' \dots \dots \dots (10)$$

die Feldstärke im Eisen, was zu beweisen war.

3. Gestalt der Niveauflächen: Potential. Wir betrachten zunächst identen Fall, nämlich das Feld eines einzelnen Poles von der Stärke m . Die Kraftlinien gehen radial nach allen Seiten, die Niveauflächen sind konzentrische Kugeln mit dem Pol m als Mittelpunkt.

Schnitt durch den Mittelpunkt dieser Kugeln gibt als Durchschnittsfläche der Schnittebene konzentrische Kreise, deren Radien zu zeigen sind, daß die Arbeit zwischen zwei benachbarten Niveauflächen gleich ist.

dem Coulombschen Gesetz ist $H = m/r^2$. Nehmen wir also einen Einheitspol $m=1$ und eine sehr kleine r , so ist die dabei von den magnetischen Kräften geleistete Arbeit $\delta A = H \cdot \delta r = m \cdot \delta r / r^2 \dots \dots \dots (1)$

Es läßt sich aber in folgender Weise umformen: Die Größe m/r ändert sich bei einer Verschiebung δr um: $\delta(m/r) = -m/r^2 \cdot \delta r = -m \cdot \delta r / r^2$; läßt man δr immer kleiner werden, so daß es in der Summe $r \cdot \delta r$ gegen r verschwindet, so wird

$$\delta(m/r) = -m \cdot \delta r / r^2 \dots \dots \dots (2)$$

Nach Gleichung (1) eingesetzt, gilt dies:

$$\delta A = -\delta(m/r) \dots \dots \dots (3)$$

Nehmen wir jetzt den Einheitspol von einer beliebigen Niveaufläche mit dem Radius r_1 bis zu einer beliebigen anderen mit dem Radius r_2 , so ist die gesamte Arbeit A gleich der Summe aller Abnahmen von m/r , d. h. der Differenz zwischen Anfangs- und Endwert. Somit:

$$A = m/r_1 - m/r_2 = V_1 - V_2 \dots \dots \dots (4)$$

bezeichnen die Größe

$$V = m/r \dots \dots \dots (5)$$

das "Potential" des Poles m im Abstand r . Es stellt die Arbeit dar, die von magnetischen Kräften geleistet wird, wenn ein Einheitspol sich von r bis in unendliche Entfernung bewegt; dann wenn $r_1 = r = \infty$, so wird $m/r_1 = 0$ und $A = m/r$.

(Gleichung (4) erhalten wir die in § 40 festgesetzten Abstände r_1 und r_2 so gezeichnet, wenn wir die Stellen so wählen, daß für zwei aufeinanderfolgende, z. B. die n te und die $(n+1)$ te die Differenz:

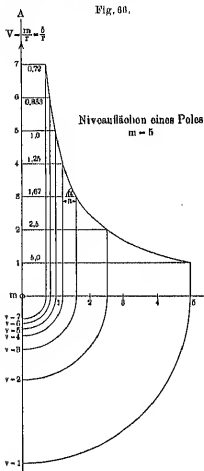
$$m/r_n - m/r_{n+1} = 1 \dots \dots \dots (6)$$

etwa ein Pol von der Stärke $m = n$ gegeben. Es sollen die Stellen oder vielmehr ihre kreisförmigen Durchschnitte mit der Zeichnung so bezeichnet werden, daß $V = m/r$ ganzzahlige Werte annimmt (s. die folgende Tabelle). Die zugehörigen Werte von r ergeben sich aus Gleichung (5) zu $r = m/V$ (zweite Zeile der Tabelle).

Tabelle ($m = 5$; $r = m/V$).

V	r	V	r
1	5	5	1,0
2	2,5	6	0,83
3	1,67	7	0,72
4	1,25		

In Fig. 96 ist von den so erhaltenen Kreisen nur je ein Quadrant gezeichnet. Tragen wir vom Punkte m aus die Werte von V als Ordinaten



und die zugehörigen r -Werte als Abszissen auf, so erhalten wir eine Kurve, die in anschaulicher Weise die Abhängigkeit zwischen V und r angibt. Die Kurve hat die Gleichung $V, r = m = \text{const.}$, ist also eine gleichseitige Hyperbel.

Der Abstand a zwischen zwei aufeinander folgenden Kreisen ist gleich $1/H$. Ist an irgend einer Stelle α der Neigungswinkel der Hyperbel gegen die Abszissenachse, so ist

$$\tan \alpha = 1/a = H. \quad (7)$$

Die Steilheit der Kurve gibt also ein anschauliches Bild für die Stärke der magnetischen Kraft an der betreffenden Stelle. Es stellt ferner $1/a$ das Verhältnis zwischen einer Potentialänderung $\delta V = 1$ längs einer Strecke a und der Strecke selbst dar, ist also gleich der Änderung δV , die das Potential längs einer Strecke von 1 cm in radialer Richtung erleiden würde, wenn längs dieser Strecke die Änderungsgeschwindigkeit konstant bliebe. Man bezieht deshalb auch die durch Gleichung (7) dargestellte Größe als das „Potentialgefälle“, so daß man die Beziehung erhält:

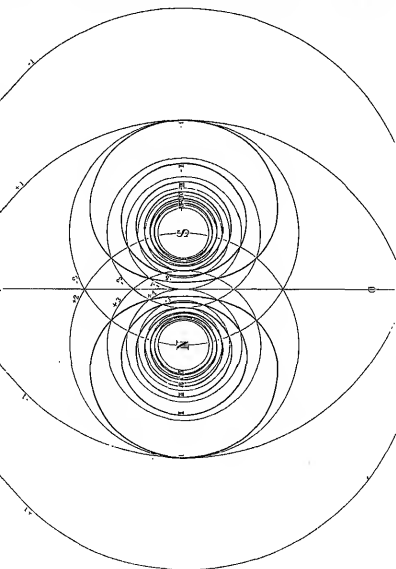
A. Feldstärke = Potentialgefälle.

In ganz ähnlicher Weise erhalten wir die Niveaulinien für zwei Pole. Da die Feldstärke nach dem Coulombschen Gesetz gleich der Resultante der von den beiden Polen erzeugten Einzelfeldstärken ist, so kann man die Arbeit bei der Verschiebung eines Einheitspols aus der Unendlichkeit bis

in betrachteten Punkt durch einfache Addition der gegen jeden der Pole geleisteten Einzularbeiten erhalten. Es ist also das Potential:

$$V = m_1/r_1 + m_2/r_2 \dots \dots \dots (8)$$

m_1 und m_2 die Polstärken beider Pole und r_1 und r_2 die Abstände des betrachteten Punktes von den Polen. Wir erhalten also die Niveauflächen,



die Flächen gleichen Potentials, wenn wir die Punkte verbinden, für $m_1/r_1 + m_2/r_2$ denselben Wert hat.

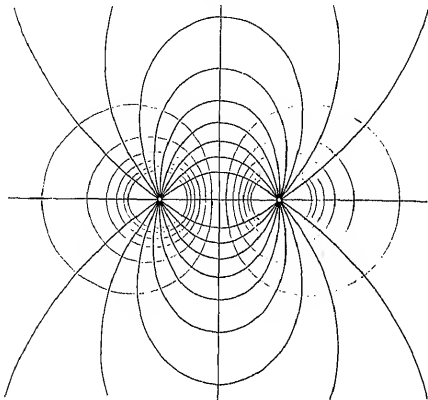
Es seien etwa die beiden Pole entgegengesetzt gleich, also $m_1 = -m_2 = m$;

ist: $V = m(1/r_1 - 1/r_2)$.

Ullrich-Pouillet-Pfeiffer. IV.

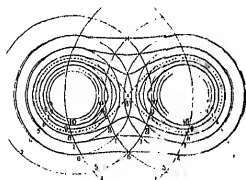
In der Fig. 97 ist $n = 6$ angenommen. Man zeichne zunächst die Niveaureise für jeden der Pole, nummeriere sie den zugehörigen Einzelpotentialen

Fig. 98.



entsprechend mit $+1, +2$ usw. resp. mit $-1, -2$ usw. Dann verbinde man diejenigen Schnittpunkte miteinander, für die sich ein konstanter Wert

Fig. 99.



der Nummerendifferenz ergibt. Dann erhält man die in der Figur stark ausgezogenen Kurven (bei der Ausführung der Figur ist zur Erzielung größerer

annäherung eine weit größere Anzahl von Nivaukreisen benutzt werden (s. insbesondere die Abbildungen, die zu den einzelnen Kurven gehörigen Werte des Potentials V sind durch die römischen Ziffern angegeben).

Fig. 98 zeigt die so erhaltenen Nivaulinien zusammen mit den zugehörigen, sie senkrecht durchschneidenden Kraftlinien. Dreht man die ganze Figur um ihre Achse, so entstehen die bereits bekannten Kraftstrahlen, die sich aus den Nivaulinien in ringförmige „Einheitszellen“ zerschnitten werden.

Für zwei gleichnamige Pole erhält man die entsprechende Figur, wenn man $V = m(1/r_1 - 1/r_2)$ setzt, wenn man also die Schnittpunkte derjenigen Nivaukreise verbindet, für die die Nummernräume konstant ist. Fig. 99 zeigt die Nivaulinien für diesen Fall.

§ 51. Berechnung der Feldenergie. Wir betrachten zunächst einen einzelnen Pol (also einen in Wirklichkeit nicht vorkommenden Idealfall), der die Gestalt einer Kugel vom Radius a und die Polstärke m besitzt; wir wollen die Verteilung der Feldenergie in dem diesen Pol umgebenden Raum bestimmen.

Die Nivaulinien umgeben den Pol in Gestalt konzentrischer Kugeln; das Potential an der Oberfläche der Kugel, in deren Mitte wir uns die Magnetismussmenge m konzentriert denken wollen, ist gleich m/a und in unendlicher Entfernung gleich Null. Da die Potentialdifferenz zwischen zwei benachbarten Nivaulinien gleich 1 ist, so ist die Zahl der im ganzen Raum vorhandenen Nivaulinien gleich m/a .

Die $4\pi m$ vom Pole ausgehenden Kraftstrahlen teilen den Raum zwischen zwei Nivaulinien in $4\pi m$ Einheitszellen, die jede die Energie $1/8\pi$ enthalten. Die ganze zwischen zwei Nivaulinien enthaltene Energie beträgt also:

$$4\pi m/8\pi = m/2 \text{ Erg.}$$

Die Gesamtenergie des Feldes erhalten wir durch Multiplikation mit der Zahl der Nivaulinien, also mit m/a zu:

$$U = m^2/2a \quad (1)$$

Es ist bemerkenswert, daß von dieser Energie der weitaus größte Teil unmittelbar am Pol konzentriert ist, denn dort stehen ja die Nivaulinien am dichtesten und die Einheitszellen haben den kleinsten Rauminhalt. Umgibt man z. B. den Pol mit einer konzentrischen Kugel vom Radius $2a$, so liegen innerhalb dieser Kugel $m/a - m/2a = m/2a$ Nivaulinien, außerhalb bis ins Unendliche ebenfalls $m/2a$ Nivaulinien. Es ist also bereits die Hälfte der ganzen Feldenergie in dem verhältnismäßig kleinen Kugelumraum vom Radius $2a$ enthalten.

(In der Ausdrucksweise der Fernwirkungstheorie wird die durch Gleichung (1) dargestellte Größe wohl auch als das „Potential des Poles auf sich selbst“ bezeichnet.)

Wir betrachten nunmehr zwei beliebige ungleichnamige Pole m_1 und m_2 . m_1 sei positiv, m_2 negativ; m_1 sei numerisch größer als m_2 . Beide Pole seien als Kugeln mit den Radien a_1 und a_2 betrachtet worden. Ihr gegenseitiger Abstand sei r .

Dann ist das Potential an der Oberfläche des Poles m_1 :

$$V_1 = m_1/a_1 + m_2/r \quad (2)$$

und an der Oberfläche von m_2 :

$$V_2 = m_2/a_2 + m_1/r \quad . \quad . \quad . \quad (3)$$

Die Potentialdifferenz beider Pole ist also:

$$V_1 - V_2 = m_1/a_1 - m_2/a_2 - (m_1 - m_2)/r \quad . \quad . \quad . \quad (4)$$

Von m_1 nach m_2 gehen $4\pi m_2$ Kraftströme; der Rest von $4\pi(m_1 + m_2)$ Ströme erstreckt sich von m_1 ins Unendliche (genauer gesagt zu den als sehr weit entfernt gedachten anderen Polen der betrachteten Magnete). Die zwischen den beiden Polen übergehenden Kraftströme werden durch die Niveauflächen in $V_1 - V_2$ Einheitszellen geleitet; es beträgt somit ihre Energie:

$$-\frac{1}{8\pi} \cdot 4\pi m_2 \cdot (V_1 - V_2) = -\frac{m_2}{2} (V_1 - V_2);$$

die ins Unendliche verlaufenden Kraftströme dagegen enthalten, da im Unendlichen $V = 0$ ist, jede V_1 Einheitszellen, so daß ihre Energie

$$\frac{1}{8\pi} \cdot 4\pi(m_1 + m_2) \cdot V_1 = \frac{m_1 + m_2}{2} \cdot V_1$$

beträgt. Die Gesamtenergie des Feldes wird gleich der Summe beider Ausdrücke, also wenn man für V_1 und V_2 ihre Werte aus 2 und 3 einsetzt:

$$U = m_1^2/2a_1 + m_2^2/2a_2 - m_1 m_2/r \quad . \quad . \quad . \quad (5)$$

Entfernt man die Pole bis ins Unendliche voneinander, so bleibt in Gleichung (5) einfach die Summe der jedem Pole für sich zukommenden Feldenergie übrig.

Ändert man die Entfernung r um 1 cm, so ändert sich nur das letzte Glied der Gleichung (5). Die Energieverminderung $-\delta_r U$ bei einer Verkürzung von r um 1 cm muß nach § 49, Gleichung (8) gleich der Anziehungskraft K sein, die die Pole schenken in die Kerne aufeinander ausüben, es ist also:

$$-\delta_r U = K = -\delta_r(m_1 m_2/r) = -m_1 m_2 \cdot \delta_r(1/r) = +m_1 m_2 \cdot 1/r^2 \quad (6)$$

(vgl. die Ableitung von Gleichung (2), § 50, wenn man dort $m = 1$ setzt). Gleichung (6) kann auch geschrieben werden:

$$K = -m_2 \cdot \delta_r(m_1/r) \quad . \quad . \quad . \quad (7)$$

Die Kraft K , die ein fester Pol m_1 auf einen beweglichen m_2 ausübt, ergibt sich also, wenn man das Potentialgefälle $-\delta_r(m_1/r)$ des festen Poles am Orte des beweglichen, d. h. die dort herrschende Feldstärke mit der Polstärke des beweglichen Poles multipliziert.

Dieses Resultat gilt ganz allgemein. Ist die Potentialverteilung in einem von beliebigen Magneten herrührenden Felde gegeben, so ist immer die Kraft auf einen in das Feld gebrachten Einheitspol gleich dem Potentialgefälle an dem beobachteten Punkt (vgl. § 50, Satz A). Der aus dem gefundenen Wert für die gegenseitige Einwirkung zweier Magnete [Gleichung (4)] ist völlig identisch mit dem Ansatz der Fernwirkungstheorie, d. h. dem Coulomb-Gesetz. Was aber bei dieser Theorie als Grundannahme auftritt, nämlich eine gegenseitige Anziehung oder Abstoßung zweier Mengen m_1 und m_2 , eines hypothetischen magnetischen Fluidums, nach einem durch Gleichung (6) ausgedrückten Gesetz, erhalten wir in der Feldtheorie als Folge einer An-

anz anderer Art, nämlich daß an jeder Stelle des Feldes eine Dichte im Betrage von $n = H^2 \mu / 8\pi$ aufgespeichert sei; welcher Veränderung im Medium ist, deren Hervorbringung diesem Energieerforderte, bleibt dabei gänzlich unbestimmt. Die Kräfte auf vogelichen Körper in beliebiger Richtung ergeben sich dann aus der, die die gesamte Feldenergie U bei einer Verschiebung des um 1 cm in dieser Richtung erleidet. Die in einem Raume eingeschlossene „Magnetisierungsenergie“ ist nichts weiter als ein abgekürzter Ausdruck der 4 π ten Teil des aus diesem Raume herauszudringenden Kraftfeldes, die im § 29 eingeführte Vorstellung von den Spannungen und den Kraftströmen kann man jetzt, wenn man will, ganz unberücksichtigt lassen; zur Berechnung der mechanischen Kräfte genügt die Existenz der Feldenergie von dem angegebenen Betrage in Verbindung mit dem Satze von der Erhaltung der Energie. Die Faraday'schen Spannungen haben den Vorzug der unmittelbaren Anschaulichkeit, und können als Hilfsvorstellung beibehalten werden, auch wenn man sie aus dem Grunde nicht als reell bestehend ansehen will.

Drittes Kapitel. Grundtatsachen der Elektrostatik.

§ 52. **Fundamentalversuche; Elektrisierung durch Reibung.**
Schon im Altertum war bekannt, daß der Bernstein (griechisch: „Elektron“) durch Reiben die Fähigkeit erlangte, leichte Körperchen, wie Stroh, Asche u. dgl. anzuziehen. Deshalb führte W. Gilbert (1540 bis 1603) für diese Eigenschaft, die er außer am Bernstein noch an einer ganzen Reihe anderer Körper nachwies, den Namen „elektrische Kraft“ (vis electrica) ein. Wir bezeichnen einen Körper, der durch Reiben oder auf sonstige Weise in den genannten Zustand versetzt ist, als „elektrisiert“ oder „elektrisch geladen“ und sprechen von der „Elektrizität“ als der Ursache der im folgenden besprochenen Erscheinungen.

Zum Nachweis der genannten Wirkung benutzt man als anziehende Körper am besten kleine Kugeln aus Hohnhornmark oder auch Korkstaub,

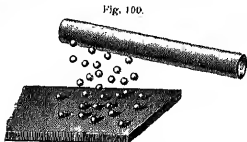


Fig. 100.

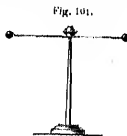


Fig. 101.

Asche, Papierschnitzel, freihängende dünne Fäden u. dgl. Als anziehende, durch Reiben mit der Hand, einem Papierblatt, einem wollenen oder einem oedlenen Lappen, dem Rockärmel usw. elektrisch werdende Körper können unter anderem dienen: Glas, Siegellack, Hartgummi, Schwefel, Harz, Sechellack, Paraffin, Kalkspat. Die Anziehung wirkt auf mehrere Centimeter Entfernung (Fig. 100), nimmt jedoch mit zunehmendem Abstand rasch ab.

Gilbert nennt als Körper, die durch Reiben elektrisch werden, außer den bereits genannten, u. a. noch Edelmetalle, Bergkristall, Spate, Steinmalz; unelektrisch dagegen bleiben nach Gilberts Angabe: Achat, Porlan, Alabaster, Marmor, Knochen, Elfenbein und alle Metalle. Wir werden weiter unten sehen, daß die letzte Reihe einer gewissen Revision bedarf. Gilbert fand ferner, daß die Anziehung eines elektrisierten Körpers auf alle anderen Körper in mercklich gleicher Weise wirkt, wenn man sie nur genügend leicht

macht. So konnte er z. B. die Anziehung eines Metalles an der
 01 abgebildeten „elektrischen Nadel“ nachweisen, die einfach aus
 eichentreifen mit zwei Kugeln am Ende bestand und mittels eines
 auf einer Spitze schwebte. Hier zeigte sich also ein wesentlicher
 od gegentheil dem Magnetismus, der nur auf die wenigen ferro-
 mmetischen Metalle kräftig, dagegen auf alle anderen Körper kaum merk-
 lich hier und im folgenden von „Anziehung“ und „Abstoßung“ die
 so sollen diese Worte ebenso wie früher beim Magnetismus nur eine

Fig. 102.

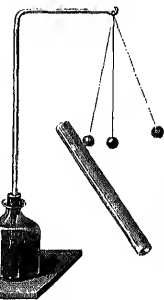
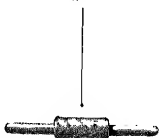


Fig. 103.



möglichst kurze Umschreibung der
 tatsächlich beobachteten Bewegungen
 andrücken, ohne daß dabei an eine
 wirkliche Einwirkung in der Ferne
 gedacht zu werden braucht; wir
 werden in der Tat im vierten Kapitel
 eine Anschauung der elektrischen
 Vorgänge entwickeln, die der im
 zweiten Kapitel dargestellten An-
 schauung der magnetischen Vorgänge
 genau analog ist.

andere Mittel, den anzuziehenden Körper leicht beweglich zu
 stehe in der Aufhängung an einem langen dünnen Zwirnfaden.
 Benutzt man als Träger, wie in der Figur angedeutet, einen
 so findet man manchmal, daß das angezogene Kugelhuhn, wenn
 ziehenden Körper berührt hat, unumkehr abgestoßen wird;
 ung dieses von O. v. Guericke 1671 entdeckten Verhaltens soll
 m erfolgen.

versuchen in einem großen Hirsch benutzt man am besten Röhren
 papier, die an möglichst langen Fäden aufgehängt sind¹⁾, oder
 allens.

Anziehung zwischen dem elektrisierten und dem unelektrischen
 eine gegenseitige. Hängt man einen geraden Stab aus einer
 geführten Substanz, wie Fig. 104 zeigt, in einer Papierrohre
 einen ungedrehten Faden auf, so wird er von jedem gerührten
 gezogen.

Herstellung der Röhren wickelt man ein passend geschliffenes Stück
 einen Tamponzylinder und verklebt die Ränder mit Gummiarabikum.

§ 53. Positive und negative Elektrizität. Im Jahre 1733 entdeckte Dufay, daß es zwei verschiedene Arten von Elektrizität gebe.

Wir hängen einen durch Reiben elektrisierten Glasstab in der schon (Fig. 103) angegebenen Weise drehbar auf und nähern ihm einen zweiten in der Hand gehaltenen geriebenen Glasstab; der bewegliche Stab wird abgestoßen; von einem geriebenen Siegellackstabe dagegen wird er angezogen. Ebenso wird ein drehbar aufgehängter geriebener Siegellackstab von einem anderen Siegellackstabe abgestoßen, von einem Glasstabe dagegen angezogen.

Wir haben es hier also mit zwei verschiedenen elektrischen Zuständen zu tun, derart, daß gleichartig elektrische Körper sich abstoßen, ungleichartige sich anziehen.

Macht man denselben Versuch noch mit einer Reihe anderer Körper, so findet man, daß es jedenfalls nur zwei Arten von Elektrizität gibt, derart, daß immer die mit der einen Art behafteten Körper alle gleichartig geladenen abstoßen, alle ungleichartigen anziehen¹⁾.

Dufay schlug für die beiden Arten von Elektrizität die Namen Glas- und Harzelektrizität vor. Heute ist allgemein die von B. Franklin (um 1750) stammende Benennung „positive“ und „negative“ Elektrizität in Gebrauch. Die Art der erzeugten Elektrizität hängt nicht nur von dem geriebenen Körper, sondern auch von der Art des Reibzeugs ab; unter anderem ist ein mit Seide oder mit auf Leder verriebenen Zinnamalgen²⁾ geriebener Glasstab positiv elektrisch; ein mit Wolle oder Fell geriebener Harz-, Siegellack- oder Hartgummistab dagegen negativ elektrisch (näheres s. § 58).

Im folgenden soll eine von Lichtenberg³⁾ eingeführte Abkürzung benutzt und positive Elektrizität als „+ E“, negative als „— E“ bezeichnet werden. Der eigentliche Sinn der Benennungsweise Franklins kann erst weiter unten erklärt werden.

§ 54. Leiter und Nichtleiter der Elektrizität. Man war lange der Meinung, daß die Körper der zweiten (Gilbertschen) Reihe (s. § 52), namentlich also die Metalle überhaupt, nicht in elektrischen Zustand versetzt werden könnten.

Im Jahre 1720 entdeckte jedoch St. Gray⁴⁾, daß ein Metalldraht, dessen Ende mittels eines Korkstopfens in das offene Ende einer Glasröhre eingesteckt war, und sino an den Draht angehängte Metallkette ihrer ganzen Ausdehnung nach elektrisch wurden und die Eigenschaft erhielten, leichte Körperchen anzuziehen, sobald man die Glasröhre durch Reiben elektrisch machte. Dadurch war bewiesen, daß die Metalle nicht nur den elektrischen Zustand anzunehmen, sondern daß sie ihn auch fortzuleiten imstande sind.

¹⁾ Der Versuch ergibt: Alle Körper, die von einem Glasstabe abgestoßen werden, stoßen sich auch gegenseitig ab; alle die von einem Siegellackstabe abgestoßen werden, stoßen sich ebenfalls gegenseitig ab; dagegen ziehen je zwei den beiden verschiedenen Klassen angehörige Körper sich an.

²⁾ Zur Herstellung des Amalgams legt man ein Stannblech auf ein Stück weiches Leder, gießt einige Tropfen Quecksilber darauf und verreibt das entstehende Amalgam mit dem Finger oder mit einer Harze.

³⁾ Comment. Soc. Göttingen 1777.

⁴⁾ Phil. Trans. 1731, 1752, 1755, 1756.

solche Eigenschaft fand man dann an allen Körpern, die durch Reiben
sich nicht erregbar waren; durch Desaguliers¹⁾ wurde für sie der
Leiter der Elektrizität²⁾ eingeführt.

Nach Gilberts Angabe durch Reiben elektrisierbaren Körpern dargegen
aus Leiter; dann wenn man z. B. einen langen Glasstab an einem
durch Reiben elektrisch macht, so zeigt das andere Ende keine Spur
sonderer Wirkung. Man nennt deshalb diese Körper auch „Nicht-

Leiter kann nur dann den elektrischen Zustand annehmen, wenn er
mit Nichtleitern umgeben ist; man sagt von einem solchen Leiter, er
„steht“ und nennt die Nichtleiter auch „Isolatoren“. Ist der Leiter mit
Leitern und durch diese mit dem Erdboden in Verbindung, so wird
ihm befindliche elektrische Ladung sofort abgeleitet. Aus der Tat-
sache es überhaupt möglich ist, bei Anwendung isolirander, d. h. nicht
auf Stützen einem Leiter eine elektrische Ladung zu erteilen, folgt, daß
Leiter rings umgebende Luft auch ein Nichtleiter sein muß.

Bestimmen wir einen Metallstab an einem nichtleitenden Handgriff
(z. B. aus Holz), so können wir ihn durch Reiben mit einem Nichtleiter, z. B.
einem Lappen oder einem Stück Gummi, elektrisch machen; das-
selbe gilt für alle anderen Leiter. Die Eigenschaft, durch Reiben elektrisch
zu werden, kommt also allen Körpern zu; nur müssen die Leiter isoliert sein,
d. h. die Elektrizität sofort zur Erde abfließt. Wasser ist ein Leiter,
Berührung eines geladenen Metallstabes mit einer Wasserfläche³⁾ heißt
die Ladung verschwinden. Da manche isolierende Körper die Eigen-
schaft, sich an ihrer Oberfläche mit einer Wasserhaut zu überziehen
(z. B. tropische Körper), namentlich bei feuchtem Wetter, so gelangen die-
sen Versuche bei solchem Wetter häufiger schlecht. (Man besitzt die-
se Eigenschaft sehr stark, so daß es sich auf den ersten Anschein
als ob er wie ein Leiter als wie ein Isolator verhält⁴⁾).

Bei elektrischen Leitern und Nichtleitern gibt es in Wirklichkeit keine scharfe
Grenze; sondern es bestehen alle Arten von Zwischenstufen, von den besten
bis schlechtesten Leitern. Eine genaue Klassifizierung kann nicht
erfolgen, hier genügt eine für praktische Zwecke ausreichende Ein-
theilung in drei Gruppen: Leiter, Halbleiter und Nichtleiter. Zur ersten
Gruppe sollen alle Körper gerechnet werden, welche den elektrischen Zustand
erhalten, d. h. durch Berührung in unmerklich kurzer Zeit vor-
von der zweiten Gruppe diejenigen, bei denen eine, wenn auch kleine,
ohne weitere Hilfsmittel merkliche Zeit zur Vernichtung des Zu-
standes erforderlich ist, zur dritten diejenigen, bei denen diese Zeit sehr groß
mehrere Minuten oder Stunden beträgt).

Es folgen nachfolgend eine Tabelle der bekanntesten Leiter, Halbleiter
und Nichtleiter, wobei die aufgeführten Stoffe in der Reihenfolge von den
besten bis schlechtesten Leitern geordnet sind:

Phil. Trans. 1789 bis 1792.

Das Wasser darf natürlich nicht isoliert sein; es muß sich in einer Metall-
rinne befinden.

Die meisten Glas (z. B. Flintglas) zeigt diese Störung weniger, als das zu
und Gersten in Deutschland fast ausschließlich verarbeitete Erzeugnis
stet zur Herstellung der Oberflächenelektronik v. S. 55.

Leiter	Halbleiter	Nichtleiter
Metalle	Alkohol (wasserfrei)	Fette Öle
Kohle	Äther	Asche
Graphit	Glimmer	Eis bei -25°
Wasser und wässrige Lösungen	Leitverlechtes Holz	Phosphor
Schnee (naß)	Marmor	Kreide
Lebende pflanzliche und tierische Teile	Papier	Terpentinöl (reinstes)
Lösliche Salze	Stroh	Hartgummi
Leinen	Eis bei 0°	Porzellan
Wannwolle		Leder, Pergament
		Federn, Haare, Wolle,
		Seide
		Kristalle, Marmor, Glas
		Wachs, Paraffin
		Schwefel
		Harze
		Beinstein

Die Wärme wirkt auf das Leitvermögen indirekt ein durch Trocknung; so werden Papier, Pappdeckel und Holz durch Erwärmung auf etwa 70° während einiger Minuten zu vorzüglichen Isolatoren, die durch Reiben mit einer Bürste oder einem Wellappen stark elektrisch werden. Daß das Papier seine Leitfähigkeit bloß seinem Wassergehalt verdankt, beweist man leicht, wenn man das noch heiße Papier durch geschmolzenes Paraffin zieht. Dann bleibt es auch nach dem Erkalten ein Nichtleiter, weil der Paraffinüberzug ein Anziehen von Feuchtigkeit verhindert. Ebenso wird die Isolation eines Glasstabes durch mäßiges Erwärmen erhöht. Stärkere Erwärmung dagegen erhöht die Leitfähigkeit der meisten Halb- und Nichtleiter; bei 200° ist z. B. das Glas schon ein ziemlich guter Leiter.

Die Luft, sowie alle anderen Gase und Dämpfe sind sehr gute Isolatoren, was ja schon aus der Tatsache hervorgeht, daß es überhaupt möglich ist, einen Körper, der allseitig von Luft umgeben ist, längere Zeit hindurch in geladenem Zustande zu erhalten. Auch feuchte oder nasse Luft ist nicht etwa besser, wie früher häufig behauptet wurde; die schnelleren Verluste isolierter Leiter in feuchter Luft rühren vielmehr lediglich von der Leitung der feucht gewordenen Stellen her.

Der experimentelle Nachweis dieser Tatsache gelingt leicht, wenn man gegen einen geladenen Leiter, der an einem sehr langen Seidenfaden hängt, Wasserdampf aus einem kleinen Dampfkessel bläst. Es findet nicht die geringste Beschleunigung des Ladungsverlustes statt. Zum Nachweis des Ladungszustandes dient hierbei eines der im § 87 zu beschreibenden Elektroskope.

Gute Leiter dagegen sind die von einer Flamme aufsteigenden Gase. Man benutzt diese Eigenschaft, um elektrisierten Körpern ihre Ladung rasch und vollständig zu entziehen. Bewegt man nämlich einen durch Reibung elektrisierten Körper über einer kleinen Flamme ein paarmal hin und her,

der Punkt von den leitenden Gasen berührt und dadurch eine
lige Entladung herbeigeführt!).

55. Sogenannte „Mitteilung“ der Elektrizität. Wir nähern eine
geriebene Glas- oder Siegellackstange einer an einem ungeladenen
Körper, also an einem Nichtleiter, aufgehängten Kork- oder Holunder-
kugel. Die Kugel wird zuerst angezogen, nach der Berührung mit dem
ersten Stabe aber sofort wieder abgestoßen und bleibt in einiger Ent-
fernung vom Stabe schweben. Entfernen wir den Stab und nähern nun der
Kugel auf einmal in der Hand gehaltenen Metallblech kleine Papierschnitzel,
so werden diese von der Kugel angezogen und unmittelbar nach der Be-
rührung wieder abgestoßen. Die Wirkung auf die Papierschnitzel zeigt, daß
die Kugel selbst elektrisch geworden ist, und daß sie ihren Zustand auf andere
Körper (die Papierschnitzel) weiter übertragen kann. Da die „durch Berührung“
erhaltene „Mitteilung“ elektrisierte Kugel von der geriebenen Stange, der sie
sich verliert, abgestoßen wird, so schließen wir, daß die mitgeteilte
Ladung auf der mitteilenden Stange vorhanden gleichnamig ist. War
zuerst der Körper eine mit Amalgam geriebene Glasstange, so wird,
nach § 53 positiv elektrisch ist, auch die Kugel eine + Ladung er-
halten. Um Beweis nähern wir der durch Mitteilung mittels eines (Glas-
elektrisierten) Kugel eine geriebene Siegellackstange und finden, daß
die Kugel anzieht. Umgekehrt wird die Kugel, wenn sie durch Mit-
teilung einer Siegellackstange — elektrisch gemacht ist, von der Siegellack-
stange abgestoßen und von der Glasstange angezogen.

Die weiteren Befestigung unserer Konstante dienen nach folgender
Anordnung:

Wir hängen zwei Korkkugeln, jede für sich, an einer Stütze, wie in
Fig. 2, auf und elektrisieren beide mittels eines Glasstabs. Nähern wir
die Kugeln einander, so stoßen sie sich ab. Dasselbe findet statt, wenn
eine Kugel mit einem Siegellackstabe elektrisiert wird. Wenn dagegen die eine mit
einem Glasstabe, die andere mit einem Siegellackstabe elektrisiert ist, so ziehen
sie sich an. Das in § 53 gefundene Gesetz, daß gleichartig elektrisierte
Körper sich abstoßen, ungleichartig elektrisierte sich anziehen, gilt also nicht
nur für durch Reibung direkt elektrisierte Körper, sondern auch für
die durch Mitteilung erhaltenen (Fig. 2).

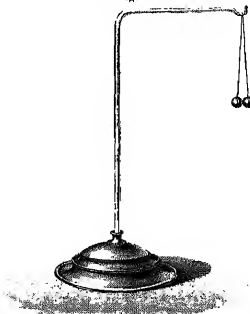
Wir legen wir eine Korkkugel mittels eines Leinwandfaden an einem Metall-
stange auf, so ist es infolge der Leitfähigkeit des Fadens und Stabes nicht
möglich, ihr eine Ladung zu erteilen und es tritt keine Abstoßung ein;
auch gelingt dagegen wieder, wenn wir den Leinwandfaden an einem
Siegellack hängen; jetzt leitet zwar der Faden, aber die Ladung kann

Die Wirkung der Platten wurde von Mitgliedern der Florentiner Akad.
im Jahre 1667 entdeckt.

Der Vorgang der Elektrizitätsübertragung durch „Mitteilung“ ist nicht
so einfach, wie er im ersten Augenblicke erscheint; die Mitteilung von einem
Körper zu einem anderen Nichtleiter oder zu einem Leiter geschieht nur mittels
eines elektrischer Körper, von denen aus der Übergang herab zu der völligen Be-
rührung Vermittelung eines „Punktes“ erfolgt. Dagegen findet der Über-
gang zwischen zwei Leitern, die sich berühren, auch bei beliebig kleiner Ladung
unmittelbar über die Mitteilung s. § 42.)

nur bis zum Siegellack dringen. Daß der ganze Faden elektrisch geworden ist, zeigt man durch Berührung des Fadens mit dem Finger an seinem oberen befestigten Ende. Sofort verliert die Korkkugel ihre Eigenschaft,

Fig. 104.



unelektrische Körper anzu ziehen, oder von einem gleichnamig elektrischen Körper abgestoßen zu werden. Aus dem Versuch folgt gleichzeitig, daß der menschliche Körper ein Leiter ist. Für die weitere Untersuchung ist es bequemer, statt eines einfachen Korkpendels zwei dicht nebeneinander hängende zu benutzen (Fig. 104), die mit Leinenfaden an einem gut isolierendem Glasstaken oder an Siegellack befestigt sind ¹⁾. Wenn man die Pendel elektrisiert, stoßen sie sich gegenseitig ab, so daß man ohne weiteres sieht, ob sie geladen sind oder nicht. Um zu untersuchen, ob irgend ein Körper ein Leiter oder Nichtleiter ist, braucht man

folgt nur die Fäden der Pendel mit ihm zu berühren. Fallen die Pendel zusammen, so ist der Körper ein Leiter. Ist keine Änderung zu bemerken, so ist er ein Nichtleiter. Ein derartiges Doppelpendel stellt die einfachste Form eines „Elektroskopes“ dar (siehe auch § 57).

§ 50. Behandlung isolierender Stützen. Es scheint hier der Ort, einige praktische Bemerkungen über isolierende Stützen an elektrischen Apparaten und ihre Behandlung einzuschalten, da das Gelingen der meisten elektrostatischen Versuche hauptsächlich von dem Zustand dieser Stützen abhängt:

Bei vom Mechaniker ungenutzten Apparaten dienen als Isiermaterialien hauptsächlich: Glas, Hartgummi, Hornstein, neuerdings wohl auch amorpher Quarz (sog. Quarzglas).

Von den verschiedenen Glasarten isolieren am besten die sogenannten Bleigläser. Alle Gläser sind jedoch mehr oder weniger hygroskopisch; die Oberfläche zersetzt sich und scheidet freies Alkali aus, das stark wasseranziehend wirkt, so daß eine leitende Oberflächenschicht entsteht. Man entfernt diese Haut, indem man das Glas zuerst mit einer verdünnten Säure, dann mit destilliertem Wasser abwäscht und durch vorsichtigen Erwärmen auf etwa 50° (bis man das Glas oben nicht mehr anfassen kann) trocknet. Manch-

¹⁾ Man beachte die Bemerkungen im folgenden Paragraphen über die Behandlung isolierender Stützen.

... auch bloßes Erwärmen des Glases, um ihm für kurze Zeit ge-
isolationsfähigkeit zu geben. Überzieht man das Glas in warmem
mit einer dünnen Schicht von Bernsteinlack, so isoliert es nach
trocknen und Trocknen des Lackes auch in relativ feuchter Atmo-
sphäre. Im Verlauf von Monaten und Jahren wird jedoch der Lacküberzug
nach Abkratzen und Abwaschen mit Spiritus oder Terpentin,
neuerung des Glases wie oben, erneuert werden.

... ist in neuem Zustande ein vorzüglicher Isolator. Im Laufe
oxydiert sich jedoch der in ihm enthaltene Schwefel an der Ober-
schwefliger Säure und Schwefelsäure, die aus der Luft Wasser

Fig. 105 n.



Fig. 105 h.



Fig. 106.

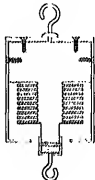


Fig. 107.



... und die Oberseite leitend machen. Aufbewahrung im Dunkeln
... diesen Vorgang. Man reibe alten Hartgummi mit feinem
(nicht Seimringspapier!) ab oder wasche ihn zuerst mit Seifen-
... mit reinem destillierten Wasser, zuletzt mit Alkohol. Nach
... Trocknen reibe man ihn mit einem Lappen ab, der mit ganz
... oleum getränkt ist. Die dünne, isolierende Petrolenohaut schützt
... che vor Oxydation; sie hat dagegen den Nachteil, den Staub fest-
... und muß deshalb von Zeit zu Zeit wieder abgewischt werden.
... Bildung einer zusammenhängenden leitenden Staubschicht kann
... beim Hartgummi und bei allen anderen bearbeitbaren Isolier-
... schätzen, wenn man nach H. Schering!) eine Anzahl Nuten
... (s. Fig. 105 a u. b); dies empfiehlt sich namentlich bei solchen
... on, die vom Experimentator in die Hand genommen werden
... g. 104 zeigt einen isolierenden Haken, der noch zum Schutz
... b mit einer Metallkappe umgeben ist.

... Bernsteinisolation sind besondere Vorsichtsmaßregeln nicht nötig, die
... ist, wenn nur für Fernhaltung von Staub gesorgt wird (der fast
... hygroskopisch ist) eine fast unbedingte; nur die geringe mechanische
... verhindert die Herstellung größerer Teile aus diesem Material.

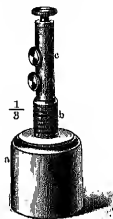
... sehr guter Isolator ist auch der Schwefel, nur ist seine mechanische
... noch geringer als die des Bernsteins. (Reiniger Schwefel heißt
... und der ersten Stunden nach dem Erstarren leicht mit Werk-

zeugen bearbeiten; später wird er spärde infolge Umwandlung in eine andere Kristallform.

Man erspart sich viel Ärger bei Demonstrationen, wenn man an allen Apparaten, bei denen es auf sehr gute Isolation ankommt, namentlich also an Elektromotoren, die Hartgummiisolation durch Bernstein oder Schwefel ersetzt.

Für größere Leiter, wie Kugeln, Zylinder u. dgl., wendet Verfasser, wenn Aufhängung an Seidenfäden aus irgendwelchen Gründen ausgeschlossen ist, mit Vorteil den in Fig. 107 in etwa halber Größe im Durchschnitt dargestellten Schwefelisolator an. Er besteht aus einem gegossenen Schwefelzylinder (als Fußform dient eine Papphülle) mit zwei eingesetzten Messingröhren von 18 mm Durchmesser. Die untere wird auf die Stange eines Stativs geschoben, in die obere paßt ein an dem zu isolierenden Leiter angebrachter kurzer Stiel. (Große Kugeln kann man auch einfach auf den höhligen Rind aufliegen. Zur Isolation von ganzen Apparaten (Elektromotor, Leidener Flaschen usw.) kann ein Metalltischchen aufgesetzt werden. Anwendungen findet man in vielen Figuren dieses Kapitels dargestellt.

Fig. 108.



Ebenfalls der mannigfachen Anwendung fähig und sehr zu empfehlen sind ¹⁾ die Holtz'schen Fußklemmen (Fig. 108), die namentlich zum Einklemmen von Drähten, Blechen u. dgl. dienen; etwa vier Stück dieser Klemmen sind für die im folgenden beschriebenen Versuche unentbehrlich. Sie bestehen aus einem schweren Bleifuß (a), einem Hartgummistück (b) ²⁾ und dem mit mehreren Klemmschrauben versehenen Messingzylinder (c).

Für improvisierte Apparate kommen als Isolatoren in erster Linie Siegellack, Schellack und Paraffin in Betracht. Alle drei isolieren vorzüglich, nur muß für Sauberkeit der Oberfläche gesorgt werden. Beim Schmelzen von Siegellack und Schellack hat man sich vor zu starker Erhitzung; denn wenn die Oberfläche anbrennt oder verkohlt, so wird sie leitend. Alte Siegellack- oder Schellackstützen schabe man mit einem Messer ab und glatte dann die Oberfläche wieder durch Erwärmen mit einer Flamme bis zum beginnenden Schmelzen. Paraffin, das wohl bloß in Form von gegossenen Platten als Unterlage für ganze Apparate in Betracht kommt, wird einfach von Zeit zu Zeit mit dem Messer abgeschalt oder abgehobelt.

§ 57. Elektroskope und Elektrometer. Wir haben bereits das in Fig. 104 dargestellte Doppelpendel als ein „Elektroskop“ bezeichnet. Für genauere Versuche ist es nötig, Störungen, wie sie namentlich durch Luftströmungen verursacht werden, durch Einschließen in ein Gefäß zu be-

¹⁾ Z.B. f. Unterr. 3, 55, 1888.

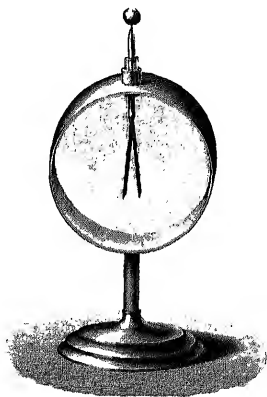
²⁾ An dessen Stelle eventuell auch der eben beschriebene Schwefelisolator treten kann.

auf für möglichst vollkommene Isolation zu sorgen. Ferner wird die Empfindlichkeit möglichst erhöht, um auch sehr kleine nachweisen zu können.

Obwohl eine Gradtheilung angebracht, an der man die Größe des ablesen kann, so bezeichnet man die Vorrichtung als „Elektroskop“ wegen hier zunächst nur diejenigen Instrumente beschrieben werden, die namentlich für Demonstrationsversuche und rohere Messungen kommen; sie besitzen nämlich bloß ein einziges geladenes Element, und bestehen demgemäß aus: 1. aus einer Schutzkappe, 2. einer stützenden Stütze und 3. einem in letzterer befestigten Leiter aus einem festen und einem den elektrischen Zustand unbeweglichen Teil besteht, 4. einer Skala, an der die Stellung des Leiters abgelesen wird.

100.

Fig. 111.



Es besteht bei älteren Instrumenten manchmal ganz aus Glas (110); dadurch entstehen Fehler, wenn das Glas durch Ho-

mo-Klein-änderungen, namentlich solche für genauere Messungen, ist befindet sich auch eine Empfindlichkeitsabelle.

rührung mit der Hand oder auf andere Weise elektrisch geworden ist, und dann auch die abgeleiteten Blättchen zum Divergieren bringt. Man kann diesen Fehler wenigstens teilweise beseitigen, wenn man auf die Glashülle in der Ebene, in der die Pendel schwingen, innen und außen einen Stanniolstreifen aufklebt (Fig. 110).

Am besten macht man die Seitenwände der Hülle aus Metall und nur die Vorder- und Hinterwand, die ja durchsichtig sein müssen, aus Glas (Fig. 111). Will man bei genaueren Arbeiten störende Wirkungen auch dieser Glasflächen ausschließen, so überzieht man sie mit einer dünnen Haut von Glycerin oder bedeckt sie mit einem Drahtnetz.

Als Isoliermaterial für Elektroskope sollte Glas niemals verwendet werden, Glasröhren als äußerer Hülft für leicht zerbrechliche Isoliermittel wie Schellack, Harz, Siegellack, Schwefel, sind ebenfalls wegen der dadurch

Fig. 112.

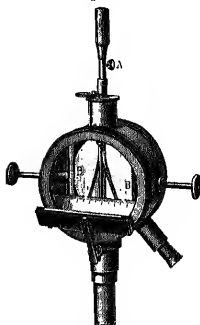


Fig. 113.

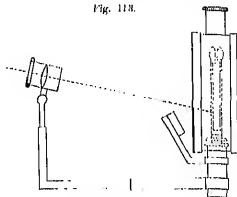
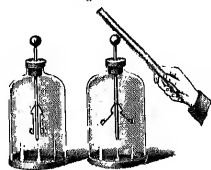


Fig. 114.



verursachten Rückstapfbildung (s. § 103) zu vermeiden. Man ersetze sie, wo vorhanden, durch Metallröhren. Hartgummi ist wegen seiner in § 56 erwähnten Vortrüblichkeit auch nicht sehr zu empfehlen. Am besten bewähren sich, wie schon gesagt, Bernstein (von Quincke vorgeschlagen) und Schwefel.

Das mit im Innern des Instruments befindlicher Bernsteinisolation versehenes Elektroskop nach Elster und Geitel¹⁾ (Fig. 112 und 113) verliert, wenn die herausragende Zuleitung entfernt und die Öffnung verschlossen ist, in 24 Stunden höchstens $\frac{1}{2}$ seiner Ladung.

¹⁾ Patentinvent: Günther und Tegelmeier, Braunschweig.

Das Leitersystem enthält in jedem Falle eine Zuleitung, die durch die Vorrichtung, oder falls diese im Innern befindlich (Fig. 113), durch eine Öffnung in der Mitte hindurch die Verbindung zwischen dem Außenraume und dem Innern herstellt. Ihr äußeres Ende wird meist durch einen Kniepunkt durch eine Platte gebildet, die auf den Zuführungsdraht aufgeschraubt zweckmäßigerweise anwendbar sind. Ferner empfiehlt es sich, an dem Ende des Drahtes eine kleine Bohrung mit einer Klemmschraube anzubringen, um den Zuführungsdraht darin zu befestigen (bei A in Fig. 112).

Der innere bewegliche Teil des Leitersystems, also der wesentlichste Teil des ganzen Instruments, kann sehr verschieden gestaltet sein. Meistens ist es zwei gleich gestaltete Pendel, die sich im geladenen Zustande gegeneinander abstoßen und je mehr der verlangten Empfindlichkeit aus Strahlungen durch die Vorrichtung (Fig. 110), Elektroreifen (nach H. Kabis), Fig. 114, Hattigold (nach A. Bennet, 1787) oder Metallumförmig (Fig. 111 und 112) bestehen.

Neuzeitlich hat Th. Wolff*) als bewegliche Leiter Quarzstrahlen eingeführt, die durch einen Magnetanzug selbst gerichtet sind. Außerdem macht die Einstellung und sehr exakte Ableitung fast Mikroskopisch machen das Instrument unendlich für feinste Messungen geeignet.

Man kann ferner, statt zwei Leiterstücke sich gegenseitig abstoßen zu lassen, bloß einen beweglichen Leiter anbringen, der von den übrigen Teilen

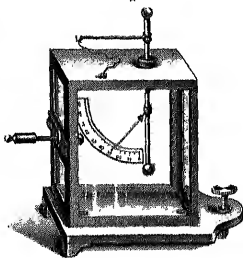
abstoßen wird und entweder einem Aluminiumstreifen (z. B. nach Kabis¹⁾) oder geringere Empfindlichkeit einem in einem Spitzenvor beweglichen und ausdienten Metallstreifen (z. B. nach P. Braun²⁾) besteht.

Endlich kann man nach Erhöhung der Empfindlichkeit den beweglichen Teil (bzw. den beweglichen Teil) zur Erde abstoßen, so daß die Leiter gegeneinander, die durch ihre Auswirkung die Wirkung der Strahlung verstärken; in Fig. 112 dienen diesem Zwecke verschiebbare Blöcke H.

beim Transport des Instrumentes ganz zusammengeklappt werden und als Schutzvorrichtung dienen.

Die Unterteilung kann ebenfalls in verschiedener Weise angeordnet sein. Klebt man sie auf die Glaswand, so wird die Ableitung leicht durch Parallaxe verfehlt. Man befestigt also besser die Skala im Innern

Fig. 115.



¹⁾ Patenkant: P. Knecke, Berlin.

²⁾ Phys. Z. S. 8, 240 u. 527, 1867. Fabrikanten: Günther u. Tegetmeyer, München.

³⁾ Patenkant: P. Knecke, Berlin, M. Kohl, Chemnitz.

⁴⁾ Patenkant: E. Heyholdt Nachf., Köln.

Verlag: P. Neumann, Neudamm.

das Instrumentes dicht hinter oder unter dem beweglichen Leiter, wobei zur Vermeidung unkontrollierbarer Störungen am besten die Skala selbst aus leitendem Material besteht und mit dem festen Teil des isolierten Leittersystems verbunden ist (Fig. 116), oder man projiziert sie optisch durch Spiegelung in das Innere (Fig. 112 und 113).

Durch Anbringung einer Lupe (Fig. 113, in Fig. 112 fortgelassen) kann man die Genauigkeit der Ablesung noch vergrößern. Für sehr feine Messungen endlich kann man Mikroskopablesung benutzen; die Skala befindet sich dann auf einer Glasplatte in der Bildebene des Mikroskopobjektivs. Die Einteilung der Skala kann entweder eine ganz willkürliche, etwa in Bogengrade oder Millimeter (Fig. 112), oder aber so gewählt sein, daß man an ihr direkt Ladungs- oder Spannungsdifferenzen ablesen kann (siehe weiter unten § 71 und 76), wie bei Fig. 116.

Man wird je nach dem Versuchszwecke sich ein passendes Elektroskop aussuchen müssen; es gibt keine für alle Zwecke geeignete Konstruktion. Für Demonstrationsversuche der in den bisherigen Paragraphen beschriebenen Art ist wohl am geeignetsten das in Fig. 114 abgebildete von H. Kotho¹⁾

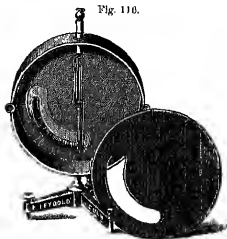


Fig. 110.



Fig. 117.

ausgegebene Papierelektroskop; es ist selbst bei unvorsichtiger Behandlung kaum zu beschädigen, die rechtwinklig umgebogenen halbkreisförmigen Enden der bunten Papierpendel sind auf hellem Hintergrunde selbst in großer Entfernung sichtbar. Die Goldblatt- und Aluminiumblattelektroskope verlangen schon etwas vorsichtigeren Behandlung, weil durch zu starke Ladung leicht die Blättchen zerreißen; sie kommen also namentlich für feinere Versuche in Frage. Für Projektion geeignet sind unter anderen die in den Fig. 111, 112, 115, 116 abgebildeten Konstruktionen. Fig. 117 zeigt eine improvisierte Form; ein oben zu einer Öse, unten rechtwinklig umgebogener Draht ist mittels eines Stülpkes Stagnollack so in einem Korkkollben befestigt, daß das untere Ende frei in das Innere ragt; als Pendel dienen zwei auf das untere Ende des Drahtes gespießte Streifen aus Blattgold oder dünnem Seidenpapier. In der Ebene der Blättchen ist die Wand innen und außen mit einem breiten Stanniolstreifen beklebt.

¹⁾ Einf. f. d. Elektr.-Lehre. I, S. 6.

Bestimmung des Vorzeichens elektrischer Ladungen. Die bisherigen Methoden zur Untersuchung des Vorzeichens der aufgestellten Ladung waren ziemlich unempfindlich und ge-
 arke Ladungen zu untersuchen; die oben beschriebenen
 Elektroskope erlauben auch sehr schwache Ladungen meh-
 Vorzeichen zu bestimmen. Wir benutzen dazu einige Er-
 Erklärung erst später (§ 61) erfolgen kann.

Man nehme ein ungeladenes Elektroskop einen elektrisierten Körper
 den wir schon einen Ausschlag, wenn der elektrisierte Körper
 entfernt ist; dabei ist es gleichgültig, ob der Körper
 ist. Haben wir dagegen das Elektroskop vorher durch
 ion, so verhält es sich verschieden, je nach dem Vorzeichen
 ungeladenen Körpers. Es sei etwa das Elektroskop mit $+$ E-
 wir dann einen geladenen Metallstab (oder sonst einen $+$ ge-
 so vermehrt sich der Ausschlag der Blättchen. Nähern wir
 riebenen Hartgummi- (oder einen anderen $-$ elektrischen
 einfort sich der Ausschlag, wird schließlich Null und nimmt
 Annäherung wieder zu. (Genau umgekehrt sind die Er-
 n das Elektroskop mit $-$ geladen ist. Allgemein gilt also:
 man dem Knopf eines geladenen Elektroskops einen
 elektrisierten Körper, so vermehrt sich der Ausschlag
 nähert man einen ungleichnamig elektrisierten
 mindert sich der Ausschlag. Ist das Elektroskop
 aden, so entsteht stets bei Annäherung eines ge-
 ra ein Ausschlag, unabhängig vom Vorzeichen).

dem ungeladenen
 ist einen $+$ elektrisi-
 ein gewisser Aus-
 schlag erfolgt ist,
 auch noch einen
 Körper, so nimmt
 oder ab, und kann
 werden. Die Wir-
 kungen auf das
 on sich also gegen-



Fig. 118.

einseitige Erzen-
 elektrisierten; Neu-
 unwickeln einen
 m (Gummi- oder Papp-)

geben ihn in dieser Hülle einige Male 2 bis 3 cm weit hin-
 wir das Ganze, ohne die Gummihülle vom Metallstab zu

skapen mit zur Erde abgeleiteter metallischer Hülle hat der Versuch
 resultiert. Bei solchen mit Gummihülle können Störungen entstehen,
 geladenen Körper näher an die Blättchen als an den Knopf bringt
 runde sind Instrumente mit Metallhülle stets vorzuziehen
 ist ein Stück weichen schwarzen Glaschutzes, das über die

entfernen, einem Elektroskop, so bemerken wir keinerlei Einwirkung. Treiben wir dagegen den Glasstab und den Gummi einzeln, so finden wir erstere $+$ elektrisch, letztere $-$ elektrisch. Durch das Reiben sind also beide Arten der Elektrizität gleichzeitig erzeugt worden, und zwar in solchen Mengen, daß sie, nicht ineinander befallend, sich in ihren Wirkungen gegenseitig aufheben. Da wir die Elektrizität aber nur durch ihre Wirkungen erkennen und messen, so können wir auch sagen:

A. Durch Reibung entstehen $+$ E und $-$ E stets in gleicher Menge¹⁾.

Dasselbe Resultat erhält man bei beliebigen aneinander geriebenen Körpern, auch wenn einer von beiden ein Leiter ist. (Mit zwei Leitern dagegen erhält man keinen Effekt, wegen der sogleich zu besprechenden gegenseitigen Neutralisation.) Ist einer der beiden Körper ein Leiter, so muß er natürlich an einem isolierenden Griff befestigt sein. Am besten gibt man dem zu untersuchenden Leiter, z. B. einem Metall, die Form einer runden Scheibe, die man auf dem Stiel eines Elektroskops befestigt. Legen wir eine vorher mittels einer Bunsenflamme von etwaigen Ladungen befreite Paraffin- oder Schwefelplatte darauf und reiben sie durch Drehen am Metall, so zeigt das Elektroskop keinen Ausschlag; dagegen entsteht sofort ein Ausschlag, wenn wir die isolierende Platte abheben. Nähern wir die Platte wieder, so verringert sich der Ausschlag. Auch hier sind also offenbar auf dem Leiter und dem Isolator $+$ E und $-$ E gleichzeitig und in gleicher Menge erzeugt worden.

Die Versuche ergaben ferner, daß ein und derselbe Körper bald positiv, bald negativ elektrisch werden kann, je nach dem Körper, mit dem er gerieben wird. So z. B. wird Glas positiv elektrisch beim Reiben mit Amalgam, das am Isolator aufgestrichen ist, dagegen oft negativ elektrisch beim Reiben mit Pelzwerk oder Wolle. Hartgummi wird negativ, wenn es an Wolle (z. B. am Rockärmel), dagegen meist positiv, wenn es an Papier gerieben wird²⁾.

Es kommt hierbei nicht bloß auf die stoffliche Natur des Körpers, sondern auch auf seine Oberflächenbeschaffenheit an. Wenn man die eine Längenhälfte des Glasstabes matt schleift, der anderen Hälfte aber die natürliche Oberfläche läßt, so zeigt das matte Ende, mit Wolle gerieben, häufig negative Elektrizität, während das glatte Ende unter denselben Umständen positiv wird. Mit Amalgam gerieben, werden beide Enden des Glasstabes positiv elektrisch.

Es gelingt schließlich, die Körper derart in eine Reihe zu ordnen, daß immer jeder in der Reihe voranstehende, mit einem der folgenden gerieben, selbst positiv, der andere dagegen negativ elektrisch wird. Dabei ist die Erregung im allgemeinen um so stärker, je weiter die Körper in der Reihe voneinander absteigen. In nebenstehender Tabelle sind drei derartige „Spannungsreihen“ von Th. Young (1807), Faraday (Exp. Res. 2141; i. J. 1843) und Kelso (Einf. i. d. Elektr. I, 14) mitgeteilt.

Die Stellung der einzelnen Körper in der Reihe stimmt bei den drei Autoren nicht völlig überein. Wie Faraday an verschiedenen Beispielen zeigte, hängt das Vorzeichen der Erregung oft von ganz unkontrollierbaren Umständen ab. Man findet manchmal selbst dann, wenn man einen Isolator, etwa einen Hartgummistab, in zwei Stücke zerbricht und die beiden Teile

¹⁾ Entdecker dieser Tatsache ist B. Franklin (etwa 1750).

²⁾ Geschöser, Z.S. f. physik. u. chem. Unterr. 10, 165, 1896.

skope mittels eines dünnen Drahtes *D*, der an einem isolierenden Handgriff *H* (Siegelack- oder Hartgummistange) befestigt ist, so fallen die Pendel völlig zusammen. Die Elektroskope sind durch die Vereinigung von gleichviel positiver und negativer Elektrizität völlig unelektrisch geworden. Wir machen den entsprechenden Gegenversuch, indem wir beide Elektroskope mit $+E$ oder beide mit $-E$ laden. Dann tritt bei der Verbindung nur eine ganz geringe Verminderung des Ausschlags ein, davon hersehend, daß ein Teil der Ladung jetzt auf den Draht übergegangen ist. Der Versuch zeigt:

Fig. 119.



B. $+E$ und $-E$, in gleichen Mengen auf einem Leiter zusammengebracht, heben sich in ihrer Wirkung völlig auf, sie „neutralisieren“ sich.

Da hier ein Körper, dem, wie den beiden miteinander verbundenen Elektroskopen, gleichviel $+E$ und $-E$ zugeführt ist, sich in nichts von einem unelektrischen unterscheidet, so können wir auch sagen:

C. Im unelektrischen Zustande enthält ein Körper gleichviel $+E$ und $-E$.

Da ferner, wie oben gezeigt, beim Reiben stets gleichviel $+E$ und $-E$ entwickelt wird, so können wir im Einklang mit Satz C, uns folgende Aufassung von der Elektrizitätsentwicklung durch Reibung bilden:

D. Die Elektrizität wird durch Reibung nicht erzeugt, sondern bloß in ihrer räumlichen Verteilung geändert.

Ein Teil der vorher in den neutralen Körpern gleichmäßig verteilten Ladungen wird durch das Reiben, vermittelt eines uns im übrigen unbekannten Mechanismus, getrennt, so daß der eine Körper einen Überschuß an $+E$, der andere einen gleich großen an $-E$ erhält.

Damit die durch das Reiben getrennten Elektrizitäten sich nicht sofort wieder neutralisieren; muß mindestens einer der beiden reibenden Körper ein Nichtleiter sein; durch Reibung zweier Leiter aneinander kann also keine Elektrizität entwickelt werden.

§ 60. Vorstellungen vom Wesen der Elektrizität. Schon die wenigen bisher aufgeführten Tatsachen zeigten eine weitgehende Analogie zwischen den elektrischen und den magnetischen Erscheinungen, eine Analogie, die durch die folgenden Paragraphen noch verstärkt werden wird. Es war deshalb naheliegend, daß man sich von der Elektrizität eine ähnliche Vorstellung bildete wie vom Magnetismus (vgl. § 17); man nahm an, es gäbe zwei an Menge unveränderliche imponderable Fluida, ein positives und ein negatives, die alle Körper durchdringen, in unelektrischen Körpern in gleich großer Menge vorhanden sind, während Überschuß des einen oder anderen einen Körper $+E$ - oder $-E$ -elektrisch macht. In Leitern sollten die beiden Fluida frei beweglich sein, in Isolatoren dagegen nicht. Die Teilchen gleichnamiger Fluida sollten sich gegenseitig abstoßen, die der ungleichnamigen

und diese Kräfte sollten sich auf die elektrisch geladenen
übertragen.

Eine Menge $-e$ von positiver Elektricität von einem Körper A
 B über, so erhält nicht nur B dadurch eine positive Ladung,
auch A , dann ja nunmehr zur völligen Neutralisation die
negativ geladen erscheinen, und zwar im Betrage $-e$. Dasselbe
man eine Menge $+e'$ von B auf A überführt; dadurch hat
negative Ladung $+e'$ direkt erhalten, sondern auch B wegen
Fehlens der zur völligen Neutralisation nötigen Menge $-e'$
Überschuß von positiver Ladung $+e'$ bekommen. Im ganzen
von A nach B und $-e'$ von B nach A geflossen ist, A eine
) und B eine Ladung $+e$ ($-e'$) erhalten. Da wir nur die
wo $(e - e')$ beobachten, so bleibt es ganz unentschieden, ob
ung bloß durch Fließen einer der beiden Elektricitäten allein,
ob entstanden ist. Die Annahme der Unveränderlichkeit der
ist erklärt somit ohne weiteres die Tatsache, daß stets gleich
auftritt. Die schon skizzierte dualistische Theorie der
von Symmer (1760) ausgesprochen. Ziemlich gleichartig ist
(1760) und von Laplace (1769) entwickelte unitarische
es bloß ein einziges elektrisches Agens geben soll, das in
portern in ganz bestimmter Menge vorhanden ist; Hinschuld
gewichtsmenge null den Körper positiv, ein Mangel negativ
die Gesetze der Anziehung und Abstößung erklärt diese
daß sie die Teile des elektrischen Fluidums und lassen die
sich gegenseitig abstößen läßt; dagegen sollen das elektr
die Materie sich gegenseitig anziehen. Man sieht sogleich
u einer der unitarischen Anschauung ganz analogen Vor
wenn man zwar zwei elektrische Fluida als vorhanden an
nher nur eines frei beweglich ist, während das andere
t der Materie fest verbunden ist. Da, wie schon gesagt,
tischen Versuche die Frage, ob beide oder nur eines beider
bewegen, völlig unentschieden lassen, so steht dieser An
Weg. Der Unterschied gegen die Franklin'sche Auf
dann bloß darin, daß man noch ein besonderes mit der
endones elektrisches Agens annimmt, während Franklin
Interior selbst zuschreibt.

Es ist Grund anzunehmen, daß keine dieser Anschauungen als
sten kann; unentschieden bezüglich der angenommenen An
stoßgewirkungen in die Ferne gilt das schon bei Ho
genomms (s. obige), daß wir die Wirkungen als durch das
den Äther, vermittelt zu betrachten haben.

Die Phase der Entwicklung der Theorie der Elektricität,
Elektronentheorie", bezieht dieser vermittelnden Wirkung
Mischung der scheinbaren Fernwirkungen; an Stelle der kon
a setzt die Elektronentheorie kleine unveränderliche und
ho Teilchen, elektrische Atome, sogenannte „Elektronen“,
zu der weiter unten (viertes Kapitel) zu besprechenden
Elektronen sollen unveränderlich an Anzahl, in den Leitern
, in Nichtleitern dagegen festliegen oder nur kleine Ver-

schiebungen ausführen können. Da eine große Zahl von Beobachtungen verschiedenster Art dafür spricht, daß bloß negative Elektronen sich frei bewegen und unabhängig von der Materie existieren können¹⁾, so entspricht die Elektronentheorie im ganzen der unitarischen Anschauung; nur müssen wir dann der Halbleitfähigkeit die Rolle zuschreiben, die Franklin auf gut Glück hin der Gaselektrizität gegeben, und die er eben deshalb als positiv bezeichnet hatte. Da bis jetzt keinerlei Erscheinungen bekannt sind, die auf eine Grenze der Elektrifizierbarkeit der Körper (analog der magnetischen Sättigung) hinweisen, so müssen wir die Menge der im neutralen Zustande vorhandenen sich neutralisierenden Elektrizitätsmengen als außerordentlich groß gegenüber den praktisch erzeugbaren Überschußmengen einer Art annehmen. Die Elektronentheorie wird uns ein Mittel zur Sehtzung dieser Größe geben (siehe Kapitel „Elektronentheorie“). Für die folgenden Betrachtungen möge zunächst die bequemere dualistische Betrachtungsweise beibehalten werden. Wir werden dabei auch ruhig von Anziehungen und Abstößungen, wie von Fernwirkungen sprechen und die Entwicklung der Faradayschen Nahwirkungsanschauung, die der früher entwickelten Theorie des Magnetismus ganz entsprechend ist, auf später verschieben.

§ 61. Elektrische Induktion oder Verteilung. Wir haben in § 58 erfahren, daß die Pendel oder Blättchen eines Elektroskops schon bei bloßer Annäherung eines elektrischen Körpers divergieren und nach Entfernung desselben wieder zusammenfallen. Wir wollen diese Erscheinung jetzt näher untersuchen. Aus dem Versuch geht zunächst hervor, daß die Blättchen des Elektroskops durch die bloße Annäherung des geladenen Körpers elektrisch geworden sind. Da nach der Entfernung des Körpers aber die Blättchen zusammenfallen, ohne daß das Elektroskop durch Berührung mit einem nicht isolierten Leiter entladen wurde, so kann auf dem aus Zuleitung und Blattchen gebildeten Leitersystem des Elektroskops im ganzen kein Überschuß an $+$ E oder $-$ E vorhanden gewesen sein. Ein solcher würde auch unserer Grundanschauung widersprechen, da ja das anfangs unelektrische Elektroskop ohne direkte Zuleitung von außen im ganzen keine Ladung erhalten kann. Wir schließen also, daß auf dem Elektroskop durch die Einwirkung des elektrischen Körpers bloß eine räumliche Trennung von $+$ E und $-$ E stattfindet, die vorher gleichmäßig über das Ganze verteilt sich gegenseitig neutralisierten und nach Entfernung der äußeren Einwirkung sich wieder vereinigen.

Zum Beweise dieser Anschauung diene folgender Versuch²⁾: Zwei mit aufgesetzten Kugeln versehene Elektroskope (Fig. 120) A und B sind durch einen mit isolierter Handhabe versehenen dünnen Draht verbunden. Wir nähern B einem stark $-$ elektrisch geladenen³⁾ isolierten Leiter C und finden, daß beide Elektroskope divergieren, während bei Wiederholung des Versuches ohne den Verbindungsdraht bloß B merklich divergiert.

¹⁾ Verschiedene neuere Datums (J. E. Millers, Verh. D. phys. Ges. B, 125; 1907) scheinen die Existenzmöglichkeit positiver Elektronen darzutun zu haben; doch sind erst weitere Bestätigungen abzuwarten.

²⁾ Nach H. Kolbe, Einführung in die Elektrizität I, S. 41.

³⁾ Zur Ladung benutzt man den weiter unten beschriebenen Elektrophor oder eine Elektrifiziermaschine; da es nur auf die Tatsache ankommt, daß C geladen ist, so kommt es auf das Verständnis der Wirkungsweise der zur Herstellung der Ladung dienenden Apparate nicht so sehr an.

Entfer-
wir dagog
des isolier-
Entfernu-
Prakt
finden wir
auch mit
entgegeng-
Endl
gesetzt ge-
Verbindu-

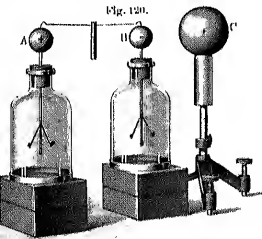
fallen. D
sich aber
kann, da
Der
die elekt-
trisch ge-
selbst v
dann mo
aus A, B
gleichma-
an C her-
Wir
Körper,
dem Ein-
nach vor-
fernen,
die Lad-
entgeg-
die abge-
acht, 1

Wir C , so fallen beide Elektroskope wieder zusammen. Wenn wir die Entfernung von C den verbundenen Draht mittels des Handgriffes abheben, so bleiben beide Elektroskope auch noch C geladen.

Wenn wir nunmehr das Vorzeichen der Ladungen auf A und B , zu negativ und B negativ elektrisch. Wiederholen wir den Versuch mit der Ladung von C , so erhalten wir auch auf A und B die gleiche Ladung.

Wenn wir nun auf die beiden in der angegebenen Weise entgegengesetzten Elektroskope nach möglichst weiter Entfernung von C den Draht wieder auf und finden, daß jetzt die Pendel zusammen-

Fig. 120.



gefallen, da die beiden Elektroskope für sich geladen war, die Ladungen durch die Verbindung völlig neutralisierten, so folgt mit Notwendigkeit, daß die Ladungen entgegengesetzt gleich waren.

Dies entspricht ganz der in § 60 entwickelten Vorstellung, daß die Anziehungs- und Abstößungskräfte nicht bloß auf die stofflichen Körper, sondern auch auf die elektrischen Fluide, die in einem unelektrischen Körper gleichmäßig verteilt sind, wirken. Bei der + geladene Körper C die ungleichmäßige $+$ E in dem dem Verbindungsdraht bestehenden Leiterystem anziehen, die $-E$ dagegen abstößen. Die $-E$ wird sich also möglichst nahe an C , die $+$ E möglichst weit entfernen.

Wir setzen den Versuch, indem wir einen mit $+$ E geladenen ungeladenen Elektroskop nähern, und diesen dann ableitend mit der Erde verbinden. Die Blättchen fallen sofort zusammen; wenn wir aber die Entfernung des Fingers, den elektrischen Körper wieder entfernen, so divergieren die Blättchen von neuem; eine Prüfung ergibt, daß das Elektroskop jetzt der des vorher angeführten Körpers entgegengesetzt ist. Die Erklärung der Erscheinung ist einfach: Wenn eine gleichmäßige Elektrizität sich möglichst weit zu entfernen sucht, so bei ableitender Berührung des Elektroskops durch den

Finger und den Körper des Beobachters zur Erde abfließen, so daß die ungleichnamige allein zurückbleibt¹⁾. Wir haben also ein Mittel gefunden, mittels eines elektrisierten Körpers einem isolierten Leiter eine Ladung zu erteilen, deren Vorzeichen dem der Ladung des erregenden Körpers gerade entgegengesetzt ist.

Man versteht jetzt auch den in § 58 beschriebenen Vorgang bei Annäherung eines elektrischen Körpers an ein bereits vorher geladenes Elektroskop. Ist dieses etwa $+$ geladen, so wird bei Annäherung eines $+$ -elektrischen Körpers — E an den Knopf gezogen, $+$ E in die Blättchen getrieben, so daß deren Divergenz sich vermehrt. Das Umgekehrte tritt ein, wenn der genäherte Körper — geladen ist.

Die ganze oben besprochene Erscheinungsgruppe zeigt eine weitgehende Analogie mit dem Phänomen der magnetischen Influenz; man bezeichnet sie deshalb auch als „elektrische Influenz“ oder „Verteilung“.

Von Riess²⁾ ist vorgeschlagen worden, die angezogene, ungleichnamige „Influenz elektrizität“ als solche „erster Art“, die abgestoßene, gleichnamige als solche „zweiter Art“ zu bezeichnen.

Die Analogie der elektrischen und magnetischen Erscheinungen besteht in dem Auftreten entgegengesetzter elektrischer Ladungen oder Magnetismen an beiden Enden des influenzierten Körpers, die nach Entfernung des influenzierenden Körpers wieder verschwinden. Dagegen bestehen zwei sehr wesentliche Unterschiede zwischen beiden Erscheinungsgebieten:

1. Wenn man ein magnetisch influenziertes Eisenstück während der influenzierenden Einwirkung zerbricht, so erweist sich ebenso wie bei einem zerbrochenen permanenten Magneten jedes Bruchstück als ein vollständiger Magnet mit gleichviel $+$ - und $-$ Magnetismus; wird nach dem Zerbrechen der influenzierende Magnet entfernt, so sind beide Bruchstücke völlig unmagnetisch, abgesehen von etwaigem remanenten Magnetismus, der aber auch in jedem Stück gleichviel $+$ - und $-$ Magnetismus zeigt. Bei der elektrischen Influenz dagegen besitzt, wenn der Leiter während des Influenzvorganges geteilt wird (Abheben des Verbindungsdrahtes in Fig. 120), nachher der eine Teil bloß $+$ E , der andere bloß $-$ E . Der Unterschied liegt darin, daß es beim Magnetismus kein Phänomen gibt, das der elektrischen Leitung entspricht. Der Magnetismus haftet an den Atomen des Eisens, die sich nach der Anschauung der Molekulartheorie (§ 46) bloß drehen; die Elektrizität dagegen ist in den Leitern frei beweglich, so daß ein isolierter Leiter einen Überschuß von Ladung einer Art enthalten kann.

Der beim Magnetismus gefundene Satz, daß die algebraische Summe des gesamten Magnetismus in jedem einzelnen Körper stets gleich Null sei, gilt also auf dem Gebiete der Elektrizität nicht mehr. Da jedoch, wie gezeigt, sowohl bei der Elektrizitäts-erregung durch Reibung, als auch bei der Influenz

stets beide auch hier e

A. „I
Summe d

Aber
tätigen K

II. W

einflußten

den wenig

influenz ir

mit den h

Drakt, du

trecken

bilden oi

Verbindun

Elektrosko

mittels ein

man keine

stärker wä

Wir

trischen E

denen der

§ 62.

Elektrizit

genannte,

Lage, sie

sierten K

Knopf oit

so muß ?

Blättchen

(die kriti

ab), so t

den Vorst

zwischen

des Glasa

mehrung

finden wi

ührung

kritische

Elektrosk

Man

sierten E

Influenz

die Anzi

isolators

— — —

1) D

der benut

¹⁾ Es könnte merkwürdig erscheinen, daß dieses Abfließen auch stattfindet, wenn man den Knopf des Elektroskops, an dem sich doch nur die angezogene ungleichnamige Elektrizität befindet, berührt. Man bedenke, daß auch auf dem Finger ungleichnamige Ladung influenziert ist und zwar, weil dieser durch den Körper mit der Erde in Verbindung steht, so daß die abgestoßene Elektrizität völlig entfernt ist, stärker als auf dem Elektroskop. Bei Berührung fließt der Überschuß auf das Elektroskop; für die Beobachtung ist es aber gleichgültig, ob Elektrizität eines Vorzeichens abfließt oder solche entgegengesetzten Vorzeichens zufließt.

²⁾ Pogg. Ann. 37, 642, 1836; Reibungselektrizität I, 178.

den folgenden Satz aufstellen, indem wir sagen:

„In elektrischen Vorgängen bleibt die algebraische Summe der elektrischen Ladungen gleich Null.“

Dieser Satz gilt nur für die Gesamtheit aller an dem Vorgang be-

theilnehmenden Körper. Die magnetische Einflusskraft ist von der Natur des Körpers abhängig und in merklichem Betrage überhaupt nur bei magnetischen Körpern auftritt, bemerkt man die elektrische Wirkung bei allen Leitern. Es macht bei dem Versuch mit dem Elektroskop keinen Unterschied, ob man sie durch einen Draht, einen Strohhalm oder ein Stück Seil zu verbinden. Höchstens kann das Verfahren zu seiner Anwendung gebrauchen, wenn man einen zu schlechten Leiter anwendet¹⁾. Wählt man dagegen als Verbindung ihr besten Nichtleiter, etwa einen Siegellackstab (der aber vorher von etwaigen Ladungen befreit werden muß), so erhält man das Elektroskop E auf das Elektroskop A , die merkliche direkte Einwirkung ohne Verbindungsstück ist (S. 81, 82, 86, 88, 97) in den Wirkungen des elektrischen Vorganges kennen lernen, deren Gesetze schon Einfluss vollständig entsprechen.

Es ist sehr wichtig, die Erklärung der „Mittheilung der Elektricität“ in der Anmerkung in § 56 war gesagt, daß die „Mittheilung“ kein ganz einfacher Vorgang wäre; wir sind jetzt in der Lage, ihn zu untersuchen. Nennen wir einen kräftig positiv elektrisierten Glasstab, einem unelektrischen Leiter, z. B. dem Elektroskop, etwa einen Kullischen Elektroskop, durch dessen Einfluss sich $++E$ auf dem Knopf, $-E$ an den Stielen. Beträgt die Entfernung nur noch wenige Millimeter, so ist die Wirkung der Ladung des Glasstabes so stark, daß ein solches Geräusch und bemerken, wenn wir das verdunkelte Zimmer ausführen, einen Funken, der aus dem Elektroskop und dem zunächst liegenden Theile springt. Gleichzeitig bemerken wir eine plötzliche Verminderung der Ablenkung. Entfernen wir jetzt den Glasstab, so ist das Elektroskop E geladen, ohne daß eine direkte Wirkung hat. Entfernen wir dagegen den Glasstab, ohne die Stiele, bei der der Funke entsteht, verschiebt war, so bleibt das Elektroskop E geladen.

Die „Mittheilung“ so aufzufassen, daß an der dem elektrisch geladenen Seite des Leiters zuerst sich ungleiche Ladungen sammeln, und daß bei zunehmender Annäherung, wenn schon der Einflussladung und der Ladung des geladenen Körpers kritischen Betrag überschreitet, eine gegenseitige

Abhängigkeit elektrostatischer Erscheinungen von der Natur der Körper durch genaue Messungen Coulombs (1786) festgestellt

Neutralisation beider durch die plötzlich leitend gewordenen Luft hin- durch stattfindet.

Elektrisiert man einen Isolator nur schwach, so daß selbst bei fast unmittelbarer Berührung kein Funke mehr überspringt, so gelingt es auch nicht, merkliche Ladungen von dem Isolator auf einen Leiter zu übertragen. Man nähert z. B. einen sehr schwach geladenen Glas- oder Hartgummistab einem möglichst empfindlichen Aluminiumblattelektroskop bis zur Berührung; die Blättchen gehen weit auseinander, um nach Entfernung des Stabes wieder völlig zusammenzufallen¹⁾.

In § 76 sowie im Kapitel „Elektrische Leitung in Gasen“ wird gezeigt werden, daß es zum Übergang eines Funkens eines ganz bestimmten unteren Grenzwertes in dem Unterschiede der elektrischen Zustände der beiden ein- ander gegenüberstehenden Platten bedarf; unterhalb dieses Grenzwertes gibt es keinen Funkenübergang mehr und damit auch keine „Mitteilung“²⁾. Diese Tatsache ist zum Verständnis des im folgenden Paragraphen beschriebenen Elektrophors wichtig.

§ 63. Elektrophor. Durch bloßes Reiben von Stangen oder Platten aus isolierendem Material konnten wir nur verhältnismäßig kleine Elektrizitäts- mengen erzeugen, deshalb soll, bevor wir in der Besprechung der allgemeinen Eigenschaften der Elektrizität fortfahren, ein Apparat beschrieben werden, der es gestattet, durch Induktionwirkung größere Elektrizitätsmengen zu erzeugen.

Der zuerst von Wilcke (1762), dann unabhängig von diesem nochmals von Volta (1775) erfundene und verbesserte „Elektrophor“ (= Elek-

Fig. 121.



trizitätsträger) besteht aus einer isolierenden Platte *a* (Fig. 121) (dem sogenannten „Knollen“), die auf einer metallenen Unterlage *c*, etwa einer mit Blech oder Stanniol überzogenen Holzplatte, ruht, und dem metallenen „Doekel“ *b*, der mit einer isolierenden Handhabe versehen ist. In Fig. 121

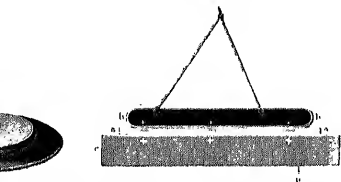
besteht diese Handhabe aus drei Seidenschnüren; bequemer ist ein Glas- oder Hartgummistab (Fig. 122). Als Material für den Knollen verwendet man Harz oder Schellack, das in eine geeignete Form gegossen wird, nachdem man es zur Verminderung der Sprödigkeit mit etwa dem fünften Teile

¹⁾ Man darf dabei natürlich die Ladung nicht so stark machen, daß die Blättchen an das Gehäuse anschlagen, da dann die gleichnamige Influenzelektrizität abgelenkt wird und das Elektroskop nachher ungleichmäßig geladen zurückbleibt.

²⁾ Es handelt sich hierbei stets um den Übergang von einem Nichtleiter zu einem anderen oder zu einem Leiter. Zwischen zwei sich berührenden Leitern erfolgt der Übergang auch bei den geringsten Ladungen. Ist einer von beiden Körpern ein Nichtleiter, so kann ohne Funkenvermittlung höchstens die praktisch zu vernachlässigende, unmittelbar an der Berührungsstelle sitzende Ladung des Nichtleiters übertragen werden.

nach voraussetzt hat 1); innerdings sind auch Scheitlen aus-
 bruch (man beachte die Ausführungen des § 50).
 f ein meist hohler Metallkörper mit abgerundeten Ecken
 zweies des Elektrophors erkennt man aus Fig. 123. Wird
 Reiben oder Peitschen mit einem Fuchsschwanz oder
 elektrisch gemacht, so wirkt er verstellend auf den aufgete-
 | E wird angezogen, die - E abgestoßen; die | E wird
 ntoren, die - E im oberen Teile des Deckels anheften
 ekel einen Finger, so springt ein Funke über, und wenn
 il dem Finger berühren, so wird alle E abgeleitet
 thält nur noch | E, die aber durch die E des Harz-

Fig. 123.



unteren Deckelfläche festgehalten wird, solange der Deckel
 gen bleibt. Hohen wir aber nach Entfernung des ableiten-
 ekel ab, so wird seine | E frei und wir können aus dem
 en ziehen.

u Deckel ab, ohne ihn vorher ableitend berührt zu haben,
 eden. Höchstens kann bei erstmaliger Ausföhrung des
 Mittellung" (d. h. durch Funkenübergang) eine geringe
 den Deckel gelangen. Bei Wiederholung des Versuches
 ch nicht mehr (vgl. § 62).

Oberfläche des Kuchens nur bis zu einer gewissen H6heig-
 he dann die E in die Luft ausstr6mt. Durch die metallene
 no Grenze der Ladungsbedichte erh6ht, da dies in der Unter-
 | E dem Ausstr6men entgegenwirkt. Außerdem bewirkt
 Anziehung zwischen der Ladung des Kuchens und der der
 f6hrung der Ladung des Kuchens in sein Inneres (bei
 eine wenn auch geringe Leitf6higkeit), wodurch das Aus-
 verhindert wird. Ein Elektrophor vermag deshalb nament-
 um Deckel in trockener Luft seine Ladung wochenlang
 sich auch sein Name erklärt.

ill der in den bisherigen Paragraphen beschriebenen Ver-
 f6hr mit Hilfe des Elektrophors viel wirkungsvoller aus-

ganze Reihe von „Rezeption“ für geübte Menschen, so
 Bau, oder Leitmann-Frick, Physik-Technik

geführt worden, als mit geraden Stangen. Ein aus dem Deckel gezogener Funke erzeugt einen deutlich hörbaren Knall und erregt im Finger einen stechenden Schmerz. Noch kräftiger wird die Empfindung, wenn man den ungeladenen Deckel auf den Kuchen setzt, und zuerst die metallene Unterlage mit einem Finger, dann, ohne diesen zu entfernen, den Deckel mit einem anderen Finger derselben Hand berührt; man spürt dann eine heftige Erschütterung der ganzen Hand, einen sogenannten „elektrischen Schlag“ (s. auch § 78).

§ 64. Sitz der elektrischen Ladung. Da die einzelnen Teile der auf einem Leiter befindlichen Ladung sich gegenseitig abstoßen, so werden sie erst dann im Gleichgewicht sein, wenn sie sich so weit wie möglich voneinander entfernt haben.

A. Das ist aber der Fall, wenn die ganze Ladung sich auf der Oberfläche des Leiters befindet.

Zum Beweise dieses Satzes dienen folgende Versuche:

Erster Versuch (Coulomb). Wir laden mittels Elektrophors eine isolierte Kugel aus Messingblech, welche oben mit einer Öffnung versehen ist (Fig. 124). Berühren wir nun die äußere Fläche der Kugel an irgend einer Stelle mit einer „Probekugel“ oder „Probeseihe“, d. h. einer an einem isolierenden Stiel befestigten $\frac{1}{2}$ bis 1 cm großen Kugel oder Blechseihe (Fig. 125), so nimmt diese eine elektrische Ladung an, die wir

Fig. 124.

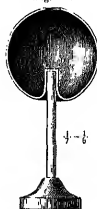
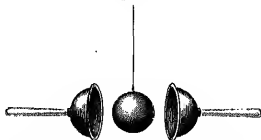


Fig. 125.



Fig. 126.



mit Hilfe eines Elektroskops nachweisen können. Berühren wir aber mit der Probeseihe, indem wir sie durch die Öffnung der Hohlkugel in ihr Inneres einführen, eine beliebige Stelle der inneren Kugelfläche, so zeigt sich die Reihe

nach dem Herausziehen aus der Kugel unelektrisch, vorausgesetzt, daß wir bei dieser Operation eine Berührung der Ränder der Öffnung vermieden haben. Um jederzeit sicher zu sein, daß die große Kugel noch geladen ist, verbinden wir sie mit einem Kolbeschen Elektroskop, oder noch besser, wir setzen die Kugel direkt auf den Stiel eines solchen.

Führen wir eine geladene Probeseihe ins Innere der Kugel ein, so gibt sie dieselbe ihre Ladung vollständig ab und ist nach dem Herausziehen unelektrisch. Die abgegebene Elektrizität wandert an die Außenseite der Kugel.

Berühren wir dagegen mit einem leitenden Stabe die Innenseite der Kugel, so wird diese gerade so entladen, wie beim Berühren an der Außen-

seite. Dies
sich leicht,
Stabes wäh-
wird, die L-
Ladung der

Zweit
aufgehängt
isolierenden
beiden Halbl-
bleib mit d
Halbkugeln
die innere F

Laden
den Halbkug-
wieder ab, t

Dritte
zerlegbar.



geschlossen
kann entwe-
werden (vg
gummi oder
kann eine 1
zweites, wt
bunden und

Wenn
Elektroskop
Küßg Leiter
das äußere
ständiger

von Augenblicke paradox erscheinende Verhalten erklärt man bedenkt, daß auf dem herausragenden Teil der nur Annäherung entgegen gesetzte Elektrizität influenziert überung mit der Kugel völlig auf diese abgeht und die neutralisiert (vgl. auch die Betrachtungen im § 34).

nach (Cavendish, 1779). Eine leitende Kugel ist isoliert (26) und kann von zwei Halbkugeln umfaßt werden, die aniffen gehalten werden. Wir umschließen die Kugel mit den laden diese und bringen sie durch Neigen für einen Augenblicks geschlossenen Kugel in Berührung; wenn wir darauf stehen, so finden wir bei Prüfung an einem Elektroskop, daß er keine Ladung erhalten hat.

gekohrt zuerst die innere Kugel, umschließen sie dann mit ringen diese mit ihr in Berührung und heben sie dann die Kugel ihre ganze Ladung an die Halbkugeln abgegeben. nach (Fig. 127). Auf einem isolierten Teller steht eine als Drahtnetz, in der ein empfindliches Elektroskop ein

Fig. 127.

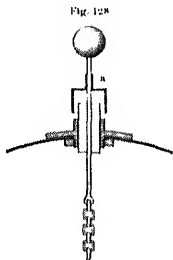


Fig. 128

die Halle oben durchstichende Zuführung zum Elektroskop der Halle leitend verbunden oder aber von ihr isoliert (Anzeige in Fig. 128; die Zuführung ist durch Halbleitung isoliert, durch Herabziehen der beweglichen Halbscheibe Verbindung mit dem Drahtnetz hergestellt worden). Ein empfindliches Elektroskop ist von außen mit der Halle verbunden zum Nachweis ihres elektrischen Zustandes.

Können noch so kräftig elektrisieren, so zeigt das innere nur von Ladung, ganz gleich, ob seine Kugel mit dem Boden ist oder die Zuführung ganz entfernt ist, während das Elektroskop starke Ausschläge gibt. Dies gilt aber nur bei vollständiger Isolation. Heben wir vor Ausführung des Versuches die Draht-

netzketzte ab oder isolieren die Zuführung, so daß ihre Kugel als eine außerhalb der elektrisierten Hülle befindliche Fortsetzung des Elektroskops erscheint, so tritt sofort eine Ladung auf.

Der Versuch zeigt nicht nur, daß von der geladenen Hülle keine Elektrizität auf das eingeschlossene Elektroskop überströmt, sondern auch, daß die Ladung auf der Hülle sich stets so verteilt, daß sie im Inneren nicht influenzierend zu wirken vermag, mit anderen Worten:

B. Die Ladungen auf der Oberfläche eines Leiters üben auf Punkte in seinem Inneren keine Kraft aus.

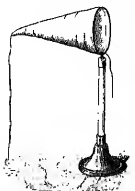
Die Ladungen verteilen sich auf der Oberfläche also stets so, daß ihre Wirkungen auf einen beliebigen Punkt im Inneren sich aufheben. Auf die für die ganze Theorie der Elektrizität fundamentale Bedeutung dieser Tatsache werden wir später noch einmal zurückkommen (§ 84).

Faraday hat den Versuch in großem Maßstabe ausgeführt, indem er eine isolierte Kammer von solchen Dimensionen herstellte, daß er selbst mit einem feinen Elektroskope darin Platz nehmen konnte. Während die leitende Außenseite der Kammer durch eine kräftige Elektrisiermaschine die stärksten Ladungen erhielt, zeigte sich im Inneren auch nicht die geringste Wirkung.

Vierter Versuch. Setzen wir ein Elektroskop in geladenem Zustande ins Innere des isolierten Käfigs, ohne es mit diesem leitend zu verbinden, so bleibt es geladen. Dies zeigt, daß im Inneren der Körper wohl ein elektrischer Zustand möglich ist, wenn man für Isolierung desselben Sorge trägt. Bei der Anstellung dieses Experimentes wird man bemerken, daß auch das äußere Elektroskop eine Ladung zeigt. Diese rührt von der Influenzelektrizität der zweiten Art her, welche durch die Elektrizität des inneren Elektroskops hervorgerufen wurde und sich durch Ableitung zur Erde entfernen läßt.

Fünfter Versuch. Ein weniger vollkommenes, aber einfacheres Experiment von Faraday ist das folgende: Auf einen isolierenden Glasfuß (Fig. 129)

Fig. 129.



ist ein Metallring aufgesteckt, an welchem ein konischer Sack von Baumwollengaze, ähnlich einem Schmetterlingsnetz, befestigt ist. Mittels eines seidenen Fadens, der in der Spitze des Kegels festgenäht ist, kann man den Beutel anwenden. Wenn wir den Apparat eine elektrische Ladung mitgeteilt haben, so finden wir mit dem Probeseitechen, daß nur die äußere Fläche merklich elektrisch ist. Wenden wir nun den Beutel mittels der Seidensehnur an, so daß die bisher innere Fläche die äußere wird, so finden wir, daß die beiden Oberflächen mit ihrer Lage auch ihre Ladung vertauscht haben, so daß sich abermals die elektrische Ladung nur auf der äußeren Oberfläche befindet.

Sechster Versuch. Nehmen wir zwei gleich große isolierte Kugeln mit leitender Oberfläche, von denen eine hohl, die andere mit irgend einem Material, z. B. Metall, Holz, Holundermark, Flüssigkeiten usw. gefüllt ist, elektrisieren die beiden Kugeln, während sie sich berühren und

men dann an den begrenzten Kugeln die Größe ihrer Ladungen, so finden wir immer gleich groß. Daraus folgt, daß das Fassungsvermögen oder die Kapazität der Körper für die Elektrizität von dem Materiale in ihrem Innern unabhängig und ebenso groß ist, wie bei hohlen Körpern gleicher Form und Gestalt, woraus dann weiter gefolgert werden kann, daß dieses Material überhaupt keine Elektrizität aufnimmt. Auf den Begriff der elektrischen Kapazität werden wir weiter unten zurückkommen.

Kugel, so ist kein Grund vorhanden, warum sich die Elektrizität auf deren Oberfläche ungleich verteilen sollte. Es trifft demnach auf jede Flächeneinheit der Oberfläche eine gleich große Elektrizitätsmenge. Diese Menge pro qcm, nach einer passenden Einheit gemessen, nennt man die Dichte der Elektrizität. Auf einer Kugel ist also die Dichte überall gleich groß.

Betrachten wir statt der Kugel einen langgestreckten Körper, z. B. einen Zylinder mit abgerundeten Enden (Fig. 130), so ist von vornherein klar, daß die sich abstoßenden Elektrizitätsmengen infolge ihrer Tendenz, sich so weit wie möglich voneinander zu entfernen, sich an den beiden Enden des Zylinders anhäufen werden. Da aber die Teile auf jeder solchen Hälfte sich auch untereinander abstoßen, so ist doch auch eine ausschließliche Lagerung auf den Enden nicht möglich. Es wird vielmehr zu einer derartigen Anordnung kommen müssen, daß auf der ganzen Oberfläche sich Elektrizität verteilt

Fig. 130.



findet, jedoch mit mehr den Enden hin zunehmender Dichte. Es ist in manchen Fällen möglich, durch allerdings oft schwierige und umständliche Rechnungen die Anordnung der Elektrizität auf Grund des später zu besprechenden Coulombschen Gesetzes zu berechnen. Auf experimentellem Wege bestimmt man die Ladungsverteilung mittels angelegter Proboschoibehen. Wenn das Proboschoibehen sich der Oberfläche des Leiters möglichst annähert, so geht die Ladung der betr. Stelle gemäß den Ausführungen des vorigen Paragraphen völlig an das Schoibehen über. Die Ladung des Schoibehens prüft man am besten

mittels eines Elektromotors, auf dessen Stiel ein kleiner Metallbecher (Fingerhut) befestigt ist; rührt man das Proboschoibehen in den Becher bis zur Berührung mit dem Boden ein, so gibt es seine ganze Ladung ab, deren Betrag dann am Elektromotor abgelesen werden kann¹⁾.

Coulomb fand, als er mit Hilfe des Proboschoibehens die Stärke der elektrischen Ladung an verschiedenen Stellen eines wie in Fig. 130 gestalteten Zylinders von 20 cm Länge und 5 cm Durchmesser untersuchte:

die Ladung	1	in der Mitte,
"	"	1,26	5 cm vom Ende,
"	"	1,80	2,5 " " "
"	"	2,30	am Ende selbst.

Aus den vorangegangenen Betrachtungen folgt, daß die Dichte der Elektrizität an allen vorspringenden Kanten, insbesondere an Spitzen, welche an den isolierten Leitern angebracht werden, besonders groß sein muß, und zwar um so größer, je kleiner der Winkel an der Kante und je schärfer die Spitze ist (s. a. den folgenden Paragraphen). Um die Wirkung der Kanten zu demonstrieren, benutzte man den von K. Mach konstruierten, und in Fig. 131 nach Weinhold abgebildeten Apparat.

¹⁾ Wie aus den abgelassenen Elektromotornusschlägen die relative Größe der Ladung zu bestimmen ist, wird im § 71 gezeigt werden. Hier genügt der Nachweis der Verschiedenheit der Ladung an den einzelnen Teilen des Zylinders.

quadratische Pappstücke sind mit Stanniol überzogen, zu einem Rahmen verbunden und mit isolierenden Handgriffen versehen. In der Mitte der einen Kante ist ein Doppelpendel von Holundermarkkugelleitenden Fäden angehängt, welches nach dem Elektrisieren der verschieden stark divergiert, je nachdem die Kante, an der es hängt, einen (A) oder stumpfen (B) Winkel bildet.

Der Apparat ist geeignet zur Untersuchung der Dichteverteilung mittelst Proben, wie er in Fig. 182 abgebildete Kogelkonduktor nach B. Kelbo¹⁾.

Fig. 181.



Fig. 182.



Die Dichte ist am größten an der Spitze, sie ist fast Null im Inneren der

Wenn man die Größe der Oberfläche eines isolierten Leiters, so ändert sich die Dichte der Ladung. Bei Vergrößerung der Oberfläche verteilt sich die Ladung über einen größeren Bereich, die Dichte wird also kleiner, Verkleinerung der Oberfläche wird die Dichte größer.

Geräte zum Nachweis der Dichteveränderung sind u. a.:

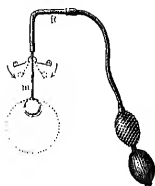
Der Seifenblasenapparat nach B. Kelbo²⁾, Fig. 183, aus einem rechtwinkligen Hartgummirohr R und darin eingeschraubtem Metallrohr mit erweitertem Ende bestehend. Das Metallrohr trägt zwei Papierhähne, denen des Kelbischen Elektroskops. Man erzeugt an dem einen Ende eine kleine Seifenblase und elektrisiert das Ganze möglichst. Wenn man dann mittelst eines aufgesteckten Gummigoblasos die Seifenblase aufbläst, so sinken die Pendel zusammen; nimmt man das Goblese ab und verkleinert sich die Blase, und die Pendel steigen wieder.

¹⁾ Inf. i. d. Elektrizität 1, 26.

²⁾ Inf. i. d. Elektrizität 1, 23.

2. Das sog. „elektrische Kettchen“ (Fig. 133), aus einem Streifen Goldpapier bestehend, der um einen an seidenen Schnüren hängenden Metall-

Fig. 133.



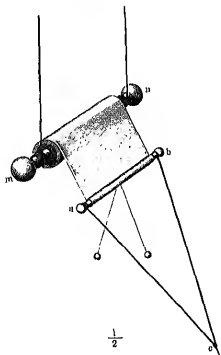
zylinder *man* gewickelt ist. Durch Ziehen an den Seideneschnüren *c* kann man die freie Oberfläche des goldenen Roulleaus vergrößern, wobei die aufgehängten Pendel zusammenfallen. Laßt man *bei c* nach, so rollt sich das Blatt durch das Eigengewicht der Walze wieder auf, und die Pendel steigen wieder.

3. Nach F. Seitz¹⁾ kann man eine der bekannten harmonikaartig zusammenziehbaren Papierlaternen benutzen, wenn man sie isoliert aufhängt und am Boden zwei Pendelehen anbringt. Mittels eines ebenfalls am Boden angebrachten Seidenfadens zieht man die vorher geladene Laterne auseinander und beobachtet dabei ein Zusammenfallen der Pendel.

§ 67. Wirkung der Spitzen. Da die Teile der auf der Oberfläche eines Leiters befindlichen Ladung sich gegenseitig abstoßen, so haben sie das Bestreben, nach außen hin zu entweichen; sie werden daran aber verhindert, weil die umgebende Luft ein Nichtleiter ist. Wir haben schon oben gesehen (§ 62), daß bei Annäherung zweier entgegengesetzt geladener Flächen (gehört die eine Fläche einem ursprünglich unelektrischen Körper an, so wird sie doch durch Influenz entgegengesetzt geladen), d. h. bei allmählicher Vergrößerung der zwischen den beiden Flächen wirkenden „elektrischen Kraft“, schließlich ein Funke überspringt; die Luft wird also leitend, wenn die elektrische Kraft einen gewissen Wert übersteigt. Unter elektrischer Kraft verstehen wir dabei ganz analog zur magnetischen Kraft die Wirkung, die an der gerade betrachteten Stelle auf einen kleinen mit einer bestimmten Menge von $+E$ geladenen Körper auszuüben würde (Näheres s. § 86).

¹⁾ Zeitschr. f. Unterr. 10, 148, 1903.

Fig. 134.



Wovon

sich dort e
barer Um
abteilungen
wertes die
Konduktor

Eret
nicht zu e
hunden.
phora könn
so stark l
fast wage
wir aber a
Spitze bei
wir der l
geringe l
oft wir i
Flektropho
bringen.

Der V
lich auch
wir die Sj
Knopf des
und diese
Sollte bei
weil das x
bleibt mol
empfindlic
haupt m
Wirkung
erst bei ei
des Maße

Zwe
zweite oh
(Fig. 186).
Ausschlag
hierbei ni
wir nun
auch dann
wir sie gl

Die v
durch die
Wir haben

¹⁾ Di
gesteckt, i
starkrecht

²⁾ Mr
elektroskop
an das Ge

in einen Leiter mit einer scharfen Spitze versehen, so drängt die Elektrizität besonders dicht zusammen, die Kraft in unmittelbarer Nähe der Spitze wird also sehr groß. Die folgenden Beobachtungen zeigen, daß auch hier bei Überschreitung eines gewissen Grenzwertes in der Umgebung der Spitze leitend wird, so daß der Teil seiner Ladung verliert.

Man nehme eine isolierte Metallkugel (Fig. 134) vor mit einem kleinen Elektroskop (Kolb'sches Papierblattelektroskop) versehen. Die Kugel leuchtet, daß die Papierelemente stehen. Wenn man die Kugel eine Zeitlang mit einem Finger berührt, so können wir nur eine ganz schwache Ladung erteilen, wie man aus dem Verhalten des Elektroskops in der Berührung

sehen läßt sich natürlich ausführen, daß die Ladung einfach auf dem Elektroskop befestigten

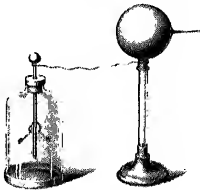
Elektroskop die Entladung sehr rasch vollständig sein wird. Es ist ein empfindliches Instrument die übrigbleibende schwache Ladung zu messen, so machen wir einen gleichen Versuch mit einem Aluminiumblattelektroskop; jetzt wird man innerhalb des üblichen Ladungsbereiches des Elektroskops so gut wie gar keine Entladung bemerken. Damit ist bewiesen, daß die Spitzenwirkung einen Grenzwert der Ladungsdichte eintritt, der oberhalb des Aluminiumelektroskops liegt.

Man nehme zwei Kugeln, die mit einer Spitze versehen sind, eine gegenüber der anderen, die mit einem Elektroskop verbunden ist. Wenn wir die erste Kugel zu laden, so sehen wir an dem Elektroskop, daß auch die zweite sich ladet; daß es sich um eine Induktionwirkung handelt, beweisen wir, indem wir die erste Kugel entfernen; die Ladung des Elektroskops bleibt unverändert. Prüfen wir die Ladung auf ihr Vorzeichen, so finden wir, daß sie mit der auf die erste Kugel aufzubringenden Ladung übereinstimmt. Die durch die Spitze ausgestrahlte Ladung ist also durch die Induktion auf die zweite anfangs ungeladene übergegangen. Im Vorgang ist wesentliches zu berücksichtigen, daß die Luft

entweder in der Nähe der Kugel eingeschaltete Öffnung sein wird, oder einfach eine kleine Röhre mit etwas Kieselöl, die in der Nähe der Kugel befestigt ist.

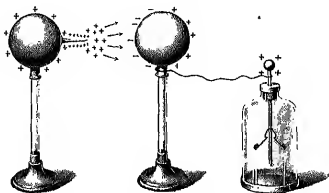
Man nehme auch, daß man das Aluminium- und das Papierblattelektroskop verbindet und beide gleichzeitig ladet, daß ersteres sich entladet, das letztere sich überhaupt merklich bewegt.

Fig. 135.



in der Umgebung der Spitze sich gleichmäßig ladet, daß dann die geladene Luft abgestoßen wird und an die andere Kugel gelangend, dort die Influenz-
elektrizität erster Art neutralisiert. Man kann tatsächlich bei genügend
rascher Ladungszufuhr die Bewegung der geladenen Luft, den sogenannten
„elektrischen Wind“, vor der Spitze direkt fühlen. Ferner bemerkt man bei

Fig. 186.



Ausführung des Versuchs im Dunkeln eine Lichterscheinung an der Spitze.
(Näheres über den Mechanismus der Spitzenentladung siehe Kapitel „Elek-
trische Leitung in Gasen“.)

Dritter Versuch. Die Anordnung sei wie in Fig. 186, nur soll jetzt die
mit Spitze versehene Kugel mit dem Elektroskop verbunden sein, während die
andere geladen wird; das Elektroskop zeigt eine Ladung an, die derjenigen
auf der direkt geladenen Kugel gleichnamig ist; um bei der Prüfung direkte
Influenzwirkungen auszuschließen, nehmen wir die Spitze mit einer isolierten
Pinzette ab und entfernen dann die Kugeln möglichst weit voneinander. Die
Spitze hat hier gleichnamig die Ladung aus der anderen Kugel angesaugt.
Von dieser Saugwirkung der Spitzen wird bei den Elektrisiermaschinen
(§ 68 und 69) Gebrauch gemacht. (Genauer hat man sich die Saugwirkung
so vorzustellen, daß die sich in der Spitze zu großer Dichte ansammelnde
Influenzelektrizität erster Art schließlich durch die Luft zu dem influenzieren-
den Leiter hindüberströmt und dessen Ladung neutralisiert; dann bleibt die
Influenzelektrizität zweiter Art auf dem mit der Spitze verbundenen Leiter
zurück.)

Vierter Versuch. Die Anordnung sei wie bei dem dritten Versuch,
aber die Spitze nach außen gerichtet. Dann sammelt sich die Influenz-
elektrizität zweiter Art an der Spitze und strömt in die Luft aus. Die Kugel
behält eine Ladung, die derjenigen der influenzierenden Kugel entgegengesetzt
ist. Die Spitze wirkt hier ähnlich, wie Ableitung durch Berührung.

Folgerungen. Aus den gefundenen Tatsachen folgt, daß man Leiter,
die dazu bestimmt sind, elektrische Ladungen großer Dichte aufzunehmen,
möglichst an allen Teilen ihrer Oberfläche abzurunden hat, da jede
etwa vorhandene Kante oder Spitze Anlaß zu Verlusten durch „Spitzenwirkung“
geben kann. Deshalb sind die Kanten am Elektrophordeckel abgerundet, oben
deshalb die Elektroskope mit kleinen Kugeln versehen. Man beachte aber

nach, daß
tritt, und
Ladung die
z. B. für di

§ 68.
zitiert „mont
maschinen“
elektrische
Als F
betrachten,
Schwefelkörn
gedreht wo

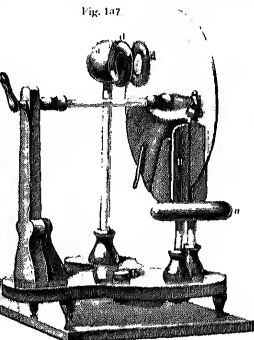
Hawkebo
Kugel (das
isoliert vie
lung mit
(1742) den
Winkler (e
eines Lode
Bestreichen
durch Erfr
Zinn und
Die Zi
sternmaschi
berührend

lenwirkung erst oberhalb einer gewissen Grenzdicke ein-
deshalb zwecklos ist, auch bei solchen Apparaten, deren
rdichte niemals erreicht, alle Ecken abzurunden; dies gilt
inblettelstelektrode.

tridermaschine. Zur Erzeugung noch größerer Elektrizi-
or Elektroden sie zu liefern vermögen, sind die „Elektrifizier-
et, die wir in zwei Klassen teilen können, die „Reibungs-
hnen“ und die „Influenzmaschinen“.

der Reibungsmaschine können wir O. v. Guericke
im Jahre 1671 ausgeführte Maschine einfach aus einem
and, die mittels einer eisernen Achse in einem Holzgestell
nnte. Als Halbzug diente die Hand des Experimentators

Fig. 1a7.



o im Jahre 1709 die Schwefelkugel durch eine Glas-
nd damals allgemein gebrauchte stark bleihaltige Flintglas
als unser jetzt gebräuchliches Glas, das man durch Reib-
l kaum stark elektrisch machen kann). Diese „Fak-
ktor“ zur Ausammlung der erzeugten Elektrizität hinzu;
idlich vervollständigte die Maschine durch Anbringung
ls „Reibzug“, das dann noch von Canton (1762) durch
ers mit Zinn-Amalgam und von v. Kienmayer (1784)
nach ihm benannten Amalgams aus 1 Teil Zinn, 1 Teil
Quecksilber verbessert wurde

verschiedenen Konstruktionsformen von Reibungs-
ehr groß; es muß genügen, eine einzige, von Winter
schreiben, da ihre Verwendung heute nur noch eine ge-

ringe und ihre Bedeutung einzig noch historischer und didaktischer Natur ist; sie sind fast völlig von den viel ökonomischer arbeitenden Influenz-elektrisiermaschinen (s. § 69) verdrängt worden.

Die Wintorsche Maschine zeigt die Fig. 137. Ihr Hauptbestandteil ist eine Glasscheibe, die durch eine Kurbel in Umdrehung versetzt wird. Das Reibzeug R , ein mit Amalgam beschichtetes Lederkissen, umfaßt die Scheibe + elektrisch; die + E wird bei der weiteren Umdrehung der Scheibe von den innen mit seinen Spitzen besetzten Saugringen d aufgefungen und in dem „Konduktor“ a angesammelt. Die gleichzeitig erzeugte — E des Reibzeuges muß natürlich durch Erdverbindung des Reibzeuges abgeleitet werden. Will man die — E des Reibzeuges auffangen, so muß man dieses isolieren und den Konduktor a ableiten. Dann sammelt sich die — E in dem mit dem Reibzeug verbundenen Konduktor c .

Am Reibzeug sind meist noch zwei Lappen aus Seide oder Wuchstalt befestigt, die sich durch elektrostatische Anziehung fest an die Scheibe legen. Sie sollen einen Ladungsverlust der Scheibe durch Ausströmung in die Luft oder durch Funkenübergang zu den nicht direkt am Glase anliegenden Teilen des Reibzeuges verhindern¹⁾.

Fig. 138.



Verschiedenartiger Hilfsapparate zur Verstärkung der Funken usw., sowie konstruktive Änderungen können hier füglich übergangen werden, da sie wenig wissenschaftliches Interesse bieten.

Erwähnt sei nur das auf den Konduktor direkt aufsetzbare Holtzsche Elektromotor (Fig. 139).

Eine interessante Art der Reibungsmaschine, die von Armstrong im Jahre 1840 erfundene „Dampf-elektrisiermaschine“, verdient auch noch eine kurze

Erwähnung. Bei dieser Maschine entsteht die Elektrizität durch die Reibung des aus einer hölzernen Öffnung ausströmenden Wasserdampfes, der in einem auf isolierenden Füßen stehenden Kessel erzeugt wird. Wesentlich ist, daß sich in dem Dampfstrahl schon kondensierte Wassertropfen befinden. Der Kessel ladet sich negativ, der Dampf positiv. Bringt man etwas Terpentinöl in die Ausströmungsöffnung, so kehrt sich die Ladung um.

Eine eingehende wissenschaftliche Untersuchung der Vorgänge in dieser Maschine hat M. Faraday²⁾ ausgeführt.

§ 69. Influenzelektrisiermaschinen; Duplikatoren. Die Reibungsmaschinen besitzen einen sehr geringen „Nutzeffekt“, d. h. es wird nur ein sehr kleiner Teil der zur Umdrehung der Maschine aufgewandten Arbeit in „elektrische Energie“ (siehe § 92) verwandelt; der größte Teil der Arbeit geht als Reibungswärme verloren. Von diesem Uebelstande sind die Influenz-elektrisiermaschinen, oder kürzer „Influenzmaschinen“ frei, da bei ihnen, abgesehen von der unvermeidlichen Achsenreibung, die ganze aufgewandte Arbeit zur Elektrizitätserzeugung nutzbar gemacht wird.

¹⁾ W. Holtz, Ann. d. Phys. (4) 18, 1054 (1905).

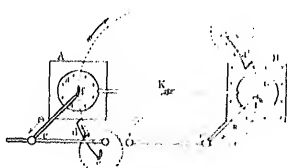
²⁾ Exp. Unt. Nr. 2075—2146.

Wir k
maschine at
wirkenden
nächst ein i
Es sei
elektrisch
isolierend
Abstand v
vorhanden
die in eine
die von den
a sich vor
so wird es di
+ geladen,
abgeleitet
f auf c ab
entspricht
Kuchen, a
eines Elek
dem abloste
nur wird
fluozelokl
Art nicht
Elektropho
abgeleitet,
dem Leiter
Richtung d
seiner + l
dort eben
Beim weite
von c und
angesamm
aber die k
geht, soho
beiden Kor
das Spiel l
Die W
eine zweit
vermeidli
strömen in
man nicht
durch zwa
dieso gebe
einen Teil
Ladungszu
überflüssig
ähnlich
von A ang
gezogen,

aus die etwas komplizierte Wirkungsweise der Einfluss-
kosten klar machen, wenn wir sie als einen kontinuierlich
vor auffassen. Wir betrachten zu diesem Zwecke zu-
erst das dargestellte schematische Modell.

Wir stellen uns zwei isolierte Scheiben, die auf irgend eine Weise
rotieren können. Zwei Metallscheiben a und b seien durch eine
Achse mit einer Achse verbunden, daß sie sich in geringem
Abstande voneinander bewegen. Endlich seien noch zwei Leiter c und c'
an der einen Seite je eine verschiedene Länge tragen,
die an der anderen Seite je eine Schleifseife f und f'
haben, die auf a und b bei ihrer Umdrehung herfahren werden. Wenn

Fig. 129.



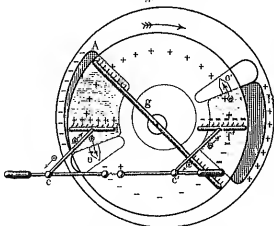
man die Achse um 180° in der
Richtung dreht, so kommt a an die Stelle von b und gibt einen Teil
der Ladung ab. Unterdessen ist b an die Stelle von a gelangt, wird
hier a induziert und verleiht auch die Ladung von c'
werden also nach jeder halben Umdrehung die Ladungen
um einen gewissen Betrag erhöht, so lange, bis die auf c
wegen der Wirkung von A gerade aufheben; rückt man
dann die Enden von c und c' genügend nahe zueinander, so
wird der Grenzwert erreicht, ein Funke zwischen den
Enden, der die angesammelten Ladungen ausgleicht, und
man beginnt von neuem.

Man sieht sich vergrößern, wenn man der Scheibe A gegenüber
steht, der man eine 4. Ladung gibt. Infolge der un-
terschiedlichen Ladung durch die isolierenden Stützen, sowie durch Aus-
gleich von A und B ihre Ladung sehr bald verlieren, wenn
diese durch den Kontakt der Schleifseifen f und f' wieder
auf a und b mit den Schleifseifen c und c' geschoben. Durch
die Bewegung von a und b , kurz bevor sie die A und B erreichen,
werden an A und B ab, so daß diese einen konstanten
Ladungszustand; die Anbringung der Leiter d' und e' macht es
möglich B im Beginn besonders zu laden, da sie sich je
aufsetzt. Da a und b im oberen Teile ihrer Bahn
von A abgestoßen, im unteren Teile dagegen von B an-
gezogen werden, so ist bei der Umdrehung zur Folge.

windung dieser Kräfte eine Arbeit aufzuwenden, die um so größer ist, je kräftiger die Maschine wirkt.

Gehen wir nun von dem beschriebenen schematischen Modell zu den wirklich ausgeführten Maschinen über, so unterscheiden sich diese zunächst dadurch von dem Modell, daß ihre Wirkung eine kontinuierlichere ist. Die ältere von Holtz ¹⁾ angegebene Maschine hat als rotierenden Teil keine Metallkörper, wie oben angenommen, sondern eine lackierte ²⁾ Glasscheibe, und statt der Schleifenden Spitzenkämme. Die festen Leiter A und B (Fig. 140) bestehen aus Papierscheiben, die auf eine feststehende, ebenfalls lackierte Glasplatte aufgeklebt sind ³⁾. Ihre Wirkungsweise ist demnach folgende: Der Belagung A sei eine negative Anfangsladung mitgeteilt, die Leiter c, c' mögen sich berühren. Die Ladung von A wirkt influenzierend auf das Leitersystem c, c' , so daß die $+E$ durch die Spitzen f auf die bewegliche Scheibe ausströmt und von dieser bei ihrer Umdrehung mitgenommen wird; die $+E$ wirkt influenzierend auf die Belagung B , so daß $-E$ aus der Pappspitze e' auf die rotierende Scheibe strömt. (Die Spitzen e und e' ragen durch zwei Ausschnitte der festen Scheibe bis dicht an die Rückseite der beweglichen.) Die

Fig. 140.



somit $+$ geladene Belagung B treibt die $+E$ der beweglichen Scheibe durch e, e' wieder nach f hin, zieht dagegen die von A abgestoßene $-E$ durch die Spitzen f' auf die Scheibe. Die $-E$ der Scheibe wiederum gelangt durch die weitere Drehung wieder nach links, zieht $+E$ aus der Spitze e zur Rückseite der Scheibe, dadurch die $-$ Ladung von A verstärkend und die vorher aus e' auf die Rückseite gelangte $-E$ neutralisierend, oder in $+E$ verwandelnd. Schließlich wird die $-$ Ladung der Scheibe durch die aus f ausströmende $+E$ neutralisiert und in eine $+$ Ladung umgewandelt. Es gendigt also zum Ingangsetzen der Maschine eine kleine Anfangsladung einer der beiden Belagungen A oder B , die nur so stark sein muß, daß die Grenzdicke für beginnende Spitzenwirkung erreicht ist (s. § 67). Die Maschine verstärkt dann bei ihrer Umdrehung die kleinen Anfangsladungen bis zu einem Maximum. Man braucht sogar die Anfangsladung

¹⁾ Pogg. Ann. 126 und 127, 1865.

²⁾ Der Grund für Anbringung des Lacküberzuges erhellt aus den Bemerkungen in § 56.

³⁾ Durch die Wahl eines Halbleiters für die Belagungen A und B wird bewirkt, daß Ausströmungen aus den Rändern in die Luft wegen des langsamen Nachwärtens durch das schleichtende Material nicht plötzlich die ganze Belagung entladen und die Maschine unwirksam machen können.

nicht einmal Wirkung ein die man A teilend auf Belagungen die Hartgum Leitern c, c' Diagonal eine gewisse Fall nicht auf, da die hieren. Dies

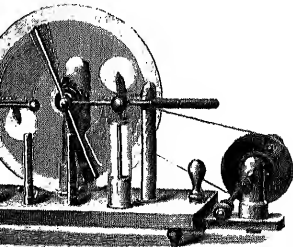


tora vorhin deren Rolle Maschine i zwei „Lade (siehe § 77

Selbst erst bei oh Maschine d schematisches dagegen in Übertragen System: so wird die elektrostatische Seite mit d andersseits

ogung wirklich mitzutheilen, es genügt auch die Influenz
 stück geriebenen Hartgummiseihe (Elektrophorkuchen).
 Dann wirkt zu Anfang die Hartgummiseihe ver-
 sitzenkaum f ; wenn nach mehreren Umdrehungen die
 f eine genügende Ladung angehäuft haben, kann man
 sie entfernen. Auf der Figur sieht man außer den
 zwei schräg stehenden Leiter g . Die Bedeutung dieses
 "Lagers" ist folgende: Wenn man die Leiter e und e' über-
 einander auseinanderzieht, so können die Funken das Inter-
 verspringen und die Wirkung der Maschine hört völlig
 auf infolge unregelmäßiger Zufuhr ihre Ladung bald ver-
 loren wird durch die Anbringung des Diagonalkondensators.

Fig. 141.

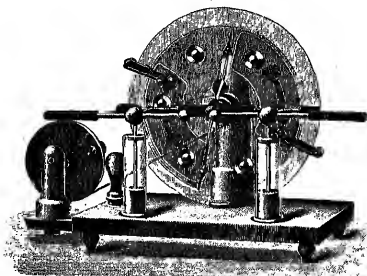


om dieser bei zu großer Entfernung von e und e' sofort
 unt und die Wirkung aufrecht erhält. Fig. 141 zeigt die
 der Anführung; mit den Konduktoren e und e' sind
 en" verbunden, die zur Verstärkung der Funken dienen

nde Influenzmaschine. Da die Spitzenstromung
 unten Ladungslichts beginnt, so bedarf die Holtzsche
 ungeladung. Die im Beginn dieses Paragraphen beschriebene
 ung mit rotirenden Metallscheiben und Schleifedern
 bei heijßig kleinen Anfangsbeladungen wirken, da je di-
 metallische Kontakte hindurch stattfinden. Da nun ein
 iter und Nichtleiter fast niemals völlig unelektrisch ist
 der Apparat bei der Umdrehung meist von selbst in stat-
 el kommen. Diesen Vortheil der „Selbsterregung“ einer
 hr kontinuierlichen Wirkung der Holtz'schen Maschine
 pinton, ist der Zweck der Teyler'schen „Selbsterregenden

Influenzmaschine", wie sie Fig. 142 in einer Ausführung von F. Ernsack (Berlin) zeigt. Sie entsteht aus der Holzschalen Maschine einfach dadurch, daß man auf die rotierende Scheibe eine Anzahl, meist sechs, kleine Stanniole aufsetzt, die in ihrer Mitte mit kleinen Knöpfen versehen sind und an Schleifbürsten schleifen, von denen sich je eine in der Mitte jedes der vier Spitzenkämme befindet. Die Bürsten bestehen aus ganz dünnem Messingband. Die Ausschnitte mit den Papierspitzen an der festen Scheibe fallen fort und werden durch zwei kleine Bürsten ersetzt, die durch zwei um

Fig. 142.



die bewegliche Scheibe herumgreifende Drahtbügel mit den Hologungen verbunden sind (sie entsprechen den Federn *cd* in Fig. 139).

Anfangs sind bei dieser Maschine nur die Stanniolbeläge wirksam; ist die Ladung so stark geworden, daß die Spitzenwirkung beginnt, so wirkt die Maschine, wie die Holzschale.

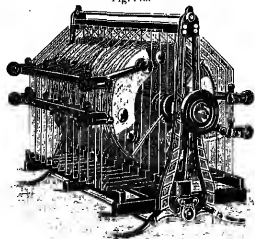
Vielplattige Influenzmaschinen. Da, wie schon erwähnt, die Reibungsarbeit bei den Influenzmaschinen fast ganz vermieden bzw. auf ein Minimum herabgedrückt ist, so kann man, ohne daß die zu leistende Arbeit die Kräfte eines Menschen übersteige, mehrere derartige Maschinen zu einer einzigen zusammenkoppeln. So entstehen die vielplattigen Maschinen, bei denen mehrere bewegliche Scheiben auf einer Achse befestigt sind; zwischen zwei bewegliche Scheiben kommt dabei meist eine feste. Mit Selbsterregungsvorrichtung braucht hierbei nur eine einzige Scheibe versehen zu sein, da die Hologungen alle miteinander verbunden sind.

Eine 20plattige Maschine dieser Art stellt Fig. 143 dar. Man baut derartige Maschinen meist in dicht schließende Glaskästen ein, in die man Schalen mit Chlorcalcium zum Trocknen der Luft stellt. Die Scheiben können dann unlackiert bleiben und behalten ihre volle Wirksamkeit unbegrenzt.

sch Erhöhung des Luftdruckes in dem die Maschine umschließenden Hülft sich die Wirksamkeit noch bedeutend steigern ¹⁾).
 Die neuere sehr kompensierte Konstruktion vielplattiger Maschinen ist in demselben angegeben worden ²⁾).

Die Influenzmaschine als Motor. Wir haben oben gezeigt, daß es wegen der Achsenreibung zum Betriebe der Influenzmaschine notwendig ist, da die elektrischen Anziehungs- und Abstößungskräfte die Drehung widersetzen. Daraus folgt nach dem Energiesatz ohne

Fig. 143.



daß eine Maschine, der man Elektrizität von außen zuführt, in einem besonderen Apparat gerät und zwar im umgekehrten Sinne, als die zur Erzeugung von Elektrizität dienende Maschine. Zur Ausführung dieses von Holtz ³⁾ angegebenen Versuches leitet man auf die Hauptkonduktoren einer Influenzmaschine, deren Treibsehnur abgenommen ist, von einer zweiten Maschine — B; dann gerät die erstere in lebhafteste Rotation, sobald man ihrer einen Anstoß in negativem Drehsinne erteilt. Man könnte mit ihr ein Seil um ihre Achse geschlungenen Fadens ein Gewicht heben, mechanische Arbeit gewinnen. Dabei werden die zugeführten Elektrizitätsmengen, d. h. ihre elektrische Energie wird verbraucht. Das gemeinsame Merkmal beider Maschinen ist gewissermaßen eine Vorrichtung für die Übertragung der Elektrizität, bei welcher die überströmende Elektrizität die Übertragungsmittel spielt.

Die Polrichtung der Influenzmaschine. Bei einer Holtzschen Maschine ist die Polrichtung, d. h. das Vorzeichen der auf dem einen oder dem anderen Konduktor sich ansammelnden Ladung durch das Vorzeichen der Erregung, mit der man die Maschine angeregt hat; bei der Töpler'schen Maschine ist das Vorzeichen von Zufälligkeiten abhängig und wechselt sogar häufig, wenn man die Maschine kurze Zeit still-

Hempel, Die „Hochdruckinfluenzmaschine“; Wied. Ann. 25, 487 (1885).
 Ann. d. Phys. (4) 9, 661, 1902; (4) 23, 601 und 609, 1907.
 Pogg. Ann. 189, 513 (1870).

stehen läßt und dann wieder in Bewegung setzt. Man kann die Polrichtung entweder mittels Probeseife und Elektroskop prüfen, oder aber, indem man die Maschine im verdunkelten Zimmer betrachtet. Dann sieht man an den Spitzenkammern die in Fig. 144 dargestellte Leuchterscheinung. Die Figur entspricht einer Holtz'schen Maschine ohne Diagonalkonduktor; ist ein solcher vorhanden, so sieht man an dessen Kammern ganz ähnliches Leuchten.

Die der Scheibenbewegung entgegenstrahlenden langen „Büschel“ gg rühren von ausströmender $+$ E her, der entsprechende Konduktor ist also der negative. Die

Fig. 144.

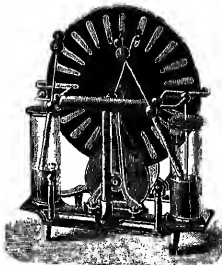


„Glühlichtpunkte“ ii entstehen durch das Anströmen von $-E$, der betreffende Konduktor ist also der positive.

Es ist dies die erste Erscheinung bei mancher bisherigen Vorrichtung, die einen qualitativen Unterschied im beobachteten Verhalten von $+$ E und $-E$ zeigt. In weiteren wird sich zeigen, daß derartige Unterschiede sich fast ausschließlich auf zwei Gebieten bemerkbar machen, den elektrischen Vorgängen in Lösungen und in Gasen; diese Erscheinungsgebiete haben deshalb besondere Wichtigkeit erlangt.

Influenzmaschinen ohne feste Scheibe. Schon Holtz hatte eine Maschine konstruiert, die gar keine feste Belegungen besaß, sondern aus

Fig. 145.



zwei entgegengesetzt rotierenden Scheiben mit passend gestellten Konduktoren bestand. Die Maschine ist, mit Selbstregung versehen fälschlich, unter dem Namen der Wimschurst'schen Maschine jetzt ziemlich verbreitet. Namentlich die kleinsten Modelle mit Hartgummischeiden sind ihrer bequemen Handhabung und Billigkeit wegen beliebt. Fig. 145 zeigt eine derartige Maschine. In Fig. 146 ist die Verteilung der Ladungen und die Strömungsrichtung in den Konduktoren angedeutet. Die kleineren Modelle der Maschine besitzen meist keine Spitzenkammern, sondern nur Pinsel, die auf den Stanniolbelegungen schleifen. Es kommen in diesem Falle im wesentlichen

nur die Ladungen der Stanniolbelegungen zur Wirkung, und die Hartgummischeiden dienen nur als isolierende Träger. Sind dagegen Spitzenkammern angebracht, so wirken auch die Scheiben selbst mit.

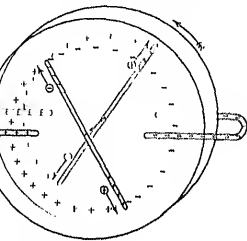
Dupli
bemerkens
ist der Pro
den Belegu
einem Maxi
Die Au
bekannt. f
von Bonn

den Zweck
vielfältigen
also nur zu
Zwecke der
prinzip von
Man k
maschine bi
wegen ihre
waren, dicit
sie alle auc
geführt war
stets Aewon
oder auf her
Die W
dem in Fig
bei aller Vo
ohne isolier
Stützen blo
Der N
rühmten Ye

*) Boro
marken,

153
 ... (geschichtlich) zur Influenzmaschine. Eine
 ... (ähnlichkeit) zu den vorher beschriebenen Maschinen
 ... (welche) die anfängliche Elektrisierung der Feststehen-
 ... (verstärkt) und bei regelmäßigem Gange der Maschine auf-
 ... (halten) wird.
 ... (Vorteil) dorniger Multiplikationsprozesse war schon früher
 ... (im 18. Jahrhundert) erfundenen sog. Duplikatoren
 ... (Olson und Bohnenberger) waren Instrumente, welche

Fig. 140.



... (äußert) kleine Elektrizitätsmengen durch Influenz zu ver-
 ... (mehren) elektroskopisch wahrnehmbar zu machen, sie dienten
 ... (unmittelbar) zur Erzeugung von Elektrizität ist dasselbe Duplikator
 ... (1831) und Varley (1830) angewendet worden.
 ... (Duplikatoren) also als historische Vorläufer der Influenz-
 ... (ihren) ursprünglichen Zweck, Elektrizitätsmengen, die
 ... (nicht) ohne weiteres am Elektroskop nicht wahrnehmbar
 ... (Erzeugung) zu vervielfältigen, erfüllten sie nur schlecht, da
 ... (schon) anfließen, wenn gar keine Ladung von außen zu
 ... (Verhalten) der Duplikatoren lehrte eben erst die Insa-
 ... (nur) zufälliger Ladungen auf allen isolierten Körpern
 ... (tern) können.
 ... (da) der Duplikator erkennt man ohne weiteres aus
 ... (gestellten) schematischen Modell; sie sind in der Tat
 ... (seit) in Einzelheiten weiter nichts, als Influenzmaschinen
 ... (unmittelbar) anfließen, also abgesehen von den leuchtenden
 ... (ill) hergestellt.

... (wie) der Duplikator wurde von A. Volta bei seinen be-
 ... (der) Volta'schen Elektrizität (siehe § 105) benutzt, siehe

706) nicht auf die Selbsterrregung der Duplikatoren auf

kehr eine positive Ladung auf a und A übertragen, dessen anfängliches Verstäärkung und so fort, bis zur Erreichung eines Maximums, wesentlich durch die gegenseitige Einwirkung der beiden Leiter- und ferner dadurch bedingt ist, daß die geladenen Tropfen schließlich elektrostatische Abstößung seitens der unteren Zylinder in weitem Maße zu verhindern suchen.

kann die Ladung der Tropfen, die aus A und B , sowie die Ladungen derjenigen, die aus a und b abfallen, leicht prüfen, wenn man sie in kleinen isolierten Bechern (an eine Siegellackstange angeklebter) auffängt, und am Elektroskop prüft.

Die Ausführungsform (nach Weinhold) der Maschine mit Leidener-
(s. § 77) zur Ansammlung der erzeugten Ladungen zeigt Fig. 148.

Die praktische Wink über die Behandlung der Influenzmaschine
den Paragraph beschließen. Bezüglich der isolierenden Teile einschließ-
beiben gelten durchaus die Bemerkungen des § 56.

Die Maschine in feuchter Luft, also bei regnerischer Witterung, oder nachdem sie aus kalten Sammlungsräumen in ein durch menschliche Körper feucht gewordenen Auditorium getragen ist, vorzuziehen sollte, so für kurze Zeit durch Erhitzen der rotierenden Scheibe Abhilfe schaffen, die Maschine mäßig rasch drehend, mit einer Bauseinblame über die Scheibe diese handwarm geworden ist. Maschinen mit Hartgummischieben mit Alkohol ab und erwärme sie dann vorsichtig.

Der Lack auf den Glasseiben dunkelbraun und undurchsichtig oder
werden, so muß er erneuert werden, eine Arbeit, die wohl am besten vom
er ausgeführt wird.

schleiftragenden Maschinen ist der Grund des Versagens häufig der, daß schleifbürsten die rotierenden Knöpfe oder Stanniolscheiben nicht berührt. manchmal der Kontakt zwischen den Papierbelegungen und den Metall-vollkommen und muß durch Umliegen von einigen zusammengefalteten tischen verbessert werden.

größte Feind der Influenzmaschine ist der Staub. Hiertunmül hilft sich
 in besser als im Lichte. Hat die retrograde Scheibe einen Sprung be-
 so ist sie unbedingt zu verwerfen, da ein Auseinanderfliegen bei der
 Umdrehung der Maschine zu lebensgefährlichen Verletzungen führen kann.

3. **Versuche mit der Elektrisiermaschine.** Eine große Reihe von Versuchen, auch von den bereits früher beschriebenen, läßt sich bedeutend erweitern und mit größeren Wirkungen ausführen, wenn man als Elektrisitätsquelle eine Elektrisiermaschine benutzt; ob Reibungs- oder Influenzmaschine, ist ganz gleichgültig; wenn bloß ein Konduktor der Maschine gebräucht wird, so verbindet man denselben mit der Erde zu verbinden.

Verbindung des zu ladenden Apparates mit dem Konduktor der geschieht durch nicht zu dünne¹⁾ Drähte, oder Ketten oder Seile zweckmäßig sind die in Fig. 149 abgebildeten Stangen, die unueuartig ineinanderschieben und dadurch in ihrer Länge vor-

Fig. 150 ist die Art der Verbindung eines Apparates mit einer Induktino vollständig angegeben²⁾; in den folgenden Figuren ist vielfach der leitende Leiter mit \perp , der abzuleitende mit E ($=$ Erde) bezeichnet.

n Ausströmungen zu verhüten.

Die schematisch gezeichneten Verbindungen sind im Verhältnis zum Apparat vereinfacht.

Zur Beschreibung der Versuche selbst übergehend, bemerken wir zuvör, daß nur solche genannt worden sollen, die in irgend welcher Beziehung wissenschaftliches oder didaktisches Interesse haben. Die Zahl der in das Gebiet der physikalischen Spielereien fallenden Versuche ist zu groß, um hier auch bloß aufgezählt zu werden. Man findet sie in beliebiger Auswahl in illustrierten Katalogen.

Der Kugeltanz ist eine bessere Form des in Fig. 100 dargestellten Versuches; er läßt sich auch dadurch hervorbringen, daß man den Deckel eines

Fig. 149.



Fig. 150.

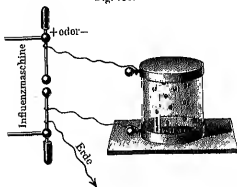
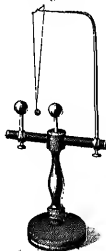


Fig. 151.



Elektrophors an seinen Seilstrichen so aufhängt, daß seine untere Fläche 5 bis 8 cm hoch über einer Metallplatte schwebt. Werden auf die Platte Holundermarkkugeln gelegt, und Deckel und Platte mit den beiden Konduktoren einer Elektrisiermaschine verbunden, so tanzen die Kugeln lebhaft auf und nieder.

Denselben Vorgang zeigt der von B. Kelbo¹⁾ herführende Apparat Fig. 151. Wird die eine feste Kugel mit einem isolierten geladenen Konduktor, die andere mit der Erde verbunden, so pendelt das kleine, an Seidenfäden hängende Kugeln (das aus Holundermark oder Kork hergestellt und mit Blattgold überzogen ist) so lange hin und her, bis der Konduktor entladen ist (genauer: bis die Ladung zu schwach ist, um noch das Pendel zu bewegen). Man kann somit die Gesamtzahl der Schwingungen als ein relatives Maß für die Ladung des betreffenden Konduktors betrachten.

Die gegenseitige Abstoßung gleichartig geladener Körper kann man sehr schön mit Hilfe des Papierbittscheils, Fig. 152, zeigen, dessen Streifen in geladenen Zustande sich nach allen Richtungen spreizen.

Die Haare auf dem Kopfe zeigen eine ähnliche Erscheinung, wenn man sich auf einen Isolierschemel, d. h. auf ein durch Glasfuß getragenes Brett, stellt und den Konduktor der Maschine mit der Hand berührt.

¹⁾ Einfl. d. Elektr. I, 78.

hinaus gestreut wird, streichen sich die Haare; sie fallen zusammen aus dem Konduktor oder dem ungeschickten Körper selbst ab.

Die Vorlesung kann an Stelle des Induktors zum Induktionsapparat kommen.

Man sieht einem stark geladenen Konduktor, so verspart als wäre man in ein Spinnennetz geraten (zuerst bewahrt von ihm). Die Ursache hiervon ist die Anziehung, die der Konduktor der Haut ansetzt.

Die Funke kann leicht entzündbare Körper, z. B. den Dampf des brennenden Korzes, entzünden. Knallgas kann schon durch ganz kleine Entladung gebrannt werden. Zur Entzündung des Knallgases dient die sogenannte elektrische Pistole, die in Fig. 163 in

Fig. 163.

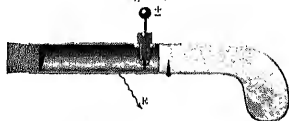


Fig. 164.

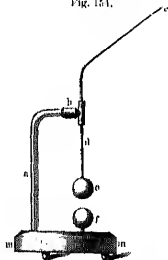


Fig. 165.



der Form dargestellt ist. Man ladet die Pistole mit einem Knallgas, indem man sie mit abwärts gerichteter Mündung einige Meter über das Entwicklungsgesäß eines Wasserstoffapparates oder einer Zelle stülpt, so daß sich das einströmende Gas mit einem gleichbleibenden Luft vermischt, und sie darauf mit dem Kork man dann auf den Knopf des Induktors durch die Wand einer elektrischen Funken fallen, während man den Lauf so wird der Kork mit Knall weggeschleudert.

Zur Zündung von Äther gießt man ihn in einen Blechlöffel, den man an den Konduktor einer Maschine hält.

Die Spitzenwirkung läßt sich durch folgende Versuche demonstrieren: Wenn man den Konduktor einer Elektrisiermaschine mit einer Spitze versehen, so ist es unmöglich, den Konduktor so zu laden, daß man aus ihm kräftige Funken ziehen kann. Alle durch die Umdrehung der Maschine erzeugte Elektrizität entweicht alsbald durch die Spitze.

Wenn man eine Spitze, die mit dem Boden in leitender Verbindung steht, dem Konduktor der Maschine bis auf einige Centimeter nähert, so ist es gleichfalls unmöglich, ihn zu laden.

Sehr schön läßt sich die elektrische Wirkung der Spitzen mit dem Apparat Fig. 154 zeigen. Die Kugel *f* wird zur Erde abgeleitet und die Spitze *c* dem Konduktor einer Elektrisiermaschine genähert; den Draht *ed* schiebt man so weit herab, daß ein Zwischenraum von einigen Millimetern zwischen den Kugeln *e* und *f* bleibt. Es findet dann ein beständiges Ausströmen von der Spitze *c* nach dem Konduktor statt, während die abgestoßene Elektrizität in der Kugel *e* angehaufen wird, bis sie eine hinlängliche Dichtigkeit erlangt, um ein Überspringen von Funken zwischen *e* und *f* zu bewirken.

Fig. 156.



Die Funken folgen sich um so langsamer, je weiter die Kugeln *e* und *f* voneinander abstoßen.

Wenn man einer auf den Konduktor der Maschine aufgesetzten Spitze die Hand nähert, während die Maschine gedreht wird, so fühlt man den von der Spitze ausgehenden elektrischen Wind.

Man kann den elektrischen Wind dadurch sichtbar machen, daß man der Spitze eine Korzenflamme nähert, die deutlich zur Seite geblasen wird.

Wenn die elektrische Spitze selbst beweglich ist, so muß sie sich, vermöge der zwischen ihr und den abströmenden Luftteilchen stattfindenden

Abstoßung, bewegen und zwar in einer dem elektrischen Winde entgegengesetzten Richtung. Darnach beruht die Drehung des elektrischen Fingrades, Fig. 155, welche der Rotation des Sagnerschen Wasserrades ganz analog ist.

Die Verschiedenheit der Leuchterscheinungen beim Ausströmen aus Spitzen, die bereits in § 69 erwähnt ist, kann man noch deutlicher sichtbar machen, wenn man von den Konduktoren einer Influenzmaschine den einen mit einer nicht zu scharfen Spitze ¹⁾, den anderen mit einer Platte von 5 bis 8 cm Durchmesser verbindet, und Spitze und Platte in geeigneter, durch Ausprobieren zu ermittelndem Abstände einander gegenüberstellt. Dann sieht

¹⁾ Bei größeren Maschinen sind meistens die Endkugeln der verschiebbaren Konduktoren abnehmbar und die Stangen zugespitzt. Man setzt, nachdem man die Kugeln abgenommen hat, auf die eine Stange eine mit passender Höhe versehene Platte.

man im
der in Fi
seinen Li
Mit
geordnet
eine ande
berg im
tätig gei

sonst gut
und vorh
Ladung |
sie dann
War der
Figur au
roten Un
War
Flecke au

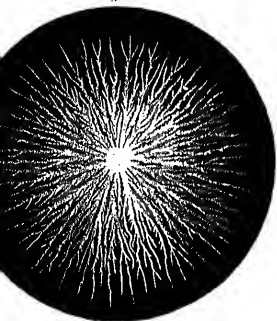
§ 71
Elektrisi
12 cm Du
ist isolier
motors vi

¹⁾ Li
dung: A.
46, 51, 61

alten Zimmer bei positiver Spitze ein Lichtbüschel von etwa
abgebildeten Gestalt, bei negativer Spitze dagegen nur einen
von etwa 1 mm Durchmesser.

Schiedenheit der Ausstrahlung aus positiv und aus negativ
und des dadurch erzeugten elektrischen Windes hängt auch
ähnliche Erscheinung zusammen, die von G. U. v. Lichten-
777 entdeckten Staubfiguren!). Man herühre eine sorg-
(vgl. § 66), dünne Scheibe aus Schellack, Hartgummi oder

Fig. 157.



ndem Material, die auf einer metallenen Unterlage liegt
a einer Flamme von jeder Spur einer etwa anhaftenden
orden ist, mit einem geladenen Konduktor und bestreut
In § 59 erwähnten Gemisch aus Schwefel und Mennige.
ositiv geladen, so entsteht auf der Scheibe eine gelbe
pulver in Form feiner, sich verästelter Strahlen auf einem
von Mennige (Fig. 157).

der Leiter negativ, so bilden sich nur kleine, runde
Mennige auf gelbem (Schwefel-) Untergrund.

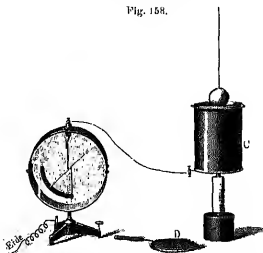
adyscher Zylinder; Messung und Messung der
50. Ein zylindrisches Blechgefäß C (Fig. 158) von etwa
und 25 cm Höhe (Konservengläschen von etwa 1 Liter Inhalt)
ist und durch einen Draht mit dem Knopfe eines Elektr.
dessen Mülle zur Erde abgeleitet ist.

er diese noch nicht in allen Einzelheiten aufgeklärte Erschein-
hofen, Wien. Ber. 53, 1866; E. Hettlinger, Wien. Ber. 41,
Lorold, Pogg. Ann. 140, 541, 1870 und 144, 317, 1871



Ein Leiter beliebiger Gestalt wird an einem langen Seidenfaden aufgehängt, so daß er in geladenem Zustande in das Gefäß eingesenkt werden kann. Als Leiter kann eine Kugel, eine Scheibe, ein Draht, ein Ring, im Notfall ein Schüsselchen dienen, nur darf seine Höhe nicht größer sein als etwa die halbe Höhe des Gefäßes. Der Faden muß so lang sein, daß, wenn der Leiter den Boden des Gefäßes berührt, die Hand des Experimentierenden sich noch etwa 25 cm über der Öffnung befindet. Man operiere ferner bei allen Ver-

Fig. 158.



suchen dieses und des folgenden Paragraphen möglichst mit ausgestrookten Armen, um Influenzwirkungen seitens des eigenen Körpers zu verhüten. Alle etwa störenden Leiter, Stativa u. dgl. sind zu entfernen.

Das Gefäß wollen wir als „Paradauschen Zylinder“ bezeichnen¹⁾.

Erster Versuch: Wir tauchen den geladenen Leiter in den Zylinder und bemerken einen Ausschlag des Elektrometers, der mit zunehmender Tiefe des Eintauchens zuerst wächst, schließlich aber konstant bleibt, wenn erst das obere Ende des Leiters einige Centimeter tief unter der Öffnung steht. Von da ab ändert sich auch dann nichts an dem Ausschlag, wenn wir den Leiter beliebig hin und her bewegen. Heben wir den Leiter wieder heraus, so verschwindet der Ausschlag wieder.

Der Ausschlag wird für jede beliebige Lage des Leiters vollkommen konstant, wenn wir den Zylinder nach dem Eintauchen des Leiters mit einem Doekel *D* versehen; der möglichst enge Schlitz im Doekel gestattet beliebiges Hin- und Herbewegen des eingetauchten Leiters; natürlich darf man den Doekel nur mittels des isolierenden Griffes anfassen, da man sonst den Zylinder beim Auflegen des Doekels entladen würde.

¹⁾ Auf die zylindrische Form kommt es nicht an; jeder beliebige Hohlkörper ist geeignet, wenn nur seine Öffnung klein gegen die übrige Oberfläche ist. Parada benutzte zu seinen Versuchen (Phil. Mag. 1848), die zum Teil mit den folgenden Versuchen übereinstimmen, einen Eisenkor; aus diesem Grunde wird der zweite der folgenden Versuche in der englischen Literatur vielfach als „Eisenkorversuch“ bezeichnet.

Zweit
oder nach d
reihen dann
sich dabei f
aus dem Zy
Wiederholu
in einem Ho
Leiter seine
Elektromete
zeigt, daß v
brauchen, i
Messung kt
sicher herab
Dritt

Leiters, ind
einführen u
Weder vor
abgleich sie
Fall, sieht i
der Elektro

Der V
Ladung ein
wieder herab
isolierten L
man folgt d
schlag als z
Ladung abg
mit dem zw
selben Betr
Ladungssteil

Wenn
beim Fint
diesem vo
trischen Z
namentlich
system kon
Das in der
menge“ al
berührender
also auch in
angegobene

Da vor
einem ande
unverändert
geschiedene
sein muß,
einstimmt.

²⁾ Bol
Ladungsvorl

Versuch: Wir beobachten den bei genügend tiefem Eintauchen in den Deckels entstehenden konstanten Ausschlag und berühren den Leiter die Innenwand des Zylinders; der Ausschlag ändert sich, und bleibt jetzt auch unverändert, wenn wir den Leiter wieder herausheben. Dieser Versuch ist im wesentlichen eine zweite Variante des § 61, durch den bewiesen wurde, daß ein Leiter, der in einen Parabolischen Zylinder an einem mit einem Elektrometer erzeugten, als Maß für den elektrischen Ausschlag betrachtet, so zeigen die obigen Versuche, daß wir eine Größe messen, die auf einem isolierten Leiter wirkt, auch wenn wir seine Größe und Lage beliebig ändern. In den Paragraphen eingeführte Bild der „Elektrischen Agone“, das sich wie eine Flüssigkeit über die Oberfläche ausbreitet, ohne seine Menge dabei zu verändern, bleibt in den Versuchen gegenüber gerechtfertigt, wenn wir das oben erwähnte Gesetz benutzen.

Versuch: Wir beobachten den bei genügend tiefem Eintauchen in den Deckels entstehenden konstanten Ausschlag und berühren den Leiter die Innenwand des Zylinders; der Ausschlag ändert sich, und bleibt jetzt auch unverändert, wenn wir den Leiter wieder herausheben. Dieser Versuch ist im wesentlichen eine zweite Variante des § 61, durch den bewiesen wurde, daß ein Leiter, der in einen Parabolischen Zylinder an einem mit einem Elektrometer erzeugten, als Maß für den elektrischen Ausschlag betrachtet, so zeigen die obigen Versuche, daß wir eine Größe messen, die auf einem isolierten Leiter wirkt, auch wenn wir seine Größe und Lage beliebig ändern. In den Paragraphen eingeführte Bild der „Elektrischen Agone“, das sich wie eine Flüssigkeit über die Oberfläche ausbreitet, ohne seine Menge dabei zu verändern, bleibt in den Versuchen gegenüber gerechtfertigt, wenn wir das oben erwähnte Gesetz benutzen.

Versuch: Wir beobachten den bei genügend tiefem Eintauchen in den Deckels entstehenden konstanten Ausschlag und berühren den Leiter die Innenwand des Zylinders; der Ausschlag ändert sich, und bleibt jetzt auch unverändert, wenn wir den Leiter wieder herausheben. Dieser Versuch ist im wesentlichen eine zweite Variante des § 61, durch den bewiesen wurde, daß ein Leiter, der in einen Parabolischen Zylinder an einem mit einem Elektrometer erzeugten, als Maß für den elektrischen Ausschlag betrachtet, so zeigen die obigen Versuche, daß wir eine Größe messen, die auf einem isolierten Leiter wirkt, auch wenn wir seine Größe und Lage beliebig ändern. In den Paragraphen eingeführte Bild der „Elektrischen Agone“, das sich wie eine Flüssigkeit über die Oberfläche ausbreitet, ohne seine Menge dabei zu verändern, bleibt in den Versuchen gegenüber gerechtfertigt, wenn wir das oben erwähnte Gesetz benutzen.

Versuch: Wir beobachten den bei genügend tiefem Eintauchen in den Deckels entstehenden konstanten Ausschlag und berühren den Leiter die Innenwand des Zylinders; der Ausschlag ändert sich, und bleibt jetzt auch unverändert, wenn wir den Leiter wieder herausheben. Dieser Versuch ist im wesentlichen eine zweite Variante des § 61, durch den bewiesen wurde, daß ein Leiter, der in einen Parabolischen Zylinder an einem mit einem Elektrometer erzeugten, als Maß für den elektrischen Ausschlag betrachtet, so zeigen die obigen Versuche, daß wir eine Größe messen, die auf einem isolierten Leiter wirkt, auch wenn wir seine Größe und Lage beliebig ändern. In den Paragraphen eingeführte Bild der „Elektrischen Agone“, das sich wie eine Flüssigkeit über die Oberfläche ausbreitet, ohne seine Menge dabei zu verändern, bleibt in den Versuchen gegenüber gerechtfertigt, wenn wir das oben erwähnte Gesetz benutzen.

Vierter Versuch: Den in § 59 gegebenen Satz, daß durch Reibung stets gleichviel $+E$ und $-E$ erzeugt werde, können wir jetzt noch genauer beweisen. Wir legen auf den Boden des Zylinders ein Stück Filz und fahren mit dem Ende eines Hartgummistabes einige Male darauf hin und her. Es entsteht nicht der geringste Ausschlag, selbst wenn wir an Stelle des in Fig. 168 abgebildeten Zeigerelektromotors ein empfindliches Aluminiumblett-elektromotor benutzen. Der Ausschlag bleibt auch Null, wenn wir den Hartgummistab ein wenig heben und im Zylinder hin und her bewegen; dagegen entsteht sofort ein beträchtlicher Ausschlag, wenn wir den Stab ganz herausziehen.

Wir richten nunmehr den Versuch so ein, daß der beim Herausziehen des Stabes entstehende Ausschlag bequem meßbar ist, und entfernen nach Ablösung des Elektromotors das Filzstück, wobei der Ausschlag natürlich wieder verschwindet; tauchen wir jetzt den Hartgummistab wieder ein, so entsteht derselbe Ausschlag wie zuvor. Wir können uns leicht überzeugen, daß der erste Ausschlag von $+E$, der zweite gleich große von $-E$ herrührt.

Auch dieser Versuch muß natürlich schnell ausgeführt werden, damit nicht Ladungsverluste infolge unvollkommener Isolation die Messungen falschen.

Fünfter Versuch: Wir führen in den Zylinder den in § 60 abgebildeten Seifenblasenapparat ein, nachdem wir der Seifenblase eine Ladung erteilt haben und setzen den Doekol auf¹⁾. Wenn wir nunmehr mittels des Gebläses die Seifenblase vergrößern oder verkleinern, so ändert sich an dem Stande des Elektromotors nichts. Benutzen wir zu diesem Versuch einen aus Drahtnetz hergestellten Zylinder, so sehen wir, daß die Blättchen am Seifenblasenapparat die Änderung der Ladungsdichte anzeigen. Es bleibt also auch hier bei einer Änderung der Oberfläche des geladenen Leiters die gesamte Elektrizitätsmenge vollkommen konstant.

Sechster Versuch: Wenn man eine Elektrisiermaschine vollständig in einen Drahtkäfig einschließt, der Isoliert und mit einem Elektromotor verbunden ist und die Maschine mittels einer aus dem Käfig herausragenden Isolierenden Achse in Umdrehung versetzt, so zeigt das Elektromotor nicht den geringsten Ausschlag an, auch wenn im Innern des Käfigs kräftige Funken überspringen; auch bei der Elektrisiermaschine findet oben nur eine Änderung in der räumlichen Verteilung der Elektrizität statt, während die Summe konstant bleibt, d. h. gleich Null, da sie ja anfangs gleich Null war.

Siebenter Versuch: Messung von Elektrizitätsmengen: Wenn wir nicht nur die Konstanz einer Elektrizitätsmenge oder des bloßen Bestehens eines Größenunterschiedes nachweisen, sondern verschiedene Mengen messend miteinander vergleichen wollen, so müssen wir eine Eichung aufstellen.

Zunächst weisen wir durch den Versuch nach, daß eine geladene Kugel, wenn wir sie mit einer anderen gleich großen, die ungeladen und isoliert ist, berühren, genau die Hälfte ihrer Ladung verliert; zu diesem Zwecke laden wir erst eine der Kugeln, tauchen sie in den Zylinder und messen den Ausschlag, dann berühren wir sie außerhalb des Zylinders mit der zweiten und tauchen darauf jede einzeln ein; wir finden, daß jede der beiden Kugeln denselben Ausschlag ergibt, der aber kleiner ist als der vorherige. Tanzen wir sie endlich beide gleichzeitig ein, oder entladen zuerst die eine, dann die andere

¹⁾ Der Schiltz muß weit genug sein, um das Röhrchen durchzulassen.

durch Berührung
ebenso groß

Wir
oder Teil
des kleinen
die Elektr.
folgender
messer un-
Berührung
entspreche
Kugel die
darauf wir
E-Menge
Kugel ber-
die Ladung
tauchen da
die Wirkung
hinzukom-
lich zieher
dann die
schlag ent-
erhalten, c

Trag-
Ladungen
die Punkt
für solche
Ladungen
muß nicht
nicht mehr
genügende
durch sich
berührend
Eine
folgendort

In ei-
Zylinder
Metallkör-
unterschied
nicht eine
uns, daß
Wir über-
einer klein
keinen in

1) In
einen Ohm
etwa 1/100
ander den
jenes zwei
Faraday
aber dann

mit der Längswand des Zylinders, so erhalten wir einen Ausschlag wie anfangs von der allein geladenen ersten Kugel. Im allgemeinen finden, daß der größte Ausschlag in Grad der Skala des Elektrometers bedeutend mehr als das Doppelte beträgt, daß also die Ausschläge viel rascher wachsen als umgekehrt. Eine Teilung in vier gleiche Mengen können wir erhalten: Wir nehmen zwei Kugeln von gleichem Paradienwert und tauchen eine davon dornit, daß der beim Eintauchen entstehende Ausschlag etwa bis an das Ende der Skala geht. Die Menge bezeichnen wir mit 4. Dann berühren wir mit der Kugel (weit außerhalb des Zylinders!) und tauchen sie ein und zwar bis zur Berührung; der Ausschlag entspricht der durch die Berührung mit dem Zylinder völlig entstandenen noch dem Herausziehen wieder mit der zweiten, die nicht berührt, wodurch beide Kugeln die Ladung 1 erhalten und die erste Kugel wieder ohne Berührung des Zylinders ein, wodurch Ladung 1 zur bereits bestehenden Ladung 2 des Zylinders entstehende Ausschlag entspricht also der Ladung 3. Endlich Kugel wieder heraus, entladen den Zylinder und tauchen sie mit der Ladung 1 behaftete Kugel wieder ein; der Ausschlag der Ladung 1. Damit haben wir vier Punkte der Skala Ladungen entsprechen, die sich wie 4 : 2 : 3 : 1 verhalten.

Dann in einem rechtwinkligen Koordinatensystem die Ladungen, die Ausschläge als Ordinaten auf und verbinden eine stetige Kurve, so können wir aus dieser Kurve ablesen, die zwischen den Meßpunkten liegen, die angelegten Ladungen (siehe weiter unten Fig. 159). Bei der Ladungsteilung wird schnell verfahren werden, so daß Isolationsverluste von. Man achte ferner darauf, daß die Ladungsteilung in der Nähe von anderen Leitern vorgenommen wird, da sonst Störwirkungen die Gleichheit der Ladungen auf den sich nicht gestört werden kann.

Erhaltung mit beliebig eng liegenden Punkten erhalten wir

Erhaltung von dem zum Elektrometer und Faradayschen Kugel zu ziehenden System stellen wir einen möglichst großen (einen Metallkugel) auf eine Paraffinplatte oder einige Isolatoren und verbinden ihn mit einem zweiten, möglichen Elektrometer. Wir laden das System und überzeugen uns in einiger Minuten kein merklicher Ladungsverlust tritt. Es sei ferner davon, daß etwa 10- bis 15malige Fortnahme mittels einer Probekugel von 4 bis 5 cm Fläche nach Verlust hervorrufen!). Dann können wir die bei jedem

Leiter etwa 5 cm Durchmesser mit 50 cm Höhe, z. B. beträgt 5000 cm². Ein Probekörper von 5 cm² nimmt also nur 10malige Berührung entfernt erst 1 Proz. der Ladung. Falls kein zweites Elektrometer verfügbar ist, kann man auch die Isolation benutzen und erst nachher mit dem Zylinder verbinden. Nach Ausführung der Eichung muß man sich überzeugen, daß der Isolationszustand sich nicht geändert hat

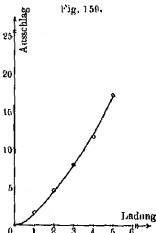
mäßiger Berührung mit der Probenscheibe fortzusetzen, bis ein konstant ansehendes Aussehen. Wir laden den Körner möglichst hoch, warten etwa eine Minute, damit etwaige Spitzenausströmungen aus den Rändern aufhören und beginnen dann die Versuche, indem wir mittels des Scheibchens successive gleiche Ladungen in den Faradayschen Zylinder übertragen. Da bei jedemmaligen Eintauchen des Scheibchens in den Zylinder dieselbe Ladung übertragen wird, so entsprechen die nacheinander abgelesenen Ausschläge den relativen Ladungen 1, 2, 3, 4 usw. Durch graphische Auftragung erhält man wieder die Zwischenpunkte. Die geeignete Ladungshöhe des als Reservoir dienenden Leiters ermittelt man leicht durch Ausprobieren. Es genügt, wenn bei fünf- bis zehnmaliger Ladungszufuhr zum Faraday-Zylinder das Elektrometer bis an das Ende seines Maßbereiches gelangt ist. Sollte die Ladung des als Reservoir dienenden Körpers sich nicht genügend hoch herstellen lassen, so vergrößere man die Probenscheibe entsprechend oder aber man führe zwischen je zwei Ableesungen mehrere Ladungen der Probenscheibe in den Zylinder.

Die folgende Tabelle nebst Kurve (Fig. 150) zeigt das Resultat einer an einem Elektroskop nach Elster und Geitel (Fig. 112) ausgeführten Eichung mit fünf Eichpunkten.

Ladung	1	2	3	4	5
Ausschlag	1,5	4,0	7,0	11,0	17,5

Wegen der unvermeidlichen Verluste des Reservoirleiters ist die Genauigkeit der Eichung natürlich nur gering; die angewandte Methode wählte nur die prinzipielle Möglichkeit der Durchführung mittels der bereits besprochenen Hilfsmittel darzu. Genauer ist die Benützung irgend einer Elektrizitätsquelle konstanter Spannung, wie z. B. der elektrischen Lichtleitung.

Fig. 150.



Man verbinde mit einem Pol der Lichtleitung (bei Drehlichtanlagen mit einem der Außenleiter) einen etwa 30 cm langen, gerade ausgespannten Draht, Ende ohne ein langes Seidenfaden hängende Kugel von etwa 1 cm Durchmesser (oder sonst einen beliebigen Leiter von entsprechenden Dimensionen) durch Berührung mit dem Drahtende und tauche sie dann in den Faraday-Zylinder. Da, wie man sich leicht durch einen besonderen Versuch überzeugen kann, ein dunnflüssiges oder ein gleichförmiges Eintauchen der geladenen Kugel stets dieselbe Wirkung ergibt, so folgt daraus, daß die Kugel bei Berührung mit der Leitung jedesmal dieselbe Ladung erhält und deshalb ebenso wie oben die Probenscheibe zur Eichung des Elektrometers benutzt werden kann.

An Stelle der Kugel benutzt F. Hermann¹⁾ zur Ladungserhaltung am einen geladenen Gefäß abfallende Wassertropfen.

Achter Versuch: Wir tauchen einen mit $+$ F. geladenen Leiter in den Zylinder, ohne ihn zu berühren und lesen den Ausschlag des Elektrometers ab. Dann berühren wir den Zylinder einen Augenblick ableitend mit dem Finger, so daß der Ausschlag verschwindet. Der Ausschlag bleibt Null, auch wenn wir den geladenen Leiter beliebig im Innern des Zylinders be-

¹⁾ Ann. d. Phys. (4) 10, 819, 1903.

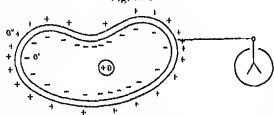
Doekel aufgesetzt, so dürfen wir allerdings nicht zu hoch an-
herangehen). Wenn wir nunmehr den Leiter herausziehen, so
Ausschlag, der genau so groß ist wie der anfangs gemessene.
Verschiebung ergibt, daß der anfängliche Ausschlag von $\frac{1}{2} E$, der
von $-E$ herrührt.

oderholen jetzt den Versuch, ziehen aber zum Schluß den Leiter
nachdem wir den vorher abgeleiteten Zylinder mit ihm berührt
Ausschlag bleibt jetzt auch nach dem Herausziehen des Leiters
jetzt also, wovon man sich noch durch beliebige Kontrollversuche
kann, sowohl der Zylinder wie der bewegliche Leiter vollkommen
das Resultat bleibt auch dann noch dasselbe, wenn wir den
mit dem Innern des vorher abgeleiteten Zylinders berühren,
erst herausziehen, wobei ein Ausschlag entsteht, und dann von
abziehen, wobei der Ausschlag vollkommen verschwindet. (Wieder-
ung dieses Versuches s. § 72.)

Faradaysches Inducenzgesetz. Für geschlossenen Leiter
der Elektrizitätsleitung. Aus den Versuchen des vorigen Para-
graphen, die zeigen, folgt, daß wir es mit einem Inducenzvorgang
zu thun haben, derart, daß zunächst der eingetauchte Leiter auf der Innen-
seite der umgebenden Hülle (d. h. des „Faraday-Zylinders“) ent-
gegengesetzte Ladungen induziert (Fig. 180). Es werde angenommen, daß

vollständig ge-
teilt sei; die Gestalt
ist gänzlich gleich-
artig an einem ge-
schlossenen Leiter abge-
schlagen entsprechen-
de der Ladung $+e$ des ein-
geleiters; als Ein-

Fig. 180.



bei willkürlich oben diejenige Menge angenommen, die an dem
einen Ausschlag von einem Skalenteil erzeugt. Wir fragen
nach dem Betrag e' der an der Innenseite der Hülle befindlichen Inducenz-
ladung, und nach dem Betrag e'' der an der Außenseite her-
vorgehender Art.

Nach dem achten Versuch des § 71 die Ladungen e und e' , die nach
von e'' durch Berührung der Hülle allein übrig bleiben, imstande
völlständig zu neutralisieren, so folgt zunächst, daß:

$$e' = -e \quad (1)$$

muß, wenn man den beweglichen Leiter bis zur Berührung ein-
leitet (Versuch), so daß er seine Ladung e vollständig an die Hülle
infolge vollständiger Neutralisation von e und e' entläßt; der dann
e Ausschlag des Elektrometers rührt also von e'' allein her.

Endlich (achter Versuch) ein dem von e'' allein hervorgehender Aus-
schlag entsteht, wenn nach Ableitung von e' und Herausziehen
Inducenzladung e' allein übrig bleibt und sich ihrer eigenen Ab-
leitung auf der Außenseite vertreibt (§ 64), so folgt, daß:

$$e'' = -e' \text{ oder nach Gleichung (1): } e'' = e \quad (2)$$

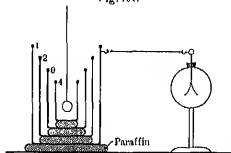
Das ist in den Gleichungen (1) und (2) enthalten. Faradaysche Influenzgesetz lautet also in Worten:

A. Wird eine Elektrizitätsmenge e in eine geschlossene leitende Hülle eingetaucht, so induziert sie eine gleiche Menge $e' = e$ auf der Außenseite und eine entgegengesetzte gleiche $e' = -e$ auf der Innenseite der Hülle.

Aus der Unabhängigkeit des Elektromotorauschlags von der Lage und Verteilung von e im Innern der Hülle folgt ferner, daß die örtliche Verteilung von e' auf der Außenseite nur von der Menge e und von der Gestalt der Hülle abhängig ist. Während also bei Bewegung des eingetauchten Leiters oder Veränderung seiner Gestalt auch die relative Verteilung von e' sich ändert — wovon man sich durch Versuche mit an der Innenseite angelegten Probekugeln leicht überzeugen kann —, ist die Verteilung von e' hiervon gänzlich unabhängig und ist dieselbe, als wenn e' und e gar nicht vorhanden wären (vgl. Versuch 2, bei dem sich e' und e neutralisieren, ohne daß der Ausschlag sich ändert) und e' etwa durch Mitteilung von außen auf die Hülle gebracht wäre. Man kann also schließen, daß die Influenzladung erster Art e' , die auf der Innenseite einer geschlossenen Hülle durch eine Ladung e induziert wird, sich stets so verteilt, daß e' und e zusammen sich in ihrer Wirkung nach außen hin vollständig aufheben (vgl. § 66).

Faraday hat die Versuche noch dadurch erweitert, daß er mehrere Zylinder 1, 2, 3, 4 (Fig. 161) durch Schellackplatten voneinander isoliert

Fig. 161.



einanderstellte; mittels Seidenfäden konnten die inneren Zylinder nach Belieben herausgehoben werden. Der Ausschlag des Elektrometers war derselbe, wenn die vier Zylinder ineinanderstanden, wie wenn nur der Äußerste vorhanden war. Er änderte sich nicht, wenn die Kugel mit dem Zylinder 4 in Berührung gebracht und dann herausgezogen wurde. Er blieb

ferner auch konstant, wenn nacheinander mittels eines isolierten Drahtstrichens 4 mit 3, 3 mit 2, 2 mit 1 in Verbindung gesetzt wurde; endlich konnten zum Schluß, ohne den Ausschlag zu ändern, die Zylinder 4, 3 und 2 herausgenommen werden. Zur Erklärung dieser Versuche beachte man, daß, wenn e die eingetauchte Ladung, auf der Innenseite jedes Zylinders $-e$ und auf jeder Außenseite $+e$ induziert wird.

Endlich zeigte Faraday noch, daß der Ausschlag nicht geändert wurde, wenn man zwischen Kugel und Zylinder ein beliebig geförntes Gefäß aus Schellack, Schwefel oder sonst einem beliebigen Isitenden oder nichtleitenden Körper setzte. (Über die Bedeutung dieses Versuches s. § 96.)

Wir werden später sehen, daß die relative Verteilung auf der Oberfläche der Kugel und der Innenseite des Zylinders durch Einschieben irgend welcher Leiter oder Nichtleiter stets geändert wird. Wir finden also auch diesen Einflüssen gegenüber, daß die von uns gewählte Bezeichnung „Elektrizitäts-

mittels des Paradayschen Zylinders meßbare Wirkung sich eignet erweist. Die so definierte „Elektrizitätsmenge“ auf einem Nichtleiter umgebenen Körper heißt ihrem Betrage nach richtig und kann nur ihre Lage verändern. Den Betrag der Körper beeinflussten Elektrizitätsmenge können wir also nur so verändern:

Leitung: Wenn wir nämlich den geladenen Körper mit einem Leiter, der entweder ungeladen oder mit beliebig anderer Ladung ist, so verbindet sich im allgemeinen die Ladung jedes der beiden mit dem Leiter. Wenn wir jedoch diesen Leiter im Innern eines Paradayschen Zylinders einführen, so finden wir, daß dabei der Ausschlag des mit verbundenen Elektrometers sich gar nicht ändert, daß somit die Ladung beider Leiter dieselbe geblieben ist. Ist der eine Leiter mit $+E$, der andere mit $-E$ geladen, so kann diese Ladung die Werte Null oder negative Werte haben.

Elektromotorische Vorgänge: Unter „elektromotorischen Vorgängen“ alle diejenigen, ihrem inneren Mechanismus nach vielfach zu verschiedenen Vorgängen bezeichnet worden, durch die ohne elektrische Ladung eine räumliche Trennung von $+E$ und $-E$ auftritt, anfangs elektrisch neutralen Körpern hervorgerufen, daß nach Trennung der Körper der eine $+$, der andere $-$ wird. Bisher haben wir von derartigen Vorgängen nur die, bei denen verschiedene Arten von Körpern kommen, zum Beispiel in späteren Kapiteln zur Sprache kommen.

Bei allen diesen Vorgängen spielt natürlich auch die Leitung eine Rolle; denn der anfänglich gleichmäßig verteilten Elektrizität kann sich eine neue Verteilung einstellen.

Auch hier die Gesamtsumme stets konstant, nämlich, wenn die Körper herabgelassen werden, gleich Null bleibt,

die gesamte Elektrizitätsmenge auf einem beliebigen Leiter und Nichtleiter kann nur verändert werden, die Verteilung von außen stattfindet. Innerhalb des Systems kann nur eine Veränderung der relativen Verteilung

der Elektrizitätsmenge ist dabei zunächst noch immer nichts anderes, als die Bewegung der Elektrizität im Paradayschen Zylinder und Elektrometer gemeinsame Ursache zu betrachten. Die Richtigkeit der letzten Definition beruht auf der experimentellen Beobachtung, daß die letzten Lehren auf dem Versuch des § 71.

den Satz A. noch in eine besonders wichtige mathematische

in später (Kapitel „Elektrische Leitung in Gasen“) noch eine der Ladungsänderung kennen lernen, nämlich die Bewegung der Elektrizität durch den freien Raum, bei der ein völlig isolierter Leiter doch Ladung ändern kann. Einzelheiten muß von diesem, nur auf vorläufiger Beobachtung verständlichen Vorgängen jedoch ab-

Wir denken uns das Isolirsystem, theils aus leitenden, theils aus nichtleitenden Körpern bestehende System von einer rings geschlossenen Hülle umgeben, die nur Erde abgeleitet ist. Die gesamten auf dem isolirten System befindlichen Ladungen Σe_i mögen zum Theil durch Zuleitung von außen her in das Innere transportirt, zum Theil durch irgend welche elektromotorischen Vorgänge oder durch Betätigung von zum System gehörigen Influenzapparaten auf die Theile des Systems verteilt worden sein. Dann ist dadurch nach Gleichung (1) gleichzeitig eine Ladung $\Sigma e'_i = -\Sigma e_i$ auf der Innenwand der Hülle influenzt worden. Wir können also schreiben:

$$\Sigma e = \Sigma e_i + \Sigma e'_i = 0 \quad \dots \dots \dots (3)$$

In Worten:

C. Die gesamte Elektrizitätsmenge Σe , die sich auf einem isolirten System und der Innenwand der es umschließenden Hülle befindet, ist gleich Null.

Die Sätze A., B. und C., sowie die Gleichungen 1, 2 und 3 dieses Paragraphen sind weiter nichts als präzise Ausdrücke unbedingter sicherer Erfahrungsthatigkeiten; wir können, wenn wir wollen, zur „Erklärung“ des Satzes B. eine der in § 60 aufgezählten Hypothesen über das Wesen der Elektrizität als eines an Menge unveränderlichen, in den Leitern frei beweglichen Agens als die später zu besprechende Faraday-Maxwell'sche Anschauung einführen. Dadurch erhalten unsere Vorstellungen eine gewisse plastische Greifbarkeit. Im übrigen gilt aber auch hier das in § 13 Gesagte über die Bedeutung derartiger Hilfsvorstellungen.

Die Sätze A. und C. und die mit ihnen inhaltlich identischen Gleichungen 1, 2 und 3 hängen mit dem „Wirkungsgesetz“ für das an Stelle der nochbaren „Ladungen“ gedachte hypothetische „Agens“ zusammen, das in § 84 abgeleitet werden soll.

§ 73. Gleichgewicht auf Leitersystemen; Kapazität. Wenn man zwei beliebig geladene isolirte Leiter miteinander in Berührung bringt oder sie durch einen Draht miteinander verbindet, so findet im allgemeinen so lange ein Überströmen von Elektrizität von einem zum anderen statt, bis sich ein Gleichgewichtszustand zwischen beiden hergestellt hat; es soll versucht werden, für diesen Gleichgewichtszustand Gesetzmäßigkeiten aufzufinden¹⁾.

Wir wollen zu unseren Versuchen zwei Leiter von möglichst verschiedener Gestalt, etwa den in § 69, Fig. 132 abgebildeten Kolbenösen Kugellektroden A, und eine Kugel B benutzen (Fig. 162). A sei mit einem Elektromotor C verbunden.

Ferner gebrauchen wir als Hilfsapparate einen Faradayschen Zylinder D mit Elektromotor E und einige Drahtstücker FF' von etwa 5, 10 und 20 cm Länge und nicht mehr als etwa 0,5 mm Durchmesser, die mit isolierender Handhabe versehen sind. Man entferne alle störenden Körper aus der Umgebung des Apparates und stelle D und E möglichst weit entfernt von A und B auf (in der Figur ist die Anordnung der Räumersparnis wegen zu gedrängt gezeichnet).

¹⁾ Die Versuche und Resultate dieses und des folgenden Paragraphen finden sich bereits so gut wie vollständig in den „Elektrischen Untersuchungen“ von Cavendish aus den Jahren 1771 bis 1773. Da dieser seltsame Forscher jedoch die meisten seiner Resultate unveröffentlicht ließ, so sind sie zum Theil erst von Anderen später noch aufgefunden worden. Erst im Jahre 1870 hat Cl. Maxwell die Werke von Cavendish im Zusammenhang veröffentlicht.

ist möglich ist, bei der Ladung, etwa mittels Elektrophorese, immer in Bewegung zu treffen, so lädt man zuerst etwas zu hoch und nimmt ab fort, indem man den Leiter mit einem dünnen Papiertreifen einstab berührt, durch den die Ladung ganz langsam abfließt.

und B gänzlich unabhängig ist. Es wird also stets dieselbe Ladung auf B erhalten, ganz gleich, ob wir den Verbindungsdraht an die Spitze von A legen, oder ob wir ihn in den Grund der Höhlung einführen (Fig. 143a und b);

Fig. 143.



zweitens ist die Ladung dieselbe, wenn die Kugel B sich auf der hohlen und wenn sie sich auf der spitzen Seite von A befindet.

Zur Erklärung der obigen drei Versuche diene folgende Tabelle:

(Leiter A : 10 cm lang, 5 cm Durchmesser; B : 4,5 cm Durchmesser.)

Versuch Nr.	Entfernung	n_1	n_2
1	0 cm	9	2
	5 "	13	7
2	10 "	13,5	8
3	20 "	13	13

Man vergleiche hiernit das in § 66 erhaltene Resultat über die Dichte der Ladung auf dem Kugalkonduktor, die sich an der Spitze am größten, in der Höhlung fast gleich Null ergab.

Während also die Gleichgewichtsverteilung auf einem einzelnen Leiter oder auf sich direkt berührenden oder nahe beisammen befindlichen Leitern in komplizierter Weise von Gestalt und gegenseitiger Lage abhängt, werden die Verhältnisse bei großer Entfernung sehr einfach und lassen sich durch folgenden Satz ausdrücken:

A. Werden zwei isolierte Leiter, deren Entfernung groß gegen ihre eigenen Abmessungen ist, durch einen dünnen Draht miteinander verbunden, so ist die Verteilung der Ladungen zwischen ihnen unabhängig von ihrer gegenseitigen Stellung und von der Wahl der Berührungspunkte des Verbindungsdrahtes.

Das Verhältnis der beiden Ladungen ist durch Größe und Gestalt der beiden Leiter vollständig bestimmt.

Vierter Versuch: Wir stellen drei Leiter von verschiedener Größe und Gestalt, etwa eine Kugel A , eine Scheibe B und den Kugalkonduktor C in möglichst großer Entfernung voneinander isoliert auf; B und C verbinden wir mit je einem Kolben des Elektroskops, am einfachsten, indem wir die Leiter auf die Stiele der Elektroskope aufsetzen.

Wir verbinden durch zwei mit isolierter Handhabe versehene dünne Drähte A mit B und mit C) und laden das Ganze. Der Ausschlag der Elektroskope bleibt un geändert, wenn wir eine der Verbindungen AB oder

¹⁾ Zur bequemeren Herstellung der Verbindungen dienen kleine, an passender Stelle in die Leiter eingebohrte Löcher, in die man die hakenförmig gebogenen Drahtenden einhängt.

eben. Er bleibt auch noch ungeändert, wenn wir beide Verbindungen und nunmehr B direkt mit C verbinden.

Diesem Versuch folgt:

Sind zwei Leiter mit einem dritten im Gleichgewicht, so auch untereinander im Gleichgewicht.

B. läßt sich ohne weiteres auf beliebig viele Leiter erweitern, so Anzahl von Leitern B, C, D, \dots , die alle mit einem Leiter A im Gleichgewicht sind, es auch alle untereinander sind.

Wir nun einen bestimmten isolierten Leiter A als Normalkörper nehmen und für jeden anderen Leiter durch nachheriges Eintauchen in einen Zylinder ermitteln, wievielmals größer bei seiner Verbindung mit einem dünnen Draht seine Ladung ist als die Ladung von A , dann wir eine Zahl für jeden Leiter, die wir als seine „Kapazität“ bezeichnen wollen.

Es folgt aus Satz B., daß die Elektrizitätsmengen, die wir zwei Leitern mitteilen müssen, damit sie im Gleichgewicht sind, d. h. damit sie bei Vorhandensein eines Leiters durch einen dünnen Draht an ihren Ladungen nichts ändern, verhalten müssen, wie ihre Kapazitäten.

Um bestimmte Werte für die Kapazität eines Leiters zu erhalten, muß man eine Festsetzung über die Größe und Gestalt des Normalkörpers A machen. Wir wollen die Festsetzung so treffen, daß wir bei den folgenden späteren Paragraphen zu möglichst einfachen Ausdrücken kommen. Zu diesem Zweck wählen wir als Normalkörper eine Kugel von einem Radius r und erhalten somit folgende Definition der Kapazität:

Die Kapazität eines Leiters ist das Verhältnis der Ladung, die sich auf dem Leiter einerseits, auf einer mit ihm im Gleichgewicht befindlichen Kugel von 1 cm Radius andererseits befinden.

Bei dieser Definition ist vorausgesetzt, daß die beiden Leiter beliebig weit voneinander entfernt sind und von allen anderen Leitern isoliert sind, und daß die Verbindung durch einen möglichst dünnen Draht erfolgt. Es ist ferner vorausgesetzt, daß das Verhältnis, in dem sich die Ladungen zwischen zwei miteinander verbundenen Leitern teilen, unabhängig von der absoluten Größe der Ladung ist. Diese Voraussetzung ist nur durch genaue Messungen geprüft worden, die ausnahmslos bestätigt haben. Es bleibt ganz allgemein auf jedem beliebigen Leiter das Gleichgewicht ungestört, wenn man alle Ladungen in gleichem Maße vergrößert oder verkleinert.

Es sieht man die Kapazität verschiedener Leiter miteinander, so findet man allgemein mit zunehmender Größe die Kapazität wächst, daß aber außer von der Größe (Volum oder Oberfläche) auch noch von der Form (d. h. in recht komplizierter Weise) abhängt.

Für geometrisch ähnliche Körper, die sich in großer Entfernung voneinander befinden, findet man ein äußerst einfaches Gesetz:

Die Kapazitäten geometrisch ähnlicher Körper verhalten sich wie die entsprechenden Längen.

Bezeichnen sich die Kapazitäten K_1 und K_2 zweier Kugeln wie ihre Radien r_1 und r_2 . Also:

$$K_1/K_2 = r_1/r_2 \quad \dots \quad (1)$$

Da wir nun die Kapazität einer Kugel vom Radius 1 gleich 1 gesetzt haben, also $K_2 = 1$, wenn $r_2 = 1$, so wird einfach

$$K = r \quad (2)$$

oder in Worten:

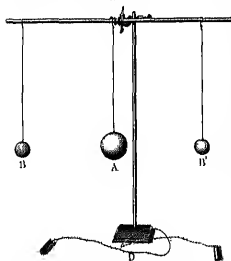
E. Die Kapazität einer Kugel ist numerisch gleich ihrem Radius in Centimetern.

Ebenso würden sich die Kapazitäten zweier Würfel verhalten wie die Kantenlängen, die Kapazitäten zweier geometrisch ähnlicher Ellipsoide wie zwei ähnlich gelegene Durchmesser usw. Wir können deshalb die Kapazität irgend eines Körpers direkt in Centimetern als Einheit angabem; gemeint ist damit natürlich der Radius in Centimetern einer Kugel von gleicher Kapazität wie der betreffende Körper. Diese Beziehungsweise ist schon von Cavendish angewandt, der eine Kugel von 1 Zoll Durchmesser zur Einheit nahm.

Zum experimentellen Nachweis des Satzes D, für zwei Kugeln können wir folgende Anordnung benutzen:

Fünfter Versuch: Wir nehmen drei Kugeln A, B und B', von denen B und B' gleiche und halb so große Durchmesser haben als A. Sei etwa

Fig. 104.



der Durchmesser von A gleich 8 cm, der von B und B' gleich 4 cm. Die Kugeln hängen wir mittels langer Seidenfäden, an deren oberen Enden sich kleine Drahtketten befinden, in etwa 80 cm Abstand an einem horizontalen Stabe (Fig. 104) auf. In mindestens 50 cm Entfernung befindet sich ein Faraday-Zylinder nebst Elektromotor. Wir erteilen A eine Ladung, und verbinden dann A gleichzeitig mit B und B' durch einen dicken mit isolierten Griffen versehenen Draht D. Dann haben jedenfalls B und B' aus Symmetriegründen gleich große Ladung. Wenn wir nun zuerst B und B' zusammen, und nach vorheriger Entladung des

Zylinders dann A in diesen eintauchen, so erhalten wir in beiden Fällen denselben Ausschlag. Die Ladungen von B und B' zusammen sind also ebenso groß wie diejenige von A, oder die von B oder B' allein halb so groß wie die von A, d. h. die Ladungen verhalten sich wie die Radien.

Bei sehr genauer Ausführung dieses Versuches muß man auf die nicht ganz zu vernachlässigenden Verluste während der Messung Rücksicht nehmen. Man kann dies dadurch tun, daß man zuerst A mißt, es aber bei der Messung nicht am Zylinder entladet, sondern ohne Berührung des Zylinders wieder herauszieht, dann B und B' eintaucht, und zum Schluss noch einmal A. Macht man die Zeitdifferenzen zwischen den drei natürlich rasch hintereinander auszuführenden Messungen möglichst gleich, so kann man den Ausschlag bei der zweiten Messung mit dem Mittelwert der ersten und dritten

§ 74.
verg
man
Radi
Wir i
Verbind
Ladung be
in den Fa
Ladung un
Einfluß, d
kann, vers
Dabei
„Abtrot
kugelförm
diejenige
also etwa
Draht mit
und der E
von der E
so würden
Ladung d
Rest, also

oder

Da m
daß die B
Ladung e
praktisch
noch, wen
von selbst
Wirklichk
ist, ändert
der mit d

§ 74.
teilung,
verbunden
Resultat
das durch
unabhängi
draht anle
Die f
wirkung u
seits die I
können w
Leitor un
der Ladun
denn ist.
selbst ab

Verbindungsdrahtes ab, sondern auch § 73, Satz A nur von Größe und Gestalt des Elektrometers selbst und des mit ihm verbundenen Leiters.

Wir befestigen zur experimentellen Prüfung das eine Ende eines dünnen Drahtes am Elektroskop¹⁾, während wir das andere mittels eines möglichst langen isolierenden Handgriffes an dem geladenen Leiter entlang führen. Dann zeigt sich völlige Konstanz des Elektroskopauschlages auch bei einem beliebig unregelmäßig gestalteten Leiter, wie etwa dem Kallieschen Kegelkonduktor.

Von die Blättchen des Elektroskops rings von einer zur Erde abgeleiteten Hülle umgeben sind, so tritt die im § 66 besprochene „Schirmwirkung“ ein, und eine Einwirkung anderer, als der im Inneren des Elektroskops vorhandenen Ladungen auf die Blättchenstellung ist ausgeschlossen. Gleichwohl kann sich der Ausschlag bei gegenseitiger Verschiebung des Leiters und des Elektroskops ändern, wenn die Entfernung leider zu gering ist; dann zwischen dem Gehäuse und dem Leiter findet eine Influenzwirkung statt.

Wenn wir nun hintereinander mehrere Leiter mit denselben genügend weit entfernten Elektroskop verbinden und stets bis zur Erreichung desselben Ausschlages laden, so müssen nach Satz B. des vorigen Paragraphen die Leiter untereinander im Gleichgewicht sein. Das in der angegebenen Weise verbundene Elektroskop gibt uns also ein bequemeres Mittel zur Entscheidung, ob zwei Leiter miteinander im Gleichgewicht sind oder nicht.

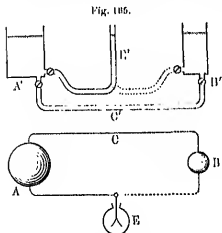


Fig. 165.

„Niveau“ oder seine „Spannung“ bezeichnen²⁾. Die erste Bezeichnung ist in leicht erkennlicher Weise der Statik der Flüssigkeiten entnommen. In der Tat, vorgeladen wir die beiden Leiter A und B mit zwei tiefen A' und B', des Verbindungsstrahls O mit einer die beiden Gefäße verbindenden dünnen Röhre C' (Fig. 165), das entweder mit A oder mit B verbundene Elektrometer E mit

¹⁾ Es empfiehlt sich, die folgenden Versuche mit einem empfindlichen Abwinkelmeter auszuführen, da bei Anwendung eines weniger empfindlichen Instrumentes möglicherweise ein genügender Anschlag erst entsteht, wenn aus dem sehr dünnen Verbindungsdraht bereits eine Ausströmung in die Luft, ähnlich wie aus einer Spitze, erfolgt.

²⁾ Wir werden später, nach Entwicklung des Begriffe des „elektrischen Potentials“ sehen, daß dieses mit dem hier rein erfahrungsmäßig gefundenen „Niveau“ gleichbedeutend ist. Die Bezeichnung „Spannung“ ist namentlich in der Technik gebräuchlich. Oavendish (u. a. d.) gebraucht die Bezeichnung „Elektrierungsgrad“.

einem Niveau dem einen Gelassen r einen ins fließt bei Niveau ist

Wir nachdehnen bei gleiche dem Vorh Gleichgew Fließigkeit sich ann x spezifis sprechen.

Kino zeigt, daß ganz vor

Entw mittels de Niveau aus aus vorab einander j

Ist d jenigen, d se besitzt

Anoh Erkennen:

Elektris Elektris Kapazit Messen Messen Verbin Lage der grei

Allo die Abhät die elektr statischen

Bei achten:

Von mit einem Niveau, messen al sondern d und das e

Ein Rohr B' , das wir durch einen Schlauch nach Stellen mit anderen Gefäß verbinden können, so ist das Wasser in beiden nun im Gleichgewicht, und es findet kein Überströmen von B statt, wenn das Niveau in beiden gleich hoch steht. Dagegen überströmt bei Niveauhöhen das Wasser vom höheren zum tieferen

Im Vergleich auch noch weiter auf das Kapazitäts-verhältnis wie leicht zu sehen, dem Volumenverhältnis der in beiden Gefäßen enthaltenen Flüssigkeiten, bei zylindrischen Gefäßen also der Querschnitte, entspricht. Den beiden miteinander in Verbindung gesetzten elektrischen Ladungen entsprechen dann die beiden Niveaus. Auch die Gesetze des Wärme-Gleichgewichts lassen sich heranziehen, wobei sich Temperatur und Niveau, Masse Wärme und Kapazität, Elektrizitäts- und Wärmemenge ent-

sprechung der Resultate dieses Paragraphen mit denen des § 71 die elektrischen Zustände zweier Leiter durch zwei andere Messungen vergleichen können:

Wir messen die auf den Leitern befindlichen Ladungen mit Paraday-Zylindern, oder aber wir vergleichen ihre elektrischen Kräfte auf andere Weise. Beide Messungen gehen durch die Ergebnisse, wenn nicht gerade die Kapazitäten beider Leiter sind.

Wenn die Niveaus gleich, so ist das Niveau höher auf dem kleineren Kapazität hat; ist dagegen das Niveau beider gleich, so ist der Leiter von größerer Kapazität auch die größere Ladung.

Man kann den Vergleich mit den zylindrischen Wassergefäßen zur Hilfe nehmen, wenn man folgendes Analogieschema festhält:

Menge (Ladung)	Wassermenge
Niveau	Wasserniveau
	Querschnitt
Paraday-Zylinder	Messung mit Maßmaß oder Waage
Elektrometer	Messung mit Wasserstandröhre
Verbindung	Verbindungsrohr
Abstand der Leiter (bei	Horizontale Verschiebung der Gefäße.
Abstand).	

Wie aus dem vorigen Paragraphen, mit Ausnahme des Satzes D. aber mit der Kapazität von der Größe bleiben bestehen, wenn man die Größen nach obigem Schema durch die entsprechenden hydraulischen ersetzt.

Die Messung des Niveaus eines Leiters ist nach folgendem zu beschreiben:

Man verbindet einen geladenen Leiter, dessen Niveau wir bestimmen wollen, mit einem ungeladenen Elektrometer, zu dem ein Teil seiner Ladung auf das Elektrometer überfließt; wir beobachten das Elektrometer nicht das ursprüngliche Niveau des Leiters, sondern das, das er nach der Verbindung mit dem Elektrometer erhält, welches behält, wenn man nach der Messung den zum Elektrometer

Leiters oder Leitersystems stets mit einer Vergrößerung verbunden sind. Da nun nach Gleichung (1) einer Kapazitätskonstanten Ladung eine Niveauniedrigung entspricht, Niveau eines Elektrometers etwas langsamer ansteigt als vorher bei der Ladungsziehung (s. § 71) die Verteilung im Faraday-Zylinder und Elektrometer von dem mit der ihm veränderlichen Kapazitätsverhältnis vom Elektrometer gilt, so folgt daraus, daß die Ladungsziehung nur für den der Ladung benutzten Faraday-Zylinder gilt. Dagegen einer Niveaueichung dem Elektrometer allein eigenständlich mag man sich auf Relativwerte beschränken, da den Wert unbestimmt läßt.

Kapazitätsänderung eines Elektrometers durch die Metallhöhe sehr groß ist, so kann man bei mäßigen Anforderungen Genauigkeit die Ladungsskala und die Niveauskala einander

Man kann aber auch die Genauigkeit der Niveaueichung indem man bei Ausführung einer Ladungsziehung nach Faraday-Zylinder so groß wählt, daß die Gesamtkapazität des die Änderung infolge der Metallhöhenbewegung ist, oder ein beliebigem Leiter großer Kapazität während der Fielung verbindet. Andere genaue Mittel zur Herstellung von man erst später angehen werden.

Elektrometer sind schon vom Fabrikanten mit einer Niveauskala versehen ist dann meist die elektrische Spannungsskala, (Beispiele: Braunsees und Kolvinsches Elektrometer 34.) Zur Größenschätzung ohne die Angabe, daß 10 mm Volt, so für im Handel befindliche Elektrometer mit Zeigerablesung, Länge von etwa 2 mm zwischen Kugeln in Luft entsprechen

Die Niveauniedrigung bei Vergrößerung der Kapazität derselben liefert eine einfache Methode zur Messung von Leistungen an einem Elektrometer, das in Niveaueinheiten oder Niveauskala versehen ist, einen 20 bis 30 cm langen hat, so daß sein freies Ende senkrecht nach oben ragt, Elektrometer auf ein beliebiges Niveau Φ_0 . Ist r die auf K_0 die unbekannte Elektrometerkapazität, so gilt nach

$$\Phi_0 \cdot K_0 = r \quad (2)$$

an freies Ende des Drahtes mit einem an einem Seilen- oder anderen Leiter von der bekannten Kapazität K , wobei Φ erniedrigt, und die Kapazität auf $K_0 + K$ anwächst. Solange geschlossen, so ist:

$$\Phi_0 \cdot K_0 = \Phi \cdot (K_0 + K) \quad (3)$$

$$K_0 = \frac{K}{(\Phi_0 / \Phi - 1)} \quad (4)$$

Also die Kapazität K_0 des Elektrometers ermittelt, so läßt K irgend einen beliebigen Leiter in derselben Weise

bestimmen; man braucht hier Gleichung (3) setzt nach K als unbekannter Größe aufzulösen. Dann erhält man:

$$K = K_0 \cdot (\theta_0 / \Phi \cdot 1) \dots \dots \dots (5)$$

Als Beispiel sei die Bestimmung der Kapazität eines Braunschen Elektrometers angeführt. Das mit einem 20 cm langen und 0,3 mm dicken Draht versehene Elektrometer wurde viermal mit einer Kugel von 4,5 cm Radius, also $K = 4,5$, verglichen, wobei folgende Niveauwerte abgelesen wurden:

θ_0	Φ	θ_0 / Φ
2200	1500	1,51
1500	1010	1,49
1010	670	1,51
670	450	1,51
Mittel: 1,50		

Daraus ergibt sich nach Gleichung (4), da $K = 4,5$:

$$K_0 = \frac{4,5}{1,5 - 1} = 9 \text{ cm}$$

als Kapazität des Elektrometers selbst angehängtem Drahte.

Aus der Konstanz der Werte der dritten Spalte der Tabelle folgt, daß die Kapazität des Braunschen Elektrometers praktisch unabhängig vom Betrage der Ladung ist, obgleich wegen der Zeigerabweichung die Elektrometerkapazität bei höheren Spannungen theoretisch etwas größer sein muß.

§ 75. Niveaudifferenz. Im vorigen Paragraphen wurde gezeigt, daß das Gleichgewicht der Elektrizität auf zwei miteinander verbundenen Leitern davon abhängt, ob das Niveau der Leiter gleich oder verschieden ist. Bei gleichem Niveau herrscht Gleichgewicht; besteht dagegen eine „Niveaudifferenz“ beider Leiter, so mißt diese gleichsam die Kraft, mit der die Elektrizität von dem einen zum anderen Leiter hinüberströmen will. Die Kenntnis der Niveaudifferenz ist deshalb von großer Wichtigkeit. Man könnte nun zur Messung dieser Größe zunächst so vorgehen, daß man jeden der beiden zu vergleichenden Leiter mit je einem Elektrometer verbindet und die Differenz der Elektrometerausschläge bestimmt, oder aber ein Elektrometer zuerst mit dem einen, dann mit dem anderen Leiter verbindet. Beide Methoden sind prinzipiell richtig, aber unbequem. Die folgenden Versuche werden zeigen, daß man in viel einfacherer Weise zum Ziele gelangen kann, und werden uns gleichzeitig veranlassen, unsere Definition der Kapazität ein wenig zu modifizieren.

Erster Versuch: Wir stellen ein mit leitender Hülle versehenes Elektrometer auf eine isolierende Unterlage (Paraffinplatte) und verbinden den Blättchenträger leitend mit dem Gehäuse. Wenn wir dann dem Ganzen eine Ladung von beliebiger Höhe erteilen, so erhalten wir keinen Ausschlag der Blättchen; dieser Versuch ist zunächst nichts als eine etwas modifizierte Wiederholung des in § 64 beschriebenen und in Fig. 127 abgebildeten Versuchs zum Nachweise, daß auf einen im Inneren einer leitenden Hülle befind-

lichen und
tragenden.
Wir k
daß ein Au
Blättchen c
Hülle und
Niveau bei
Die Bl
Ladung; gi
kann sich
ohne daß
das Vorst

Zweit
eine Paraff
entsteht ein
ung erhält
der Erde v
etwas ande
Griff vorse
des Ganzen
Körper von
+ E von d
eine negati
daß ein Le
besteht.

Dritt
schlages au



der beiden
zwei möglic
wie in Fig.
oder annäh
Sodann
aufstellen,
mit der Hül
isolierten 1

Fig.
beliebiger K
Gehäuse hat

der Hülle leitend verbunden — also selbst keine Ladung
der keine Kräfte wirken (§ 64; Satz II).

den Versuch jetzt aber auch als Nachweis dafür betrachten,
der des Elektroskops nur entsteht, wenn zwischen Hülle und
Nivaudifferenz" besteht; durch die Verbindung von
en ist nämlich bewirkt, daß beide sich stets auf gleichem

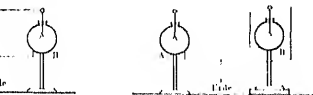
sind, weil mit der Hülle verbunden, nach § 61 ohne
nd haben sie dasselbe Niveau wie die geladene Hülle. Es
unter Umständen das Niveau einen leichten Andern,
eine Ladung zugeführt wird; dies ist wichtig für
des Folgenden:

Versuch: Ein Elektroskop mit metallischer Hülle wird auf
gestellt und der Blättchenträger zur Erde geleitet. Es
schlag, wenn wir die Hülle positiv laden; bei dieser Anord-
die Hülle eine Niveaurhöhung, während das Niveau der mit
denen Blättchen auf Null bleibt. Führen wir den Versuch
indem wir die Blättchen zuerst durch einen mit isoliertem
Draht mit der Hülle verbinden und dann nach Ladung
der Hülle trennen und zur Erde leiten, also mit einem
renem Niveau verbinden, so sehen wir sofort, daß jetzt
ange aufgeladenen Blättchen zur Erde abströmt, jezt also
lung erhalten müssen. Hier haben wir also den Fall,
ar eine Ladung trägt, aber doch sich auf dem Nullniveau

Versuch: Wir können leicht zeigen, daß die Größe des Aus-
schlags der Nivaudifferenz abhängt, unabhängig davon, welcher

100.

Fig. 167.



Blättchen oder Hülle, das Niveau Null hat. Wir nehmen
sich Elektroskope A und B und verbinden sie zunächst,
gestellt); Ladung der Blättchen ergibt in beiden gleich-
sich Anschläge.

n wir die Schaltung, indem wir das Elektroskop B isoliert
lle von B mit den Blättchen von A, die Blättchen von B
A und der Erde verbinden (Fig. 167). Laden wir jetzt die
zeigen wiederum beide Elektroskope gleiche Ausschläge.

67 sind ganz schematisch. Als Elektroskope können also ganz
ten sein, nur müssen sie beide gleich sein und metallisches

Vierter Versuch: Wir wiederholen den ersten Versuch, richten es aber so ein, daß der Blättchen und Hülle verbindende Draht nach Ladung des Ganzen mittels isolierenden Handgriffe abgeloben werden kann. Führen wir nunmehr der Hülle eine weitere Ladung zu, oder entziehen ihr durch Berühren mit einem Holzstäbchen einen Teil ihrer Ladung, so entsteht kein Ausschlag der Blättchen. Das Niveau der Blättchen ändert sich also von selbst um den gleichen Betrag wie das der umgebenden Hülle, obgleich keine Verbindung zwischen beiden besteht. Diese Tatsache erklärt sich leicht, wenn man bedenkt, daß, wie schon beim ersten Versuch bemerkt, die Blättchen, auch wenn sie mit der Hülle verbunden sind, keine Ladung aufnehmen, daß also auch durch den Verbindungsdraht keine Elektrizität fließt. Es kann somit nichts Ändern, wenn wir ihn entfernen.

Dieser Versuch gelingt nur dann vollkommen, wenn die herausragenden Teile des Blättchenträgers keine zu große Kapazität im Vergleich zu den inneren Teilen haben. Eventuell muß man die Anordnung dadurch verbessern, daß man eine kurze Röhre aus Blech oder Drahtnetz über den Blättchenträger stülpt, die mit der Hülle in fester Verbindung steht und den Knopf des Blättchenträgers noch um 1 bis 2 cm überragt.

Fünfter Versuch: Wir wiederholen den vierten Versuch mit der Abänderung, daß wir jetzt nach vorheriger Entfernung des Verbindungsdrahtes den Blättchen eine der Ladung der Hülle gleich- oder ungleichnamige Ladung zuführen, indem wir den Knopf entweder mit einem geladenen Körper berühren oder aber ihm durch kurze Berührung mit einem Holzstabe ungleichnamige Elektrizität aus der Erde zuführen, bis ein gut ablesbarer Ausschlag entstanden ist. Es besteht nunmehr also eine Niveaudifferenz zwischen Hülle und Blättchen; diese Differenz ändert sich obensowenig, wie im vorigen Versuch die Niveaugleichheit, wenn wir durch Zufuhr von + oder - E zur Hülle deren Niveau ändern, denn die Stellung der Blättchen bleibt dieselbe. Eine Niveaüänderung der Hülle bewirkt also eine gleich große Niveaüänderung der Blättchen, nicht bloß, wie der vierte Versuch zeigte, bei gleichem Niveau beider, sondern auch, wenn zwischen beiden eine Niveaudifferenz besteht.

Die gefundenen Tatsachen lassen sich ganz allgemein auf ein aus zwei Leitern A und B bestehendes System übertragen, wenn B von A vollständig umschlossen wird. Dann gelten die Sätze:

A. Niveaüänderung des äußeren Leiters ruft eine gleichgroße Niveaüänderung des inneren Leiters hervor, ganz gleich ob letzterer sich auf gleichem Niveau mit dem äußeren befindet, d. h. ladungsfrei ist, oder eine Niveaudifferenz gegen den Äußeren aufweist, d. h. selbst geladen ist.

B. Besitzt der innere Leiter bewegliche Teile (Elektromotorblättchen), so entstehen Kräfte auf diese, also eine sichtbare Bewegung, nur dann, wenn eine Niveaudifferenz zwischen A und B vorhanden ist. Die Größe des Ausschlages hängt bloß von der Niveaudifferenz, nicht von den Absolutwerten des Niveaus ab.

C. Die Ladung, die man dem inneren Leiter zuführen muß, um ihm eine bestimmte Niveaudifferenz gegen den Äußeren zu erteilen, ist unabhängig vom Niveauwert des Äußeren.

Satz C. i
sofort zu ein
Außenleiter
ein Niveau

als die „Kaj
so geht die C

Aus den
hervor, daß
niveau bez
Zimmer aus,
als an den
ganze Erde r
haben dürfte
kein Mittel b
Es heruht
der Erde g
messungen an

Auch M
nungen (s. K
weiteren Auf
höchsten Lauf

Aus
Leitern
Kapazität
Spätere
die Wau
groß ge
mehrfach
zu entfe

§ 76.

hinden (Fig.
endende vors
Braunsehen
mit bis zu et
Leitungen aus
Leitern zu
Flasche" J.
fort). Der
der Maschine
meterundol g
kann. Wir b
laden langsam
Bewegung de
bis er im M

*) Sie w
benutzt (siehe

leicht zu sehen, eine bloße Umkehrung von A. Er faßt die intuitive Auffassung des Begriffes „Kapazität“. Hat der Raum Φ_A und bedarf der Innenleiter einer Ladung e , um auf Φ_0 zu erhöhen, so kann man:

$$K = \frac{e}{\Phi_0 - \Phi_A} \quad (1)$$

von B gegen A beziehen. Ist speziell $\Phi_A = 0$, so geht in die Gleichung (1) das § 74 über.

Stützen A. bis C. niedergelegten Erfahrungen geht weiter aus willkürlich ist, welches Niveau wir als Null setzen; wir führen zu unsere Versuche im allgemeinen im Räume eine geschlossene leitende Hülle bilden; es würde keinen Erscheinungen nicht gestört, wenn wir uns die mit auch die Zimmerwände auf ein beliebiges Niveau Φ_0 dieser Unabhängigkeit folgt aber sofort, daß wir genau um über das Niveau der Erde selbst etwas zu erfahren, auf bloßer Konvention, wenn wir das Niveau Null setzen. Ähnlich, wie wir rein konventionell Höhen-Messungspiegel als Nullniveau beziehen.

Im Falle, die übrigens durch luftelektrische Erscheinungen (elektrizität) sehr kompliziert werden, geben keineswegs da das Niveau der Erde von etwaigen Ladungen der Wände abhängt, über die wir nichts Bestimmtes wissen.

Anmerkungen folgt auch, daß die „Kapazität“ eines einzelnen Leiters keine sehr wohldefinierte Größe ist. Meistens ist immer die ihm umgebenden Leitendflächen, also etwa die Zimmerwände, mit denen er in Berührung steht, also etwa die Zimmerwände, werden zeigen, daß die Kapazität eines Leiters gegen einen anderen Leiter praktisch unabhängig wird, wenn die Entfernung zwischen den Leitern ist. Dies ist der Grund für die oben angeführte Regel, bei Kapazitätsmessungen alle störenden Leiter weit entfernt zu halten.

Neutralgesetz elektrischer Entladungen. Wir verstellen eine Funkenstrecke F , d. h. zwei in Kugeln isolierte Metallstangen, mit Knopf und fischen eines anderen E (oder irgend eines anderen ähnlichen Instruments) 90 Volt reichender Skala) und führen von diesem zwei Stromzweige, von denen die eine aus Draht, die andere aus Bläse besteht. Die sogenannte „Leiterschleife“ bilden zu ihr führen den Draht lassen wir zunächst als eine Bläse bewirkt, daß bei vorsichtiger Probierung elektrizität nur ganz langsam zuströmt, so daß die Elektrizität ausbleibt und ihre Stellung jederzeit abgelesen werden kann. Die Kugeln der Funkenstrecke in etwa 1 cm Abstand und die bei F ein Funke überspringt. Beobachten wir die Funkenstrecke, so sehen wir seinen Zeiger langsam absteigen, bis die Funkenstrecke plötzlich zurückfällt. Wenn die

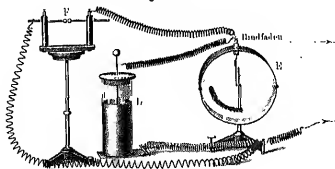
bei späterer Wiederholung und Ergänzung der Versuche

Bewegung langsam genug erfolgte, so daß die Trägheit des Zeigers nicht in Betracht kommt, so gibt seine höchste Stellung das elektrische Niveau der isolierten Kugel im Augenblick des Funkenüberganges an.

Bei mehrmaliger Wiederholung des Versuches finden wir zunächst, daß der Funkenübergang (bei konstantem Abstand der Kugeln) immer bei einem und demselben Niveau erfolgt.

Wenn wir ferner die isolierte Kugel noch mit einem beliebigen anderen isolierten Leiter verbinden, so daß die Kapazität des geladenen Systems sich

Fig. 148.



vergrößert, so wird dadurch das Niveau, bei dem der Funkenübergang erfolgt, nicht verändert. Nur die Helligkeit und das Geräusch des Funkens werden vermehrt.

Vergleichen wir jetzt die Entfernung der Kugeln, so finden wir, daß auch das Niveau, bei dem der Funke übergeht, sich vermehrt. Endlich können wir noch die Gestalt der einander gegenüberstehenden Oberflächen, zwischen denen der Funke übergeht, verändern, indem wir etwa eine der beiden Kugeln durch eine stumpfe Spitze ersetzen. Dann findet bei gleicher Entfernung die Entladung bei merklich niedrigerem Niveau statt und außerdem hängt das Niveau jetzt noch davon ab, ob die Spitze die positive oder negative Seite der Entladungsstrecke bildet. Die Kapazität dagegen hat auch jetzt keinen Einfluß.

Näheres über den Einfluß der Form der Leiter in unmittelbarer Nähe der Funkenstrecke, des Luftdruckes und anderer Umstände findet man im Kapitel „Elektrische Leitung in Gasen“.

Für das Folgende ist nur dies von Wichtigkeit:

A. Bei gegebenen Verhältnissen in der Funkenstrecke selbst hängt der Eintritt der Entladung nur von der elektrischen Niveaudifferenz ab¹⁾.

Aus Satz A. folgt, daß wir zur Isolation einer möglichst großen Elektrizitätsmenge ohne Gefahr eines Funkenüberganges an benachbarte Leiter oder einer Spitzenausströmung in die Luft (genauer: an die Wände des Zimmers) die Kapazität des isolierten Leiters möglichst groß machen

¹⁾ Diese Tatsache kann in solchen Fällen, wo ein geeichtes Elektrometer nicht zur Verfügung steht, benutzt werden, um aus der Funkeneldgewalt das Niveau eines geladenen Leiters mit Hilfe geeigener Talente zu bestimmen (siehe Kapitel „Elektrische Leitung in Gasen“).

maßen; denn das Niveau.

Praktisch allerdings soll das Linien der Kapazität von oder sonst ein

Wir wert zu derartigen Leitern betrie

§ 77.

Tafel; Kont einen Elektro einen anderen rang des Elektro geborte Lei

Das Nive des anderen System nicht die Niveaueu gelagert also

A. Die näherung o die Wirkur geloset ist.

Aus dies isoliertes Leit Umgebung ab befinden, vers

Der Mo

Fig. 149 klar unter im Glo den Leiter B, wie es die F

gezogene — I die Ladung v noch mehr -

gelagene Seite Teil aus der hin überströmt Ladung des auch sein Ans unter nach A muß; Gleich ung auch i die abgestoß

¹⁾ Gemein

der die Kapazität, desto kleiner ist ja bei gleicher Ladung

dieser Kapazitätsvergrößerung bei einfachen Leitern
kann man erwarten, dass die Kapazität annähernd mit
 n der Leiter wächst, so müßten wir, um auch nur eine
halbe zu erhalten, bereits eine Kugel von dem Durchmesser
von ähnlicher Ausdehnung nehmen.

aus demselben Paragraphen ein Mittel kennen lernen, um, ohne
merkliche Dimensionen zu verändern, die Kapazität eines
zu vergrößern.

Ladungsapparate: Leidener Flasche, Franklische
Wir verbinden einen isolierten isolierten Leiter mit
und erteilen ihm eine Ladung. Wenn wir ihn dann
einen Leiter nähern, so bemerken wir eine Verände-
rungserscheinung; die Wirkung ist am größten, wenn der
Erde abgeleitet ist.

geleiteten Systems hat sich aber durch die Annäherung
erniedrigt; da sich aber die Ladung auf dem isolierten
halten kann, so muß nach Gleichung (1) in § 74
die Folge einer Kapazitätsvermehrung sein. Wir
Resultat:

(1) eines geladenen Leiters wird durch An-
nähern eines anderen Leiters stets vermehrt,
am stärksten, wenn der genähte Leiter ab-

es folgt zunächst, daß überhaupt die Kapazität eines
nur von seiner eigenen Gestalt, sondern auch von der
der wenn alle anderen Leiter sich in großer Entfernung
praktisch ihr Einfluß.

des Vorganges wird leicht aus der schematischen
Fig. 109. A geladene Leiter A sei anfangs mit dem Elektro-
meter, also auch auf gleichem Niveau. Nähern wir jetzt
einen beeinflusst,

entsteht. Die an-
wirkt aber auf
A, indem sie
sich nach B hin-
zieht, die zum
nach A
h wird aber die
Leiters und somit



Fig. 109.



ringort. Daß aber überhaupt Elektrizität vom Elektro-
meter, beweist, daß das Niveau von A sich erniedrigt haben
erst wieder eintreten, wenn sich durch die Strömung
des Elektrometers entsprechend erniedrigt hat. Da
auf B eine, wenn auch wegen ihrer größeren Ent-

Kapazität gegen Erde (vgl. § 75 am Schluß)

formung schwächerer Gegenwirkung ausbildet, so wird der Effekt stärker, wenn die + E durch Ableitung von B entfernt ist.

Die Kapazitätsvermehrung wird um so stärker, je dichter man die beiden Leiter aneinander bringt. Deshalb ist es zur Erzielung möglichst großer Kapazität am günstigsten, den isolierten Leiter α mit einer ihm in möglichst kleinem, konstantem Abstand umgebenen Hülle zu umschließen, oder aber den beiden Leitern die Form zweier dicht nebeneinander liegenden parallelen Platten zu geben. Um möglichst große Ladungen aufzuspeichern zu können, ohne daß zwischen beiden Leitern ein Funken überspringt, bringt man zwischen ihnen noch ein isolierendes Zwischenglied an, wie Glas, Hartgummi, Glimmer u. a.¹⁾ Derartige feste Isolatoren werden nämlich erfahrungsgemäß erst bei viel höherem Niveau von einem Funken durchschlagen, als gleichdicke Luftschichten.

Ein solcher Apparat, bestehend aus zwei einander genäherten, durch ein nichtleitendes Medium getrennten Leitern, von denen mindestens der eine isolierbar, der andere abhänger eingerichtet ist, heißt ein Ansammlungs- oder Verstärkungsapparat, in gewissen speziellen Formen auch Kondensator, Laidenor Flasche, Franklinsche Tafel.

Die älteste Form ist die der Laidenor Flasche oder Kleistchen Flasche. Der Donnherr Kleist in Cammin in Pommern wollte im Jahre

Fig. 176.

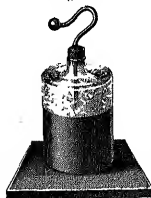


Fig. 171.

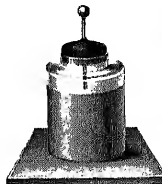


Fig. 172.



1745 das in einer Glasflasche enthaltene Wasser elektrisieren und ließ zu diesem Zwecke auf einem in das Wasser hineingestreckten Nagel die Funken des Kondensors einer Elektrisiermaschine fallen. Als er nachher, mit der einen Hand die Flasche haltend, mit der anderen den Nagel wognehmen wollte, erhielt er einen starken elektrischen Schlag. Ein ganz ähnliches Experiment wurde ein Jahr später von Cunnarus in Leiden gemacht, wobei der Apparat den Namen Laidenor Flasche erhalten hat. Erst später erkannte man, daß die haltende Hand einerseits und das Wasser andererseits zweckmäßiger durch zwei metallene Hohlkugeln ersetzt werden konnten. Die Laidenor Flasche besteht demnach aus einem Glasgefäße, das außen und innen bis auf mehrere Centimeter vom Rande mit Stanniol beklebt ist; an

¹⁾ In § 81 wird gezeigt werden, daß das Zwischenmedium auch die Größe der Kapazität beeinflusst.

Stelle der in eine Fällung oder unecht werden (§ 68) der durch die einen Knopf Belegung vor der Leidener

Um die 1 Erde, den Ku aber auch um den Kondensator verbunden, v Flasche isoliert

Um wohl. zu erhalten, liebt große K oder man Flaschen zu schen hatte

Fig. 178: von Riess als Konstruktion sehen Batterie

Zum boq einer Laidenor man einen „t in den Fig. 1 einigen verselt dargestellt ist einen Entlad eines passend mit einem Sie des Entladens Haltehaltung

Je nach dem l in kleinerer or

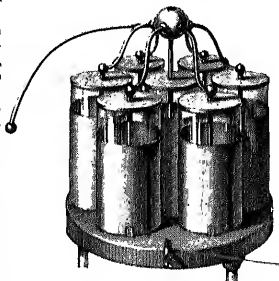
Der Fun gleichungen f und durch so viel größere A bei der Entla unten (§ 78).

Dagegen Funkenschlag, wenn diese di größt wird, beschreiben

Beladung tritt bei kleineren Flaschen mit engem Halse und einer gut leitenden Substanz, etwa mit Feilspänen ein. Der nicht beladene Teil des Glases muß gefirnißt sein. Die innere Beladung ist mit einem Messingstab verbunden, den oder den Bruchteil des Gefäßes hindurchgeht und luftdicht; innen ist der Stab durch federnde Kugeln mit der Flasche verbunden. Die Fig. 170 bis 172 stellen verschiedene Formen dar, von denen die letzte die zweckmäßigste ist.

Zur Beladung, verbindet man die äußere Beladung mit der einen Elektrode einer Elektrisiermaschine. Man kann die innere Beladung mit der Erde und die äußere mit

Fig. 173.



Entladen
benutzt
er", der
177 in
Formen
sich
sicht. aus
men und

griff versehenen Draht herstellen. Mit dem einen Ende man die abgeleitete Beladung und nähert dann unter Berührung das andere Ende dem Knopf der Flasche, bis auf welches die Flasche geladen, springt der Funke seiner Entfernung über.

Die Leideners Flasche unterscheidet sich von einem einfachen Leiter durch seinen viel lauteren Knall und helles Licht; bereits hieraus erkennt man, daß elektrische Energie bei der Entladung im Spiele ist, als wenn ein einfacher Leiter von mäßiger Größe (siehe weiter

Niveaudifferenz, die zur Entladung durch eine bestimmte Spannung erforderlich, von der Kapazität gänzlich unabhängig, nach Einschaltung einer Leideners Flasche ganz bedeutend vor erkennt dies deutlich, wenn man den in § 76, Fig. 169, nach Einschaltung einer Leideners Flasche, wie in der

Figur dargestellt, wiederholt. Der jetzt laut klingende Funke geht bei derselben Niveaudifferenz aber, wie ohne Flasche.

Zwischen den Elektricitätsmengen auf beiden Belagungen einer Leidener Flasche besteht eine höchst einfache Beziehung. Wir können nämlich die

Fig. 174.

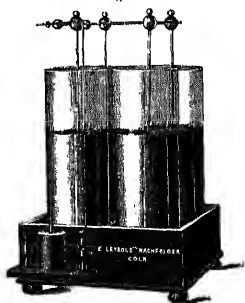


Fig. 175.



Fig. 176.

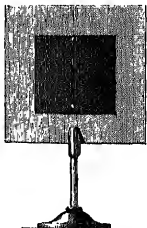


Außenbelagung als einen abgeschlossenen Faraday-Zylinder betrachten, und die Innenbelagung als den eingetauchten Leiter. Es muß also die auf der Außen-

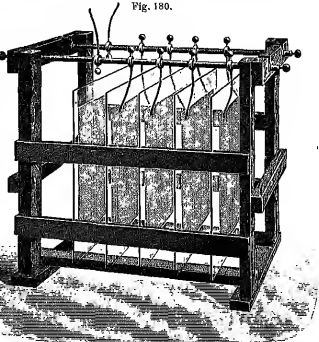
Fig. 178.

Fig. 179.

Fig. 177.



belagung vorhandene Influenz elektrizität erster Art genau entgegengesetzt gleich der Ladung der Innenbelagung sein. Nur infolge des Herausragens der Stange und des Knopfes aus der Flasche hat die Innenseite einen kleinen



oder Niederklappen federnder Bgel nach Belieben Tafeln ein-
on kann ¹⁾.

stellung der Tafeln dienen mglichst blasenfreie (zur Vorhtung
agens), gefirnite Glasplatten, die man bis auf einige Centi-
ande beiderseits mit Stanniol beklebt.

ss weniger auf die Durchschlagsfestigkeit gegen sehr hohe Span-
auf mglichst groe Kapazitt, bei mglichst kleinen Gren-
an, so benutzt man als isolierende Schicht dnne Glimmer-

ant: F. Erbecke, Berlin.

illot-Pfandler. IV.

platten. Man schichtet dann einfach abwechselnd Stanniol- und Glimmerblätter aufeinander, derart, daß alle geradzahligen Stanniolblätter nach der einen, alle ungeradzahligen nach der anderen Seite überstehen (Fig. 181) und durch Zusammenpressen untereinander verbunden werden können. Zu oberst und unterst kommt eine Glimmerschicht, und dann wird das Ganze möglichst

Fig. 181.



zusammengedrückt in einen Kasten eingebaut, aus dessen Hartgummiendeckel nur die mit beiden Belegungen verbundenen Zuleitungsklemmen herausragen (Fig. 182¹⁾). Der zwischen den Klemmen befindliche, mit isolierendem Griff versehene „Stöpsel“ dient dazu, um durch leitende Verbindung beider Belegungen den Kondensator zu entladen. Fig. 183 stellt einen „Glimmer-

Fig. 182.

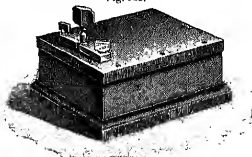
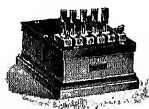
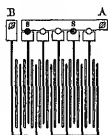


Fig. 183.



kondensator“ dar, bei dem die Stanniolblätter einer Seite nicht sämtlich miteinander verbunden sind, sondern immer nur eine gewisse Anzahl gruppenweise zu einem auf dem Deckel befindlichen Messingklötzchen geführt ist;

Fig. 184.



durch Einstecken von Stöpseln ss (Fig. 184) können dann nach Belieben mehr oder weniger von diesen Gruppen untereinander und mit der Klemmschraube A verbunden werden; die Blätter der anderen Seite dagegen sind sämtlich untereinander und mit der Klemme B verbunden. Man kann also durch Stöpselung die Kapazität eines solchen Kondensators stufenweise verändern. In der schematischen Fig. 184 ist der Einfachheit wegen an Stelle jeder Gruppe immer bloß ein einziges Stanniolblatt gezeichnet.

Der sehr hohe Preis der Glimmerkondensatoren hat dazu geführt, in solchen Fällen, bei denen es auf beste Isolation und genaue Meßbarkeit nicht so sehr ankommt, z. B. bei den im Fuß der Ruhmkorffschen Induktionsapparate (s. Kap. „Induktionsströme“) angebrachten Kondensatoren, paraffiniertes Papier als Isolier-

¹⁾ Siemens u. Halske, Berlin-Westend.

nittel anzuwen-
den. Unter der Größe u
durch. Dann
heißt Blechplat-
tente eines li
Aufsichten ei
des Ganze zu o



Als Kr
nauerlunge
platten bi
Kondensat
aber sehr
schlingende

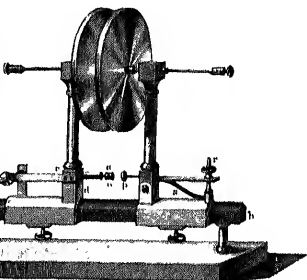
Bei sehr g
Formen von Kc
fähigkeit sind,
komplizierte Er
wirkt. Von d
atoren“, bei

Fig. 185 ?
rausch¹⁾ herr
schrauben r ur
Schraube o geol
terung zusam
also innerhalb g

¹⁾ Pogg. A.
imperialtes M.

Man schneidet das Paraffin in einer Wanne von geringe
 mit die Papierbogen (gutes Schreibpapier) langsam hin-
 man einen Hagen auf eine einige Centimeter kleinere
 entfernt die unter dem Papier befindlichen Luftblasen
 Bügeleisens. Ebenso verfährt man nach jedemmaligem
 Blätter Stanniol und Papier. Durch das Bügeleisen wird
 kompakten Körper zusammengeschmolzen.

Fig. 188.



Derer Leidener Flaschenbatterien werden in der Technik
 "Leidener Batterien" genannt, die aus einem System paralleler Platten
 die in Öl als Zwischenmedium eintauchen. Derartige
 haben eine geringere Kapazität als die eben beschriebenen,
 schlagfestigkeit; auch kann ein etwaiger dazwischen durch
 kleinen dazwischen Schichten anrichten.

elektrostatischen Messungen haben alle betrachtet
 von dem Nachteil, daß sie niemals ganz frei von Leit-
 mußer dem eine weiter unter noch näher zu besprechende
 ng, der sogenannte "Rückstand" (siehe § 103), stehend
 belastungen völlig frei sind nur die "Luftkonden-
 auf das belastende Mittel bildet.

von solchen Luftkondensator in einer von H. Kohl-
 Form. Die Platten lassen sich durch zwei Stell-
 man parallel stellen, eine Anschlagplatte *p* und eine
 Platten auf eine vorher eingestellte beliebige Ent-
 stellung. Die Kapazität dieses Kondensators läßt sich
 Grenzen stetig und meßbar verändern.

58 (1847). Ein für Vorlesungsversuche ganz brauchbares
 Kohlrauschschen Kondensators zeigt Fig. 211.

Vollkommen wegen seiner viel größeren Kapazität und völliger Abschirmung des isolierten Teiles gegen äußere Einflusswirkungen ist die in

Fig. 186.

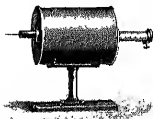
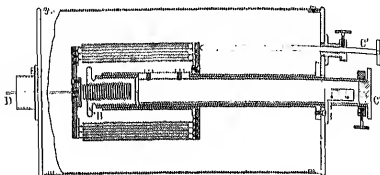


Fig. 188.



Fig. 186 u. 187 abgebildete, von Gardien¹⁾ herrührende Konstruktion²⁾. Fig. 186 zeigt die innere Einrichtung im Querschnitt. Die „Helicongen“ bestehen aus sieben konzentrischen Metallzylindern, von denen drei durch Bernstein isoliert und mit der Zuführung *D* verbunden sind, während die anderen vier mit dem Gehäuse metallisch verbunden und parallel der Achse verschiebbar sind. Durch Anschlitze *C'* und *C''* kann die Verschiebung begrenzt werden, deren Betrag an einer Skala abzulesen ist. Die Kapazität kann von etwa 20 bis 5000 cm variiert werden. Der Gardien'sche Kondensator ersetzt also im völlig zusammengefahrenen Zustande in elektrischer Beziehung eine Kugel von 10 m Durchmesser.

¹⁾ Physik. Zeitschr. 5, 294 (1904).

²⁾ Fabrikantenspindler u. Meyer in Göttingen.

Zu den I
für spätere V
Kondensator C
oder Elektro
schließen
während die a
innenseite ent

Fig. 181



zogen, die als
Schallkling u
bildet. Die n
bewirkt eine d
noch dem Abl
nur wenige Ce

Endlich s
legbaren Ko
der Frankli
ladener Flas

§ 78. V
und physio
stand. I. Ka
legbaren Pl
Versuch über
anderen besom

statoren mit veränderlicher Kapazität gehört auch der (§ 106) wichtige von A. Volta (1796) angegebene 3). Er wird meist in Verbindung mit einem Elektroskop hergestellt und besteht aus zwei genau eben gemachten, von denen eine auf dem Elektroskop befestigt ist, einen isolierenden Stiel trägt. Die Platten sind an ihrer ganz mit einer möglichst dünnen Schellackschicht über-

Fig. 190.

Fig. 191.



Fig. 192.

Fig. 193.



den Zwischenblech dient, oder es ist nur eine Haube anzuheben, so daß zum größten Teil Luft das Zwischenblech ausfüllt, welche einen Millimetern betragende Zwischenblech die Kapazität bei aufeinander gesetzten Platten, während die abgeleitete Platte die Kapazität des isolierten Teiles beträgt.

Die speziell für Demonstrationszwecke dienenden zeigen zu erwähnen, von denen in Fig. 189 einer in Form einer Tafel, in Fig. 190 bis 193 ein solcher in Form der abgebildet ist.

mit Kondensatoren. Thermische, mechanische Wirkungen. Unvollständige Entladung: Rückmessungen: Mit dem in Fig. 189 abgebildeten Kondensator läßt sich der im Beginn des § 77 erwähnte Kapazitätsänderung eines Leiters durch Annäherung eines Leiters zeigen. Man lege die mit der Glasscheibe be-

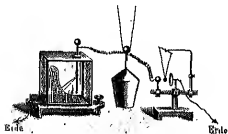
dockt untere Platte, so daß die Pendel stark divergieren, und setze dann die obere Platte isoliert auf; dabei vermindert sich die Divergenz. Leitet man die aufgesetzte obere Platte durch Berührung mit dem Finger zur Erde ab, so verschwindet die Divergenz fast ganz, hebt man endlich die obere Platte wieder ab, so tritt wieder die ursprüngliche Divergenz auf.

Man hänge den in Fig. 151 abgebildeten inneren Leiter der zerlegbaren Leidener Flasche an Seidenfaden auf, verbinde ihn mit einem Kolbischen oder Braunschen Elektroskop und zähle die Anzahl von Ladungen, die man mit dem Doekel eines schwach erregten Elektrophors zuführen muß, um einen bestimmten Ausschlag zu erzielen. Dann wiederhole man den Versuch mit der zusammengesetzten und außen abgeleiteten Leidener Flasche; man findet, daß jetzt eine vielmal größere Zahl von Ladungen nötig ist als vorher. Das Verhältnis beider Zahlen gibt ein ungefähres Maß für die Kapazitätsvergrößerung infolge der Hinzufügung der äußeren Begrenzung.

In etwas anderer Weise führt B. Kolbe¹⁾ einen entsprechenden Versuch aus:

Er hängt den Innenleiter an Seidenfaden isoliert auf und verbindet ihn durch möglichst harte dünne Drähte mit einem Elektrometer und mit der einen Kugel des in Fig. 151 abgebildeten Kolbischen Pendelapparates, dessen andere Kugel abgeleitet ist. Das

Fig. 151.



nach dem Kolbischen Buche entnommenen Fig. 154 zeigt die Verbindung, doch hat man sich die Teile weiter auseinandergeordnet zu denken. Wird das System geladen, so fängt das Pendel an zu schwingen; bei jeder Schwingung nimmt die Pendelkugel einen ganz bestimmten Bruchteil der Ladung auf und gibt sie an die abgeleitete Kugel ab.

Zählt man also die Zahl der Pendelschwingungen, die nötig sind, damit das Elektrometer von einem willkürlich gewählten Teilstrich bis zu einem anderen sinkt, so gibt die beobachtete Schwingungszahl ein Maß für die Elektrizitätsmenge, die man dem System entziehen mußte, um das Niveau von dem abgelesenen höheren bis zu dem tieferen Wert zu erniedrigen²⁾. Wiederholt man dann denselben Versuch mit der zusammengesetzten Leidener Flasche, so findet man eine vielmal größere Anzahl von Pendelschwingungen für das gleiche Elektrometerintervall.

Macht man den Versuch außer mit einer beliebigen Leidener Flasche auch mit einer nicht zu kleinen Kugel, so ergibt die Vergleichung die Kapazität der Flasche in unserer früher festgesetzten Einheit, wenn man die gefundenen Verhältniszahlen noch mit der Kapazität der Kugel, d. h. mit ihrem Radius in Centimeter, multipliziert.

¹⁾ Blaf. f. d. Elektr. I, 70.

²⁾ Man sieht leicht, daß diese Anordnung eine Modifikation der in § 74 beschriebenen Methode der Ladungsteilung darstellt, nur daß hier die Teilung mehrmals hintereinander vorgenommen wird. Eine ähnliche Methode wurde bereits von Cavendish (1771 bis 1778) angewandt.

Beispiel
Höhe der Bel
schwingungen
Radius der K
 $K = 4.500$

Die Kap
Abstände der
abhängig; die
wellen wie h
von dem Pla

Wir vor
(Fig. 185) od
Erde, die an
beliebiges N
so nimmt die
die Ladung
sie bei Ann.
Tabelle entli
angedeutet,
Zeitintervalle
zwei zueinan
von dem Ein

Trägt m
Koordinaten
Ordinatenach
Kapazität der
Grenzen des

Beweis
zählt K des 1

¹⁾ In FN
viel Zeit erfo
suchen die Z
aus diesen an
Zieldauer in
nütz ist.

o Leichter Flasche von 10 cm Durchmesser und 20 cm Höhe und 3 mm Glasdicke enthält sich durch etwa 5000 Pendelschwingungen, wie eine Kugel von 4 cm Durchmesser. Die Kapazität der Flasche betrug also $\approx 1000 \text{ cm}^2$.

eines Plattenkondensators ist von der Größe und dem Abstand, sowie von der Natur des isolierenden Zwischenmediums abhängig. Der letztere Einfluß wird später eingehend, bei dem einfachen Versuch zur Ermittlung der Abhängigkeit von der Dielektrizitätskonstante, beschrieben.

Als eine Platte eines Kohlenröhrenluftkondensators in Fig. 211 dargestellten improvisierten Modells mit der anderen Platte durch einen Brannschen Elektrometer, und legen auf ein Brett. Wenn wir dann die Entfernung der Platten vergrößern, nimmt die Kapazität ab; wenn wir die Platten nähern, so nimmt es ab; da die Verabfolgung nicht endet, so muß die Kapazität vergrößert, bei Entfernung verkleinert werden. Folgende Beobachtungen, und zwar ist, wie durch die Pfeile angedeutet, einmal bei steigendem, einmal bei fallendem Abstande d in je einer halben Minute beobachtet; nimmt man aus je 10 Werten das Mittel, so sind diese Mittelwerte von Verlusten infolge unvollkommener Isolation befreit.

ϕ beobachtet Volt	ϕ Mittel	d/ϕ
1720 1410	1515	0,00031
2000 1620	1810	0,00032
2180 2050	2115	0,00071
2270 2210	2240	0,00090
2320	2320	0,00108

Man zeichne d/ϕ als Ordinaten in einem rechtwinkligen Koordinatensystem (Fig. 195), so erhält man eine gerade Linie, die durch den Nullpunkt des Nullpunktes verläuft. Daraus folgt, daß die Kapazität dem Abstande d der Platten innerhalb der Versuchsweite umgekehrt proportional ist.

Der oben ausgesprochene Satz richtig, also die Kapazität gleich a/d ist, wo a eine Konstante, so folgt, wenn

der angeführte, würde das Zählen der Schwingungen so an bestimmte dann nur im Anfang und am Ende des Versuchs einer Minute ausgeführten Schwingungen und welche mit dem Mittelwerte multipliziert man dann die gesamte die zur Eichung durch das festgesetzte Skalenintervall

rohen Messungen geeigneten Thermometer (Fig. 197) steigt nach jeder Entladung die Flüssigkeit im Seitenrohre.

Auch in metallischen Teile der Entladungsbahn wird Wärme entwickelt: Entladet man eine große Leidener Flasche oder noch besser eine Batterie von solchen durch eine Drahtleitung, die zum Teil aus sehr dünnem Eisendraht besteht, so wird dieser erwärmt, wenn ein schwacher Schlag hindurchgeht; eine stärkere Entladung macht ihn rotglühend, und eine noch stärkere bewirkt, daß er in einzelnen geschmolzenen Kugeln auseinander fährt, die weithin fortgeschleudert werden.

Eine bequeme Anordnung zur Ausführung dieses Versuches zeigt Fig. 198. Der dünne Draht ist zwischen zwei Holtzsche Klemmen *a* und *b* eingespannt, von denen die eine (*b*) durch einen dicken Draht mit der äußeren Belegung der Batterie verbunden¹⁾ ist; die andere (*a*) verbindet man mittels eines Entladers mit dem Knopf der geladenen Batterie.

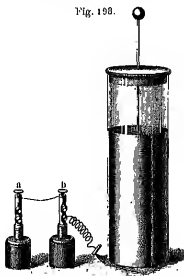
Ein Streifen Zinnfolie von 5 bis 10 cm Länge und etwa 1 mm Breite wird durch den Entladungsschlag einer Batterie vorflüchtigt, der Dampf oxy-

Fig. 198.



Fig. 197.

Fig. 199.



diert sich und bildet lange, in der Luft schwebende, Spinnweben ähnliche Fäden; bei Benutzung einer einzelnen Flasche wird der Streifen bloß durchgeschmolzen.

Auch andere Metalle werden auf diese Weise erhitzt, glühend gemacht, geschmolzen und oxydiert; wenn man sie aber von gleicher Länge und von gleichem Durchmesser nimmt, so bringt dieselbe Ladung nicht bei allen den-

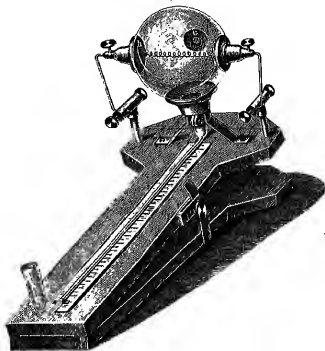
¹⁾ Bei Benutzung einer einzelnen Flasche stellt man diese auf ein Blech, das man mittels einer geeigneten Klemmschraube mit dem Draht verbindet.

selben Effekt hervor. Platin und Eisen werden bei gleichen Dimensionen weit stärker erwärmt als Gold und Kupfer.

Zur messenden Untersuchung der Erwärmung von Drähten dient das Riesssche Luftthermometer ¹⁾ (Fig. 199).

Der im Innern einer Glaskugel befindliche zu erwärmende Draht teilt seine Wärme an die umgebende Luft mit, die durch ihre Ausdehnung die

Fig. 199.



Flüssigkeit in einem geneigten Kapillarrohr vordrängt. Durch Änderung der Neigung kann die Empfindlichkeit in gewissen Grenzen verändert werden. (Über Messungen mit diesem Apparat s. § 92 und 102.)

Von den mechanischen Wirkungen der Entladung interessiert vor allem die ja praktisch wichtige Frage der Möglichkeit des Durchschlagens fester Isolatoren. Wenn man einer Leidener Flasche eine allzu hohe Ladung erteilt, so kann es vorkommen, daß das Glas von einem Funken durchschlägt und die Flasche damit unbrauchbar gemacht wird ²⁾. Da Luftbläschen im Glas das Durchschlagen begünstigen, so benutzte man zur Herstellung der Flaschen nur möglichst blasenfreies Glas.

Um das Durchschlagen einer Glasplatte zu zeigen, benutze man die in Fig. 200 dargestellte einfache Anordnung. Auf die Glasplatte von 1 bis 2 mm

¹⁾ Pogg. Ann. 40, 385 (1837). Das Riesssche Thermometer ist eine Verbesserung eines von Snow Harris im Phil. Trans. 157, 18 (1827) beschriebenen Instrumentes.

²⁾ Zahlenmaterial über „elektrische Festigkeit“ fester und flüssiger Isolatoren s. Kap. „Elektrische Leitung in Gasen“.

bringt man vorher einen Tropfen Stearin¹⁾, in den man mit einer Nadel in zur Platte reichende Vertiefung einsticht (Fig. 201). Steht man dann Stelle zwischen die zugespitzten Drahtenden, so geht der Funke genau den Nadelstich.

Da es für das Durchschlagen nur auf Erreichung einer bestimmten Differenz ankommt, so verbindet man die beiden Drahtspitzen einfach

gleichen Konduktoren
allgemeinmaschine. Will
zur Erzielung künft-
Wirkung eine Lei-
Flasche einschalten,
so man eine solche,
destens dreimal so
st wie die zu durch-
ende Platte, damit
die Flasche anstatt
Platte durchschlagen
oder aber man be-
eine Kaskadenkette.

Man verbindet bloß
die Klammern direkt mit
einen Konduktor der

ein; die andere verbindet man erst nach genügender Aufladung der
eine durch einen Auslöser mit dem anderen Konduktor.

artenblätter (Visitenkarten) werden leicht durchbohrt, wenn man sie
zwischen die einander auf etwa 1 cm geduckten Konduktoren einer
zusammenschiebt. Die Ränder des auf-
den Lochn sind beiderseitig aufgeworfen;
Erscheinung kommt vermutlich dadurch,
daß die von Funken stark erwärmte
zwischen der Pore des Kartons, sowie
sch bilden ein Wasserdampf (Karton ist
hygroskopisch) durch ihre Ausdehnung
(Freibewirkung bewirken²⁾).

Setzt man den Funken durch ein mit
er gefülltes, fest zugedrehtes Röhrchen
2021 schlagen, so wird dieses meist zertrümmert. Das Röhrchen wird
eingeschaltet, wie in Fig. 198 der dünne Draht.

Fig. 200.

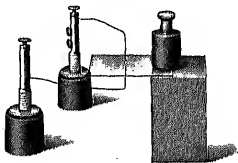


Fig. 201.

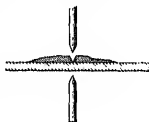


Fig. 202.



Walzenhofen, Wien. Ber. 78. Kessling und Walter, Ann. der Phys.
57a (1893).

Über Vorrichtungen zur Durchbohrung dickerer Glasstücke v. Walzhof, *Ann. der Phys.* 57a (1893).

Demonstrations- und Lehmann-Präp., *Physik. Technik.*

In älteren populären Darstellungen findet man unterweilen manchmal die
sichige Aufzeichnung als „Howells“ dafür angegeben, daß es zwei Elektroden
sind, die in entgegengesetzten Richtungen strömen.

Physiologische Wirkungen. Auch dem Gefühl macht sich der größere Energieinhalt der Leidener Flasche gegenüber einem einfachen isolierten Leiter dadurch bemerkbar, daß man eine heftige Erschütterung, einen „elektrischen Schlag“, verspürt, wenn man die Flasche statt durch den Entlader, durch den eigenen Körper entlädt, indem man die Flasche in eine Hand nimmt¹⁾ und mit einem Fingerkubikel der anderen Hand den Knopf berührt.

Bei schwächeren Ladungen ist der Schlag nur in den Vorderarmen fühlbar; bei stärkeren fühlt man ihn auch im Oberarm, und wenn die Ladung noch stärker gemacht wird, so bringt der Schlag einen heftigen Schmerz in der Brust hervor. Sehr starke Schläge können gefährlich werden.

Wenn mehrere Personen eine Kette bilden, indem sie einander die Hände geben, und die erste die äußere Belegung der Flasche, die letzte den Knopf anfäßt, so fühlen alle den Schlag auf einmal.

Wären die Personen sämtlich vom Erdboden isoliert, so würden alle einen gleichstarken Schlag erhalten: wenn die Isolierung fehlt, geht ein Teil der Elektrizität durch Bodenleitung in die Erde, und die an den Enden der Kette befindlichen Personen erhalten einen stärkeren Schlag als die in der Mitte.

Eine beachtenswerte Entdeckung ist die, daß vom Nitro getroffene Menschen manchmal nur daran zugrunde gehen, daß sie den Atmungsprozeß hervorruhenden Nervenpartien zeitweilig gekühlt werden. Nechzeitig eingeleitete künstliche Atmung kann hier unter günstigen Umständen lebensrettend wirken.

III. Unvollständige Entladung; Rückstand. Wir verbinden eine Leidener Flasche mit einer verschleibbaren Funkenstrecke, deren Kugeln zunächst weit auseinandergezogen sind, und laden. Wenn wir dann die Kugeln langsam zusammenziehen, so erfolgt bei einer gewissen Entfernung eine Funkenentladung. Sobald wir nunmehr die Kugeln weiter zusammen, so erhalten wir bei einer kleineren Entfernung eine zweite Entladung, bei noch weiterer Annäherung eine dritte usw.

Die Entladung der Flasche durch den Funken ist also keine vollständige, sondern der Übergang der Elektrizität durch die Funkenstrecke hört auf, wenn noch ein gewisser Betrag von Ladung in der Flasche vorhanden ist; eine Erklärung und Diskussion dieser Erscheinung kann erst später im Kapitel „Elektrische Leitung in Gasen“ erfolgen.

Von der eben erwähnten „Entladung“, deren Vorzeichen übrigens auch dem der ursprünglichen Ladung entgegengesetzt man kann, ist eine andere als „Rückstand“ bezeichnet zu unterscheiden, die auftritt, wenn man eine bereits seit einiger Zeit (meist genügen wenige Minuten) geladene Flasche durch metallische Verbindung ihrer Belegungen zunächst vollständig entlädt. Hält man unmittelbar nach der Entladung die Verbindung auf und überläßt die Flasche einige Zeit sich selbst, so zeigt sie allmählich wieder eine Ladung, die schwächer ist als die ursprüngliche. Eine gerade umgekehrte

¹⁾ Wer den Versuch zum erstenmal macht, laße die Flasche zunächst nur nitig und hebe sie beim Anfassen nicht vom Tische ab, um nicht im ersten Schreck über den Schlag die Flasche fallen zu lassen.

ung beobachtet man beim Laden der Flasche; unmittelbar nach der Einstellung der Flasche scheint sie schlecht zu isolieren, indem die Spannung rasch sinkt. Nach einiger Zeit jedoch wird die Spannung konstant, soweit gleiche durch Oberflächenleitung oder Spitzenentstreuung stattfinden. Ganz einfache Theorie der Rückstandsbildung ist nach mündlichen Erklärungsversuchen von Maxwell¹⁾ gegeben worden; der hängt mit der Leitfähigkeit und mit etwaigen Inhomogenitäten des Isolators der Flasche zusammen. Näheres über die Rückstandsbildung S. 108.

B. Franklin's Kaskadenbatterie. Bei den in § 77 beschriebenen Anordnungen von Leidener Flaschen oder Franklin'schen Tafeln zu waren die Verbindungen so angeführt, daß immer die gleichartigen Platten, also bei Flaschenbatterien alle inneren einerseits und alle äußeren andrerseits, untereinander verbunden waren. Fig. 203 zeigt diese

Fig. 203.



Fig. 204.



„allelschaltung“ bezeichnete Verbindungsmode schematisch. Es hat hierbei alle gleichartigen Belegungen auf gleichem Niveau und die Batterie von n -Flaschen oder -Platten verhält sich genau, wie eine Flasche oder Platte mit n -facher Kapazität.

Kann aber auch eine Reihe von Kondensatoren in der Weise miteinander verbunden, wie in Fig. 204 schematisch, in Fig. 205 und 206 in

Fig. 205.

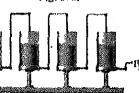
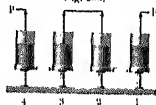


Fig. 206.



Verbindungsformen für Flaschenbatterien gezeigt ist. Bei letzteren beiden sind p und p_1 werden mit den Leitungen einer Elektrifizierungsanlage, üben außerdem meist mit der Erde verbunden; man kann aber auch jeden eine der mittleren Belegungen zur Erde ableiten, wenn die isoliert sind.

Die von H. Franklin ausgegebene Schaltungsart wird „Reihen-“, oder „Kaskaden“- oder „Hintereinanderschaltung“

Ihre Bedeutung wird klar, wenn wir die Niveau- und Kapazitätswerte näher betrachten.

Erster Versuch: Es sei eine Batterie von der Form der Fig. 206 gegeben. p_1 sei zur Erde abgeleitet, p geladen. Ein Elektrometer sei auf einer Paraffinplatte isoliert aufgestellt, aber vorläufig noch sein Gehäuse abgeleitet. Wir verbinden mittels eines mit isolierter Handhab versehenen dünnen Drahtes nacheinander die innere Belegung der von p_1 aus gerechnet ersten, zweiten, dritten, vierten Flasche mit dem Knopf des Elektrometers. Es zeigt sich (wenn die Flaschen alle gleich gut isolieren, wovon man sich vorher überzeuge), daß sich die gemessenen Niveaus wie 1:2:3:4 verhalten, daß also die Niveaudifferenz zwischen den beiden Belegungen jeder Flasche dieselbe ist.

Zur Kontrolle isolieren wir jetzt das Elektrometer und befestigen auch am Gehäuse einen mit isolierendem Handgriff versehenen Draht. Wenn wir jetzt successive Gehäuse und Blättchen mit äußerer und innerer Belegung je einer Flasche verbinden, so erhalten wir an allen den gleichen Ausschlag, also nach § 75 die gleiche Niveaudifferenz.

Zweiter Versuch: Wir trennen die Verbindung zwischen der ersten und zweiten Flasche, verbinden die erste mit einem Elektrometer und zählen die Zahl von Ladungen, die wir ihr mittels eines Elektrophors zuführen müssen, um einen bestimmten Ausschlag des Elektrometers zu erzeugen; dann stellen wir die Verbindungen der Batterie wieder her, verbinden das Elektrometer mit p und p_1 und führen die Ladungen bei p zu. Wir finden, daß jetzt eine viermal (bei n -Flaschen n -mal) kleinere Ladung nötig ist, um denselben Ausschlag zu erzeugen. Daraus folgt:

A. Die Kapazität einer aus n -Flaschen bestehenden Kaskadenbatterie ist n -mal kleiner als die einer einzelnen Flasche.

(Bei Parallelschaltung dagegen ist die Kapazität n -mal größer als die einer einzelnen Flasche.)

Theoretisch läßt sich Satz A. folgendermaßen ableiten: Wir bezeichnen zur Abkürzung die Innen- und Außenbelegungen der einzelnen Flaschen mit $J_1, J_2 \dots$ resp. mit A_1, A_2 usw. Es sei zunächst A_1 abgeleitet und J_1 werde eine Ladung e zugeführt, die ein Niveau ψ auf J_1 hervorruft. Dann muß gleichzeitig nach § 72 aus A_1 eine gleich große Ladung e zur Erde fließen, damit A_1 das Niveau 0 erhält. Wenn wir aber A_1 statt mit der Erde mit J_2 verbinden, so wird so lange Elektrizität von A_1 nach J_2 überfließen, bis beide gleiches Niveau haben. Da nun J_2 von dem abgeleiteten A_2 umgeben ist, während A_1 isoliert, so ist die Kapazität von J_2 gegen Erde vielmals größer, als die von A_1 , es bedingt sich also im Gleichgewicht auf A_1 nur noch ein ganz geringer Bruchteil der Ladung e , während weitaus das meiste nach J_2 übergeflossen ist; das Niveau von J_2 kann deshalb nur ganz unwesentlich geringer sein, als es sein würde, wenn e sich ganz auf J_2 befände; J_2 hat also nahezu das Niveau ψ . Dasselbe Niveau hat aber auch A_1 , und da die Niveaudifferenz von A_1 nach J_2 nach § 75 bei Änderung des Niveaus von A_1 unverändert bleibt, so hat jetzt durch das Überfließen zwischen A_1 und J_2 das Niveau von J_1 sich um ψ , also auf 2ψ gehoben. Dasselbe Betrachting können wir jetzt wiederholen, indem wir die Belegung A_2 jetzt statt mit der Erde mit J_1 verbinden. Dann fließt wieder die Ladung e aus A_2 statt in die Erde, nahezu vollständig in J_1 hinein, J_1 erhält das Niveau ψ , J_2 erhält 2ψ und J_3 erhält 3ψ , und ebenso kann man für beliebig viele Flaschen fortfahren. Man sieht aus dieser Betrachtung aber, daß der Satz A. nicht ganz streng gilt, sondern nur annähernd; die Abweichungen sind jedoch praktisch kaum merklich.

Satz A. könnte nun zunächst die Kaskadenschaltung als ganz zwecklos erscheinen lassen, da man ja eine n -mal kleinere Kapazität bequemer und

277
 durch Anwendung nur einer einzigen Flasche von entsprechend Dimensionen erzeugen konnte. Die Kaskadenschaltung ist jedoch Bedeutung, wenn man sehr hohe Spannungen (Nivaudifferenzen) erzielt, bei denen die Gefahr des Durchschlages einer einzelnen Flasche ist. Dann kann man durch Anwendung der Kaskadenschaltung die Erzeugung auf mehrere Flaschen verteilen.

und z. B. die zur Verstärkung der Funken Dimensionen leidender zu den Influenzmaschinen in Kaskadenschaltung verbunden, und dem Schema der Fig. 207 mit Ableitung der beiden miteinander verbundenen Außenbelegungen.

weitere Anwendung der Kaskadenmethode besteht darin, daß man Potentialdifferenzen erzeugen kann, die höher sind, als die von der Ladungsquelle selbst geliefert. Nehmen wir an, eine Vorrichtung zur Erzeugung von Elektrizität eine sehr kleine Influenzmaschine, deren nicht über einen gewissen Betrag Φ hinausgehen wir nun n -Flaschen zuerst in Parallelschaltung zum Niveau Φ laden und dann die Flaschen nacheinander verbinden, so erhalten wir dadurch das Schema der Fig. 208 zeigt eine von H. Mach angegebene Vorrichtung zur Ausführung dieser Umschaltung.

Die Verbindungsstücke sind auf einem Rahmen, der auf den Schienen ruht, derart angebracht, daß durch Hin- und Herschieben des Rahmens verschiedene Schaltungen ausgeführt werden können.

Man verbindet mittels einer solchen Umschaltung 16 Flaschen von einer Fläche (Gesamtkapazität ungefähr = 50 000 cm) zu einer

Fig. 207.

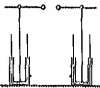
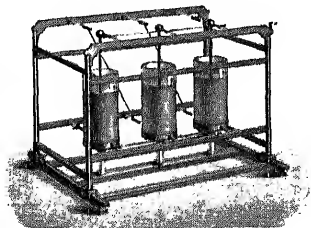


Fig. 208.



von acht Flaschenpaaren und erhält damit interessante Effekte. Die Spannung steigt bis auf das 32fache. Es wurden blitzartige Funken von beträchtlicher Größe erhalten, während die der gewöhnlichen Batterie mehr schwach und kurz erschienen. Vergrößert man den Widerstand durch ein- oder zweifach mit Wasser gefüllte Kapillarrohren, so nehmen die Funken das Aussehen eines Induktionsapparates (s. Kap. „Induktionsströme“)

an. Man kann durch größere Widerstände die Entladungsdauer auf 1 bis 2 Sekunden verlängern, wobei der Funken dem Davyschen Lichtbogen ähnlich wird ¹⁾.

Eine ähnliche Vorrichtung aus 100 Franklinschen Tafeln von je 3600 qcm Belegungsfläche und 2,5 mm Dicke hat Th. des Condres konstruiert ²⁾. Man erhielt mit ihr Funken von 1 m Länge und blitzartigem Aussehen.

§ 80. Die Lanesche Maßflasche. Zur relativen Messung der Ladungen einer größeren Leidener Flasche oder einer Batterie von solchen dient die

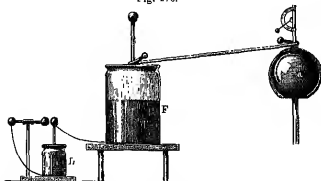


Lanesche Maßflasche. Sie besteht aus einer kleineren Leidener Flasche, deren Knopf *d*, Fig. 209, in veränderlichem und meßbarem Abstände eine Metallkugel *c* gegenübersteht, die mit der äußeren Belegung leitend verbunden ist. Wird die Flasche geladen, so tritt, sobald die Niveaudifferenz eine gewisse Höhe erreicht hat, eine Selbstentladung zwischen *d* und *c* ein. Die Elektrizitätsmenge, welche bis zum Moment der Entladung in die Flasche geströmt ist, ist jedesmal gleich groß, so lange der Abstand der Kugeln *d* und *c* der gleiche bleibt. Nimmt man diese Menge als eine relative

Einheit, so kann man mit ihr die Ladung einer

größeren Flasche oder Batterie auf folgende Weise messen (Fig. 210): Man isoliert die zu messende Flasche oder Batterie *F*, verbindet ihre Innenbelegung mit dem Konduktor der Maschine, ihre äußere Belegung mit dem Knopfe der Laneschen Flasche *L*, deren äußere Belegung zur Erde resp. zum zweiten Konduktor der Maschine geleitet ist.

Fig. 210.



Ladet man jetzt die innere Belegung von *L*, so fließt eine der zugeführten Ladung gleiche Menge von Influenzolektrizität zweiter Art aus der äußeren Belegung in die Maßflasche, und aus dieser durch die Funkenstrecke jedes-

¹⁾ Anzeigen der Wien. Akademie 1876, Bd. XV.

²⁾ Der im Göttinger elektrotechnischen Institut befindliche Apparat ist nicht öffentlich beschrieben worden.

81. Einfluß des Isolators auf die Kapazität; Dielektrizitätskonstante. 2119

mal zur Erde, wenn die Niveauendifferenz der Maßflasche die geeignete Höhe erreicht hat. Da jedem Funkentladung eine bestimmte Ladung der Maßflasche entspricht, so gibt die Zahl der Funken ein Maß für die Ladung der Flasche. Man mache die Funkenlänge der Maßflasche möglichst klein (1 bis 2 mm), da die Messung um so genauer wird, je größer die Zahl der Funken ist.

§ 81. Einfluß des Isolators auf die Kapazität; Dielektrizitätskonstante. Wir haben bisher die isolierende Zwischenschicht des Kondensators bloß als Schutz gegen Funkentladung zwischen den Elektroden betrachtet. Es besteht jedoch auch noch ein ganz spezifischer Einfluß des Isolators auf die Kapazität des Kondensators. Wenn auch gelegentliche Beobachtungen in dieser Richtung schon von Autoren des 18. Jahrhunderts gemacht worden (Muschenbroek, Wilke, Cuthbertson, Cavendish¹⁾, so blieb sie doch unter dem Einfluß der bald darauf durch Coulombs Versuche einen wichtigen Aufschwung nehmenden Fortwirkungslehre fast unbeachtet, und erst die Messungen Faradays im Jahr 1838²⁾ wirkten hier aufbrechend, insofern sie von Faraday als Beweis für seine Anschauung verwendet wurden, daß die elektrischen Vorgänge ebenso wie die magnetischen keine Fortwirkungen, sondern durch irgend eine Zustandsänderung in Zwischenmedium bedingt seien. Faraday verglich die Kapazität zweier kugelförmiger Kondensatoren von genau gleicher Abmessung, von denen einer einer Luft als Isolator hatte, während der andere zur Hälfte mit irgend einem festen oder flüssigen Isolator ausgefüllt werden konnte; die Kapazität des letzteren erwies sich stets als größer. Wegen der dadurch beobachteten Mitwirkung des Zwischenmediums bei dem Zustandskommen der Influenzvorgänge hielt Faraday die Bezeichnung des Mediums als „Isolator“ nicht für gut gewählt, da ja damit nur eine negative Eigenschaft, nämlich das mangelnde Leitvermögen, ausgedrückt sei. Er schlug deshalb den Namen „Dielektrikum“ vor, wodurch die Eigenschaft als Zwischenmedium gekennzeichnet ist. Wir wollen diese Bezeichnung hier adoptieren und sie überall da gebrauchen, wo der Einfluß des betreffenden Körpers auf die Verteilungs- und Gleichgewichtsercheinungen in Frage kommt. Dagegen ist dort, wo tatsächlich bloß die isolierende Eigenschaft in Betracht kommt, B. bei isolierenden Stützen, der Name Isolator beibehalten worden.

Faradays Versuche ergaben ausnahmslos, daß die Kapazität eines mit einem festen oder flüssigen Dielektrikum ausgefüllten Kondensators größer ist, als die des Luftkondensators, und daß der Unterschied von der Natur des Dielektrikums abhängt. Bei der Vergleichung verschiedener Gase oder anderer Medien des Luftdrucks fand Faraday keinen Unterschied; er wies jedoch darauf hin, daß möglicherweise seine Methode zu ungenau sei, um etwa bestehende kleine Unterschiede nachzuweisen. In der Tat ergab sich später (Tab. a. S. 215), daß die verschiedenen Gase nur ganz wenig voneinander abweichen.

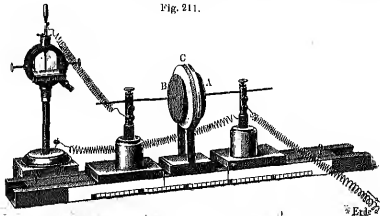
¹⁾ Letzterer führte bereits einige, wenn auch ziemlich rohe Messungen aus, deren Resultate mit denen späterer Beobachter teilweise übereinstimmen.

²⁾ Phil. Trans. Roy. Soc. Lond. 1838 u. ff. (Ostwalds Klassiker, 1908).

Da die angedeutete erste Versuchsanordnung Faradays ziemlich unhandlich und zu Vorlesungsversuchen kaum geeignet ist, so wollen wir zum Nachweis und zur Messung der fraglichen Erscheinung eine andere Anordnung benutzen, die aus einem Plattenkondensator, einem Elektrometer und einigen Platten aus verschiedenen Dielektrika besteht. Der Durchmesser der Kondensatorplatten betrage etwa 10 cm; ihre Entfernung muß in meßbarer Weise veränderlich sein. Fig. 211 zeigt, wie man sich eine derartige Anordnung mit Hilfe zweier Holzscher Fußklemmen und einer einfachen Schiebevorrichtung herstellen kann, die 10 bis 20 mm dicken Platten aus Paraffin, Schwefel, Hartgummi oder Glas werden mittels umgeschlungener Fäden auf Holzfüßen befestigt.

Erster Versuch: Wir leiten die Platte *A* des Kondensators zur Erde und verbinden *B* mit den Blättchen des Elektrometers, dessen Gehäuse eben-

Fig. 211.



falls zur Erde abgeleitet ist. Nachdem wir *B* eine geeignete Ladung zugeführt haben, schieben wir eine der dielektrischen Platten zwischen die Kondensatorplatten und finden, daß der Ausschlag des Elektrometers sich vermindert; der Betrag der Änderung hängt sowohl von der Dicke der dielektrischen Schicht, wie von ihrer Beschaffenheit ab, er ist z. B. für eine gut isolierende Flintglasscheibe oder eine Schwefelscheibe größer als für eine gleich dicke Paraffinscheibe.

Entfernen wir die Scheibe wieder, so nimmt der Ausschlag wieder seinen früheren Wert an (vorausgesetzt natürlich, daß alles gut isoliert ist).

Da die Ladung des isolierten Systems unverändert geblieben, die Niveaudifferenz der beiden Platten aber kleiner geworden ist, so folgt aus dem beschriebenen Versuch, mit Rücksicht auf Gleichung (1) in § 74:

A. Die Kapazität eines Luftkondensators wird durch Einschleiben einer dielektrischen Platte vergrößert.

Vor Fortsetzung unserer Betrachtungen sei auf einige Vorsichtsmaßregeln bei Ausführung der Versuche hingewiesen. Die einzuschleibenden Dielektrika müssen jedesmal vorher sorgfältig von etwaigen Ladungen befreit sein, indem man sie über eine Flamme zieht. Das Einschleiben geschehe, um Erzeugung von Reibungselektrizität zu vermeiden, möglichst ohne die Kondensatorplatten zu berühren. Man beachte möglichst rasch den zuerst entstehenden Ausschlag; bei längerem Stehen

ist das Elektrometer noch etwas weiter, und zwar wie wir nachher sehen werden, wegen der niemals ganz verschwindenden Lauffähigkeit des Dielektrikums bzw. der Oberfläche.

Zweiter Versuch: Wir wiederholen den ersten Versuch und verschieben nach Einführung des Dielektrikums durch Zurückziehen der Platte die Entfernung $A B$. Dabei steigt der Ausschlag des Elektrometers wieder erreicht bei einer gewissen Verschiebung x seinen ursprünglichen Wert.

Diese Verschiebung können wir als Maß für die Einwirkung des Dielektrikums betrachten. Ist d die ursprüngliche Dicke der Luftschicht zwischen den Platten, d' die Dicke des Dielektrikums, so hat sich durch Einsetzen des Dielektrikums die Luftschicht um d' vermindert; durch das Einanderschieben dagegen ist sie um x vermehrt, so daß die Abnahme der Luftschicht im ganzen $d' - x$ beträgt. Diese verschwindende Luftschicht ersetzen wir durch die Schicht d' des Dielektrikums ist im Kondensator der Luftschicht ($d' - x$) völlig äquivalent. Das Ver-
hältnis beider:

$$\frac{d'(d' - x)}{d} = \epsilon \quad (1)$$

den wir als „Dielektrizitätskonstante“¹⁾ bezeichnen.

Beispiel: Eine 13,5 mm dicke Paraffinplatte erfordert zur Kompensation ihrer Einwirkung eine Verschiebung von 8,0 mm. Also

$$\epsilon = \frac{13,5}{13,5 - 8,0} = 2,5.$$

Bei einer Schwefelplatte von 18 mm Dicke betrug die Verschiebung nun, also

$$\epsilon = \frac{18}{18 - 14} = 4,5.$$

Vergleiche die Tabellen auf S. 214.

B. Die Dielektrizitätskonstante gibt also an, wievielmal kleiner ein mit dem Dielektrikum ausgefüllter Plattenkondensator sein muß als ein Luftkondensator von gleicher Kapazität gleichem Flächeninhalt.

Im Text soll weiterhin für das Wort „Dielektrizitätskonstante“ die Abkürzung „D.K.“ gebraucht werden.

Da wir früher gefunden haben, daß für einen Plattenkondensator, solange Abstand klein gegen den Plattenradius ist²⁾, die Kapazität sich Plattenabstand umgekehrt proportional verhält, so kann die oben ge-
gebene Definition der D.K. auch durch die folgende ersetzt werden.

C. Die Dielektrizitätskonstante mißt das Verhältnis der Kapazitäten eines mit dem Dielektrikum gefüllten und eines gleich kleinen Luftkondensators.

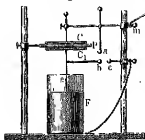
¹⁾ Der von Faraday vorgeschlagene Name „spezifische Induktionskapazität“ sich in Deutschland nicht eingebürgert.

²⁾ Für hohe Messungen mag als Grenze für den Plattenabstand etwa $\frac{1}{4}$ des Radius angenommen werden.

Definition C ist, weil in ihr nichts über die Gestalt des Kondensators vorausgesetzt wird, allgemeiner als B und soll späteren theoretischen Betrachtungen zugrunde gelegt werden.

Auf Definition C beruht eine namentlich für Demonstrationsversuche sehr bequeme Anordnung von E. Mach¹⁾, die in Fig. 212 abgebildet ist.

Fig. 212.



Der Plattenkondensator CC_1 kann mit verschiedenen dielektrischen Platten P von gleicher Dicke ausgefüllt werden. Mit den Entladungskugeln a und b zusammen bildet er eine Art Lamosche Maßflasche, die bei m mit einer Elektrisiermaschine in Verbindung steht. Durch den Kondensator hindurch ladet man die große Leidener Flasche F bis zum Übergang eines Funkens zwischen b und c . Die Zahl der hierzu nötigen Funken zwischen a und b ist, wenn alles bis auf das Dielektrikum unverändert gehalten wird, der D.K. von P proportional²⁾.

Man kann sich leicht überzeugen, daß die als D.K. definierte Zahl wirklich eine dem Material des Dielektrikums eigentümliche Konstante ist, daß man also denselben Wert erhält, wenn man einen der oben beschriebenen oder noch besser einen der weiter unten folgenden genaueren Versuche mit verschiedenen starken Ladungen oder mit verschiedenen Dielektrika des Dielektrikums oder der Luftschicht ausführt³⁾. Man sieht aus Gleichung (1) ohne weiteres, daß die Genauigkeit der Messung am größten wird, wenn das Dielektrikum den Kondensator möglichst ausfüllt, denn je größer d' , um so größer muß bei konstantem ϵ auch die Verschiebung x werden.

Dritter Versuch: Die bisher beschriebenen Versuchsanordnungen sind nur zu ganz rohen Bestimmungen geeignet. Für genauere Messungen kommt die Machsche Methode überhaupt nicht, die in Versuch I und II beschriebene nur dann in Betracht, wenn man über genügend dicke Platten verfügt, so daß die Niveauänderung einen erheblichen Bruchteil des ursprünglichen Niveaus beträgt. Viel größere Genauigkeit erhalten wir dagegen durch folgende Methode:

Wir verbinden die Elektrometerblättchen mit der Platte A (Fig. 211), die nur während der Ladungszufuhr zu B zur Erde abgeleitet ist, und dann isoliert wird. Wenn B gut isoliert ist, so bleibt auch nach Aufhebung der Ableitung von A der Elektrometerschlag dauernd Null⁴⁾.

¹⁾ E. Mach, Die Grundbegriffe der Elektrostatik, Zeitschr. d. elektrotechn. Vereins in Wien 1889.

²⁾ Nach jedem einzelnen Versuch sorge man für vollständige Entladung der Flasche F durch metallische Verbindung ihrer Poleungen mittels eines Drahtbügels; sonst kann ev. durch nicht vollständige Entladung der Flasche bei einem folgenden Versuch die Kapazität von F zu klein, oder aber durch „negative Restladungen“ (§ 78) zu groß erscheinen.

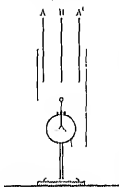
³⁾ Natürlich nur innerhalb der bereits mehrfach erwähnten Grenzen für den Plattenabstand.

⁴⁾ Ein „Überkriechen“ der Ladung von B auf A längs der Stützen verhindert man durch Ableitung der Füße der Holztischen Klammern, am einfachsten, indem man sie auf mit der Erde verbundene Blechstücke stellt. Benutzt man einen fertig gebauten Kondensator mit Glas- oder Hartgummiplätzen, so umwickelt man die unteren Enden der Füße mit abgeleiteten Stannierringen.

Wenn wir nunmehr ein Dielektrikum einschleichen, so entsteht ein Aus-
schlag des Elektrometers, der sich aber durch Verschieben der Platte *A* um
Strecke x wieder beseitigen läßt. Bei dieser „Nullmethode“ können
die Genauigkeit durch Anwendung eines möglichst empfindlichen Elektro-
meters¹⁾, sowie durch möglichst hohe Ladung von *B* beträchtlich steigern,
da selbst ganz geringe Änderungen der Kapazität sich nachweisen lassen.
Et z. B. Boltzmann diese Anordnung zur Bestimmung der D.K. von Theon,
welche nur äußerst wenig von 1 unterscheidet (s. Tab. auf S. 215), benutzte.
Vierter Versuch: Die oben beschriebene Methode läßt sich noch weiter
verbessern durch Benutzung einer bereits im wesentlichen von Faraday
geübten Anordnung, die von ihm als „Differentialinduktometer“ be-
zeichnet wurde²⁾ und das Prinzip der meisten modernen
Anordnungen zur Bestimmung der D.K. bildet.

Wir stellen die geladene Platte *B* mitten zwi-
schen zwei Platten *A* und *A'* (Fig. 213), von denen
eine mit den Blättchen und die andere mit dem
Stiel eines isoliert aufgestellten Elektrometers
verbunden ist. Wenn wir jetzt *B* laden, so darf bei
symmetrischer Anordnung der Platten kein
Aus- oder Einschlag des Elektrometers entstehen. Durch ge-
genüber Verschiebung der Platte *A* kann dieser Zu-
sammenhang kompenziert stets erreicht werden.
Kompenzation wird durch Einführung eines Di-
elektrikums zwischen *A* und *B* gestört, und läßt sich
wieder durch Verschiebung von *A* wieder herstellen. Nur
ist gegenüber der früheren einfachen Anordnung
es darin, daß es jetzt gar nicht mehr so sehr auf gute Isolation von *B*
ankommt, da im Falle vollständiger Kompenzation auch eine Ladungsänderung
von *B* keinen Ausschlag erzeugen kann.

Fig. 213.



Man kann deshalb an Stelle statischer Ladungen von *B* auch rasch wechselnde
Ladungen benutzen, wie sie etwa durch einen Induktionsapparat (s. Kap. „Induk-
tionen“) erzeugt werden, wobei man an Stelle des Elektrometers ein Telephon
nimmt³⁾; dies ist besonders für die Untersuchung solcher Dielektrika wichtig,
die merkliche Leitfähigkeit besitzen und sich deshalb mittels der bisherigen
Anordnungen nicht untersuchen lassen. Da nämlich die Wirkung der Leitung, wie
oben schon zuerst erwähnt, Zeit gebraucht, um bemerkbar zu werden,
so kann sie durch Anwendung rasch wechselnder Ladungen unschädlich
gemacht werden. Einem einfachen zu solchen Versuchen geeigneten Apparat hat E. Hertz

1) Bei Anwendung eines sehr empfindlichen Elektrometers muß man eventuell
während der Einführung des Dielektrikums die Platte *A* langsam verschieben,
den Ausschlag dauernd innerhalb der Grenzen des Meßbereiches zu halten.
Ein Nachteil von Differentialinduktometern ist die Empfindlichkeit in der Nähe der
Null sehr gering. Man kann dann so verfahren, daß man nach der Ladung
zunächst die Platten etwas auseinanderzieht, so daß ein kleiner Ausschlag
entsteht und dann nach dem Einschleichen des Dielektrikums die Plattenverschiebung
die wieder denselben Ausschlag erzeugt. Endlich kann man noch die ver-
wendeten Platten vergrößern, wenn man gerade umgekehrt verfährt und
angeschobenem Dielektrikum ladet und nun nach Entfernung des Dielektri-
kums die Platten zusammenrückt, bis der Ausschlag wieder der gleiche.

2) Exper. Unters. 8, 1867 bis 1871, Ostwalds Klassiker Nr. 126.

3) Wiedemann, Wied. Ann. 18, 181, 1860; 41, 782, 1890.

seht¹⁾ konstruiert; für genauere Messungen dient eine von W. Nernst²⁾ hergeleitete Anordnung. Unter Anwendung sehr rascher elektrischer Schwingungen (siehe Kap. „Elektrische Schwingungen“) gelang es K. Cohn und J. Arons³⁾, sogar die D.K. des Wassers, also eines bereits recht gut leitenden Körpers, zu bestimmen, wobei sich der sehr hohe Wert 76 ergab; spätere genauere Messungen ergaben im Mittel etwa 81.

Man kann die Empfindlichkeit der Methode noch verdoppeln, wenn man das Dielektrikum zuerst zwischen *A* und *B* einschleibt, dann *B* ladet und durch Ableitung von *A* und *A'* das Elektrometer auf Null bringt. Entfernt man jetzt das Dielektrikum aus *A B* und schiebt es zwischen *A'* und *B* ein, so muß man zur Kompensation des Ausschlags die linke Platte um eine doppelt so große Strecke verschoben wie vorher, so daß:

$$d'/(d' - x/2) = \epsilon, \dots\dots\dots (1')$$

Die folgende Tabelle enthält die Werte der D.K. für einige bekanntere feste und flüssige Körper⁴⁾:

Substanz	D.K.	Substanz	D.K.
Gewöhnliches Glas	4 bis 7	Methylalkohol	33
Optische Gläser	bis 10	Äthylalkohol	26
Olimmer	4 bis 8	Aceton	21
Gutapercha	2,5	Anilin	7,2
Kautschum	2 bis 3	Chloroform	5,2
Paraffin	2 „ 2,3	Ricinusöl	4,7
Porzellan	4 „ 7	Äthyläther	4,4
Schellack	2,5 „ 3,7	Schwefelkohlenstoff	2,5
Schwefel	3,6 „ 4,6 ⁵⁾	Xylol	2,2 bis 2,6
Eis	1,82	Toluol	2,5
Wasser	81	Benzol	2,3
Nitrobenzol	38	Petroleum	2,0

In Kristallen, die nicht dem regulären System angehören, ist die D.K. ebenso wie alle anderen physikalischen Eigenschaften von der Richtung abhängig. So ist sie z. B. im Kalkspat, je nachdem die Achse senkrecht oder parallel zu den Platten des Kondensators steht, gleich 8 oder gleich 8,5.

Für Kristalle, die nur in kleinen unregelmäßigen Stücken erhältlich sind, hat H. Starke⁶⁾ eine Methode zur Bestimmung der D.K. angegeben, die etwa der „Schwinnmethode“ zur Bestimmung von spezifischen Gewichten analog ist; man stellt sich aus mischbaren Flüssigkeiten von möglichst verschiedener D.K. ein Gemenge durch Ausprobieren derart her, daß die Kapazität eines mit diesem Gemenge als Dielektrikum angefüllten Kondensators sich nicht ändert, wenn man den betreffenden Kristall hineinbringt; dann

¹⁾ Zeitschr. f. phys. u. chem. Unterricht 16, 21, 1903.

²⁾ Zeitschr. f. phys. Chem. 14, 622, 1894.

³⁾ Wied. Ann. 38, 24, 1888.

⁴⁾ Zum Teil nach F. Kohlrausch, Lehrbuch d. prakt. Physik, 10. Aufl., zum Teil nach Winkelmanns Handbuch der Physik, 2. Aufl., Bd. IV., woselbst ausführliche Tabellen über alle bisher untersuchten festen, flüssigen und gasförmigen Körper zu finden sind.

⁵⁾ Je nach der Lage der Kristalle im Felde (s. weiter unten).

⁶⁾ Wied. Ann. 60, 629, 1897.

der Kristall dieselbe D.K. wie die Flüssigkeit, deren D.K. leicht zu ermitteln ist.

Das große Reihe verschiedenartiger Kristalle hat neuerdings (Smith¹⁾) nach der Starkoschen Methode untersucht und für einige auffällig große Werte der D.K. und große Unterschiede für die verschiedenen Richtungen gefunden. So ergab sich für Rutil:

$$\perp \text{ Achse: } \epsilon = 89; \quad \parallel \text{ Achse: } \epsilon = 178$$

Pyromorphit:

$$\perp \text{ Achse: } \epsilon = 26; \quad \parallel \text{ Achse: } \epsilon = \text{etwa } 150.$$

Nach für Gase und Dämpfe ist die D.K. von verschiedenen Beobachtern bestimmt worden. Die Zahlen weichen so wenig von 1 ab, daß es für unsere Angaben über feste und flüssige Körper gleichgültig ist, ob wir als Medium mit der D.K. $\epsilon = 1$ die Luft oder das Vakuum betrachten. Man aber einmal nachgewiesen, daß auch die Gase eine, wenn auch nur von 1 verschiedene D.K. haben, muß streng genommen das Vakuum zum Medium betrachtet werden. Folgende Tabelle enthält die D.K. für Gase nach Beobachtungen von L. Boltzmann²⁾. Alle Zahlen beziehen sich auf Atmosphärendruck und Zimmertemperatur:

Gas	ϵ	$\sqrt{\epsilon}$	n
Luft	1,000 300	1,000 205	1,000 204
Kohlensäure	1,000 346	1,000 473	1,000 449
Wasserstoff	1,000 264	1,000 132	1,000 138
Kohlensyd	1,000 090	1,000 345	1,000 346
Ethoxyd	1,000 094	1,000 407	1,000 503
Ethylendes Gas	1,001 812	1,000 956	1,000 878
Sumpfgas	1,000 944	1,000 472	1,000 443

Die nach ganz anderer Methode ausgeführten Beobachtungen von Kundt³⁾ stimmen mit den Boltzmannschen gut überein, was von der Bedeutung in Anbetracht der nicht unerheblichen Schwierigkeiten der Beobachtung ist.

In den letzten beiden Spalten der Tabelle enthalten eine merkwürdige Vorhersage auf Grund theoretischer Betrachtungen vorausgesetzte Werte:

Die Quadratwurzel aus der D.K. ist gleich dem optischen Brechungsindex.

Die Beziehung ist von Maxwell für alle Dielektrika vorausgesetzt (s. Kap. „Elektrische Schwingungen“); sie hat nicht jedoch für feste Körper nur in gewissen Fällen als angenähert, für Gase dagegen die Tabelle zeigt, als sehr genau gültig erwiesen.

Man hat vermutet, die Übereinstimmung außer bei Gasen noch bei gemischten Elementen zu sein, wie folgende Tabelle zeigt (nach

Ann. der Phys. [4] 9, 810 und 11, 113, 1892 und 1893.

Mon. Ber. 69, 795, 1874. Pogg. Ann. 135, 407, 1873.

Mon. Ber. 61, 1, 1885.

W. Schmidt, a. a. O.). Als Brechungsindex ist dabei der aus den Dispersionsformeln für ∞ lange Wellen extrapolierte Grenzwert angegeben.

Element	ϵ	n_{∞}^2	Element	ϵ	n_{∞}^2
Schwefel	3,59	3,59	Selen (amorph) . .	0,00	0,02
	3,83	3,89	Jod	1,00	?
	4,62	4,00	Bronz } flüssig . . .	3,10	2,53
Diamant	5,50	5,00	Chlor	1,88	1,87
Phosphor (gelb) . .	3,66	4,22			

Für Dämpfe in der Nähe ihres Kondensationspunktes ergeben sich nicht unbedeutende Abweichungen (s. z. B. Klemenčič, a. a. O.).

Geschichtete Dielektrika. Wenn das Dielektrikum eines Kondensators aus einer Anzahl verschiedenartiger Schichten von den Dicken d_1, d_2, \dots und den DK. $\epsilon_1, \epsilon_2, \dots$ besteht, so ist jede Schicht einer Luftschicht von der Dicke d/ϵ äquivalent (Gleichung 1), so daß der Kondensator dieselbe Kapazität hat wie ein Luftkondensator von der Dicke

$$d_0 = d_1/\epsilon_1 + d_2/\epsilon_2 + \dots \quad (2)$$

Die Kapazität des geschichteten Kondensators ist der Größe d_0 , die wir als die „äquivalente Dicke“ des gesamten Dielektrikums bezeichnen wollen, umgekehrt proportional. Besteht ein Teil des Dielektrikums aus Luft, so ist für diese einfach $\epsilon = 1$ zu setzen.

Man kann diese Gleichung benutzen, um für Flüssigkeiten die DK. nach einer der oben für feste Platten beschriebenen Methoden zu bestimmen, indem man sie in einem planparallelen Glaskrug, dessen DK. man vorher besonders bestimmt hat, zwischen die Kondensatorplatten bringt.

Verhalten der Metalle. Bringen wir eine isolierte Metallplatte oder sonst einen beliebigen Leiter oder Halbleiter zwischen die Kondensatorplatten, so entsteht in ganz gleicher Weise wie bei einem Dielektrikum eine Änderung der Elektrosterstellung, die durch eine Verschiebung kompensiert werden kann. Wir finden jedoch, abweichend von dem Verhalten der Dielektrika, daß die Verschiebung für alle Leiter dieselbe ist, und zwar genau gleich der Dicke der Platte. Wir würden also bei Benutzung der Gleichung (1), da jetzt $x = d'$ ist, erhalten $\epsilon = \infty$.

Die Leiter beeinflussen also die Kapazität eines Kondensators ebenso wie ein Dielektrikum von unendlich großer DK. Wir werden weiter unten sehen, daß diese Beziehung nur eine ganz formale ist, daß wir also nicht etwa annehmen dürfen, daß der Unterschied zwischen der Wirkung eines Leiters und eines Dielektrikums nur in einer Verschiedenheit der DK. besteht; es bestehen tiefgreifende physikalische Unterschiede, die aber erst später besprochen werden können.

§ 82. Mossoti-Clausiussehe Theorie der Dielektrika. Das oben beschriebene Verhalten leitender Körper in Verbindung mit der Gleichung (2) in § 81 für geschichtete Dielektrika genügt zum Verständnis des Grundgedankens einer von Mossoti und unabhängig von diesem später von

Clausius *) entwickeln Molekulartheorien der Dielektrika. Denken wir uns zunächst ein Dielektrikum aus unendlichdicken Schichten d_1, d_2 usw. eines Nichtleiters von der D.K. 1 und von Schichten δ_1, δ_2 usw. eines Leiters bestehend. Da die leitenden Schichten sich verhalten, als wären sie die D.K. ∞ , so sind sie Luftschichten von der Diek. Null äquivalent, und die äquivalente Diek. d_0 des Dielektrikums ist gleich der Summe der Dieken aller nichtleitenden Schichten, also

$$d_0 = d_1 + d_2 + \dots \quad (3)$$

Die wirkliche Diek. des Dielektrikums dagegen ist

$$d' = d_1 + d_2 + \dots + \delta_1 + \delta_2 + \dots + d_0 + \delta_n \quad (4)$$

Die Kapazität eines mit diesem Medium gefüllten Kondensators verhält sich also zu der eines gleichlichen Luftkondensators umgekehrt wie die äquivalenten Dieken, so daß wir für die D.K. erhalten.

$$\epsilon = (d_0 + \delta_n) / d_0 = 1 + \delta_n / d_0 \text{ oder } \epsilon = 1 + \frac{\delta_n}{d_0} \quad (5)$$

Für die D.K. über 1 ist also gleich dem Verhältnis der Dieke aller leitenden zu der aller nichtleitenden Schichten. Dagegen ist die Art der Unterteilung, ob dünne oder dicke Schichten, ob alle gleich dick oder verschieden, gänzlich gleichgültig. Clausius zeigt nun durch weitere, nicht ganz so einfache Überlegungen, daß man zu einem ähnlichen Resultat gelangt, wenn die leitenden Schichten nicht zusammenhängend sind, sondern aus beliebig verteilten, voneinander getrennten leitenden Körperchen bestehen, nur bedenten dann die beiden Größen δ_n und d_0 nicht mehr Schichtdicken, sondern die relativen Volumina der leitenden und der nichtleitenden Bestandteile. Er gelangt so zu einer Molekulartheorie der Dielektrika, die auf der Annahme beruht, daß die Moleküle des Dielektrikums sich wie leitende Körperchen verhalten, die in eine nichtleitende Umgebung (den Äther) von der D.K. 1 eingetaucht seien. An Stelle der Gleichung (5) tritt schließlich eine etwas andere, deren Form nach dem abhängt, welche Annahmen man über die Gestalt der Moleküle macht. Betrachtet man die Moleküle als Kugeln, so erhält man die „Maxwell-Helmholtzsche Gleichung“:

$$(\epsilon - 1) / (\epsilon + 2) = \frac{\delta_n}{d_0} \quad (6)$$

Es sei bereits hier bemerkt, daß die Molekulartheorie der Dielektrika in der hier angegebenen Form jetzt nicht mehr als den Tatsachen entsprechend angesehen wird, sondern daß man an Stelle der leitenden Moleküle sich jetzt jedes Molekül mit bestimmten unveränderlichen Mengen von gleichviel positiver und negativer Elektrizität denken kann. Jedes Molekül stellt dann ein „elektrisches Polypaar“ mit einem bestimmten „elektrischen Moment“ dar, ganz ähnlich wie man sich in der Molekulartheorie des Magnetismus (s. § 45) die Eisenmoleküle als magnetische Polypaare vorstellt. Diese Polypaare sollen sich unter dem Einfluß elektrischer Kräfte ein wenig drehen oder den Abstand ihrer Ladungen verändern können. Da die Wirkung schließlich ebenso wie bei der Annahme leitender Moleküle in einer Vertheilung von $\pm E$ in der einen und von $\mp E$ in der entgegengesetzten Richtung in jedem einzelnen Molekül besteht, so ist einleuchtend, daß beide Anschauungen zu ganz ähn-

*) Medann. Wärmetheorie, Bd. II, 1879.

einstimmenden Resultaten führen. Über die Analogie der Vorgänge in Dielektrika mit denen in paramagnetischen Körpern wird weiter unten noch ausführlicher die Rede sein. Hier sei nur ein nahegelegender Einwand widerlegt:

Man könnte nach Analogie vermuten, daß auch die Dielektrika eine Art elektrische Sättigung zeigen müßten, wovon in Wirklichkeit auch nicht die geringste Andeutung beobachtet wird. Der Widerspruch erklärt sich leicht aus der viel geringeren Intensität der praktisch erzeugbaren elektrischen Felder. Eine eigentümliche Bestätigung erhält die molekulare Anschauung auch durch die im folgenden Paragraphen besprochenen Erscheinungen.

Eine mathematische Diskussion der Molekularansehauung führt ebenfalls zu der Gleichung (6), nur daß jetzt die Größe δ_0 nicht mehr das Volum der Moleküle bedeutet, sondern mit der Drehbarkeit oder Dehnbarkeit der Polpaare zusammenhängt.

Dagegen bedeutet d_0 nach wie vor das gesamte Volum des Dielektrikums. Beziehen wir sowohl δ_0 wie d_0 auf die Masseneinheit, so daß die Dichte des Dielektrikums $s = 1/d_0$, so erhalten wir:

$$(\epsilon - 1)/(\epsilon + 2) \cdot 1/s = \delta_0 \quad . \quad . \quad . \quad (7)$$

worin δ_0 eine nur von den Eigenschaften der Moleküle abhängige Größe.

Nehmen wir nun an, daß sich bei Dichteänderungen durch Kompression die Eigenschaften der Moleküle nicht ändern, daß also δ_0 konstant bleibt, so folgt, daß der links in Gleichung (7) stehende Ausdruck bei Dichteänderung durch Kompression konstant bleiben muß.

Messende Versuche haben bei Vergleichung von Flüssigkeiten mit ihren Dämpfen bei gleicher Temperatur wenigstens annähernde Übereinstimmung ergeben¹⁾. Bei festen Körpern ist die mögliche Volumänderung zu gering, um eine Prüfung der Formel zu ermöglichen. Bei Gasen, deren DK. nur sehr wenig von 1 abweicht, geht sie über in:

$$(\epsilon - 1) s = \text{const.} \quad . \quad . \quad . \quad (8)$$

oder bei konstanter Temperatur

$$(\epsilon - 1)/p = \text{const.} \quad . \quad . \quad . \quad (9)$$

wobei p der Druck des Gases.

Gleichung (9) wird durch alle vorliegenden Beobachtungen bestätigt.

Über die Abhängigkeit der DK. von der Temperatur liegen u. a. Untersuchungen von Bäckström²⁾ für Gase, und von Taugl³⁾ für Flüssigkeiten vor. In beiden Fällen reicht die Messotti-Clausius'sche Gleichung nicht zur Darstellung der Resultate aus. Bei Flüssigkeiten zeigt sich ein starker Abfall der DK. in der Nähe der kritischen Temperatur.

§ 83. Elektrizitätsentwicklung in Kristallen durch Änderungen von Temperatur und Druck. Im Jahre 1707 beobachtete der schwedische Staatsmedikus Daumenius in dem Buche „Kuriose Spekulationen bei schlaflosen Nächten“ über die Beobachtung, daß erhitzter Turmalin eine Anziehung auf Aschenteile ausübte. Aepinus erkannte 1756, daß man es dabei mit elektrischen Kräften zu tun habe, und daß die beiden Enden des Kristalles

¹⁾ P. Lehmann, Wied. Ann. 44, 304, 1891.

²⁾ Zeitschr. f. phys. Chem. 30, 305, 1901.

³⁾ Ann. der Phys. (4) 10, 748, 1903.

gesetzte Pole haben, deren Orientierung von der Kristallstruktur abhängt. Er beobachtete entgegengesetzte Elektrisierung in der Wärme der Kulte. Canton wies 1758 nach, daß nicht der warme Zustand, die Änderung der Temperatur die elektrischen Erscheinungen hervorbringt (siehe jedoch weiter unten die Vermuth von E. Riecke), daß derselbe bei steigender und sinkender Temperatur entgegengesetzte Ladung erhält; er zeigte, daß ein zerschnittener Kristall wie ein gewöhnlicher Magnet wiederum beide entgegengesetzten Pole besitzt. Riecke entdeckte endlich, daß auch der brasilianische Topas diese Eigenschaften theilt. Diese Entdeckungen wurden von Haüy, Brewster, Köhler, Riecke, u. a. auf andere Kristalle ausgedehnt und erweitert. Von Brewster für diese Erscheinung die Bezeichnung Pyroelektrizität (von *pyr* = Feuer) eingeführt.

Ergänzt der Resultate der älteren Untersuchungen einzelner Kristalle durch wir auf die Zusammenstellung der Arbeiten von Runkel, u. a. in Wiedemanns Lehre von der Elektrizität¹⁾. (Langein²⁾ durch seine Versuche an Turmalinkristallen zu folgenden Sätzen:

Wenn man eine beliebige Anzahl von Turmalinen zu einer Batterie vereinigt, indem man ihre gleichnamigen Pole mit einem Kupferdraht abschließt, so ist die von ihnen gelieferte Elektrizitätsmenge gleich der Summe derjenigen, welche von den einzelnen Turmalinen unter denselben Umständen erzeugt worden wäre.

Wenn man eine Reihe von Turmalinen mit gleichem Querschnitt hintereinander schaltet, indem man die ungleichnamigen Pole durch Kupferdrähte verbindet, so ist die von der Reihe gelieferte Elektrizitätsmenge nicht größer, als die von einem einzelnen erzeugte.

Die von einem Turmalin entwickelte Elektrizitätsmenge ist proportional seinem Querschnitte und unabhängig von seiner Länge.

Die Elektrizitätsmenge, welche ein Turmalin entwickelt, wenn seine Temperatur um eine gewisse Anzahl von Graden sinkt, ist unabhängig von der dazu erforderlichen Zeit.

Bei einer Temperaturerhöhung wird ebenfalls Elektrizität entwickelt, wie bei einer gleich großen Temperaturniedrigung.

Die neueren Untersuchungen von E. Riecke³⁾ ergaben, daß man die Erscheinungen am einfachsten auf Grund einer von W. Thomson⁴⁾ (Lord Kelvin) entwickelten Theorie der Pyroelektrizität erklären kann.

Man nimmt an, daß die Moleküle des Turmalins eine permanente Polarisation in der Richtung der Seitenachsen besitzen. Man kann also einen Turmalin unlogisch konstituiert vorstellen, wie einen Magneten. Jedes der Molekülmagnete mit Nord- und Südpol treten Molekülen positiven und negativen Pole, und zwar liegen diese „molekularen Polepaare“ bei einem gewöhnlichen (isotropen) Dielektrikum in beliebiger Richtung durcheinander, sondern entsprechend der regelmäßigen Struktur der

¹⁾ Aufl. Bd. 1), § 376 bis 380.

²⁾ Phil. Mag. 42, 1204, 1850; 43, 518 u. 1122, 1850; 44, 628, 1857.

³⁾ Phil. Mag. 28, 33, 1866.

⁴⁾ Phil. Mag. [5] 3, 24, 1878.

Kristalle alle einander parallel. Ein Turmalinkristall ist also ein „permanent elektrischer Körper“ anzusehen, der diese Eigenschaft aber nicht, wie ein permanenter Magnet, erst durch besondere Manipulationen erhalten hat, sondern sie vermöge seiner Kristallstruktur von selbst besitzt. Während sich innerhalb des Turmalins die entgegengesetzten Fernwirkungen aufheben, kommt es gegen die Enden hin zu einer resultierenden, so daß dort, analog wie beim Magnet, Wirkungen auftreten, als ob daselbst eine freie elektrische Oberflächenschicht vorhanden wäre. Die Stärke der so entstandenen Polarität ist eine Funktion der Temperatur, ändert sich also beim Erhitzen und beim Abkühlen. Da nun aber die Oberfläche unter gewöhnlichen Umständen etwas leitend ist, so sammelt sich alsbald auf der Oberfläche der Pole eine elektrische Schicht, welche der von der molekularen Elektrizität herrührenden Ladung gerade entgegengesetzt ist und diese für gewöhnlich kompensiert. Erhitzt man den Kristall oder kühlt ihn ab, so ändert die molekulare elektrische Wirkung ihre Größe, die Kompensation durch die Oberflächenschicht wird zeitweilig gestört, der Kristall erscheint daher elektrisch. Bleibt die neue Temperatur längere Zeit konstant, so erlangt die Oberflächenschicht durch Leitung allmählich wieder die zur Kompensation nötige Ladung. Läßt man daher einen Turmalin längere Zeit in einem Heizraume von konstanter Temperatur, so zeigt er sich unmittelbar nach dem Herausnehmen nicht elektrisch, er wird es aber, während er sich abkühlt, weil die Änderung der molekularen Elektrisierung der Änderung der oberflächlichen Ladung vorausgeht. Hat die Abkühlung aufgehört und bleibt die niedrige Temperatur konstant, so heilt die Änderung der oberflächlichen Ladung jene der molekularen endlich ein, die Kompensation der elektrischen Wirkungen nach außen wird wieder hergestellt, der Kristall erscheint daher nicht mehr elektrisch. Dadurch erklären sich die eingangs erwähnten Resultate Cantons. Diese Theorie erhielt eine direkte Bestätigung durch den von R. Riecke erhaltenen Nachweis¹⁾, daß der erhitze Turmalin nach dem Abkühlen bei konstanter Temperatur längere Zeit nahezu permanent elektrisch erhalten werden kann, wenn man die Bildung der kompensierenden Oberflächenschicht verhindert. Dies erreicht man, indem man den erhitzten Turmalin an einem Korkfaden innerhalb der Glocke einer Luftpumpe aufhängt, deren Luft gut getrocknet, von Staub befreit und etwas verdünnt worden ist. An einem unter derselben Glocke aufgestellten Goldblattelektroskop, dessen Knopf einem der Turmalinpole nahe stand, konnte Riecke die permanente Ladung nachweisen, die manchmal tagelang konstant blieb.

Ebenso wie den Turmalin hätte man sich nach Thomson und Riecke auch die Moleküle der anderen pyroelektrisch erregbaren Kristalle als mehr oder weniger komplizierte Polysysteme vorzustellen, deren Anordnung in engem Zusammenhang mit den kristallographischen Symmetrieverhältnissen steht. W. Voigt²⁾ wies die permanente Polarität dadurch nach, daß er einen Turmalinkristall zerbrach; die Bruchflächen zeigten sich entgegengesetzt elektrisch. Außer solchen Kristallen, die wie Turmalin bei gleichmäßiger Erwärmung ihrer ganzen Masse elektrisch werden, gibt es andere, die nur

¹⁾ Wied. Ann. 31, 889, 1887.

²⁾ Wied. Ann. 60, 368, 1897.

durch ungleichmäßige Erwärmung erzeugt werden. Zu dieser Klasse ge-
hört u. a. der Quarz.

Eine aus einem Quarz (Bergkristall) senkrecht zur Hauptachse ge-
schnittene Platte erhält, wenn man sie mit der Mitte auf eine erwarzte
Metallplatte aufsetzt, eine elektrische Erregung, die aus sechs, abwechselnd
positiven und negativen Sektoren besteht.

Zur experimentellen Untersuchung des pyroelektrischen und des so-
wohl zu besprechenden piezoelektrischen Verhaltens der Kristalle hat
Kundt *) ein einfaches Verfahren angegeben. Man bestreut die Kristalle
auf ein engmaschiges Baumwollweb mit dem in § 44 erwähnten Gemisch
von Schwefel- und Meenigpulver. Da hierbei der Schwefel negativ, die
Meenige positiv elektrisch wird, so färbt sich die positiv elektrischen Stellen
durch den anhängenden Schwefel gelb, die negativen Stellen durch die
Meenige rot.

Auch durch Druck können Kristalle elektrisch werden, wie zuerst von
und P. Curie 2) beobachtet wurde. Die bei Kompression eines Turmalins
in Richtung seiner Achse entstehende sogenannte „Piezoelektrizität“ (von
πίζω (griech.) = drücken) hat das gleiche Vorzeichen wie die bei Abkühlung
entstehende Thermoelektrizität; da im ersten Fall durch die mechanische
Kompression, im zweiten durch die Zusammenziehung bei der Abkühlung
die Länge des Kristalls sich vermindert, so kann man versuchen, den elek-
trischen Zustand des Kristalls als bloß von seinen Dimensionen abhängig
betrachten, und so Piezo- und Pyroelektrizität auf eine gemeinsame Ur-
sache, nämlich die Dimensionsänderung, oder molekulartheoretisch gesprochen,
die Lageränderung der Moleküle, zurückzuführen. W. Voigt 3) hat diese
Annahme auf Grund der von E. Riecke und W. Voigt 4) früher aus-
geführten Messungen an Turmalin geprüft. Die Verfasser hatten folgende
Werte erhalten:

1. Die Erwärmung eines Turmalins um 1° erzeugt eine Elektrizi-
tät von 1,22 elektrischen Einheiten je. weiter unten § 261 pro Quadrat-
centimeter Querschnitt.

2. Ein Druck von 1 Dyne pro Quadratcentimeter erzeugt 0,77 Einheiten
pro Quadratcentimeter Querschnitt.

Kann man die Koeffizienten der Wärmeausdehnung sowie der elastischen
Zusammendrückbarkeit des Turmalins, so kann man berechnen, ob in beiden
Fallen gleichen Längenänderungen gleiche Erregungen entsprechen. Es ergibt
sich, daß etwa $\frac{1}{3}$ der pyroelektrischen Erregung durch die Längenänderung
bedingt werden; das übrige Sechstel stellt also einen reinen Temperatureinfluß
dar, der vielleicht die Beschaffenheit der Moleküle selbst andeutet.

Der Pyro- und Piezoelektrizität entsprechen zwei reziproke Phänomene,
nämlich Erwärmung mit Ausdehnung oder Abkühlung und Zusammenziehung
des Kristalls durch elektrische Influenzierung in der einen oder anderen
Richtung. Die Temperaturenderung durch elektrische Erregung ist auf
und allgemeinere thermodynamischer Betrachtungen zuerst von W. Thoms

*) Zeitschr. Akad. Ber. III, 421, 1891.

2) Compt. rend. III, 294 u. 303, 1880, III, 180, 1881, VII, 261, 1881.

3) Wied. Ann. III, 1630, 1898.

4) Wied. Ann. IV, 523, 1892.

son¹⁾ vorausgesetzt und von R. Straubel²⁾ experimentell³⁾ worden. Die Längenänderung haben G. Lippmann⁴⁾ und F. Pockels⁵⁾ theoretisch behandelt; der experimentelle Nachweis durch J. und P. Curie⁶⁾.

Eine vollständige Zusammenstellung der pyro- und piezoelectric Erscheinungen hat F. Pockels in Winkelmanns Handb. d. Phys. Bd. IV, gegeben.

¹⁾ Math. phys. papers I, 316, 1877.

²⁾ Gött. Nachr. 1902, Heft 2.

³⁾ Journ. de phys. [1] 10, 391, 1881.

⁴⁾ IV. Jahrb. f. Mineral., Beil., 7, 224, 1899.

⁵⁾ Compt. rend. 93, 1137, 1881. Journ. de phys. [2] 8, 144, 1881.

Viertes Kapitel.

Theorie des elektrischen Feldes.

Coulombsches Gesetz. Die bisherigen Beobachtungen über solche Erscheinungen waren im wesentlichen qualitativer Art; um spezielle Fälle haben wir zahlenmäßige Gesetze gefunden.

Doch nunmehr nach den allgemeinen Gesetzen zu suchen, aus früheren Spezialgesetzen hervorgehen. Dabei sind, ebenso wie bei Gesetzen des Magnetismus, zwei wesentlich verschiedene Wege

oder wir betrachten vom Standpunkt der Fernwirkungstheorie aus solchen Kräfte als Wirkungen, die die tatsächlich als inseparable verbunden gedachten „Elektrizitätsmengen“ in die Ferne aufeinander oder aber wir betrachten die beobachteten Kräfte und ihre Verhältnisse, d. h. das „elektrische Feld“ als das einzig Begegebene und dementsprechend läßt nach den Gesetzen der räumlichen Vertheilung dieses Feldes. Der Begriff „Elektrizitätsmengen“ bedeutet dann Abkürzung für ganz bestimmte nothwendige Wirkungen, wie bereits in § 10 angedeutet.

Die Betrachtungswegweisen sind im ganzen Bereich der Elektrostatik gleicher Weise geeignet, ein richtiges Bild der Erscheinungen zu geben; welche Anschauung zweckmäßiger ist, hängt von den Umständen ab. Wir wollen je nach Bedarf beide Vorstellungen und an besonders geeigneten Beispielen ihre völlige Gleichwertigkeit für die elektrostatischen Erscheinungen nachweisen.

Wir kehren zur Erklärung der ältesten historischen Versuche der Fernwirkung eingenommen. Das Dielektrikum sei, so lange es nicht anders gesagt, die Luft (genauer: das Vakuum).

Wir versuchen als erster im Jahre 1785 durch direkte Beobachtung ein Gesetz zu ermitteln, das die gegenseitige Einwirkung zweier geladener Körper darstellt.

Wir setzen an, daß die beobachtete Fernwirkung der Ladungen e und e' zweier Leiter (Fig. 214) sich als Resultante der Einzelwirkungen darstellt, die sämtliche auf den einzelnen Oberflächenelementen da und da' der beiden Leiter wirkenden Teilwirkungen $d\mathbf{e}$ und $d\mathbf{e}'$ aufeinander ausüben, und daß alle diese Teilwirkungen sowohl vom Betrage der Ladungen, als auch von ihren gegenseitigen Entfernungen r in noch zu bestimmender Weise abhängen, und ein experimentell auffindbares einfaches Gesetz nur dann erfüllen, wenn man zunächst die Entfernung der beiden Leiter groß

gegen ihre eigenen Dimensionen wählt, und außerdem den Leitern eine solche Gestalt gibt, daß die Ladungen möglichst gleichmäßig über ihre Oberfläche verteilt sind. Beide Bedingungen sind erfüllt, wenn man als Leiter zwei Kugeln nimmt, deren Durchmesser klein gegen ihre Entfernungen sind. Dann wird man zunächst annehmen können, daß trotz der gegen-

Fig. 214.

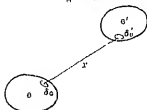
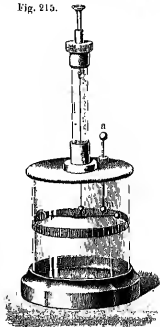


Fig. 215.



seitigen Influenz der Kugeln die Ladungen doch noch annähernd gleichmäßig verteilt sind, und daß man in erster Annäherung an Stelle der von Punkt zu Punkt variierenden Entfernungen die Entfernung der Kugelmittelpunkte als mittleren Entfernungswert einsetzen kann; außerdem kann man dann, da die einzelnen Verbindungslinien r annähernd parallel laufen, an Stelle der Resultante die algebraische Summe der Einzelkräfte setzen.

Coulomb konstruierte für seine Versuche die sogenannte „Drehwaage“.

Eine einfache Ausführungsform dieses Instrumentes zeigt Fig. 215. Von den beiden geladenen Kugeln m und n ist die eine (m) an einem isolierenden Stabe befestigt, mittels dessen sie durch ein Loch im Deckel des Apparates eingeführt werden kann. Die andere (n) befindet sich am Ende eines waagrechten dünnen Seilackstabes, der an einem dünnen Metalldraht hängt. Mittels des am oberen Ende des Apparates befindlichen, mit einer Gradteilung versehenen Torsionskopfes kann man der Kugel n eine beliebige Anfangslage erteilen.

Haben die Kugeln anfangs eine gewisse Entfernung r voneinander, so werden sie sich, wenn man beiden gleichnamige Ladungen e und e' erteilt hat, abstoßen; man muß dann dem Aufhängedraht eine gewisse Torsion erteilen, um die anfängliche Stellung wieder herzustellen. Da aber das Drehmoment eines tordierten Fadens dem Torsionswinkel proportional ist (Bd. I, § 108), so kann dieser als Maß für die Kraft zwischen den Kugeln dienen. Coulomb fand als Resultat seiner Versuche das nach ihm genannte Gesetz:

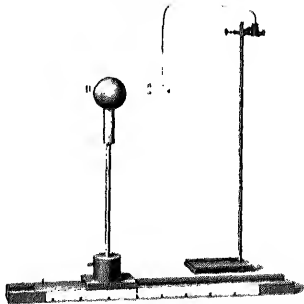
$$f = k \cdot e \cdot e' / r^2 \quad (1)$$

wo k ein von der Wahl der Einheit für e abhängiger Faktor. Das durch Gl. (1) ausgedrückte Gesetz stimmt in seiner Form durchaus mit dem ebenfalls nach Coulomb benannten Grundgesetz für die magnetischen Kraftwirkungen (s. § 16) überein.

Das Arbeiten mit der Hochwaage ist unendlich wegen der Ladungs-
verluste während der ziemlich beträchtlichen Dauer der Versuche mit erheb-
lichen Schwierigkeiten verbunden. Viel bequemer ist das in Fig. 210
gezeichnete, im Prinzip ebenfalls von Coulomb herührende Apparat, der
dem magnetischen Apparate der Fig. 18 entspricht.

Ein möglichst dünnes Schellackstäbchen von etwa 1 cm Länge hängt
an einem langen Kokonfaden und trägt an einem Ende eine Kugel a aus
eingelötetem Goldbleimark, am anderen als Gegengewicht eine kleine Schell-
ackkugel. Nähert wir dieser Vorrichtung eine sorgfältig isolierte Kugel B und

Fig. 210



von B und a , so wird sich a bei ungleichem Vorzeichen der beiden Ladungen
in der Figur gezeichnete Hohlkugel einstellen, bei gleichnamiger Ladung
in eine um 180° gedrehte Lage¹⁾.

Entfernen wir das Pendel ein wenig aus seiner Hohlkugel, so vollführt es
Schwingungen; ist n die Zahl der in einer bestimmten Zeit ausgeführten
Schwingungen und f die auf die schwingende Kugel wirkende Kraft, so ist

$$f \text{ proportional } n^2, \quad (12)$$

§ 11) oder f proportional $l \cdot l^2$, wo l die Schwingungsdauer. Machen
nun mehrere Bestimmungen von f bei verschiedenen Entfernungen l

¹⁾ Das obere Ende des Stäbchens befestigt man, wie in der Figur dargestellt, an einem
langen, horizontalen Draht oder Strahle, dessen anderes Ende an einem
Stützpunkt ist, oder man lasse den Faden von einem über dem Tische
hängenden Haken herabhängen. Jedoch sei die ganze Anordnung so gestellt,
dass durch Luftzug störende Körper sich in der Nähe der schwingenden
Kugel a befinden. Deshalb muß sich auch B möglichst hoch
über dem Tische und weit entfernt von der Wand befinden. Der Beobachter selbst
muß sich so weit wie möglich

zwischen den Mittelpunkt von B und a), aber konstant bleibender Ladung, so finden wir, daß der Quotient t/r konstant bleibt. Die etwaigen Ladungsverluste während der Versuchsdauer können wir dadurch eliminieren, daß wir die einzelnen Versuche in möglichst gleichen Zeitabständen ausführen und zwar zuerst bei wachsendem r , dann bei fallendem r . Aus je zwei Versuchen bei gleichem r , von denen aber einer bei wachsendem, einer bei fallendem r ausgeführt ist, nehmen wir dann das Mittel, das bei nicht allzugroßer Verschiedenheit der beiden Zahlen einem für alle Versuche gleichen mittleren Zeitpunkt entspricht.

Beispiel: Der Radius der Kugel B betrug 4,5 cm, der Radius der Kugel a betrug 0,7 cm. Es wurde die Dauer von je 10 Schwingungen beobachtet. Die Reihenfolge der Beobachtungen ist durch die Pfeile angedeutet. Die Ladungen der beiden Kugeln hatten entgegengesetztes Vorzeichen.

r	10	15	20	25	30 cm
t	10,5	20	32	44	50 Sek.
t	20	30	40	46	
t_{Mittel}	15	25	36	45	54
t/r	1,5	1,67	1,80	1,80	1,87

Aus der letzten Zeile folgt, daß t proportional r , also n proportional $1/r$ und die Kraft f nach (H. (2)) proportional $1/r^2$ ist.²⁾

Um die Abhängigkeit der Kraft von der Ladung zu zeigen, können wir durch Berührung entweder von B oder von a mit einer gleich großen ungeladenen Kugel eine der Ladungen halbieren. Durch zweimalige Ausführung dieser Operation, also Reduktion der Ladung auf den vierten Teil, wird die Schwingungszahl halbiert, die Kraft also auf den vierten Teil reduziert. So war z. B. bei einem Versuch mit $r = 20$ cm zunächst $t_1 = 32$. Nach Halbierung der Ladung von B wurde $t_2 = 19$, nach nochmaliger Halbierung wurde $t_3 = 26$. Nun verhält sich:

$$t_3 : t_2 : t_1 = 26 : 19 : 32 = 2 : 1,6 : 1,$$

also:

$$t_3^2 : t_2^2 : t_1^2 = 4 : 2,56 : 1,$$

während sich die Ladungen verhalten wie

$$1/4 : 1/2 : 1,$$

Die Kraft ist also der Ladung von B proportional; genau dasselbe Resultat findet man auch bezüglich der Ladung von a , wenn man diesen messbar

¹⁾ Für die praktische Ausführung empfiehlt sich folgendes Verfahren: Man messe zuerst die Radien der Kugeln und stelle dann den Maßstab, auf dem B steht, auf den Nullstrich der Skala, der der Summe beider Radien, also dem kleinsten möglichen r , entspricht. Sodann verschiebe man das ganze Gerüst vorsichtig bis zur Berührung beider Kugeln und klemme es in dieser Stellung am Tische fest. Dann liest man bei Verschiebung von B die Werte von r direkt ab.

²⁾ Daß t/r nicht völlig konstant ist, rührt zum Teil von Beobachtungsfehlern her; namentlich bei den langsamen Schwingungen wirken Luftströmungen sehr störend. Einschließen in eine Glocke ist nicht möglich, weil diese das elektrische Feld stört, ja sogar bei schlecht isolierender Glocke das Glas glänzlich auflösen würde (Schwimwirkung). Bei dem kleinsten Abstand ($r = 10$) wirkt bereits die Influenz störend, wodurch die Kraft etwas zu schnell wächst, also t zu klein wird.

Die Versuchsergebnisse lassen sich also in die eine Gl. (1) zusammen-

fassen, bei den nachher beschriebenen Versuchen stillschweigend angenommen, daß Abwesenheit jeder Ladung die Schwingungszahl Null sei, d. h. daß Schwingungen unter dem alleinigen Einflusse der Torsion des Aufhanges sehr langsam erfolgen, durch Beibringung eines geringen Reibens und Fadens läßt sich dieser Bedingung meist praktisch genügen. Will die Eigenschwingung aber berücksichtigt, so muß man, ebenso wie Berücksichtigung des Erdmagnetismus in § 12, die Differenz $(n'' - n')$ Maßstab der Schwingungszahlen mit und ohne Ladung der Kugeln als die Kraft betrachten.

Ebenfalls für Vorlesungsversuche geeignet ist eine Anordnung von Oil (s. Kollie, Einf. in d. Elektr. I, 53), der die bewegliche Kugel an einfachen Pendelfaden aufhängt und die Winkelablenkung aus der Lage als Maß der von der festen Kugel ausgehenden Kraft nimmt (s. auch

beschriebenen Versuche) ergeben zunächst das in Gl. (1) aus dem Kraftgesetze als angenähert richtig für kugelförmige Leiter in einiger gegenseitiger Entfernung. Wenn wir nunmehr versuchen, deren Wirkungen als die Resultante der von den einzelnen Flächen geladenen Leiter ausgehenden Einzelwirkungen zu betrachten, wir versuchsweise annehmen, daß für diese Einzelwirkungen das Coulombsche Gesetz streng gelte, und daß die für die Gesamtwirkung in Abweichungen davon herrühren, daß die Entfernungen der Punkte der Leiter ja verschieden groß sind, und außerdem einseitige Influenz die gleichmäßige Verteilung der Ladungen

entscheidend über die Zulässigkeit dieser Annahmen kann viel durch direkte Messungen durch Betrachtungen indukter Art werden. Wohl der genaueste Beweis für die fast mathematische Richtigkeit des Coulombschen Gesetzes wird durch den bereits in § 27, dargestellten Versuch von Cavendish geliefert; Cavendish bereits im Jahre 1772, also lange vor Coulomb, darauf hin, Versuch zu entscheiden, ob das gesuchte Kraftgesetz etwa ein Exponenten 2 im Nenner der Gl. (1) einen mehr oder weniger bestimmten Exponenten enthalte.

Es sich in der Tat beweisen, daß die Abwesenheit jeglicher Ladung eines beliebig gestalteten Leiters nur möglich ist, wenn das Coulombsche Gesetz gilt. Wir wollen den Beweis zunächst in ganz elementar für eine Kugel führen (der allgemeine Beweis für beliebige Leiter s. in § 80).

Den Punkt m , der sich irgendwo im Inneren einer Metallkugel befindet, sei ein sehr schmaler Kegel mit der Achse AM gelegt, Kugel die kleinen Flächen f_1 und f_2 herausheimschneidet. Wir verbinde M mit dem Kugelmittelpunkt O , dann ist das Dreieck AMH gleichseitig, also $\angle OAH = \angle OHA = \alpha$. Schneiden wir uns um m mit den Radien $r_1 = mO$ und $r_2 = mH$, so schneidet der

vielfach ganz vorgezeichneten elektrischen Beobachtungen Cavendishs, die bereits mehrfach zitierten im Jahre 1870 von Maxwell zurück bequem zugänglich gemacht werden.

Kegel aus diesen Kugeln Flächen f'_1 und f'_2 heraus, derart, daß:

$$f'_1/f'_2 = r_1^2/r_2^2.$$

Wenn der Kegel sehr schmal ist, so können wir die Flächen f_1 , f_2 , f'_1 und f'_2 als Ebenen betrachten und erhalten, da OA und OB senkrecht auf f_1 resp. f_2 und r_1 und r_2 senkrecht auf f'_1 resp. f'_2 :

$$f'_1 = f_1 \cos \alpha \quad f'_2 = f_2 \cos \alpha,$$

also auch

$$f'_1/f'_2 = r_1^2/r_2^2.$$

Die Kugel möge mit einer gleichförmig auf der Oberfläche verteilten Ladung versehen werden, wobei zunächst noch nichts darüber vorausgesetzt ist, ob eine solche reine Oberflächenladung auch wirklich einen Gleichgewichtszustand stellt. Die auf den Flächenelementen f_1 und f_2 vorhandenen Elektrizitätsmengen e_1 und e_2 verhalten sich demnach wie f_1/f_2 , also auch

$$e_1 : e_2 = r_1^2 : r_2^2,$$

was man

$$\frac{e_1}{r_1^2} = \frac{e_2}{r_2^2}$$

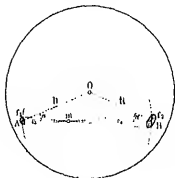
folgt. Diese Ausdrücke sind bei Annahme der Richtigkeit des Coulombschen Gesetzes proportional mit den Kräften, die von den Flächenelementen auf eine im Punkt m befindliche Einheit der Elektrizitätsmenge ausgeübt würden. Daraus

folgt, daß dieser Punkt, wenn er elektrisch wäre, zwischen den Einwirkungen der Ladungen e_1 und e_2 im Gleichgewichte stehen und gar keine Kraftwirkung erfahren würde. Da wir dieselbe Betrachtung auf alle solche einander gegenüberstehenden Flächenelemente der Kugeloberfläche ausdehnen können, so folgt, daß, wenn das Coulombsche Gesetz gilt, auf einen Punkt im Inneren einer Kugel von einer auf ihrer Oberfläche gleichmäßig verteilten elektrischen Ladung überhaupt keine Kraft ausgeübt wird. Bei reiner Oberflächenladung der Kugel herrscht also im Inneren Gleichgewicht, wenn das Coulombsche Gesetz gilt. Bei jedem anderen Kraftgesetz dagegen, wenn z. B. etwa an Stelle von r^2 eine andere Potenz von r zu treten hätte, müßte sich ein Teil der Ladung auch über das Innere einer geladenen Kugel ausbreiten, damit im Inneren Gleichgewicht herrscht und die elektrische Kraft überall gleich Null ist.

Da nun bei dem Versuche von Cavendish nachgewiesen wird, daß eine von einer Hohlkugel eingeschlossene Kugel bei Berührung mit jener keine Ladung annimmt, die Ladung also nur an der Oberfläche sitzt, so ist durch den Versuch die Richtigkeit des Coulombschen Gesetzes bewiesen¹⁾.

¹⁾ Cavendish selbst folgerte aus seinem Versuche, daß der Exponent von r im Coulombschen Gesetz nicht mehr als 0,02 von 2 verschieden sein könne. Spätere Versuche, die im Cavendish-Laboratorium in Cambridge unter Maxwells Leitung mit verbesserten Hilfsmitteln ausgeführt wurden, ergaben, daß die Abweichung kleiner als $1/10000$ sein müsse (s. H. Maxwell, Elektr. u. Magnetismus, Bd. I, § 75).

Weitere indirekte Beweise finden sich in den folgenden Paragraphen abgeleitet und durch die Erfahrung bestätigten Gesetzmäßigkeiten.



... auf das Innere fast ebenso wie eine geschlossene Hohlkugel. Eine
Hohlkugel aus Drahtgeflecht z. B. kann eine ganz geschlossene in ihrer Wir-
kung auf das Innere ersetzen.

Wie eben erwähnt, kann der Satz, daß die auf der Oberfläche einer
Hohlkugel im Gleichgewicht befindliche Ladung keine Kraft auf das Innere
ausübt, auf geschlossene Hüllen jeder beliebigen Form erweitert werden.
Nehmen wir uns an einer Kugel eine Seite zu einer eiförmigen Spitze er-
höht, so ist klar, daß bei gleichmäßig verteilter Ladung die Wirkung der
selbst befindlichen Flächenelemente auf einen Punkt im Inneren gegen-
einander den anderen zurücktreten würde, da ihre Entfernung größer wird. Soll
das Gleichgewicht fortbestehen, so muß an diesen vorspringenden Stellen die
Elektrizität größere Dichte haben.

§ 85. Absoluten elektrostatisches Maß der Elektrizitätsmenge.
Wir haben bisher von Elektrizitätsmengen gesprochen, ohne eine bestimmte
Einheit zu benutzen; wir erhalten eine solche aus dem Coulombschen
Gesetze, das für den Fall zweier gleicher Elektrizitätsmengen in die Form

$$f = k \frac{e^2}{r^2} \cdot \cdot \cdot \cdot \cdot \cdot \cdot \cdot \cdot (1)$$

übergeht, wo k eine von der Wahl der Einheiten für f , e und r abhängige
Konstante bedeutet. Nimmt man r in Centimetern, f in Dynen und setzt für
Luft (genauer für Vakuum) als Dielektrikum $k = 1$, so erhält man für die
Elektrizitätseinheit in absolutem Maß nach dem Centimeter-Gramm-Sekunden-
System:

A. Elektrostatische Einheit der Elektrizitätsmenge ist jene,
welche eine ihr gleiche Menge in dem Abstand in Luft (genauer
in Vakuum) mit der Kraft einer Dyne abstößt, d. h. mit einer Kraft,
welche der Masse eines Gramms in der Sekunde eine Beschleunigung von
 1 cm/sec^2 erteilen würde. Um diese Einheit zu bezeichnen, wollen wir
kurz schreiben: Elektrizitätseinheit (*egs*), während wir für die später
zu besprechende elektromagnetische Einheit zum Unterschiede die großen
Buchstaben (*CGS*) benutzen wollen.

Wie schon an anderer Stelle (§ 18) erwähnt, ist die Kraft einer Dyne
gleich dem Zug der Erde auf eine Masse von $\frac{1}{981} \approx 0,00102 \text{ g} \approx 1,02 \text{ mg}$.

Eine Holundermarkkugel von 0,7 cm Durchmesser wiegt etwa 0,0102 g und wird demnach von der Erde mit der Kraft von $981 \times 0,0102 = 10$ Dynon angezogen. Hängt man zwei solcher Kugeln an zwei 50 cm lange Kokoniden und ladet sie so stark, daß sie sich bis auf 10 cm Distanz abstoßen, so enthält jede der beiden Kugeln 10 absolute elektrostatische Einheiten.

Man findet zunächst aus dem Radius = 50 und den halben Sehne = 5 den Sinus des Ausschlagwinkels α jedes Pendels = 0,1. Die vertikale Kraft = 10 wirkt in der Richtung der Sehne mit der Kraft $f = 10 \cdot \sin \alpha \cos \alpha = 0,995$ oder rund gleich 1. Aus $\frac{e^2}{10^8} = 1$ folgt dann $e = 10$.

Die elektrostatische Einheit der Elektrizität ist demnach eine sehr kleine Elektrizitätsmenge; durch einmaliges Reiben einer Siegellackstange werden leicht mehrere Handerte solcher Einheiten entwickelt.

Genauere Methoden zur absoluten Messung von Elektrizitätsmengen werden in § 98 angegeben worden.

Bei Anwendung des absoluten elektrostatischen Maßsystems geht die das Coulombsche Gesetz ausdrückende Gl. (1) des vorigen Paragraphen über in:

$$f = e \cdot e' / r^2 \quad . \quad . \quad . \quad . \quad . \quad . \quad (2)$$

§ 86. Elektrisches Feld; Kraftlinien. Wir können von der Fernwirkungsvorstellung, wie sie im Coulombschen Gesetze ursprünglich enthalten ist, zur Faradayschen Nahwirkung übergehen, wenn wir den Raum, der einen elektrisch geladenen Körper umgibt, von einem „elektrischen Feld“ erfüllt denken, dessen Stärke und Richtung wir ebenso, wie beim magnetischen Feld, uns durch „elektrische Kraftlinien“ darstellen können. Die Richtung dieser Kraftlinien soll überall die Richtung darstellen, in der ein kleiner, mit + E geladener Körper sich in Bewegung zu setzen sucht; die Zahl der Kraftlinien bzw. Kraftreihen pro Quadratenheit soll die „elektrische Kraft“ (oder „elektrische Feldstärke“) darstellen, d. h. diejenige mechanische Kraft, die auf eine positive Elektrizitätseinheit ausgeübt wird.

Bezeichnen wir also die elektrische Kraft mit E , so ist die auf eine Ladung e' ausgeübte Wirkung f gleich:

$$f = E \cdot e' \quad . \quad . \quad . \quad . \quad . \quad . \quad (1)$$

Vergleichen wir dies mit Gl. (2) des vorigen Paragraphen, so erhalten wir als Ausdruck für die räumliche Verteilung des elektrischen Feldes um eine mit der Ladung e behaftete Kugel:

$$E = e / r^2 \quad . \quad . \quad . \quad . \quad . \quad . \quad (2)$$

In der Nahwirkungsvorstellung besagt also das Coulombsche Gesetz:

A. Das Feld im Abstände r von einer geladenen Kugel ist gleich dem Quotienten aus Ladung und Quadrat der Entfernung.

Betrachten wir bloß das Feld als real existierend, so ist die „Ladung“ e' einer Kugel bloß eine bequeme Abkürzung für das erfahrungsgemäß im ganzen Raume konstante Produkt $E \cdot r^2$. Über eine allgemeine Definition der Elektrizitätsmenge siehe weiter unten.

Gesetz lassen sich nunmehr für das elektrische allgemeine Grenzfalligkeiten ableiten, wie wir sie früher für das magnetische Feld gefunden haben. Die entsprechenden Sätze sollen nachmaligen ausführlichen Beweis hier einfach aufgezählt die Tatsache, daß es für die Elektrizität „Leiter“ gibt, für den dagegen nicht, wird zu einigen neuen Sätzen führen. Es daß der Leser die §§ 27 bis 31 behufs künftigen Verständnisses noch einmal durchliest. Wir können zunächst den statischen Gauss'schen Satz auch hier anwenden und schreiben:

$$\sum E_n d\sigma = 4\pi e_1 \quad (31)$$

die linke Seite die Gesamtzahl der in eine geschlossene Fläche eintretenden, und e_1 die von der Fläche eingeschlossene Ladung

im Gleichgewichtszustande elektrische Ladungen nur an den von Leitern oder Nichtleitern beenden können, so folgt ferner, daß für eine ganz in Luft (oder im Vakuum) verlaufende, andere Körper ausschließende, geschlossene Fläche stets ist, voraus wieder durch Anwendung auf ein beinahe bloß einer Kraftlinie folgt, daß ihr Querschnitt q , wenn er also gleich der reziproken Kraft $1/E$ gemacht, überall derselbe elektrische Kraftlinien durchziehen also, ebenso wie die den ganzen freien Raum „quellenfrei“ und ihre Dichte ist reziproken Kraft.

den Verlauf elektrischer Kraftlinien in ganz ähnlicher machen, wie es bei den magnetischen Linien mittels des Eisens geschieht; nur ist die Ausführung nicht ganz so einfach, und der Verlauf der Linien wird leichter durch Störstoffe praktisch erzeugbaren elektrischen Kräfte sind nämlich so, so ein auf einer Platte aufliegendes Pulver nur schwer von der Platte abzuheben; man muß deshalb zur Erzielung deutlicher Figuren Silber oder ein bestes nicht in Luft, sondern in einem flüssigen Aufschwamm verreiben. Eine fernere Schwierigkeit liegt darin, einen festen oder flüssigen Körper gibt, deren DK, so nahe an 1 wie man sie für den Linienverlauf ähnlich als indifferent hat, wie im magnetischen Falle die meisten Körper außer dem Eisenverlauf wird also durch die benutzte Unterlage stets mehr beeinflusst. Endlich stört bei Benutzung eines flüssigen Körpers die niemals ganz zu vermeidende Leitfähigkeit

Linien entstehen, muß das aufgeschwammte Pulver eine höhere DK, haben als die Flüssigkeit, sein spezifisches Gewicht der Flüssigkeit nur wenig überlegen, damit es sich ganz zu senkt. Die Flüssigkeit muß ein möglichst hohes Isolationsvermögen (Mindelebensdauer) besitzen. Am geeignetsten hat sich 1) eine Aufschwammung von etwa 0,5 g kristallisiertem (König) Terpentinol erwiesen. Das Terpentinol muß absolut und farblos sein (das doppelt rektifizierte der Apotheke).

Leipzig 1902; Phys. Zeitschr. 5, 462, 1902. Dasselbe auch in der 1. Auflage des Buches und Methoden.

Man erzeugt die Figuren in einer flachen Glasschale mit ebenem Boden, sog. Kristallisierschale, die auf einer dünnen Hartgummiplatte steht; letztere liegt mit ihren Rändern auf zwei hohen Holzklötzen, so daß sie in der Mitte völlig frei ist. Als Leiter dienen niedrige, etwa 1 cm hohe Zylinder oder hochkant gestellte Platten aus Messing, die mit einem angeklebten Zuleitungsdraht versehen sind und von Holtzschen Fußklammern gehalten werden. Von diesen führen Leitungen zu einer Leidener Flasche und einer kleinen Influenzmaschine. Die Schale muß möglichst erduntertiefenfrei aufgestellt sein. Für die Herstellung der Figuren gibt Sieddig folgende Anleitung:

1. Fertigstellung der ganzen Anordnung wie oben beschrieben.

2. Herstellung der Suspension in einem Becherglas.

3. Zwei- bis dreimaliges Abreiben der Leiter und des Schaleninneren mit Fliesspapier, welches mit Terpentinöl getränkt ist; dieses Verfahren vor jedem Versuch wiederholen.

4. Laden der Leidener Flasche (eher etwas zu schwach als zu stark; Spannung etwa 10 000 bis 15 000 Volt).

5. Nochmaliges kraftiges Anführen der Suspension und Eingießen in die Schale, so daß die Flüssigkeit etwa 1 cm hoch steht; entstandene Schaumbblasen durch ein kurzes Blasen über die Oberfläche entfernen.

6. Enge die Linienbildung nicht deutlich genug eintritt, Flasche stärker laden.

Sobald das Pulver sich nicht völlig abgesetzt hat, muß man durch langsames Weitdrehen der Maschine die Spannung möglichst konstant halten.

Die ganzen Versuche erfordern einige Übung, um gute Resultate zu liefern, gelingen dann aber auch absolut sicher. Die folgenden Figuren

Fig. 218.

Fig. 219.

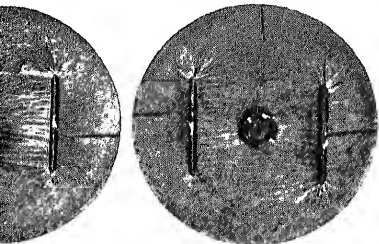


(Fig. 218 bis 221) zeigen einige Photographien nach derartigen Kraftlinienbildern in etwa $\frac{2}{3}$ der natürlichen Größe. Die Leiter, deren Gestalt ja aus den Figuren ohne weiteres erkennlich, sind stets entgegengesetzt geladen,

endet sich zwischen den geladenen Leitern noch ein zur Erde gehörender Zylinder. Wir kommen auf die Figuren noch weiter unten, vorläufiger Betrachtungen, zurück.

Nach erwähnten Störungen können die Kraftlinienbilder nur auszuweichen dienen, dagegen müssen gänzlich andere Methoden, um die aus dem Coulombschen Gesetz, bzw. dem darauf

Fig. 221.



in Gesetze des quellenfreien Verhaltens der Kraftlinien Theorie Folgerungen exakt zu bestätigen.

früher gefundenen, teils noch unangeordnete Gesetze für die Leitern und Leitersystemen, für die Verteilung der Ladungen bestimmten Gestalt und für die mechanischen Kräfte in Systemen sind die Mittel, mit denen wir die Richtigkeit unserer Aussagen an der Erfahrung prüfen können.

Niveauebenen; Potential. Wir können uns ein elektrisches Feld in § 49 das magnetische Feld, von einer Reihe von Flächen aus, die von den Kraftlinien überall senkrecht durchdrungen werden, als elektrische Niveauebenen bezeichnen wollen. Betrachtet man auf den Niveauebenen steht, so bedarf es keiner Arbeit, die Ladung längs einer Niveauebene zu verschieben. Ferner lässt sich von der Erhaltung der Energie die Arbeit, die bei der Ladung von einer Niveauebene zur anderen geleistet wird, dem durchlaufenen Wege sein.

Elektrischen Niveauebenen ziehen wir am besten in solchen Einheiten anzuwenden ist, um eine Einheitsladung zur nächsten zu befördern. Dazu ist, wenn E die elektrische Feldstärke zweier Niveauebenen

$$h = \frac{1}{E} \quad (1)$$

ist die Elektricität frei verschieblich und folgt den geringsten Widerständen. Gleichgewicht kann also nur dann vorhanden sein, wenn

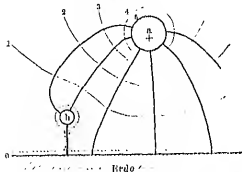
die elektrische Kraft keine der Oberfläche eines Leiters parallele Komponente besitzt, wenn also an der Oberfläche die Kraft senkrecht zur Oberfläche steht. [Daß dies wirklich der Fall, sieht man deutlich an den Kraftlinienbildern Fig. 218 bis 221.] Daraus folgt:

A. Im Gleichgewichtszustande ist die Oberfläche eines Leiters stets eine Niveaufläche.

Da die Erde ein Leiter ist, so gilt der gefundene Satz auch für sie und alle mit ihr leitend verbundenen Körper.

Denken wir uns den ganzen Raum zwischen einem \perp -goldenen Leiter (a) und der Erdoberfläche, sowie den etwaigen mit ihr verbundenen Leitern (b) mit Niveaulinien in dem durch Gl. (1) ausgedruckten Abstand erfüllt (Fig. 222, die dann gezogenen Linien sind Niveaulinien, die dick

Fig. 291.



gezogenen Kraftlinien), und diese mit fortlaufenden Nummern versehen, wobei die Erdoberfläche selbst die Nummer 0 erhält, so gibt die Nummer irgend einer Fläche die Arbeit an, die nötig ist, um eine Einheitsladung von der Erdoberfläche bis zu der betreffenden Niveaufläche aus irgend einem beliebigen Wege hinzuführen. Die Gesamtzahl der zwischen der Erde und dem Leiter liegenden Niveauflächen,

d. h. also die Nummer der Leitoberfläche (n) selbst, gibt die Arbeit an, die bei der Ueberführung der *Einheitsladung* von der Erde oder einem mit der Erde leitend verbundenen Körper bis zur Oberfläche von (n) erforderlich ist. Wir nennen diese Arbeit, ganz entsprechend der im magnetischen Falle gewöhnlichen Bezeichnung, das *elektrische Potential* des betreffenden Leiters. Ebenso kann wir die Nummer irgend einer Niveaulinie, als *Potential* eines auf dieser Fläche liegenden Punktes bezeichnen.

Wir haben früher gesehen (§ 511), daß das magnetische Potential im Abstände r von einer Magnetisierung m gleich m/r ist. Ganz entsprechend erhalten wir also auch für das elektrische Potential, das wir mit φ bezeichnen wollen:

$$Q = e^{-1}P \quad , \quad , \quad , \quad , \quad , \quad , \quad , \quad , \quad (2)$$

Dies gilt zunächst, als Folgerung aus dem Coulombschen Gesetze, nur für eine als punktförmig betrachtete Ladung. Ist dagegen irgendwo über einen Raum oder über eine Oberfläche verteilt, so haben wir es in der möglichst große Anzahl von kleinen Teilen da zu zerlegen; diese Teil-ladungen denken wir uns dann jede in der Mitte der ebenfalls sehr kleinen zugehörigen Flächenstücke da konzentriert und behandeln sie als punktförmig. Ist also dann r die Entfernung der Mitte von da von dem Punkte P , für den man das Potential berechnen will, so ist (s. Fig. 223):

[illegible]

nation über die ganze gegebene Oberfläche zu erstrecken ist. g derartigen Simulationen gelingt nur in ganz speziellen Fällen, dann aber sind Umständlichkeiten meist nur mittels höherer Methoden. Wir werden jedoch zugleich auch andere Methoden, die von g können herühren.

Die Methode besteht z. B. in der Anwendung des Gauss'schen Satzes, der einen äußerst einfachen Ausdruck für das Potential einer isolierten Kugel liefert.

Radius der Kugel (Fig. 223); aus Symmetrie folgt, daß die Ebenenflächen sind, die die gegebene Kugel konzentrisch

Fig. 223.



Fig. 224.



wird dabei angenommen, daß alle äußeren Leiter sich in der Ebene befinden. Es folgt aus Symmetrie, daß die Kraft in einer beliebigen Niveaufläche gleich groß ist und die Richtung hat. Sei E_R der Wert von E an der Leiteroberfläche, und r der Radius von R . Zwischen diesen beiden Flächen eingeschlossen, der keinerlei elektrische Ladungen enthält, für den Gauss'schen Satz

$$\sum E_n \Delta n = \frac{q}{\epsilon_0} \quad (1)$$

gilt, daß ebensoviel Kraftstrahlen aus der Fläche R die Fläche R' durchdringen müssen. Nun ist aber

$$\sum E_n \Delta n = E_R \cdot 4\pi R^2 = E_{R'} \cdot 4\pi R'^2 \quad (2)$$

den betrachteten Raum hinuntergerichtet, also positiv, $E_{R'}$ ist hinuntergerichtet, also negativ, wenn wir wie früher die positive Ladung als positiv betrachten. Setzen wir den Ausdruck (2) erhalten wir:

$$E_R = E_{R'} \frac{R'^2}{R^2} \quad (3)$$

wenn wir den Gauss'schen Satz auf den von der Leiter eingeschlossenen Raum anwenden, der die Ladung q enthält

$$\sum (E_R \Delta n) = 4\pi R^2 \cdot E_R = \frac{q}{\epsilon_0} \quad (4)$$

$$E_R = \frac{q}{4\pi R^2 \epsilon_0} \quad (5)$$

eingesetzt, ergibt

$$E_{R'} = \frac{q}{4\pi R'^2 \epsilon_0} \quad (6)$$

man kann beweisen, daß eine auf einer Kugeloberfläche gleichmäßig verteilte Ladung nach außen ebenso wirkt, als sei die Gesamtladung vereinigt und wirke von dort aus nach dem Coulomb'schen

schen Gesetze. Was aber für die Kraft gilt, das gilt natürlich auch für die Arbeit unter dem Einflusse dieser Kraft, also für das Potential.

B. Das von einer gleichmäßig geladenen Kugel herrührende Potential in einem Punkte außerhalb der Kugel ist gleich dem Potential der im Mittelpunkt vereinigt gedachten Gesamtladung.

Der Satz B. gilt nur für Punkte außerhalb der Kugel. Im Inneren ist die Kraft, wie bereits in § 84 bewiesen, Null. In der Tat ergibt ja der Gauss'sche Satz, auf die Oberfläche einer Kugel angewandt, deren Radius kleiner als R , da diese keine Ladung mehr einschließt:

$$-4\pi r^2 E_r = 0 \quad \text{oder} \quad E_r = 0.$$

Im Innern der Kugel wird also bei einer Verschiebung einer Ladung keine Arbeit geleistet, oder:

C. Im Innern der Kugel ist das Potential konstant und ebenso groß wie an der Oberfläche. Sein Wert ist:

$$\Phi = e/R \quad \dots \dots \dots (9)$$

Da die elektrische Kraft mit zunehmender Entfernung von einem geladenen Leiter rasch abnimmt, so können wir es zunächst als gleichgültig betrachten, ob wir das Potential als die Arbeit bei der Verschiebung einer Einheitsladung bis ins Unendliche, wie bei der Ableitung der Gl. (5) in § 50 angenommen wurde, oder aber nur bis an die mit der Erde leitend verbundenen Wände des Beobachtungsraumes betrachten. Gl. (9) stellt deshalb praktisch auch die „Potentialdifferenz“ der geladenen Kugel gegen die Erde dar, wenn nur die Entfernung aller anderen Leiter groß gegen R ist.

(Wir wollen im Folgenden stets das Potential an Leiteroberflächen mit Φ , im Raume mit φ bezeichnen.)

Sind zwei Kugeln mit den Radien R und R' miteinander leitend durch einen dünnen Draht verbunden, so müssen ihre Oberflächen und die Oberfläche des Verbindungsdrahtes notwendig eine einzige Niveaulinie darstellen, und das Potential muß auf dem ganzen System denselben Wert haben. Sind die Kugeln sehr weit voneinander entfernt, so tragen zu dem Werte der Summe $\sum \frac{de}{r}$ auf jeder Oberfläche praktisch nur die Ladungen der betreffenden Kugel selbst bei, während der Anteil der anderen Kugel wegen der großen Werte von r zu vernachlässigen ist. Dasselbe gilt von der Wirkung der Ladungen auf dem Drahte; wir werden weiter unten sehen, daß die Kapazität eines Drahtes um so kleiner, je geringer sein Durchmesser, und daß die Wirkung der auf dem Drahte vorhandenen Ladungen deshalb um so mehr zu vernachlässigen ist, je dünner der Draht ist (vgl. auch § 73). Das Potential jeder Kugel berechnet sich also aus ihrer eigenen Ladung so, als ob die andere gar nicht da wäre. Ist e die Ladung der einen, und e' die der anderen Kugel, so muß demnach wegen der Gleichheit beider Potentiale

$$e/R = e'/R' \quad \text{oder} \quad e/e' = R/R' \quad \dots \dots (10)$$

sein. Dies stimmt mit dem in § 73 gefundenen Resultate überein, daß die Kapazitäten zweier genügend weit voneinander und von sonstigen Leitern

verh alten sich wie die Radien verhalten. Wir haben ferner das die Kapazität K einer Kugel einfach gleich ihrem Radius R gesetzt, das Verhältnis von Ladung und Kapazität $e/K = e/R$ als das elektrische „Niveau“ der Kugel bezeichnet. Ein Vergleich mit Gl. (9) zeigt, „Niveau“ und „Potential“ identisch werden, wenn wir bei der damals geführten Niveaubezeichnung an Stelle der willkürlichen die absolute Einheit der Elektrizitätsmenge anwenden. Wir können also überall von § 74 den früheren Niveaubegriff durch den Potentialbegriff ersetzen die Kapazität eines Leiters folgendermaßen definieren:

$$K = e/\Phi \quad (11)$$

In Worten:

D. Kapazität eines Leiters (gegen Erde) ist die Ladung, die dem Leiter die Potentialdifferenz Eins gegen die Erde erteilt.

Wir werden in § 98 ein Mittel kennen lernen, Potentialdifferenzen in absoluten Maße zu bestimmen. Da ferner die Kapazität eines Leiters durch die Dimensionen bestimmt ist, so kann man eine Elektrizitätsmenge in absoluten Maße bestimmen, indem man das Potential mißt, zu dem sie einen von bekannter Kapazität aufladet.

Daß die Oberfläche eines Leiters eine Niveaulfläche sein muß, folgte aus der freien Verschiebbarkeit der Elektrizität auf einem Leiter und aus dem Gesetz von der Erhaltung der Energie für jedes beliebige Kraftgesetz. Daß im Falle einer geladenen Kugel das Potential gerade die Form der Gl. (9) annimmt, ist dagegen eine Folgerung aus dem Coulombschen Gesetz. Die bereits früher erfahrungsmäßig gefundene Proportionalität der Kapazität einer Kugel mit ihrem Radius ist also ein indirekter Beweis für die Richtigkeit des Coulombschen Gesetzes.

§ 88. Ladungsverteilung und Kapazität einfacher Leiter. Betrachtet man nunmehr einen beliebig gestalteten Leiter, auf dem die Ladung nicht an verschiedenen Punkten seiner Oberfläche verschieden groß ist (s. 228). Bezeichnen wir die Dichte der Ladung, d. h. die Elektrizitätsmenge pro Quadratzentimeter mit ρ , so ist $\rho \cdot \delta o = \delta e$ die auf einem kleinen Flächenelement δo vorhandene Elektrizitätsmenge. Für das Potential in einem Punkte P erhalten wir dann nach Gl. (2) des vorigen Paragraphen

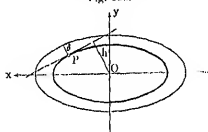
$$\varphi = \sum \delta e/r = \sum \rho \cdot \delta o/r \quad (1)$$

Liegt der Punkt P auf der Oberfläche selbst, so muß φ überall denselben Wert Φ besitzen, so daß das Problem der Gleichgewichtsverteilung der Oberfläche eines Leiters darauf hinausläuft, eine Verteilung zu finden, auf sämtlichen Punkten der Oberfläche denselben Wert von Φ ergibt. Eine solche Verteilung gefunden, so erhält man die Kapazität des Leiters, wenn man die gesamte Ladung $e = \sum \rho \cdot \delta o$ durch das zugehörige Potential dividiert.

Derartige Verteilungsprobleme gehören, wie bereits erwähnt, mit Ausnahme des oben behandelten Falles der geladenen Kugel, zu den komplizierten Problemen der mathematischen Physik und sind nur mit Anwendung höherer mathematischer Methoden zu bezwingen. Es muß genügen, die Resultate für einige wichtige Spezialfälle hier anzugeben und mit den Resultaten der Messungen zu vergleichen.

Eine mathematisch strenge und durch einen geschlossenen Ausdruck angebbare Lösung hat das Problem der Verteilung auf einen einfachen Leiter außer für die Kugel noch für das Ellipsoid gefunden; dieses ist von besonderer praktischer Wichtigkeit, weil eine Reihe leicht herzustellender Leiterformen als Spezialfälle des Ellipsoids zu betrachten sind. Sind a , b und c die drei Halbachsen des Ellipsoids, so geht dasselbe für $a=b=c$ in eine Kugel über. Sind bloß zwei Achsen einander gleich, etwa $a=b$, so haben wir ein Rotationsellipsoid mit c als Umdrehungsachse. Wird hierbei noch c sehr groß gegen a und b , so wird das Ellipsoid praktisch gleichbedeutend mit einem dünnen Drahtstück von der Länge $2c$ und dem Radius a . Wird endlich c unendlich klein, so erhalten wir eine flache Kreisscheibe vom Radius a .

Fig. 225.



mit drei verschiedenen Achsen betrifft, so ergibt die Theorie 1) folgendes einfache Resultat (Fig. 225): Man denke sich das Ellipsoid von einem zweiten, geometrisch ähnlichen, in geringem Abstand umgeben, dann ist die Dichte der Ladung an einem Punkte P proportional der Dicke δ der zwischen beiden Ellipsoiden eingeschlossenen Schicht.

Macht man den Mittelpunkt O des Ellipsoids zum Anfangspunkt eines rechtwinkligen Koordinatensystems und bezeichnet, wenn x, y, z die Koordinaten des Punktes P sind, zur Abkürzung mit h die Größe

$$h = \frac{1}{\left(\frac{x^2}{a^4} + \frac{y^2}{b^4} + \frac{z^2}{c^4} \right)^{1/2}} \quad (2)$$

und mit c die Gesamtstärke des Ellipsoids, so ist die Dichte im Punkte P :

$$\varrho = \frac{c \cdot h}{4 \pi a b c} \quad (3)$$

Für eine Kreisscheibe vom Radius a und der Gesamtstärke c erhält man²⁾, wenn man sie als Rotationsellipsoid mit sehr kleiner Achse c betrachtet, als Wert der Dichte in einem Punkte im Abstande r vom Mittelpunkt:

$$\varrho = \frac{c}{4 \pi \sqrt{a^2 - r^2}} \quad (4)$$

Am Rande ($r = a$) ergibt diese Formel $\varrho = \infty$; für eine unendlich dünne Scheibe, wie sie die Theorie voraussetzt, würde dies auch tatsächlich zutreffen; für eine wirkliche Scheibe von, wenn auch geringer, so doch endlicher Dicke ist natürlich auch am Rande die Dichte von endlichem Werte. Bei einer Vergleichung der Gl. (4) mit der Erfahrung wird man also Übereinstimmung nur in genügender Entfernung vom Rande erwarten können. Die folgende Tabelle enthält eine Vergleichung der von Coulomb im Jahre

¹⁾ Ellipschitz, *Crelles Journ.* 58, 1, 1859; (2. Neumann, *Pogg. Ann.* 113, 506, 1861.

²⁾ h ist die Länge des Loten von O auf eine an P gezogene Tangentialebene.

³⁾ W. Thomson (Lord Kelvin), *Reprint of papers*, p. 178, 1889.

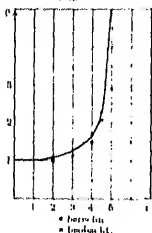
Abgleichung-vorstellung und Kapazität einfacher Leiter.
 Scheibe von 10 Zoll Durchmesser beobachteten, mit den von
 denselben Zahlen (nach Wiedemann, Elektr., 3. Aufl., 1, § 80).

	c	a	1	2	3	4	5	6
b	...	g	1	1,001	1,005	1,17	1,52	2,07
c	...	g	1	1,020	1,020	1,25	1,607	2,204

Wegen der nicht sehr großen Genauigkeit der Coulombischen
 man die Übereinstimmung (abgesehen vom Rand) als aus-
 reichen. Fig. 226 stellt die Resultate graphisch dar.

ergibt ferner für die Kapazitäts-
 Kreiselscheibe vom Radius a

Fig. 226.



$$K = 2a\pi \quad (5)$$

Wird eine Kugel vom Radius a
 ist das Verhältniss der Kapazitäten
 Kreisscheibe von gleichem Radius
 1,571.

schon hatte bereits Cavendish (im
 Kapazitäten von Kugeln und
 verglichen und als Wert des Ver-
 gefunden. Die Übereinstimmung
 ist ein Jahrhundert später er-
 ist in Anbetracht
 einen Mittel Cavendishs

gleich a und b gleich, während die dritte Achse c sehr groß
 von beiden ist, so erhalten wir ein sehr langgestrecktes
 1, das wir auch angenähert durch einen Zylinder von der
 und dem Radius a ersetzen können. Die Kapazität eines
 Maxwell(1):

$$K = \frac{L}{\log_{10} \left(\frac{2L}{a} \right)} \quad (6)$$

Wenn man die alten Beobachtungen von Cavendish mit
 den Resultaten der Theorie vergleicht, hat Cavendish
 Kapazitäten der in untenstehender Tabelle angeführten Kugel
 (der mit der einer Kugel:

	I	II	III	Kugel
L	72	54,2	35,8	12,1 engl. Zoll
$2a$	0,185	0,73	2,51	12,1
K	5,600	5,254	6,011	6,25
h	5,600	5,25	5,901	6,25

sind nur Relativwerte; es ist die Kapazität der Kugel einfach
 in Zollen gemessen und die Zahlen von Cavendish damit
 multipliziert, daß für die Kugel Übereinstimmung von

Die Übereinstimmung der beiden letzten Zeilen ist vorzüglich. Eine etwaige Wiederholung der Versuche kann am besten mit Hilfe eines genügend großen Faraday-Zylinders geschehen, in den man die zu vergleichenden Leiter nach vorheriger kurz dauernder Verbindung durch einen sehr dünnen Draht einzeln eintracht.

Aus Gl. (6) folgt, daß bei konstanter Länge L eines Drahtes die Kapazität um so kleiner wird, je geringer sein Durchmesser a . Damit wird ausser früher mitgeteilte Regel, daß bei Untersuchung von Kapazitätsverhältnissen miteinander verbundener Leiter der Verbindungsdraht möglichst dünn zu wählen ist, theoretisch begründet. Sei z. B. $L = 10$ cm und $a = 0,5$ mm $\approx 0,05$ cm, dann ist $2L/a = 400$ und $\lg \text{nat } 400 = 8,29$, also $K = 10,8,29 = 1,21$ cm.

Wird der Draht als Verbindungsstück mehrerer Leiter benutzt, so wird durch die Nähe dieser mit dem Draht gleichnamig geladenen Leiter seine Kapazität noch verringert, so daß sie gegenüber einigermassen großen Leitern kaum in Betracht kommt. Jedenfalls gestattet Gl. (6) stets zu entscheiden, welcher Fehler im ungünstigsten Falle durch Vernachlässigung der Kapazität des Verbindungsdrahtes begangen wird.

§ 29. Weitere Folgerungen aus dem Gauss'schen Satze. Wir wollen im folgenden einige früher rein empirisch gefundene Gesetze aus dem Gauss'schen Satze ableiten. Da der Gauss'sche Satz das Coulombsche Gesetz zur Voraussetzung hat, so wird durch die erfahrungsmäßige Richtigkeit der betreffenden Gesetze wieder auf indirektem Wege das Coulombsche Gesetz bestätigt.

Wir betrachten zunächst ein aus der Oberfläche eines Leiters abgegrenztes Flächenstück $\delta\sigma$ (Fig. 227), das so klein sei, daß wir die Ladungsdichte ρ auf ihm als konstant ansehen, also seine Ladung gleich $\rho \cdot \delta\sigma$ setzen können. Wir legen zwei Flächen parallel zu $\delta\sigma$, von denen die eine (1) außerhalb des Leiters in Luft, die andere (2) dagegen im Inneren der leitenden Substanz verläuft. Der Abstand beider Flächen sei sehr klein gegenüber dem größten Durchmesser von $\delta\sigma$. Beide Flächen bilden zusammen mit einer ihren Rand umgebenden zylindrischen Fläche einen geschlossenen Raum, der $\delta\sigma$ vollständig umgibt. Bilden wir über die Oberfläche dieses Raumes die Summe $\Sigma E_n \delta\sigma$, so trägt zu der Summe nur die Fläche 1 etwas bei; denn Fläche 2 liegt im Inneren der Leitersubstanz, wo im Gleichgewicht (für jedes Kraftgesetz) die Kraft Null sein muß, und die Zylinderfläche liegt parallel zur Kraft, so daß dort die Normalkomponente $E_n = 0$ wird. Wenn wir mit E'_n die ins Dielektrikum hinein, also von der Leiteroberfläche weg gerechnete elektrische Kraft bezeichnen, die ja senkrecht zur Oberfläche stehen muß, so wird nach dem Gauss'schen Satz:

$$\Sigma E_n \delta\sigma = -E'_n \delta\sigma = -4\pi \rho \cdot \delta\sigma$$

oder:

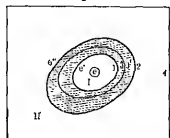
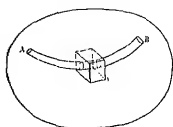
$$E'_n = 4\pi \rho \quad (1)$$

(Im folgenden wird, wo keine Verwechslung möglich ist, der Indexstrich an E wieder fortgelassen.)

Fig. 227.



on muß. Sei nun $A B$ eine solche Krafttröhre, längs welcher wir eine
Fig. 228. Fig. 229



theilung von A bis B bewegen wollen; dann müßte, da ja überall die
Bewegung in der Kraftrichtung erfolgt, dabei notwendigerweise eine positive
Arbeit geleistet werden, die gleich der Potentialdifferenz zwischen B und A
ist. Da nun aber B und A auf der Oberfläche eines im Gleichgewicht be-
findlichen Leiters, d. h. auf einer Niveaulinie (§ 87, Satz A.) liegen, so ist
die Potentialdifferenz und damit auch die Arbeit Null. Daraus folgt aber,
daß auch die Kraft längs des ganzen Weges gleich Null ist, daß also eine
Kraftlinie von einem Punkte der Oberfläche zu einem anderen ver-
laufende Kraftlinie gar nicht existieren kann. Wenn aber weder
eine Kraftlinie von einem Punkte der inneren Oberfläche zu einem anderen verlaufende, noch
eine Kraftlinie von einem Punkte der äußeren Oberfläche zu einem anderen verlaufende, noch
eine Kraftlinie, die im Inneren entpringende oder endende Krafttröhren existieren können,
folgt notwendig:

B. Im Inneren eines beliebigen geschlossenen Hohlraumes,
dessen Wand sich auf überall gleichem Potential befindet,
existiert keine elektrische Kraft, wenn keine isolierten
Ladungen in dem Hohlraum vorhanden sind.

Wir können uns nunmehr den Hohlraum beliebig mit leitender Substanz
ausfüllen denken; da keine elektrische Kraft im Inneren herrscht, so findet
keine Einwirkung auf die eingebrachten Leiter statt (die natürlich un-
verändert sein müssen) und das Gleichgewicht bleibt ungestört.

Wir gehen nunmehr zum Beweise des Faradayschen Influenz-
gesetzes (§ 72) über; ein hohler Leiter (Fig. 229) sei von den beiden
Müller-Pouillet-Faust. IV.

Flächen (1) und (2) begrenzt. In seinem Hohlraum befindet sich eine Ladung e , die man sich durch eine nachträglich verschlossene Öffnung eingeführt denken mag. Auf der Fläche (1) befindet sich die Ladung e' , auf (2) die Ladung e'' . Den Hohlraum bezeichnen wir als den Raum I, den Raum außerhalb des Leiters bis zur Wand des Beobachtungszimmers (Fläche 4) als den Raum II.

Durch das Innere der leitenden Masse selbst legen wir eine geschlossene Fläche (3), auf die wir den Gauss'schen Satz anwenden. Da im Innern des Leiters selbst die Kraft $E = 0$ ist, so folgt für die über die Fläche (3) erstreckte Summe:

$$\Sigma E_n \cdot \delta o = 0 = -4\pi(e' + e)$$

oder:

$$e' = -e \text{ (Faradaysches Influenzgesetz)} \quad (2)$$

• War der Leiter anfänglich ungeladen, so folgt von selbst

$$e'' = -e' = e \quad (3)$$

Wir leiten nunmehr den Hohlleiter zur Erde ab, d. h. wir bringen ihn auf dasselbe Potential, wie die Zimmerwand (4).

Dann ist der Raum II von den Wänden (2) und (4) begrenzt, die sich auf demselben Potential befinden. Weitere Ladungen sind in II nicht enthalten, somit ist nach Satz B. im ganzen Raume II die elektrische Kraft gleich Null. Damit ergibt sich die in § 66 gefundene Schirmwirkung einer abgeleiteten Hülle als Folgerung des Coulombschen Gesetzes.

Wenn der Hohlleiter abgeleitet ist und somit die Kraft im Raume II, also auch an der Fläche (2), überall gleich Null ist, so folgt aus Gleichung (1), daß auf der ganzen Fläche 2 auch die Ladungsdichte $\rho = 0$ ist; es ist also

$$e'' = 0 \quad (4)$$

wenn der Leiter abgeleitet ist und im Raume II keine weiteren Ladungen vorhanden sind.

Wir denken uns nunmehr den Hohlleiter durch einen längs der Fläche 3 geführten Schnitt in zwei ineinandergeschachtelte Teile zerhackten. Sei jetzt Fläche (3) die Außenfläche des innern und (3') die Innenfläche des äußeren Teiles.

Sind beide Teile des Leiters zur Erde abgeleitet, so befindet sich weder an 2 noch an 3 und 3' eine Ladung. Der innere Teil schirmt den äußeren vollständig gegen die Wirkung der in seinem Inneren befindlichen Ladungen e und e' . Wenn wir jetzt die Erdleitungen aufheben und der Fläche (2) eine beliebige Ladung e'' erteilen, so erfährt diese von den Innenladungen keine Einwirkung, ihre Gleichgewichtsverteilung ist also unabhängig davon, an welcher Stelle des Hohlraumes sich e befindet. Da ferner weder e'' für sich allein, noch auch e und e' zusammen eine Kraft an den Flächen 3' und 3 ausüben können, so ändert sich auch nichts, wenn wir jetzt die Schnittflächen wieder vereinigen.

Da wir nun über die Gestalt der Fläche 2, außer daß sie alleseitig geschlossen sein soll, nichts vorausgesetzt haben, so können wir auch die Oberfläche der Blättchen eines mit dem Leiter verbundenen Elektrometers noch hinzurechnen und finden somit als Folgerung des Gauss'schen Satzes:

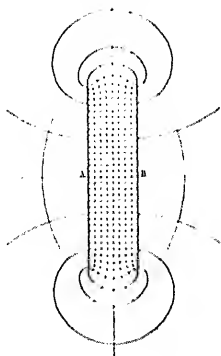
C. Die Ladungsverteilung auf einem mit einem Hohlleiter (Faraday-Zylinder) verbundenen Elektrometer und damit auch

lung, ist unabhängig von der Lage der in das Innere
gebrachten Ladung.

(Vergleichen Sie das Resultat des § 71.)

ganzlich eines Kondensators (s. auch § 94). Wir betrachten
jeden Platten bestehenden Kondensator; der Abstand der
Platten ist ihren Durchmesser (Fig. 230) l . Die Kraftlinien, die
von der einen Platte verlaufen, müssen auf beiden Platten senkrecht

Fig. 230.



senkrecht verlaufen, müssen auf beiden Platten senkrecht
einwirken. Sie müssen
gleichmäßig sein, wo
sich befinden, wo
sich befinden sind, wie
spezifizierte theoretische
zeigt, nur erfüllt, wenn
der Umgebung der
Platten, die Kraftlinien
zu Platten verlaufen
und die Niveaulinien
parallele Ebenen sind.
auch der Querschnitt
re lange ihrer ganzen
von einer Platte bis
zur anderen, die Kraft E
und die der Abstand
von gleich l/E , so ist
konstant. Wegen der
der Niveaulinien ist
auch lange einer
Niveaulinie konstant,
nicht dem Rande
ent. Daraus folgt:

Im ganzen Zwischenraum der Platten eines Kon-
densators mit Ausnahme der Nähe des Randes ist die elek-
trische Feldstärke konstant.

Die elektrische Feldstärke im Innern eines Plattenkondensators ist also ein
"Feld" (vgl. § 20).

Nachdem wir den Feldverlauf in der Nähe der Ränder und an
den Platten und vergleichen die Figur mit den experimentell
erhaltenen in Fig. 210. Da die Dichte der Kraftlinien außen viel
kleiner als innen, so folgt nach § 80, Gleichung (1), daß auch die
elektrische Feldstärke viel geringer ist und der wesentliche Teil der Ladung
auf der inneren Platte sitzt.

Nach Maxwell, Elektrizität und Magnetismus, I. Teil VIII. 10.
Kapitel, die Niveaulinien schwach ausgezogen.

Ist die eine Platte auf dem Potential Φ_A , die andere auf dem Potential Φ_B , so ist $\Phi_A - \Phi_B$ die Arbeit, die bei der Verschiebung einer Einheitsladung von der Platte A zur Platte B gewonnen wird. Ist E die (nach Satz A. konstante) elektrische Kraft zwischen den Platten, d der Plattenabstand, so können wir die Arbeit auch als Produkt von Kraft und Weg ausdrücken; wir erhalten also:

$$E \cdot d = \Phi_A - \Phi_B \text{ oder } E = (\Phi_A - \Phi_B) \cdot d \quad (1)$$

Da die Niveaulinien in konstantem Abstände aufeinanderfolgen, das Potential zwischen den Platten also überall mit gleicher Geschwindigkeit beim Fortschreiten längs einer Kraftlinie sich ändert, so mißt $E = (\Phi_A - \Phi_B)/d$ auch die räumliche Änderungsgeschwindigkeit des Potentials, das „Potentialgefälle“, zwischen den Platten.

Nach Gleichung (1) des vorigen Paragraphen ist ferner $E = 4\pi q$; ist also $\Phi_A > \Phi_B$, so ist E an der Platte A ins Dielektrikum hineingerichtet oder positiv, also auch q positiv. An der Platte B ist E vom Dielektrikum zur Platte gerichtet, also q negativ. Da ferner E , somit auch q , abgesehen von der Nähe des Randes, konstant ist, so wird, wenn q die innere Oberfläche einer Platte bedeutet, die gesamte Ladung einer Platte:

$$e = q \cdot q = b/q/4\pi = (\Phi_A - \Phi_B) \cdot q/4\pi d \quad (2)$$

Die Kapazität K ist gleich derjenigen Ladung, die die Potentialdifferenz t hervorbringt, also:

$$K = q/4\pi d \quad (3)$$

oder in Worten:

B. Die Kapazität eines Plattenkondensators ist der Oberfläche direkt, dem Abstände der Platten umgekehrt proportional.

Dieser in § 78 empirisch gefundene Satz ist bloß angenähert gültig, weil in der Nähe des Randes die Ladung nicht mehr gleichmäßig verteilt ist und sich ferner auch auf der Rückseite der Platten eine geringe Ladung befindet. Eine genauere Lösung mit Berücksichtigung der „Randkorrektur“ hat Kirchhoff¹⁾ gegeben.

Die angenäherte Gleichung (8) gilt auch dann noch, wenn der Kondensator aus einander parallelen gekrümmten Flächen besteht, deren Abstand überall klein gegen den Krümmungsradius ist.

Daß, nach Gleichung (2), die Ladung e des Kondensators nur von der Potentialdifferenz der Elektroden, nicht von den Absolutwerten der

¹⁾ Berl. Akad. Ber. 1877. Die vollständige Formel für die Kapazität eines Kondensators, der aus zwei kreisförmigen Platten vom Radius R , dem Abstand d und der Plattendicke b besteht, und dessen eine Platte abgeleitet ist, lautet (angewandt und nur gültig, solange d und b klein gegen R sind):

$$K = \frac{R^2}{4d} + \frac{R}{4\pi} \left[\log_{nat} \frac{18 \cdot (d+b)R}{d^2} + \frac{b}{d} \log_{nat} \frac{d+b}{b} + 2 \right],$$

für ∞ dünne Platten ($b = 0$) geht diese Formel in die Clausius'sche über.

$$K = \frac{R^2}{4d} + \frac{R}{4\pi} \left[\log_{nat} \frac{18 \cdot R}{d} + 2 \right].$$

Nach Messungen von J. Otomenele (Wiener Akad. Ber. 1882) stimmen beide Formeln gut mit der Erfahrung überein.

wach an der Innenseite der äußeren Kugel, wenn sie zur Erde abgeleitet ist, nach § 72 und 80 eine unendliche -- e . Beide Ladungen sind gleichmäßig verteilt. Das Potential der äußeren Kugel ist gleich der Summe der Potentiale, die jede Ladung für sich hervorbringen würde, also:

$$\Phi_a = e r_a + e r_a = 0;$$

denn nach § 87 wirken die auf den Kugeln gleichmäßig verteilten Ladungen so, als wenn sie im Mittelpunkt konzentriert wären.

An der inneren Kugel ruft die eigene Ladung das Potential $e r_i$ hervor. Die äußere Ladung dagegen gibt, als auf der Oberfläche eines rings geschlossenen Raumes befindlich, für sich allein keine Kraft im Innern, und das von ihr herrührende Potential hat im Innern denselben Wert wie auf der Oberfläche r_a , nämlich $e r_a$. Das ganze Potential auf der inneren Fläche ist also:

$$\Phi_i = \Phi_a = e (1/r_i + 1/r_a) \quad (4)$$

Ist die äußere Kugel nicht zur Erde abgeleitet, sondern besitzt noch auf ihrer Außenseite eine Ladung e'' , so kommt sowohl zu Φ_a , als auch zu Φ_i noch der Betrag e''/r_a hinzu, die Differenz bleibt also ungetroffen (vgl. § 75, Satz 2.).

Aus Gleichung (4) folgt für die Kapazität, also diejenige Ladung e , für die $\Phi_i - \Phi_a = 1$, der Wert:

$$K = r_a \cdot r_i / (r_a - r_i) \quad (5)$$

Eine experimentelle Prüfung dieser Gleichung ist von Haugrain¹⁾ ausgeführt worden, wobei sich gute Übereinstimmung ergab.

Ist die Differenz der Radien $d = r_a - r_i$ klein gegen den mittleren Radius r , so kann man annähernd schreiben:

$$K \approx r^2/d \quad (5')$$

wes durch Erweiterung mit 4π übergeht in $K = q/4\pi d$, wo q die Oberflache der Kugel; Gleichung (5') ist also mit der allgemeinen Annäherungsgleichung (3) identisch.

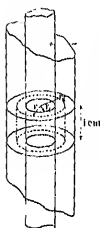
¹⁾ Ann. de chim. et phys. XL, 174, 1862.



h) Zylinderkondensator.

Der Kondensator bestehe aus zwei konzentrischen Kreiszylindern, die wir zunächst als unendlich lang betrachten wollen (Fig. 232). Nach Symmetrie müssen die Kraftlinien alle geradlinig und radial verlaufen. Schneiden wir also aus dem Kondensator durch zwei Schnitte, die senkrecht zur Achse gezogen und 1 cm voneinander entfernt sind, eine Scheibe heraus, so besitzt die elektrische Kraft keine Komponente senkrecht zu diesen Schnittflächen.

Fig. 232.



Seien wieder r_1 und r_2 die Radien der beiden leitenden Zylinder und r derjenige einer zwischen beiden gelegenen, beliebig gewählten Zylinderfläche. Wir wenden den Gaußschen Satz auf den Raum an, der von dieser Fläche mit dem Radius r und den beiden Schnittflächen eingeschlossen ist. Die elektrische Kraft K_r (positiv gerechnet in Richtung der wachsenden r) ist senkrecht zu der Zylinderfläche, und parallel den Schnittflächen, sie ist also die über die ganze innere Oberfläche des betrachteten Raumes erhaltene Summe:

$$\sum E_n \delta a = \dots = 2\pi r \cdot E_r = \dots = 2\pi r_1 \cdot \dots \quad (8)$$

wenn r_1 die auf einen Stütz des inneren Zylinders von 1 cm Länge vorhandene Ladung ist. Daraus folgt:

$$E_r = \dots = 2 r_1 / r \quad (9)$$

Im Zwischenraum zwischen zwei unendlich langen, gleichmäßig geladenen Zylindern ist also die elektrische Kraft der ersten Potens der Entfernung von der Achse umgekehrt proportional. Verschieben wir eine Einheitladung um δr , so ist die geleistete Arbeit $E_r \cdot \delta r$; die Arbeit ist aber auch gleich der Abnahme des Potentials $\delta \Phi$ längs des Weges δr ; es ist also:

$$-\delta \Phi = E_r \cdot \delta r = 2 r_1 \cdot \delta r / r \quad (10)$$

Nun ist aber $\delta r / r$ gleich der Änderung von $\lg_{nat} r$; denn es ist:

$$\delta (\lg_{nat} r) = \lg_{nat} (r + \delta r) - \lg_{nat} r = \lg_{nat} (1 + \delta r / r).$$

Ist nun δr sehr klein gegen r , so kann man nach einem bekannten Satz über die Eigenschaften des natürlichen Logarithmus schreiben:

$$\lg_{nat} (1 + \delta r / r) \approx \delta r / r.$$

Also:

$$\delta (\lg_{nat} r) = \delta r / r.$$

Somit wird

$$-\delta \Phi = 2 r_1 \cdot \delta (\lg_{nat} r) \quad (11)$$

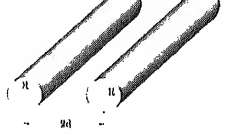
Nehmen wir nun beiderseits die Summe aller Änderungen von dem Anfangswert für $r = r_1$ bis zum Endwert für $r = r_2$, so erhalten wir einfach die Differenz von End- und Anfangswert, also:

$$\frac{(\Phi_1 - \Phi_2)}{2 r_1} = \lg_{nat} r_2 - \lg_{nat} r_1 = \lg_{nat} (r_2 / r_1) \quad (12)$$

Setzen wir jetzt wieder die Potentialdifferenz gleich 1, so wird $\epsilon_1 = K_1$, d. h. gleich der Kapazität pro Centimeter Länge eines unendlich langen Zylinderkondensators, oder:

länge im Verlauf der ganzen den angenommenen geometrischen
Wir können deshalb die Kapazität eines endlichen Zylinders
von der Länge L aus zwei Summanden (K_1, L) und K_2 zu
von denen der eine proportional der Länge wächst, der
den Einfluß der für die Berechnung nicht zugänglichen
"Endkorrektur", darstellt. Haben wir also einen Zylinder

Fig. 214



kondensator von variabler Länge, so läßt sich seine
Kapazität durch eine Formel von folgender Gestalt
darstellen:

$$K = K_1 \cdot L + K_2 \quad (13)$$

wobei für K_1 entweder Gleichung (11) oder (11') ein-
zusetzen ist.

Diese Formel gilt z. B. für den in Fig. 186 u. 187
dargestellten regulierbaren Gerdienchen Zylinder
kondensator. Hat man zwei Zylinderkondensatoren
dieser, aber verschiedener Länge, so ist zwar die Kapazität jedes
berechenbar, wohl aber ihre Differenz, die man einfach durch
den Ausdruck (11) mit der Längendifferenz erhält. Man
kann dann unter Anwendung geeigneter Meßmethoden als
Mittel zur Bestimmung anderer Kapazitäten benutzen. Fig. 215:
Normalkapazität nach H. Gerdien¹⁾, dieselbe besteht aus
einem Zylinderstück, auf das bei A und B ein äußeres und ein inneres

¹⁾ Zeitschr. f. 294, 1904. Fabrikant Spindler u. Hoyer, Göttingen.

Zylinder aufgesetzt werden. Der innere Zylinder ist durch einen Bernsteinpfropf isoliert. Es gehören zu dem Kondensator je zwei äußere und innere Zylinder von gleichem Durchmesser, aber von für beide Zylinder um den gleichen Betrag verschiedener Länge.

Es sei noch ohne Beweis die Formel für die gegenseitige Kapazität eines für spätere Untersuchungen wichtigen Systems angegeben, das aus zwei unendlich parallelen Zylindern vom Radius R und Achsenabstand $2d$ besteht (s. Fig. 234). Es ist die Kapazität pro Längeneinheit:

$$K = \frac{1}{4} \frac{1}{\lg_{\text{nat}} d} \left(1 + \frac{1}{\sqrt{1 - \frac{d^2}{R^2}}} \right) \quad (14)$$

oder, wenn R klein gegen d , ungenähert¹⁾:

$$K_1 = \frac{1}{4} \frac{1}{\lg_{\text{nat}} d} \frac{1}{1 - \frac{d^2}{R^2}} \quad (14')$$

§ 91. Verteilungsproblem mit elektrischen Bildern. Ist schon die Aufgabe, die Verteilung der Elektrizität auf einem von allen anderen weit entfernten Leiter zu finden, mit großen Schwierigkeiten verknüpft, so gilt dies noch viel mehr für die Verteilung auf mehreren sich gegenseitig beeinflussenden Leitern. Im vorigen Paragraphen ist das Problem für konzentrische Kugeln und Zylinder gelöst worden. Wir wollen im folgenden wenigstens eine der Methoden angeben, die in bestimmten Fällen die Lösung weiterer Probleme unter Anwendung elementarer mathematischer Hilfsmittel ermöglicht. Es ist die von W. Thomson²⁾ (Lord Kelvin) im Jahre 1845 erfindene Methode der „elektrischen Bilder“, zu deren Anwendung wir noch eines besondern Hilfssatzes bedürfen, dessen Richtigkeit so unmittelbar evident scheint, daß wir ihn hier einfach ohne Beweis mitteilen wollen; er lautet:

A. Es gibt bei gegebener Lage und Ladung der Leiter nur eine einzige Lösung des Verteilungsproblems, es kann also niemals die Elektrizität auf einem Leiter zwei verschiedene Gleichgewichtszustände annehmen.

Wir wollen von diesem Satze sogleich eine Anwendung machen: Seien zwei Leiter A und B (Fig. 235) mit den Ladungen e_1 und e_2 gegeben, e_1 sei $+$ und e_2 sei $-$; wir betrachten eine Niveaulinie f , die e_2 vollständig umschließt. Die Kraftstrahlen stehen überall senkrecht auf dieser Niveaulinie. Wenn wir uns nun die Niveaulinie auf der Innenseite überall mit positiver Elektrizität von der Dichte $\sigma_1 = E/4\pi$ und auf der Außenseite mit negativer von der Dichte $\sigma_2 = E/4\pi$ belegt denken, so wird durch diese Belegungen, die ja, weil entgegengesetzt gleich, an jedem Punkte des Raumes sich in ihrer Wirkung aufheben, nichts an der Kraftverteilung im Raume geändert. Da an der Innenseite E überall senkrecht zur Fläche nach innen wirkt, also $E = E_n$ ist, so ist nach dem Gaußschen Satz:

$$2\pi f \delta n = -4\pi e_2.$$

¹⁾ Beweis: s. Abraham-Pöppel, Theorie d. Elektr. I, 349.

²⁾ Reprint of papers, p. 52.

aber auch:

$$\sum E_n d\sigma - 4\pi \sum \rho_n d\sigma - 4\pi \epsilon_0,$$

die gesamte fiktive Ladung auf der Innenseite von f . Also:

$$e_1 = -e_2,$$

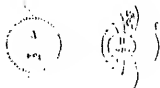
also ist die gesamte Ladung der Außenseite:

$$e_1 + e_2 = 0.$$

Nehmen wir nun die Niveaufläche durch eine leitende Fläche (Isoliert) ersetzt, so wird zunächst auf der Innenseite dieser nach dem Faradayschen Einflussgesetz eine Ladung $-e_2$, also von dem Betrage wie die fiktive Ladung e_2 , entstehen.

Wenn man dann e_2 mit der Innenseite zur Berührung bringt, so werden $-e_2$ sich neutralisieren und nur e_2 auf der Außenfläche übrig bleiben.

Fig. 245



Es entspricht überall der Überlegung $\epsilon_{12} = -\epsilon_{21}$, entspricht also der (1) des § 89. Die Bedingungen für den Gleichgewichtszustand sind erfüllt und eine zweite Gleichgewichtsverteilung ist nach dem Satz A. sich.

Man kann also für irgend ein beliebiges System von Leitern die Verteilungen der Kraftlinien und Niveauflächen berechnen können, so lassen sich sofort die Verteilungen für eine Reihe anderer Fälle angeben, die wir wenn wir einen der Leiter durch eine ihn ausschließende Fläche ersetzen und dieser dieselbe Ladung erteilen, die er hatte. Außerhalb des von dieser Niveaufläche umschlossenen bleibt dann alles unverändert. Das früher betrachtete gleichmäßig geladene Kugel ist z. B. nur ein Spezialfall hiervon. Die Niveauflächen um ∞ gedachte punktförmige Ladung e sind nämlich konzentrische Kugeln, von denen wir jede beliebige durch eine leitende Kugel ersetzen die die Ladung e besitzt. Dann ist außerhalb der Kugel das Feld wie es die Punktladung hervorzubringen würde.

speziell die herausgegriffene Niveaufläche des Potentials Null, so ist der gefundene Satz die Lösung des Problems der Einfluss der

aßerhalb dieser Fläche befindlichen Ladungen auf einen zur Erde abgeleiteten Leiter von der Gestalt und Lage der Niveaulinien. Als Beispiel nehmen wir das Problem der Influenz einer Punktladung auf einen abgeleiteten Kugel:

Betrachten wir zunächst zwei Punktladungen e_1 und e_2 in A und B (Fig. 236), wobei wieder e_1 positiv, e_2 negativ und dem Betrage nach kleiner als e_1 sei. Dann ist an jedem Punkte des Raumes

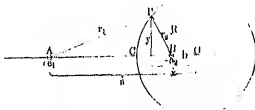
$$\varphi = e_1/r_1 + e_2/r_2 \dots \dots \dots (1)$$

Da die beiden Ladungen entgegengesetzten Vorzeichen haben, so gibt es eine Niveaulinie, für die $\varphi = 0$ ist und deren Gleichung lautet:

$$e_1/r_1 + e_2/r_2 = 0 \text{ oder } r_2/r_1 = -e_1/e_2 = k \dots \dots (2)$$

Diese Fläche, deren sämtliche Punkte P ein konstantes Abstandsverhältnis $r_2/r_1 = k$ von den beiden Punkten A und B haben, ist eine den

Fig. 236.



Punkt B exzentrisch eingeschlossene Kugel. Sei O ihr Mittelpunkt und $AO = a$, $BO = b$, R ihr Radius, dann ist nach bekannten geometrischen Sätzen:

$$R = k \cdot a \text{ und } b = k^2 \cdot a = R^2/a \dots \dots \dots (3)$$

Nunmehr können wir uns die kugelförmige Fläche vom Radius R durch eine zur Erde abgeleitete Metallkugel ersetzt denken; dann ist nach dem oben gefundenen Satz der Verlauf der elektrischen Kraft im Raume außerhalb der Kugel unter dem verteilenden Einfluß einer Ladung e_1 genau so, wie er durch das Zusammenwirken von e_1 mit einer fiktiven Ladung e_2 im Innern der Kugel sein würde. Dabei ist, wenn der Kugelradius R , die Entfernung $AO = a$ und die Ladung e_1 gegeben sind, Lage und Größe von e_2 bestimmt durch:

$$b = R^2/a \text{ [nach Gleichung (3)]} \dots \dots \dots (4)$$

und

$$e_2 = -e_1 \cdot R/a \text{ [Gleichung (2) und (3)]} \dots \dots \dots (5)$$

Nach W. Thomson nennt man die fiktive Punktladung e_2 , die in ihrer Wirkung nach außen die auf der Kugeloberfläche induzierte wirkliche Ladung e_2 vollständig ersetzt, das „elektrische Bild“ von e_1 .

Nun ist das Verteilungsproblem völlig gelöst, denn für zwei Punktladungen läßt sich der Verlauf der Kraftlinien nach den in § 14 gegebenen Regeln vollständig zeichnen.

Statt der Bildladung e_1 kann man sich auch, wenn wir die Entfernungen von Scheitel S der Kugel zu P_1 und P_2 L_1 und L_2 setzen, schreiben:

$$L_1 = L_1, R(R - L_1) = L_2 \quad (6)$$

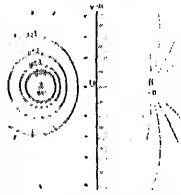
und

$$L_2 = L_2, R(R - L_2) = L_1 \quad (7)$$

Für den Spezialfall, daß $R = \infty$, geht die Kugel in eine leitende Ebene über, dann wird nach (6) und (7) $L_1 = L_2 = e_1$. Das elektrische Bild ist dann identisch mit dem optischen Spiegelbilde (Fig. 237).

Ist kleiner die unbenutzte Kugel nicht zur Erde abgeleitet, sondern hatte sie vorher eine eigene Ladung e_0 , so superponiert sich diese einfach der nach obigen Gleichungen bestimmten Influenzladung.

Fig. 237.



Man erhält, indem man die Kraft von e_0 auf die Influenzverteilung auf e_0 einwirkt, und die Ladung der Kugel selbst e_0 superponiert.

Wenn die Kugel abgeleitet, so verhält sie sich, als ob die Influenzladung e_1 in R ist. Diese Ladung wird aber so verteilt, wie sich e_1 ausbreiten würde, wenn es sich um eine Punktladung e_1 in R handelte. Das geschieht durch gleichmäßige Verteilung der Ladung auf der Kugeloberfläche. Bezüglich der Wirkung nach außen kann man sich e_1 im Mittelpunkte konzentriert denken, das andere Kraftbild erhält man hieraus, indem die Punktladungen e_1 im Punkte A , e_2 im elektrischen Bilde B in R und e_2 im Kugelmittelpunkte. Das Potential der Kugel ist dann e_1/R , also ebenso groß, wie dasjenige der Punktladung e_1 unter dem alleinigen Einfluß von e_1 wäre. Fig. 238 und 239 zeigen den Potentialverlauf.

Für die Theorie der elektrostatischen Induktion ist der Fall zweier gleich großer, gleich oder entgegengesetzt geladener Kugeln wichtig; infolge ihrer gegenseitigen Einwirkung sind ihre Ladungen nicht mehr gleichmäßig verteilt, sondern, bei gleichem Vorzeichen auch außen, bei ungleichem nach innen zusammengepresst. Die Lösung des Verteilungsproblems mittels elektrischer Bilder geschieht darauf, daß man sich zunächst die Ladung der einen Kugel im Mittelpunkte konzentriert denkt und ihr Bild in der anderen Kugel bestimmt. Dieses Bild, sowie die wahre, zunächst auch im Mittelpunkte konzentrierte geladene Ladung der zweiten Kugel erzeugen dann wieder Bilder in der ersten Kugel usw. Man erhält schließlich eine unendliche Reihe elektrischer Bilder in jeder Kugel, das zusammen im Außenraume die wirklichen Ladungen ersetzen. Die Ladungen der Bilder stellen eine konvergente Reihe dar, so daß die Summe ihrer Summe gleich der wirklichen Ladung, ergeben. Die Anziehung einer Abstoßung der Kugeln ist gleich derjenigen, die unendliche Reihe aufeinander ausüben.

Die Berechnung der unendlich konvergierenden Reihe hat F. Neumann in einer Reihe von Abhandlungen (Neumann, Elektricität I, S. 68, abgedruckt etc.) als Beispiel dieses der Angabe, daß für zwei Kugeln von Radius R mit dem Mittelpunktsabstand $r = 4R$, zwischen die sich also ge-

rade noch eine gleichgroße Kugel einschieben läßt, die gegenseitige Abstoßung nicht $e^2/16 R^2 = 0,0625 \cdot e^2/R^2$, sondern $0,0685 \cdot e^2/R^2$ beträgt. Die Abweichungen vom einfachen Coulombschen Gesetz für die im Mittelpunkt vereinigt gedachten Gesamtladungen sind also selbst bei dieser schon nicht mehr gegen den Radius großen Entfernung noch ziemlich gering.

§ 92. Elektrische Energie. Wenn wir einen Leiter laden, etwa mittels eines Elektrophors, so haben wir dabei Arbeit aufzuwenden, denn die bereits auf dem Leiter befindliche Ladung übt eine abstoßende Kraft auf die neu hinzugefügten Ladungen aus, die überwunden werden muß. Wir können die gesamte Arbeit, die bei der Ladung des Leiters aufgewandt worden ist, als seine „elektrische Energie“ bezeichnen¹⁾.

Wir wollen die Energie eines Leiters von der Kapazität K und der Ladung e bzw. dem Potential Φ berechnen:

Von früher hier [§ 87, Gleichung (1)] haben wir die Beziehung:

$$e = K \cdot \Phi \text{ oder } \Phi = e/K \dots \dots \dots (1)$$

Wir denken uns nun die Ladungen in Form von sehr kleinen Teilladungen δe allmählich auf den Leiter gebracht. Wenn das Potential vor Hinzufügung einer solchen Teilladung Φ' , nachher $\Phi' + \delta \Phi$ ist, so können wir als mittleres Potential während der Zuführung von δe den Wert $\Phi' + \delta \Phi/2$ annehmen; die Arbeit, die wir leisten, um die Ladung δe von dem Potential 0 bis auf dieses Potential zu bringen, ist:

$$\delta A = \delta e (\Phi' + \delta \Phi/2) \dots \dots \dots (2)$$

Da nun das Potential selbst sich während des Anbringens der einzelnen Teilladungen ändert, so ist die Arbeit für die ersten Teilladungen noch gering, und wird mit zunehmender Ladung immer größer. Für die erste Teilladung ist die Arbeit:

$$\delta e \cdot \delta \Phi/2,$$

denn anfangs ist $\Phi' = 0$; für die letzte Teilladung beträgt sie:

$$\delta e \cdot (\Phi - \delta \Phi/2),$$

denn vor dem Anbringen der letzten Teilladung ist $\Phi' = \Phi - \delta \Phi$, wo Φ den endgültigen Wert des Potentials bedeutet.

Die Summe der ersten und letzten Teilarbeit beträgt:

$$\delta e \cdot \Phi.$$

Genau denselben Wert erhält man, wenn man die zweite Teilarbeit mit der vorletzten, die dritte mit der drittlezten kombiniert usw. Die Gesamtzahl der so erhaltenen Einzularbeiten vom Betrage $\delta e \cdot \Phi$ ist gleich der halben Anzahl $n/2$ der Teilladungen. Die gesamte Arbeit beträgt also $\delta e \cdot \Phi \cdot n/2$. Da nun $n \cdot \delta e = e$, d. h. gleich der gesamten Ladung ist, so erhalten wir für die geleistete Arbeit oder die elektrostatische Energie den Wert:

$$U = e \cdot \Phi/2 \dots \dots \dots (3a)$$

oder, wenn man mittels Gleichung (1) entweder e oder Φ eliminiert:

$$U = e^2/2 K \dots \dots \dots (3b)$$

und

$$U = \Phi^2 K/2 \dots \dots \dots (3c)$$

¹⁾ Eine früher vielfach gebrauchte, jetzt aber fast aufgegebene Bezeichnung für diese Energie war auch: „Potential des Leiters auf sich selbst“.

In die Wärmeentwicklung sich über den ganzen Schließungskreis verteilt, so wird je nach den Längenverhältnissen des Schließungskreises innerhalb und des Heizdrahtes innerhalb des Riesaschen Thermometers ein verschiedener Bruchteil der gesamten Energie im Thermometer zum Vorschein kommen. Wenn wir aber die Verhältnisse im Schließungskreis konstant halten, so ist dieser Bruchteil für alle Versuche derselbe und kann als relatives Maß für die gesamte Energie des Kondensators dienen¹⁾.

Die folgende Tabelle enthält die Resultate einer Riesaschen Versuchsreihe, die Kapazität wurde durch Parallelschalten von mehr oder weniger gleichen Leichter Flaschen geändert; die Ladungen wurden mittels einer Leydnerschen Maßflasche gemessen. Unter h stehen die gemessenen Ausschläge des Luftthermometers.

Flaschenzahl	2	4	6
Ladung	h	h	h
q	1,0		
k	11,1	6,4	5,2
n	10,9	14,6	11,0
σ		29,2	18,6

Aus den Horizontalreihen geht hervor, daß bei gleicher Ladung die Ausschläge den Kapazitäten umgekehrt proportional sind (Satz B). Aus den

¹⁾ Pogg. Ann. 40, 185, 187, 12, 19, 1836.

²⁾ Von der Entladung, daß ein gewisser Bruchteil auch in Form von elektromagnetischer Strahlungsenergie in den Raum hinauswandert, muß hier zunächst abgesehen werden. Die späteren Ausführungen hierüber werden ergeben, daß bei der hier in Betracht kommenden Versuchsanordnung der ausgetriebene Bruchteil gänzlich zu vernachlässigen ist (s. Kap. „Elektrische Schwingungen“).

³⁾ Auch im Funken selbst wird eine gewisse Wärmemenge produziert. Sie folgt etwa $\frac{1}{2}$ der Entladung, als die Wärmeproduktion im Drahtkreis, so daß der im Thermometer ermittelte Bruchteil, streng genommen, nicht konstant ist. Doch ist die Funkenenergie meist so klein, daß hierdurch kein nennenswerter Fehler entsteht. Näheres siehe u. a. W. Kaufmann, Wied. Ann. 40, 654, 1897.

Vertikalreihen ergibt sich, daß bei gleicher Kapazität die Ausschläge den Quadraten der Ladung proportional sind (Satz A.).

Die weiteren Untersuchungen von Riess über den Einfluß von Material und Gestalt der Drähte innerhalb und außerhalb des Thoruometers können erst weiter unten im fünften Kapitel besprochen werden.

Sind beliebig viele Leiter mit den Ladungen $e_1, e_2 \dots$ und den Potentialen $\Phi_1, \Phi_2 \dots$ vorhanden, so berechnet sich durch ein dem obigen ganz analoges Verfahren die gesamte Energiemenge zu:

$$U = (e_1 \Phi_1 + e_2 \Phi_2 + \dots) / 2 \dots \dots \dots (4)$$

Wenn sich ein Körper unter dem Einfluß elektrischer Kräfte bewegt, so wird dabei Arbeit auf Kosten der elektrischen Energie geleistet, die somit bei der Bewegung um einen der Arbeit gleichen Betrag abnehmen muß. Ist also δA die bei einer sehr kleinen Verschiebung δs geleistete Arbeit und δU die gleichzeitige Änderung der elektrischen Energie, so ist $\delta A = -\delta U$. Andererseits ist, wenn f_s die auf den verschobenen Körper wirkende Kraftkomponente in Richtung s ist, die Arbeit $\delta A = f_s \cdot \delta s$. Gleichsetzung beider Ausdrücke für δA ergibt

$$f_s = -\delta U / \delta s = -\frac{\delta U}{\delta s} \dots \dots \dots (5)$$

wobei δU die Energieänderung bei Verschiebung des Körpers um 1 cm in Richtung s bedeutet. In Worten:

1). Die auf einen Körper wirkende Kraftkomponente in irgend einer Richtung ist gleich der Energieabnahme, die bei seiner Verschiebung um 1 cm in dieser Richtung eintritt.

Enthält das System nur einen einzigen isolierten Leiter, so ist

$$U = e \cdot \Phi / 2,$$

also, da bei einem isolierten Leiter e konstant bleibt:

$$\delta U = e / 2 \cdot \delta \Phi \dots \dots \dots (6)$$

Da die Bewegung in Richtung abnehmender Energie erfolgt, so benutzt Gleichung (5), daß bei einer unter dem Einfluß der elektrischen Kräfte erfolgenden Bewegung, wenn der isolierte Leiter + geladen, sein Potential abnehmen, wenn er — geladen, zunehmen muß. Der bewegte Körper kann hierbei der isolierte Leiter selbst, oder irgend ein abgeleiteter Leiter oder auch ein dielektrischer Körper sein.

Setzt man nach Gleichung (3b) $U = e^2 / 2K$, also $\delta U = e^2 / 2 \cdot \delta (1/K)$ oder [vgl. die Berechnung von $\delta (1/r)$ in § 50]:

$$-\delta U = \frac{e^2}{2K^2} \cdot \delta K \dots \dots \dots (7)$$

so erhält man:

$$f_s = \frac{e^2}{2K^2} \cdot \delta_s K \dots \dots \dots (8)$$

In Worten:

E. Die Bewegungen eines isolierten Leiters, oder der in seinem Felde befindlichen sonstigen Körper erfolgen stets so, daß die Kapazität des isolierten Leiters dabei zunimmt.

Daraus folgt zum Beispiel, daß die Kapazität eines Elektrometers durch die Blättchen- oder Zeigerbewegung vergrößert wird. (Vgl. die Bemerkung hierüber auf S. 183).

§ 113. Faraday-Maxwellsche Vorstellung vom elektrischen Felde. Wir haben bisher die Elektrostatik im wesentlichen vom Standpunkte der Fernwirkungstheorie behandelt. Uhren wir nunmehr zur Faraday-Maxwellschen Anschauungsweise über, so bieten uns die beim Magnetismus gewonnenen Resultate sofort den nötigen Leitfaden. Wir können uns nämlich ebenso wie dort die scheinbaren Fortkräfte durch Spannungen im Dielektrikum, als daß wir vollständig noch immer Luft- oder Vakuum annehmen, hingenommen denken. Dazu müssen wir ebenso wie dort einem Zug Z in Richtung der Kraftlinien und einen gleichstarken Druck D senkrecht dazu annehmen, von Betrage:

$$Z = D = E^2/8\pi \quad \dots \dots \dots (1)$$

und müssen jeder Volumeneinheit des Feldes eine Feldenergie:

$$u = E^2/8\pi \quad \dots \dots \dots (2)$$

zuschreiben. Aus dieser Annahme ergeben sich dann ganz wie beim Magnetismus eine Reihe von Sätzen, die hier einfach aufgezählt werden können:

A. Die Elektrisierung eines Systems besteht in der Erzeugung des mit dem Namen „elektrisches Feld“ bezeichneten veränderlichen Zustandes im Raume, von dessen innerer Natur wir natürlich ebenso wenig etwas wissen, wie von der des magnetischen Feldes. Das Feld stellen wir uns nach Richtung und Stärke durch Kraftlinien dar, und machen folgende Grundannahme über deren Verlauf:

B. Im ganzen freien Raume sind die Kraftlinien „quellenfrei“ verteilt, d. h. sie können im Raume weder entspringen noch endigen.

Die Erfahrungen über die Eigenschaften der Leiter führen zu folgendem klein magnetisches Analogon bezugenden Satz:

A. Die Kraftlinien beginnen und endigen an den Leiteroberflächen und können an diesen frei entlang gleiten, sie befinden sich also nur im Gleichgewicht, wenn sie auf diesen Flächen senkrecht stehen.

B. Was wir in der Fernwirkungstheorie als „Ladungsdichte“ q bezeichnen, ist nur eine Abkürzung für die Dichte der an dem betrachtenden Flächenstück beginnenden oder endigenden Kraftlinien, indem wir setzen: $4\pi q = E_n$, wo E_n die Kraftflächendichte, d. h. die elektrische Kraft an der Oberfläche ist.

Aus Satz C. folgt ein wesentlicher Unterschied zwischen den Eigenschaften des magnetischen und des elektrischen Feldes.

Die magnetischen Kraftlinien setzen sich auch im Inneren der Magnete oder Eisenstücke kontinuierlich als Induktionslinien fort. Die elektrischen dagegen endigen an den Leiteroberflächen. Während es also im magnetischen Felde nirgends möglich ist, einen Randteil abzugrenzen, aus dessen Oberfläche eine andere Anzahl von Kraftlinien heraus als heringehet, der also durch der Sprache der Fernwirkungstheorie einen Überschuß von positivem oder negativem „wahren“ Magnetismus enthält, ist dies im elektrischen

Folde wohl möglich, wenn nämlich der betreffende Raum einen Leiter enthält; d. h. es gibt isolierte Leiter, die mit einem Überschuß von Elektrizität einer Art, mit „wahrer Elektrizität“, behaftet sind¹⁾.

Der Querschnitt einer Kraftrohre ist $q = 1/E$. Die Ladung an Anfang einer Kraftrohre ist also, da dort $E = E_n$:

$$e_1 = q \cdot q = E_n/4\pi \cdot 1/K_n = 1/4\pi \quad (3)$$

In Worten:

E. Jedem Anfangsquerschnitt einer Kraftrohre entspricht in der alten Theorie eine auf ihm befindliche Ladung $+1/4\pi$, jedem Endquerschnitt eine gleich große Ladung $-1/4\pi$. Die Zahl der von einem Leiter ausgehenden Kraftrohren ist gleich seiner 4π fachen „Ladung“.

Im folgenden soll gezeigt werden, daß alle bisher beschriebenen elektrostatischen Erfahrungen sich aus den in den Sätzen A. bis E. zusammengestellten Eigenschaften des elektrischen Feldes oder der als Repräsentanten des Feldes gedachten Kraftrohren genau so ableiten lassen, wie es oben mit Hilfe des Coulombschen Gesetzes und des Satzes von der Konstanz der algebraischen Summe beider Elektrizitäten auf jedem isolierten Leitersystem geschlossen ist. Welche von beiden Anschauungsweisen rascher und bequemer zum Ziele führt, hängt von den jeweiligen Umständen ab; daß das Resultat beider Wege stets dasselbe ist, läßt sich ganz allgemein zeigen. Jedenfalls muß auch hier, ebenso wie im entsprechenden magnetischen Falle, darauf hingewiesen werden, daß es im ganzen Gebiete der reinen Elektrostatik, also solange man sich nur mit den Eigenschaften des im Gleichgewicht befindlichen Feldes befaßt, kein Experiment gibt, das eine Entscheidung zwischen der Fernwirkungs- und der Feldtheorie gestattet. Die Entscheidung zu Gunsten der letzteren kann erst auf dem Gebiete der elektrischen Schwingungen getroffen werden.

Endlich werde, bevor wir weitergehen, noch einmal darauf aufmerksam gemacht, daß die Kraftrohren mitamt den physikalischen Eigenschaften, die wir ihnen zuschreiben, ebenso wie früher die Fluida, nichts als Symbole sind, durch die wir das Feld und seine beobachtbaren Veränderungen beschreiben und uns räumlich vorstellen. Faradays eigene Worte hierüber lauten²⁾: „Ohne Zweifel wird jede dieser Vorstellungen (Kraftlinien, Fluida usw.), die nicht allzuviel Annahmen macht, bei besonnener Anwendung zu richtigen Resultaten führen, und so müssen sie also, soweit sie überhaupt anwendbar sind, dieselben Resultate liefern.“

„Ich wünsche die Bedeutung des Wortes „Kraftlinie“ so zu beschränken, daß es nicht mehr enthält, als den Zustand der Kraft hinsichtlich ihrer Stärke und Richtung an einer gegebenen Stelle, und (einstweilen) keine Vorstellung über die Natur der physischen Ursache der Erscheinungen in sich schließt, oder mit einer derartigen Vorstellung verknüpft oder von ihr abhängig sei.“

¹⁾ Die Bezeichnung „wahre“ Elektrizität soll nicht etwa bedeuten, daß man es mit einem realen Fluidum zu tun hat; sie ist weiter nichts als eine Abkürzung für den aus einem Raume hervorkommenden Kraftlinienüberschuß. Das Adjektivum „wahr“ dient nur zur Unterscheidung von später einzuführenden flüchtigen Elektrizitätsmengen, die man als „freie“ Elektrizität bezeichnet (s. § 96).

²⁾ Exper. Untors. S. 3074 u. 3075.

Da nach Satz B. und C. jede Röhre auf einem Leiter beginnen und endigen, also ebensoviel Anfangs- wie Endquerschnitte existieren, so folgt sofort Fundamentalsatz der Fernwirkungstheorie, daß in Bereiche jedes elektrischen Feldes stets gleich viel $+$ -E und $-$ -E vorhanden ist¹⁾.

Wir wollen nunmehr zeigen, daß der Ausdruck (2) für die Dichte der Energie, durch Addition über den ganzen vom Felde eingenommenen Raum, zu demselben Resultat führt wie unsere frühere Betrachtung, d. h. zu Gleichung (4) des vorigen Paragraphen.

Durch die Kraftrohren und die Niveauflächen wird der Raum in eine Reihe von „Einheitszellen“ eingeteilt (§ 49), deren Querschnitt $1/E$ und deren Länge längs der Kraftrohre gemessen ebenfalls $1/E$ ist. Der Inhalt einer Zelle beträgt also $1/E^2$ und ihr Energiegehalt ist nach Gleichung (2): $= 1/8 \pi$.

Die Zahl der längs einer Kraftrohre vorhandenen Zellen ist gleich der Anzahl der die Röhre schneidenden Niveauflächen. Wenn die Röhre auf einem Leiter vom Potentiale Φ_a beginnt und auf einem solchen vom Potentiale Φ_e endigt, so ist die Zellenzahl $\Phi_a - \Phi_e$ und der Energieinhalt der Röhre: $(\Phi_a - \Phi_e)/8 \pi$.

Die Gesamtenergie des Feldes erhält man also, wenn man über alle Leiternanfänge und alle Röhrenenden die Summe bildet, zu:

$$U = (\Sigma \Phi_a - \Sigma \Phi_e)/8 \pi.$$

Man kann nun die Anordnung der Summenglieder derart wählen, daß man nur die zu einem einzelnen Leiter gehörigen Glieder zusammenfaßt, also Φ_h das Potential des h -ten Leiters, N_h die Zahl der auf ihm beginnenden und N'_h die Zahl der auf ihm endigenden Kraftrohren ist, schreibt:

$$U = 1/8 \pi \cdot \Sigma \Phi_h (N_h - N'_h).$$

ist nach Satz D.: $N_h - N'_h = 4 \pi e_h$, also

$$U = 1/2 \cdot \Sigma e_h \Phi_h = (e_1 \Phi_1 + e_2 \Phi_2 + \dots)/2,$$

mit Gleichung (4) des § 92 identisch.

§ 94. Influenzvorgänge in Faradayscher Auffassung. Fall I: Sei eine mit der Ladung $+e$ behaftete Kugel gegeben. Das bedeutet in der Faradayschen Auffassung: Die Kugel sei von einem elektrischen Felde umgeben, das aus $4 \pi e$ von ihr ausstrahlenden Kraftrohren besteht. Alle anderen Körper seien sehr weit entfernt. Dann sind die Rohren unter dem Einflusse ihrer gegenseitigen und Druckspannungen im Gleichgewicht, wenn sie in der Nähe der Kugel allseitig gleichförmig in Richtung der Radialen ausstrahlen. Ihre Enden suchen wir an den Wänden des Zimmers zu suchen. Wenn wir die Kugel bewegen, so bewegt sich das ganze Kraftrohrensystem mit, ohne zunächst, wenigstens in der Nähe der Kugel selbst, seine Gestalt wesentlich zu verändern. Bloß die Enden an der Zimmerwand werden an dieser entlang gleiten, wobei sie jedoch stets senkrecht zur Wand bleiben müssen. Da an jeder Wand ebenso viele Rohren enden, wie von der Kugel ausgehen, so bedeutet dies im Sinne der alten Theorie, daß sich an der Wand im ganzen

¹⁾ Von dem Falle, in dem sich Kraftlinien in die Unendlichkeit erstrecken, lassen wir hier ab. Bei Versuchen im Zimmer bildet ja stets die Wand die Begrenzung der Kraftrohren. Wir betrachten also nur „geschlossene“ Felder.

eine Influenzladung $e' = -e$ befindet¹⁾. Nähern wir jetzt die Kugel einer Wand (vgl. Fig. 237), so gleitet ein immer größerer Bruchteil der anfänglich nach allen Seiten gleichmäßig verteilten Röhren längs der Kugelfläche nach der der Wand gegenüberliegenden Seite der Kugel zusammen und die Röhren krümmen sich; dann die Verteilung der Röhren links von der Wand wird nach den Ausführungen des § 91 über die elektrischen Bilder dieselbe, wie sie durch das Zusammenwirken von e mit einer gleichgroßen entgegengesetzten Ladung $-e$ im Abstand $OB = OA$ bei fortgedachter Wand entstehen würde.

In der alten Theorie entspricht dem Zusammenrücken der Röhren nach O ein Fließen der Influenzladung $-e$ der Wand nach O hin, und dem Zusammenrücken auf der Kugel A ein Zusammenfließen der Ladung e der Kugel auch der der Wand zugekehrten Seite infolge der Rückwirkung der Influenzladung der Wand auf die Kugel. Wir müssen uns aber jetzt den Vorgang so vorstellen, als ob die ganzen Bewegungen der Röhren bloß durch die Wirkung ihrer eigenen Spannungen und Drücke entstehen, die bei jeder Lageveränderung der die Röhren begrenzenden Leiter so lange eine Bewegung hervorrufen und unterhalten, bis die neue Anordnung der Röhren wieder den oben in Satz B. und C. formulierten Gleichgewichtsbedingungen entspricht.

Betrachten wir nunmehr das Verhalten der elektrischen Energie während der Annäherung der Kugel an die Wand. An der der Wand abgewandten Seite von A müssen die Kraftstrahlen offenbar in demselben Maße auseinanderdrücken, wie sie sich nach AO hin zusammenziehen, da ja ihre Gesamtzahl dieselbe bleibt (gleichbedeutend mit dem Konstantbleiben der Ladung e im alten Sinne). Wenn aber die Dichte der Kraftstrahlen ab-, ihr Querschnitt also zunimmt, so muß auch der Abstand der Niveauflächen links von A überall zunehmen. Die gesamte Anzahl der Niveauflächen zwischen λ und der links davon in größerer Ferne liegenden Wand nimmt also ab; d. aber die Zahl der Niveauflächen ringsum gleich ist, so bedeutet dies, da überhaupt diese Zahl und damit auch die Potentialdifferenz zwischen Wand und Leiter abgenommen hat. Nun bleibt aber das Potential der Wandscheibe dauernd $\varphi = 0$; die mit $\varphi = 1, 2, 3, 4 \dots$ nummerierten Flächen rücken von der Wand fort, wobei ihre Gesamtzahl bis nach A hin immer geringer wird; es müssen also die verschwundenen Flächen in den Leiter hineingerückt sein. Da sämtliche Flächen A völlig umschließen und A in jedem Augenblick selbst Niveaufläche ist, so verschwindet jede Fläche ihre ganze Ausdehnung nach gleichzeitig und mit ihr auch die zwischen λ und A liegende Energie in den Leiter A hinein²⁾. Die Anzahl der Einheitszellen, die mit einer Niveauschicht verschwinden, ist $4\pi e$, die Energie jeder Zelle ist $1/8\pi$, die verschwindende Energie also $e/2$. Gleichzeitig hat das Potential von A aber um eine Einheit abgenommen. Früher hatten wir für die gesamte Energie gefunden $U = e \cdot \Phi/2$. Wenn sich also Φ b. konstant bleibendem e um eine Einheit vermindert, so beträgt die Änderung der Energie $\delta U = -e/2$, was mit dem oben gefundenen Resultat übereinstimmt.

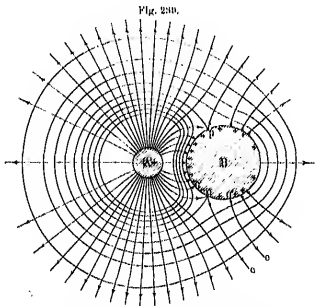
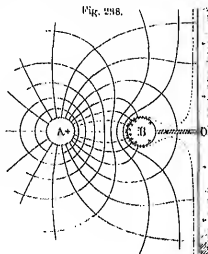
¹⁾ Vgl. das Faradaysche Influenzgesetz und Gleichung (9) in § 89.

²⁾ Die letzte Niveauschicht unmittelbar an A zieht sich nicht etwa zusammen sondern ihr inneres Ende verschwindet in A , ihre Zellen sind also im allgemeinen nur Bruchteile von Einheitszellen.

Nehmen wir nun an, die Kugel A sei frei beweglich, so ist das Schicksal der in A verschwundenen elektrischen Energie klar: Sie hat sich in kinetische Energie der Kugel A verwandelt.

Wir sehen somit, wie die Faradaysche Vorstellung, die die scheinbaren Fernwirkungen auf Nahwirkungen des in seinem physikalischen Zustande veränderten Raumes zurückführt, gleichzeitig ein anschauliches Bild im Sinne des Gesetzes der Erhaltung der Energie liefert.

Fall II: Eine Kugel B sei mit der Wand leitend verbunden (zur Erde abgeleitet), die geladene Kugel A werde gelährt (Fig. 298). Die Verhältnisse liegen ganz ähnlich wie im ersten Fall; auch hier rücken die anfangs nach allen Teilen der Wand ziemlich gleichmäßig verteilten Kraftstrahlen nach O hin zusammen und gleiten längs des Drahtes nach B hin, so daß bei immer weiterer Annäherung schließlich fast alle Strahlen auf B enden, d. h. im Sinne der alten Theorie:



Die Influenzladung von B wird der Ladung von A entgegengesetzt gleich.

Fall III: Einer isolierten und ungeladenen Kugel B (Fig. 299)¹⁾ werde die geladene Kugel A genähert. Alle anderen Leiter seien weit entfernt. Da B

¹⁾ Die Figur ist aus E. Riecke, Experimental-Physik II, entnommen.

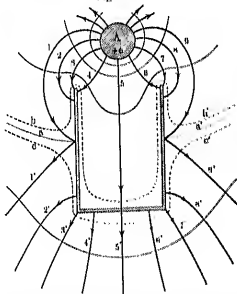
anfangs keine Ladung hat, so gehen auch keine Röhren von B aus. Wir müssen uns jetzt vorstellen, daß jede der von A ausgehenden Röhren, sobald sie von B berührt wird (z. B. Aoc), sich an der Berührungsstelle auf B heraufzieht und berührt wird (z. B. Ao' und $o''c'$). Es entstehen also auf B zur entfernten Zimmerwand (z. B. Ao' und $o''c'$). Es entstehen also auf B gleichzeitig immer gleichviel Anfangs- und Endpunkte von Kraftlinien (im alten Sinne: es entsteht gleichviel positive und negative Influenz elektrizität) (im alten Sinne: es entsteht gleichviel positive und negative Influenz elektrizität). Die Niveauflächen drücken sich bei der Annäherung an B zunächst zusammen und erhalten eine Kinkneigung; jede Niveaufläche, die gerade durch die Berührungslinie op einer Kraftlinie mit B geht, spaltet sich in einen „Niveauraum“, der die Kugel B einschließt (denn innerhalb B ist ja das Niveau konstant) und löst sich hinter der Kugel B wieder als eine nunmehr beide Kugeln umgehende Niveaufläche ab.

Ans gleichen Gründen wie bei Fall I und II verschwindet wieder bei der Bewegung ein Teil der Niveauflächen in der bewegten Kugel A , deren Potential sich somit bei Annäherung von B erniedrigt. (Die nahe an A liegenden Niveauflächen sind der größeren Deutlichkeit der Figur halber nicht mit gezeichnet.)

Die Potentialverminderung von A bei der Bewegung entspricht eine Kapazitätsvermehrung (§ 52, Satz E.). Das Feld läßt sich als resultierendes Feld dreier Punktladungen auffassen (s. § 91 am Schluß), das Potential der Kugel B ist identisch mit dem Potential, das bei Abwesenheit der Kugel B am Orte ihres Mittelpunktes vorhanden wäre.

Fall IV: Faradayzylinder. Dieser Fall gewinnt in der neuen Darstellung eine ganz besonders einfache Anschauung. Gerade die Beobachtungen an dem Zylinder, bei dem isolierten fast geschlossenen Hohlleitern, waren es, die Faraday zu seiner von der bisherigen so gänzlich verschiedenen Auffassungswelt führten.

Fig. 249.



Wir denken uns den mit beladenen Leiter A (Fig. 24) dem isolierten und anfangs ungeladenen Zylinder allmählich genähert. Auch hier wird jede von dem Zylinder tangierte Röhre sich spalten (z. B. $1,1'$ und $2,2'$), es werden also mehrere Röhrenaufhänge entstehen auf dem Zylinder entstehen. Bei weiterer Annäherung rücken die Enden (z. B. $2,2'$, $3,3'$, $7,7'$, $8,8'$) aneinander und schließen sich

das Ende des von A ausgehenden Bruchstückes der Röhre um den Rand der Öffnung herum nach innen (z. B. $4, 4'$, $5, 5'$), während der andere Teil unbeeinträchtigt davon außen weiter gebogen (z. B. $4', 4'$, $5', 5'$) ist schließlich A ganz

Inneren angehaugt, und auch ein anfangs ungeladener Deckel aufgelagert, so verteilen sich die äußeren Kraftlinien unter dem Einfluß ihrer eigenen Spannungen offenbar ganz unabhängig von den inneren, mit denen sie ja gar nicht mehr in Zusammenhang stehen, von denen sie also auch nach der Fernwirkungen anschließenden Vorstellung Faradays gar nicht beeinflußt werden können. Es kann also an ihrer Verteilung sich auch nichts ändern, wenn wir den Leiter A im Innern beliebig bewegen. Ferner ist sofort klar, da ja jede äußere Röhre ursprünglich einmal die Fortsetzung einer inneren Röhre war, daß ebensovielde Röhren von der ursprünglich ungeladenen Außenfläche ausgehen, wie an der Innenfläche endigen, bzw. wie von dem geladenen Leiter A ausgehen. (D. h. im alten Sinne Zwischen den „Ladungen“ e'' der Außenseite, e' der Innenseite und e des Leiters A besteht, wenn der Zylinder anfangs ungeladen war, die Beziehung $e'' = -e' = e$, vgl. § 72, Satz A.)

Was die Niveaulinien anbelangt, so sieht man, daß eine nach der anderen sich bei Annäherung an den Zylinder zunächst deformiert und immer mehr der Form des Zylinders anschmiegt (bb'), dann in einen von der gesamten (äußeren und inneren) Oberfläche des Zylinders begrenzten „Niveauraum“ determiniert (aa'), um endlich sich von der Außenfläche des Zylinders wieder zu lösen (cc'). Ist A positiv geladen, so steigt das Potential des Niveaulinien nach A hin. Bei Annäherung von A an den Zylinder fallen also nacheinander immer höhere Niveaulinien mit dem Zylinder zusammen, d. h. der Zylinder nimmt ein allmählich wachsendes Potential an, wie ja an einem mit ihm verbundenen Elektrometer unmittelbar beobachtet werden kann. Ist ein Elektrometer angeschaltet, so umfaßt der Niveauraum aa' außer den Zylinderwindungen auch noch den Verbindungsdraht und die Elektroden des Elektrometers.

Fall V: Plattenkondensator. Seien A und B (Fig. 230 u. S. 248) die beiden Platten, zwischen denen ein Feld besteht, das wir für einen Augenblick als bis zum Rande homogen annehmen wollen. Es läßt sich leicht zeigen, daß dieses Feld keinen Gleichgewichtszustand darstellt; wäre nämlich etwa das Feld zwischen den Platten streng homogen und endigte plötzlich am Rande der Platten, so würde dort die letzte Kraftlinie von außen keinen Gegendruck erleiden und müßte sich unter dem Einfluß der von innen her wirkenden Querdrucke nach außen bewegen. Die Enden würden dabei um den Plattenrand herum auf die Außenseite gleiten, die Röhre sich immer mehr krümmen und verlängern. Da dasselbe ringsum gleichzeitig stattfände, so würden die um den Rand herum gedrückten Röhren schließlich in der Mitte zusammenstoßen und durch den dort entstehenden Quordruck zum Stillstand kommen.

Da bei dem Herausdrängen der äußeren Kraftlinien aber auch das Gleichgewicht der weiter innen liegenden gestört würde, so müßten auch diese nachrücken, die äußeren mehr, die inneren weniger und die Homogenität des Feldes im ganzen inneren Raume zwischen den Platten würde gestört, jedoch in nach innen hin abnehmendem Maße. Daß trotz des jetzt von innen nach außen abnehmenden Druckes, also eines an jeder Röhre wirkenden Überdruckes von innen, die einzelnen Röhren ins Gleichgewicht kommen, ist die Folge der gleichzeitig eintretenden Krümmung der Röhren, die eine nach innen gerichtete Zugkomponente zur Folge hat. (Man vergleiche die Ausführungen über die

magnetischen Kraftrohren und ihre Versinnbildlichung durch Gummisehndre in § 29.)

Auch diese Krümmung wird von außen nach innen hin immer schwächer, so daß in genügender Entfernung vom Rande das Feld praktisch als homogen betrachtet werden kann. Die obige Betrachtung zeigt also ohne Rechnung, daß schließlich ein Feldverlauf sich herstellen muß, wie ihn Fig. 230 dargestellt. Daß, wie oben gezeigt, ein Teil der Kraftrohren an den Außenseiten der Platten endigt, bedeutet im Sinne der alten Theorie, daß auch auf den Außenseiten ein, wenn auch geringer Teil der Ladungen sitzt.

Denken wir uns jetzt die Platten einander genähert, so wird sich die Krümmung der am Rande aufsitzenden Kraftrohren beträchtlich vermehren, und die nach innen wirkende Zugkomponente wird stärker auf ihre inneren Nachbarröhren einwirken. Die Röhren werden also nach innen rücken, die weiter innen gelegenen zusammenschieben, während die weiter außen gelegenen nachrücken; der Effekt ist schließlich, daß ein Teil der ursprünglich auf der Außenseite endigenden Röhren jetzt nach innen gelangt ist. Je enger also der Kondensator, um so vollständiger befinden sich die Enden der Kraftrohren (im alten Sinne die „Ladungen“) an der Innenseite, und um so homogener ist das Feld im Innern.

Betrachten wir endlich die Kapazität: Ist $4\pi\epsilon$ die Zahl der Röhren, also im alten Sinne ϵ die „Ladung“, so wird, wenn der Abstand genügend klein ist, nur ein geringer Bruchteil dieser Röhren einen gekrümmten Verlauf haben; wenn wir diesen vernachlässigen, so hat, wenn q die Fläche und d der Abstand der Platten ist, jede Röhre den Querschnitt $q/4\pi\epsilon$ und die Länge d , also das Volumen $q \cdot d/4\pi\epsilon$. Die Kraft E ist im ganzen homogenen Teil des Feldes gleich dem reziproken Querschnitt der Röhren, also gleich $4\pi\epsilon/q$ und ebenso groß ist der reziproke Abstand zweier Niveaulinien. Die Zahl Φ der Niveaulinien zwischen den Platten ist also: $\Phi = d \cdot 4\pi\epsilon/q$, somit $K = e/\Phi = q/4\pi d$ [vgl. Gleichung (3) § 90].

§ 95. Einfluß der Dielektrika auf den Feldverlauf. Unsere bisherigen theoretischen Betrachtungen bezogen sich nur auf Felder, die in Luft, oder genauer im Vakuum als Dielektrikum vorliefen. Wir wollen jetzt Felder betrachten, deren Kraftrohren verschiedene Dielektrika durchsetzen.

Wir wiederholen zunächst einen bereits in § 72 kurz erwähnten Versuch Faradays: In einen mit Elektrometer versehenen Faradayschen Zylinder werde ein Leiter mit der Ladung e eingetaucht (Fig. 241) und dann ein beliebig gestalteter an Seidenfäden hängender dielektrischer Körper A ebenfalls in den Zylinder getaucht¹⁾. Der Ausschlag des Elektrometers ändert sich nicht.

Die Empfindlichkeit des Versuches kann beliebig erhöht werden, wenn man ein hochempfindliches Elektrometer nimmt, und den eingetauchten Leiter so stark ladet, daß er eingetaucht einen weit über den Meßbereich heraus-

¹⁾ Der Körper A muß vorher über eine Flamme gezogen werden, um etwaige durch Reibung entstandene Oberflächenladungen zu entfernen. Man vermeide Berührung mit den Händen und den Zylinderwänden und benutze nur die Seidenfäden als Handhab. Geeignete Dielektrika sind Paraffin oder Schwefel, die man leicht durch Gießen in jede beliebige Form bringen kann.

gehenden Ausschlag erzeugen würde. Man leite nun zunächst beim Eintauchen des Leiters den Zylinder zur Erde, so daß kein Ausschlag entsteht, hebe sodann die Erdeleitung auf und tauche dann erst den dielektrischen Körper ein. Es entsteht nicht der geringste Ausschlag, wie empfindlich man auch das Elektrometer wählen mag.

Sollte etwa beim Wiederherausziehen des Dielektrikums ein Ausschlag entstehen, so ist dies nur die Folge etwaiger durch Spitzenauströmung aus dem Leiter auf die Oberfläche des Dielektrikums gelangter Ladungen; man kann sich dann leicht überzeugen, daß nunmehr das Dielektrikum allein eine Einwirkung auf ein Elektrometer ausübt, also geladen ist.

Das Resultat des Versuches bleibt auch dann noch dasselbe, wenn man dem Dielektrikum eine solche Form gibt, daß es den eingetauchten Leiter möglichst vollständig umschließt (Fig. 242).

Fig. 241.

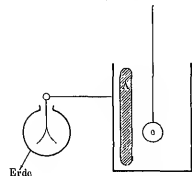
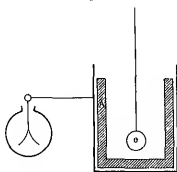


Fig. 242.



Auch die Dicke des Dielektrikums erweist sich als völlig gleichgültig; es kann eine dünne Scheibe oder Schale sein, oder aber den Zwischenraum zwischen Leiter und Zylinderwand völlig ausfüllen; man kann z. B. nach Eintauchen des geladenen Leiters den Hohlraum des Zylinders mit einer gut isolierenden Flüssigkeit (Terpentinol oder Benzol) anfüllen.

Berücksichtigt man die in § 94, Fall IV, gegebene Deutung des Zustandekommens des Feldes an der Außenseite des Faraday-Zylinders, so folgt aus den oben genannten Versuchen, daß, wie auch immer im Innern des Dielektrikums der Verlauf der elektrischen Kraft modifiziert sein mag, doch die Gesamtzahl der aus der Außenseite des Dielektrikums herausdringenden Kraftlinien ebenso groß ist wie die Zahl der in die Innenseite hineindringenden. Somit erhalten wir den Satz:

A. Die Gesamtzahl der von einem geladenen Leiter ausgehenden Kraftlinien bleibt unverändert, wenn man den Leiter in eine dielektrische Hülle einschließt.

Dabei ist vorausgesetzt, daß die Messung der Kraftlinienzahl, sei es innerhalb, sei es außerhalb der dielektrischen Hülle, in Luft erfolgt.

Über Richtung und Stärke des elektrischen Feldes im Dielektrikum selbst wissen wir zunächst nichts; wir können uns aber jedenfalls auch dort überall Kurven gezeichnet denken, die der Kraftrichtung parallel verlaufen und können ihre Anfangspunkte offenbar willkürlich so wählen, daß ein Röhrensystem im Dielektrikum *A* entsteht, das die direkte Fortsetzung der an seiner Oberfläche

endigenden Kraftstrahlen bildet (Fig. 243). Wenn wir ferner dieses Rohrsystem dort, wo es an der andern Oberfläche des Dielektrikums endet, wieder in Luft in der dortigen Kraftstrichtung sich fortsetzen lassen, so ist damit die oben erfahrungsgemäß gefundene Bedingung erfüllt, daß die Gesamtzahl der aus dem Dielektrikum austretenden gleich der Zahl der eintretenden Kraftstrahlen ist; die in der angegebenen Weise nach außen fortgesetzten Rohren stellen also tatsächlich den weiteren Verlauf der Kraftstrahlen in Luft dar. Wir wollen die Dichte der im Dielektrikum verlaufenden Rohren mit D bezeichnen und den durch diese Rohrendichte gemessenen Zustand des Dielektrikums als seine „Elektrische Erregung“, die zur sinnlichen Darstellung der Erregung benutzten Rohren und Linien als „Erregungsrohren“ oder „Erregungslinien“ bezeichnen.

Die nächste Aufgabe ist offenbar, die Gesetze für den Verlauf der Erregungsrohren, sowie ihre Beziehung zu der im Dielektrikum herrschenden elektrischen Feldstärke zu finden.

Fig. 243.

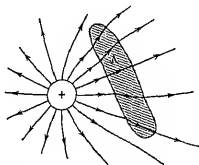
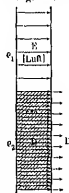


Fig. 244.



Zunächst folgt aus der Definition der Erregungsrohren in Verbindung mit Satz A., daß die gesamte Rohrenzahl, die in eine einen Leiter rings umgebende Fläche von außen eindringt, nach wie vor gleich der -4π fachen Ladung ist, gleichgültig, ob diese Fläche in Luft oder ganz oder teilweise im Dielektrikum verläuft, ob wir also die Zahl der Kraftstrahlen in Luft, oder die Zahl der Erregungsrohren im Dielektrikum messen. Wir können somit den Gauss'schen Satz dadurch verallgemeinern, daß wir E durch D ersetzen und schreiben:

$$\sum D_n \delta o = -4\pi e \quad . \quad . \quad . \quad . \quad . \quad (1)$$

Für die Ladungsdichte q an der Oberfläche eines Leiters gilt somit an Stelle von Gleichung (1), § 89, die folgende:

$$D_n = 4\pi q \quad . \quad . \quad . \quad . \quad . \quad (2)$$

Die früheren Gleichungen für Luft sind dann Spezialfälle dieser, indem für Luft $D = E$ wird. Durch die Gleichungen (1) und (2) sind im Sinne der Faradayschen Theorie die „Elektrizitätsmengen“ und „Ladungsdichten“ als bloße Abkürzungen für Anzahl oder Dichte von Erregungsrohren definiert.

Wir betrachten nunmehr einen Plattenkondensator, der zur Hälfte Luft, zur Hälfte irgend ein Dielektrikum mit der DK. ϵ enthält (Fig. 244). Nach

der in § 81 gegebenen Definition der D.K. ist die Kapazität der mit dem Dielektrikum erfüllten Hälfte ϵ mal größer als die der luftgefüllten, also auch die Ladungsdichte $Q_2 = \epsilon Q_1$.

Da nun die Kraft in Luft $E = 4\pi Q_1$ und die Erregung im Dielektrikum $D = 4\pi Q_2$ ist, so folgt:

$$D = E\epsilon \quad . \quad . \quad . \quad . \quad . \quad . \quad . \quad . \quad (8)$$

Die Erregungslinien verlaufen also in dem Dielektrikum ϵ mal dichter als in Luft. (In der Figur ist $\epsilon = 3$ angenommen.)

Nun ist das Potential längs jeder Platte notwendig konstant; es erfordert also dieselbe Arbeit, um eine Einheitsladung durch den Luftraum oder durch das Dielektrikum von einer Platte zur anderen zu befördern. Da aber die Arbeit auch gleich dem Produkt von Kraft mal Weg, und der Weg beiderseits derselbe ist, so folgt, daß im vorliegenden Fall die elektrische Kraft E' im Dielektrikum ebenso groß ist, wie die Kraft E im luftgefüllten Teil. Würde man also im Dielektrikum „Kraftlinien“ statt der „Erregungslinien“ ziehen, so würden diese dieselbe Dichte haben, wie in der luftgefüllten Hälfte; die Kraftlinien des Feldes E' im Dielektrikum sind in der Figur etwas nach rechts hinaus verlängert, um sie sichtbar zu machen. Aus $E' = E$ folgt aber in Verbindung mit Gleichung (8):

$$E' = D/\epsilon \quad . \quad . \quad . \quad . \quad . \quad . \quad . \quad . \quad (4)$$

Diese Gleichung gilt, da sie bloß eine Beziehung zwischen den auf demselben Ort bezüglichen Größen E' , D und ϵ darstellt, nicht nur für den zu ihrer Ableitung betrachteten Spezialfall, sondern ganz allgemein. Aus dem in Fig. 242 hergestellten Versuch, sowie aus Gleichung (1) und (4) folgt:

II. Wenn wir ein System von geladenen Leitern ganz in ein Dielektrikum eintauchen, so daß das ganze vorher in Luft verlaufende Feld jetzt im Dielektrikum verläuft, so wird dadurch die Zahl der Erregungslinien nicht geändert; dagegen werden die Kräfte, die die Leiter aufeinander ausüben, ϵ mal kleiner.

Die in Gleichung (4) ausgedrückte Beziehung zwischen der elektrischen Feldstärke und der Erregung ist ganz analog derjenigen zwischen der magnetischen Feldstärke und der Induktion [vgl. Gleichung (5), § 38], so daß folgendes Analogieschema gilt:

Elektrische Kraft — Magnetische Kraft (oder Feldstärke),
Elektrische Erregung — Magnetische Induktion,
Dielektrizitätskonstante — Permeabilität.

Wir können deshalb eine Reihe von Gesetzen für den Verlauf des elektrischen Feldes in gemischten Dielektrika erhalten, wenn wir die für das magnetische Feld erhaltenen Gleichungen einfach auf die entsprechenden elektrischen Größen übertragen.

So erhalten wir zunächst als allgemeinen Ausdruck des Coulombschen Gesetzes für ein beliebiges Medium:

$$f = e \cdot e' / r^2 \quad . \quad . \quad . \quad . \quad . \quad . \quad . \quad . \quad (5)$$

[vgl. Gleichung (2), § 40]. Die Spannung bzw. der Quordruck der Erregungslinien ist:

$$Z = 1/2 \cdot 8\pi e = E'^2 \epsilon / 8\pi \quad . \quad . \quad . \quad . \quad . \quad . \quad . \quad . \quad (6)$$

[vgl. Gleichung (8), § 40]. Der Energieinhalt einer Einheitzelle, d. h. des zwischen zwei um die Potentialdifferenz 1 voneinander entfernten Niveauflächen eingeschlossenen Abschnitts einer Erregungsröhre beträgt in jedem beliebigen Medium:

$$u_1 = 1/8 \pi \dots \dots \dots (7)$$

ist also unabhängig von der DK. [vgl. Gleichung (7), § 49].

Für den Übergang der Erregungsröhren an der Grenze zweier Media gilt das „Brechungsgesetz“:

$$\lg u_1 / \lg u_2 = \varepsilon_1 / \varepsilon_2 \dots \dots \dots (8)$$

[vgl. Gleichung (10), § 38] und es gelten die Grenzbedingungen:

$$\begin{aligned} D_{n,1} &= D_{n,2} \\ E_{t,1} &= E_{t,2} \end{aligned} \dots \dots \dots (9)$$

[vgl. Gleichung (8') und (9), § 38]. An der Grenzfläche eines dielektrischen Mediums gegen Luft herrscht eine in die Luft hineingerichtete Spannung senkrecht zur Oberfläche gleich:

$$N = \frac{E_n^2}{8\pi} \frac{\varepsilon - 1}{\varepsilon} + \frac{U_t^2}{8\pi} (\varepsilon - 1) \dots \dots \dots (10)$$

[vgl. Gleichung (4), § 41]. Sämtliche mechanischen Kräfte im elektrischen Felde müssen sich aus dieser Spannung ableiten lassen.

Ein einfacher Demonstrationsversuch zum Nachweis dieser Spannung besteht in folgendem: Zwei Messingstreifen stehen im Abstand von etwa 1 bis 2 mm senkrecht in einem Glasgefäße, auf dessen Boden etwas gereinigtes Terpentinöl gegossen ist. Ladet man die Streifen durch Verbindung mit den beiden Elektroden einer Influenzmaschine, so steigt die Flüssigkeit zwischen ihnen in die Höhe.

Dem in § 42 behandelten „Magnetisierungsproblem“ können wir hier ganz entsprechend ein „Elektrisierungsproblem“ oder, um Mißverständnisse zu vermeiden, da unter Elektrisierung meist die Zuführung einer Ladung gemeint ist, besser ein „elektrisches Erregungsproblem“ gegenüberstellen. Man erhält die Lösung, indem man einfach in den dort erhaltenen Gleichungen die magnetischen durch die entsprechenden elektrischen Größen ersetzt.

Ein dielektrischer Körper, der in ein anfangs homogenes in Luft verlaufendes elektrisches Feld eingebracht wird, beeinflußt also den Verlauf des Feldes ganz ähnlich, wie ein Eisenstück ein magnetisches Feld. Dabei wird das elektrische Problem dem magnetischen gegenüber noch dadurch etwas vereinfacht, daß die DK. eine wirkliche, von der Feldstärke unabhängige Konstante ist, während die Permeabilität, wenigstens bei den ferromagnetischen Körpern, von der Feldstärke abhängt.

Für ein Ellipsoid erhalten wir somit in einem homogenen Felde von der Stärke E eine Erregung:

$$D = \frac{\varepsilon E}{1 + \beta(\varepsilon - 1)} \dots \dots \dots (11)$$

[vgl. Gleichung (7), § 42]; dabei hat der Gestaltfaktor β dieselbe Bedeutung wie in § 42.

Ist der Körper eine Kugel, so wird $\beta = 1/3$ und

$$D = 3 E \cdot \varepsilon / (2 + \varepsilon) \dots \dots \dots (12)$$

Von eigentümlichen Interesse ist noch die Form, die die Gleichungen (4) und (8) bis (12) annehmen, wenn das Medium (1) Luft ist, das Medium (2) dagegen eine außerordentlich große DK. hat. Setzen wir in den genannten Gleichungen überall $\epsilon_1 = 1$ und ϵ_2 bzw. $\epsilon = \infty$, so erhalten wir:

$$E' = 0 \quad (4')$$

$$tg \alpha_1 = 0 \quad (8')$$

Im Innern dieses flüchtigen Dielektrikums herrscht also gar keine elektrische Kraft und der Einfallswinkel der Kraftlinien vom Luftraum her ist 0, d. h. die Kraft steht senkrecht auf der Oberfläche. Somit ist in der folgenden Gleichung (10) $E_2 = 0$ zu setzen. Da E_2 dort im Quadrat, das sehr große ϵ dagegen nur in erster Potenz vorkommt, so ist das zweite Glied von (10) doch jedenfalls 0 und es wird:

$$N = E^2/8\pi \quad (10')$$

Gleichung (11) geht über in

$$D = E/\beta \quad (11')$$

und Gleichung (12) geht über in:

$$D = 3E \quad (12')$$

Aus Gleichung (4') und (8') folgt, daß ein Dielektrikum mit außerordentlich großer DK. dieselbe Feldverteilung hervorruft, wie ein gleichgestalteter Leiter. Und da Gleichung (10') einfach die Ladungsspannung der an der äußeren Oberfläche senkrecht einfallenden Kraftlinien darstellt, so sind auch die Kräfte identisch mit den auf einen Leiter wirkenden.

Ein ganz analoges Resultat haben wir schon in § 81 erhalten.

Die Bedeutung der Gleichungen (11') und (12') kann erst weiter unten besprochen werden. Sie haben für einen wirklichen Leiter zunächst keinen rechten Sinn, da wir ja im Innern eines solchen überhaupt nicht das Vorhandensein einer, durch das äußere Feld bewirkten physikalischen Veränderung angenommen haben, die Angabe eines Wertes für die Erzeugung also sinnlos ist.

Im folgenden Paragraphen wird sich ergeben, daß trotz der obigen Analogie doch ein ganz bestimmter Unterschied zwischen einem Leiter und einem Dielektrikum von unendlich großer DK. besteht.

§ 96. Schmelzwasser oder „freie“ Elektrizität; Polarisation. Es sei ein System von geladenen Leitern gegeben. Der Raum zwischen ihnen sei vollständig mit verschiedenen Dielektrika ausgefüllt. Wir stellen die Aufgabe, eine flüchtige Verteilung elektrischer Ladungen anzugeben, die bei gleicher Lage der Leiter, aber nach Ersatz aller dielektrischen Körper durch Luft (genauer durch Vakuum) in allen Punkten des Raumes dieselbe Feldstärke erzeugt, wie sie vorher unter dem Einfluß der wahren Ladungen der Leiter bei Anwesenheit der Dielektrika beobachtet wurde.

Betrachten wir als einfachsten Fall das Feld zwischen zwei parallelen Kondensatorplatten. Ist ϵ die DK. des Mediums und Q die wahre, d. h. die durch Leitung an die Plattenoberfläche gelangte Ladungsdichte der primitiven Platte, so ist das Feld im Dielektrikum:

$$E' = D/\epsilon = 4\pi Q/\epsilon \quad (1)$$

Wäre dagegen der Raum zwischen den Platten mit Luft ausgefüllt, so wäre zur Hervorbringung derselben Feldstärke eine Ladungsdichte q' nötig, deren Betrag durch die Gleichung:

$$F' = 4\pi q' \quad (2)$$

bestimmt ist. Aus Gleichung (1) und (2) folgt:

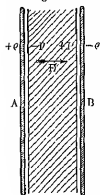
$$q' = q/\epsilon \quad (3)$$

Wir wollen die Größe q' als die Dichte der „freien Elektrizität“ bezeichnen.

In der Faraday-Maxwellschen Anschauung ist q' eine bloße mathematische Hilfsgröße, die zur Erleichterung gewisser Rechnungen dient; in der im § 82 dargelegten Molekulartheorie der Dielektrika gewinnt die „freie Elektrizität“ dagegen eine anschauliche Bedeutung.

Betrachten wir etwa einen Plattenkondensator AB (Fig. 245), der mit einem Dielektrikum erfüllt ist. Nach der Molekulartheorie findet dann im

Fig. 245.



Dielektrikum eine Verschiebung der Elektrizität statt, indem sich innerhalb jedes Moleküls $+E$ in Richtung des Feldes, also in der Figur nach rechts, $-E$ in entgegengesetzter Richtung, nach links, bewegt; dadurch kommt das ganze Dielektrikum in einen vom normalen abweichenden Zustand, den wir als „dielektrische Polarisation“ bezeichnen wollen. Als Maß für die Polarisation betrachten wir die Summe von $+E$ und $-E$, die sich im ganzen durch jeden Querschnittmeter Querschnitt hindurchgeschoben haben. Diese Elektrizitätsverschiebung muß sich dadurch bemerkbar machen, daß an der rechten Endfläche des Dielektrikums ein Überschuß von zugewandter $+E$, ein Mangel von fortgewandter $-E$, im ganzen also ein Überschuß von $+E$ im Betrage $+P$ pro Quadranteometer entsteht. Ebenso entsteht an der linken Endfläche ein Überschuß von $-P$ pro Quadranteometer. Die Größe P wollen wir als Maß der „Polarisation“ betrachten und im folgenden direkt als Polarisation bezeichnen. Die Molekulartheorie nimmt nun an, daß die beobachtete Änderung des Feldes durch das Dielektrikum einfach von der Einwirkung dieser durch Polarisation an die Oberfläche gelangten Ladungen herrührt. Das Gesamtfeld rührt von der Ladung der Kondensatorplatten, zusammen mit den sie unmittelbar berührenden entgegengesetzten Polarisationsladungen her; da wir andererseits eben die „freie Ladung“ q' so bestimmt hatten, daß sie ebenfalls das beobachtete Gesamtfeld ergab, so folgt:

$$q' = q - P' \quad \text{oder} \quad P' = q - q' \quad (4)$$

Da $4\pi q = D$ und $4\pi q' = E'$ ist, so folgt die allgemein gültige Gleichung:

$$4\pi P' = D - E' = E'(\epsilon - 1) = D \frac{\epsilon - 1}{\epsilon} \quad (5)$$

Eine Vergleichung von Gleichung (5) mit (3) in § 45 zeigt, daß die Polarisation ganz der Magnetisierungsintensität entspricht; sie mißt ebenso

wie diese die in der Masse des Dielektrikums selbst entstandene physikalische Veränderung.

Da P' die im Innern des Dielektrikums herrschende Kraft, P die durch diese Kraft bewirkte Verschiebung der molekularen Ladungen mißt, so mißt:

$$\frac{P'}{E'} = \frac{\epsilon - 1}{4\pi} = \kappa \quad \dots \dots \dots (6)$$

gleichsam die „Verschieblichkeit der Elektrizität“ im Dielektrikum und entspricht der magnetischen Suszeptibilität:

$$\kappa = \frac{\mu - 1}{4\pi}.$$

Füllt die dielektrische Platte den Kondensator nicht ganz aus (Fig. 246), so tritt an den freien Oberflächen, wo das Dielektrikum an Luft grenzt, ebenfalls freie Elektrizität auf. Da die wahre Ladung dort Null ist, wenn nicht etwa das Dielektrikum vorher durch Reibung oder Mitteilung geladen worden ist, so wird jetzt nach Gleichung (4), wenn man dort $q = 0$ setzt,

$$q' = -P' \dots \dots \dots (7)$$

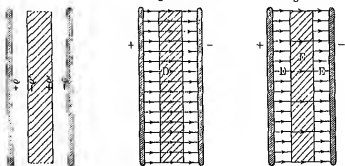
(Nur an der freien Grenzfläche eines Dielektrikums gültig.)

Ist die freie Ladungsdichte einfach die durch den Polarisationsvorgang an der Oberfläche frei gewordene Elektrizität.

Fig. 246.

Fig. 247.

Fig. 248.



Es muß hier ausdrücklich betont werden, daß die Begriffe „freie Elektrizität“, „Polarisation“, solange man sie bloß als mathematische Hilfsbegriffe betrachtet, die mit den direkt beobachtbaren Größen in angegebener Beziehung stehen, nichts hypothetisches an sich haben; sie dienen bloß zur Erleichterung gewisser weiterer Betrachtungen und Rechnungen. Insofern werden sie also ihre Bedeutung und ihre Richtigkeit auch dann noch behalten, wenn sich die oben vorgetragene Molekulartheorie einmal als unrichtig oder veränderungsbedürftig erweisen sollte. Alle Gleichungen bleiben dann noch wie vor richtig, bloß die oben vorgetragene physikalische Interpretation der in ihnen auftretenden Größen ändert sich.

Die Feldverteilung ist also in einem zum Teil mit Luft, zum Teil mit einem Dielektrikum ausgefüllten Kondensator ebenso, als wenn das Dielektrikum nicht vorhanden, und statt seiner an der Stelle seiner Grenzflächen Ladungsdichten vom Betrage

$$\pm q' = P = q \cdot (\epsilon - 1) / \epsilon \dots \dots \dots (8)$$

angebracht wären. Man sieht in Fig. 246 unmittelbar, daß durch die Wirkung der q' in dem vom Dielektrikum eingenommenen Räume das von

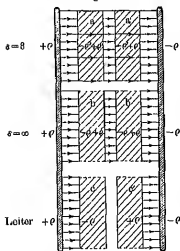
den ϱ herrührende Feld geschwächt werden muß, so daß das Feld E' in die Räume kleiner als E .

Es ergibt sich schließlich folgendes Bild für den Feldverlauf in dem mischten Dielektrikum des Kondensators.

Die Erregungslinien durchsetzen geradlinig den Zwischenraum, ha also in Luft und im Dielektrikum gleiche Dichte, wie es die Grenzbedingung in § 96 verlangt; Fig. 247 stellt den Verlauf dar.

Die Kraftlinien dagegen haben im Dielektrikum eine ϵ mal geringe Dichte als in Luft, wie in Fig. 248 dargestellt ist. Die eine Grenzschicht also eine Senke, die andere eine Quelle von Kraftlinien; man müßte somit, den Feldverlauf in Luft nachzunehmen, nach dem Gaußschen Satze an Grenzschichten $+$ oder $-$ Ladungen anbringen, wie in Fig. 246. Man gleiche hiermit den in § 96 dargestellten Fall der nebeneinander bestehenden Schichten von Luft und Dielektrikum. Dort ist gerade umgekehrt die Dichte der Kraftlinien beiderseits gleich, die der Erregungslinien verschieden.

Fig. 249.



Wir wollen nunmehr auf den bei mehrfach erwähnten physikalischen Unterschied zwischen einem Dielektrikum unendlicher DK. und einem Leiter gehen.

Seien a und a' in Fig. 249 zwei gleiche Platten eines Dielektrikums, Paraffin, die wir nach vorheriger vollständiger Entelektrisierung mittels einer Fla dicht nebeneinanderliegend in das eines Plattenkondensators gebracht haben. Nach unseren obigen Betrachtungen können wir uns die Polarisation des Dielektrikums ersetzt denken durch „freie Ladungen“ auf seinen äußeren Oberflächen. Treten wir jetzt aber die Scheiben, so treten an den Innenflächen freie Ladungen. Jede Teilplatte verhält sich also hier, als sei sie allein im Felde, und beim

ausziehen verschwinden sowohl die Polarisation wie die freien Ladungen wieder. Denken wir uns die Teilung beliebig fortgesetzt, so daß immer dünnere Scheiben entstehen, und dann auch noch die Scheiben in S zerlegt, so erhalten wir schließlich ein System von Elementarteilchen, jedes an der einen Seite eine positive, an der anderen eine negative „Ladung“ tragen, deren Betrag pro Quadratzentimeter durch die Polarisation P bestimmt ist. Man sieht die völlige Übereinstimmung des Bildes dem Bilde der ein beeinflussten Mischungsstücke zusammensetzenden „Elementarmagnete“.

Setzen wir $\epsilon = \infty$, so wird das Feld im Dielektrikum gleich Nu' , $\rho' = \rho$, d. h. gleich der Ladung der Kondensatorplatten selbst. Eine „w“ Ladung von diesem Betrage würde auf einer in das Feld eingeff Leiterscheibe auftreten, da ja der Kondensator dadurch einfach in hintereinandergeschaltete verwandelt würde. Führen wir zwei Leiterschichten getrennt in das Feld ein, so wird auf jeder von ihnen $+\rho$ auf

derung, die Polarisation, eingetreten. Im Innern eines Leiters gibt es im Gleichgewichtszustand überhaupt kein elektrisches Feld und keine Wirkungen eines solchen.

Am deutlichsten wird der Unterschied zwischen Dielektrikum und Leiter wohl bei Betrachtung der in Fig. 249 eingezeichneten Kraftlinien. Bezüglich ihres Einflusses auf die Kapazität verhalten sich die beiden Leiterplatten, wenn sie anfangs leitend verbunden waren, so, als wäre der Zwischenraum zwischen ihnen auch mit leitender Substanz ausgefüllt.

Wenn das Dielektrikum nicht vollständig isoliert, so kann bei den oben beschriebenen Versuchen unter Umständen doch eine wahre, d. h. eine nach dem Herausziehen aus dem Felde im Faraday-Zylinder nachweisbare Ladung auf den Platten auftreten. Da bei guten Dielektrika, wie z. B. Paraffin, die eigentliche Leitung durch das Innere nur sehr schwach merklich ist, so liegt sie etwaige Leitung hauptsächlich an einer Verschmutzung der Oberfläche. Um reinige diese also unmittelbar vor dem Gebrauch durch Abschaben und perioro möglichst rasch, damit die durch die Leitung nur sehr langsam entstehenden wahren Ladungen keine Zeit haben, sich auszubilden. Die Leitungsorgänge in Dielektrika sind die Ursache der in § 78 erwähnten „Rückstände“. Eine eingehende Behandlung erfolgt in § 108.

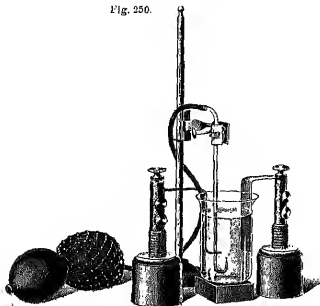
§ 97. Kräfte auf Dielektrika. Die vollständige Analogie der dielektrischen mit den magnetischen Vorgängen zeigt, daß ein Dielektrikum in Luft sich ebenso wie ein paramagnetischer Körper stets so bewegen wird, daß es möglichst viele Kraftlinien des Feldes in sich hineinzieht. In einem inhomogenen Felde wird es sich also nach den Stellen größter Feldstärke hinbewegen und außerdem noch so drehen, daß seine größte Ausdehnung möglichst in die Feldrichtung fällt. In einem homogenen Felde wird bloß die Drehung eintreten. Das einfachste Mittel zur Erzeugung eines inhomogenen Feldes ist eine geladene Kugel; da das Feld in der Richtung nach ihrem Mittelpunkt hin zunimmt, so wird nach obigen ein Dielektrikum in Luft von einer geladenen Kugel „angezogen“.

Befindet sich dagegen der dielektrische Körper in einem anderen dielektrischen Medium von größerer DK., so kehrt sich die Richtung der Kräfte gerade wie bei einem diamagnetischen Körper (vgl. § 49) um, die Bewegung findet nach den Punkten geringster Feldstärke hin statt, der Körper wird

also „abgestoßen“. Einen sehr hübschen Versuch zum Nachweis dieser Erscheinung hat Puccianti¹⁾ angestellt (Fig. 250).

In ein, mit einem zäflüssigen Dielektrikum (z. B. Paraffinöl) angefülltes Gefäß ist ein vertikal abgerundeter Draht und ihm gegenüber ein Bleistreifen eingetaucht, die mit den beiden Polen einer Elektrisiermaschine in Verbindung stehen. Zwischen beiden entsteht ein inhomogenes Feld, dessen Verlauf etwa der Fig. 220 in § 86 entspricht. Aus einer möglichst feinen Glasspitze treibt man mittels eines kleinen Gebläses einen Strom feiner Luftbläschen an der Kugel vorbei. Da die Luft eine kleinere DK. hat, als die Flüssigkeit, so werden die Bläschen von der Kugel „abgestoßen“ und bilden anfänglich geradlinig aufsteigende Kette biegt sich von der Spitze fort. Damit der Versuch gelingt, müssen die Blasen so fein sein, daß sie ganz langsam

Fig. 250.



aufsteigen. Stellt man zwei Kugeln einander gegenüber, die mit den beiden Polen der Maschine verbunden sind, so daß ein Feld entsteht, wie in Fig. 1 und läßt die Blasen zunächst in der Mitte zwischen den Kugeln aufsteigen, so werden sie bei Erregung des Feldes seitlich herausgetrieben²⁾.

Wenn ein dielektrischer Körper so gestaltet ist, daß man durch Simulation der durch Gleichung (10), § 95, dargestellten Spannungen über ganze Oberflache die Gesamtkraft auf den Körper berechnen kann, so die erhaltene Gleichung ein Mittel zur Bestimmung der DK. aus den in der bekannten Folge beobachteten Kräften auf das zu untersuchende Dielektrikum.

¹⁾ Nuov. Cim. [5] 4, 408, 1902.

²⁾ Gegen die Deutung des Pucciantischen Versuchs hat M. Seddig (Zeitschr. f. d. 414, 1905) gewisse Einwände erhoben.

So hat z. B. Hertzmann¹⁾ die Kräfte, die ein inhomogenes Feld auf eine dielektrische Kugel ausübt, mit den Kräften auf eine gleich große leitende Kugel verglichen und daraus die U.K. bestimmt. Zur Messung der Kräfte diente eine Art Drehwaage. Der Einfluß der Leitfähigkeit der Dielektrika wurde durch Vorwühlung möglichst kurz dauernder Fehler eliminiert.

Die Theorie dieser Versuche läßt sich relativ einfach ableiten, wenn man die Kräfte in etwas anderer Weise berechnet, als oben angegeben. Da nämlich das Feld, wie im vorigen Paragraphen gezeigt wurde, sich mittels „freier“ Ladungen darstellen läßt, so muß dasselbe auch für die Kräfte gelten, und wir können die Kraftwirkung auf ein Dielektrikum gleich der Einwirkung des ursprünglich vorhandenen äußeren Feldes auf die „freien“ Ladungen des Dielektrikums setzen.

Wir betrachten zunächst ein homogenes Feld, dann gilt für eine Kugel [Gleichung (12), § 85]:

$$D = 3 K \cdot e / (1 + 2) \quad (1)$$

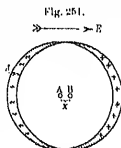
sonst ist das Feld im Innern der Kugel:

$$E' = D / \epsilon = 3 K / (\epsilon + 2) \quad (2)$$

und nach (Gleichung (5), § 85):

$$4 \pi P' = D - E' = 3 K (\epsilon - 1) / (\epsilon + 2) \quad (3)$$

D , E' und P' sind im ganzen Innern der Kugel konstant. Die Verteilung der freien Elektrizität, die durch die Verschiebung der Elektrizitätsmenge P'



durch jeden Quadratzentimeter in Richtung des Feldes E' an der Oberfläche der Kugel auftritt, erhalten wir also einfach dadurch, daß wir uns zwei Kugeln von der Größe der dielektrischen Kugel gleichmäßig mit $+$ und mit $-$ Elektrizität anfüllen und um eine sehr kleine Strecke x in der Feldrichtung gegeneinander verschieben denken (Fig. 251). Ist e_1 die Ladung eines Zehntels pro Kubikzentimeter, dann ist durch jeden zur Verschiebungsrichtung senkrechten Querschnitt von 1 cm dieselbe Menge $e_1 x$ hindurchgeflossen. Wir können nun über e_1 und x willkürlich an

$$e_1 x = P' \quad (4)$$

wählen.

Die Strecke x denken wir uns von molekularen Dimensionen und entsprechend e_1 sehr groß; die Dichte der freien Elektrizität an der Oberfläche ist dann an jeder Stelle proportional der Dichte d der in der Figur schraffiert (und überzogen) diek) gezeichneten Rechte. Wo die beiden Kugeln sich überdecken, ist noch wie vor die Ladungsdichte Null. Die Kraft, die ein Feld auf das Dielektrikum ausübt, setzen wir jetzt gleich der Summe der Kräfte, die auf die positiv und auf die negativ geladene Kugel ausgeübt werden. Ist N der Wert des Feldes, der vor Einführung des Dielektrikums im Mittelpunkt A der negativen Kugel herrschte, so ist die Kraft auf die negative Kugel gleich dem Produkt der Feldstärke in die im Mittelpunkt vereinigte

$$- e_1 N \cdot V,$$

wobei V das Volumen der Kugel. Wenn das äußere Feld homogen ist, so erhalten wir für die positive Kugel die Kraft

$$+ e_1 N' \cdot V.$$

Die Summe beider Kräfte ist Null, d. h. im homogenen Felde übt keine Kraftwirkung auf die Kugel statt.

¹⁾ Wlan. Ber. [2] 117, 17, 1873; 118, 81, 1873; 70, 307 u. 342, 1874; Pog. Ann. 151, 482 u. 531, 1874.

Ist dagegen das Feld inhomogen, so werden die Verhältnisse bedeutend komplizierter; denn erstens ist dann die Polarisation gar nicht mehr an allen Punkten des Dielektrikums dieselbe, zweitens ist B in A und B verschieden.

Wenn wir uns aber auf schwach inhomogene Felder beschränken, so erhalten wir eine genügende Annäherung, wenn wir den Polarisationszustand nach wie vor als gleichmäßig betrachten und nur berücksichtigen, daß in A und in B etwas verschiedene Feldstärken herrschen. Wenn sich das Feld pro Zentimeter Weg in Richtung des Feldes, also in Richtung AB um $\delta_1 E$ ändert, so ändert es sich längs der Strecke $AB = x$ um $x \cdot \delta_1 E$.

Es bleibt also, wenn wir die beiden auf die Kugeln wirkenden Kräfte addieren, ein Unterschied im Betrage:

$$f = e_1 \cdot x \cdot V \cdot \delta_1 E = P V \cdot \delta_1 E \dots \dots \dots (5)$$

übrig. Wie man sieht, sind aus dem Endergebnis die unbekannten Größen e_1 und x herausgefallen, da nur ihr bekanntes Produkt P darin vorkommt. Setzt man für P seinen Wert aus Gleichung (5) ein, so erhält man für die auf die dielektrische Kugel wirkende Kraft:

$$f = \frac{3V}{4\pi} \frac{\epsilon - 1}{\epsilon + 2} \cdot E \cdot \delta_1 E \dots \dots \dots (6)$$

Die Kraft auf eine leitende Kugel von gleicher Größe erhalten wir, wenn wir $\epsilon = \infty$ setzen (vgl. § 96), zu

$$f' = 3V/4\pi \cdot E \cdot \delta_1 E \dots \dots \dots (7)$$

und das Verhältnis beider ergibt sich zu

$$f/f' = (\epsilon - 1)/(\epsilon + 2) \dots \dots \dots (8)$$

Wie Gleichung (8) zeigt, läßt sich die DK. aus dem Verhältnis der Kräfte berechnen, die in irgend einem schwach inhomogenen Felde auf eine dielektrische und auf eine gleich große leitende Kugel ausgeübt werden.

Die Resultate Boltzmanns stimmen ziemlich mit den auf andere Weise erhaltenen überein. So ergab sich für:

Schwefel	$\epsilon = 3,9$
Hartgummi	$\epsilon = 3,5$
Paraffin	$\epsilon = 2,3$
Kelcephenium	$\epsilon = 2,5$.

§ 98. Verwirklichung des absoluten Maßsystems; absolutes Elektrometer. Wir haben zwar bereits bei unseren bisherigen Betrachtungen die Annahme zugrunde gelegt, daß alle in Betracht kommenden Größen in absolutem elektrischen Maß gemessen seien, haben jedoch nur ziemlich rohe Mittel angegeben, um die in Frage kommenden Einheiten auch wirklich zu bestimmen. Die folgenden Betrachtungen sollen der Verwirklichung genauer Maßeinheiten dienen. Als Fundamentalgrößen kommen hierbei in Betracht: Elektrizitätsmengen, Potentialdifferenzen, Kapazitäten.

Als Einheit der Elektrizitätsmenge war in § 85 diejenige definiert, die auf eine gleich große Menge in 1 cm Abstand in Luft eine Kraft gleich einer Dyne ausübt.

Die Einheit der Potentialdifferenz war dadurch bestimmt, daß die Einheit der Elektrizitätsmenge, wenn sie diese Potentialdifferenz durchwandert, die Arbeitseinheit = 1 Erg leistet.

Die Einheit der Kapazität endlich erhielten wir durch die Festsetzung, daß zwischen der Ladung e eines Leiters, seiner Potentialdifferenz Φ gegen Erde und seiner Kapazität K die Beziehung:

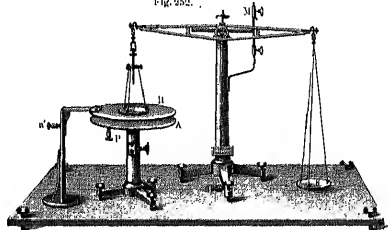
$$K = e/\Phi$$

gelten sollte, mit anderen Worten: Ein Leiter sollte die Kapazität Eins haben, wenn er von der Elektrizitätsmenge Eins zum Potential Eins geladen wurde.

Aus dem Coulombschen Gesetz folgt dann, daß die Kapazität sich durch die geometrischen Dimensionen des Leiters ausdrücken ließ; da in bestimmten Fällen einfache Ausdrücke erhalten wurden, so erhielten wir dadurch das Mittel, uns in Gestalt von Leitern mit genau meßbaren Dimensionen Normalkapazitäten von bekanntem Werte herzustellen.

Es ist also nur noch übrig, ein Mittel zur Eichung eines Elektrometers in absoluten Einheiten des Potentials anzugeben. Denn dann können wir durch Ladung einer bekannten Kapazität auf ein bekanntes Potential eine

Fig. 252.



bekannte Elektrizitätsmenge herstellen, die wir zur Eichung eines Faraday-Cylinders benutzen können.

Elektrometer, die eine absolute Messung des Potentials, und somit auch eine Eichung anderer mit ihnen verbundener Elektrometer in absolutem Maß gestatten, nennt man „absolute Elektrometer“.

Das bekannteste derartige Instrument ist von W. Thomson (Lord Kelvin) angegeben. An Stelle des sehr kompliziert gebauten Originalinstrumentes ist in Fig. 252 ein für Vorlesungszwecke geeignetes, vereinfachtes Modell abgebildet¹⁾. Das Meßprinzip besteht in der Bestimmung der Anziehung der Platten eines Kondensators mittels einer Waage. Da das Feld zwischen den Platten nur in den mittleren Teilen homogen ist, während an den Rändern der Verlauf sehr kompliziert und für die Berechnung der Anziehung un bequem wird, so ist die obere Platte in zwei Teile B und C geteilt, von denen nur der mittlere C beweglich und an der Waage aufgehängt ist. Der ringförmige Teil B, der sogenannte „Schutzring“, umgibt C mit geringem Abstand und dient nur dazu, das Feld, das auf C wirkt, homogen zu machen. Die Höhe der unteren Platte A ist mikrometrisch verstellbar. A wird mittels der Klemme P mit dem zu eichenden Elektrometer verbunden, B und C sind über die Klemmen a und a' zur Erde abgeleitet.

Sei nun zuerst, so lange A noch ungeladen, die Waage im Gleichgewicht gebracht, sodann der Anschluß M so weit heruntorgeschieben, daß der den

¹⁾ Es ist leicht möglich, ein dergleichen Waage diesem Zwecke anzupassen.

Balken gerade berührt, wenn der Zeiger der Wago auf Null steht, und darnit die Platte A und das mit ihr verbundene Elektrometer geladen, bis letzteres einen Ausschlag von n Skalenteilen anzeigt. Infolge der eintretenden Anziehung der Platten würde die Platte C sich senken, wenn der Anschlag M dies nicht verhinderte. Bestimmt man nun dasjenige Gewicht G in Gramm, das man auf die Schale S legen muß, um die Anziehung eben zu überwinden, d. h. um eine Senkung von S hervorzurufen, so ist der Zug gG dieses Gewichtes gleich der Anziehung der Platten in Dynen. (g = Beschleunigung der Schwere.)

Der Zug langs der senkrecht von einer Platte zur anderen laufenden Kräftefäden beträgt $E^2/8\pi$ pro Quadratzentimeter; also ist, wenn q die ganze Fläche der beweglichen Platte, die Anziehung

$$gG = qE^2/8\pi \dots \dots \dots (1)$$

Ist d der Plattenabstand und φ das Potential der unteren Platte (Nähergemeiner: die Potentialdifferenz beider Platten), so ist $E = \varphi/d$ [§ 89, Gleichung (1)].

Dies gibt, in Gleichung (1) eingesetzt und nach Φ aufgelöst:

$$\Phi = d \cdot \sqrt{8\pi gG/q} \dots \dots \dots (2)$$

Wählt man hintereinander eine Reihe von möglichst gleichmäßig verteilten Punkten auf der Skala des zu Eichenden Instrumentes aus, für die man Φ nach Gleichung (2) bestimmt, so kann man durch graphische Auftragung von Φ als Ordinate und n als Abszisse und Verbindung der Punkte eine Kurve erhalten, die noch für die dazwischenliegenden Skalenpunkte Φ zu ermitteln gestattet.

Es sei bemerkt, daß die „elektrostatische Wago“, wie das beschriebene Instrument noch genannt wird, im wesentlichen nur zu Eichzwecken dient; man könnte es ja prinzipiell selbst als Meßinstrument zum Messen von Potentialen gebrauchen; doch ist seine Handhabung viel zu unständlich, da ja jede einzelne Messung längere Zeit erfordert; es wäre also nur möglich, völlig konstante Potentiale damit direkt zu messen.

Andere absolute Elektrometer sind noch u. a. von Mach¹⁾, sowie von Bichat und Blondlot²⁾ konstruiert. Ersterer mißt die Abstoßung, die die beiden sich berührenden Hälften einer geladenen Kugel aufeinander ausüben, und deren Wert bei genügender Entfernung aller anderen Leiter $\Phi^2/8$ beträgt; letztere messen die gegenseitige Einwirkung zweier konzentrischer Zylinder. Beide Instrumente haben vor dem Thomsonschen den Vorteil, daß außer dem ein für allemal konstanten Dimensionen der Leiter nur die Kraft gemessen zu werden braucht, während bei Thomson noch die immer etwas unsichere Entfernungsmessung mit eingeht. Dagegen sind die wirkenden Kräfte bei jenen schwächer, die Wago muß also empfindlicher sein.

Wir wollen noch eine Betrachtung über den Meßbereich der Thomsonschen Wago anstellen.

Es betrage etwa $q = 25$ qcm (also der Durchmesser der beweglichen Platte etwa 5,6 cm). Da auch 8π rund gleich 25 ist, so erhalten wir rund $\Phi = d \cdot \sqrt{gG}$. d wird kaum kleiner als etwa 0,5 cm sein dürfen, wenn man noch auf 1 Proz. sicher messen will. Ist also 1 mg die „Empfindlichkeit“ der

¹⁾ Zeitschr. der elektrotechn. Ver. in Wien. Dezember 1883.

²⁾ Journ. d. Phys. (2) 5, 1886.

ge, d. h. für 1 Proz. Meßgenauigkeit 100 mg oder 0,1 g das kleinste zuzugehörige Gewicht, so erhalten wir, wenn wir $g = 1000$ setzen, als Minimalwert der noch auf 1 Proz. meßbaren Spannung:

$$Q_{\text{min}} = 0,5 \sqrt{1000 \cdot 0,1} = 5 \text{ oga-Einheiten.}$$

Dieser Spannung entspricht eine Funkenstreckweite zwischen Kugeln in t von etwa $\frac{1}{2}$ mm.

Für ein empfindliches Aluminiumblattelektrometer beträgt aber die obere Grenze höchstens etwa 1 oga-Einheit, so daß ein solches sich mit derge nicht messen läßt. Anders, auch für niedrige Spannungen anwendbare sehr leichte Nickelmethoden werden uns später die Gesetze des elektrischen Stromes liefern (§ 101, Fig. 274).

§ 99. Quadranten-Elektrometer; Haake'sches Elektrometer; Nachmessungselektrometer. Während die in § 67 beschriebenen Elektrokapazitäts-Elektrometer meist nur für rohe Messungen brauchbar sind, sollen imenden noch einige für genauere Messungen geeignete Formen beschrieben werden. Ein für die Messung sehr kleiner Potentialdifferenzen geeignetes Elektrometer ist das von W. Thomson (Lord Kelvin) erfundene¹⁾ und war von verschiedenen anderen Forschern wesentlich verbesserte und verbesserte „Quadranten-Elektrometer“.

In Fig. 253 ist das Instrument in der Form, die es durch Messung erreicht hat, abgebildet²⁾. Der Messungsmittel, der den unteren Teil umgibt, ist auf einer in das Innere in der Figur fortgelassen. Der Hauptteil ist eine runde, runde Masse, die durch zwei aufeinander senkrechte Schnitte und ein Loch in vier „Quadranten“ zerlegt ist, von denen jedoch in der Figur nur drei abgebildet sind, während der vierte fortgenommen ist, um das Innere der Dose sichtbar zu machen. In der Dose schwimmt frei eine aus Aluminiumblech bestehende „Nadel“ von der in Fig. 254 dargestellten hakenförmigen Form. Sie ist an einem senkrechten, dünnen Aluminiumstiel befestigt, an zwei dünnen Kokonfäden hängt, deren Abstand behufs Regulierung der Gleichheit verstellbar ist³⁾. Am oberen Ende des Stieles befindet sich ein Ring (Fig. 255) behufs Ablesung der Drehungen mittels Skala und Fernrohr; am unteren Ende ist eine Platinöse befestigt, die in ein Gefäß mit konzentrierter Schwefelsäure taucht. Mittels eines in dasselbe Gefäß eintauchenden, isoliert durch den Deckel des Instruments geführten Drahtes kann die Nadel geladen werden. Ebenso können die Quadranten, von denen die beiden in Fig. 254 mit 1 und die beiden mit 2 bezeichnet untereinander verbunden sind, mittels der den Deckel durchsetzenden Zuführungen geladen werden. Außer zur Ladung der Nadel dient das Säuregefäß auch zum Absaugen der Luft im Instrument und damit auch der im Inneren des Glasgefäßes, sowie zur Dämpfung der Nadelerschwingungen.

Halten sich die beiden Quadranten auf gleichem Potential, so folgt aus der Symmetrie der Anordnung, daß auch bei Ladung der Nadel auf beliebigem

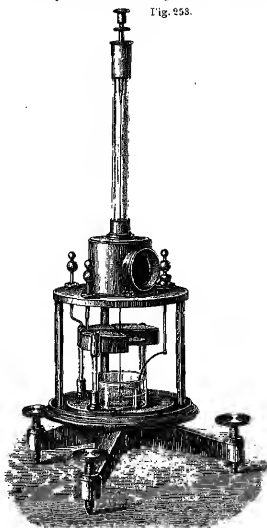
¹⁾ Rep. Brit. Assoc. 1855 (2), 22.

²⁾ Fabrikant: Richter in Leipzig.

³⁾ An Stelle der Kokonfädenführung kann man auch einen sehr feinen Platinstiel benutzen. Dann wirkt nicht die Schwere, sondern die Torsion des feinsten Drahtes.

positives oder negatives Potential keine Drehung eintritt. Nadel auf das Potential $+\varphi$ geladen, und das Potential des Drahtenpaares etwas niedriger als das Potential φ_1 des aus-

Fig. 253.



die Nadel
ein gr.
Fläche i
paar φ_2
Nadel
zugleich
bisher
Physik
muß, H
Nadel
moment

$$F = a \cdot (\varphi_1 - \varphi_2) [\varphi - 1/2 \cdot (\varphi_1 + \varphi_2)]$$

wobei a eine von den Abmessungen des Instruments abhängt.

Da ferner bei kleinen Winkeln, wie sie bei Anwendung beobachtet werden, die Ausschläge proportional sind, gilt die Gleichung (1) auch noch, wenn man an Stelle von φ das Potential φ_1 setzt; natürlich hat dann die Konstante a eine andere Bedeutung.

Je nach der Größe der zu messenden Potentialdifferenz kann das Elektrometer in verschiedener Weise benutzt werden:

I. Die zu messende Potentialdifferenz $(\varphi_1 - \varphi_2)$.

Man verbinde die Nadel mit einer Elektrizitätsquelle, die

flüchtigen geladenen Leuchter¹⁾, oder noch besser mit einem Pol einer Zambonis'schen Säule (s. § 108) oder einer galvanischen Batterie (s. § 118) von vielen (50 bis 100) kleinen Elementen, deren anderer Pol zur Erde abgeleitet ist. Dann ist, wenn man das mittlere Potential der Quadranten $1/2 \cdot (q_1 + q_2)$ gegen q vernachlässigt:

$$S \approx a \cdot q (q_1 + q_2) \dots \dots \dots (2)$$

Der Ausschlag ist also der zu messenden Potentialdifferenz proportional und kehrt seine Richtung um, wenn man die Quadrantenpaare vertauscht, oder wenn man das Vorzeichen der Nadelladung umkehrt. Die Empfindlichkeit läßt sich durch geeignete Wahl von q in gewissen Grenzen regulieren. Wird q zu groß, so erhält man keine stabile Gleichgewichtslage der Nadel mehr.

II. Das zu messende Potential φ ist groß, etwa von der Größe des im Falle I. benutzten Nadelpotentials. Dann kann man den Quadranten durch eine geeignete Quelle, etwa ein oder mehrere galvanische Elemente, eine Potentialdifferenz geben und das zu messende Potential q mit der Nadel verbinden. Auch für diesen Fall gilt Gleichung (2).

III. Für mittlere Potentiale kann man das eine Quadrantenpaar mit der Erde verbinden (also $\varphi_2 = 0$ machen) und das andere mit der Nadel, sowie mit dem zu messenden Potential q , so daß $q_1 = \varphi$. Dann wird:

$$S \approx a/2 \cdot q^2 \dots \dots \dots (3)$$

Der Ausschlag wird also dem Quadrat der Potentialdifferenz proportional und geht stets nach derselben Seite, nämlich nach der Seite der abgeleiteten Quadranten hin.

Bei Messungen nach (I.) ist übrigens eine Reihe von Vorsichtsmaßregeln zu beachten, die von W. Hallwachs²⁾ näher erörtert sind.

Staatliche Messungen erfolgen in willkürlichem Maß, solange nicht durch eine Eichung die Konstante a bestimmt ist. Zur Eichung wird man zweckmäßig die bekannte Potentialdifferenz galvanischer Elemente (s. § 118 und 124) benutzen.

Von F. Dolenzek³⁾ ist das Quadranten-Elektrometer bedeutend verbessert worden; die Empfindlichkeit ist so weit gesteigert, daß man Potentialdifferenzen von weniger als ein Millionstel cgs-Kinheiten noch ablesen kann.

Die Quadranten stehen bei dieser Konstruktion auf Hermeteinflußen, um möglichst vollkommene Isolation zu erzielen; die Nadel besteht aus Silberpapier und ist mitaamt dem nur wenige Quadratmillimeter großen Spiegel an einem feinen Quarzfaden aufgehängt, der bei einem Durchmesser von nur einigen Tausendstel Millimeter nur eine ganz geringe Lichtkraft ausstrahlt. Die Ladung der Nadel kann man entweder durch den Quarzfaden zuführen, den man durch einen Überzug von Chloroformlösung leitend gemacht hat, oder besser dadurch, daß man die Nadel für einen Augenblick mit einem feinen Draht berührt, der mit einer galvanischen Batterie von Zinkblei verbunden ist.

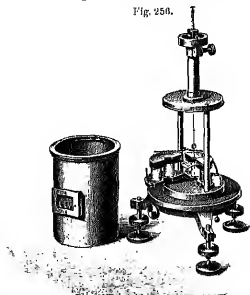
¹⁾ Bei dem Originalinstrument von W. Thomson ist eine feldseier Flasche in dasselbe eingebaut; der aus Rohwafelzule bestehende Innere Leiter der Flasche dient gleichzeitig zur Trockenhaltung und zur Dämpfung der Schwingungen. Die Ladung wird von einem kleinen Elektrometer kontrolliert und mittels eines kleinen Multiplikators („Leptelektrometer“) (s. § 89) wieder ergänzt, wenn sie sich im Laufe der Zeit verringert hat.

²⁾ Wied. Ann. 21, 1 und 300, 1886.

³⁾ Zellschr. f. Instrumentenkunde 21, 345, 1901.

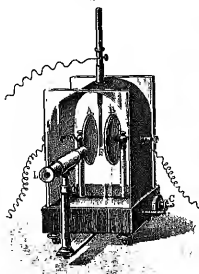
Potential verbunden ist. Die Isolation des Quarzfadens ist so vollkommen, daß die Nadel ihre Ladung stundenlang fast unverändert behält. Fig. 256

Fig. 256.



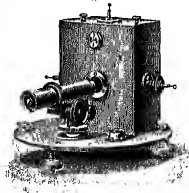
zeigt das Instrument in der Ausführung von Bartels in Göttingen. (Der Mantel ist abgenommen und die Quadranten auseinandergeklappt.)

Fig. 257.



Neuerdings hat A. Kleiner¹⁾ durch Verwendung allerfeinster Platinfäden zur Aufhängung, möglichste Verkleinerung der Nadel und Einschließen des Ganzen in ein luftleeres Gefäß die Empfindlichkeit noch weiter gesteigert.

Fig. 258.



Auf eine ebenfalls auf möglichste Steigerung der Empfindlichkeit hienzielende Konstruktion von P. Paschen²⁾ kann hier nur hingewiesen werden.

¹⁾ Vierteljahrsschr. naturf. Ges. Zürich 51, 226, 1900; Beibl. 30, 1158, 1906.

²⁾ Phys. Zeitschr. 7, 402, 1906.

Im Prinzip mit dem Quadrantenelektrometer verwandt ist das in Fig. 257 abgebildete Hanksche¹⁾ Elektrometer, das wiederum eine Verbesserung der Konstruktionen von Bohnenburger und Pechner ist. Die beiden Platten *A* und *B* werden auf gleich hohes positives und negatives Potential geladen, so daß ein starkes elektrisches Feld zwischen ihnen entsteht. Wenn Aluminiumblättchen *E* aufgeladen ist und genau in der Mitte zwischen Platten, also an einer Stelle hängt, deren Potential Null ist, so erfährt eine Kraftwirkung. Wird aber das Blättchen $+$ oder $-$ geladen, so zieht es sich nach der negativen oder positiven Platte hin. Die Ablesungen werden an der Okularskala des Mikroskops *L* abgelesen. Zur Arbeit der Platten benutzten Bohnenburger und Pechner eine Zamboni'sche Saule (§ 108); besser nimmt man nach Hanks's Empfehlung eine galvanische Batterie von etwa 100 Zellen. Empfindlichkeit kann bis zu einem Ausmaß von 1 Skalenteil für $1,5 \times 10^{-10}$ esu-Kinheit gewonnen werden.

Hauptvorteile des Instrumentes gegenüber dem Quadranten-Elektrometer sind: rasche Einstellung ohne Vibrationen (sog. „aperiodische“ Einstellung), seine große Kapazität, die es zum Beweise äußerst geringer Reibkräften geeignet

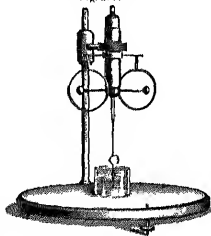
ist, z. B. bei Versuchen über Pyro- und Piezoelektrizität, und endlich die Bequemlichkeit der immer etwas umständlichen Fernrohranstellung.

Die Firma Siemens und Halske fertigt ein verbessertes Hanksches Elektrometer nach Hoggeworth an, in dem zur Isolation Bernstein und Quarz benutzt sind. Fig. 258 zeigt eine Ansicht des Instrumentes von außen.

Für die Messung sehr hoher Potentiale kommen einerseits eine Reihe Instrumenten mit Spiegelablesung, andererseits solche mit Zeigerablesung bereits vom Fabrikanten gelehrt. Letztere sind im Prinzip sehr bequem, doch sollten genauer als etwa 1 Proz. wegen der nicht zu vermeidenden Achsenneigung. Die Spiegelinstrumente gestalten sich infolge der Leichtigkeit der Ablesung, müssen aber jedesmal besonders auf die Konstanz der Einstellung fortlaufend kontrolliert werden. Von Spiegelinstrumenten seien die Konstruktionen von Heydweiller²⁾ und von Ebert und Hoffmann³⁾ kurz besprochen.

Das Heydweiller'sche Elektrometer zeigt Fig. 259; der zum Schutz vor Luftströmungen und andere elektrische Einwirkungen dienende Metall-

Fig. 259.



¹⁾ Pogg. Ann. 103, 209, 1858.

²⁾ Zeitschr. f. Instrum. B, 255, 1903.

³⁾ Hand. d. Messung (2) 7, 109, 1870.

⁴⁾ Zeitschr. f. Instrumentenkunde 18, 1, 1908.

mantel ist fortgelassen. Das bewegliche System besteht aus einem S-förmig gebogenen Draht mit kugelförmigen Enden, der durch seinen Aufhängedraht leitend mit einem festen Leitersystem verbunden ist, das hauptsächlich aus zwei Ringen besteht, die abstoßend auf die Kugeln wirken. Zur Ablosung der Drehungen dient ein Spiegel; die Drehungen sind annähernd den Quadraten der angelegten Potentialdifferenzen proportional.

Das Righische Elektrometer kann man sich aus einem Quadrantenolektrometer in Schaltung III entstanden denken, von dem das zur Erde abgeleitete Quadrantenpaar entfernt ist. Dann wirkt bloß die gegenseitige Abstoßung zwischen dem übrig bleibenden Quadrantenpaar und der Nadel; die Empfindlichkeit ist also gegenüber dem gewöhnlichen Quadrantenolektrometer verringert, der Meßbereich nach oben hin vergrößert.

Fig. 260 a.

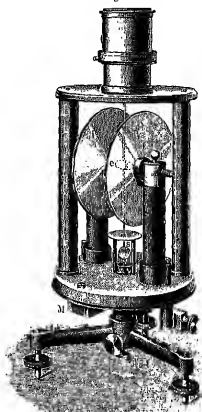


Fig. 260 b.



Das von Edelmann in München ausgeführte Elektrometer nach Ebert und Hoffmann (Fig. 260 a) stellt eine konstruktive Verbesserung eines von Bjerkness¹⁾ ersonnenen Instrumentes dar. Die zu messende Potentialdifferenz wird mit den Platten *PP* verbunden; das zwischen diesen entstehende Feld wirkt drehend auf ein an zwei Drähten hängendes, mit seiner Längsachse

¹⁾ Wied. Ann. 48, 594, 1893.

15° gegen die Feldrichtung geneigtes Aluminiumellipsoid e , das nebst m mit ihm verbundenen weiteren Teilen, nämlich einem Spiegel s und einem Papierzylinder c in Fig. 260) noch einmal besonders abgebildet ist. Der Papierzylinder schwingt zwischen den Polen eines Magneten M und bewirkt durch eine rasche Dämpfung der Schwingungen (siehe Kap. „Induktions-simo“). Die Feldstärke kann durch Änderung der Entfernung der Platten $P'P''$ reguliert werden, so daß das Instrument für einen unendlich weiten Meßbereich ausbaubar ist.

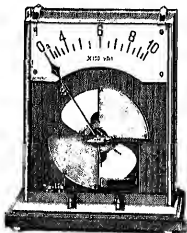
Da die Kraftwirkung des Ellipsoid theoretisch rechenbar und auch die Abstoßungskraft der Bifilaraufhängung leicht meßbar ist, so kann das Instrument auch als absolutes Elektrometer dienen.

Von Elektrometern mit Federablenkung seien außer dem bereits in Fig. 114 abgebildeten Braunschen Instrument noch folgende beschrieben:

Das sogenannte „elektrische Voltmeter“ von W. Thomson (Lord Kelvin) ist in Fig. 261 in der Form dargestellt, die ihm neuerdings von der Firma Hartmann und Braun (Frankfurt a. M.) gegeben wurde, und die besonders zu Demonstrationszwecken geeignet ist. Die S-förmige Nadel aus Aluminium ist mit der einen, die feste Leiterschleife mit der anderen Zuleitung verbunden. Werden beide auf verschiedenes Potential gebracht, so tritt eine Anziehung zwischen ihnen ein. Als Rückkraft dient eine Spiralfeder, die sich bei Bewegung der Nadel anspannt. Zur Dämpfung der Schwingungen (durch Induktionsströme) dient ein das untere Ende aus umschließender Hufeisenmagnet.

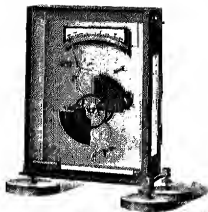
Mehr dem Thomson'schen Originalinstrument entsprechend ist das in Fig. 262 abgebildete Instrument von Siemens und Halske. Die Zuleitungen finden sich an der Rückwand; als Rückkraft dient die Schwerkraft, indem

Fig. 261.



1:5

Fig. 262.



kleine, hakenförmige Gewichtchen an das untere Ende der Nadel angehängt werden. Durch Verwendung verschiedener derartiger Gewichte erhält man verschiedene Empfindlichkeitsbereiche.

Fig. 283.

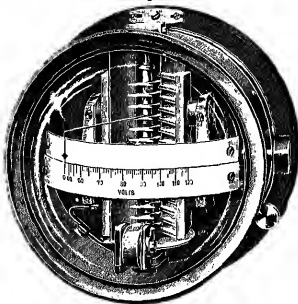
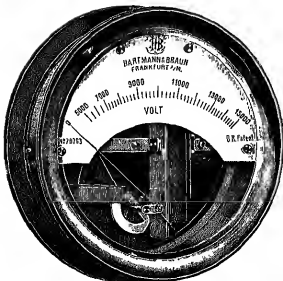


Fig. 284.



Denkt man sich mehrere Nadeln und Quadrantenpaare derart miteinander verbunden, daß alle Nadeln zusammen auf einer gemeinsamen Achse sitzen, so erhält man das sogenannte W. Thomson'sche „Multicellular-

nehmen die angegebenen Zahlen nur einen ungefähren Anhalt geben.
 Als Maßeinheit des Potentials ist in der Tabelle die von der Elektrostatik eingeführte Einheit, das „Volt“, benutzt. Die Bedeutung dieser Einheit und ihre Herleitung kann erst später ausgeführt werden. Hier genüge die Angabe, daß eine absolute elektrostatische Spannungseinheit gleich 300 Volt ist. Man erhält also die Empfindlichkeiten oder Maßbereiche in *ega*-Einheiten, indem man die angegebenen Zahlen durch 300 dividiert.

Elektromessertabelle.

Bezeichnung	Maßbereich	Bemerkungen	
Volt			
Dünnblechelektrometer (verschie- dener Konstruktion)	50 bis 200	Meist willkürliche Skala ohne Skala	
Dünnblechelektroskop nach Kohlrausch	ca. 500 bis 4000		
Elektrometer nach Braun	500 bis 1 500	In Volt geeichte Skala	
	oder		
	1 000 bis 3 000		
	oder		
Elektrostatisches Voltmeter nach W. Thomson (Lord Kelvin)	2 000 bis 10 000	In Volt geeichte Skala	
	500 bis 2 000		
	oder		
	1 000 bis 4 000		
Multisektorelektrometer	2 500 bis 10 000	In Volt geeichte Skala	
	40 bis 120		
	oder		
	150 bis 400		
Elektrometer n. Heydeweller	11 000 bis 60 000	Ablesung mit Spiegel und Fernrohr; jedesmalige Einstellung nötig	
	3 000 bis 30 000		
Elektrometer nach Ebert und Hoffmann	10 bis 10 000	Spiegelablesung; mehrere Maßbereiche; absolute Einstellung möglich	
1 Skalenteil = Volt			
Quadrantenelektrometer nach:			
a) W. Thomson, Mascart usw.	$\frac{1}{100}$ bis $\frac{1}{1000}$	Fernrohrablesung	
b) Dubzinskij	$\frac{1}{1000}$ bis $\frac{1}{10\,000}$		
c) Köhler	$\frac{1}{1000}$ bis $\frac{1}{100\,000}$	Mikroskopablesung	
Elektrometer nach Hankel	$\frac{1}{10}$ bis $\frac{1}{100}$		

Fünftes Kapitel.

Der elektrische Strom.

§ 100. Langsam veränderliche Felder; elektrischer Strom; Ohmsches Gesetz. Bei den bisherigen Betrachtungen haben wir das elektrische Feld entweder als völlig konstant betrachtet, oder aber, wenn wir etwa Leiter oder Dielektrika bewegten, oder die Ladung von Leitern veränderten, als so langsam veränderlich, daß der Zustand in jedem Augenblick als ein Gleichgewichtszustand betrachtet werden konnte. Den Vorgang der Leitung, der eintritt, wenn zwei auf verschiedenem Potential befindliche Leiter durch irgend einen dritten leitenden Körper verbunden werden, haben wir zwar verschiedentlich erwähnt, doch seine Gesetze nicht näher untersucht; die Ermittlung dieser Gesetze bildet den Inhalt der folgenden Paragraphen.

Um den zeitlichen Verlauf des Potentials einer Leidener Flasche, deren Belegungen durch einen leitenden Körper verbunden sind, bequem untersuchen zu können, dürfen wir zur Verbindung keinen zu guten Leiter, also nicht etwa einen Metalldraht, nehmen, denn dann erfolgt der Vorgang so schnell, daß nur ganz besonders feine Versuchsanordnungen, die wir später kennen lernen werden, den Verlauf zu verfolgen gestatten.

Zum bloßen Nachweise der außerordentlich kurzen Dauer der Entladung einer Leidener Flasche durch einen Metalldraht verbindet man eine Flasche mit den Konduktoren einer rasch umlaufenden, selbsterregenden Induktionsmaschine, so daß die Funken zwischen den Konduktoren überspringen. Beobachtet man im verdunkelten Zimmer, so stehen die vom Funkenlicht beleuchteten Knöpfe der rotierenden Scheibe scheinbar still. Sie haben sich also während der Dauer einer Entladung nur um eine ganz unmerkliche Strecke fortbewegt. Nimmt man an, daß die Scheibe fünf Umdrehungen pro Sekunde mache, also bei 10 cm Abstand der Knöpfe von der Achse die Geschwindigkeit der Knöpfe

$$v = 2\pi \cdot 10 \cdot 5 = 314 \text{ cm/sec}$$

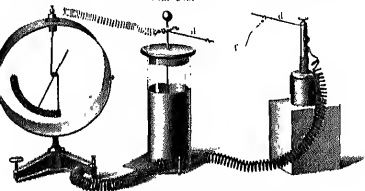
betrage, und daß eine Verschiebung von etwa $\frac{1}{2}$ mm noch bemerkt werden könne, so folgt, daß die Dauer einer Entladung weniger als etwa $\frac{1}{10000}$ Sekunde beträgt. (Über Messung der Entladungsdauer s. Kap. „Elektrische Schwingungen“.)

Um langsam verlaufende und bequem zu beobachtende Entladungen zu erhalten, benutzen wir als leitende Verbindung der Belegungen Bindfäden; die geeignete Länge und Dicke der Fäden hängt sehr vom Fadenmaterial ab und muß durch Ausprobieren ermittelt werden. Verf. benutzte zu den folgenden Versuchen Leinenfäden von etwa 20 cm Länge und $\frac{1}{2}$ mm Dicke.

Erster Versuch: Ein Bindfaden f (Fig. 265) ist mit seinen Enden an Drahtbüchsen geknüpft, die über zwei mit den Belegungen einer gut

Langsam verminderte Feuer; elektr. Strom; Ohm'sches Gesetz. 287
 runden) leitbare Flasche vorhandene stoffe Drähle dd gehängt
 Wir laden die Flasche und überlassen sie dann sich selbst. Wir
 daß die an einem Braunsehn'schen Elektrometer abgelesene Spannung
 scho erst rasch, dann immer langsamer sinkt und schließlich unmerk-
 l. Haben wir in einem beliebigen Moment mittels eines Glas- oder

Fig. 265.



ummanteltes den Faden ab, so steht das Elektrometer sofort still; die
 ung ist also wirklich durch das Vorhandensein des leitenden Fadens

folgende Tabelle enthält eine Darstellung des zeitlichen Verlaufes
 unnung:

t (Sekunden)	ψ (Volt)	$\lg \psi$	Differenz
0	1640	7,41	
30	1350	7,31	0,20
60	1120	7,02	0,19
90	930	6,84	0,18
120	780	6,69	0,18
150	660	6,40	0,17
180	550	6,31	0,18

Mittel 0,18

erste Zeile der Tabelle enthält die Zeit in Sekunden, die zweite die
 stete Potentialdifferenz in Volt²), die dritte deren natürlichen Loga-
 rithmen³), die vierte die Differenz zweier aufeinander folgender Logarithmen.

Flasche und Elektrometer zusammen dürfen, wenn kein Faden ausliegt,
 15 Minuten höchstens die Hälfte ihrer Ladung verlieren. Eventuell müssen
 izzten Flaschen neu lackiert werden.

Reihe B. 265.

Die Basis der natürlichen Logarithmen ist $e = 2,71828$. Man erhält den
 uchen Logarithmus aus dem gewöhnlichen Briggs'schen mit der Eins 10 durch
 aktion mit 2,3026. Der Grund für die Wahl der natürlichen Logarithmen
 der unten klar werden.

Wie man sieht, sind die Zahlen der vierten Zeile nahezu konstant 0,18. Trägt man also t als Abszisse und $\lg_n \Phi$ als Ordinate in ein winkliges Koordinatensystem graphisch auf, so erhält man als Verlauf der Endpunkte der Ordinaten eine Gerade (Fig. 266). Die Neigungswinkel dieser Geraden und setzt man zur Abkürzung:

$$\lg_n \alpha = \dots$$

so wird, wenn Φ_1 und Φ_2 zwei beliebige Potentialwerte und t_1 zugehörigen Zeiten bedeuten:

$$\lg_n(\Phi_1) - \lg_n(\Phi_2) = \lg_n(\Phi_1/\Phi_2) = \alpha(t_1 - t_2)$$

Gleichen Zeitdifferenzen entsprechen also gleiche Werte von α , d. h. es verschwindet in jeder Sekunde um ein bestimmtes (hier) ein bestimmter Bruchteil des jeweilig vorhandenen Potentialwertes absolute Verlust nimmt dagegen mit zunehmender Entladung ab, z. B. in den ersten 30 Sekunden der Verlust 200 Volt, in den 30 Sekunden nur noch 110 Volt. Aus obiger Tabelle berechnet man vorliegenden speziellen Fall

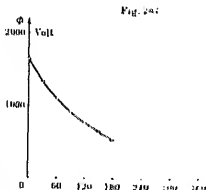
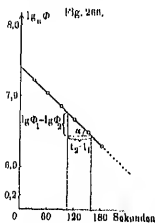
$$\alpha = 0,18 \cdot 30 = 0,054 \quad \lg_n(1,222)$$

In einer Sekunde vermindert sich also das Potential um 0,054 Proz.

Setzt man in Gl. (2) $t_1 = 0$ und bezeichnet mit Φ_0 das zu Beginn der Beobachtung, so ist, wenn man jetzt einfach $\Phi_1 = \Phi$ setzt, $\lg_n(\Phi_0/\Phi) = \alpha t$, oder nach der Definition des natürlichen Log

$$\Phi = \Phi_0 \cdot e^{-\alpha t}$$

Fig. 267 stellt den Verlauf von Φ nach Gl. (3) graphisch gezeichnet. Teil der Kurve zeigt den Verlauf, den man bei der



setzung der Beobachtung erhalten wurde. Man bezeichnet eine Kurve (einfach, der wir später noch öfters begegnen werden, als Exponentialkurve). Wir wollen die Gl. (2) auf einen sehr kleinen Zeitraum anwenden, während dessen das Potential nur um den sehr kleinen Δ abnimmt; wir setzen also:

$$\Phi_1 = \Phi, \quad \Phi_2 = \Phi - \Delta \Phi, \quad t_1 = t, \quad \Delta t$$

Dann geht Gl. (2) über in:

$$l_{\eta_m}(1 - \delta \varphi) / \varphi) \approx a, \delta l.$$

Da nun $\delta\varphi/\varphi$ ein sehr kleiner echter Bruch, so ist nach einem bekannten Satz über die Eigenschaften des natürlichen Logarithmus:

$$l g_n(1 - \delta \psi / \psi) = - \delta \psi / \psi,$$

only:

$$\delta\psi/\delta t = -a_1\psi, \quad (1)$$

Die Geschwindigkeit, mit der die Spannung der Flasche sinkt, ist also im jeweiligen Werte der Spannung proportional.

Die (Hearhengen (2) (3) und (4) sind nur verschiedene Ausdrucksformen derselben Tatsache und lassen sich auf rein mathematischem Wege ineinander umformen. Man kann also überall, wo man an einer Gleichung von der Form einer von ihnen gelangt, ohne weiteres auch die Richtigkeit der beiden anderen schließen.

Zweiter Versuch. Wir ändern die Kapazität, indem wir an Stelle einer Flasche deren zwei, drei usw. von gleicher Größe einbauen. Dann ist die Entladung zwar auch immer noch demselben Gesetz zu statt, wie bei einer Flasche, aber mit immer geringerer Geschwindigkeit. Um die Werte der Konstante a , durch die ja die Entladungsgezwelwindigkeit gemessen wird, bei verschiedenen Kapazitäten miteinander zu vergleichen, genügt es, die Zeiten zu bestimmen, während deren das Potential auf einen willkürlich gewählten erreicht, etwa auf die Hälfte des Anfangswertes, sinkt. Dann dann muß nach Gl. (3) das Produkt a mit einer ganz bestimmten Zeit verbunden. Wenn wir also bei verschiedenen Zeiten mit der Kapazität $K_1, K_2 \dots$ die zur Entladung auf die Hälfte nötigen Zeiten mit $t_1, t_2 \dots$, die gewünschten Werte von a mit $a_1, a_2 \dots$ bezeichnen, so ist:

$$u_1/t_1 = u_2/t_2 = \dots \text{ order } u_1/u_2 = \dots t_2/t_1, \dots \quad (6)$$

Folgende Tabelle enthält die Resultate einer Beobachtungsreihe:

Flaschenzahl	Halbierungszeit in Sekunden
1	48
2	115
3	148

Die Zeiten verhalten sich also wie die Flaschenzahlen oder wie die
Wurzeln, so daß:

$$a_1/a_2 \sim K_2/K_1 \quad , \quad , \quad , \quad , \quad , \quad , \quad (9)$$

ler wenn wir mit b eine neue, nur noch von den Eigenschaften des leitenden Medium abhängige Konstante bezeichnen:

$$a \equiv b/K, \quad (7)$$

Das Kommutat wird bedeutend anschaulicher, wenn wir statt der Potentiale die Ladungen der Platten betrachten. Es ist die Ladung: $q = \Phi \cdot K$, bzw. $dq/dt = K \cdot d\Phi/dt$. Setzen wir dies, sowie Gl. (7) in Gl. (4) ein, so erhalten wir:

$$- \partial c / \partial t = h_0 \Phi \quad , \quad , \quad , \quad , \quad , \quad , \quad (8)$$

Die Geschwindigkeit, mit der sich infolge des Vorhandenseins einer leitenden Verbindung die Ladung der Flaschen ändert, ist also proportional der Spannung der Flasche; sie ist ferner abhängig von der Beschaffenheit des Fadens, dagegen unabhängig von der Kapazität der Flasche.

Der schon im dritten Kapitel eingeführte Name „Leiter“ der Elektrizität weist darauf hin, daß man sich im Rahmen der alten Fluidumtheorie den Vorgang des Ladungsausgleichs zwischen zwei geladenen Körpern als ein Strömen des elektrischen Fluidums durch den verbindenden Leiter hindurch vorstellte. Im Anschluß an diese Vorstellung bezeichnet man den Vorgang, der in den eben angeführten Beobachtungen zunächst nur in der zeitlichen Änderung des elektrischen Zustandes der Flaschen besteht, als einen „elektrischen Strom“¹⁾.

Es ist offenbar ganz gleichgültig, wenn etwa die innere Bologung der Flasche + geladen war, ob nur die + Elektrizität strömt und die ruhende — Elektrizität der äußeren Bologung neutralisiert, oder ob nur die — Elektrizität in entgegengesetzter Richtung strömt, oder endlich ob beide sich mit gleicher oder ungleicher Geschwindigkeit entgegengesetzt bewegen. Es ist deshalb auch rein konventionell, daß man eine von beiden Richtungen, und zwar die Bewegungsrichtung der positiven Elektrizität, als „Stromrichtung“ bezeichnet.

Die konventionelle Natur dieser Bezeichnungsweise erhält an besten daraus, daß man sie auch jetzt noch beibehält, obgleich die Ergebnisse der neueren Forschungen es sehr wahrscheinlich machen, daß wenigstens bei der Leitung in Metallen im wesentlichen nur die negative Elektrizität sich bewegt, so daß die wirkliche Bewegung der „Stromrichtung“ gerade entgegengesetzt verläuft.

Die in Gl. (8) auftretende Größe

$$-\delta c / \delta t = J \quad \dots \dots \dots (9)$$

ist die zeitliche Abnahme der Ladung der Flasche; im Sinne der eben geschilderten Vorstellung bedeutet sie aber auch die gesamte Elektrizitätsmenge, positive und negative zusammengenommen, die in der Zeiteinheit durch irgend einen Querschnitt des verbindenden Leiters hindurchfließt. Wir bezeichnen deshalb J als die „Stromstärke“ in dem verbindenden Leiter.

Je kleiner b ist, desto schwächer ist der Strom, einen desto größeren Widerstand bietet also gleichsam der Leiter der Bewegung der Elektrizität. Wir können deshalb den reziproken Wert von b :

$$1/b = W \quad \dots \dots \dots (10)$$

als den „Widerstand“ des Leiters bezeichnen.

Setzt man Gl. (9) und (10) in (8) ein, so erhält man:

$$J = \Phi / W \quad \dots \dots \dots (11)$$

Gl. (11) ist der mathematische Ausdruck für das nach G. S. Ohm benannte „Ohmsche Gesetz“²⁾.

¹⁾ Der Ausdruck findet sich zuerst bei A. Volta (1792); doch wurde er erst 1821 durch Ampères Arbeiten weiter verbreitet.

²⁾ Das Gesetz ist zuerst in der im Jahre 1827 veröffentlichten Abhandlung Ohms: „Die galvanische Kette, mathematisch bearbeitet“ ausgesprochen. Es wird dort durch Versuche an metallischen Leitern abgeleitet. Daß auch für diese dieselben Verhältnisse gelten, werden wir weiter unten zeigen.

Das Gesetz lautet in Worten:

A. Die Stromstärke in einem Leiter ist der Potentialdifferenz seiner Enden direkt, seinem Widerstand umgekehrt proportional.

Man sieht aus dem Vorhergegangenen, daß bloß die Proportionalität mit der Potentialdifferenz einer Beobachtungsursache ist, daß dagegen die festgesetzte Proportionalität mit dem verkehrten Widerstand einfach eine Definition des Begriffs „Widerstand“ bedeutet.

Dritter Versuch. Die nächste Aufgabe der Untersuchung soll die Auffindung des Zusammenhangs zwischen dem Widerstande und der Gestalt eines Leiters sein. Wir führen in Gl. (3) den Wert von u aus Gl. (7) und (10) ein, also $u = h/K \cdot 1/WK$ und erhalten:

$$\Phi = \Phi_0 \cdot e^{-hWK} \quad (12)$$

oder für den Vergleich mit der Beobachtung bequemer:

$$\lg \frac{\Phi_0}{\Phi} = \frac{h}{WK} \quad (12')$$

Benutzen wir also bei gleicher Kapazität, aber verschiedenen Werten von W , d. h. bei Einschaltung verschiedenen gestützter Fäden die Zeiten t_1, t_2 usw., die zur Erzeugung derselben relativen Änderung von Φ , etwa bis zum Abfall auf die Hälfte des Anfangswertes nötig sind, so muß:

$$t_1 / W_1 = t_2 / W_2 \text{ usw.}$$

oder

$$W_1 / W_2 = t_1 / t_2 \quad (13)$$

sein. Die Widerstände verhalten sich also wie die zur Erzeugung gleicher relativer Potentialänderungen nötigen Zeiten.

Wir hängen zunächst statt des einen Fadens deren zwei, drei usw. von gleicher Größe kettenartig aneinander und beobachten jedesmal die Entladungsgeschwindigkeit. Folgende Tabelle enthält die Resultate einer derartigen Beobachtungsreihe:

n (Fadenzahl)	l (Halbladungszeit)	l/n
1	47 Sek.	47
2	98 „	49
3	143 „	47,7

Aus der dritten Spalte geht hervor, daß l , also auch Gl. (13) auch W , proportional n ist. Die Widerstände der aus mehreren gleichen aneinandergefügten Fäden gebildeten Leiter verhalten sich also wie die Fadenzahl. Da nun mehrere aneinandergefügter Fäden offenbar gleichbedeutend mit einem einzigen Faden von der Gesamtlänge aller sind, so können wir auch sagen:

B. Der Widerstand eines zylindrischen Leiters ist seiner Länge proportional.

Vierter Versuch. Um die Abhängigkeit des Widerstandes vom Querschnitt zu untersuchen, legen wir mehrere gleiche Fäden nebeneinander

über die Drähte dd ; dann entsprechen offenbar n Fäden einem einzigen Faden vom n -fachen Querschnitt. Folgende Tabelle enthält die Resultate einer Beobachtungsreihe.

n	t	$t \cdot n$
1	49	49
2	23	46
3	16	48

Die Bedeutung der Zeichen ist dieselbe, wie in der vorigen Tabelle; die letzte Zeile zeigt, daß $t \cdot n$ konstant, also t und somit auch W der Fadenzahl n oder dem Fadenquerschnitt umgekehrt proportional ist. Also:

C. Der Widerstand eines zylindrischen Leiters ist seinem Querschnitt umgekehrt proportional.

Wir können die Sätze B. und C. in die eine Formel

$$W = \frac{l}{q \cdot x} \quad (14)$$

zusammenfassen. Hierbei bedeutet x eine nur vom Material des Leiters abhängige Konstante, die wir als seine „Leitfähigkeit“ bezeichnen wollen (s. S. 296). Setzen wir in Gl. (14) $l = q = 1$, so folgt:

D. Die Leitfähigkeit ist der reziproke Wert des Widerstandes eines Stabes von 1 cm Länge und 1 qcm Querschnitt.

Ferner benutzt man oftmals auch den reziproken Wert der Leitfähigkeit $s = 1/x$, den man als den „spezifischen Widerstand“ bezeichnet.

(Tabellen s. weiter unten, §§ 123 bis 126.) An Stelle von Gl. (14) tritt dann die Gleichung:

$$W = \frac{s l}{q} \quad (15)$$

Fig. 293.



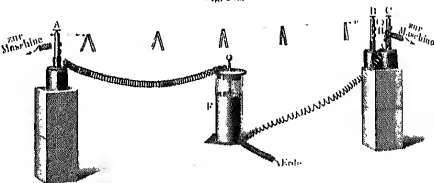
Fünfter Versuch. Wir können das Resultat, daß der Widerstand eines Leiters außer vom Material nur von dem Verhältnis l/q abhängt, noch dadurch prüfen, daß wir gleichzeitig l und q in gleichem Maße verändern; dann muß offenbar W dasselbe bleiben. Die Ausführung geschieht am ein-

fachsten so, daß man einen einzelnen Faden mit den in Fig. 293 dargestellten Kombinationen von vier oder neun gleichartigen Fäden vergleicht, die denselben Widerstand haben müssen wie der einfache Faden.

§ 101. Konstanter Strom; Spannungsgefälle. Erster Versuch. (Fig. 269.) Zwischen zwei Holtzsehen Klemmen A und B ist ein 2 bis 3 mm dicker Bindfaden von etwa 1 m Länge angespannt; die innere Hohlung einer Leidener Flasche F ist mit A , die äußere Hohlung mit einer dritten Klemme C verbunden; durch einen Drahtbügel D kann C mit B verbunden werden. An dem Faden sind in ungefähr gleichen Abständen aus Seidenpapier geschnittene Doppelstreifen angeklebt, die als Elektroskope dienen sollen. Von A und C führen Leitungen zu einer Elektrisiermaschine.

Der Bügel *B* sei zunächst entfernt und die Flasche geladen; dann zeigen alle Elektroskope gleichen Ausschlag. Wenn wir jetzt *B* mit *A* durch den Bügel verbinden, so wird das letzte Elektroskop nicht bei *B* sofort auf Null sinken, das erste, d. h. bei *A*, bleibt zunächst unverändert, während die zwischen beiden liegenden einen von *A* nach *B* hin kleiner werdenden Ausschlag annehmen. Während also auf einem im Gleichgewicht befindlichen Leiter das Potential überall gleichen Wert hat, entsteht auf einem Leiter,

Fig. 269.



durch den ein Strom fließt, ein „Spannungsgefälle“ oder „Potentialgefälle“, d. h. eine Änderung der Spannung von Punkt zu Punkt.

Ein Maß für das Spannungsgefälle erhalten wir durch folgende Festsetzung:

A. Spannungs- oder Potentialgefälle ist die Potentialdifferenz zweier um *l* cm voneinander entfernter Punkte des Leiters.

Ist das Gefälle von Punkt zu Punkt verschieden, so müssen wir die sehr kleine Potentialdifferenz $\delta\Phi$ zweier um die sehr kleine Strecke δs entfernten Punkte des Leiters durch diese Strecke dividieren. Es ist also das Gefälle:

$$\delta_s \Phi = \delta\Phi / \delta s \quad . \quad . \quad . \quad . \quad . \quad . \quad . \quad (1)$$

Nach § 871 ist das Potentialgefälle gleichbedeutend mit der elektrischen Kraft; ein elektrischer Strom in einem Leiter ist also stets mit dem Vorwärtsschieben einer in die Stromrichtung fallenden elektrischen Kraft verknüpft; die Vorstellung liegt nahe, daß diese elektrische Kraft es ist, welche die Bewegung der Elektrizität in der Stromrichtung unterhält.

In dem Maße, wie mit abnehmender Ladung der Flasche die Stromstärke abnimmt, vermindert sich auch das Spannungsgefälle, indem alle Elektroskope gleichzeitig sinken, und zwar um so rascher, je näher sie sich an *A* befinden.

Zweiter Versuch. Wir verbinden die Flasche noch mit einem polihigen Elektromotor (wie in Fig. 270) und drehen während des Stromdurchgangs die Elektrisiermaschine langsam so, daß das Potential der Flasche konstant bleibt, daß also die durch den Strom bewirkten Ladungsverluste fortwährend ersetzt werden. Unsere frühere Definition des Stromes als des pro Sekunde eintretenden Ladungsverlustes der Flasche ist hier nicht mehr anwendbar, da je die Ladung konstant bleibt; die Definition als pro Sekunde

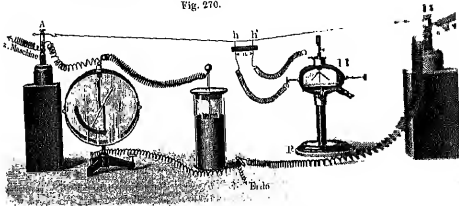
durch den Leiterquerschnitt fließende Elektrizität dankenbild, da wir ja das Fließen selbst nicht wahrnehmen. bestehende Spannungsgefälle gibt uns Veranlassung, auch jetzt denselben Vorgang im Leiter zu vermuten, den wir vorher als Strom zeichnet hatten.

Die Beobachtung zeigt, daß jetzt nicht nur das Potential der Fläche sondern auch dasjenige sämtlicher Punkte des leitenden Fadens zeitlich stant bleibt. Wir haben jetzt also ein zeitlich konstantes Spannungsgefälle und wenn wir nunmehr dieses als Maß des Stromes betrachten auch einen „konstanten Strom“ im Leiter.

Die Leidener Flasche, deren Ladung sich jetzt ja gar nicht mehr ändern kann gar nicht mehr an dem Vorgang beteiligt. Wir erhalten in der Tat das Spannungsgefälle am Faden, wenn wir die Flasche entfernen, so daß die von der Elektrisiermaschine geleitete Elektrizität direkt durch den Faden fließt. Nur man sieht jetzt alle Ungleichmäßigkeiten beim Drehen der Maschine stärker hervor. Die Leidener Flasche wirkt hier offenbar in ähnlicher Weise ausgleichend wie der Windkessel einer Pumpe, indem sie bei plötzlicher Beschleunigung der Maschine den Überschuß an Elektrizität aufnimmt, bei plötzlicher Verlangsamung eine Zeitlang das Fehlende liefert.

Dritter Versuch. Um das Gesetz festzustellen, nach welchem Spannung längs des Leiters verläuft, erzeugen wir einen konstanten Strom in dem Leiter AB (Fig. 270), indem wir durch gleichmäßigen Drehen

Fig. 270.



Elektrifizierung eine am Elektrometer I ablesbare konstante Spannungsdifferenz an seinen Enden aufrecht erhalten.

Ein Blattenelektrometer II ist durch eine Paraffinplatte P isoliert und Gehäuse und Blättchen sind durch möglichst biegsame Drahtseile mit zwei Drahtklammern h und h' verbunden, die mittels eines Hartgummigriffes in konstantem Abstand a gehalten werden und längs des Leiters verschoben werden können.

Das Elektrometer II zeigt also die Spannungsdifferenz an, die an a um die Strecke a voneinander entfernten Punkten des Leiters herrscht.

Wenn wir nun die Drahtklammern langsam an dem Leiter entlang schieben, so finden wir, daß sich das Elektrometer II nach einigen Schwankungen stets wieder auf denselben Ausschlag einstellt, daß also die Spannung

differenz gleich weit voneinander entfernter Punkte überall die selbe ist (denken wir uns die Fäden jedesmal um ihren eigenen Abstand a von B nach A hin verschoben, so erhalten wir für gleiche Verschiebungen jedesmal denselben Spannungswert). Wenn wir also die Spannung über den einzelnen Punkten des Leiters als Ordinaten auftragen, so erhalten wir eine gerade Linie (Fig. 271 a). Das Spannungsgesetz ist dann offenbar:

$$\partial_1 \Phi := \partial \Phi / a = \Phi / l, \dots \dots \dots (2)$$

wo l die Gesamtlänge des Leiters und Φ die Potentialdifferenz seiner Enden.

In Worten lautet das Resultat unseres Versuches:

B. Länge eines zylindrischen Leiters ist das Spannungsgefälle konstant.

Vierter Versuch. Wir ändern die Anordnung des dritten Versuches dadurch, daß wir die Leittaste Flasche und das Elektrometer I durch untergelegte Paraffinplatten isolieren und einen hebeligen Punkt D des leitenden Fadens mittels eines übergehängten Drahtbalkens zur Erde leiten ().

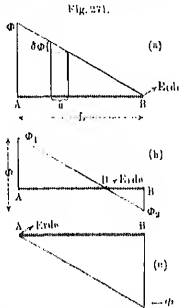
Wir finden, daß bei unveränderten Ansehung des Elektrometers I auch das Spannungsgefälle am Leiter dasselbe geblieben ist. Da jetzt aber notwendig das Potential im abgeleiteten Punkte D des Fadens gleich Null ist, so folgt, daß jetzt die Potentialverteilung durch Fig. 271 b dargestellt ist. Es haben jetzt beide Holognungen der Flasche ein von Null verschobenes Potential, die innere ein positives Φ_1 , die äußere ein negatives Φ_2 , wobei die algebraische Differenz $\Phi_1 - \Phi_2 = \Phi$ ist. Leiten wir endlich das Ende A zur Erde, so erhalten wir die in Fig. 271 c dargestellte Verteilung. Zählen wir in allen drei Fällen mittels eines Moltrons die Umdrehungsgeschwindigkeit der Maschine, die zur Erhaltung derselben Potentialdifferenz der Holognungen nötig ist, so finden wir sie in allen Fällen gleich; es ist also auch die Elektrizitätszufuhr, d. h. die Stromstärke, dieselbe. Wir finden somit:

C. Das Potentialgefälle in einem gegebenen Leiter hängt nur von der Stromstärke ab, und ist unabhängig davon, welcher Punkt des Leiters zur Erde geleitet ist.

In der (II. (11) des vorigen Paragraphen, die das Ohmsche Gesetz ausdrückt, bedeutet demnach Φ allgemein die Potentialdifferenz der Leiterenden, ganz unabhängig von den Absolutwerten des Potentials; wir können also auch schreiben:

$$J = (\Phi_1 - \Phi_2) / W = \Phi / W, \dots \dots \dots (3)$$

¹⁾ Falls eine Reibungselektriserinnung als Quelle für die Ladung dient, muß deren Reibung bedingt und mit H verbunden werden.



Bezeichnen wir den Widerstand des Leiterstückes α mit w , so ist offenbar $a/L = w/W$, was in (2) und (3) eingesetzt ergibt:

$$\delta\Phi/w = \Phi/W = J \quad \dots \quad (3')$$

In Worten:

Das Ohmsche Gesetz gilt nicht nur für den ganzen zylindrischen Leiter, sondern auch für jedes beliebige Stück desselben.

Hat das betrachtete Stück die Länge 1 cm und den Widerstand w_1 , so wird $\delta\Phi = \delta_1\Phi = E$, d. h. gleich der elektrischen Kraft und die Gl. (3) geht über in:

$$E/w_1 = J \quad \dots \quad (4)$$

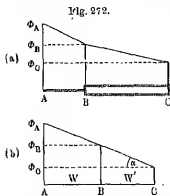
Nun ist nach Gl. (14) in § 100 $w_1 = \frac{1}{q \cdot \kappa}$, also in (4) eingesetzt:

$$E \cdot \kappa = J/q = j \quad \dots \quad (4')$$

wo j die „Stromdichte“, d. h. die Stromstärke pro Querschnittseinheit.

Da die Gleichungen (4) und (4') nur Beziehungen zwischen solchen Größen enthalten, die sich auf eine bestimmte Stelle des Leiters beziehen, so gelten sie auch dann noch, wenn der Leiter kein homogener Zylinder mehr ist, sondern Querschnitt und Material von Punkt zu Punkt variieren. In Gl. (4) ist E direkt elektrometrisch meßbar, w_1 hängt von den Dimensionen des Leiters und von seiner Leitfähigkeit κ ab. J läßt sich als die Potentialabnahme einer Flasche von bekannter Kapazität ermitteln. Gleichung (4) gibt somit zusammen mit Gl. (14) in § 100 ein Mittel zur Bestimmung von κ in absolutem elektrostatischen Maß.

Fünfter Versuch. Wir stellen einen Leiter von ungleichmäßigem Querschnitt her, indem wir einen Faden AB (Fig. 272 a) von der Länge L und zwei gleich beschaffene parallele Fäden



und zwei gleich beschaffene parallele Fäden BC von der Länge L miteinander verbinden. Da BC einen doppelt so großen Gesamtquerschnitt hat als AB , gleichzeitig aber auch die doppelte Länge, so hat es im ganzen denselben Widerstand wie AB . Dagegen ist der Widerstand pro Längeneinheit des Doppelfadens nur halb so groß. Bezeichnen wir mit einem Indexstrich die auf BC bezüglichen Größen, so ist also:

$$w'_1 = w_1/2 \quad W' = W \quad \dots \quad (5)$$

Messen wir nun mittels eines isolierten Brannschen Elektromotors, während ein konstanter Strom den Leiter durchfließt, die Potentialdifferenzen zwischen A und B , sowie zwischen B und C , so finden wir:

$$\Phi_A - \Phi_B = \Phi_B - \Phi_C \quad \dots \quad (6)$$

Für die Stromstärken in den beiden Teilen des Leiters erhalten wir nach dem Ohmschen Gesetz:

$$J = (\Phi_A - \Phi_B)/W \quad J' = (\Phi_B - \Phi_C)/W'$$

oder wegen (4), (5) und (6):

$$\frac{J'}{J} = \dots J \dots \dots \dots (7)$$

Dasselbe Resultat würden wir erhalten, wenn wir J und J' nach Gl. (4) aus den Gefällen berechneten. Denn da BC doppelt so lang als AB , so entspricht gleicher Potentialdifferenz der Fall in BC ein nur halb so großes Gefälle als in AB . Nach (6) ist aber auch w'_1 halb so groß als w_1 , somit der Quotient $\delta_1 \Phi_1 / w_1$ beiderseits gleich. Gl. (7) besagt in Worten:

E . Die [durch Gl. (4) definierte] „Stromstärke“ ist in allen Teilen des Leiters dieselbe.

Im Sinne der Plattenanstellung der Elektrizität ist dieser Satz selbstverständlich; denn angenommen, es wäre etwa in dem Stücke AB des zylindrischen Leiters der Strom stärker als in BC , dann würde mehr Elektrizität nach B hin, als von dort weg fließen; die Elektrizität würde sich dort also aufstauen und das Potential in B würde steigen. Dadurch würde aber das Gefälle in AB verkleinert, in BC vergrößert werden; der Strom in AB würde also sinken, in BC steigen, bis beide gleich geworden sind, und keine weitere Änderung des Potentials mehr eintreten kann. Die zehlfache Konstanz der Potentialverteilung ist somit notwendig mit der zehnfachen Konstanz des Stromes verknüpft.

In der Fig. 272a sind die Potentialwerte über dem Leiter graphisch aufgetragen. Die Gefälle in den beiden Leiterteilen werden durch die Neigungen der beiden geneigten Geraden dargestellt. Dem größeren Gefälle in AB entspricht eine stärkere Neigung.

Statt der Längen der einzelnen Leiterteile kann man aber auch ihre Widerstände als Abszissen benutzen (Fig. 272b). Dann werden die den Leiterteilen AB und BC entsprechenden Strecken gleichlang und der Gleichheit von J in allen Teilen des Leiters entspricht jetzt ein gleiches Potentialabfall längs gleicher Abszissenstücke, und die den Potentialverlauf darstellende Kurve wird eine gerade Linie. Da der Abszissenabschnitt die Widerstandseinheit entspricht, so ist die Tangente des Neigungswinkels α gleich dem Potentialabfall pro Widerstandseinheit, also gleich der Stromstärke J . Als Gleichung geschrieben:

$$\operatorname{tg} \alpha = J \dots \dots \dots (8)$$

Diese Art der graphischen Darstellung, die wir später noch mehrfach benutzen werden, stammt von H. S. Ohm. Die den Widerständen der einzelnen Leiterstücke entsprechenden Abszissenlängen nannte Ohm die „reduzierten Längen“ der Leiter.

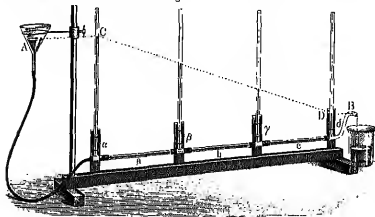
Wir können uns die gewonnenen Gesetze auch durch ein mechanisches Bild illustrieren (Fig. 273).

Eine beliebige Anzahl von I-förmigen Rohrstücken $\alpha, \beta, \gamma \dots$ von etwa 4 bis 6 mm innerer Weite ist mittels kurzer Glührohrstücke mit einer Reihe von Kapillarrohren $a, b, c \dots$ von etwa 25 cm Länge und 0,5 bis 1 mm Weite verbunden. Das äußerste linke Ende ist durch einen weiten Schläuch mit einem in seiner Nähe verschiebbaren Trichter A verbunden; am rechten Ende befindet sich ein weiterer Rohrstutzen B , aus dem das Wasser in ein untergelegtes Becherglas abfließen kann.

Schließen wir B mit dem Finger und gießen Wasser in A ein, so steigt dasselbe in den Steigröhren $\alpha, \beta, \gamma, \delta$ bis zu demselben Niveau, wie in A (gleiche Spannung auf dem ganzen gegebenen Leiter). Öffnen wir B , so entsteht ein Wasserstrom, ebenso wie früher beim Kühlen des Drahtbügels

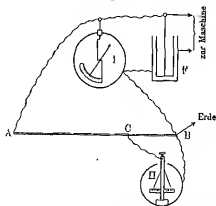
D in Fig. 269 ein elektrischer Strom und das Niveau in den einzelnen Steigrohren sinkt derart, daß die Oberflächen der Wassersäulen längs einer geraden Linie liegen, wovon man sich am einfachsten mittels eines hinter den Röhren ausgespannten Bindfadens überzeugt. Dem elektrischen Widerstande des Fadens entspricht hier der Reibungswiderstand der Kapillarröhre; dem konstanten Potentialgefalle auf dem Faden das konstante Niveaugefalle des Wassers. Wenn das Niveau in A durch allmähliches Ausfließen oder auch durch Senken des Gefäßes sich erniedrigt, so sinken auch die Wasserspiegel in den Röhren, aber so, daß sie stets längs einer geraden Linie liegen.

Fig. 273.



Auch das Ohm'sche Gesetz gilt hier, wenn man die elektrische Stromstärke J durch die pro Zeiteinheit ausfließende Wassermenge M , die Potentialdifferenz Φ durch die Niveaudifferenz H und den elektrischen Widerstand W durch den Reibungswiderstand R der Röhren ersetzt. Hält man nämlich

Fig. 274.



das Niveau in A durch Zuziehen von Wasser oder allmähliches Heben von A konstant, und mißt die in einer bestimmten Zeit bei B ausfließende Wassermenge, so findet man, daß diese proportional H ist.

Ändert man den Widerstand, indem man die Zahl der Kapillarrohrstücke oder ihre Länge verändert, so findet man M umgekehrt proportional der Rohrlänge L . Also

$$M = H/L,$$

analog mit

$$J = \Phi/W.$$

Dagegen ist die Abhängigkeit vom Rohrenquerschnitt eine andere, weil das Wasser in der Mitte schneller strömt als an den Wänden.

Wir können das konstante Potentialgefälle an einem Faden benutzen, um Elektrometer in relativem Maß zu eichen. In der in Fig. 274 schematisch darge-

Die Schaltung ist AB ein mit der leitenden Flasche F' verbundener Faden, dessen Ende B zur Erde geführt ist. Ein das Batoutgefäß am Faden kommendes Pendel, wird entweder die Elektrizitätsmaschine nach dem Takte eines Metronoms oder ein Elektrometer I , dessen Skala nicht geeicht zu sein braucht, einleitet und auf konstanter Höhe gehalten. Das zu richtende Elektrometer II wird mit dem Ende B des Fadens und des einen Drahtbüchens mit einem verschiebbaren Punkt C verbunden. Die Ablesungen an II sind dann den Längen CB proportional. Ist ferner die Skala in absolutem Maß geeicht, so erhält man die Spannung von II durch Multiplikation der gleichzeitigen Ablesung von I mit dem Faktor CB/AB . Umgekehrt kann natürlich auch, wenn die Skala von II bekannt ist, diejenige von I erhalten, indem man nach geeigneter Wahl von CB durch Andringen der Weite der der Elektrizitätsmaschine die Ausschläge beider Elektrometer sich zueinander ändern läßt).

§ 102. Wärmeproduktion; Joulesches Gesetz. In § 101 ist es worden, daß bei der Entladung einer Batterie in jedem Teil des Stromkreises eine Wärmemenge entwickelt wird, die der Energie der ganzen Batterie proportional ist. Besteht der Stromkreis aus einem Draht, also etwa aus Metalldrähten, so findet die Entladung rasch statt und die ganze Wärme wird zur Temperaturerhöhung verwandt, ohne daß sonst des Entladungsvorganges selbst ein merklicher Verlust durch Wärmeverlust oder Strahlung eintreten kann. Befinden sich dagegen schlechte Leiter, wie wir sie in den beiden vorigen Paragraphen benutzt haben, im Stromkreis, so findet die Wärmeproduktion so langsam statt, daß alle die Zeit hat, sich durch Leitung oder Strahlung in die Umgebung zu verlieren, und ein merklicher Effekt gar nicht beobachtet werden kann. Als können wir zur Ermittlung der Gesetze der Wärmeproduktion bei Entladung nur gute Leiter gebrauchen. Wir dürfen die Drähte aber nicht zu dick nehmen, denn je größer die Masse der Drähte, um so geringer ist die demselben Wärmemenge entsprechende Temperaturerhöhung; je dünner aber diese, um so geringer ist auch die Wärmemenge an die des Riesenschen Luftthermometers und damit auch der meßbaren Effekte. In Metalldrähten also, deren Masse genügend klein ist, um eine große Temperaturerhöhung zu erzielen und deren Leitfähigkeit doch groß genug ist, um den ganzen Entladungsvorgang in unmerklich kurzer Zeit vorlaufen lassen, sind für die Beobachtung nötig.

Venn auch die früher mitgetheilten Beobachtungen nur ergeben haben, daß die Wärmeproduktion der Energie der Batterie proportional ist, so führen wir doch hier zugleich die Annahme ein, daß die bei der Entladung im Leiterkreise entwickelte Wärme, in Arbeltsmaß gemessen (d. h. in Joule multipliziert mit dem mechanischen Wärmeäquivalent), gleich der Energie der Batterie ist. Diese Annahme, die durch die Beobachtung bestätigt wird, setzt in der That bloß voraus, daß bei der Entladung einer Batterie das Energiengesetz gilt und daß, außer im Leiterkreise selbst, keine Wärme entwickelt wird. Wir werden später bei Betrachtung der elektrischen Wellen (s. Kap. „Elektrische Schwingungen“) sehen, daß dies nicht zutrifft, und daß manchmal ein Teil der Energie auch außerhalb des Leiterkreises der Batterie in Wärme verwandelt wird. Doch ist, speziell in hier betrachteten Fällen, der bezügliche Fehler ganz unmerklich klein.

Über die bei sehr hohen Spannungen möglichen Fehler infolge von Spitzeneffekten und ihre Vermeidung siehe E. Voigt, Ann. d. Phys. (4) 12, 285, 1903.

ist der Widerstand R der Ladung Q , der Kapazität C und dem Potential Φ durch die Gl. (3), (2), zu schreiben

$$I = e^2 \frac{2K}{\Phi} \quad \Phi = 2$$

Wenn die Ladung um δe abnimmt, so ändert sich auch I um so viel:

$$I - \delta I = (e - \delta e)^2 \frac{2K}{\Phi} = e^2 \frac{2K}{\Phi} - 2e\delta e \frac{2K}{\Phi} + \delta e^2 \frac{2K}{\Phi}$$

oder wegen Gl. (1):

$$\delta I = -2e\delta e \frac{2K}{\Phi} = -2e\delta e \frac{2K}{\Phi}$$

Ist δe sehr klein gegen e , so kann in der letzten Klammer δ , $2e$ vernachlässigt werden und es wird

$$\delta I = -e\delta e \frac{2K}{\Phi} = -e\delta e \frac{2K}{\Phi}$$

Die Ladungsänderung pro Zeiteinheit $\delta e / \delta t$ ist gleich der Strom also beträgt die Änderungsgeschwindigkeit von I , d. h. die Änderung in einer Sekunde eintreten würde, wenn der Strom I stand bliebe

$$\frac{\delta I}{\delta t} = \frac{\delta I}{\delta t} = \frac{\delta I}{\delta t}$$

nach dem Ohmschen Gesetz ist aber

$$\Phi = I R,$$

also

$$\frac{\delta I}{\delta t} = \frac{\delta I}{\delta t} = \frac{\delta I}{\delta t}$$

oder

$$\frac{\delta I}{\delta t} = \frac{\delta I}{\delta t} = \frac{\delta I}{\delta t}$$

Nach unserer oben gemachten Annahme muß nun $\delta I / \delta t$ gleich der Zeiteinheit entwickelten Wärme Q_1 sein. Es folgt daraus, was schon auseinandergelegt, daß bei gleichem Φ die Wärmeentwicklung schneller erfolgt, je kleiner der Widerstand

Da ferner die Wärmeentwicklung in irgend einem Stücke des Leiters nur von den Vorgängen in dem betreffenden Stücke selbst ab, so ist zu vermuten, daß die Gl. (5) nicht nur für den gesamten Kreis, sondern auch für jedes beliebige herausgegriffene Leiterstück vom Widerstande R gilt, also

$$Q_1 = I^2 R$$

oder

$$Q_1 = \frac{1}{R} (\Phi_1 - \Phi_2)^2 R$$

Hierbei bedeutet $\Phi_1 - \Phi_2$ die Potentialdifferenz an den Enden Stücken vom Widerstande R . Gl. (5) ist zuerst von J. P. Joule¹⁾ gestellt worden und heißt nach ihm das „Joule'sche Gesetz“

Bei einer experimentellen Prüfung des Joule'schen Gesetzes hat erstens die Abhängigkeit der Wärmeentwicklung von der Stromstärke gleichen Widerstande, zweitens die Abhängigkeit vom Widerstande bei gleicher Stromstärke zu untersuchen, die Abhängigkeit von der Stromstärke bei konstanten Widerständen nicht ohne weiteres festgestellt, da ja der nicht konstant ist, sondern in einer Weise ganz unbekannter Weise Stärke rasch ändert; außerdem mißt man bei Flaschenentladungen auch nicht die in der Zeiteinheit entwickelte Wärme Q_1 , sondern die gesamte wä-

¹⁾ Phil. Mag. 10, 264, 1841

Entladungshauer entwickelte Wärme Q . Dagegen läßt sich die Abhängigkeit vom Widerstand bei gleicher Stromstärke untersuchen, wenn man mehrere Leiter von verschiedenen Widerständen hintereinander in denselben Entladungskreis einschaltet; dann muß der Strom, wie er sich auch sich ändern mag, in jedem Augenblicke in allen Teilen des Entladungskreises denselben Wert haben, die in den einzelnen Teilen während der ganzen Entladung entwickelten Wärmemengen müssen sich also nach Gl. (6) wie die Querschnitte verhalten. Außerdem muß die Summe Q_0 sämtlicher Teilwärmemengen gleich der anfänglichen Gesamtenergie U_0 der Batterie sein, muß bei allen Veränderungen des Widerstandes konstant bleiben, wenn man Kapazität und Anfangsspannung der Batterie unverändert läßt.

Versuche dieser Art sind von Riess⁴⁾ in den Jahren 1837 und 1838, noch vor dem Bekanntwerden des Jouleschen Gesetzes, ausgeführt worden;

Fig. 275.



Die Resultate stimmen mit dem Jouleschen Gesetze gut überein. Riess beobachtete die Ausdehnung seines bereits in § 78 beschriebenen Luftthermometers, wenn er den Stromkreis successive verschiedene lange Drähte einschaltete. Fig. 275 zeigt schematisch die Anordnung. w sei der Widerstand des Drahtes im Thermometer, w' der Widerstand des Drahtes im Thermometer, w'' der Widerstand des Drahtes im Thermometer. Sind Q, Q', Q'' die in den einzelnen Teilen entwickelten Wärmemengen und $Q_0 = Q + Q' + Q''$ unveränderliche Gesamtwärme, so ist nach dem Jouleschen Gesetz:

$$Q : Q' : Q'' : Q_0 = w : w' : w'' : W \quad (7)$$

oder $w : w' : w'' = W$ der Gesamt Widerstand des Schließungskreises. Bedeutet h die Senkung h des Flüssigkeitseisens im Thermometer, also eine proportionale Größe. Es ist also:

$$const. Q = const. Q_0 \cdot w : (w + w' + w'') \cdot \frac{1}{1 + \frac{w'}{w} + \frac{w''}{w}} \quad (8)$$

da alle Größen bis auf w konstant sind:

$$h = c \cdot \frac{1}{1 + \frac{w'}{w} + \frac{w''}{w}} \quad (9)$$

man setzt zur Abkürzung $\frac{const. Q_0}{w + w' + w''} = c$ und $\frac{1}{1 + \frac{w'}{w} + \frac{w''}{w}} = b$ so gilt:

Riess hatte bei seinen Versuchen empirisch gefunden, daß sich seine Beobachtungen durch eine Gleichung von folgender Form darstellen ließen:

$$h = c \cdot \frac{1}{1 + b \cdot l \cdot q} \quad (10)$$

hierbei bedeuten c und b zwei Konstanten, l und q sind die Länge bzw.

⁴⁾ Voyg. Ann. 46, 1837, 43, 1838 und: Lehre von der Helmholtz-Elektrizität I. 1.

der Querschnitt des veränderten Versuches q und q' der Natur abhängige Konstante (Gleichungen 191 und 192) und wegen in § 101 identisch, wenn man q gleich oder proportional dem q Widerstand s setzt.

Folgende Tabelle enthält die Resultate einer Riemannschen Drahtreihe, bei der der Draht aus einem Kupferdrahte von etwa 0,1 mm Π variabler Länge l bestand. Da hier ρ und q konstant bleiben, man $b\rho/q = b'$ setzen und erhält $b = 11 \cdot b'$, l ist

Die Zahlen unter „ h berechnet“ sind mittels der Werte der Konstanten $c = 150$ und $b' = 0,041$ erhalten

l	h beobachtet	h berechnet
0	156	156
1,04	136	130
15,5	96	95
31,1	66	66
46,7	54	54
77,9	42	42

Riemann hat ferner die Konstante ρ für verschiedene Metalle bei die von ihm gefundenen Werte sind proportional mit den von späteren Forschern auf ganz anderem Wege bestimmten spezifischen Widerständen betreffender Metalle. Folgende Tabelle (nach Wiedemann, *Lehrb. II*) enthält die von Riemann gefundenen Werte für ρ und zum Vergleich Matthiessen's) für dieselben Metalle (s. weiter unten S. 123) gefundene relativen Leitfähigkeiten k ; der Wert für Silber ist dabei gleich 1 gesetzt).

	ρ	c nach 1.2	k
Silber	0,004	1000	1000
Kupfer	0,155	80,2	12,1 oder 77,4
Gold	0,175	50,0	20,2
Messing	0,260	40,0	25,2
Wismut	0,879	12	83,4
Platin	1	10,4	96,5
Zinn	1,055	10	100
Quecksilber	1,500	7,0	143

Durch die genannten und noch eine große Anzahl anderer Versuche Riemann, bezüglich deren auf das Original *Law* auf die Darstellung G. Wiedemann (l. c.) verwiesen werden muß, ist ersichtlich, daß ρ

¹⁾ Pogg. Ann. 103, 428, (1859).

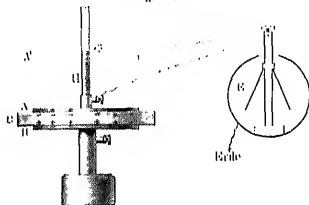
²⁾ Verf. hat es vorgezogen, die alten Matthiessen'schen Zahlen und die Resultate neuerer Messungen zum Vergleich anzusetzen, da die Leitfähigkeit der Metalle stark von kleinen Verunreinigungen abhängt, und es wahrscheinlich ist, daß die Werte älterer Beobachter an reinen Metallen unter Berücksichtigung der übereinstimmenden, als mit den neueren, am sorgfältigsten gemessenen Resultaten.

verschieden verlaufenden Entladungen durch Metalldrähte, deren Verlauf mit den bisher beschriebenen Hilfsmitteln sich nicht im einzelnen verfolgen läßt, das thymische Gesetz ebenso gilt, wie für die langsamen Entladungen durch schlechte Leiter, an denen wir es oben direkt aus der Beobachtung abgeleitet haben.

§ 103. Leitfähigkeit der Dielektrika; Rillezustand; Rotationserscheinungen. Wir haben bereits in früheren Paragraphen gelegentlich auf die Störungen hingewiesen, die in den elektrostatischen Erzielungen durch die niemals ganz verschwindende Leitfähigkeit der Dielektrika hervorgerufen werden (vgl. § 81).

Wir wollen den Einfluß der Leitfähigkeit der Dielektrika jetzt näher untersuchen; wir benutzen dazu den in Fig. 276 im Aufriß dargestellten Plattenkondensator, der aus zwei Metallplatten A und B) und einer 6 bis 8 mm

Fig. 276.



dicke Paraffinscheibe C besteht; A ist mit dem Blättchen H mit dem Gehäuse eines Aluminiumbleielektrometers und der Erde verbunden. Damit die Versuche gelingen, muß das Elektrometer vorzüglich isolieren (das in Fig. 112 in § 67 abgebildete Instrument nach Elster und Heltzel ist am geeignetsten). Die Paraffinplatte wird unmittelbar vor dem Versuche oberflächlich mit einer geraden Messerklinge oder einem Meißel abgepoliert, um anhaftenden Schmutz zu entfernen und zur Beseitigung etwaiger, durch Reibung entstandener Ladungen rasch über eine Flamme gezogen. Beim Zusammensetzen des Apparates darf dann keinerlei Ausschlag des Elektrometers entstehen.

Erster Versuch. Wir heben die Platte A mittels des isolierenden Griffes H möglichst hoch in die Höhe (Stellung A') und erteilen ihr in dieser Stellung eine Ladung von $\frac{1}{2}$ Elektrizität¹⁾, die ein am Elektrometer abzulesendes möglichst hohes Potential Φ' erzeugt. Dann setzen wir die Platte wieder auf und lesen sofort das Elektrometer ab, das jetzt infolge der Kapazitäts-

¹⁾ Wie weiter unten in § 105 zum Volta'schen Fundamentversuche dienenden Platten sind ganz geeignet hierzu.

²⁾ Folgtverständlich gelingen die Versuche auch bei negativer Ladung, nur sind dann auch im folgenden Text alle Vorzeichen umgekehrt zu denken.

vorhergehend beim Niedersetzen der Platte von niedrigem Potential Φ ausging. Während wir nunmehr den Apparat noch selbst übersehen, beobachten wir das Elektromotor und bemerken, daß das Potential andauernd abnimmt. In der die Resultate einer Beobachtungsreihe darstellenden folgenden Tabelle bedeutet t die Zeit in Minuten vom Augenblick des Aufsetzens der Platte an gerechnet, Φ die auf Vert. angegebenen Angaben des geeichten Elektromotors.

t (Minuten)	Φ	Φ'
0	142	210
1	122	210
2	110	210
5	97	210
8	84	210
10	78	210

Man könnte zunächst meinen, daß die Abnahme von Φ einfach davon herrührt, daß die Ladung von A durch Leitung durch das Paraffin hindurch nach Blinndurchlösen, daß es sich also um einen wirklichen Verlust an Ladung infolge unvollkommener Isolation handelt. Daß diese Anschauung irrig ist, sieht man aber sofort, wenn man zu irgend einer Zeit die Platte aufhebt, dann steigt das Potential sofort wieder auf seinen Anfangswert Φ' . Die dritte Spalte der Tabelle enthält die jedesmal beobachteten Werte von Φ' , die praktisch als konstant zu betrachten sind. Da auf A vorhandene Ladung ist also konstant geblieben und die Ursache für die Abnahme von Φ , oder was auf dasselbe hinausläuft, für die Kapazitätsvermehrung des Kondensators im Laufe der Zeit, muß auf einem Vorgange im Dielektrikum selbst beruhen.

Da die Kapazität proportional der D.K. des Dielektrikums ist, so konnte man an eine allmähliche Zunahme der D.K. unter dem Einflusse des elektrischen Feldes denken; heben wir jedoch die Platte A ab, drehen die Paraffinplatte herum, so daß ihre Oberseite nach unten kommt und setzen A wieder auf, so finden wir jetzt, daß beim Aufsetzen Φ größer ist als bei der ursprünglichen Lage der Platte. Bei einer bloßen Vermehrung der D.K. müßte das Herumdrehen ohne Wirkung sein.

Zweiter Versuch. Welcher Art die Veränderungen sind, die in der Platte C vor sich gegangen sind, erfahren wir durch folgende Versuche:

Wir nehmen eine noch nicht benutzte Paraffinplatte, oder wenn eine solche nicht vorhanden, nach Ausführung des ersten Versuches 10 bis 15 Minuten, um die Platte wieder in ihren Normalzustand gelangen zu lassen und ziehen sie zur Sicherheit noch über eine Flamme. Wir laden die Platte A wie oben, setzen sie auf und entladen den Kondensator sofort, indem wir A mit H einen Augenblick durch einen Drahtbügel vorindulsen. Wenn wir jetzt A abheben, es entsteht, wie zu erwarten, kein Ausschlag des Elektromotors, A ist also vollständig entladen.

Wiederholen wir jetzt den Versuch, aber so, daß wir A nicht sofort nach dem Aufsetzen, sondern erst nach etwa 10 Minuten entladen, so entsteht beim Abheben von A ein kräftiger Ausschlag, auf A ist also

...geladen, die Ladung sitzt also gar nicht in den Belegungen, sondern im Induktum." Daß diese Anschauung nicht richtig ist, folgt aus der eben erwähnten Vorzeichenumkehr der Ladung.

Man kann eine vorläufige Beschreibung der genannten Erscheinungen geben, indem man sagt: Die Platte C verhält sich nach längerer Einwirkung eines Feldes wie der Kneben eines Elektrophors, dessen Fläche eine Ladung erteilt ist, die der ursprünglichen Ladung der jetzt als Elektrophordockel fungierenden Platte A entgegengesetzt ist. Drehen wir C um und wiederholen die Versuche, so erhalten wir genau dieselben Erscheinungen, aber mit umgekehrten Vorzeichen. An der Unterseite von C ist also eine mit der Ladung A gleichnamige Ladung entstanden.

Daß die entgegengesetzten Ladungen an beiden Seiten von C gleich sind, kann man dadurch zeigen, daß man C in einen Faradayzylinder steckt, der dabei keinen Ausschlag zeigt.

Die Ladungen ebnen also in dem Kondensator anfangs so verteilt, daß die beiden Belegungen A und B Ladungen tragen; im Laufe der Zeit ebnen jedoch auch C , wie in der Fig. 276 angedeutet.

Es ist leicht einzusehen, daß diese auf C allmählich hervortretenden Ladungen die Wirkung der auf den Belegungen befindlichen Ladungen nachteilig, also das Potential des Kondensators erniedrigen müssen, wie wir im nächsten Versuch beobachten.

Wiederholen wir die Versuche mit einer Schwefelplatte, so finden wir, daß bei dieser die oben beschriebenen Wirkungen nur viel schwächer oder nicht auftreten.

Es entsteht nun die Frage, wie wir uns das Zustandekommen der Ladungen auf der Oberfläche des Dielektrikums zu denken haben. Hier liegen zwei Möglichkeiten vor:

a) Die dielektrische Polarisation entsteht nicht sofort in voller Stärke, sondern gebraucht eine gewisse Zeit zu ihrer Ausbildung; sie verschwindet nicht sofort nach Aufhebung des Feldes, sondern erst allmählich. Da nun, wie in § 82 u. 96 gezeigt wurde, die Polarisation des Dielektrikums eine gegenseitige Verschiebung von $+$ - und $-$ -Elektrizität um eine gewisse molekulare Größe betrachtet kann, infolge deren an den beiden

Grenzflächen eine gewisse Elektrizitätsmenge zum Vorschein kommt, massen, wenn diese nach der Entladung der Hologungen nicht sofort wieder verschwinden, gerade die beobachteten Erscheinungen auftreten.

b) Die dielektrische Polarisation entsteht sofort in voller Stärke und ändert sich nicht mehr, aber außer der durch Polarisation verursachten Verschiebung der Elektrizität tritt noch eine solche durch Leitung ein, die wegen der sehr geringen Leitfähigkeit des Dielektrikums nur ganz langsam erfolgt; werden die Hologungen abgenommen und entladen, so kann die Wiedervereinigung der an der Oberfläche angesammelten Elektrizität wegen der geringen Leitfähigkeit ebenfalls nur ganz langsam erfolgen.

Auf die Versuche, die geeignet sind, zwischen den beiden genannten Annahmen zu entscheiden, wird erst weiter unten eingegangen werden; es soll nur ein prinzipieller Hinweis vorgelegt werden, den man gegen die zweite Annahme geltend machen könnte; es erscheint nämlich zunächst sonderbar, daß die durch Leitung an die Oberfläche gelangten Elektrizität nicht auf die Hologungen A und B übergehen; die Erklärung hierfür lie darin begründet, daß die Hologungen des Paraffinplattes stets nur in wenig Punkten berühren und daß im übrigen eine dünne Luftschicht sich zwischen beiden befindet; die Luft können wir aber im Vergleich zum Paraffin einen vollkommenen Isolator ansehen, solange die Spannungsdifferenz zwischen beiden Seiten nicht den zu einem Funkenübergang nötigen Wert erreicht. Wir werden später (siehe Kapitel „Elektrizitätsleitung in Gasen“) sehen, daß selbst bei den allerdünnsten Luftschichten stets mindestens eine Potentialdifferenz von etwa 800 Volt — 1 cm-Kühheit nötig ist, um einen Funkenübergang zu erzeugen. Da diese Spannung schon jenseits des Meßbereiches unseres Milliamperemeters liegt, so ist ein Übergang vom Dielektrikum zu dem Hologungen bei den angewandten Spannungen unmöglich.

Dritter Versuch. Wir halten unseren Kondensator etwa eine halbe Stunde lang auf konstanter Spannung, indem wir mittels eines Potentialabhebers kleine Ladungen in dem Maße zuführen, als durch den Vorgang im Dielektrikum sich die Spannung vermindert¹⁾.

Sodann entladen wir den Kondensator durch unmittelbaren Verbinden seiner Hologungen und beobachten ihn darauf sich selbst. Es entsteht ein ganz langsamer anwachsender Ausschlag am Milliammeter; das Vorzeichen der es anzeigenden Elektromotorladung ist gleich dem der ursprünglichen Ladung. Man bezeichnet diese, allmählich wieder zum Verschwinden kommende Ladung — oder genauer gesagt „Spannung“, denn die wahre Ladung der Hologungen ändert sich dabei gar nicht — wie bereits in § 77 kurz erwähnt, als „elektrischen Rückstand“.

Das Zustandekommen des Rückstands erklärt sich einfach dadurch, daß nach Entladung des lange geladen gewesenen Kondensators die im zweiten Versuche nachgewiesenen Oberflächenladungen des Dielektrikums sich langsam wieder ausgleichen, wodurch die auf den Hologungen nach der Entladung noch befindlichen „geheilten“ Ladungen wieder frei werden.

¹⁾ Reicht eine elektrische Lichtbatterie von etwa 220 Volt Betriebsspannung oder eine Akkumulatorenbatterie von ähnlicher Spannung zur Verfügung, so kann man einfach die Hologungen mit den beiden Polen der Leitung oder der Batterie verbinden.

Die folgende graphische Darstellung soll den Verstandnis des letzten Abschnittes erleichtern (Fig. 277). Wir denken uns die Kondensatorplatten senkrecht stehend, und die Luftschicht zwischen den Grenzflächen A und α bzw. β der Dielektrikum halber etwas größer als in Wirklichkeit. Wenn wir uns nun senkrecht zu den Platten stehenden Geraden $1-1$ durch die in jeder Schicht des Kondensators herrschenden Potentialwerte als Ordinaten auftragen, so erhalten wir unmittelbar auch der Ladung, auf Grund der in § 90 gemachten Ausführungen über den Verlauf der elektrischen Kraft durch den Potentialgefälle im Kondensator, den durch den Linienzug $1-1$ dargestellten Verlauf; innerhalb jeder Luftschicht, sowie innerhalb des Dielektrikums ist das Gefälle konstant, im Dielektrikum ist es, wenn ϵ die D.K. bedeutet, ϵ mal kleiner als in Luft. In der Figur ist $\epsilon = 2$ angenommen, die Neigung der den Potentialverlauf darstellenden Geraden also im Dielektrikum nur halb so groß, als in den Luftschichten. Da an der Oberfläche der Belegung die Ladungsdichte durch

$$q = E \cdot 4\pi \frac{\Delta\Phi}{l\pi} \quad (1)$$

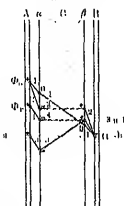
s. § 90, (Gl. 2) gegeben ist, so gibt die Neigung der Geraden ein Maß für die Ladung.

In etwas komplizierter Weise mißt die Größe des Knicks an den Grenzflächen α und β die dort vorhandene Ladung. Im ersten Augenblick, der durch den Linienzug $1-1$ dargestellt ist, ist diese Ladung Null.

Durch die Ladung im Dielektrikum wird $+$ -Elektrizität auch hinaus, $+$ -Elektrizität auch rechts befördert; die Ladungen sammeln sich an den Flächen α und β an und schwächen das Feld im Dielektrikum; der Vorgang ändert, wenn er gemäß der Annahme b verläuft, sein Ende, wenn dieses Feld Null geworden ist, wenn er nach a) verläuft dagegen, wenn die Polarisation ihren konstanten Endwert erreicht hat, wobei das Feld nur bis auf einen gewissen Bruchteil sinkt. Die Figur ist gemäß der sich später als richtig erweisenden Annahme b) gezeichnet. Da wir zu den Platten A dauernd $+$ -Elektrizität zuführen, um das Potential auf dem konstanten Aufgabewert Φ_0 zu erhalten, während zu B durch Induktion seitens der sich ladenden Fläche β $+$ -Elektrizität in gleicher Menge durch die Erdleitung fließt, so steigt nach (Gl. 1) gleichzeitig das Feld im Lufttraum. Der Rindstand (der übrigens für Paraffin erst nach mehreren Stunden annähernd erreicht ist), wird also durch den Linienzug $2-2$ dargestellt. Die stärkere Folge in den Lufttraum zeigt die Zunahme des Feldes bzw. der Ladungen auf den Belegungen; die Zunahme der Knicks an α und β udßt die entstehenden Ladungen auf diesen Flächen.

Wenn man jetzt den Kondensator entladet, d. h. A auf das Potential 0 bringt, ohne daß sich dabei die Ladungen auf α und β wegen der Unschmelzbarkeit des Vorganges wesentlich ändern können, so entsteht der durch den Linienzug $3-3$ dargestellte Zustand. Das tiefe im Lufttraum ist etwas kleiner geworden, die Ladungen auf den Belegungen haben sich also ver-

Fig. 277.



mindert und zwar um den Betrag der oben definierten „disponiblen Ladung“. Im Dielektrikum ist ein dem ursprünglichen entgegen gesetztes Gefälle entstanden, durch das nunmehr eine Strömung in entgegen gesetzter Richtung bewirkt wird, so daß die Ladungen der Platten α und β sich wieder verringern und zwar so lange, bis das Gefälle im Dielektrikum wieder gleich Null ist. Dieser Zustand ist durch den Linienzug 4-4' dargestellt; A isoliert ist, so kann sich die Ladung auf A bei dem letzten Vorgang nicht ändern, das im Luftstrahle verlaufende Stück von 4 ist also dem entsprechenden von 3 parallel; dagegen steigt, wie aus der Figur ohne weiteres ersichtlich, das Potential auf A bis auf den Wert Φ_0 an, der gleiches Vorzeichen aber stets geringeren Betrag hat als Φ_0 .

Das soeben diskutierte Rückstandsphänomen gibt ein Mittel an Hand, zwischen den beiden oben genannten Annahmen a) und b) zu scheiden. Nach a) sind die an der Oberfläche des Dielektrikums scheidenden Ladungen eine Folge der Polarisation der Moleküle des Dielektrikums (vgl. § 82), sie haften also an diesen und können selbst unmittelbarer Berührung zwischen Dielektrikum und Belagungen nicht diese übergehen. Der Rückstand müßte also auch dann eintreten, wenn Luftschicht völlig beseitigt ist. Nach b) hingegen haben sich die Ladungen durch Leitung an die Oberfläche hefteten, sie sind also ganz frei beweglich so daß kein Grund einzusehen, warum sie nicht auch auf die Belagungen übergehen sollten, wenn keine isolierende Luftschicht es hindert. Manu aber eine Rückstands bildung unmöglich und es tritt nur ein allmähliche Ladungsverlust des Kondensators durch die Leitung im Dielektrikum. Letzteres entspricht nun tatsächlich den Beobachtungen, die L. Aron¹⁾ einem völlig luftfreien Kondensator machte, den er dadurch herstellte, daß den Zwischenraum zwischen den Belagungen unter sorgfältiger Beseitigung aller Luftblasen mit geschmolzenem Paraffin ausfüllte. Nach dem Erkalten erwies sich der Kondensator als völlig rückstandsfrei.

Einen weiteren Beweis gegen die Annahme a) und für die Richtigkeit von b) bildet eine Versuchsreihe von Gangnain²⁾; dieser untersuchte allmähliche Kapazitätszunahme von Kondensatoren, die aus einer variablen dielektrischen und zwei bei allen Versuchen konstanten, nämlich einer Luftschichten bestanden. Er fand, daß die nach sehr langer Zeit sich herstellende Kapazität unabhängig von Natur und Dicke der dielektrischen Schicht und ebenso groß war, wie wenn das Dielektrikum durch eine leitende Platte ersetzt wurde. Das ist aber gerade das, was wir in Fig. 277 erwarten müssen, wenn das Feld im Dielektrikum im Endzustande gleich Null ist. Dann wirkt das Dielektrikum genau wie ein Leiter; aus der Ausführung des § 81 ging aber hervor, daß die Kapazität eines aus n Schichten und leitenden Schichten zusammengesetzten Kondensators eben groß ist, als wenn der Plattenzustand einfach gleich der Dicke der n Schichten wäre.

Wollte man die Gangnainschen Versuche durch eine allmähliche wachsende Polarisation des Dielektrikums erklären, so müßte man annehmen, daß der Maximalwert der Polarisation bei allen Dielektrika derselbe sei, ferner würde man, da im Endzustande das Feld E' im Innern des Dielektrikums

¹⁾ Wied. Ann. 23, 291, 1888.

²⁾ Ann. d. chim et phys. [4] 2, 276, 1894, u. Wiedemann, Elektr. II, §

nehmen sich gleich demjenigen in einem Metallstück, also gleich Null ergab, die Polarisation P aber von Null verschieden sein mußte, wenn man die an der Oberfläche entstandenen Ladungen ihr zuschreiben wollte, erhalten:

$$P/K' = \epsilon - 1 = \epsilon - 1$$

der $\epsilon \rightarrow \infty$. Die DK. aller Dielektrika müßte also nach genügend langer Einwirkung des Feldes unendlich groß werden. Abgesehen von der Unwahrscheinlichkeit dieses Ergebnisses wird ihm durch die oben erwähnten röntgenischen Versuche direkt widersprochen. Zu ganz ähnlichen Resultaten in Gangrän gelangt auf etwas anderem Wege auch A. Wallner¹⁾.

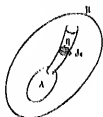
Damit sind also die ganzen Rückstandserscheinungen, wenn wir alles bisher in diesem Paragraphen beobachtete unter diesem Namen zusammenfassend, auf folgende Tatsache zurückgeführt:

A. In jedem Dielektrikum verlaufen unter dem Einflusse eines elektrischen Feldes zwei unabhängige Vorgänge nebeneinander; erstens die momentan²⁾ erfolgende Polarisation, deren Maß die Dielektrizitätskonstante ist, zweitens die sich allmählich ausbildende Wirkung der Leitung.

Diese Anschauung über die Vorgänge in Dielektrika ist zuerst von L. Maxwell³⁾ ausgesprochen worden. Die gänzliche Unabhängigkeit von Leitfähigkeit und DK. ist namentlich durch Versuche von R. Cohn und Arons⁴⁾ nachgewiesen worden, die zeigten, daß man durch Beimengungen die Leitfähigkeit von homogenen Dielektrika um das 1000fache vermehren kann, während sich dadurch die DK. nur um 80 Proz. ändert.

Zahlenangaben über die Leitfähigkeit von festen und flüssigen Dielektrika finden sich in den älteren Arbeiten von Wallner, und von Cohn und Arons. Doch haben die Zahlen keine allgemeine Bedeutung, da Spuren von Verunreinigungen die Leitfähigkeit derartiger schlechter Leiter auf das tausache erhöhen können.

Strömung in einem homogenen Dielektrikum. Wir wollen nunmehr die Gesetze für den Stromverlauf in einem leitenden Dielektrikum an Fig. 278.



Strömung in einem homogenen Dielektrikum. Wir wollen nunmehr die Gesetze für den Stromverlauf in einem leitenden Dielektrikum an Fig. 278. Die Einschlüpfung A ist mit der Leitfähigkeit s besetzt, während das übrige Dielektrikum die Leitfähigkeit x besitzt.

Für den Stromverlauf in einem derartigen

körperlichen Leiter machen wir die naheliegende Annahme, daß der Strom überall parallel der elektrischen Kraft, also parallel den Feldlinien des Feldes fließt. Da somit durch die Wandflächen der Röhren kein Strom hindurchtritt, so können wir uns

¹⁾ Zeits. d. experim. Physik, 3. Aufl., Bd. 4, S. 58.
²⁾ Mit diesen Worte soll nur gesagt sein, daß für die oben angegebenen Richtungsabstufungen ein zeitliches Zurückbleiben der Polarisation nicht zu bemerken ist.

³⁾ Mit diesen Worte soll nur gesagt sein, daß für die oben angegebenen Richtungsabstufungen ein zeitliches Zurückbleiben der Polarisation nicht zu bemerken ist.

⁴⁾ Mit diesen Worte soll nur gesagt sein, daß für die oben angegebenen Richtungsabstufungen ein zeitliches Zurückbleiben der Polarisation nicht zu bemerken ist.

⁵⁾ Mit diesen Worte soll nur gesagt sein, daß für die oben angegebenen Richtungsabstufungen ein zeitliches Zurückbleiben der Polarisation nicht zu bemerken ist.

⁶⁾ Mit diesen Worte soll nur gesagt sein, daß für die oben angegebenen Richtungsabstufungen ein zeitliches Zurückbleiben der Polarisation nicht zu bemerken ist.

⁷⁾ Mit diesen Worte soll nur gesagt sein, daß für die oben angegebenen Richtungsabstufungen ein zeitliches Zurückbleiben der Polarisation nicht zu bemerken ist.

⁸⁾ Mit diesen Worte soll nur gesagt sein, daß für die oben angegebenen Richtungsabstufungen ein zeitliches Zurückbleiben der Polarisation nicht zu bemerken ist.

⁹⁾ Mit diesen Worte soll nur gesagt sein, daß für die oben angegebenen Richtungsabstufungen ein zeitliches Zurückbleiben der Polarisation nicht zu bemerken ist.

¹⁰⁾ Mit diesen Worte soll nur gesagt sein, daß für die oben angegebenen Richtungsabstufungen ein zeitliches Zurückbleiben der Polarisation nicht zu bemerken ist.

¹¹⁾ Mit diesen Worte soll nur gesagt sein, daß für die oben angegebenen Richtungsabstufungen ein zeitliches Zurückbleiben der Polarisation nicht zu bemerken ist.

¹²⁾ Mit diesen Worte soll nur gesagt sein, daß für die oben angegebenen Richtungsabstufungen ein zeitliches Zurückbleiben der Polarisation nicht zu bemerken ist.

¹³⁾ Mit diesen Worte soll nur gesagt sein, daß für die oben angegebenen Richtungsabstufungen ein zeitliches Zurückbleiben der Polarisation nicht zu bemerken ist.

¹⁴⁾ Mit diesen Worte soll nur gesagt sein, daß für die oben angegebenen Richtungsabstufungen ein zeitliches Zurückbleiben der Polarisation nicht zu bemerken ist.

¹⁵⁾ Mit diesen Worte soll nur gesagt sein, daß für die oben angegebenen Richtungsabstufungen ein zeitliches Zurückbleiben der Polarisation nicht zu bemerken ist.

die einzelnen Röhren durch unendlich dünne, nichtleitende Schichten voneinander getrennt denken, ohne daß dadurch weder an der Verteilung der elektrischen Kraft, noch an derjenigen des elektrischen Stromes etwas geändert wird. Jede einzelne Erregungsröhre bildet dann einen fadenförmigen Leiter von veränderlichem Querschnitt, auf den wir das Ohmsche Gesetz anwenden wollen.

Ein Stückchen der Röhre vom Querschnitt q und der Länge δs besitzt den Widerstand $\delta s/(q \cdot \kappa)$, der ganze Widerstand w einer Röhre ist also die über ihre Länge erstreckte Summe:

$$w = \Sigma \delta s / (q \cdot \kappa).$$

Ist $D = \varepsilon \cdot E$ die „Erregung“, so ist $q \cdot D = 1$, oder $1/q = \varepsilon \cdot E$, somit:

$$w = \varepsilon / \kappa \cdot \Sigma (E \cdot \delta s).$$

Da nun $E = -\partial \Phi / \partial s$, so ist $E \cdot \delta s = -\partial \Phi$ und die über die ganze Röhrenlänge erstreckte Summe aller $\partial \Phi$ ist einfach gleich der Potentialdifferenz Φ der Belegungen. Somit:

$$w = \Phi \cdot \varepsilon / \kappa \quad (2)$$

Der Widerstand aller Erregungsröhren ist also derselbe. Der Strom i längs jeder Röhre beträgt $i = \Phi / w = \kappa / \varepsilon$, ist also auch längs jeder Röhre derselbe. Da endlich auch die Ladung an den Endflächen aller Röhren gleich ist, nämlich gleich $+1/4 \pi$, so nimmt die Ladungsdichte an jeder Stelle der Belegungen pro Zeiteinheit um denselben Bruchteil i : $(1/4 \pi) = 4 \pi \kappa / \varepsilon$ ab. Die relative Verteilung der Ladung auf der Belegung bleibt also un geändert; sie bleibt dauernd eine Gleichgewichtsverteilung, wenn sie anfangs eine solche war, ohne daß ein Fließen längs der Oberfläche selbst stattfindet. Daraus folgt, daß der Faktor $4 \pi \kappa / \varepsilon$ auch die relative Abnahme der Gesamtladung e darstellt, so daß wir schreiben können:

$$\partial e / \partial t = -e \cdot 4 \pi \kappa / \varepsilon \quad (3)$$

oder [vgl. die Bemerkung auf S. 289 zu Gl. (2 bis 4) in § 100]:

$$e = e_0 \cdot e^{-t/T} \quad \text{und} \quad \Phi = \Phi_0 \cdot e^{-t/T} \quad (4)$$

wobei zur Abkürzung:

$$T = \varepsilon / 4 \pi \kappa \quad (5)$$

gesetzt ist.

Dasselbe Resultat können wir auch folgendermaßen ableiten: Die Zahl der Erregungsröhren ist gleich $4 \pi e$, also der Widerstand W der parallel geschalteten Röhren gleich:

$$W = \frac{w}{4 \pi e} = \frac{\varepsilon}{\kappa} \cdot \frac{\Phi}{4 \pi e} \quad (6)$$

Ferner ist $\Phi / e = 1/K$, wo K die Kapazität des Kondensators, also

$$W \cdot K = \varepsilon / 4 \pi \kappa = T \quad (7)$$

Nun ist nach dem Ohmschen Gesetz der gesamte den Kondensator durchfließende Strom:

$$J = -\partial e / \partial t = \Phi / W = e / K W = e / T,$$

was mit Gl. (3) identisch. Das Merkwürdige an Gl. (7) ist, daß die Größe KW gänzlich unabhängig von der Gestalt des Kondensators und allein durch

die beiden Konstanten ϵ und κ bestimmt ist¹⁾. Man bezeichnet T' als die Relaxationszeit²⁾ des betreffenden Dielektrikums; es ist diejenige Zeit, innerhalb der die Spannung des Kondensators infolge der Leitung seines elektrischen auf den einen Teil gesunken ist.

T' kann je nach der Natur des Dielektrikums außerordentlich verschiedene Werte annehmen. Für einen guten Isolator, etwa Schwefel, beträgt viele Tage, für Steinöl beträgt es etwa 0,5 Sekunden, und für destilliertes Wasser einige Zehntelmillionstel Sekunden. Während also ein Kondensator mit Schwefel als Dielektrikum bei Anschluß der (Hochspannungs-) Leitung der Verluste durch die Luft, etwa bei Einschließung des Ganzen in ein isoliertes Gefäß, seine Ladung längere Zeit unverändert behält, ist diese in einem Ölcondensator schon nach wenigen Sekunden, bei einem Wassercondensator schon nach etwa 1 millionstel Sekunde praktisch völlig verloren. Bei Metallen endlich ist T' so klein, daß es bis jetzt noch nicht gelungen ist, seinen Wert festzustellen. Man kennt bei Metallen wohl ihre Leitfähigkeit, nicht aber ihre DK.

Die Thomson'sche Beziehung (Gl. 7) gilt, wie leicht zu sehen, auch noch, wenn man einen aus zwei beliebigem einander unerschlossenen Hohlkugeln bestehenden Kondensator nebeneinander mit zwei verschiedenen Medien ausfüllt und für das eine K und ϵ , für das andere K' und ϵ' bestimmt.

So hat (Gauguin³⁾) die Kapazität von Luftkondensatoren mit ihrem Widerstand bei Füllung mit einer Flüssigkeit von bekannter Leitfähigkeit verglichen, und das Produkt $K H'$ tatsächlich unabhängig von der Gestalt gefunden. Man kann diese Übereinstimmung als Hinweis für die Richtigkeit oben gemachten Annahme betrachten, daß in körperlichen Leitern der Strom überall parallel der Kraftrichtung erfolge, so daß man die einzelnen Leit- oder Erregungsröhren als unabhängige nebeneinander geschaltete Stromröhren betrachten kann.

Neuerdings hat F. Kuhlrausch⁴⁾ darauf hingewiesen, daß man (Gl. 7) benutzen kann, um kleine Kapazitäten, die sich schwer messen und bei unklarer Gestalt der Hohlungen auch nicht berechnen lassen, indirekt zu bestimmen, daß man den Kondensator mit einer Flüssigkeit von bekannter Leitfähigkeit füllt und den Widerstand zwischen den Hohlungen nach irgend einer der guten (Kap. VI) zu beschreibenden Methoden mißt.

Strömung im inhomogenen Dielektrikum. In einem inhomogenen Dielektrikum ergeben sich bedeutend komplizierteren Gesetze für den Stromlauf, da hier ja, wie oben bereits qualitativ gezeigt, die Stromstärkenverteilungen hinzukommen. Maxwell folgte in der von ihm entwickelten elektrostatischen Theorie, daß das Auftreten oder Nichtauftreten eines Röhrenstromes einem geschichteten Dielektrikum von der räumlichen Veränderlichkeit der Konstante der Größe $\epsilon \cdot \kappa$ abhängt.

Beweis. Man betrachte die Grenze zwischen zwei Medien mit den DK ϵ_1 und ϵ_2 und den Leitfähigkeiten κ_1 und κ_2 . Nach den in § 23 angegebenen Grenzbedingungen gilt für die elektrische Kraft an der Grenze,

¹⁾ W. Thomson, Phil. Mag. (4) 7, 1854.

²⁾ Pictet und Aron, Wien. Ann. (3), 25, 1888.

³⁾ Ann. chim. et phys. (4), 1862; Wiedemann, Elektr. I, § 136.

⁴⁾ Verh. D. phys. Ges. B., 13, 1908.

die einzelnen Röhren durch unendlich dünne, nichtleitende Schichten voneinander getrennt denken, also daß dadurch weder an der Verteilung der elektrischen Kraft, noch an derjenigen des elektrischen Stromes etwas geändert wird. Jede einzelne Erregungsröhre bildet dann einen fadenförmigen Leiter von veränderlichem Querschnitt, auf den wir das Ohm'sche Gesetz anwenden wollen.

Ein Strohkehren der Röhre vom Querschnitt q und der Länge δs besitzt den Widerstand $\delta s / (q \cdot \kappa)$, der ganze Widerstand w einer Röhre ist also die über ihre Länge erstreckte Summe:

$$w = \sum \delta s / (q \cdot \kappa).$$

Ist $D = \varepsilon \cdot N$ die „Erregung“, so ist $q \cdot D = 1$, oder $1/q = \varepsilon \cdot N$, somit:

$$w = \varepsilon / \kappa \cdot \sum (N \cdot \delta s).$$

Da nun $N = -\delta \Phi / \delta s$, so ist $N \cdot \delta s = -\delta \Phi$ und die über die ganze Röhrenlänge erstreckte Summe aller $\delta \Phi$ ist einfach gleich der Potentialdifferenz Φ der Hologungen. Somit:

$$w = \Phi \cdot \varepsilon / \kappa. \quad (2)$$

Der Widerstand aller Erregungsröhren ist also derselbe. Der Strom i längs jeder Röhre beträgt $i = \Phi / w = \kappa / \varepsilon$, ist also auch längs jeder Röhre derselbe. Da endlich auch die Ladung an den Endflächen aller Röhren gleich ist, nämlich gleich $\pm 1/4 \pi$, so nimmt die Ladungsdichte an jeder Stelle der Hologungen pro Zeiteinheit um denselben Bruchteil $\pm (1/4 \pi) = \pm \pi \kappa / \varepsilon$ ab. Die relative Verteilung der Ladung auf der Hologung bleibt also ungeschädigt; sie bleibt dauernd eine Gleichgewichtsverteilung, wenn sie anfangs eine solche war, ohne daß ein Fließen längs der Oberfläche selbst stattfindet. Daraus folgt, daß der Faktor $4 \pi \kappa / \varepsilon$ auch die relative Abnahme der Gesamtladung e darstellt, so daß wir schreiben können:

$$\delta n / \delta t = -e \cdot 4 \pi \kappa / \varepsilon. \quad (3)$$

oder [vgl. die Bemerkung auf S. 289 zu II. (2 bis 4) in § 100]:

$$e = e_0 \cdot e^{-1/T} \quad \text{und} \quad \Phi = \Phi_0 \cdot e^{-1/T} \quad (4)$$

wobei zur Abkürzung:

$$T = \varepsilon / 4 \pi \kappa \quad (5)$$

gesetzt ist.

Dasselbe Resultat können wir auch folgendermaßen ableiten: Die Zahl der Erregungsröhren ist gleich $4 \pi e$, also der Widerstand W der parallel geschalteten Röhren gleich:

$$W = \frac{w}{4 \pi e} = \frac{\varepsilon}{\kappa} \cdot \frac{\Phi}{4 \pi e} \quad (6)$$

Ferner ist $\Phi / e = 1/K$, wo K die Kapazität des Kondensators, also

$$W \cdot K = \varepsilon / 4 \pi \kappa = T \quad (7)$$

Nun ist nach dem Ohm'schen Gesetz der gesamte den Kondensator durchfließende Strom:

$$I = -\delta e / \delta t = \Phi / W = e / K W = e \cdot T,$$

was mit II. (3) identisch. Das Merkwürdige an Gl. (7) ist, daß die Größe $W \cdot K$ gänzlich unabhängig von der Gestalt des Kondensators und allein durch

ine beiden Konstanten ϵ und κ bestimmt ist¹⁾. Man bezeichnet T als die Relaxationszeit²⁾ des betreffenden Dielektrikums; es ist diejenige Zeit, während der die Spannung des Kondensators infolge der Leitung seines Dielektrikums auf den e -ten Teil gesunken ist.

T kann je nach der Natur des Dielektrikums außerordentlich verschiedene Werte annehmen. Für einen guten Isulator, etwa Schwefel, beträgt viele Tage, für Riechindol beträgt es etwa 1,5 Sekunden, und für destilliertes Wasser einige Zehnmillionstel Sekunden. Während also ein Kondensator mit Schwefel als Dielektrikum bei Ausschluß der Oberflächenleitung und der Verluste durch die Luft, etwa bei Einschließung des Ganzen in ein isoliertes Gefäß, seine Ladung solange fast unverändert behält, ist diese in einem Oleumkondensator schon nach wenigen Sekunden, bei einem Wasserkondensator schon nach etwa 1 millionstel Sekunde praktisch völlig verschwunden. Bei Metallen endlich ist T so klein, daß es bis jetzt noch nicht gelungen ist, seinen Wert festzustellen. Man kennt bei Metallen wohl ihre Leitfähigkeit, nicht aber ihre DK.

Die Thomsonsche Beziehung (Gl. 7) gilt, wie leicht zu sehen, auch noch, wenn man einen aus zwei beliebigem einander unerschließenden Metallbelegungen bestehenden Kondensator nebeneinander mit zwei verschiedenen Medien ausfüllt und für das eine K und ϵ , für das andere K' und ϵ' bestimmt.

So hat (Lugwig³⁾) die Kapazität von Luftkondensatoren mit ihrem Widerstand bei Füllung mit einer Flüssigkeit von bekannter Leitfähigkeit gemessen, und das Produkt KH tatsächlich unabhängig von der Gestalt gefunden. Man kann diese Übereinstimmung als Beweis für die Richtigkeit der oben gemachten Annahme betrachten, daß in körperlichen Leitern der Strom überall parallel der Kraftrichtung erfolgt, so daß man die einzelnen Leitungs- oder Erregungsröhren als unabhängige nebeneinander geschaltete „Stromfäden“ betrachten kann.

Neuerdings hat F. Kohlrausch⁴⁾ darauf hingewiesen, daß man (Gl. 7) benutzen kann, um kleine Kapazitäten, die sich schwer messen und bei unperfekter Gestalt der Belegungen auch nicht berechnen lassen, dadurch zu bestimmen, daß man den Kondensator mit einer Flüssigkeit von bekannter Leitfähigkeit füllt und den Widerstand zwischen den Belegungen nach irgend einer der später (Kap. VII) zu beschreibenden Methoden mißt.

Strömung im inhomogenen Dielektrikum. In einem inhomogenen Dielektrikum ergeben sich bedeutend kompliziertere Verhältnisse für den Stromlauf, da hier ja, wie oben bereits qualitativ gezeigt, die Rückstandsbelegungen hinzukommen. Maxwell zeigte in der von ihm entwickelten elektromagnetischen Theorie, daß das Auftreten oder Nichtauftreten eines Rückstands eines geschichteten Dielektrikum von der räumlichen Veränderlichkeit der Konstante der freien ϵ κ abhängt.

Beispiel: Man betrachte die Grenzfläche zweier Schichten mit den DK ϵ_1 und ϵ_2 und den Leitfähigkeiten κ_1 und κ_2 . Nach dem in § 24 angegebenen Ansatzbedingungen gilt für die elektrische Kraft an der Grenz-

¹⁾ W. Thomson, Phil. Mag. (4) 7, 1854.

²⁾ Cohen und Aronow, Wied. Ann. 33, 25, 1888.

³⁾ Ann. chim. et phys. 14, 1862, Wiedemann, Elektr. I, § 130.

⁴⁾ Verh. d. phys. Ges. 8, 151, 1906.

einige noch keine wahren Ladungen aufweisen, also unvollständige Ladung des Kondensators:

$$x_1 E_1 + x_2 E_2 \text{ oder } \frac{x_1}{x_2} = \frac{E_1}{E_2}$$

Ferner sind die Stromdichten auf beiden Seiten, d. h. die Strom pro Quadratcentimeter Querschnitt [s. III (S. 10 u. 21)]

$$j_1 = x_1 E_1 \text{ und } j_2 = x_2 E_2 \text{ oder } \frac{j_1}{j_2} = \frac{x_1 E_1}{x_2 E_2} = \frac{x_1}{x_2}$$

Die Grenzschicht bleibt nur dann dauernd ladungslos, wenn, d. h. wenn in jedem Moment ebensoviel Elektrizität zu wie abfließt, ist aber nur erfüllt, wenn:

$$\frac{x_1}{x_2} = \frac{E_1}{E_2}$$

was zu beweisen war.

Maxwell beobachtet man auch in sehr schwer völlig homogenen, flüssig elektrischen Rückstand; dieser rührt, wie H. Hertel¹⁾ gezeigt hat, aus mikroskopisch kleinen Vorausladungen (also doch von lokalen Ladungen) sich durch längeren Stromdurchgang bei geeigneter Anordnung heraus ("elektrische Reinigung"), oder aber von elektrostatischen Polarisation, d. h. einer durch den Strom selbst allmählich erzeugten Inkongruenz der verschiedenen Schichten des leitenden Dielektrikums.

Nel den im Beginn dieses Paragraphen beschriebenen Versuch die Leitfähigkeit des einen der beiden Dielektrika, nämlich der Luft gleich Null, solange die angewandten Kräfte unterhalb des zur Entladung nötigen kritischen Wertes blieben.

Ladet man den dort beschriebenen Paraffinkondensator, oder Fig. 190 abgebildete zerlegbare Leidener Flasche auf eine sehr hohe Spannung, so daß man aus dem Kondensator Funken von einigen Millimeter Länge ziehen kann, so erhält man auch eigentümliche Rückstandsladungen, deren Ursache in dem plötzlichen Leitendwerden der dazwischen schicht zwischen den Belagungen und dem festen Dielektrikum zu ist. Da die Leitung durch die Luft, wenn sie überhaupt erst einmal sehr rasch erfolgt, so gebrauchen diese Rückstandsvorrichtungen zur Ausbildung keine merkliche Zeit. Wenn man die zerlegbare Flasche nach dem Laden auf eine hohe Spannung durch metallische Berührung Belage mittels Ausladern entlädt, und mittels isolierender Griffe den einander nimmt, so erscheinen die getrennten Belagungen geladen, i abweichend von den früheren Rückstandsladungen mit der uralten Ladung entgegengesetztem Vorzeichen. Entladet man die getrennten Belagungen und setzt dann die Flasche wieder zusammen, so erscheint wieder geladen, und zwar gleichmäßig der ursprünglichen Ladung. I ladenen Glasflächen wirken jetzt wieder auf die Belagungen, wie der eines erregten Elektrophors auf seinen Deckel und seine Unterlage wie beim Elektrophor kann man das Entladen der Flasche, Ausnehmen und Entladen der getrennten Belagungen, Wiederausammenbau mit gleichem Erfolge beliebig oft wiederholen.

Nimmt man die Flasche nach ihrer ersten Entladung nicht auseinander sondern überläßt sie sich selbst, so geht zunächst ein Teil der Oberladung des Glases durch die Luft auf die Belagungen zurück, so daß innerhalb weniger Sekunden ein der ursprünglichen Ladung gleich

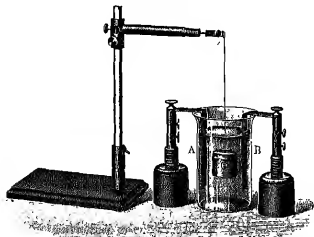
¹⁾ Wied. Ann. 20, 279, 1893.

Rückstand erscheint. Nimmt man diesen durch Entladung fort, und wartet wieder, so kann jetzt wegen zu geringer Spannung kein Übergang durch die Luft mehr erfolgen, es bleibt nur der sehr langsame Ausgleich durch das Glas übrig und ein nach längerer Zeit jetzt etwa auftretender Rückstand rührt nur vom Freiwerden von durch Influenz anfangs gebunden gewesener Influenzolektrizität zweiter Art her, hat also der ursprünglichen Ladung entgegengesetztes Zeichen.

Rotationen im elektrischen Felde. Mit der verschiedenen Leitfähigkeit gemischter Dielektrika hängt auch folgende von G. Quincke¹⁾ entdeckte und zuerst von A. Lloydweiller²⁾ richtig erklärte Erscheinung zusammen.

Zwischen zwei isolierten Metallplatten A und B, die in ein Beoberglas eintauchen, hängt ein Zylinder C oder eine Kugel aus gut isolierendem Mate-

Fig. 270.



rial (Glas, Paraffin oder Schwefel) an einem ungedrehten Faden. Wir füllen das Glas mit einer schlecht leitenden Flüssigkeit, z. B. mit Terpentinöl und laden die beiden Platten mittels einer Influenzmaschine. Dann fängt der aufgehängte Körper zuerst an, sich hin und her zu drehen und gerät schließlich in eine immer rascher werdende Rotation nach einer Seite. Sollte die Bewegung nicht von selbst eintreten, so genügt ein kleiner Anstoß, um ihn in beliebiger Richtung in Rotation zu versetzen.

Durch zunehmende Torsion des Fadens hört die Drehung natürlich schließlich auf, und geht dann in die entgegengesetzte Richtung über.

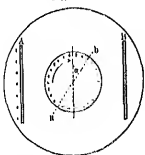
Zur Erklärung der Erscheinung betrachte man die Querschnittszeichnung Fig. 280. Da die Flüssigkeit besser leitet als der im Vergleich dazu fast völlig isolierende Drehkörper, so sammeln sich auf dessen Oberfläche an den Kondensatorplatten zugewandten Seiten gleichnamige Ladungen an, die durch den Leitungsstrom dorthin transportiert sind. Infolge der Abstoßung zwischen diesen Ladungen und den Kondensatorplatten wird das Gleich-

¹⁾ Wied. Ann. 50, 417, 1896.

²⁾ Vorh. Berl. phys. Ges. 10, 82, 1897.

gewichtet die Drehkörpern labil, und wenn er sich einmal nach einer Bewegung gesetzt hat, so behält er seine Bewegung dauernd bei; d die Ladungen bei der Umdrehung aufzunehmen werden und weg schleichen leitfähigkeit der Flüssigkeit nicht sofort wieder aus Gleichgewicht kommen können, so entsteht eine ungleiche Ladungsverteilung auf dem Drehkörper, indem die neutrale Zone ab um einen α Winkel α gegen die symmetrische Lage ist; man sieht leicht ein, daß in diesem Zi die Kräfte zwischen den Ladungen des Körpers und der Platten ein Drehmoment im Sinne der bereits vorhandenen Drehung e die Energiequelle der Bewegung beruht mechanischen Transport von Elektricität von Stellen niederen und von Elektricität Stellen höheren Potentials, wodurch sich

Fig. 280.



bei der Kondensator rascher entladet, als er bei ruhendem strotzen würde. Eine vollständige Theorie der Erscheinung ist von Schwedler¹⁾ her.

§ 104. Entdeckung des Galvanismus. Die in den § 101 beschriebenen Erscheinungen des elektrischen Stromes waren sich mit den in der Elektrostatik gebräuchlichen Hilfsmitteln beobachteten. Als Wirkungen, die von dem Strom herrührten und bei der Elektrizität nicht beobachtet wurden, lernten wir das Spannungsgesetz, Wärmeentwicklung und die Elektrolyse kennen. Es nun noch eine ganze Anzahl weiterer (magnetischer, chemischer) Wirkungen des elektrischen Stromes, die nur bei Anwendung anderer Hilfsmittel beobachtbar sind, wenn wir den Strom durch langsame Entladung einer Leydener Flasche, oder einfach durch Verbindung der beiden Elektroden der Elektrisiermaschine durch einen passend gestalteten Leiter; diese Erscheinungen wären deshalb vermuthlich niemals entstanden, wenn man nicht vorher andere Quellen elektrischer Ströme gefunden hätte, die in guten Leitern schon innerhalb kleiner Theile einer Elektrisiermaschine in Bewegung setzen, wie sie mit den allernächsten Elektrisiermaschinen erst im Laufe von Stunden produziert werden Stromquellen sind:

Der galvanische Prozeß, die Thermoelektricität, die Magnetoinduktion.

Die geradezu unvorstellbare Bedeutung, die die Entdeckung des italienischen Arztes La Galvani (1737 bis 1794), nach dem die erste der genannten Stromquellen benannt ist, für die Physik und für unsere geistige Kultur gehabt hat, läßt es gerechtfertigt erscheinen, daß die Geschichte der Entdeckung hier etwas ausführlicher behandelt wird, dies scheint auch halb angebracht, weil gerade auf diesem Gebiete sich eine Reihe von Tüchern in manchen Darstellungen eingeschlichen hat, durch die die wahre Bedeutung der einzelnen Entdecker oft stark verkleinert wird.

¹⁾ Wien. Ber. 106 (IIa), 1, 1867.

unendlich ist der Anteil Galvanis an der Entdeckung häufig fast bis zur völligen Bedeutungslosigkeit verkleinert worden.

Da die hauptsächlich in Betracht kommenden Arbeiten jetzt leicht zugänglich gemacht sind (Ostwalds Klassiker Nr. 62, 114 und 118), so ist der weitere Sachverhalt verhältnismäßig leicht festzustellen¹⁾.

Nachdem schon im Jahre 1760 Galvani beobachtet hatte, daß frisch getödtete Frösche durch abstrahierte Schläge in Zuckungen geriet, machte

Fig. 281.



beobachtung, die die ganz außerordentliche Empfindlichkeit eines geeignet hergestellten Frischpräparates gegen sehr geringfügige elektrische Entladungen bewies. Er hatte die Hinterextremität eines Frosches (Fig. 281) so präpariert, daß sie durch ihre Nerven noch mit einigen Rückenwirbeln zusammenhängen und hatte das Präparat auf einen Tisch gelegt, auf dem sich zufällig auch eine Elektrisirungsmaschine befand²⁾.

Wie nun der eine von den Leitern, die wir zur Hand gingen, mit der Spitze des Skalpellmessers die Schenkelnerven des Frosches zufällig anzulegte, während sich alle Muskeln wiederholt krampfartig zusammenzuckten. Der andere aber, der aus bei Elektrisierungsversuchen gewöhnlich war, glaubte bemerkt zu haben, daß sich das Ereignis hatte, während dem Kondaktor der Maschine ein Funken entlockt wurde.

Galvani untersuchte die neuartige Erscheinung weiter; das Resultat seiner ersten Versuchsreihe läßt sich dahin zusammenfassen, daß die Zuckungen ausnahmslos eintreten, wenn durch geeignete Verbindung des Präparates mit teils abgeleiteten, teils isolierten Leitern die Möglichkeit gegeben war, daß ein Teil der Influenz, die der geladene Maschinenkondaktor in seiner Umgebung erzeugt hatte, bei der plötzlichen Entladung den selben Weg durch das Präparat nahm. So war es z. B. bei dem oben erwähnten ersten Versuch Galvanis der Körper des Gehilfen, der sich durch das Messer hindurch und dann durch den Frosch zur Erde entlief; daß der Gehilfe nicht auf einer isolierenden Unterlage stand, machte wenig aus, da es genügte, wenn auch nur ein Bruchteil der Influenzladung den Frosch passierte.

Der nächste Schritt Galvanis bestand in dem Nachweis, daß auch die Doppellektrizität (s. Kap. „Luftlektrizität“) die gleichen Wirkungen auslöst. Nachdem ihm dies gelungen, wollte er versuchen, ob auch die schwache elektrische Erregung der Atmosphäre an gewitterfreien Tagen (s. Kap. „Luft-

¹⁾ Eine ausführliche quellenmäßige Darstellung der Geschichte des Galvanismus findet man in W. Ostwald, *Lehrbuch der Elektrochemie*.

²⁾ Die in dieser gedruckten Zeilen entstanden bis auf unwesentliche Kürzungen wortlich der Abhandlung Galvanis aus dem Jahre 1791 (Ostwalds Klassiker, Nr. 62).

elektrizität⁴) eine Wirkung ausübt. Er hing die Froschbeine mittelst Messinghaken an dem eisernen Tische einer Oefenbalkens auf und beobachtete auch gelegentlich Bewegungen, aber ohne erkennbaren Zusammenhang mit dem elektrischen Zustand der Atmosphäre. Dagegen traten die Bewegungen öfters ein, wenn er die Messinghaken gegen das erweichte Gitter drückte. Hierdurch entstanden ihm Zweifel an dem Zusammenhang der Erscheinung mit der atmosphärischen Elektricität, und er wiederholte die Versuche im geschlossenen Zimmer:

Als ich aber das Tier in das geschlossene Zimmer übergeführt, auf eine Eisenplatte gelegt und angefangen hatte, gegen letztere den in der Rückenmark geschnittenen Flanken zu drücken, siehe da, dieselben Kontraktionen, dieselben Bewegungen.

Die Versuche wurden mit wesentlich demselben Ergebnis mit andern Metallen wiederholt, nur daß die Kontraktionen bei der Verwendung verschiedener Metalle verschieden waren, bei dem einen heftiger, bei dem andern leuchtender.

Man kann den Versuch am einfachsten mittels der in Fig. 282 abgebildeten einfachen Vorrichtung wiederholen, ein Streifen Zinkblech *a* ist

Fig. 282.



mit einem Streifen Kupferblech *b* durch einen angelöteten Kupferdraht *c* verbunden; berührt man mit einem der Bleche den Schenkel, mit dem anderen den Nerven, so treten die Zuckungen ein.

Nachdem dann weitere Versuche gezeigt hatten, daß die Zuckungen auch eintreten, wenn die den Frosch berührenden Metalle nicht direkt, sondern mittels Behälter anderer nicht gar zu schlechter Leiter der Elektricität, z. B. durch eine Reihe von Menschen, verbunden waren, dagegen ausblieben, wenn Nichtleiter die Verbindung bildeten, oder den Frosch berührten, blieb (trotzdem) die elektrische Natur des neu entdeckten Phänomens bisherig gestellt; es handelte sich noch um Feststellung des Ursprungs und des Sitzes der beiden ungleichnamigen Elektricitäten, deren Ausgleich durch

den Froschschenkel hindurch offenbar die Zuckungen hervorruft. Er kam zu dem Schlusse, daß die Scheidung im Tiere selbst stattfinden müsse; denn daß jene (d. h. die beiden Elektricitäten) in ein und demselben Metallplättchen verborgen seien, schien der Natur gänzlich entgegenstehend und auch den Beobachtungen widersprechend.

Da in der Elektrizitätsgewinnung Erfahrung, daß auf einander verbundenen Leitern die Elektricität bei fehlender Einwirkung von außen (Influenz) stets im Gleichgewicht ist, war offenbar die Voraussetzung des oben genannten Satzes. Trotz der noch mehrfach ausdrücklich von Galvani betonten Beobachtung, daß die Versuche nur bei Verschiedenheit der berührenden Metalle sicher gelangen, dagegen bei Anwendung eines einzigen Metalls nur schwach und manchmal gar nicht gingen, betrachtete er dies doch offenbar nur als eine Nebenerscheinung und kam zu der Ansicht, daß

so besonders tierische Elektrizität gäbe, und daß sich Nerv und Muskel verhielten wie die beiden Belegungen einer Leydener Flasche, während die außen angelegten Leiter die Rolle eines Entladers spielten. Die allgemein herrschende Meinung der Physiologen und Mediziner, daß es besonders ein „Nervenfluidum“ gäbe, bestärkte ihn in seiner Meinung, Identität dieses hypothetischen Stoffes mit der „elektrischen Flüssigkeit“ anzunehmen.

Eine große Anzahl von Zeitgenossen, die Galvanis Versuche, die naturgemäßen Aufsehen erregten, nachmachten, stimmten der Ansicht Galvanis durchaus bei, und suchten sie durch weitere Beweise zu stärken. Zu ihnen gehörte auch A. Volta (1745 bis 1827), der seine Untersuchungen von Jahren 1792 bis 1796 in einer Reihe von Briefen an befreundete Genossen publizierte¹⁾. Nachdem er zunächst fast ein Jahr durchaus der Ansicht Galvanis zustimmte, und sie dann wenig nach in gewissen Fällen geben lassen wollte, kam er schließlich zu derzeugung, daß in allen Fällen die Quelle der Elektrizitäts-erregung in der Berührung verschiedenartiger Leiter zu suchen sei.

Die historische Entwicklung der Voltaschen Beweisführung (in den Jahren 1792 bis 1796) verlief etwa folgendermaßen:

Volta fand, daß der Entladungstrom einer Leydener Flasche gar nicht Muskel eines Fröschkörpers selbst zu passieren brauchte, um eine Wirkung zu erzeugen, sondern daß es genügte, wenn ein ganz kurzes Stück Nerv mittels zweier Stanniolbelegungen in den Stromkreis eingeschaltet wurde. Es wurde also nur der Nerv selbst direkt gereizt, während die Reizung des Muskels seitens des Nerven ein sekundäres Phänomen von physikalisch unbekannter Natur, aber jedenfalls identisch mit der gewöhnlichen biologischen Muskelreizung durch den zugehörigen Nervon war.

Ein weiterer Versuch zeigte dann, daß die Nervenerregung und als Folge auch die Muskelzuckung auch eintrat, wenn zwei hohlstarre Stücke des Nerven mit zwei verschiedenen Metallplatten, etwa mit Stanniol und mit Zinn, belegt und dann die Belegungen durch einen Draht verbunden wurden. Damit war nach Volta die galvanische Anschauung wieder widerlegt, denn innerhalb der durch nichts unterschiedenen hohlstarren Teile des Nerven konnte die Scheidung der Elektrizitäten doch nicht erfolgen²⁾. Es mußte also die Stromquelle in der Berührung der verschiedenartigen Leiter liegen, und zwar konnte die Scheidung der Elektrizitäten sowohl an der Berührungsstelle der verschiedenen Metalle, als an den Berührungstellen zwischen metallischen und flüssigen Leitern geschehen; wenn die Kräfte, mit denen die Scheidung an den verschiedenen Berührungstellen erfolgte, gleiche Richtung hatten, oder aber bei entgegengesetzter Richtung voneinander genügend verhindert waren, so mußte dauerndes Strömen der Elektrizität in Richtung der stärkeren Kraft in geschlossenen Leiterschleifen erfolgen.

¹⁾ Olshausen's Klassiker, Nr. 111 und 112.

²⁾ Bspäteren Untersuchungen von Du Bois-Reymond, „Untersuchungen über die Elektrizität“ haben dann allerdings ergeben, daß auch der Nerv als solcher elektrisch wirkt, doch ist diese Wirksamkeit viel zu schwach, um bei den nachher Versuchen in Frage zu kommen.

Als sicher entscheidend zwischen Galvanis und seiner Anschauung gab Volta noch folgenden Versuch an¹⁾:

Ein Froschpräparat ist am Rückgrat mit einem Stückchen Blattgold oder Blattsilber A bedeckt; unter dem einen Schenkel liegt ein Stück A' desselben Metalles, unter dem anderen Schenkel ein blankes Zinkstück Z.

Verbindet man nun A und A' mit einem Draht aus beliebigem Metall (die berührenden Enden müssen blank geschmirgelt sein), so erhält man keine Zuckungen, während nach Galvani solche zu erwarten wären; verbindet man A' und Z, so erhält man Zuckungen, während nach Galvanis Anschauung wegen der Symmetrie der Anerkennung eine Wirkung unmöglich wäre.

Sehr leicht ausführbar ist folgender einfache Versuch Voltas, der allerdings bereits im Jahre 1760 von Sulzer²⁾ beschrieben wurde, natürlich ohne daß dieser eine plausible Erklärung anzugeben wußte.

Man legt eine Gold- oder Silbermünze auf die Oberseite der Zunge, drückt das eine Ende eines U-förmigen, blanken Zinkstreifens gegen die Zungenspitze und bringt dann das andere Ende mit der Münze zur Berührung; es entsteht eine saure Geschmacksempfindung an der Berührungsstelle des Zinks und der Zunge, die andauert, solange die Metalle sich berühren. Vertauscht man die beiden Metalle, so entsteht eine weniger kräftige alkalische Geschmacksempfindung.

Das Fortdauern der Empfindung, solange die Metalle direkt oder auch durch Vermittelung beliebiger anderer teils fester, teils flüssiger guter Leiter verbunden sind, ist nach Volta ein Beweis für das dauernde gleichmäßige Fließen der Elektrizität; eine Vergleichung mit den Geschmacksempfindungen, die entstehen, wenn man die Zunge den Glüh- oder Bismutausstrahlungen einer positiv oder negativ geladenen Spitze aussetzt, läßt ihn auch die Richtung des Stromes richtig dahin angeben, daß derselbe innerhalb der Zunge vom Zink zum Gold fließt.

Im folgenden teilte dann Volta die Leiter der Elektrizität in zwei Klassen ein, in „Leiter erster Klasse“, zu denen er sämtliche Metalle, verschiedene Metalloxyde und -sulfide sowie die Kohle rechnet, und „Leiter zweiter Klasse“, zu denen das Wasser und sämtliche wässrige Lösungen gehören.

Auf Grund dieser Einteilung stellte er das folgende Gesetz auf:

A. Ein elektrischer Strom entsteht jedesmal dann, wenn eine geschlossene Kette aus mindestens drei Leitern gebildet wird, von denen mindestens einer ein Leiter zweiter Klasse sein muß; und zwar sind dabei drei Fälle möglich:

1. Zwei verschiedene Leiter erster Klasse berühren einen Leiter zweiter Klasse.

2. Ein Leiter erster Klasse berührt zwei verschiedene Leiter zweiter Klasse.

3. Es berühren sich drei verschiedene Leiter zweiter Klasse.

In jedem der soeben genannten Kreise befinden sich also mindestens drei Berührungsstellen, an denen Elektrizität erzeugt werden kann und nach

¹⁾ Siehe Ostwalds Klassiker Nr. 114, S. 122, Anmerkung.

²⁾ Berl. Akad. Ber.

aus Anschauung auch tatsächlich erragt wird. Die drei elektromotorischen Kräfte, wie wir nunmehr die ihren Mechanismus einseitig als unbekannt zu betrachtenden Ursachen der Elektrifizierung an den Berührungstellen nennen wollen, hängen in ihrer Größe Richtung von der Natur der sich berührenden Leiter ab, und je nach Überwiegen der einen oder anderen ergibt sich die Richtung des Stromes.

Wie weiterhin, noch immer mit Hilfe des Froschpräparates ausgeführten Versuchen eine große Reihe wichtiger Tatsachen, die hier nur kurz aufgeführt zu sein sollen, die wir als später unter Anwendung bestimmter Beobachtungsweisen eingehender besprochen werden.

Volta fand unter anderem:

An Stelle zweier ebenfalls verschiedener Metalle kann auch ein einziges dienen, seine Enden nur irgendwie verschieden, z. B. verschieden hart oder auf verschiedene Temperatur sind, oder wenn das eine blank, das andere oxydiert ist. Einmal war eine Kombination von blankem und oxydiertem Blei sehr merkwürdig.

An Stelle zweier verschiedener Flüssigkeiten kann auch dieselbe Flüssigkeit, in verschiedener Konzentration, dienen.

Besteht der Schließungskreis aus einer größeren Anzahl Cells metallischer, teils fester Leiter, so kommt es für die Intensität der Wirkung sehr auf die Größe Berührungsoberflächen zwischen den flüssigen oder zwischen einem flüssigen und einem metallischen Leiter an; dagegen macht es bei der Berührung zweier metallischer Leiter kaum etwas aus, ob sie sich in einer größeren Fläche oder nur in einigen Punkten berühren. Volta schließt hieraus ganz richtig, daß die Leitfähigkeit der Metalle ganz außerordentlich diejenige der Flüssigkeiten übersteigt.

Die Metalle lassen sich nach dem Grad ihrer Wirksamkeit in eine Reihe ordnen, d. h. in der Reihe am einfachsten voneinander stehenden die die Wirkung bei geringster Berührung zeigen; die Reihe wird weiter unten (S. 77) in etwas erweiterter Form aufgestellt werden.

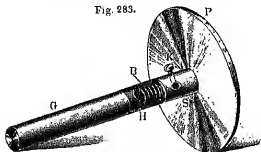
Wenn nun auch die bisher aufgeführten Tatsachen, namentlich der Umstand, daß eine Wirkung nur eintrat, wenn der ganze Kreis aus Leitern Elektricität bestand, dagegen ausblieb, wenn er irgendwo einen Nichtleiter oder schlechten Leiter enthielt, durchaus für den elektrischen Ursprung neuerartiger Erscheinungen sprachen, so galt doch andererseits die unüberwindliche Unmöglichkeit, mit Hilfe der beim Froschexperiment wirkensamen Kombinationen die bis dahin bekannten elektrischen Wirkungen, wie Zuckungen und Abstöße, Funken, elektrische Schläge usw., zu erzeugen, viele Zeitgenossen Volta als ein Argument zugunsten der Anschauung, man sei hier nicht mit eigentlicher Elektricität, sondern mit einem neuen Agens, für das man den Namen „galvanisches Fluidum“ vorschlug, um habe. Wir wollen im nächsten Paragraphen zeigen, wie es Volta ang, diese Anschauung zu widerlegen und die fehlenden Wirkungen nachzuweisen.

§ 105. Der Voltasche Fundamentalexperiment. Der elektroskopische Beweis, daß zwei sich berührende verschiedenartige Metallplatten entgegengesetzt elektrisch werden, gelang Volta im Jahre 1798 durch Benutzung von Nicolaus's erfundenen Duplikaten (vgl. § 69). Im Jahre 1797 hat er dann eine viel bequemere Anordnung, die eine modifizierte Form des in § 77 beschriebenen Kondensators darstellt.

¹⁾ Phil. Trans. 78, 1798, Recens. Ann. d. Phys. 2, 61.

Der Apparat bestand aus einer Anzahl genau oben geschliffener und polierter Metallplatten von 6 bis 8 cm Durchmesser und etwa 3 mm Dicke. Fig. 283 zeigt eine praktische Ausführungsform der Platten nach E. Grimsehl¹⁾. An der Rückseite der Platte *P* sitzt ein mit einer Klemmschraube *K* versehener

Fig. 283.



kurzer Stiel, der in ein isolierendes Hartgummistück *H* eingeschraubt ist; als Handhabe dient ein Messingrohr *G*. Bei den früher vielfach benutzten, ganz aus Glas oder Hartgummi bestehenden Stielen entstand leicht beim Han-

tieren störende Reibungselektrizität. Die axiale Bohrung *B* in der Schraube des Stiels erlaubt, die Platten nach Abschrauben des Hartgummistücke direkt auf den Stiel eines Elektrometers aufzusetzen.

Zur Ausführung sämtlicher folgender Versuche sind im ganzen sechs Platten nötig, drei aus Kupfer und drei aus Zink. Von den Kupferplatten sind zwei, von den Zinkplatten eine, wie beim Voltaschen Kondensator, an der dem Stiel abgewandten Seite mit einer dünnen Lackschicht überzogen.

Reinheit und Glätte der Oberfläche sind unerlässliche Vorbedingungen zum Gelingen der Versuche. Man putze die unlackierten Platten vor Beginn der Versuche durch Abreiben auf einem glatt gelegten Bogen allerfeinsten Schmirgelpapiers (Nr. 0000) und staube sie vor jedem einzelnen Versuch noch einmal mit einem weichen Pinsel ab. Bei Nichtgebrauch stelle man die Platte nicht mit ihrer Fläche auf den Tisch, sondern lege sie, wie in der Fig. 283 dargestellt, auf eine Kante. Bei lackierten Platten entsteht beim Abstauben leicht Reibungselektrizität; deshalb müssen diese Platten noch etwaigen Abstauben auch noch über eine Flamme gezogen werden²⁾.

Erster Versuch. Wir fassen zwei unlackierte Platten, und zwar eine Kupfer- und eine Zinkplatte, an ihren Stielen, drücken sie mit mäßiger Kraft aufeinander und reißen dann die merklich adhärenenden Platten³⁾ mit einem kräftigen Ruck auseinander, so daß die Berührung möglichst an allen Punkten gleichzeitig aufgehoben wird. Prüfen wir dann die Platten an einem möglichst empfindlichen Blättchenelektroskop, so finden wir die Zinkplatte positiv, die Kupferplatte negativ geladen.

Man benutzt am besten ein Blättchenelektroskop mit verschiebbaren Schutzblechen (Fig. 112), die man den Blättchen möglichst nähert; dadurch wird die Empfindlichkeit beträchtlich erhöht und der ziemlich schwache Effekt leichter bemerkbar.

¹⁾ Zeitschr. f. phys. u. chem. Unterr. 10, 14, 1903.

²⁾ Ist der Lack rissig geworden oder sonstwie verdorben, so wäsche man ihn mit Terpentin oder Alkohol ab und pinsle eine neue Schicht von dünnflüssigem Benzinlack oder Schellack mit einem feinen Pinsel auf die etwas angewärmte Platte. Man lasse die Platte dann zwei Tage lang an einem staubelosen Ort stehen, ehe man sie gebraucht. Wenn man ganz sicher gehen will, so erneuere man vor jeder größeren Versuchreihe die Lackschicht selbst dann, wenn sie ganz unverletzt aussieht.

³⁾ Siehe Bd. I, § 110

Es ist gleichgültig, ob bei der erstmaligen Ausführung dieses Versuchs die Platten während der Berührung induziert oder abgeleitet sind.

Zweiter Versuch. Wir können den Effekt, der beim ersten Versuch meist an der Grenze des Beobachtbaren steht, verstärken, wenn wir eine der Platten, im folgenden mit *B* bezeichnet, durch einen Draht Erde ableiten, und die andere, im folgenden mit *A* bezeichnet, abwechselnd auf *B* ansetzen, abheben und mit dem Elektroskop in Berührung bringen. Der Ausschlag wird mit jeder neuen Berührung anwachsen, bis er Endwert erreicht, der nicht weiter überschritten wird.

Noch stärker wird der Endeffekt, wenn die Platte *B* nicht davor, sondern immer nur während *A* abgehoben ist, für einen Augenblick abgeleitet.

1). Es entstehen leicht Entladungen von 6 bis 7 Skalenteilen am Elektroskop-Elektrode bei ganz auseinandergezogenen Schutzblechen. Machen wir zur Kontrolle einen Gegenversuch mit zwei Zinkplatten, so entsteht kein Ausschlag.

Auch bei Verwendung zweier verschiedener Platten bleibt die Wirkung, wenn wir die Platten nicht mit ihrer ganzen Fläche, sondern nur mit einem kleinen Teile derselben aufeinanderzusetzen, oder endlich, wenn wir die Platten nicht genau parallel abheben, sondern um einen Punkt des Randes, um ein Scharnier auseinanderklappen und dann erst trennen.

Zur Erklärung der Versuche nehmen wir mit Volta an, bei der Berührung zweier verschiedener Metalle trete von selbst eine Scheidung Elektrizität in der Weise ein, daß sich $+$ Elektrizität auf der einen, $-$ Elektrizität auf der anderen Platte ansammelt, und daß Gleichgewicht ist, wenn eine ganz bestimmte Potentialdifferenz der Platten entsteht. Diese Potentialdifferenz hält aber der unbekannten Kraft, die die Scheidung bewirkt, gerade das Gleichgewicht und dient deshalb auch Maß dieser Kraft, der man den Namen „elektromotorische Kraft“, abgekürzt „E.M.K.“ abgeleitet, gegeben hat.

Die Elektrizitätsmenge, die sich im Gleichgewichtszustande auf jeder beiden Platten angehauft hat, muß gleich dem Produkt der E.M.K. in Kapazität des Kondensators sein, der aus den beiden Platten und der zwischen ihnen befindlichen äußerst dünnen Luftschicht besteht.

Trennt man nun die Platten derartig, daß die Berührung an allen Stellen gleichzeitig aufgehoben wird, so behält jede ihre ganze Ladung; die Kapazität der Platten sich bei der Trennung stark verkleinert, so muß das Potential zu und wird schließlich so hoch, daß es am Elektroskop nachweisbar ist.

Hebt man die Platten nicht genau parallel ab, sondern dreht sie um eine Kante, so kann die Potentialdifferenz, solange die Berührung dauert, anwachsen, weil jetzt während der Drehung einfach ein Teil der vorher vorhandenen Ladungen sich durch die Berührungsstelle ausgleicht, so daß Potentialdifferenz stets gleich der E.M.K. bleibt.

Maßgebend für die Größe des beobachtbaren Effektes ist also die gegenwärtige Kapazität der beiden Platten im letzten Augenblicke der Be-

1) Zur Ableitung genügt Berührung mit dem Zolgefingerring der rechten Hand. Über den Einfluß der Art der Ableitung s. weiter unten S. 321 unter „Potential Messung“ 13.

rührung; bezogen wir diese mit K , die EMK mit E), so ist die Ladung $e = K \cdot E$.

Die gegenseitige Kapazität der kreisförmigen Platten vom Radius r , dem gegen r sehr kleinen Abstand d ist für Luft als Dielektrikum [s. Gl. § 90]:

$$K = \pi r^2 \cdot (4\pi d) \quad r^2 \text{ (in cm)} \quad \dots \dots \dots$$

die Ladung jeder Platte während der Berührung beträgt also

$$e = K \cdot E = E \cdot \pi r^2 (4\pi d) \quad \dots \dots \dots$$

Trennt man die Platten so weit, daß sie nicht mehr merklich aneinander wirken, so hat jede, falls wir ihre Ladung gegen r vernachlässigen kann die Kapazität [s. Gl. (5), § 84]:

$$K' = 2\pi r \quad \dots \dots \dots$$

und ihr Potential ist durch die Gleichung $\Phi = e / K'$ gegeben, oder

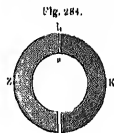
$$\Phi = E \cdot K / K' = E / \pi r \quad \dots \dots \dots$$

Den Faktor $K/K' = \pi r^2 / 2r$, der angibt, um wievielfach das Potential der Platte A nach der Trennung die Potentialdifferenz während der Berührung übertrifft, nennt man die „Verstärkungszahl“ des Kondensators. [z. B. $r = 4 \text{ cm}$, $d = 1/100 \text{ cm}$, so ist die Verstärkungszahl gleich 157.

Berührt man mit der abgehobenen Platte A das Elektrometer, so geht ein Teil ihrer Ladung an dieses über und das Potential der Platte erniedrigt sich. Bei mehrmaliger Wiederholung des Versuches kann sich aber das Elektrometerpotential offenbar nur so lange vermindern, bis es gleich dem der Platte geworden ist. Der bei oftmaliger Wiederholung schließlich erreichbare Grenzwert des Elektrometerschlags mißt also das Potential Φ der abgehobenen Platte. Dividiert man dieses Potential, das meist nur Bruchteile einer elektrostatischen Einheit betragen wird, durch die Verstärkungszahl so erhält man die EMK bei der Berührung der Platten, die demnach nur einen äußerst kleinen Wert hat, der ohne die Vervielfältigung durch den Kondensator nur mittels sehr empfindlicher Instrumente nachzuweisen wäre.

Eine sehr einfache Methode, die Potentialdifferenz zwischen zwei Metallen während ihrer Berührung nachzuweisen, ist von W. Hallwachs¹⁾ angegeben worden. Man ersetzt die messingenen Quadranten des Quadranten-Elektrometers durch zwei an der einen Seite miteinander verbundene Halbkreise (Fig. 284), von denen einer aus Zink, der andere aus Kupfer besteht. Wird nun die über ihnen schwebende Nadel abwechselnd auf ein positives und negatives Potential gebracht, so ändert sie jedesmal ihre Lage, da sie im ersten Falle vom Kupfer angezogen und vom Zink abgestoßen wird, im zweiten Falle die entgegengesetzten Einwirkungen erfährt.

In anderer Weise hat W. Hallwachs²⁾ das Quadranten-Elektrometer zum Nachweise und zur Messung von Kontaktpotentialdifferenzen benutzt. Sind die Metallhälften



¹⁾ Eine Verwechslung mit der früher ebenfalls mit E bezeichneten elektrischen Feldstärke ist wohl kaum zu befürchten, wo eine solche möglich sein sollte, wird durch geeignete Indizes eine Unterscheidung bewirkt werden.

²⁾ Gounier: Potentialdifferenz gegen Erde.

³⁾ Proc. Manchester Soc., 2, 176, 1902.

⁴⁾ Weid. Ann., 20, 1, 1896.

Quadranten und die Nadel eines solchen Instrumentes aus demselben Metall | unter sich sowie mit einer Ableitung zur Erde verbunden, so besitzen alle die Teile dasselbe Potential, welches durch den Kontakt ihres Metalls mit der Ableitung entsteht, und ihnen keine Kräfte aufeinander aus.

Ist jedoch das Metall der Nadel von dem der Quadranten verschieden, z. B. Minimum, während die Quadranten und die Nadel aus Messing bestehen, so hat Nadel von Anfang an ein von dem Potential der Nadel und Quadranten abweichendes Potential, das sich zu dem willkürlich der Nadel erteilten Potential, je nach dessen Vorzeichen, hebt oder von ihm subtrahiert.

Die Folge hiervon ist, daß, wenn man das Vorzeichen der Quadranten und der Nadel willkürlich erteilten Potentiale gleichzeitig umkehrt, die Ausschläge etwas verschieden ausfallen. Messung kleiner Potentialdifferenzen muß man die von den Induktionseffekten bedingte Korrektur berücksichtigen.

Endlich hat H. Majorana¹⁾ die Kontaktpotentialdifferenzen folgender Anordnung bestimmt: Die beiden Metalle seien die beiden Platten Z und E eines Hanks'schen Elektrometers (Fig. 285), zwischen denen ein feiner, verdrillter Faden | liegt, der beidseitig | über -- gelassen werden konnte. Wenn zwischen untereinander durch einen Draht verbundenen Platten eine EMK wirkte, mußte der Faden sich je nach dem Vorzeichen seiner Ladung gegen die eine oder andere Platte bewegen. Der Apparat war klein genug, um in den Stöß mit großer Luft eingetaucht zu werden, wobei sich herausstellte, daß die EMK, die Zink und Blei bei Zimmertemperatur etwa 0,88 Volt betrug, durch die Abkühlung auf 0° 5 Volt herabsank.



Bei der Berührung der Platte A mit dem Elektromotor muß auch eine K entstehen, wenn das Elektromotor nicht aus gleichem Metall verfertigt und ebenso haben wir eine EMK an der Berührungsstelle zwischen dem Elektromotor und den Blättchen zu erwarten. Wir müssen somit unseren Satz in der Elektrostatik gefundenen Satz, daß die Elektrizität auf einem System im Gleichgewicht sei, wenn überall gleiches Potential herrsche, einschränken, daß dies nur dann der Fall, wenn alle Leiter aus demselben Metall bestehen. Für die meisten elektrostatischen Vermutungen kommt es der Unterschied, der von der Berührung verschiedenartiger Metalle abhängt, seiner Kleinheit wegen gar nicht in Betracht. Auch bei unseren oben beschriebenen Versuchen entsteht hierdurch kein wesentlicher Fehler; z. B. der Zinkplatte berührten, als Endwert des Elektromotorpotentials nicht sondern $E - E$ erhalten. Nun ist

$$\Phi = E - E \cdot K \cdot K' = E - E(K/K' - 1) \quad (6)$$

Solange aber die Verstärkungszahl $K \cdot K'$ sehr groß ist, können wir den Bruchteil 1 in der letzten Gleichung vernachlässigen und Φ an Stelle von $E - E$ setzen.

Aus ähnlichen Gründen erklärt sich auch der im allgemeinen geringe Einfluß der Erdableitung der Platte B beim ersten Versuch. Nehmen wir, die Platten seien zuerst beide isoliert und auf demselben Potential, die Wände des Beobachtungszimmers. Dann ist ihre Ladung Null. Bei Berührung werden sie dann die Potentialdifferenz $|N/2|$ und $-E/2$ an die Zimmerwände abgeben, und ihre Ladungen werden $E \cdot K/2$ und

¹⁾ Ann. d. Phys. 1890.

— $E/K/2$ betragen, wenn K die gegenseitige Kapazität der Platten bei ihrer Berührung.

Wenn wir nun bei Wiederholung des Versuches die negative Platte durch irgend welche Leiter mit den Zimmerwänden leitend verbunden halten, so wirken an den Berührungstellen der einzelnen Leiterteile, z. B. zwischen der Platte und dem Draht, zwischen diesem und der Wasserleitung, zwischen dieser und der Wand, elektromotorische Kräfte, die jedoch, wie aus spätem folgen wird, niemals sich so summieren können, daß ihre Summe, d. h. die Potentialdifferenz zwischen der abgeleiteten Platte und der Wand, viel größer sein kann, als diejenige zwischen den beiden Platten. Die Ladung e' , die infolge dieser Potentialdifferenz E' auf den sich berührenden Platten angehäuft wird, ist gleich dem Produkt aus E' in die Kapazität k' der äußeren Plattenoberfläche gegen die umgebenden mit der Wand verbundenen Leiter, die meistens alle sehr weit entfernt sind. Es ist also k' klein gegen die gegenseitige Kapazität K der Platten, somit auch e' klein gegen e , und deshalb zu vernachlässigen.

Andera liegen die Verhältnisse bei mehrmaliger Wiederholung des Verfahrens, also beim zweiten Versuch:

Die Platte A sei Zink, die Platte B sei Kupfer, es wird also A positiv, B negativ. Zunächst seien beide dauernd isoliert. Die Platte A gibt am Elektrometer einen Teil ihrer $+$ Elektrizität ab, während B ihre Elektrizität ganz behält. Nach dem Wiederauflösen von A muß also das System der beiden Platten, weil es $+$ Elektrizität verloren hat, im ganzen einen Überschuß von $-$ Elektrizität besitzen, der sich gleichmäßig auf beide Platten verteilt, und von der bei der Berührung neu entstehenden $+$ Elektrizität der Zinkplatte abstrahiert, zu der Elektrizität der Kupferplatte addiert werden muß. Beim zweiten Abheben wird also die Zinkplatte bereits weniger $+$ Elektrizität besitzen als beim ersten Male, und zwar ist der Fehlbetrag gleich der Hälfte dessen, was beim ersten Male an das Elektroskop abgegeben wurde. Beim zweiten Male entsteht wieder ein neuer Verlust von $+$ Elektrizität und so fort. Man wird also bei isolierten Platten nur eine sehr mäßige Verstärkung durch mehrmalige Wiederholung erzielen können.

Ist B dauernd abgeleitet, so sind die Verhältnisse bei jeder Wiederholung genau dieselben, A bekommt jedesmal die Potential Φ und man erhält als Endwert am Elektrometer ebenfalls Φ .

Wird nämlich B nur abgeleitet, während A abgehoben ist, so verteilt sich nach dem Wiederauflösen der nicht an das Elektrometer abgegebene Rest der $+$ Ladung von A auf das ganze System, das somit jetzt einen Überschuß von $+$ Elektrizität hat, der beim nächsten Male das Potential der Platte A über den Betrag Φ hinaus erhöht. Der Fehlbetrag wird also größer als Φ .

Bei diesem letzten Falle könnte unter Umständen die Art der Erdableitung eine gewisse Rolle spielen. Würde man etwa die Platte B jedesmal mit ihrer ganzen Fläche auf eine mit der Erde verbundene Platte aus anderem Metall aufsetzen, so würde an den Berührungstellen starke Kondensatorwirkung eintreten und B nach Abheben eine Ladung haben, die mit der Ladung, die bei Berührung mit A entsteht, von gleicher Größenordnung wäre. Die Erdableitung muß also möglichst zu vermeiden, daß sie mit keine

Wir setzen sie wieder auf, und verbinden die Rückseiten der Platten während der Berührung einen Augenblick durch einen U-förmig gebogenen Kupferdraht. Wenn wir dann nach vorüberiger Entfernung des Drahtes die Platten trennen, so beobachten wir eine Ladung von gleichem Vorzeichen und ähnlicher Größe, wie beim ersten Versuch. Auch dieser Versuch kann, ähnlich wie der dritte, so ausgeführt werden, daß man *A* direkt auf dem Elektroskop befestigt und *B* bewegt.

Da die Lackschicht ziemlich gut isoliert, so kommt es hier nicht so sehr wie früher auf paralleles Abheben der Platten an. Wegen des Fortfalles dieser beim ersten Versuch sehr wesentlichen, aber nur sehr schwer erfüllbaren Bedingung kann der Ausschlag jetzt sogar beträchtlich größer sein als beim ersten Versuch, obgleich die Verstärkungszahl wegen der Dicke der Lackschicht jetzt kleiner ist als früher. Jedochfalls geraten die Versuche mit den lackierten Platten bei nicht zu häufiger Wiederholung gleichmäßig.

Wiederholt man den Versuch öfters, so werden die Ausschläge allmählich kleiner. Das Verhalten der Lackschicht ist nämlich ziemlich komplizierter Natur und läßt sich nur dann vollständig verstehen, wenn man nicht nur die in § 102 besprochenen Rückstandsercheinungen, sondern auch die elektrolytische Natur der Ladung in Betracht zieht und die damit stets verbundenen Polarisationsercheinungen (s. Kap. VIII) berücksichtigt.

Es ist deshalb unbedingt anzuraten, vor Ausführung der Versuche im Auditorium die Platten frisch zu lackieren, auch wenn die Vorversuche mit der alten Lackschicht noch gut gelungen sind.

Man kann die von der Lackschicht hergehende Unschärfe völlig vermeiden, wenn man eine andere, ebenfalls von Volta herührende Anordnung benutzt, darin bestehend, daß eine der Platten mit drei Schrauben mit isolierenden Spitzen versehen ist, auf denen die andere Platte aufruhrt. Man reguliert dann die Schrauben so, daß die Lackschicht zwischen den Platten möglichst dünn wird (etwa $\frac{1}{2}$ mm). Immerhin ist die Lackschicht beträchtlich dicker, als sie bei direkter Berührung der Platten sein würde, so daß man nur recht kleine Ausschläge erzielt, die aber den Vorteil völliger Gleichmäßigkeit haben. Benutzt man statt des gewöhnlichen Blättchenelektroskops ein Hankelsches (vgl. auch § 104), so sind die Ausschläge doch groß genug, um bequem beobachtet zu werden. Statt der 3 Schrauben können füglich auch drei kleine Metalltropfen dienen, die man vor dem Erstarren des Quecksilbers gedrückt hat.

Da bei dem fünften Versuche die Berührung von Kupfer und Zink nur an wenigen Punkten, nämlich da, wo der Kupferdraht die Zinkplatte berührt, stattfindet, so schließen wir, daß es auf die Zahl der Berührungspunkte nicht ankommt.

Sechster Versuch. Derselbe ist dazu bestimmt, den Einwurf zu widerlegen, daß bei den bisherigen Versuchen die nicht ganz ausgeschlossene Reibung oder der Stoß der verschiedenen Metalle die Ursache der Elektritätsentwicklung sei. Man verfährt genau wie beim vierten Versuch, ersetzt aber den Kupferdraht durch einen gekrümmten Messingdraht, welcher aus einem Stück Zinkblech und einem Stück Kupferblech zusammengesetzt ist. Der Messingdraht wird so angelegt, daß das Zinkende mit der Zinkplatte, das Kupferende mit der Kupferplatte in Berührung kommt. Man erhält ganz dieselbe Elektrisierung, wie beim vierten Versuch. Da nun diesmal die Berührung der verschiedenen Metalle an der Lötstelle stattfindet, also nicht mit Reibung verknüpft ist, und andererseits die schwache Reibung von Kupfer mit Kupfer, und Zink mit Zink keine Elektrität erzeugen kann, so ist die Erklärung durch Reibung oder Stoß ausgeschlossen.

Wir haben bei diesem Versuch drei Kontaktstellen, die wir durch das leicht verständliche Schema:

$$K/K + K/Z + Z/Z$$

darstellen wollen. Eine EMK wirkt nur bei Berührung verschiedenartiger Metalle, also nur an der Kontaktstelle K/Z .

Wiederholen wir jetzt den Versuch, aber mit Vertauschung der Enden des Blechstreifens, so erhalten wir genau denselben Ausschlag. Das Schema der Kontakte ist jetzt offenbar:

$$K/Z + Z/K + K/Z.$$

Wir haben also drei elektromotorische Kräfte gleicher Größe, von denen aber zwei in der einen, und eine in der entgegengesetzten Richtung wirken, so daß nur die Differenz, d. h. die einfache EMK des Kontaktes K/Z , übrig bleibt.

Man sieht leicht ein, daß der Effekt auch dann derselbe bleiben muß, wenn man beliebig viele Z - und K -Streifen in irgendwelcher Reihenfolge aneinanderreihet. Der Effekt ist immer derselbe, wie wenn sich die letzten beiden Stücke, also die Platten selbst, unmittelbar berühren.

Es ist deshalb nicht möglich, unter Verwendung von bloß zwei Metallen durch irgendwelche Aneinanderreihung des Effekt zu vervielfachen.

§ 106. Die Spannungsreihe; Gesetz von Volta. Wir setzen zwei gleichartige lackierte Platten, etwa zwei Kupferplatten, aufeinander und benutzen zur Verbindung, wie beim sechsten Versuch in § 105, einen aus zwei anderen Metallen, z. B. Zink und Silber, zusammengesetzten Streifen. Je nach der Richtung des Streifens haben wir jetzt das Schema:

$$K/S + S/Z + Z/K \quad (I)$$

oder:

$$K/Z + Z/S + S/K \quad (II)$$

Es sind also alle drei Kontaktstellen voneinander verschieden, und dasselbe indessen wir auch von den Beiträgen der an ihnen wirksamen EMK erwarten. Der Gesamteffekt, der an den Platten zur Wirksamkeit kommt, ist also gleich der algebraischen Summe der drei einzelnen elektromotorischen Kräfte; diese Summe ist im Falle (II) offenbar gleich und entgegengesetzt derjenigen im Falle (I); denn in (II) ist die Reihenfolge der Metalle gerade umgekehrt wie in (I).

Bei Ausführung des Versuches findet man, daß der Effekt in beiden Fällen gleich Null ist; dasselbe Resultat erhält man, wie schon Volta gezeigt hat, bei allen beliebigen Metallkombinationen, wenn die beiden Endplatten aus gleichem Metall bestehen. Bezeichnen wir also mit A , B und C drei beliebige verschiedene Metalle, mit A/B , B/C und C/A die Werte ihrer EMK, so erhalten wir das wichtige Gesetz:

$$\underline{A/B + B/C + C/A = 0} \quad \text{oder} \quad \underline{A/B + B/C = -C/A = A/C} \quad (7)$$

Dasselbe Resultat erhalten wir auch, wenn wir beliebig viele verschiedene Metalle kombinieren, d. h. es ist:

$$\underline{A/B + B/C + C/D + \dots + Y/Z = A/Z} \quad (8)$$

Denn nach (II. (7) ist $A \cdot B \mid B \cdot C = A \cdot C$, ebenso

$$A/O \mid C/D = A \cdot D \mid A \cdot D \mid D \cdot E = A \cdot E \text{ usw.}$$

In Worten:

A. Es ist gleichgültig, ob wir zwei Metalle direkt oder unter Zwischenschaltung beliebig vieler anderer Metalle verbinden.

Durch Satz A. und die Gleichungen (71) und (81) wird das sogenannte „Voltasche Spannungsgesetz“ dargestellt, das für alle Leiter erster Klasse gilt. Durch Messung der EMK möglicher Leiterpaare erster Klasse gelang es Volta, eine „Spannungsserie“ aufzustellen, in der die Leiter so aufeinander folgen, daß jeder folgende negativ bei Berührung mit dem vorhergehenden wird. Die folgende Tabelle enthält außer der Voltaschen Reihe auch noch die einiger späterer Autoren

Volta	Seebeck	Pfaff	Faraday
+	+	+	+
Zink	Zink	Zink	Zink
Blei	Blei (poliert)	Platinum	Blei
Zinn	Zinn	Zinn	Zinn
Eisen	Blei (rauh)	Blei	Wismut
Kupfer	Antimon	Wolfram	Antimon
Silber	Wismut	Eisen	Eisen
Gold	Eisen	Wismut	Kupfer
Kohle	Kupfer	Antimon	Kohle
Graphit	Platin	Kupfer	
Braunstein	Silber	Silber	
		Kohle	
		Tellur	
		Platin	
		Palladium	

Wie man sieht, stimmen diese Reihen nicht ganz überein, was durch Beobachtungsfehler oder auch durch Unreinheit der Metalle oder deren Oberfläche (Oxydation) verursacht sein mag¹⁾. Legen wir Voltas Reihe zu Grunde, so folgt aus derselben beispielsweise, daß Zink mit allen übrigen aufgeführten Körpern positiv, Braunstein mit allen übrigen negativ elektrisch wird, daß Kupfer mit Zink bis Eisen negativ, mit Silber bis Braunstein dagegen positiv elektrisch wird.

Messungen über die Größe der EMK bei Berührung verschiedener Metalle sind vielfach ausgeführt worden, die Resultate haben wegen des großen Einflusses von Unreinheiten der Metalle und ihrer Oberfläche nur beschränkten Wert. Folgende Tabelle enthält die von Ayres und Perry²⁾ an einigen käuflichen Metallen und an Kohle gefundenen Werte in Voltal Einheiten:

¹⁾ Eine Zusammenstellung neuerer Messungen findet man in: Wiedemanns Elektrizität, Bd. I.

²⁾ Phil. Transact. 1880, p. 1 und Beiblätter 4, 5, 6, 7, 8, ferner auch Houghwells Wied. Ann. 9, 562, 577, 1880.

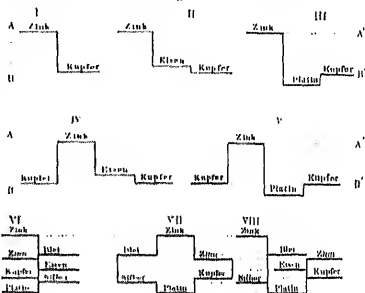
Zink	1	0,21
Blei	2	0,08
Zinn	3	0,31
Eisen	4	0,16
Kupfer	5	0,24
Platin	6	0,11
Kohlen	7	

Nach dem Spannungsgesetz muß die EMK zwischen zwei beliebigen Leitern gleich der Summe der Werte aller zwischenliegenden Metalle sein, Zink, Kupfer $\dots 0,21 + 0,08 + 0,31 + 0,16 = 0,76$. Die Messungen zeigen dies durchaus, so daß man das Spannungsgesetz unter Bezugnahme auf die Spannungsreihe auch so ausdrücken kann:

Die elektromotorische Kraft zwischen zwei Leitern der Spannungsreihe ist gleich der Summe der elektromotorischen Kräfte aller dazwischenliegenden Kombinationen der Spannungsreihe.

Zur näheren Erläuterung des Spannungsgesetzes und seiner Konsequenzen bedienen wir uns einer graphischen Darstellungsweise. Wir stellen uns die Potentialhöhen der sich berührenden Leiter durch die Vertikal-

Fig. 280.

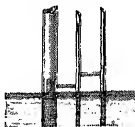


Linien von horizontalen Linienstärken dar, deren jedes einem der Leiter entspricht. Die Potentialdifferenz zwischen zwei beliebigen dieser Leiter ist durch die Höhendifferenz der Linienstücke gegeben. Der Ordinatenabschnitt ist dabei ein willkürlich gewählter.

Die Schemata der Fig. 280 sind in dieser Weise gezeichnet. Das Schema I z. B. stellt die Kombination Zink-Kupfer vor, die Höhendifferenz bedeutet die Potentialdifferenz zwischen diesen beiden Metallen. Schauen wir

zeigt die Kombination Zink-Eisen-Kupfer, Schema III die Kombination Zink-Platin-Kupfer. Solange dieselben Metalle Zink und Kupfer an den Enden stehen, kann die Potentialdifferenz nie eine andere werden, als der Niveaudifferenz AB entspricht, wenn auch die Zwischenglieder beliebig ausgewählt werden. In den Schemata IV und V bildet Kupfer beide Enden; die Potentialdifferenz an denselben kann daher nur gleich Null sein. Das Schema VI versinnlicht den Fall, wo sieben Metalle sämtlich in gegenseitiger Berührung sind, das Schema VII den Fall einer in sich geschlossenen Kette von sechs Metallen, das Schema VIII eine verstellte Anordnung, wobei zwei Gruppen von je drei Metallen zunächst direkt unter sich und durch Platin indirekt miteinander in Verbindung stehen. Man überacht sofort, wenn man

Fig. 287.



ein in ähnlichen Kombinationen enthaltenes Metall, z. B. das Kupfer, stets auf dasselbe Potential bringt, indem man es etwa stets durch ein und denselben Kupferdraht mit der Erde verbindet, daß dann auch jedes andere Metall in jeder Kombination dasselbe Potentialhöhe erhält.

Daraus folgt weiter, daß, wenn man irgend wo zwischen zwei Metallen einer solchen Kette oder Gruppe eine metallische direkte oder indirekte Verbindung herstellt, an der Verbindungsstelle schon vor der Berührung dieselbe Potentialdifferenz herrschen muß, die dieselbe durch die Berührung entstehen würde. Man sieht daher auch ein, daß durch keine Kombination von Metallen ein dauernder elektrischer Strom zu erhalten ist¹⁾.

Wir wollen zum Schluß noch auf ein Analoges hinweisen. Senkt man in eine Flüssigkeit mehrere Kapillarröhren von verschiedener Weite, Fig. 287, so steigt in ihnen die Flüssigkeit zu verschiedener Höhe. Wenn nun jemand versuchen wollte, durch Querverbindung solcher Röhren einen dauernden Strom der Flüssigkeit vom höheren zum niederen Niveau anzulaufen zu bringen, so würde er sofort bemerken, daß ein solches Vorhaben nicht gelingen will. Dieselbe Kraft, welche die Flüssigkeit im engeren Rohre in größere Höhe treibt, wirkt auch dem Abfließen vom engeren ins weitere Rohr entgegen. Dabei ist es gleichgültig, ob das Verbindungsrohr den Querschnitt des engeren oder weiteren Rohres oder irgend einen anderen Querschnitt hat.

§ 107. Verhalten der Leiter zweiter Klasse; Volta'sche Säule.

Wir haben bereits in § 104 gezeigt, daß in einem geschlossenen Kreise, der teils aus Leitern erster, teils aus solchen zweiter Klasse besteht, dauernde physiologische Wirkungen (Erregung der Bewegungs- oder der Empfindungsnerven) eintreten, und daß man daraus mit Volta den Schluß ziehen kann, es finde ein dauernder elektrischer Strom in einer Richtung statt.

Dies ist aber nur möglich, wenn die an den verschiedenen Berührungspunkten erzeugten elektromotorischen Kräfte sich nicht aufheben, mit anderen Worten:

¹⁾ Wir werden später sehen, daß dieser Satz auch dann noch das Spannungsgesetz — ungültig wird, wenn die Metalle ungleiche Temperaturen haben.

Für Leiter zweiter Klasse gilt das Volta'sche Spannungsgesetz nicht

Man kann diese Tatsache geradezu als Unterscheidungsmerkmal bei der Prüfung benutzen, und einfach festsetzen:

Leiter erster Klasse sind solche, für die das Spannungsgesetz gilt, Leiter zweiter Klasse sind solche, für die es nicht gilt.

Vom nun nun dazu übergeht, die EMK zwischen Leitern erster und zweiter Klasse, also etwa zwischen Metallen und wässrigen Lösungen, zu messen, so stößt man auf eigentümliche Schwierigkeiten und gelangt zu paradoxen Resultaten, die die Quelle Jahrzehntelanger Irrtümer und Meinungsverschiedenheiten gewesen sind; die Erklärung der scheinbaren Widersprüche, die wir gelangen werden, liegt in der Tat so versteckt, daß man bei ungenügender Wiederholung der Volta'schen Versuche über die EMK bei Berührung von Metallen und wässrigen Lösungen zunächst in der Tat ein falsches Resultat gelangen muß wie Volta, daß nämlich die EMK der Berührung von Metallen und Flüssigkeiten ganz unwesentlich klein gegen diejenige bei der Berührung zweier Metalle sei.

Leiter unten (§ 112) werden wir dann allerdings zeigen, daß es sich in der Tat gerade umgekehrt verhält, daß also die Kontaktwirkung zwischen Metallen ganz geringfügig und elektromagnetisch gar nicht nachweisbar ist, während diejenige zwischen Metall und Flüssigkeit überwiegt.

Unser nächster Vorversuch soll den Volta'schen Gedankengang weiter ver-

folgen. Eine Leierschneide werde mit Wasser oder einer wässrigen Lösung von irgend einem Salz, einer Säure oder einem Alkali befeuchtet, durch sie, daß ihre Oberfläche sich nur ganz schwach leuchtet an und keinesfalls auch Tropfen herauspressen lassen. Dann nehmen wir sie zu den früheren Versuchen benutzten unedleren Metallplatten, tauchen sie auf die Leierschneide und prüfen sie nach dem Abheben am Elektro-

meter. Wir erhalten bei bloß einmaligem Abheben wahrscheinlich überhaupt und auch nach mehrmaliger Wiederholung nur eine sehr schwache Ladung, die im Vergleich mit der beim Kontakt zweier Metalle entstandenen in Betracht kommt. Das Vorzeichen der Ladung ist unregelmäßig, meist negativ. Am merklichsten ist der Effekt beim Zink.

Es schließt aus diesen Versuchen (und konnte gar nichts anderes erwarten, daß die Kontaktpotentiale bei der Berührung von Metallen und Flüssigkeiten äußerst klein seien.

Das seltsame Resultat führt der folgende leichtere Versuch. Wir stellen eine lackierte Kupferplatte auf eine Zinkplatte (Fig. 248) und versehen jede Platte mit je einem rechtwinkligen Streifen Kupferblech k und k' , und je einem ähnlich gebogenen Zinkblech z und z' . Die Blechstreifen müssen blank gepulvt sein.

Wir verbinden die mit ihren zugehörigen Platten gleichartigen Streifen z und z' einen Augenblick durch ein drittes Stück Metall, heben dann die

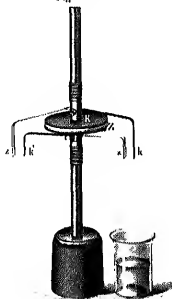
Platte z ab, statt der Lacke die § 120 erwähnte Anordnung mit beiden Schrauben zu benutzen

Kupferplatte ab und prüfen sie am Elektromotor; wir erhalten einen Aus-
schlag, von — Kohlrizität herührend.

Das Verfahren ist einfach eine Wiederholung des Rüstons Versuchs
in § 105.

b) Wir verbinden k und z durch Eintauchen in einen mit Wasser oder
irgend einer Lösung gefüllten Glasbehälter. Nach Entfernung des Hebers

Fig. 288.



heben wir wieder die Kupferplatte ab und
prüfen sie; sie ist entweder ganz un-
geladen, oder im Vergleich zu dem Effekt
bei metallischer Verbindung nur sehr
schwach geladen.

Aus diesem Versuche können wir zu-
nächst nur schließen, daß die EMK bei
der Berührung von Zink und Flüssigkeit,
sowie bei der Berührung von Kupfer und
Flüssigkeit entweder beide fast gleich
Null, oder beide fast genau gleich groß
sind, so daß sie sich in ihrer Wirkung
aufheben, oder endlich, daß die Leitfähig-
keit der Lösung oder der Berührungswieten
zwischen Metall und Lösung zu gering
sei, um die Schenkung genügend rasch
erfolgen zu lassen. So unwahrscheinlich
auch die letzte Annahme ist, so bedarf sie
doch einer direkten Widerlegung durch
den folgenden Versuch.

c) Wir wiederholen den vorigen Ver-
such an den Streifen k' und z' , die so an-
gebracht sind, daß k' an der Zink- und z'
an der Kupferplatte sitzt. Wir erhalten einen kräftigen Ausschlag; ist das
Elektromotor gerichtet, so können wir feststellen, daß der Effekt doppelt so
groß ist, als im Falle a.

Die Leitfähigkeit der Lösung ist also genügend groß

Ebenso wie eine Lösung wirkt auch der menschliche Körper. Wir können
also die Versuche b) und c) wiederholen, indem wir einfach die Streifen mit
den Fingern berühren. Zur Erklärung der Versuche reicht es einstweilen
jedenfalls aus, wenn wir den Kontakt zwischen Metall und Flüssigkeit als
elektromotorisch unwirksam betrachten. Im Falle c) muß dann offenbar,
wenn wir die EMK zwischen Zink und Kupfer mit E bezeichnen, die Kupfer-
platte gegen den Zinkstreifen und somit auch gegen die Flüssigkeit auf einem
um $-E$ niedrigeren Potential stehen, die Zinkplatte dagegen gegen den
Kupferdraht und damit auch gegen die Flüssigkeit auf einem um $+E$
höheren Potential. Die ganze Potentialdifferenz der beiden Platten beträgt also
 $2E$, während sie im Falle a) nur E betrug und im Falle b) gleich Null war.

Im Prinzip ganz dem Falle b) entsprechend ist ein Versuch von W. Thomson.
Wurde der in Fig. 283 dargestellte Zink-Kupfering an der Lötstelle unterbrochen
und die Verbindung durch einen Wassertropfen hergestellt, so erhielt die Nadel,
wenn man sie + oder — ind, entweder gar keinen Ausschlag, oder der Ausschlag
ging in beiden Fällen nach derselben Seite, daher also offenbar nicht von geringen
Asymmetrien in der Aufhängung her.

der letzte Versuch zeigt uns zugleich den Weg, wie man durch Mit-
tag der Leiter zweiter Klasse die elektromotorischen Kräfte beliebig
erhöhen kann.

zeichnet man nämlich, wie in Fig. 289 dargestellt, eine Säule aus
Zink und aufgeschichteten Tuchscheiben in der Reihenfolge:

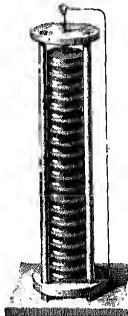
Kupfer Zink Wasser Kupfer Zink Wasser Kupfer usw.

nennen nach Volta's Ansicht, gemäß welcher die Flüssigkeit elektro-
sch wenig oder gar nicht wirksam, handelt die beiden durch die Flüssig-

Fig. 289



Fig. 290



getrennten Metallscheiben dasselbe Poten-
tial, während je zwei zusammen-
geordnete Metallscheiben die Potentialdifferenz
weisen. Ist also etwa die unterste
zur Erde abgeleitet, so ist die
Vertheilung in der Säule die auf
linken Seite der Figur ausgehend.
27 auf S. 313 stellt diese Vertheilung
sch dar.)

der in seiner von Volta angegebenen
anglichen Ausführungsform in Fig. 290
stelte Apparat wird eine Voltasche
und ihre Endstücke werden ihre Pole
ent.

Die einzelne Kombination aus Kupfer, Zink und Flüssigkeit heißt ein
Volta'sches Element.

Die Voltasche Säule wurde in bezug auf ihre äußere Form und auf
Zahl der Metalle und der Flüssigkeit mannigfach abgeändert. In ihrer
anglichen Form sind die Metall- und Tuchscheiben zwischen drei Glas-
en aufgeschichtet. Es ist vorteilhaft, die Kupfer- und Zinkscheiben
wechseln. Wegen des Volta'schen Spannungsgesetzes kann das
tall keinen Einfluß haben. Da das Herausheben der Flüssigkeit an den
der Säule störend ist, so empfiehlt es sich, die Kupferplatten mit
aufstehenden Rändern zu versehen. Später hat man die Form der
ganz verlassen, trotzdem aber ihren Namen bisweilen auch für solche
nungen beibehalten, welche eine ganz abweichende äußere Form
en.

Dritter Versuch. An einer Voltaschen Säule von etwa 100 Platten-
kommen wir leicht die Spannungsverhältnisse prüfen, indem wir das

Wir bezeichnen, nachdem, daß es sich nur um eine provisorische, später zu
erende Auffassung handelt.

untere Ende mit dem Gehäuse eines Elektrometers verbinden, und das freie Ende eines mit den Blättchen verbundenen langen Drahtes mittels isolierenden Handgriffs langsam von unten nach oben an der Saule entlang führen (Fig. 291); wir beobachten dabei ein ähnliches Auslenkungsgehen der Blättchen.

Ist die Plattenzahl der Saule für eine derartige direkte Messung nicht groß, oder das Elektrometer nicht empfindlich genug, so verbinde man das Elektrometer noch mit einem Voltaschen Kondensator AB (Fig. 292). Vor

Fig. 291.

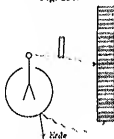


Fig. 292.



dem Aufsteigen der Platte A trenne man die Verbindung zwischen B und dem zur Saule führenden Draht mittels der isolierenden Handhabe C .

Die Spannung der aus n Plattenpaaren bestehenden Saule steigt von 0 am unteren Ende bis zu $n \cdot E$ am oberen Ende. Verlegen wir die Erdleitung an das obere Ende, so erhält dieses die Spannung 0, während das untere Ende $-n \cdot E$ erhält. Leiten wir die Mitte ab, so erhalten wir $\frac{1}{2} n \cdot E$ am oberen und $-\frac{1}{2} n \cdot E$ am unteren Ende. Die Differenz beider Enden bleibt immer dieselbe, nämlich $n \cdot E$.

Es ist bei diesen Versuchen ganz gleichgültig, ob wir den beweglichen Draht an einem isolierenden Griff oder direkt mit der Hand halten; bloß ist bei dem indirekten Versuch mit dem Voltaschen Kondensator darauf zu achten, daß zuerst die Verbiplung zwischen B und dem Drahte, dann erst die zwischen Draht und Saule unterbrochen wird. Daraus folgt, daß die Elektrifizationsforung seitens der Saule schnell genug erfolgen muß, um die Verluste, die durch das fortwährende Abstoßen der Ladung durch die Hand in die Erde erfolgen, auszugleichen.

Noch auffälliger erscheint es, wenn das Elektrometer fest mit den Polen der Saule verbunden wird, daß man mit den Händen gleichzeitig Blättchenträger und Gehäuse ableitend berühren kann, ohne daß dadurch die Spannung am Elektrometer merklich verringert wird.

Man darf zu diesem Versuche keine sehr vielplattige Saule nehmen; nicht mehr als 30 bis 60 Plattenpaare, weil man sonst unangenehme Schläge erhält.

Vierter Versuch. Wir machen einen Vergleichsversuch mit einer möglichst kräftigen Influenzmaschine, deren beide Konduktoren mit Blättchen und Gehäuse verbunden sind, die wir, wie vorher, beide mit der Hand ableitend berühren. Es entsteht bei noch so kräftiger Wirkung der Maschine kaum ein Ausschlag ¹⁾.

¹⁾ Erst die Hände ablegen, dann die Maschinenvon einem isoliert stehenden lassen resp. ihre Konduktoren voneinanderziehen. Bei Beachtung des Versuches wird Maschine völlig entladen oder Verbindung zum Elektrometer trennen, dann erst Hände fortnehmen. Bei Nichtbeachtung dieser Vorsicht können leicht die Blättchen zerreißen.

In beiden Fällen fließt offenbar ein konstanter Strom durch den menschlichen Körper; nimmt man an, was später bewiesen werden wird, daß das Volta'sche Gesetz (vgl. § 100, III, 11) für den von der Säule gelieferten Strom J so gelte wie für den Strom J' der Maschine, so folgt, wenn W der Widerstand des menschlichen Körpers, Φ und Φ' die in beiden Fällen eintretenden Elektromotorpotentiale sind:

$$J = \Phi / W \quad \text{und} \quad J' = \Phi' / W$$

$$\frac{J}{J'} = \frac{\Phi}{\Phi'} \quad \dots \dots \dots (1)$$

Es ist also, wie oben bemerkt, Φ' unmeßbar klein, so folgt, daß J vielmehr ist als J' , mit anderen Worten:

A. Die Fähigkeit einer Säule zur Elektrizitätslieferung übertrifft diejenige der stärksten Elektrisiermaschinen ganz außerordentlich.

Aus diesem Grunde ist es für die meisten Versuche mit der Volta'schen Säule und mit den später zu besprechenden Galvanischen Zellen völlig ausreißend, wenn man als Elektroden einen der in § 64 als „Halbleiter“ bezeichneten Körper, z. B. Holz, benützt.

Vergleichen wir dagegen die Spannungen, die eine Elektrisiermaschine einer Säule zu erzeugen gestattet, so finden wir gerade das Umgekehrte: eine ganz kleine Maschine erzeugt schon Spannungen, die hinreichen, aufstretenden von mehreren Zentimetern durch einen Funken zu überbrücken, während zur Erzeugung selbst eines Funkenchens von nur $1/10$ Zoll bereits eine Säule von fast tausend Plattenpaaren nötig wäre.

Hierbei darf man natürlich nicht verwechseln zwischen einem Funken, der bereits vor völliger Berührung bei einer gewissen Entfernung freiberspringt, und dem „Blick-Gezuck“, den man erhält, wenn man zwei mit den Enden der Säule verbundene Drähte zuerst zur Berührung bringt und dann etwas auseinanderzieht (s. w. u. Kap. „Strahlleitung in Gasen“).

Zur ungefähren Schätzung der Spannung der Säule diene die Angabe, jedes Kupfer-Zinkpaar eine EMK von etwa 0,7 bis 0,8 Volt hat. Man erzeugen also erst eine Spannung von etwa 300 Volt -- fügen wir (vgl. S. 285).

Die erste klare Darlegung der oben geschilderten Verhältnisse stammt von A. B. Pfaff¹⁾.

Man kann sich die beschriebenen Unterschiede am besten durch ein dynamisches Bild klarmachen:

Die Volta'sche Säule können wir mit einer Pumpmaschine vergleichen, die eingerichtet ist, daß sie eine sehr große Wassermenge fördert, aber nur eine sehr kleine Höhe, von der das Wasser in breitem Maße ruhig seinen Weg wieder zufließt. Hierbei macht es wenig aus, ob die Wände des Beckens oder der Steigrohren des Pumpwerks etwas niedriger sind, da die überwindende Wassermenge gegen die Hebungsförderung gar nicht in Betracht kommt.

Die Elektrisiermaschine dagegen entspricht einem Pumpwerk, das so eingerichtet ist, daß nur eine ganz winzige Wassermenge gehoben wird,

¹⁾ Gilberts Ann. 10, 219, 1801

aber auf eine ungeheure Höhe, von der das Wasser in einer sorgfältig gedichteten Rohrleitung wieder herabfließen kann. Hier wird der ganze Effekt durch die geringste Undichtigkeit sofort wesentlich vermindert, denn da die ganze Wassermenge sehr klein ist, so kommen die Verluste sehr in Betracht.

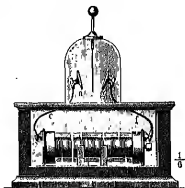
Im ersten Falle vermag der schwächste Dampf den ganzen Strom aufzuhalten, ebenso wie ein Papierblatt zwischen den Drahtenden den Strom der Voltaschen Säule völlig unterbricht; im zweiten Falle ist der Wasserdruck instande, eine zu dünne Stelle der Rohrwand oder eine zu schwache Absperrung zu sprengen, genau wie der Funken der Elektrisirmaschine zu dünne Isolierschichten durchbricht.

§ 108. Die trockene Säule. Ganz nach dem Prinzip der Voltaschen hat Bohrens eine Säule konstruiert, in welcher der feuchte Leiter durch eine Papierschleife ersetzt ist, und welche deshalb die trockene Säule genannt wird, obwohl sie stets etwas Feuchtigkeit enthalten muß, um wirksam zu sein. Häufig wird diese Säule auch nach Zamboni benannt, der sich mit ihr beschäftigt hat. Man konstruiert die trockenen Säulen am bequemsten aus unechtem Gold- und Silberpapier: Man klebt mit Kleister einen Bogen unechten Silberpapiers (Zinn) und einen Bogen unechten Goldpapiers (Kupfer) mit den Papierseiten zusammen. Mehrere solcher Blätter werden aufeinandergelegt und mittels eines stählernen Durchschlagers Scheibchen ausge schlagen. Diese Scheibchen werden nun in eine wohl isolierende Glasröhre, an deren eines Ende bereits eine messingene Kapselfestgeklebt ist, so geschoben, daß dasselbe Metall stets nach derselben Seite gekehrt ist. Nachdem die Röhre die etwa 1 m über den oberen Rand gefüllt ist, wird die obere Hülse so aufgesetzt und festgeklebt, daß dabei die Scheibchen möglichst stark zusammengedrückt werden. Fig. 293 zeigt die fertige Säule.

Fig. 293.



Fig. 294.



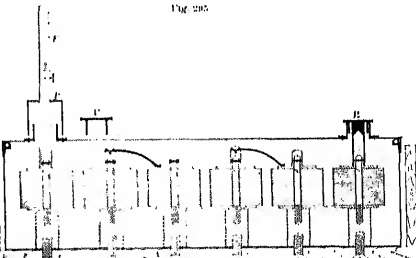
Da man leicht Tausende von Scheibchen auf verhältnismäßig kleinem Raum unterbringen kann, so lassen sich mit den Trockensäulen ziemlich hohe Spannungen erzielen; dagegen liefern sie wegen der sehr schlechten Leitfähigkeit des Papiers nur ganz minimale Ströme, schwächer als selbst die kleinsten Elektrisirmaschinen. Sie werden deshalb besonders da benutzt, wo es nur auf die Lieferung von ganz kleinen Ladungen oder auf Erzeugung und Erhaltung einer konstanten Spannung ankommt, also zum Laden eines

trokopen oder der Nadel eines Quadranten-Elektrometers oder der beiden eines Hunkel'schen Elektrometers (vgl. § 99). Man kann im Falle auch die Saule mit dem Elektrometer in einen einzigen Apparat umbauen; von den mannigfachen Ausführungsformen derartiger „Elektrometer“ sei hier nur die von Fechner herrührende und in 294 dargestellte Konstruktion erwähnt. Sie ist wegen ihrer großen Einfachheit namentlich für die Ausführung der Voltaschen Versuche bequem, zumal sie von selbst auch das Vorzeichen der Ladung angibt.

Die trockene Säule bedarf, um dauernd wirksam zu bleiben, vorzüglicher Isolation und vorsichtiger Behandlung. Namentlich hat man sich vor „Kurzschlüssen“, d. h. von Verbindung ihrer Enden durch geringen Widerstand; man sie also niemals auf den Tisch, sondern auf einen Paraffinblock, oder hängen einen Ende an Fäden auf. Ferner fesse man die beide Pole gleichzeitig in einem der menschlichen Körper als „Kurzschluß“ nicht.

In Fig. 295 ist eine von J. Klater und H. Hütel¹⁾ konstruierte trockene Säule im Querschnitt abgebildet. Sie besteht aus 30 Teilzellen zu je

Fig. 295



3 Plattenpaaren (etwa 4½ Volt Spannung), von denen in der Figur nur sechs sichtbar sind. Durch aufsteckbare Zuführungsröhren P und P_0 können beliebige Teile der Säule abgeleitet oder mit dem zu ladenden Apparat verbunden werden.

Ferner haben Klater und Hütel eine bequem zu handhabende Säule (etwa 1000 Plattenpaaren konstruiert²⁾), die an beiden Enden durch einen Rohrstück in einer metallenen Schutzhülle steckt. Die Schutzhülle eine Reihe Löcher, durch die man eine Nadel in die Säule stecken kann, dadurch beliebige Teile mit der Erde verbinden und so die Spannung aus der Hülle herausragenden Enden regulieren zu können.

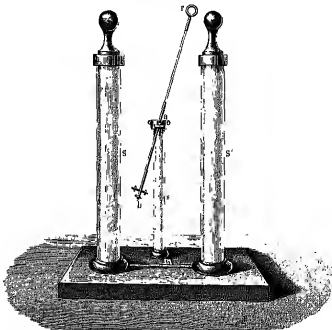
¹⁾ Fabrikanten: H. Hütel und Vegetmeyer, Braunschweig.

²⁾ Z. techn. f. Instrum. techn. 21, 109, 1901. Fabrikanten: Hütel und Vegetmeyer, Braunschweig.

Eine merkwürdige Anwendung der trockenen Säule bildet das sogenannte elektrische Perpetuum mobile, Fig. 296. Zwei Säulen, S und S' , jede etwa von 2000 Paaren, werden mit entgegengesetzter Polrichtung nebeneinander-gestellt; die beiden unteren Pole werden durch einen Metallstreifen m leitend verbunden, während die anderen Pole isoliert bleiben. Das System ist also einer einzigen Säule von 4000 Paaren gleich, deren Mitte zur Erde abgeleitet ist.

Auf einem isolierenden Stab s ist ein sehr leichtes aus Glas und Metall hergestelltes Pendel mittels einer Schnur auf einer Pflanze, ähnlich wie ein Waagebalken, jedoch in senkrechter Lage, aufgehängt; das obere Ende r desselben trägt ein metallenes Ringchen, das untere Ende b eine Vor-

Fig. 296.



richtung, um die Lage des Schwerpunktes regulieren zu können. Man gibt dem letzteren eine Lage sehr nahe oberhalb des Aufhängepunktes, so daß das Pendel oben noch labil aufgehängt ist. Infolgedessen bleibt es nicht in der Mitte stehen, sondern senkt sich langsam gegen eine der beiden Kugeln, welche die Pole der Säule bilden, ladet sich daselbst mit deren Elektrizität, wird abgestoßen und nähert sich der anderen Kugel. Dort neutralisiert sich die übergeführte Elektrizität und es nimmt das Pendel entgegengesetzte auf. Infolgedessen tritt neuerdings Abstoßung ein und so fort. Im physikalischen Kabinett der Innsbrucker Universität befindet sich ein solches Pendel seit dem Jahre 1823 in ununterbrochener Bewegung. Die Oszillationsdauer wechselt innerhalb gewisser Grenzen mit dem Feuchtigkeitszustande der Atmosphäre. Ein wirkliches Perpetuum mobile ist das elektrische Pendel jedoch nicht, denn die aufgewendete Energie kann nur auf Kosten chemi-

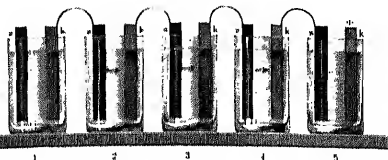
der Energie im Innern der Saule gewonnen werden (vgl. weiter unten § 111), welche Inertheit, wenn auch erst nach sehr langer Zeit, schließlich erschöpft werden muß.

§ 108. Verschiedene Formen der Voltaschen Kette. Die § 107 gesprochene anfängliche Form der Voltaschen Saule bietet mannigfache Vorteile. Die unteren Scheiben sind nämlich durch das Gewicht der oberen stark zusammengedrückt; die trocknen Scheiben werden dadurch unerschütterlich, sie werden trocken, während die Flüssigkeit an der Seite der Saule herunterfließt, dadurch wird aber eine leitende Verbindung zwischen den verschiedenen Plattenpaaren hervorgebracht, welche den Totlektroeffekt schwächt. Zudem ist das Auseinandernehmen behufs Erneuerung der Flüssigkeit unumgänglich. Die Sauleform hat deshalb, abgesehen von der solchen gesprochenen „trockenen“ Saule, nur noch historische Bedeutung.

Die jetzt gebräuchlichen Anordnungen sind aus dem ebenfalls von Volta ausgehenden Becherepparat, von ihm „Carena di tazza“ — Tassenkette genannt, hervorgegangen.

Bei diesem Apparate befindet sich die Flüssigkeit in getrennten Gefäßen. Jedes Glas enthält eine Zink- und eine Kupferplatte, die sich

Fig. 297.



berühren. Jede Zinkplatte ist durch direkten Zusammenstoß oder durch einen Kupferdraht oder Kupferstreifen oder endlich durch passende Zinkplattenschrauben mit der Kupferplatte des vorhergehenden Glases verbunden, so dies durch das Schema Fig. 297 angedeutet ist.

Nach Volta's Ansicht wirkt an jeder Kontaktstelle kz eine EMK, die die Elektrizität vom Kupfer zum Zink treibt, so daß in isoliertem Zustande das rechte Ende des Apparates z , das linke elektrisch wird.

Verbindet man die äußersten Platten durch einen Draht, so geht der Strom im Drahte von der letzten Kupferplatte rechts zur letzten Zinkplatte links und in der Flüssigkeit überall vom Zink zum Kupfer.

Jeder einzelne Becher mit seiner Flüssigkeit und den beiden in dieselbe eingetauchten Metallplatten wird ein „galvanisches (richtiger wäre Volta'sches) Element“ oder eine galvanische „Zelle“ genannt. Eine Zusammenfassung mehrerer solcher Elemente heißt eine „galvanische Batterie“ oder „galvanische Kette“.

Die Flüssigkeit bezeichnet man auch als „Elektrolyt“, wegen der später unten zu besprechenden Erscheinung der „Elektrolyse“ oder

chemischen Änderung durch den Strom. Die beiden Leiter erster Klasse heißen auch „Klektroden“; diejenige Elektrode, durch die der Strom in die Flüssigkeit eintritt, heißt „Anode“, diejenige, durch die er austritt, die Kathode.

Die zuletzt genannten Bezeichnungen stammen von Faraday, bis jetzt die gebräuchlichsten, nämlich: hin- (zu) - von, auf- von, aus (für) hinaus; hin- (zu) - hin; ab- (von) - Weg.

Bei den letzten beiden Bezeichnungen schwelgte Faraday offenbar d. h. bei einem Hin- und Herbewegen der Elektrizität von einem Niveau zu einem tiefer liegenden vor.

Man hat die Form der galvanischen Elemente mannigfach abgeändert bei aller Verschiedenheit der Form bestehen sie ausnahmslos aus zwei verschiedenen Leitern erster Klasse, die entweder in eine Flüssigkeit, oder in zwei miteinander geschiedene oder durch eine poröse Tonscheibe getrennte verschiedene Flüssigkeiten eintauchen. Elemente mit zwei gleichen Leitern erster Klasse, die in verschiedene Flüssigkeiten eintauchen, kommen nur in ganz speziellen wissenschaftlichen Untersuchungen vor.

Von den beiden Leitern erster Klasse ist der eine meist eine amalgamierte Zinkplatte; der andere besteht aus Kupfer, Platin oder Platinblech bzw. einem Gemisch aus solcher und Braunstein. Auf die Bedeutung der verschiedenen Anordnungen kann erst eingegangen werden, wenn wir die Vorgänge in der Zelle etwas näher studiert haben.

§ 110. Entstehung des elektrischen Stromes und Wirkungen in Schließungskreisen. Erster Versuch. In ein kleines Glasgefäß von etwa 50 ccm Inhalt gießen wir verdünnte Schwefelsäure und stellen einen Kupfer- und einen Zinkstreifen, die mit je einem angelöteten Stück Kupferdraht versehen sind, so hinein, daß sie sich nicht berühren (Fig. 234). Die Säure muß einige Zeit vorher verdünnt worden sein, damit die bei der Verdünnung entstandene starke Erwärmung wieder verschwunden ist. Das Zink ist vorher amalgamiert worden, indem man es zunächst einige Sekunden in verdünnte Schwefelsäure tauchte und dann einige Tropfen Quecksilber auf einen Lappen darauf verrieh. Das amalgamierte Zink wird von der Schwefelsäure nicht aufgelöst, und eine Wasserstoffentwicklung findet nicht statt.

Wir tauchen ferner noch ein Thermometer in die Flüssigkeit und beobachten uns zunächst, daß, solange keine leitende Verbindung zwischen den Platten vorhanden, anscheinend nichts in dem Apparate vorgeht.

Wenn wir nunmehr die beiden Metalle außen durch irgend ein Metallstück M , einen Draht oder einen Bleistreifen, eine Messerschlinge usw. leitend verbinden¹⁾, so bemerken wir folgendes:

1. An dem Kupferblech tritt eine lebhafte Gasentwicklung auf.
2. Von dem Zinkblech senken sich im durchfallenden Licht deutlich sichtbare Schlieren einer offenbar spezifisch schwereren Flüssigkeit herab.
3. Wenn der Versuch längere Zeit andauert, so steigt das Thermometer allmählich um mehrere Grade.
4. Das Zink ist nach längerer Versuchsdauer, soweit es in die Säure eintaucht, deutlich angegriffen; seine Oberfläche ist rauh und es ist bläulich geworden.

¹⁾ Die Berührungstellen müssen blank geschliffen sein, der verbindende Leiter wurde ein wenig angelichtet.

Dampft man einige Unbekanntes der Flüssigkeit nach längerer Versuchsdauer ein, so erhält man Kristalle, die sich bei chemischer Untersuchung als Zinkkalkat ergeben. Die oben erwähnten Schlieren rühren also offenbar von sich bildendem Zinkkalkat her.

Um das entstehende Gas zu untersuchen, ändern wir die Anordnung, wie in Fig. 200 angedeutet; die beiden miteinander verbläteten Blech-

Fig. 200.

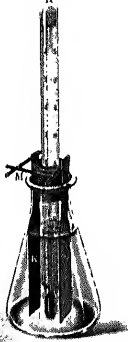
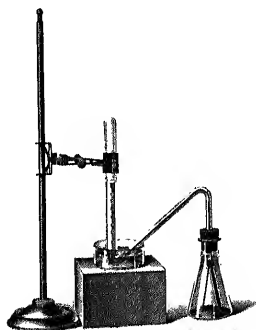


Fig. 201.



streifen sind innerhalb des mit einem durchbohrten Gummistopfen verschlossenen Kolbens an einem kupfernen Haken aufgehängt. Mittels einer S-förmig gebogenen engen Glasröhre wird das Gas in einem Reagenzglas aufgefangen. Das Gas läßt sich durch ein brennendes Streichholz entzünden, was, wie nähere Untersuchung zeigt, Wasserstoff.

Da die genannten Erscheinungen nur auftreten, wenn die Metallstreifen leitend verbunden sind, so müssen wir sie als Folge des bei dieser Verbindung entstehenden elektrischen Stromes auffassen, und können deshalb geradezu irgend eine der beobachteten Wirkungen, z. B. die Menge des pro Zeiteinheit entwickelten Wasserstoffs oder des aufgelösten Zinks, als ein neues Maß für die Stärke des Stromes betrachten. Wir können diese Ansicht noch dadurch erhärten, daß wir bei der ersten Anordnung zur Verbindung der beiden Streifen successive immer größere Widerstände nehmen. Wenn wir z. B. statt eines kurzen Metallstreifens einen sehr dünnen langen Platinalen Eisendraht nehmen, so finden wir die Gasentwicklung merklich schwächer als vorher; ein Kupferdraht von gleichen Dimensionen hat dagegen keinen gleich merklichen Einfluß.

Da nun bereits in § 102 gezeigt, daß ein Kupferdraht für die Entladungen einer Leydener Flasche ein bedeutend größeres Leitvermögen hat als ein Platin- oder Eisendraht, so können wir füglich schließen, daß dasselbe auch für den galvanisch erzeugten Strom gilt, daß also die hier beobachteten Verschiedenheiten dem verschiedenen Widerstand der Drähte zuzuschreiben sind.

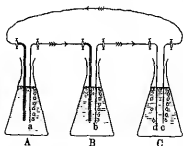
Als Wirkungen des ein galvanisches Element durchfließenden Stromes haben wir seehen können gelernt:

1. Chemische Änderungen („Elektrolyse“), 2. Erwärmung.

Wir wollen nachweisen, daß beide Wirkungen auch außerhalb des galvanischen Elementes auftreten.

Zweiter Versuch. Wir stellen uns zwei kleine Elemente A und B von der oben beschriebenen Form her, ersetzen aber das Kupfer durch je einen Platindraht a und b von etwa 0,5 mm

Fig. 300.



Dicke und verbinden die Elemente durch passende Klemmschrauben (s. Fig. 321 auf S. 359) und zwei Kupferdrähte so, wie in Fig. 300 schematisch angedeutet, mit zwei Platindrähten c und d, die in ein drittes Gefäß, das ebenfalls verdünnte Schwefelsäure enthält, eintauchen. Soweit die Verbindung hergestellt ist, beobachten wir an allen vier Platindrähten eine Gasentwicklung, und zwar von gleicher Stärke an a, b

und c, während an d etwa nur halb soviel Gas entwickelt wird. Wir werden später sehen, daß das in geringerer Menge sich entwickelnde Gas Sauerstoff, das andere dagegen Wasserstoff ist, daß also aus der Säure durch den Strom die beiden gasförmigen Bestandteile des Wassers ausgeschieden worden sind. Die Pfeile geben die Stromrichtung an.

Vertauscht man die Zuführungen zu c und d, so daß jetzt der Strom bei c ein- und bei d austritt, so findet die Sauerstoffentwicklung bei c, die Wasserstoffentwicklung bei d statt. Eine derartige „Zersetzungs-Zelle“ gestattet also, ohne weiteres die Richtung des Stromes zu erkennen. An der Eintrittsstelle (Anode) entwickelt sich Sauerstoff, an der Austrittsstelle (Kathode) Wasserstoff.

Die elektrolytische Zersetzung der verdünnten Säure und noch einige andere chemische Wirkungen des Stromes wurden von Nielsen und Carlisle¹⁾ entdeckt. Der genaue Nachweis, daß die entwickelten Gase tatsächlich dem Wasser entstammten, daß also das Gewicht des Wassers um soviel abnahm, als das Gewicht der entwickelten Gase betrug, wurde zuerst von P. L. Simon²⁾ geführt.

Ersetzen wir die Platinanode durch eine solche aus unedlem Metall, z. B. aus Kupfer, so tritt kein freier Sauerstoff auf, sondern die Oberfläche der Anode wird oxydiert. Ist das Oxyd in dem Elektrolyten löslich, so muß offenbar eine Auflösung der Anode erfolgen, indem sich ein Salz des Metalles

¹⁾ Gilberts Ann. 6, 340, 1800.

²⁾ Gilberts Ann. 10, 282, 1805.

ist. Dies ist aber gerade der Vorgang, den wir vorher an dem Zink eines galvanischen Elementes beobachteten.

Die Beschreibung der Einzelheiten der elektrolytischen Vorgänge, die sehr recht kompliziert sind, für ein besonderes Kapitel reservierend (Kap. „Stromleitung in Elektrolyten“), wollen wir hier nur das folgende wichtige Resultat aussprechen, das sich namentlich aus den umfangreichen Versuchen Faraday's ergibt:

Alle Leiter zweiter Klasse werden durch den Strom chemisch ändert, so daß wir geradezu definieren können:

A. Leiter zweiter Klasse sind „Elektrolyte“.

Dritter Versuch. Um die Wärmeentwicklung außerhalb des Elementes bequemer zu zeigen, müssen wir ein Element mit beträchtlich größeren Platten anwenden, wie es z. B. in Fig. 302 dargestellt ist. Ein Kupferblock k

Fig. 301.

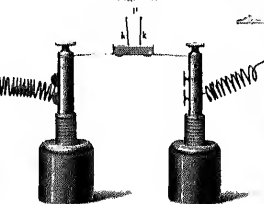


Fig. 302.



aus ein Zinkstück z von etwa 200 qcm Fläche herabgehoben und von diesem durch passend geformte Holzstücke h getrennt. Wir setzen auf die angetriebenen Enden z und k passende Klemmschrauben (Fig. 324 a. S. 359)

verbunden sie durch biegsame Kupferdrähte mit den Holzstücken Fußböden der in Fig. 302 dargestellten Anordnung: Ein etwa 1 cm langer 1 mm breiter Streifen feinsten Platinfolies ist an zwei Kupferdrähte k gelötet, die durch ein Holzstückchen hindurchgeführt und an zwei Holzstücken befestigt sind. Tauchen wir jetzt die beiden Platten des beschriebenen Elementes in ein Gefäß mit einer Mischung aus etwa 10 Thln. Wasser, 20 Thln. Schwefelsäure und 12 Thln. doppeltkohlensaurem , so beginnt der Draht zu glühen; das Glühen ist schwach, wenn die Platten nur berühren, und wird stärker, wenn wir tiefer eintauchen, aber wird hierdurch der Widerstand in der Flüssigkeit der Zelle vergrößert.

Auch diese Warmwirkung gibt uns natürlich ein Maß für die Stärke des Stromes, konnten wir ein längeres Platinstück oder ersetzen wir einen

*) Experimentel Untersuchungen. XVI. und XVII. Reihe.

der verbindenden Kupferdrähte durch zunehmend längere oder dünnere Eisen- oder Neusilberdrähte, so wird das Glühen immer schwächer und schließlich unmerklich. Der Strom wird also sowohl durch Vermehrung des Widerstandes in der Außenleitung, des „äußeren Widerstandes“, als auch durch Vermehrung des Widerstandes im Elemente, des sogenannten „inneren Widerstandes“¹⁾ geschwächt.

§ 111. Anwendung des Energiegesetzes; Unhaltbarkeit der Voltaschen Kontakttheorie. Wir können das geschlossene galvanische Element als eine „Energiequelle“ betrachten, da es uns ja Energie in Form von Wärme und chemischer Energie, letztere in Gestalt des brennbaren Wasserstoffs, zu liefern vermag. Als Volta seine Kontakttheorie aufstellte, war das Gesetz von der Erhaltung der Energie noch unbekannt; es erschien Volta deshalb zwar seltsam, aber durchaus nicht unmöglich, daß durch den bloßen Kontakt zweier Metalle Energie in beliebigen Mengen entwickelt werden könne:

„Dieses endlose Kreisen der elektrischen Flüssigkeit (dieses Perpetuum mobile) kann paradox, ja unerklärlich erscheinen, es ist aber nichtsdestoweniger wahr und wirklich, man faßt es sozusagen mit der Hand“²⁾.

Wir können jetzt bei Berücksichtigung des Energiegesetzes nicht mehr wie zu Voltas Zeiten die chemischen Umsetzungen im Elemente als eine unabhängige Nebenerscheinung betrachten, die mit der Erzeugung des Stromes nichts zu tun hat, sondern müssen sie geradezu als die Quelle der vom Elemente gelieferten Energie betrachten.

Die Menge der im Elemente pro Sekunde stattfindenden chemischen Umsetzung und somit auch die verfügbare chemische Energie U ist, wie später noch genauer zu zeigen ist, dem hindurchgehenden Strom J proportional, also:

$$U = k \cdot J \quad . \quad . \quad . \quad . \quad . \quad . \quad . \quad (1)$$

Die geleistete elektrische Arbeit ist gleich $E \cdot J$; sind keine anderen Energiequellen für die elektrische Arbeit vorhanden³⁾, so ist demnach:

$$E = k \quad . \quad . \quad . \quad . \quad . \quad . \quad . \quad (2)$$

wo die Konstante k die Energie derjenigen chemischen Umsetzung ist, die von der Stromeinheit in einer Sekunde verursacht wird.

Diese Energiemenge läßt sich leicht bestimmen. Besteht z. B., wie bei dem oben betrachteten Zink-Kupferelement, der chemische Prozeß in der Bildung von Zinksulfat und Wasserstoff, so ist die Energie, die bei der Bildung einer bestimmten Menge dieser Stoffe frei wird, offenbar dieselbe, wie die, welche wir bei der direkten Auflösung von Zink in Schwefelsäure

¹⁾ Die Bedeutung des inneren Widerstandes wurde schon von Volta richtig erkannt (vgl. oben S. 319); eine Bestätigung von Voltas Anschauung erfolgte durch van Marum (Gilberts Ann. 10, 145, 1802).

²⁾ Volta, Ostwalds Klass. Nr. 118, S. 91.

³⁾ Es wird später (Kap. VII) gezeigt werden, daß unter Umständen das Element einen gewissen Bruchteil seiner Energie auch direkt dem Wärmeverbraucher seiner Umgebung entnehmen kann.

ten; auch hier sind die Produkte Zinkmilch und Wasserstoff, aber die zuleitende Energie erhalten wir nicht in Form elektrischer Energie, sondern von Wärme. Man bezeichnet die Wärmemenge, die bei einem chemischen Prozeß frei wird, als seine „Wärmentönung“. Gleichung (2) lautet:

A. Die EMK eines galvanischen Elementes ist gleich der Wärmetonung des von der Stromeinheit pro Sekunde erzeugten chemischen Vorganges.

Dieser von H. v. Helmholtz im Jahr 1847 und von W. Thomson im Jahr 1851 aufgestellte Satz bedarf zwar wegen des in der Annahme (B) § 314 besagten einer gewissen Modifikation (siehe Kapitel VII), er jedoch auf jeden Fall, daß zwischen der EMK des Elementes und in ihm stattfindenden chemischen Vorgängen eine enge Beziehung obliegt.

Wollte man nun bei der Voltaschen Anschauung stehen bleiben, daß die EMK ihren Sitz fast allein an der Kontaktstelle der Metalle haben, so würde die Beziehung gänzlich unverständlich; es erscheint viel natürlicher, wenn man den Sitz der EMK auch dahin verlegt, wo die Energie des elektrischen Stromes hegt, also an die Berührungspunkten zwischen Metall und Elektrolyt.

Dieser Anschauung widersprechen scheinbar die in § 105 bis 107 beschriebenen Versuche. Wir werden im folgenden Paragraphen zeigen, daß sich Widerspruch lösen läßt, und daß man die Kontakttheorie der galvanischen Zelle durch eine „chemische Theorie“ ersetzen muß.

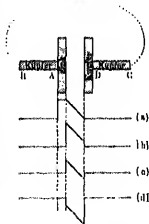
§ 112. Chemische Theorie der Voltaschen Versuche. In Fig. 303 sind die beiden Platten des Voltaschen Fundamentalversuches schematisch dargestellt. Die Platten seien durch einen Draht A/B verbunden; dessen Enden A und B sind dann stets auf gleichem Potential.

Abstand der Platten ist der Benützung halber übertrieben groß gezeichnet. Das Bild des ersten Versuches in § 105 ist, wenn man sich nur an das direkt Beobachtete hält, dies.

In der Luftschicht zwischen zwei allseitig verbundenen verschlossenen Platten besteht ein elektrisches Feld, dessen Stärke dadurch bestimmt ist, daß das Potential der einen Platte um einen bestimmten Betrag höher ist als der anderen.

Die Kontakttheorie nimmt nun an, daß der Potentialverlauf dem Schema (a) in der Fig. 303 entsprechen soll, daß also das Potential jeder der beiden Platten identisch demjenigen der angrenzenden Luft sei. Da im Innern jeder der homo-

Fig. 303.



¹⁾ Man denke auch an den Thomson'schen Versuch auf S. 322.

genen Metalle die Potentiale jedenfalls konstant sein müssen, so folgt daraus notwendig die Existenz eines „Potentialgesprungs“, d. h. einer EMK an der Stelle *A*, wo sich die beiden verschiedenen Metalle berühren. Es ist aber noch eine zweite Möglichkeit vorhanden, daß nämlich die EMK nicht an den Berührungsstellen der verschiedenen Metalle, sondern an den Grenzflächen zwischen Metall und Luft wirkt. Dort müssen sich dann auch die das beobachtete Feld erzeugenden Potentialgespränge befinden. Sind die beiden Sprünge vom Zink gegen Luft und vom Kupfer gegen Luft verschieden groß, so muß im Luftraum selbst ein Gefälle entstehen. Die Schemata (b), (c) und (d) in Fig. 103 zeigen die drei hierbei in Betracht kommenden Spezialmöglichkeiten:

In (b) ist angenommen, daß sowohl Zink als auch Kupfer negativ gegen die Luft wirken, und zwar das Zink stärker als das Kupfer.

In (c) ist das Zink negativ gegen Luft, das Kupfer positiv angenommen.

In (d) endlich sind beide Metalle positiv gegen Luft, aber das Zink schwächer als das Kupfer.

Der unmittelbaren Beobachtung ist entweder das Gefälle im Luftraum zugänglich, z. B. bei den Versuchen von Thomson (S. 322) und Majorana (S. 323) oder es werden die „Ladungen“ der Platten nach ihrer Trennung beobachtet, die aber auch proportional der elektrischen Kraft oder dem Potentialgefälle sind, das während der Berührung herrschte (vgl. § 106, Gl. (2)); deshalb läßt sich eine Entscheidung zwischen den drei geschichteten Möglichkeiten (b), (c) und (d) hier noch nicht treffen, ja es erscheint sogar unsicher, ob eine solche überhaupt zu treffen ist. Die Elektrochemie liefert jedoch Wahrscheinlichkeitsgründe dafür, daß das Schema (b) das richtige ist, so daß wir im Folgenden an diesem festhalten wollen.

Nach de la Rive¹⁾, von dem die sechen geschichtete Auffassung herrührt, sind diese Potentialgespränge identisch mit denjenigen, die beim Eintauchen in Wasser an den Grenzen zwischen Metall und Wasser entstehen. Zur Erklärung nimmt er an, daß die Oberfläche der Metalle stets mit einer äußerst dünnen Feuchtigkeitsschicht überzogen sei, die sich den Metallen gegenüber ebenso verhält wie tropfbar flüssiges Wasser.

Die Potentialgespränge entstehen dadurch, daß eine einseitigen als unbekannt zu betrachtende Ursache — Elektrizität zum Metalle und | Elektrizität in die Feuchtigkeitsschicht treibt, so lange bis die gegenseitige Anziehung der getrennten Elektrizitäten der trennenden Kraft das Gleichgewicht hält.

Es entsteht also an der Grenze eine „elektrische Doppelschicht“ (Fig. 804). Ist E' die EMK zwischen dem Metall und der Feuchtigkeitsschicht, ϵ die Dielektrizitätskonstante der Schicht, q' die Dichte und d' der Abstand der beiden entgegengesetzten Ladungen, so ist nach Gl. (2) und (8) in § 95, da E'/d' dem dortigen E entspricht:

$$\text{oder} \quad 4\pi q'/\epsilon = E'/d' \quad . \quad . \quad . \quad . \quad . \quad . \quad (1)$$

$$E' = 4\pi q' \cdot d'/\epsilon \quad . \quad . \quad . \quad . \quad . \quad . \quad (2)$$

¹⁾ Recherches sur la cause de l'électricité voltaïque. 1836.

Aus Gl. (2) geht hervor, daß E' proportional der Größe $Q' \cdot d'/\epsilon$, dem sogenannten „Moment der Doppelschicht“, ist.

Sind die beiden Ladungsdichten im Metall und in der Schicht genau gleich groß, so heben sie sich in der Wirkung auch völlig auf. Man würde also in dem angrenzenden Luft-raume keine elektrische Kraft beobachten.

Fig. 301.



Stellt man aber eine metallische Verbindung zwischen zwei verschiedenen Platten her, bringt also die Platten auf gleiches Potential, so muß wegen der Verschiedenheit der Potentialsprünge an den beiden freien Oberflächen das in dem Schema Fig. 303 b angedeutete Potentialgefälle in der Luft entstehen. Das bedeutet aber offenbar, daß eine gewisse Elektrizitätsmenge q pro Quadratcentimeter von dem einen zum anderen Metall abgefloßen ist, und zwar soviel, wie nötig ist, um gerade das nötige Gefälle in der Luft zu erzeugen. Diese Ladungen superponieren sich einfach über diejenigen der Doppelschichten. Ihr Betrag ist durch die Dicke d der Luftschicht gegeben. Sind nämlich E_1 und E_2 die beiden elektromotorischen Kräfte an den Grenzflächen Metall-Luft, so ist die gesamte Potentialdifferenz der beiden Seiten der Luftschicht, d. i. die beobachtbare EMK des Platten-paares:

$$E = E_1 - E_2 \quad (3)$$

und

$$4\pi q = E_1/d.$$

Ist q der Querschnitt der Platten, also $qq = e$ die Gesamtladung, so wird:

$$e = E_1 q - 4\pi d = E_1 R \quad (4)$$

Diese Ladung e ist es, die nach der Trennung der Platten elektrometrisch zur Beobachtung kommt. Ein Vergleich mit Gl. (2) in § 106 zeigt, daß sie ebenso groß ist, wie sie bei Annahme der Voltaschen Anschauung sein würde.

Es ist in neuerer Zeit gelungen, die Richtigkeit der geschilderten Anschauung direkt nachzuweisen. J. Brown¹⁾ ersetzte bei dem S. 322 beschriebenen Versuch von W. Thomson die Luft durch andere Gase. Dann änderte sich die Richtung und Größe des Nullausschlages. Ferner führte J. Brown²⁾ den Voltaschen Fundamentalexperiment mit einer Zink- und einer Kupferplatte unter Öl aus und erhielt zunächst annähernd dieselbe Wirkung wie in Luft. Als er dann das Öl auf 145° erhitzte, verschwand der Effekt und blieb auch nach der Abkühlung Null. Entfemte er dann die Metalle aus dem Öl, und ließ nur eine ganz dünne Ölschicht auf der Oberfläche, so blieb der Effekt zunächst Null, um im Verlauf von mehreren Tagen allmählich wieder zu erscheinen. Durch die Erhitzung wurde offenbar die Feuchtigkeitsschicht verdampft. Ferner zeigte H. Graessner³⁾, daß der Voltaeffekt verschwindet, wenn man die Metalle im Vakuum längere Zeit der trocknenden Wirkung von Phosphorperoxyd aussetzt.

¹⁾ Phil. Mag. (5) 7, 100, 1870.

²⁾ Phil. Mag. (6) 5, 501, 1903.

³⁾ Ann. d. Phys. (4) 11, 708, 1903.

Durch diese Versuche kann die Metallkontakttheorie als endgültig widerlegt angesehen werden. Die Wirkung zwischen Metall und Feuchtigkeitschicht können wir als eine chemische betrachten, und jede Elektrizitätsbewegung infolge der in der Schicht wirkenden EMK findet ihre Energiequelle in einer, wenn auch unmerklich kleinen chemischen Änderung der Oberfläche.

Es entsteht nun die Aufgabe, zu zeigen, daß sämtliche Ergebnisse der früheren Paragraphen sich nach der chemischen Theorie genau so gut erklären lassen, wie nach der Kontakttheorie.

Zunächst ergibt sich das Gesetz der Spannungsreihe, d. h. die Unabhängigkeit des Voltaeffektes von der Natur der metallischen Verbindung zwischen den Metallen, hier ganz von selbst, da ja die Metallkontakte gar nicht elektromotorisch wirken und die ganze Wirkung ihren Sitz an der Grenze der beiden Endplatten gegen die Luft hat.

Bei den Versuchen mit lackierten Platten (§ 105, viertor Versuch) ist der Lack statt der Luft der an die Platten angrenzende Elektrolyt; auch diese Versuche entsprechen also dem Schema Fig. 808 b. Elektrolytische Vorgänge im Lack sind es auch, durch die der Effekt an lackierten Platten bei mehrmaliger Wiederholung verringert wird.

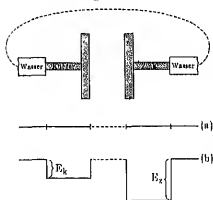
Der Voltasche Versuch mit der feuchten Lederscheibe (§ 107, erster Versuch) erklärt sich dadurch, daß ja an dem Metall bereits eine -f- geladene

Feuchtigkeitschicht fest anhaftet, an der sich gar nichts ändert, wenn man jetzt durch Anpressen des feuchten Leders die Schicht einfach verdickt. Eine Wirkung ist hier ebenso unmöglich, wie sie nach der Voltaschen Anschauung unmöglich sein würde, wenn man eine Zinkscheibe zunächst mit einem dünnen Kupferblatt fest bedeckte, und auf dieses dann eine weitere Kupferplatte aufdrückte und abblähte.

Von dem zweiten Versuch in § 107 ist der Fall a identisch mit dem vierten Versuch in § 105, entspricht also dem Schema Fig. 808 h. Fall b

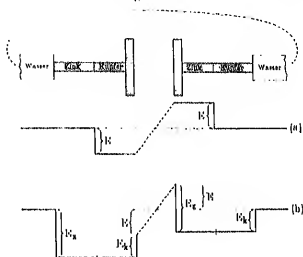
entspricht dem nebenstehenden Schema Fig. 806. Die Endpunkte der die Metalle verbindenden Wassermasse befinden sich notwendig auf gleichem Potentialniveau. Die Beobachtungstatsache, daß man im Lufttraum zwischen den Platten kein Feld erhält, stellt sich nach Volta durch die Potentialverteilung (a) dar, d. h. gleiches Potential aller sich berührenden Flächen, nach der chemischen Theorie dagegen durch die Potentialverteilung (b), in der jedes Metall gegen die Flüssigkeit dieselbe Potentialdifferenz E_k bzw. E_z aufweist, wie gegen die Luft, so daß diese an beiden Seiten aus gleichem Potential ist. Die ganze Anordnung stellt also einfach zwei gegeneinander geschaltete galvanische Elemente dar, von denen eines Wasser, das andere Luft bzw. die anhaftenden Feuchtigkeitschichten als Elektrolyt hat.

Fig. 805.



In Fig. 306 ist in ganz ähnlicher Weise der Fall (c) dargestellt. Auch hier gilt das Diagramm (a) die Potentialverteilung nach Volta, also mit

Fig. 306.



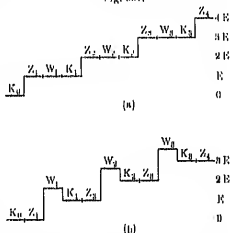
der elektromotorischen Kraft E an den Kontaktstellen zwischen Kupfer und Zink, das Diagramm (b) dagegen die Verteilung nach der chemischen Theorie mit den elektromotorischen Kräften E_g und E_k an den Beschleunigungsstellen von Zink und Wasser oder Luft bzw. von Kupfer und Wasser oder Luft. Die Potentialdifferenz an den Grenzen der Luftschicht ist dann nach beiden Theorien:

$$2E - 2(E_g + E_k) \quad (6)$$

Betrachten wir endlich die Volta'sche Säule, so stellt in Fig. 307 das Diagramm (a) die Verteilung nach Volta, das Diagramm (b) die Verteilung nach der chemischen Theorie dar, falls das untere Ende der Säule zur Erde abgeleitet ist.

Es könnte scheinen, als müßte man zwischen diesen beiden Verteilungsmöglichkeiten durch ein elektromotorische Versuche entscheiden können. Es läßt sich jedoch leicht zeigen, daß dies unmöglich ist. Es seien irgend zwei Platten, etwa die mit Z_4 bezeichnete Zinkplatte und die unterste Kupferplatte K_4 , mit einem empfindlichen Quadrantenelektrometer durch Kupferdrähte verbunden; wir wollen der Einfachheit halber annehmen, daß auch die Quadranten und die Nadel aus Kupfer seien. Dann hat nach Volta die Platte Z_4 das Potential $+3E$. Der angelegte Kupferdraht nimmt aber

Fig. 307.



wegen der Kontaktwirkung zwischen ihm und der Zinkplatte nicht dieses, sondern ein um E niedrigeres Potential an, das Elektromotor zeigt also nur $+2E$.

Nach der chemischen Theorie dagegen hat die Platte Z_2 tatsächlich das Potential $+2E$, und der angelegte Draht und das Quadrantenpaar nimmt, da eine Kontaktwirkung der Metalle nicht existiert, eben dieses Potential an. In beiden Fällen mißt man also $+2E$ als Potentialdifferenz der Quadranten.

Gehlt man von Z_2 durch das Wasser zu K_2 , so bleibt nach Volta das Potential konstant, während es nach der chemischen Theorie um E steigt. Das Elektromotor zeigt nach Volta, da hier ja nur Kupferteile sich berühren, $+3E$ und nach der chemischen Theorie ebenfalls $+3E$.

Wären die Zuleitungen und die Quadranten aus Zink hergestellt, so machte das nach der chemischen Theorie gar keinen Unterschied, dagegen würde nach Volta das mit K_2 verbundene Quadrantenpaar das Potential $+E$ annehmen, das mit Z_2 verbundene dagegen $+3E$, die Differenz also wiederum $2E$ betragen. Gehlt man weiter zu K_3 , so ist nach Volta das Potential des zugehörigen Quadrantenpaares um E höher als dasjenige von K_2 , also gleich $4E$, die Differenz der Quadrantenpotentiale ist $3E$. Die Messungsergebnisse sind also nach beiden Anschauungen dieselben.

Aus dem Diagramm (b) sieht man unmittelbar, daß die Platte K_2 und ebenso die oberste Zinkplatte Z_1 gänzlich überflüssig sind, da sie zu der EMK der Säule nichts mehr beitragen. Im Diagramm (a) scheint dies nicht der Fall zu sein. Nimmt man aber etwa beiderseits Kupferdrähte zur Verbindung, so hat man am oberen Ende, nimmt man Zinkdrähte zur Verbindung, so hat man am unteren Ende einen Verlust gleich E . Nimmt man unten einen Kupfer- und oben einen Zinkdraht, so entsteht der Verlust dort, wo beim Stromschluß die beiden Drähte sich berühren. Die wirklich nutzbare EMK ist also im Voltaschen Diagramm (a) nicht $4E$, sondern bloß $3E$, d. h. genau so groß wie im Diagramm (b) nach der chemischen Theorie.

Diese Ausführungen dürften genügend zeigen, daß man weder durch elektrometrische, noch durch Strommessungen irgend etwas über den Sitz der EMK des galvanischen Elementes entscheiden kann. Beide Theorien führen, so verschieden die Diagramme aussehen, doch stets zu denselben Beobachtungsergebnissen.

Die Entscheidung zwischen beiden Theorien läßt sich also durch derartige Versuche gar nicht führen, und also in dieser Hinsicht versuchten Beweise sind hinfällig; die experimentelle Entscheidung liegt einzig in der Vorzeichen, wie die oben beschriebenen von Brown und Greinaacher. Denn es ist natürlich undenkbar, daß ein Effekt, der seinen Sitz an den Berührungstellen der die Metallplatten verbindenden Drähte haben soll, verschwinden soll, wenn man nicht diese Kontaktstellen, sondern die Oberflächen der Platten irgendwelchen Einwirkungen aussetzt; man müßte denn die äußerst unwahrscheinliche Annahme machen wollen, daß durch die Erhitzung oder Austrocknung der Oberflächen dort ein Voltaeffekt erzeugt würde, der den an der Berührungsstelle der Metalle wirkenden gerade kompensiert.

Das Energiegesetz allein macht die Voltasche Anschauung nicht unmöglich, wie öfters behauptet worden ist, sondern ergibt nur die in § 111

daran, daß eine genaue Kompensation der EMK in der Flüssigkeit einerseits und in der Feuchtigkeitsschicht an der freien Oberfläche andererseits nur dann stattfindet, wenn auch die Flüssigkeit reines Wasser oder eine sehr verdünnte Lösung ist. Nimmt man konzentriertere Lösungen, so hängt die EMK von der Konzentration und von der Natur der Lösung in gewissem Grade ab, und man beobachtet dann beim Voltaschen Versuch die Differenz beider EMK, die natürlich bald positiv und bald negativ ausfallen kann, je nachdem die EMK der Feuchtigkeitsschicht oder die der Lösung überwiegt.

Ist die Oberflächenschicht auch nicht immer genau dieselbe, indem sie bald aus reinem Wasser besteht, bald, wenn etwa Säurekämpfe aus der Atmosphäre darin absorbiert worden sind, Metallsalz oder Oxyd gelöst enthalten kann, so erklären sich auch leicht die Abweichungen der von verschiedenen Beobachtern gerade bei diesem Versuch erhaltenen Resultate.

§ 113. Ausführungsformen galvanischer Elemente. Wenn auch fast jede beliebige Kombination von Metallen und Flüssigkeiten, die nicht völlige Symmetrie aufweist, imstande ist, einen mehr oder minder starken elektrischen Strom zu liefern, so ist doch in der Praxis die Auswahl der brauchbaren Formen ziemlich beschränkt. Im allgemeinen wird wohl jedes zur Stromlieferung dienende galvanische Element folgende Bedingungen erfüllen müssen:

1. Die Flüssigkeit und die sich auflösende Elektrode dürfen nicht zu kostbar sein.
2. Die EMK soll genügend groß, der innere Widerstand genügend klein sein.
3. Der Strom soll möglichst konstant sein.
4. Im ungeschlossenen Zustande sollen keine oder nur sehr geringe Veränderungen in dem Elemente stattfinden.

Die dritte Bedingung ist nur sehr schwer, und in voller Strenge überhaupt nicht erfüllbar. Denn durch den Strom werden stets Veränderungen in der Lösung und an den Elektroden hervorgerufen, durch die sowohl der innere Widerstand, als auch die EMK der Zelle verändert werden.

Namentlich bewirkt die Wasserstoffentwicklung an der Kathode eine Verminderung der EMK. Denn die Ausscheidung von Wasserstoff erfordert einen gewissen Energiebetrag, der auf Kosten der elektrischen Energie des Elementes geliefert wird, und sich demgemäß durch eine Verringerung der EMK bemerkbar machen muß.

Zur möglichsten Verringerung dieser als „Polarisation“ der stromdurchflossenen Zelle bezeichneten Erscheinung (Näheres hierüber s. Kap. VII) mischt man der Flüssigkeit des ganzen Elementes oder auch nur der die Kathode umgebenden Flüssigkeit Stoffe bei, die die Wasserstoffausscheidung verhindern; dazu eignen sich namentlich sauerstoffreiche Verbindungen, die an den entstehenden Wasserstoff einen Teil ihres Sauerstoffs abgeben und diesen dadurch zu Wasser oxydieren. Praktisch kommen für diesen Zweck hauptsächlich in Betracht:

Salpetersäure, Chromsäure, Braunstein (Mangansuperoxyd),

letzterer als Beimengung zur Kathode selbst. Man bezeichnet diese die Polarisation vermindern den Körper als „Depolarisatoren“.

Endlich kann man die Polarisation von vornherein dadurch verhüten, daß man als Kathodenflüssigkeit ein Salz desjenigen Metalles wählt, aus dem die Kathode besteht; dann wird durch den Strom, wie in Kapitel VII gezeigt werden wird, nicht Wasserstoff, sondern das Metall selbst an der Kathode ausgeschieden. Bei derartigen Elementen, z. B. dem Daniell-Element (siehe unten), ist die einzige Quelle einer Inkonzanz des Stromes die allmählich eintretende Vermischung der Flüssigkeiten, und die durch den Strom selbst hervorgerufene Konzentrationsverschiebung.

Bei der Besprechung der einzelnen Konstruktionen können wir uns um so mehr ziemlich kurz fassen, als die praktische Bedeutung der galvanischen Elemente als Stromquellen in den letzten Jahren immer geringer geworden, und fast ganz auf die Zwecke der Telegraphie und Telephonie beschränkt ist. Für Experimentierzwecke wird man sich jetzt wohl fast überall der elektrischen Lichtleitungen, oder der durch ihre stundenlange fast völlige Konstanz ausgezeichneten Sekundärbatterien oder Akkumulatoren (siehe Kapitel VII) bedienen.

Das Daniell-Element ist das älteste konstante Element¹⁾. Die amalgamierte Zinkanode taucht in verdünnte Schwefelsäure oder in Zinkvitriollösung, die Kupferkathode in Kupfervitriollösung; beide Flüssigkeiten sind durch einen porösen Tonzylinder, Tonzelle genannt, getrennt. Die für den elektrischen Strom durchlässige Tonzelle verhindert eine rasche Durchmischung der Flüssigkeiten. In Fig. 308 ist ein Daniell-Element dargestellt; *K* und *Z* sind die zylindrischen Elektroden, *T* ist die Tonzelle. Mittels der Schraube *s* kann das Kupfer mit dem geschützten Ende *m* des Zinks im nächstfolgenden Element verbunden werden, wenn eine solche Verbindung mehrerer Elemente gewünscht wird (siehe weiter unten S. 367).

Trotz seiner ziemlich guten Konstanz hat das Daniell-Element mehrere Nachteile. Die Flüssigkeiten vermischen sich allmählich durch Diffusion, an der Tonzelle scheidet sich leicht Kupfer aus. Man muß deshalb nach

¹⁾ Phil. Transact. 1830.

jedemaligem Gebrauch das Element auseinandernehmen und namentlich die Zelle sorgfältig spülen.

Von diesen Übelständen frei ist eine von Moidinger¹⁾ erfundene Modifikation des Daniell-Elementes, die namentlich auf Telegraphenstationen noch sehr vielfach in Gebrauch ist.

Fig. 308.

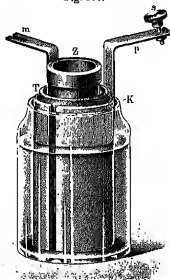


Fig. 311.



Fig. 309.

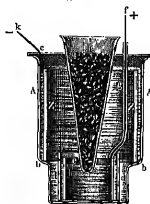


Fig. 310.



In ein unten sich vorwärtendes Glasgefäß *A*, Fig. 309, ist der Zinkring *Z* eingesetzt, während sich der Kupfering *c* in einem Glasgefäße *d* befindet, welches auf dem Boden von *A* steht. Der Zuleitungsdraht von *c* ist von einer isolierenden Guttaperebahülle oder von einer Glasröhre umgeben. Das Gefäß *A* ist mit einer Lösung von Bittersalz gefüllt, welche das Zink umspült, und in derselben hängt, vom Deckel des Gefäßes getragen, ein Glasrichter *h* oder ein mit der Öffnung nach unten gekohlter Glasballon, welcher mit Stücken von Kupfervitriol gefüllt ist und dessen nach

¹⁾ Pogg. Ann. 108, 602, 1859.

Müller-Pouillet-Pfaunder. IV.

unten gerichtete Öffnung mit einem Kerke verschlossen ist, in dessen Umfang einige Rinnen eingeschnitten sind. Wegen ihres größeren spezifischen Gewichtes kann sich die Lösung des Kupfervitriols nur äußerst langsam durch Diffusion mit der Bittersalzlösung vermischen. Solche Elemente können ein Jahr lang ohne Nachfüllung in Tätigkeit sein.

Das Grovesche und das Bunsensche Element. Groves¹⁾ Element besteht aus amalgamiertem Zink und aus Platin, wovon ersteres in verdünnte Schwefelsäure oder Zinkvitriol, letzteres in konzentrierte Salpetersäure taucht; die beiden Flüssigkeiten sind durch eine Tonzelle getrennt.

Fig. 310 stellt einen derartigen Groveschen Becher dar. Fig. 311 zeigt das Platinblech für sich.

Das sogenannte Bunsensche²⁾ Element hat dieselbe Zusammensetzung wie das Grovesche, nur daß an Stelle des kostspieligen Platins die billigere Kohle³⁾ benutzt ist. Die Bunsensche Kette hat wegen ihrer kräftigen Wirkung die größte Verbreitung gefunden und wurde lange Zeit ausschließ-

lich in allen den Fällen zur Anwendung gebracht, wo es sich um Herstellung sehr kräftiger Ströme durch galvanische Batterien handelte.

Bunsen vorfertigte die Kohlelektroden, indem er ein Gemenge von Steinkohlen und Koks in einem verschlossenen Tiegel glühte; die so erhaltene Masse wurde mit einer konzentrierten Zuckerlösung getränkt und zum zweiten Male in einem verschlossenen Tiegel geglüht, wodurch sie eine steinharte Festigkeit erlangte.

Später benutzte man die schon viel früher von Schönbein⁴⁾ vorgeschlagene Retorten-

kohle, die sich an den Innenwänden der öfeneren Retorten der Leuchtgasfabriken ansetzt, und wegen ihrer Härte und guten Leitfähigkeit besonders gut eignet. Neuerdings gebraucht man wieder künstliche, aus pulverisierter Retortenkohle und irgendwelchen Bindemitteln gemischte und gepreßte Kohlenstäbe. Fig. 312 zeigt eine Messingarmatur zur Verbindung des Kohlenstabes mit dem Leitungsdraht.

Das Chromsäureelement. In dieser von Bunsen selbst angegebenen Art des gewöhnlichen Bunsenelements ist die Salpetersäure durch Chromsäure ersetzt. Da jedoch die reine Chromsäure ziemlich teuer ist, so verwendete Bunsen ein Gemisch aus doppeltchromsaurem Kali, Schwefelsäure und Wasser.

Eine geeignete Zusammensetzung der Flüssigkeit ist:

100 g doppeltchromsaures Kali,
100 cem Schwefelsäure,
1 Liter Wasser.

¹⁾ Phil. Mag. (8) 15, 1839.

²⁾ Pogg. Ann. 54, 417; 65, 285, 1842.

³⁾ Die Verwendung der Kohle hat schon Cooper (Phil. Mag. 16, 36, 1840) vorgeschlagen.

⁴⁾ Pogg. Ann. 40, 589, 1840.



Wenn diese anfangs schon gelbrot gefärbte Flüssigkeit eine Zeitlang Strom geleitet hat, so färbt sie sich dunkel, indem unter Reduktion der Chromsäure in Chromoxyd ein Doppelsalz von Chromsulfat mit Kaliumnitrat, der Chromalkali, gebildet wird. Der letztere überzieht oft die Plattenform von grünen Kristallen. Da die chromsäurehaltige Flüssigkeit das Zink nicht stärker angreift als Schwefelsäure, so kann man die Zinkzelle auswechseln, indem man Kohle und Zink in dieselbe Flüssigkeit taucht¹⁾ dadurch erreicht Vereinfachung des Elementes und seine Hienchlosigkeit von ihm als Zinnerbatterie einen Vorteil. Doch ist seine Wirkung weniger stark als die der eigentlichen Harnstoffzelle.

Wo Lichtleitungen oder Akkumulatoren nicht zur Verfügung stehen, die Chromsäurebatterie das bequemste Mittel zur Erzeugung relativ starker Ströme für kurze Zeit. Man benutzt sie namentlich in Form von Zinkbatterien, die so genannt sind, weil bei ihnen die Kohlen- und Zinkplatten nur die Zinkplatten so aufgehängt sind, daß sie in die bereits gefüllten Gefäße nur so lange getaucht werden, als man den Strom gebraucht.

Fig. 813 zeigt eine aus 12 Elementen bestehende Zinkbatterie. (In der Figur sind die beiden hinteren Reihengruppen fortgelassen.)

Eine bequemere Form des Chromsäureelementes ist auch das sogenannte Leclanchéelement (Fig. 814). Die Zinkplatte Z kann zwischen den Kohlenplatten K, K mittels des Stahns *a* abgehängt oder aber der Flüssigkeit ausgenommen werden.

Das Leclanchéelement²⁾ ist in allen den Fällen empfehlenswert, wo nicht ein sehr starke Ströme, sondern nur stete Herveilicht zur Lieferung von mäßig starker Ströme ankommt; z. B. beim Betrieb von Telephon, von Telephon, kleinen Nähmaschinen für Tropfenbeleuchtung oder in Taschenlampen, ferner bei elektrischen Messungen.

Als Flüssigkeit dient eine Lösung von Salzsäure (Chlorammonium). Die Elektroden bestehen aus einem Zinkstab und einem Zylinder, der aus einer Mischung von etwa 40 Th. Brauneisen, 55 Th. Retortenkohle und 5 Th. Schellack (als Bindemittel) unter Erwärmung zusammengedrückt ist.

Eine neuerdings sehr in Aufnahme gekommene Form der Leclanchéelemente bilden die sogenannten „Trookenelemente“, bei denen die Flüssigkeit durch Salzlösungen, oder durch Vermischung mit Sand oder dgl. so weit fortgenommen ist, daß das Element in jeder Lage transportiert werden kann. Meist ist das Gefäß aus Zinkblech hergestellt und mit einem als Anode, während ein in der Mitte befindlicher Stab aus dem Kohlenbrauneisengemenge als Kathode dient. Durch Zugießen der Oberflüssigkeit einer Harzmasse bis auf ein ganz feines Loch wird auch das Verdunsten der Flüssigkeit fast völlig vermieden. Fig. 815 zeigt die meist gebräuchlichste Form eines Trookenelementes³⁾.

Folgende Tabelle enthält eine Zusammenstellung der EMK und des inneren Widerstandes der wichtigsten Elementformen. Die Zahlen können

¹⁾ Um das Zink auszuwaschen zu erhalten, kann man (nach Ducrest) der Lösung noch Mercurisulfat, etwa ein $\frac{1}{10}$ des Kaliums, zusetzen.

²⁾ Dinglers Polytechn. Journ. 186 und 188, 1888.

³⁾ Fabrikant u. n. z. Elemente u. Hulske, Berlin-Westend.

natürlich nur zur ungefähren Orientierung dienen, da die EMK von der Zusammensetzung und Konzentration der Flüssigkeit abhängt und sich wäh-

Fig. 313.

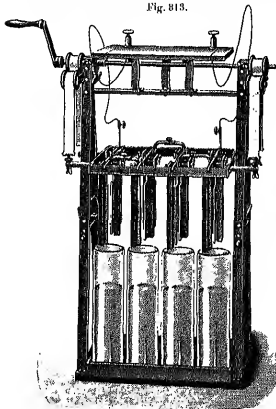


Fig. 314.

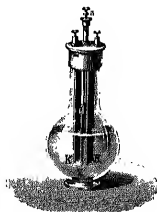


Fig. 315.



rend des Gebrauches verändert; der Widerstand hängt außer von der Zusammensetzung der Flüssigkeit auch noch von der Größe des Elementes ab. Es ist \mathcal{E} in Volt und der Widerstand in Ohm (s. § 122) angegeben.

Bezeichnung des Elementes	EMK (Volt)	Widerstand (Ohm)
Daniell	1,08 bis 1,12	0,3 bis 0,6
Bunsen (Hrove)	1,0	0,1 „ 0,2
Chromsäure	2,0	
Méclinger	1,2	3 bis 3,5
Leclanché	1,4 bis 1,6	0,5
Trockenelement	1,5	0,1 bis 0,2

Verschiedene Schaltungsweisen der Elemente. Um in einem gegebenen äußeren Stromkreis mit einer gegebenen Anzahl von Elementen einen möglichst starken Strom zu erhalten, darf man die Elemente nicht immer in der Voltaschen Weise aneinanderreihen, sondern man muß

für jeden Fall die geeignetste Kombination aussuchen. Wir werden später bei Besprechung des Ohm'schen Gesetzes sehen, von welchen Umständen die Größe des Effektes abhängt. Hier seien zunächst nur die überhaupt möglichen Verbindungsarten angegeben.

Vorausgesetzt, man habe acht Becher zur Disposition, so sind mit diesen vier verschiedene Kombinationen möglich, die in den Fig. 316 bis 319 dargestellt sind.

Fig. 316 stellt diejenige Kombination der acht Becher vor, bei welcher sie eine Kette von acht Elementen bilden. Man sagt in diesem Falle, die Elemente seien hintereinander (auf Spannung) verbunden. Wenn die beiden Pole dieser Kette in leitende Verbindung gebracht werden, so muß der Strom die acht Becher der Reihe nach durchlaufen. Bezeichnen wir mit E die Potentialdifferenz an den Polen eines einzelnen Bechers, so ist $8E$ die Potentialdifferenz an den Polen der Kette.

Bei der in Fig. 317 dargestellten Kombination bilden die vier Becher 1, 2, 3 und 4 eine Kette; die vier Becher 5, 6, 7 und 8 bilden eine zweite

Fig. 316.



Fig. 317.

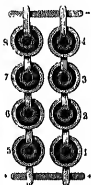
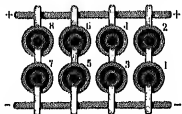


Fig. 318.



Kette; die gleichnamigen Pole dieser beiden Ketten sind leitend verbunden, so daß das Ganze eine Kette von vier Elementen bildet, deren jedes eine doppelt so große Oberfläche hat als ein einzelnes Element.

Fig. 319.



In Fig. 318 bilden je zwei Becher 1 und 2, 3 und 4, 5 und 6, 7 und 8 für sich je eine Kette von zwei Elementen. Die gleichnamigen Pole dieser vier Ketten sind in leitende Verbindung gebracht, so daß das Ganze eine Kette von zwei Elementen darstellt, deren Oberfläche viermal so groß ist als die eines einzelnen Bechers.

Bei der Kombination Fig. 319 endlich sind die acht positiven Elektroden unter sich leitend verbunden, ebenso die acht negativen Elektroden, so daß

das Ganze ein einfaches Element von achtfacher Oberfläche bildet. In diesem Falle sagt man, die Elemente seien nebeneinander (auf Quantität) verbunden.

§ 114. Drähte, Klemmen, Schalter, Regulierwiderstände¹⁾. Die mannigfachen Anwendungen des elektrischen Stromes zu praktischen Zwecken haben dahin geführt, daß die in der Überschrift genannten, zur Ausführung fast aller Versuche nötigen Hilfsmittel jetzt in Massenfabrikation hergestellt werden und verhältnismäßig billig zu haben sind. Man orientiere sich über diese Gegenstände möglichst nach den Katalogen elektrotechnischer Firmen. Hier können nur einige allgemeine Winke gegeben werden.

Isolation. Wie schon auf S. 335 bemerkt, kann wegen der großen Ergiebigkeit der galvanischen Stromquellen von der Benutzung der in der Elektrostatik benutzten Isolatoren meist abgesehen werden; es genügt, wenn man zur Isolation der festen Apparatenteile bei niederen Spannungen trockenes Holz, bei höheren Spannungen Schiefer, Marmor oder Porzellan benutzt²⁾. Zur Isolation der Drahtleitungen genügt in den meisten Fällen eine Baumwollumsponnung; bei sehr feinen Drähten wird statt dessen Seide benutzt; bei hohen Spannungen benutzt man Drähte, die zunächst mit Guttapercha umwickelt oder umspritzt und dann noch zum Schutze der Guttaperchahülle umsponnen sind. Für die Isolation von fest montierten Leitungen, die dauernd unter

Fig. 320.



hoher Spannung stehen, z. B. Beleuchtungsleitungen, bestehen besondere Vorschriften des Verbandes deutscher Elektrotechniker, die man bei etwaiger Selbstmontage derartiger Anlagen im Laboratorium behufs Vermeidung von Foucaultfahr genau beachten.

Drähte. Für die meisten im folgenden beschriebenen Vorversuche genügt der etwa 1 mm starke, mit Baumwolle umsponnene Kupferdraht, wie er zu elektrischen Haustelegraphen benutzt wird.

Tourer, aber wegen ihrer Biegsamkeit bedeutend bequemer sind aus ganz feinen Kupferdrähten zusammengedrehte und umsponnene Litzen, an deren Enden man zur bequemeren Verbindung mit den Apparaten kurzo, dicke

¹⁾ Siehe auch § 128.

²⁾ Die Verwendung von Holz bei höheren Spannungen — von etwa 50 Volt ab — verbietet sich wenigstens für dauernde Installationen nicht wegen der unbedeutenden Stromverluste, sondern weil das Holz durch längeren Durchgang eines Stromes sich allmählich erhitzt; dadurch verbessert sich seine Leitfähigkeit, der Strom durchs Holz und die Erhitzung nehmen weiter zu, das Holz verkohlt und wird dadurch schließlich zu einem guten Leiter, der durch die Stromwärme in Brand gerät.

verbunden werden, so benutzt man statt zweier Einzelleitungen die für transportable Blählampen gewöhnlichen zusammengedrehten Doppellitzen.

Da der Strom die Leitungen erwärmt, so darf die Strombelastung gewisse Maximalwerte nicht übersteigen. Man rechnet als zulässige Grenze etwa 6 bis 8 Ampere¹⁾ pro Quadratmillimeter.

Klemmen. Da die Spannungen der in Frage kommenden Stromquellen meist sehr niedrig sind im Vergleich zu den in der Elektrostatik benutzten, so bietet die kleinste Luftstrecke und die dünnste Oxydant an

Fig. 321.



Fig. 322.



Fig. 323.



Fig. 324.



der Herabführung zweier Leiter dem Strome ein praktisch unüberwindliches Hindernis. Es genügt deshalb nicht, wie bei elektrostatischen Versuchen meist geschieht, die Leiter einfach hintereinander zu legen, sondern man muß die vorher mit Schmirgelpapier oder mit dem Messer blank geschliffenen Kontaktstellen fest aneinanderpressen, wenn man sichere Kontakte und konstante Ströme haben will. Diesem Zwecke dienen die in den mannigfaltigsten Formen hergestellten Klemmschrauben, von denen in den Fig. 321 bis 324 einige abgebildet sind.

Die Klemmen, Fig. 321 bis 323, dienen zum Verbinden von Drahtenden, die geschützte Klemme Fig. 324 zur Verbindung von Drähten mit Isolation. Fig. 325 und 326 zeigen die Art der Befestigung einer Klemme im Grund-

Fig. 325.



Fig. 326.



Fig. 327.



block irgend eines Apparates; die zum Apparat selbst führenden Drähte *d* werden am unteren Ende der Klemme dauernd festgeschraubt, die Leitungen zur Stromquelle bei *b* angesetzt.

¹⁾ Über die Bedeutung dieses Strommaßes siehe weiter unten § 118. Zur vorläufigen Veranschaulichung sei es die Angabe, daß ein Trockenelement in einem Becherglasgefäß von 70 cm Kupferdraht von 1 mm Durchmesser einen Strom von etwa 1 Amp. ergibt.



Vorlegt man über fest aufgestellte Stromquellen, wie Akkumulatoren, Lichtleitungen oder große Tauchbatterien, so führt man die Enden der von den Stromquellen herkommenden Leitungen am besten bis zu zwei am Experimentiertisch angebrachten Tischklammen; Fig. 327 zeigt eine solche in einfacher Form. *d* ist das Ende der Zuführungsleitung; dickere Drähte werden bei *a*, dünnere bei *c* festgeklemmt.

Zur Befestigung sehr kleiner Teile, namentlich vor dem Projektionsapparat, ist die von W. Volkmann¹⁾ angegebene „Stielklemme“ (Fig. 328) sehr bequem; der Stiel wird in einer gewöhnlichen Stativmuffe befestigt.

Fig. 328.



Fig. 329.



Fig. 330.



Endlich leisten natürlich auch hier die in § 56 beschriebenen Heltzsehen Fußklammen gute Dienste.

Quecksilberkontakte. Außer durch Klammen oder durch Federdruck (s. weiter unten) kann eine gut leitende Verbindung auch durch Quecksilber hergestellt werden, indem man das Ende des einen Drahtes durch Lötung oder Nietung mit einem Metallnägeln verbindet, in welches etwas Quecksilber gegossen wird, während man das Ende des anderen einfach in das Quecksilber eintaucht. Das eintauchende Ende muß (außer bei Platin) amalgamiert sein; das Amalgamieren geschieht am einfachsten durch Eintauchen des blank geschabten Endes in Quecksilber, das mit einer Schicht verdünnter Salpetersäure überdeckt ist. Als Napf für das Quecksilber kann man Fingerhüte benutzen, die in einer Paraffinplatte eingegossen sind; auch ein in einer Paraffinplatte ausgehöhltes Loch genügt, in das man die beiden Leitungsenden eintauchen läßt.

Ausschalter. Ausschalter dienen zum Schließen oder Unterbrechen eines Stromkreises. Ihre Konstruktion richtet sich durchaus nach der

¹⁾ Fabrikant: Beck u. Co., Berlin-Rummelsburg.

Anwendungsart, namentlich nach der benutzten Stromstärke und der Spannung der Stromquelle. Für schwache Ströme und Spannungen genügen Quodskilberkontakte, bei höherer Belastung müssen feste Kontaktflächen durch Federdruck ineinandergespreizt werden.

Eine der ältesten Formen, den sogenannten Schlüssel von du Bois-Reymond, stellt Fig. 329 dar. Er kann für Ströme bis zu etwa 3 Amp. und für Spannungen bis etwa 25 Volt benutzt werden. Bei höheren Belastungen werden durch den beim Unterbrechen entstehenden „Lichtbogen“ (s. Kap. „Elektrizitätsleitung in Gasen“) die Kontaktstellen bald zerstört. Der Kontaktstiel *d* muß mit ziemlicher Reibung an dem festen Kontaktstück *b* gleiten.

Man vermeidet die Lichtbogenbildung bei starken Strömen und Spannungen dadurch, daß man durch eine Feder die Unterbrechung möglichst plötzlich bewirken läßt. Einen derartigen „Momentumschalter“ zeigt Fig. 330 als verbesserten du Bois'schen Schlüssel montiert. Sidi nicht Ideo der Strom unterbrechen, sondern auch der Zusammenhang des benutzten Apparates mit der Stromquelle gänzlich gelöst werden, so muß man sowohl in die Zuleitung, als auch in die Rückleitung einen Ausschalter legen. Man kombiniert diese dann zweckmäßig zu einem mit einem Griff zu betätigenden Doppelausschalter (auch zweifoliger Ausschalter genannt, Fig. 331).

Fig. 331.

Der Gebrauch eines Doppelausschalters ist unumtlich am Platze, wenn die Stromquelle eine hohe Spannung hat (z. B. Lichtleitung), so daß man bei zufälliger Berührung unangenehme Schläge befürchten muß. Die weiter

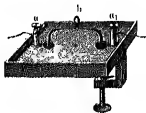
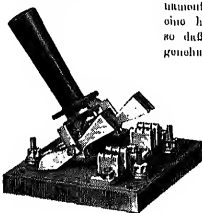
Fig. 332.

beschriebenen Umschalter können meist auch als Doppelausschalter dienen.

Bei feineren Messungen stören die unvermeidlichen Unregelmäßigkeiten im Übergangswiderstand an den Kontaktstellen. Diese fallen bei gut amalgamierten Quodskilberkontakten fort.

Fig. 332 zeigt einen Quodskilberausschalter, den man sich natürlich auch leicht mittels einer Paraffinplatte und zwei Fingerhüten mit angoldeten kurzen Drahtstücken improvisieren kann.

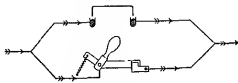
Eine Unterbrechung starker Ströme mittels Quodskilberausschalter bringt den Hebelstand mit sich, daß der bei der Unterbrechung entstehende Lichtbogen zur Entwicklung giftiger Quodskilberdämpfe Veranlassung gibt. Will man die gute Kontaktwirkung des Quodskilbers mit der plötzlichen Unterbrechung des Momentumschalters kombinieren, so schaltet man die



beiden Apparate parallel (Fig. 333); beim Stromschluß wird zuerst der Momentaumschalter, bei Stromöffnung zuerst der Quecksilberschalter betätigt.

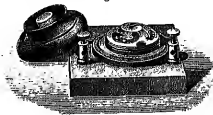
Soll ein schwacher Strom nur ganz kurze Zeit geschlossen werden, so bedient man sich federnder Stromschlüssel, die den Strom beim Loslassen des Druckknopfes oder -hebels von selbst wieder unterbrechen (Fig. 334 u. 335).

Fig. 333.



Umschalter. Umschalter, auch „Stromwender“ oder „Kommutatoren“ genannt, dienen dazu, die Stromrichtung in einem Teile des Stromkreises umzukehren; wenn sich der bewegliche Teil des Schalters in einer

Fig. 334.



Mittelstellung festhalten oder ganz herausheben läßt, so kann der Umschalter auch als Ausschalter dienen.

Zum Verständnis der sehr zahlreichen Konstruktionen von Umschaltern, von denen hier nur einige wenige abgebildet werden können, sollen die schematischen Fig. 336 a, b, c dienen.

Bei allen drei Schaltungsweisen findet man zwei Paar Anschlußpunkte, an denen die von der Batterie *B* kommenden Drähte *a* und *b* und die zum Apparat *A* führenden Drähte *c* und *d* endigen. Je nachdem die durch gestrichelte Linien angedeuteten beweglichen Verbindungsstücke sich in der

Fig. 335.



Stellung (I) oder (II) befinden, durchläuft der Strom den Apparat in der Pfeilrichtung oder umgekehrt.

Als Repräsentanten des Schomas (a) mögen der einfache Quecksilberumschalter Fig. 337 und der Ruhmkorffsche Umschalter Fig. 338 dienen; der bewegliche Teil des letzteren besteht aus einer Achse *ab*, die aus zwei voneinander isolierten und durch den Ellenbeinzyylinder *c* miteinander starr verbundenen Teilen zusammengesetzt ist. Die beiden Messingwülste *d* und *e* sind mit je einem Teile der Achse verbunden und machen je nach der Stellung der Achse mit den Federn *k* und *l* Kontakt derart, daß entweder die Klemmen *f* und *h*, sowie *g* und *i*, oder aber *f* und *i*, sowie *g* und *h* miteinander verbunden sind.

Nach dem Schema (b) ist die Pohl'sche „Wippe“ gebaut, die in Fig. 839a in einer einfachen, in Fig. 839b in einer etwas exakteren Ausführung dargestellt ist.

Kürzlich zeigt Fig. 340 eine sehr übersichtliche Ausführungstabelle des Schemas (a), das sich natürlich auch leicht mittels Quecksilbernapfen improvisieren läßt.

Um sehr starke Ströme umzukehren, schaltet man am besten außer dem Umschalter noch einen Momentumschalter in die von der Stromquelle kommende Leitung und betätigt den Stromwender zur Schonung der Kontaktstellen nur bei unterbrochenem Stromkreis.

Regulierwiderstände.

Um die Stromstärke beliebig zu verändern, oder bei Schwankungen im Zustande des Stromkreises konstant halten zu können, benutzt man „Regulierwiderstände“¹⁾. Dieselben enthalten meist einen Draht aus einer schlecht leitenden Metalllegierung und eine Vorrichtung, um beliebige Stücke dieses Drahtes in den Stromkreis einschalten zu können. Als Material für die Widerstandsdrahte kommen hauptsächlich die aus Kupfer, Nickel, Mangan usw. in verschiedenen Mischungsverhältnissen zusammengesetzten Legierungen „Manganin“, „Nicko-

Fig. 836.

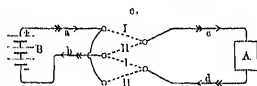
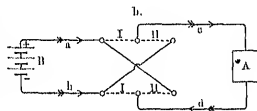
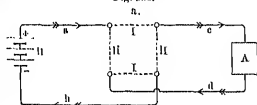
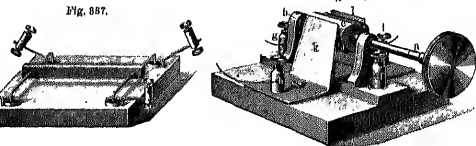


Fig. 838.



lin“, „Manganin“, „Konstantan“, „Kruppin“ in Betracht, die sich sämtlich durch hohen spezifischen Widerstand und geringe Abhängigkeit des Wider-

¹⁾ Der früher benutzte Name „Rheostat“ (gleichbedeutend mit Stromformsteller) ist für Regulierwiderstände wenig mehr gebräuchlich; als „Rheostaten“ bezeichnet man inzwischen auch die weiter unten in § 128 zu besprechenden „Meßwiderstände“, für die der Name allerdings wenig passend erscheint.

standes von der Temperatur auszeichnen. Näheres über die elektrischen Eigenschaften und die Zusammensetzung dieser Legierungen s. § 125.

Fig. 339 a.

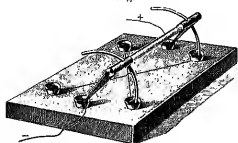


Fig. 339 b.

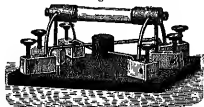
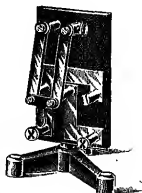


Fig. 340.



Von den unzähligen Ausführungsformen können auch wieder nur einige ausgewählte Typen angeführt werden.

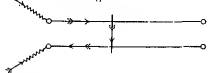
Gleitdraht. Fig. 341 zeigt als einfachste Form einen gerade ausgestreckten Draht, an dessen einem Ende der Strom zugeführt wird, wäh-

Fig. 341.



rend ein verschiebbares, mit einem Bleiklotz beschwertes Kontaktstück zur Ableitung des Stromes dient; an einer Skala wird die eingeschaltete Drahtlänge abgelosen¹⁾.

Fig. 342.



Um mit einem derartigen einfachen Gleitdraht große Widerstände herzustellen, muß man entweder den Draht sehr dünn nehmen, wodurch die zulässige Strombelastung zu gering wird, oder aber ihn eine unbequem große Länge geben. Fig. 342 zeigt das leicht verständliche Schema eines „Doppelgloiddrahtes“, mit dem man bei sonst gleichem Raumbedarf den doppelten Widerstand erhält.

¹⁾ Fabrikant: Hartmann u. Braun, Frankfurt a. M.

schleifend anordnen¹⁾, wobei die Stromzuführung durch eine an der Achse schleifende Feder *b*, die Abführung durch eine am Drahte gleitende kleine Rolle *r* geschieht, oder man stellt die Walze fest (Fig. 344) und führt das Kontaktstück in einer Schraubenbahn am Drahte entlang²⁾.

Fig. 344.

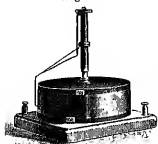


Fig. 345.

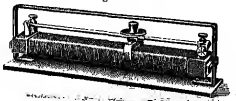
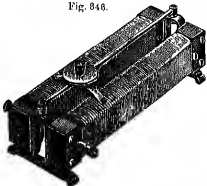


Fig. 346.



Schiebewiderstand. Bei Verzicht auf eine völlig stetige Regulierung kann man einfach ein Kontaktstück geradlinig an dem in enger Spirale aufgewickelten Drahte gleiten lassen (Fig. 345 und 346³⁾). Fig. 345 entspricht in der Anordnung dem einfachen, Fig. 346 dem doppelten Gleitdraht. Der Widerstand ändert sich beim Verschieben sprunghaft um den sehr kleinen Betrag des Widerstandes einer bzw. zweier Windungen.

Kurbelwiderstand. Eine sprunghafte Regulierung in größeren Intervallen, zugleich aber auch genaue Ablesbarkeit und Reproduzierbarkeit des ein-

¹⁾ Whetstone, Pogg. Ann. 62, 509, 1843.

²⁾ Nach A. Oechl. Fabrikant: Gebr. Ruhstrat, Göttingen.

³⁾ Fabrikant: Gebr. Ruhstrat.

geschalteten Widerstandes gestatten die Kurbelwiderstände. Fig. 347 zeigt das Schaltungschema; ein auf den Kontakknöpfen gleitender Hebel schaltet die einzelnen Abteilungen des meist aus frei ausgespannten Spiralen bestehenden Drahtes ein. Fig. 348 zeigt eine kräftige Ausführung¹⁾, wie sie z. B. zum Regu-

Fig. 347.

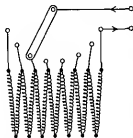
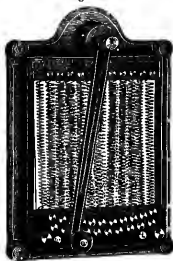
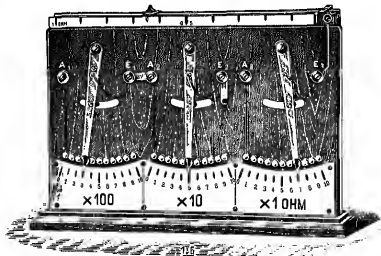


Fig. 348.



lieren von Bogenlampen brauchbar ist, Fig. 349 eine für Demonstrationzwecke geeignete Zusammenstellung von drei Kurbelwiderständen, deren Stufen sich wie 1:10:100 verhalten²⁾. Obenauf befindet sich ein Gleitdraht, dessen Widerstand gleich einer Einheit der feinsten Kurbel, so daß bei Hintereinanderschaltung aller vier Teile eine völlig stetige Regulierung von einem Bruchteil einer Einheit bis zu 1000 Ein-

Fig. 349.



¹⁾ Fabrikant: P. Ernecke, Berlin.

²⁾ Fabrikant: Hartmann u. Braun, Frankfurt a. M. Belastungsgrenzen:

Gleitdraht	2,5 Amp.	Zehner	0,8 Amp.
Einer	2,0 "	Hunderter	0,2 "

heiten möglich ist. Die Widerstandsdrähte selbst sind auf der Rückseite überichtlich angeordnet.

Die bis hierher beschriebenen Widerstände sind bis zum Betrage von einigen Hunderten Ohm herstellbar.

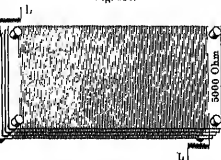
Die allgemein gebräuchliche Widerstandseinheit, das „Ohm“, steht in später zu besprechender Zahlenbeziehung zu der sogenannten „absoluten elektromagnetischen Einheit“. Es ist im übrigen gleich dem Widerstand einer Querschnittsdrähte von 106,3 mm Länge und 1 mm Querschnitt. Ein Kupferdraht von 1 mm Querschnitt hat 1 Ohm Widerstand bei etwa 60 m Länge, ein gleich dicker Draht aus Manganin oder Nickelin bei 2,4 m, aus Konstantan bei 2 m, aus Neussilber bei 2,5 bis 3 m.

Widerstände von etwa 1000 bis 100000 Ohm und einer Belastungsfähigkeit von 0,05 bis 0,1 Amp. werden durch Aufwickeln feinen Drahtes auf (Himmelsplatten hergestellt¹⁾; mehrere derartige Platten werden dann zu einem Satz vereinigt (Fig. 350) und eventuell mit einer Kurbel verbunden.

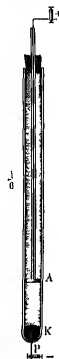
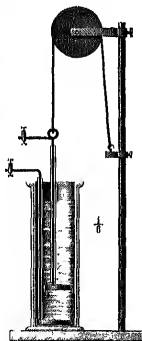
Fig. 350.

Fig. 351.

Fig. 352.



Noch höhere Widerstände bis zu mehreren Millionen Ohm kann man dadurch herstellen, daß man auf einer gut gereinigten matten Glasplatte einen Blei- oder Zinnfilm zieht, an dessen Enden durch Federn aufgesproßte, mehrfach zusammengefaltete Stanniolektroden den Kontakt vermitteln; ein Paraffin- oder Lacküberzug schützt den Widerstand vor Beschädigungen. Die Konstante derartiger Widerstände läßt zu wünschen übrig, auch vortragen sie nur sehr geringe Leistungen.



Flüssigkeitswiderstände. Für gewisse Zwecke ist es erwünscht, Widerstände zu besitzen, die bei großem Querschnitt und geringer Länge doch einen hohen Widerstandswert haben; da es Metalle von genügend hohem spezifischen Widerstand nicht gibt, so verwendet man elektrolytische Leiter, meist wässrige Salzlösungen. Als leicht beschaffbare Stoffe kommen meist Zink- oder Kupfersulfat in Betracht; als Elektroden verwendet man Zink- bzw. Kupferplatten. Durch Änderung der Konzen-

¹⁾ Fabrikant: Gebr. Rathstrat, Göttingen.

tration der Lösung kann man den Widerstand in ziemlich weiten Grenzen variieren. Fig. 351 zeigt eine wohl ohne weiteres verständliche Konstruktion eines regulierbaren Flüssigkeitswiderstandes.

Will man einen Flüssigkeitswiderstand von mehreren 100 000 Ohm herstellen, so würde es zwar theoretisch genügen, einfach reines destilliertes Wasser als Flüssigkeit zu nehmen; ein derartiger Widerstand wäre aber sehr wenig konstant, da die geringsten Verunreinigungen, ja selbst die Absorption von Luft und anderen Gasen, den Widerstand sehr stark verringern. Deshalb nimmt man in solchen Fälle besser an Stelle des Wassers als Lösungsmittel andere Flüssigkeiten, die die Eigenschaft haben, selbst in konzentrierten Lösungen sehr schlecht zu leiten. Sehr brauchbar ist z. B. nach Hittorf eine Lösung von 10 Th. Jodcadmium in 100 Th. Amylalkohol. Fig. 351 zeigt eine einfache Ausführungsform. Die verschiebbare Elektrode *A* besteht aus einer gegossenen Cadmiumplatte mit angelöteten und durch ein enges Glasrohr nach außen geführtem Kupferdraht; als feste Elektrode *K* dient ein wenig Cadmiumamalgam, das durch einen im Glase eingeschmolzenen Platindrath *P* mit dem Außenraum in Verbindung steht. Damit nicht durch Elektrolyse das Amalgam an Cadmiumgehalt einbüßt, leite man den Strom stets in der Richtung von *A* nach *K*. Eine Skala dieser Lösung von 1 qm Querschnitt besitzt einen Widerstand von etwa 14 000 Ohm pro Centimeter Länge. Belastung bis etwa 0,01 Amp. pro Quadratcentimeter.

Lampenwiderstände. Aus elektrischen Glühlampen lassen sich leicht wenig Raum beanspruchende Widerstände von einigen Hundert Ohm herstellen, die sehr billig sind und hohe Belastung zulassen. Die Schaltung

Fig. 353.

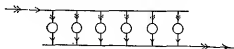


Fig. 354.



der Lampen geschieht meist entsprechend dem Schema Fig. 353, d. h. die Lampen sind parallel geschaltet, so daß der Strom sich in die einzelnen Lampen verteilt. Fig. 354 zeigt einen ausgeführten Lampenwiderstand¹⁾, den man sich mittels der überall käuflichen Lampenfassungen leicht selbst herstellen kann. Durch einfaches Drehen der Lampen in ihren Fassungen erfolgt die Ein- und Ausschaltung. Der

Widerstand ist der eingeschalteten Lampenzahl umgekehrt proportional. Eine 16kerzige Glühlampe für 110 Volt Spannung hat im kalten Zustande einen Widerstand von etwa 350, im heißen von etwa 250 Ohm. Lampen für 220 Volt haben bei gleicher Kerzenstärke den vierfachen Widerstand. Mit dem abgebildeten Lampenwiderstand kann man also bei voller Belastung mit 110 Volt Spannung eine Abstufung von 250 bis zu 42 Ohm erzielen.

¹⁾ Figur nach F. Bracke, Berlin.

§ 115. Ablenkung der Magnetnadel durch den elektrischen Strom. Schon im 18. Jahrhundert hatte man die Vermutung geäußert, daß zwischen Magnetismus und Elektrizität eine innige Beziehung bestehen müsse. Diese Vermutung wurde durch die Erfahrung unterstützt, daß der magnetische Zustand der Kanjufäden durch Blitzschläge, welche sie getroffen hatten, verändert worden war. Man versuchte ähnliche Einwirkungen durch den Entladungsschlag von Leidener Flaschen zu erhalten; doch führten diese Versuche zu keinen regelmäßigen Resultaten. Man begnügte sich mit der Annahme, daß der elektrische Entladungsschlag in ähnlicher Weise auf die Magnetnadel wirkte wie der Schlag eines Hammers.

Ein Hauptfehler bei den damaligen tastenden Versuchen und Spekulationen war die noch völlige Unkenntnis des Begriffs des „elektrischen Stroms“; man beschränkte immer lediglich die statischen Spannungsercheinungen an der Saule, abgesehen schon Volta selbst auf die Bedeutung des Strömens der Elektrizität bei seinen Fracherversuchen hingewiesen hatte (vgl. § 104). Erst durch Ampères Arbeiten aus dem Jahre 1820 gelangte der „Strombegriff“ zur allgemeinen Einführung; bis dahin sprach man meist von einem fortwährenden gleichzeitigen Geschiedenwerden und Wiederausgleich der Elektrizität in dem die Pole einer Voltaschen Saule verbindenden Drakte.

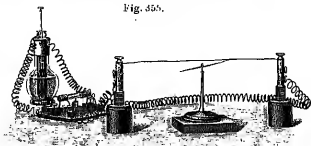
Auch Oerstedt in Kopenhagen versuchte zuerst vorgeblich eine Einwirkung der Pole der ungeschlossenen Saule auf den Magneten nachzuweisen; erst im Winter des Jahres 1819 beobachtete er, daß ein durch den galvanischen Strom zum Glühen erhitzter Platindrakt auf eine Magnetnadel in eigentümlicher Weise bewegend einwirkte. Er veröffentlichte die Ergebnisse seiner weiteren Untersuchungen über die neue Erscheinung im Jahre 1820¹⁾.

Die Oerstedtschen Fundamentalarbeiten sollen im folgenden möglichst mit seinen (durch Kursivdruck gekennzeichneten) eigenen Worten beschrieben werden. Zur Wiederholung der Versuche benutze man als *galvanischen*

¹⁾ Experimenta circa officinam conflictus electrici in terris magnetis; Abhandl. in Gilberts Annalen 33, 205 (1820). Oetwulds Klassiker, Nr. 63. Petherichwolggers Journ. 20, 384 (1820).

Apparat ein möglichst großplattiges Bunsen- oder Tauchelement¹⁾, als verbindenden Leiter einen etwa 1 m langen Kupfdrabt. Um den Strom bequem unterbrechen und umkehren zu können, schalte man einen Umschalter ein, so daß der in Fig. 355 dargestellte Stromkreis entsteht.

Fig. 355.



Erster Versuch: Man bringe ein geradliniges Stück des verbindenden Drahtes über eine frei bewegliche Magnetnadel²⁾, so, daß er ihr parallel sei...

Schließt man den Stromkreis, so wird die Nadel in Bewegung kommen, und zwar so, daß sie unter dem vom negativen Ende (Zinkpol) des galvanischen Apparates herkommenden Teile des verbindenden Drahtes nach Westen abweicht... Bei größerer Entfernung nehmen die Abweichungswinkel ab, wie die Entfernungen zunehmen³⁾. Übrigens ist die Ablenkung verschieden nach Verschiedenheit der Stärke des Apparates.

Der verbindende Draht kann nach Osten oder nach Westen bewegt werden, wenn er nur immer der Nadel parallel bleibt, ohne daß dies einen anderen Einfluß auf den Erfolg hat, als daß die Ablenkung kleiner wird. Es läßt sich folglich die Wirkung keineswegs einer Anziehung zuschreiben; denn derselbe Pol der Magnetnadel, der sich nach dem verbindenden Draht hindreht, wenn er östlich von der Nadel ist, dreht sich von demselben fort, wenn er sich westlich von ihr befindet, was nicht möglich wäre, wenn diese Abweichungen auf Anziehungen oder Abstößungen beruhten.

Der Inhalt des letzten Abschnittes ist von ganz fundamentaler Bedeutung; es war dies das erste Mal in der Physik, daß man eine gegenseitige Einwirkung zweier voneinander getrennter Körper — hier des Magneten und des Stromleiters — beobachtete, die sich nicht unter das Bild einer Anziehung oder Abstößung bringen ließ, sondern durch eine seitliche Bewegung dargestellt werden mußte. Die auf die Magnetpole wirkende Kraft steht offenbar senkrecht auf der kürzesten Verbindungslinie von Draht und Magnet (siehe weiter unten § 116).

Zur besseren Übersicht ist in Fig. 356 in Ansicht von oben die Stellung des Drahtes zum Magneten und der Zusammenhang zwischen der durch den Pfeil bezeichneten Stromrichtung mit der Ablenkung der ursprünglich zum Drahte parallel stehenden Nadel *us* angedeutet. Die Ablenkungsrichtung

¹⁾ Oder mehrere parallel geschaltete Elemente.

²⁾ Eine größere Zuhörerschaft macht man die Nadelbewegung durch angeklebte farbige Papierfahnen sichtbar.

³⁾ Das heißt die Ablenkungen sind umgekehrt proportional der Entfernung; eine fünf kurze Nadeln und nicht zu große Ablenkungen annähernd richtige Regel siehe weiter unten Kap. VIII.

bleibt dieselbe und nur ihre Größe vermindert sich, wenn der Draht aus der Mittelstellung *a* in eine der beiden seitlichen Stellungen *b* oder *c* verschoben wird.

Kehrt man die Stromrichtung mittels des Unisealters oder durch Vertauschung der Leiterenden am galvanischen Element um, so kehrt sich auch die Ablenkungsrichtung um.

Zweiter Versuch: Der verbindende Leiter kann aus mehreren verschiedenen Drähten oder Metallstreifen bestehen. Die Natur des Metalles ändert den Erfolg nicht, es sei denn vielleicht in Hinsicht der Größe. Wir haben Drähte aus Platin, Gold, Silber, Messing und Eisen, ferner Zinn- und Bleistreifen und Quecksilber mit gleichem Erfolge gebraucht. Wird der Leiter durch Wasser unterbrochen, so bleibt nicht alle Wirkung aus, es sei denn, die Wasserstrecke sei mehrere Zoll lang.

Der genaue Nachweis, daß die Wirkung bei gleicher Stromstärke weder von Material noch vom Querschnitt des Leiters abhängig ist, ist zuerst von

Fig. 356.

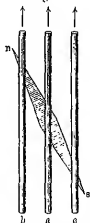


Fig. 357.



Ampère¹⁾, später von Barlow²⁾ und von Fehner³⁾ geführt werden. Man muß dazu den Strom gleichzeitig die verschiedenen Leiter durchfließen lassen, indem man nach dem Vorgange von Fehner³⁾ den Stromkreisleiter aus mehreren Stücken zusammensetzt (Fig. 357) und dann die Magnetnadel darüber hinwegführt; die Ablenkung ist für alle Teile des Leiters gleich groß. Es sei jedoch bemerkt, daß die Unabhängigkeit vom Leiterquerschnitt nur für kreisförmigen Querschnitt strenge gilt, für andere Querschnitte dagegen nur so lange, als der größte Durchmesser des Leiters klein gegen den Abstand der Nadel ist.

Dritter Versuch. Für nichtmetallische Leiter ist derselbe Nachweis mit genügender Genauigkeit zuerst von R. Kohlrausch⁴⁾ geführt worden. Wir benutzen dazu die Versuchsanordnung, Fig. 358, benutzen. *A*, *B* und *C* sind Quecksilbernäpfe; zwischen *B* und *C* ist der Metallstab *KK*, zwischen *B* und *A* eine Glasröhre *GG* eingeschaltet, welche z. B. Kupfervitriollösung enthält. Die Enden sind durch Kerke verschlossen, durch welche Kupferdrähte hindurchgehen. Die Richtung *CBA* fällt in den magnetischen Meridian. Eine über *K* aufgehängte, nötigenfalls durch eine Hülle gegen Luftströmungen geschützte Magnetnadel erfährt eine Ablenkung, die am besten mittels Spiegel und Skala beobachtet wird. Vertauschen wir nun den Metallstab *KK* mit

¹⁾ Gilberts Ann. 67, 123 (1821).

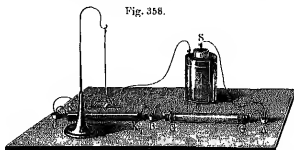
²⁾ Schweigger's Journ. 44, 367 (2825).

³⁾ Maßbestimmungen über die galvanische Kette 1831. Fehner hat übrigens die Nadel quer zum Leiter und maß nicht Ablenkungen, sondern Änderungen der Schwingungsdauer.

⁴⁾ Pogg. Ann. 97, 401.

der Flüssigkeitssäule GG_1 , so ändert sich die Ablenkung nicht. Daraus folgt also, daß auch die aus Flüssigkeiten bestehenden Teile eines Stromkreises dieselbe Wirkung ausüben wie seine übrigen Teile. Dies gilt auch von den Flüssigkeiten in dem den Strom erzeugenden Element. Wir können dies zeigen, indem wir in Fig. 358 das Element ausschalten, A mit C direkt durch einen Drahtbogen verbinden und statt der Flüssigkeitssäule GG_1 ein Element gleicher Form mit dieser einschalten. Wir er-

Fig. 358.



halten ein solches, indem wir zwei an den Enden abgeschliffene Glasrohren von der halben Länge von GG_1 mit ihren Enden einander gegenüber auf die beiden Seiten einer dünnen Tonplatte kitten und dann die eine Seite mit Kupfervitriol, die andere mit Zinkvitriol füllen; die Zuleitungsdrähte bestehen einerseits aus Kupfer, andererseits aus amalgamiertem Zink. Das so gebildete Daniell'sche Element liefert dann den Strom, welcher die Magnetnadel ablenkt. Diese Ablenkung bleibt gleich groß, wenn wir das Element mit dem Metallstab vertauschen.

Das Resultat des zweiten und dritten Versuches lautet also:

A. Die magnetische Wirkung eines aus beliebigen verschiedenartigen Stücken zusammengesetzten stromdurchflossenen Leiterkreises ist in allen seinen Teilen dieselbe.

§ 116. Das Magnetfeld des elektrischen Stromes. Wir haben im ersten Kapitel die magnetischen Wirkungen auf die Existenz eines veränderten Zustandes im Raume zurückgeführt, den wir als magnetisches Feld bezeichneten. Überall, wo wir Bewegungsveränderungen an einer Magnetnadel beobachteten, nahmen wir die Existenz eines solchen Feldes an. Wir müssen also, um konsequent zu sein und nicht dieselben Wirkungen, nämlich die Bewegungen einer Magnetnadel, verschiedenartigen Ursachen zuzuschreiben, folgende Annahme machen:

A. Jeder elektrische Strom erzeugt in seiner Umgebung ein magnetisches Feld.

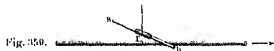
Es entsteht somit die Aufgabe, die Richtung und Stärke dieses Feldes in ihrer Abhängigkeit von der Stromstärke und der Gestalt des Stromleiters zu untersuchen. Wir beginnen mit der Untersuchung eines geradlinig gespannten Drahtes.

Erster Versuch: Wir benutzen die in Fig. 355 dargestellte Anordnung, hängen jedoch die Magnetnadel an einem Korkfaden auf, so daß wir die Nadel bequem in verschiedene Stellungen zu dem gespannten Drahte

bringen und auch Ablenkungen um eine wagerechte Achse, wie in Fig. 361 und 362, beobachten können.

Die Figg. 359 bis 362 zeigen, von der Ostseite her gesehen, die Ablenkungen, wenn der Strom die Richtung des Möiles hat und die Nadel sich über, unter, vor oder hinter dem Drahte im gleichen Abstände r befindet. Die punktierte Linie r deutet gleichzeitig die jedesmalige Drehungsachse der Nadel an.

Wenn wir die Stromrichtung umkehren, so kehren sich auch die Nadelablenkungen um.



Die Ablenkungsrichtungen ergeben sich aus folgender von Ampère¹⁾ herrührender Regel:

II. „Denkt man sich in der Stromrichtung, also von der Kupfer- oder Kohlenelektrode des Elementes durch den Draht zur Zinkelektrode, schwimmend, und das Gesicht der Magnetnadel zugewendet, so wird der Nordpol der Nadel nach links abgelenkt.“

Zweiter Versuch: Aus dem ersten Versuch folgt, daß, wenn der Strom parallel dem magnetischen Meridian, also parallel der horizontalen Kraftkomponente des Erdfeldes fließt, stets eine Ablenkung der Nadel erfolgt. Die Richtung des aus dem Erdfelde und dem Felde des Stromes zusammengesetzten resultierenden Feldes bildet also einen Winkel mit dem Drahte; daraus folgt notwendig, daß auch das Stromfeld allein unter irgend einem Winkel gegen den Draht geneigt sein muß; denn wäre es dem Drahte parallel, so würde es bloß eine Verstärkung oder Schwächung des Erdfeldes, nicht aber eine Ablenkung bewirken. Wir können die Richtung des Stromfeldes dadurch finden, daß wir diejenigen Lagen eines in der Hand zu haltenden, gerade angespannten Drahtstückes ab aufsuchen (Fig. 363²⁾), in denen ein altes Draht durchfließender Strom eine Magnetnadel unabgelenkt läßt. Der Versuch ergibt, daß die Nadel in Ruhe bleibt, wenn sich der Draht ab in einer Ebene P (Fig. 364) befindet, die die Nadel halbiert und von der Nadelnadel senkrecht durchsetzt wird. In der Fig. 364 sind einige solche Lagen des Drahtes angedeutet. Wir werden den Resultaten sowohl dieses als auch des ersten Versuches durch folgende Annahme gerecht:

¹⁾ Ann. d. chimie et physique 15, 58 und 170 (1820).

²⁾ Nach H. Kohlre, Abh. f. d. Elektr. II, 8, 54.

der Flüssigkeitssäule GG_1 , so ändert sich die Ablenkung nicht. Daraus folgt also, daß auch die aus Flüssigkeiten bestehenden Teile eines Stromkreises dieselbe Wirkung ausüben wie seine übrigen Teile. Dies gilt auch von den Flüssigkeiten in dem den Strom erzeugenden Element. Wir können dies zeigen, indem wir in Fig. 358 das Element ausschalten, A mit C direkt durch einen Drahtbogen verbinden und statt der Flüssigkeitssäule GG_1 ein Element gleicher Form mit dieser einschalten. Wir or-

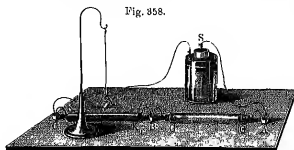


Fig. 358.

halten ein solches, indem wir zwei an den Enden abgeschliffene Glasröhren von der hellen Länge von GG_1 mit ihren Enden einander gegenüber auf die beiden Seiten einer dünnen Tonplatte kitten und dann die eine Seite mit Kupfervitriol, die andere mit Zinkvitriol füllen; die Zuleitungsdrähte bestehen einerseits aus Kupfer, andererseits aus amalgamiertem Zink. Das so gebildete Daniell'sche Element liefert dann den Strom, welcher die Magnetonadel ablenkt. Diese Ablenkung bleibt gleich groß, wenn wir das Element mit dem Metallstab vertauschen.

Das Resultat des zweiten und dritten Versuches lautet also:

A. Die magnetische Wirkung eines aus beliebigen verschiedenenartigen Stücken zusammengesetzten stromdurchflossenen Leiterkreises ist in allen seinen Teilen dieselbe.

§ 116. Das Magnetfeld des elektrischen Stromes. Wir haben im ersten Kapitel die magnetischen Wirkungen auf die Existenz eines veränderten Zustandes im Raume zurückgeführt, den wir als magnetisches Feld bezeichneten. Überall, wo wir Bewegungserscheinungen an einer Magnetonadel beobachteten, nahmen wir die Existenz eines solchen Feldes an. Wir müssen also, um konsequent zu sein und nicht dieselben Wirkungen, nämlich die Bewegungen einer Magnetonadel, verschiedenartigen Ursachen zuzuschreiben, folgende Annahme machen:

A. Jeder elektrische Strom erzeugt in seiner Umgebung ein magnetisches Feld.

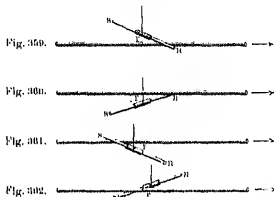
Es entsteht somit die Aufgabe, die Richtung und Stärke dieses Feldes in ihrer Abhängigkeit von der Stromstärke und der Gestalt des Stromleiters zu untersuchen. Wir beginnen mit der Untersuchung eines geradlinig ausgespannten Drahtes.

Erster Versuch: Wir benutzen die in Fig. 355 dargestellte Anordnung, hängen jedoch die Magnetonadel an einem Korkfaden auf, so daß wir die Nadel bequem in verschiedenen Stellungen zu dem ausgespannten Drahte

bringen und auch Ablenkungen um eine wagerechte Achse, wie in Fig. 361 und 362, beobachten können.

Die Figg. 359 bis 362 zeigen, von der Ostseite her gesehen, die Ablenkungen, wenn der Strom die Richtung des Nädels hat und die Nadel sich hier, unter, vor oder hinter dem Drahte im gleichen Abstände r befindet. Die punktierte Linie r deutet gleichzeitig die jedesmalige Drehungsachse der Nadel an.

Wenn wir die Stromrichtung umkehren, so kehren sich auch die Nadelablenkungen um.



Die Ablenkungsrichtungen ergeben sich aus folgender von Ampère¹⁾ herrührender Regel:

B. „Denkt man sich in der Stromrichtung, also von der Kupfer- oder Kohlenzinktriede des Elementes durch den Draht zur Zinkelektrode, schwimmend, und das Gesicht der Magnetnadel zugewandt, so wird der Nordpol der Nadel nach links abgelenkt.“

Zweiter Versuch: Aus dem ersten Versuch folgt, daß, wenn der Strom parallel dem magnetischen Meridian, also parallel der horizontalen Kraftkomponente des Erdfeldes fließt, stets eine Ablenkung der Nadel erfolgt. Die Richtung des aus dem Erdfelde und dem Felde des Stromes zusammengesetzten resultierenden Feldes bildet also einen Winkel mit dem Drahte; daraus folgt notwendig, daß auch das Stromfeld allein unter irgend einem Winkel gegen den Draht geneigt sein muß; denn wäre es dem Drahte parallel, so würde es bloß eine Verstärkung oder Schwächung des Erdfeldes, nicht aber eine Ablenkung bewirken. Wir können die Richtung des Stromfeldes dadurch finden, daß wir diejenigen Lagen eines in der Hand zu haltenden, geraden ungespannten Drahtstückes ab aufsuchen (Fig. 363²⁾), in denen ein den Draht durchfließender Strom eine Magnetnadel unabgelenkt läßt. Der Versuch ergibt, daß die Nadel in Ruhe bleibt, wenn sich der Draht ab in einer Ebene P (Fig. 364) befindet, die die Nadel halbiert und von der Nadelnadel senkrecht durchsetzt wird. In der Fig. 364 sind einige solche Lagen des Drahtes angedeutet. Wir werden den Resultaten sowohl dieses als auch des ersten Versuches durch folgende Annahme gerecht:

¹⁾ Ann. d. chimie et physique 15, 59 und 170 (1820).

²⁾ Nach H. Kolbe, Abh. f. d. Elektr. II, 8, 54.

2. Das Magnetfeld eines stromdurchflossenen geraden Drahtes besteht aus kreisförmigen Kraftlinien, die den Draht konzentrisch umgeben.

Blickt man in der Stromrichtung am Draht entlang, so umkreisen die Kraftlinien den Draht im Uhrzeigersinne.

Fig. 303a zeigt, wie die Horizontalkomponente H' des Stromfeldes H auf eine parallel dem Draht stehende und um eine senkrechte Achse dreh-

Fig. 303.

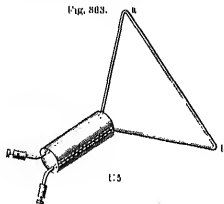


Fig. 304.



Fig. 305 a.

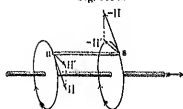
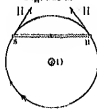


Fig. 305 b.



bare Nadel ein Drehungsmoment ausübt. Fig. 305 b zeigt, daß ein (das Papier bei O von vorn nach hinten durchsetzender) Strom, der in einer durch den Nadelmittelpunkt gehenden zur Nadel senkrechten Ebene verläuft, keine Ablenkung hervorbringen kann, da die angreifenden Kräfte sich das Gleichgewicht halten.

Schon Oerstedt selbst sagt:

„Es läßt sich aus dem, was beobachtet worden, schließen, daß der elektrische Konflikt in Kreisen fortgehe.“

Doch scheint er dabei weniger an magnetische Kraftlinien, als eine in Kreis- oder Spiralbahn um den Draht herum erfolgende Bewegung der Elektrizität selbst gedacht zu haben. Völlig klar wurde dagegen die Kreisgestalt der Kraftlinien bald darauf von T. J. Seebeck¹⁾ erkannt und durch Feilspanbilder direkt nachgewiesen.

Dritter Versuch: Wir führen einen Draht senkrecht durch ein Loch in einem Kartonblatt, bestreuen das Blatt mit Eisenpulver und schicken einen

¹⁾ Berl. Ber. 1821. — Ostwalds Klassiker 83.

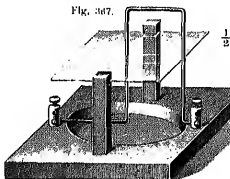
stigen Strom durch den Draht¹⁾. Bei leichtem Klopfen gegen das Blatt tritt ein Feilspanbild, wie Fig. 366 zeigt.

Eine Einrichtung zur Projektion des Versuches im Horizontalprojektionspunkt zeigt Fig. 367.

Fig. 366.



Fig. 367.



Die Existenz eines magnetischen Poles in der Umgebung eines jeden elektrischen Stromes ist von grundlegender Bedeutung für unsere Auffassung von dem Gange des Stromes überhaupt.

Hatten wir im fünften Kapitel den Strom im wesentlichen im Sinne der alten Theorie als ein Fließen der Elektrizität im Drahte selbst aufgefaßt, so sehen wir jetzt, daß jedenfalls mit diesem Vorgange im Drahte immer auch ein anderer verknüpft ist, der seinen Sitz im umgebenden Raume hat und identisch mit jenigen Zustandsänderung des Raumes ist, die wir im ersten und zweiten Kapitel magnetisches Feld kennen gelernt haben. Jenes schließt danach sogar die Annahme mit ein, daß der ganze, mit dem Namen „elektrischer Strom“ bezeichnete Vorgang im umgebenden Raume stattfindet, und daß der Draht nur als Leiter des Feldes darstellt, nach dem sich vorwiegend ohne im übrigen unbedeutenden Zusammenhänge der Vorgang richtet, wenn so, wie ein Eisenbahnzug, ohne seines Lokomotives zu fahren gezwungen ist, ohne daß deshalb das Fahren des Zuges ein Vorgang im Lokomotiv selbst ist. In der Tat ist die Maxwell'sche Theorie wirklich zu dieser extremen Konsequenz gelangt.

Für die Maxwell'sche Theorie bedeutet demnach die Aussage, daß „in einem Drahte ein elektrischer Strom in der einen oder anderen Richtung fließt“, nur eine Umschreibung der Beobachtungstatsache, daß der Licht von magnetischen Kraftlinien im einen oder anderen Umlaufsinne ausstrahlt werde.

Wir werden auf die Bedeutung dieser Auffassung und auf die in neuester Zeit für vorgenannten Abänderungen, durch welche auch die Vorgänge im Drahte wieder mehr berücksichtigt werden, später noch ausführlicher zurückkommen.

§ 117. Galvanoskope; Multiplikatoren. Die Wirkung eines Stromes auf eine Magnetnadel bietet ein bequemes Mittel, das Vorhandensein und die Richtung eines Stromes anzuzeigen. Apparate, welche hierzu dienen, heißen Galvanoskope²⁾. Sind sie durch Vermehrung der Drahtwindungen in Nachweise sehr schwacher Ströme eingerichtet, so heißen sie Multiplikatoren³⁾, sind sie außerdem noch zur Messung der Stromstärke geeignet, heißen sie Galvanometer⁴⁾.

¹⁾ Als Stromquelle eignet sich ein Akkumulator oder mehrere parallel geschaltete Zellen oder Vorschaltzellen. Die Stromstärke muß etwa 10 bis 15 Ampère betragen.

²⁾ Erman (1821).

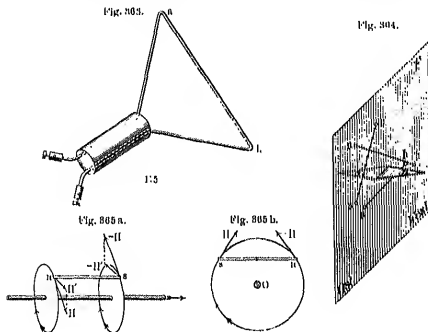
³⁾ Schweigger (1820); Poggendorff (1821).

⁴⁾ Ampère (1820).

C. Das Magnetfeld eines stromdurchflossenen geraden Drahtes besteht aus kreisförmigen Kraftlinien, die den Draht konzentrisch umgeben.

Blickt man in der Stromrichtung am Draht entlang, so umkreisen die Kraftlinien den Draht im Uhrzeigersinn.

Fig. 306a zeigt, wie die Horizontalkomponente H' des Stromfeldes H auf eine parallel dem Drahte stehende und um eine senkrechte Achse dreh-



bare Nadel ein Drehungsmoment ausübt. Fig. 305b zeigt, daß ein (das Papier bei O von vorn nach hinten durchsetzender) Strom, der in einer durch den Nadelmittelpunkt gehenden zur Nadel senkrechten Ebene verläuft, keine Ablenkung hervorbringen kann, da die angreifenden Kräfte sich das Gleichgewicht halten.

Schon Oerstedt selbst sagt:

„Es läßt sich aus dem, was beobachtet worden, schließen, daß der elektrische Konflikt in Kreisen fortgeht.“

Doch scheint er dabei weniger an magnetische Kraftlinien, als eine in Kreis- oder Spiralbahnen um den Draht herum erfolgende Bewegung der Elektrizität selbst gedacht zu haben. Völlig klar wurde dagegen die Kreisgestalt der Kraftlinien bald darauf von T. J. Seebeck¹⁾ erkannt und durch Feilspanbilder direkt nachgewiesen.

Dritter Versuch: Wir führen einen Draht senkrecht durch ein Loch in einem Kartonblatt, bestreuen das Blatt mit Eisenpulver und schicken einen

¹⁾ Berl. Ber. 1821. — Ostwalds Klassiker III.

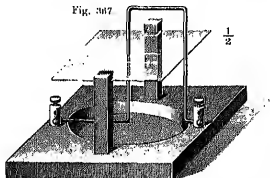
kräftigen Strom durch den Draht ¹⁾. Bei leichtem Klopfen gegen das Blatt entsteht ein Feilspeubild, wie Fig. 366 zeigt.

Eine Einrichtung zur Projektion des Versuches im Horizontalprojektionsapparat zeigt Fig. 367.

Fig. 366.



Fig. 367.



Die Existenz eines magnetischen Feldes in der Umgebung eines jeden elektrischen Stromes ist von grundlegender Bedeutung für unsere Auffassung von dem Vorgang des Stromes Rheismus.

Hatten wir im letzten Kapitel den Strom im wesentlichen im Sinne der alten Theorie als ein Fließen der Elektricität im Drahte selbst aufgefaßt, so sehen wir jetzt, daß jedenfalls mit diesem Vorgange im Drahte immer auch ein anderer erküpft ist, der seinen Sitz im umgebenden Raume hat und identisch mit jenem Zustandänderung des Raumes ist, als wir im ersten und zweiten Kapitel das magnetische Feld kennen gelernt haben. Da es scheint, daß sogar die Aufassung möglich, daß der ganze, mit dem Namen „elektrischer Strom“ bezeichnete Vorgang im umgebenden Raume stattfindet, und daß der Draht nur lediglich das Gefaße darstellt, nach dem sich vermöge eines im übrigen unbekannten Zusammenhangs der Vorgang richtet, etwa so, wie ein Eisenbahnschienen seinen Fahren zu führen gezwungen ist, ohne daß deshalb das Fahren des Zuges ein Vorgang im Eisen selbst ist. In der That ist die Maxwell'sche Theorie schließlich zu dieser extremen Konsequenz gelangt.

Für die Maxwell'sche Theorie bedeutet demnach die Aussage, daß „in“ einem Drahte ein „elektrischer Strom“ in der einen oder anderen Richtung fließt“, nur eine Umschreibung der Beobachtungstatsache, daß der Draht von magnetischen Kraftlinien im einen oder anderen Umlaufsinne umkreist werde.

Wir wenden auf die Bedeutung dieser Auffassung und auf die in neuester Zeit ihr vorgenommenen Abänderungen, durch welche auch die Vorgänge im Drahte selbst wieder mehr hervorgehoben worden, später noch ausführlicher zurückkommen.

§ 117. Galvanoskope; Multiplikatoren. Die Wirkung eines Stromes auf eine Magnetnadel bietet ein bequemes Mittel, das Vorhandensein und die Richtung eines Stromes nachzuweisen. Apparate, welche hierzu dienen, heißen Galvanoskope ²⁾. Sind sie durch Vermehrung der Drehwinkelungen zum Nachweise sehr schwacher Ströme eingerichtet, so heißen sie Multiplikatoren ³⁾, sind sie außerdem noch zur Messung der Stromstärke geeignet, so heißen sie Galvanometer ⁴⁾.

¹⁾ Als Stromquelle eignet sich ein Akkumulator oder mehrere parallel geschaltete Zellen- oder Tachzellen. Die Stromstärke muß etwa 10 bis 16 Ampère betragen.

²⁾ Krehn (1821).

³⁾ Schweigger (1820); Poggenpuff (1821).

⁴⁾ Ampère (1820).

Fig. 368 zeigt ein Galvanoskop der einfachsten Art. Da die Stromrichtung in dem oberen Teile des Kupferhügels derjenigen im unteren Teile

Fig. 368.



entgegengesetzt ist, so müssen sich die nach Satz C des vorigen Paragraphen vorhandenen Fehler der beiden Leiterteile im Zwischenraume addieren. Die Wirkung auf die Nadel wird also etwa das Doppelte der Wirkung eines gleich weit entfernten einfachen Drahtes betragen.

Eine noch viel beträchtlichere Vermehrung der Wirkung erhält man mittels des „Multiplikators“:

Der Multiplikator ist ein Galvanoskop mit zahlreichen, die Magnetonadel umgebenden Drahtwindungen, deren Felder sich sämtlich am Orte der Nadel addieren, so daß bei gleicher Stromstärke die Wirkung des Multiplikators etwa der Windungszahl U proportional ist; man erhält also die gleiche Nadelablenkung, die man mit einem einfachen Drahtbügel von einem bestimmten Strome erhalten würde, bei Anwendung eines Multiplikators schon von einem etwa U mal schwächeren Strome. Genau gilt die Proportionalität der Empfindlichkeit mit der Windungszahl jedoch nicht, weil ja die äußeren Windungen einen größeren Abstand von der Nadel haben als die inneren.

Fig. 369.

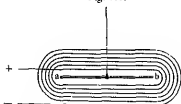


Fig. 370.

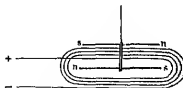


Fig. 369 zeigt die schematische Anordnung der Drahtwindungen um die an einem Korkfaden aufgehängte Magnetonadel.

Nohili¹⁾ hat die Empfindlichkeit des Multiplikators noch weiter erhöht, indem er statt der einfachen Nadel ein sogenanntes „astatisches Nadel-paar“ anwandte. Dieses besteht aus zwei möglichst gleichen Nadeln, die an einer gemeinsamen Achse so befestigt sind, daß ihre Pole entgegengesetzte Richtung haben (Fig. 370). Es ist klar, daß der Erdmagnetismus auf ein solches Nadel-paar nur eine ganz geringe, von der unvermeidlichen Differenz der magnetischen Momente beider Nadeln herrührende Richtkraft ausübt.

Hängt man ein derartiges Nadel-paar in eine stromdurchflossene Drahtspule, so summiert sich die Wirkung der Windungen auf die innere Nadel genau wie beim einfachen Multiplikator. Die Wirkung auf die äußere Nadel ist gleich der Differenz der Wirkungen der oberen und der unteren Windungs-

¹⁾ Pogg. Ann. 8, 338 (1826).

an; wegen der größeren Nähe der oberen Hälften überwiegt deren Wirkung, somit die gleiche Richtung hat wie die Wirkung auf die innere Nadel und so auch ein wenig verstärkt. Der Hauptvorteil gegenüber der einfachen Nadel ist offenbar in der Verringerung der Richtkraft des Erdmagnetismus.

Fig. 371 stellt die Einrichtung eines Holzröhrenmehrs dar, das zur Aufnahme der Drahtwindungen des Multiplikators dient. Die untere Nadel wird in den Spalt *h* in den Zwischenraum der Windungen eingeführt.

Fig. 371.

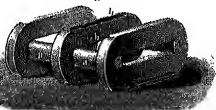
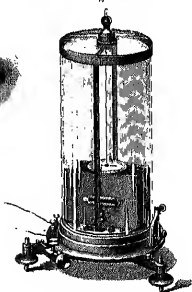


Fig. 372.



da noch zum Zwecke, zu welchem der Multiplikator gebraucht werden soll, hat er weniger, 50 bis 100 Windungen eines Drahtes von 1 mm Durchmesser, oder sehr fein, 8000 bis 25 000 Windungen eines möglichst dünnen Drahtes, denn über die geeignetste Beschreibung siehe § 133.

In Fig. 372 ist das historische Instrument wegen ein vollständiger Multiplikator von der Form dargestellt,

die ihm der Bois-Reymond bei seinen Versuchen über tierische Elektrizität gegeben hat. Die obere Nadel spielt über einem Teilkreise, das ganze Instrument ist um eine senkrechte Achse drehbar, um die Windungen parallel zum magnetischen Meridian stellen zu können.

Die Ablenkung der Nadeln aus ihrer Gleichgewichtslage wächst natürlich mit der Stromstärke, doch ist die Beziehung zwischen dem Ablenkungswinkel und der Stromstärke so kompliziert, daß sie sich nicht allgemein aus theoretischen Betrachtungen, sondern nur für jedes spezielle Instrument durch Versuche ermitteln läßt. Soll deshalb der Multiplikator auch für Messungen dienen, so muß man ihm besondere Formen geben, die in § 119 als Galvanometer beschrieben wurden sollen.

Die Empfindlichkeit des Multiplikators wächst in dem Maße, in welchem das Nadelpaar mehr und mehr der vollkommenen Astatic nähert. Die beobachtende Astatic hat aber einige Erscheinungen im Gefolge, ohne deren Kenntnis die Benützung empfindlicher Multiplikatoren und Galvanometer sehr schwierig wird. Wir wollen sie hier nur kurz aufzählen.

Zunächst bemerkt man, daß ein astaticsches Nadelpaar sich nicht mehr dem magnetischen Meridian einstellt, sondern daß es bei wachsender Astatic immer einen größeren Winkel mit dem Meridian macht, um endlich nahezu rechtwinklig auf ihm zu stehen.

Dieser Umstand beeinträchtigt die Brauchbarkeit des Instrumentes durchaus nicht, man hat nur den Apparat um seine vertikale Achse so zu drehen, daß die Ebene der Windungen mit der Ebene der Nadeln parallel bleibt. Den Grund der anfangs auffallenden Erscheinung hat schon Nobili richtig darin erkannt, daß die magnetischen Achsen der beiden Nadeln nie genau in dieselbe Vertikalebene fallen oder, mit anderen Worten, daß die Horizontalprojektionen der beiden Achsen immer einen, wenn auch sehr kleinen Winkel miteinander bilden.

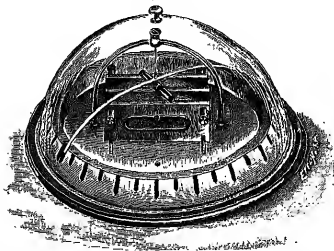
Fig. 373.



Angenommen, NS und $N'S'$, Fig. 373, seien die Horizontalprojektionen der magnetischen Achsen der beiden Nadeln, so ist leicht einzusehen, daß die Nadelhälften ON und ON' zusammen wie die nordmagnetische Hälfte eines schwachen Magneten ns wirken, der auf dem astatischen Nadelpaar senkrecht steht, oder, falls die Nadeln ungleich stark magnetisch sind, einen anderen Winkel damit bildet.

Wenn die Kraft, mit welcher der Erdmagnetismus das Nadelpaar richtet, infolge der nahe vollkommenen Astatic sehr gering geworden ist, so fängt der zwar unbedeutende, aber fast unvermeidliche Eisengehalt der Windungs-

Fig. 374.



drahtes anstößend zu wirken. In einem solchen Falle ist es nicht möglich, die Nadel auf der Nulllinie zum Einstehen zu bringen, sie weicht stets nach der einen oder anderen Seite ab.

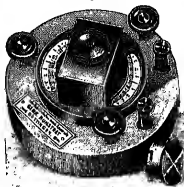
Auch der Farbstoff der zur Drahtspannung manchmal benutzten gefärbten Seide ist meist eisenhaltig. Man benutze also zur Bewickelung hochempfindlicher Multiplikatoren (und auch der weiter unten beschriebenen Galvanometer) nur chemisch reines Kupfer mit ungefärbter Seidenbaspannung.

Zum Schluß seien noch einige moderne Galvanoskope kurz beschrieben. Fig. 374 zeigt einen speziell für Unterrichtszwecke gebauten Multiplikator von Hartmann und Braun. Er entsteht aus dem bereits in Fig. 47 ab-

bedeutend Magnetometer durch Überschieben zweier passender Drhtspulen. Hinzufügung eines zweiten Magneten verwandelt die einfache in eine astatische Nadel. Einschiebbare Kupferdrähte (s. § 119, Abschnitt 4) bewirken Dämpfung der Schwingungen.

Sehr leicht transportabel und bequem zu handhaben ist das in Fig. 376 abgebildete von F. Panchen konstruierte Galvanoskop¹⁾. Die sehr kleine Lugetrümmer und die Spulen sind von einem Messinggehäuse umgeben, wodurch es Kräfte beträchtlich geschwächt, die Wirkung des Stromfeldes auf die Nadel verstärkt wird (s. auch § 119, Abschnitt 5). Mittels zweier auf der Oberseite des Messinggehäuses befindlicher Schrauben wird ein im Innern befindlicher Neelmagnet gedreht oder in den vertikalen vorgehoben, behufs Regulierung der Empfindlichkeit und Einstellung eines mit der Nadel verbundenen Zeigers auf den Nullpunkt der Skalentheilung. Über Empfindlichkeit, Widerstand der Spulen usw. siehe die Tabelle auf S. 368.

Fig. 375.



§ 118. Elektromagnetisches Strommaß; Tangentenbusssole. Wir hatten in § 115 (Satz A) gesehen, daß die magnetische Wirkung eines Stromleiters in allen seinen Teilen dieselbe ist; hierdurch eignet sich diese Wirkung ganz besonders zur Messung der Stromstärke. Wir können geradezu eine „absolute elektromagnetische Stromeinheit“

definieren, indem wir festsetzen:

„Elektromagnetische Stromeinheit ist derjenige Strom, der, einen Leiter von ganz bestimmter Gestalt durchfließend, an einem bestimmten Punkte in der Umgebung des Leiters ein magnetisches Feld von bestimmter Stärke erzeugt.“

Die Gestalt des Leiters, die Lage des Feldpunktes und die Normalfeldstärke müssen durch Übereinkunft bestimmt werden, wobei natürlich theoretische und praktische Erwägungen mitzuspielen. Wir setzen zunächst fest:

A. Der Leiter habe die Gestalt eines Kreises; die Feldstärke werde im Mittelpunkt dieses Kreises gemessen.

Wir messen die Feldstärke ähnlich, wie in § 22 diejenige eines Magnetstabes, indem wir sie mit der Stärke des Erdfeldes vergleichen. Stellen wir unendlich den Leiterkreis so auf, daß das Stromfeld H senkrecht zum Erdfeld H_0 steht (Fig. 376), so bildet die Richtung des aus beiden entstehenden resultierenden Feldes H' mit der Richtung H_0 einen Winkel φ , für den

$$H' = H_0 \cdot \tan \varphi \quad (1)$$

Zur Messung des Winkels φ zwischen H' und H_0 dient genau wie früher eine Magnetonadel, deren Ablenkung aus dem Meridien direkt den Winkel φ

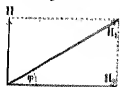
¹⁾ Fabrikant: Oskar. Ruhstrat, (Büdingen).

angibt. In das Stromfeld nach obiger Fortsetzung im Mittelpunkt des Kreises gemessen werden soll, so muß die Nadel an klein gegen den Kreisdurchmesser sein, daß das Feld im ganzen Bereiche der Nadelbewegung als homogen betrachtet werden kann.

Um aus der gemessenen Feldstärke auf die Stromstärke schließen zu können, muß man den Zusammenhang zwischen beiden Ströken kennen.

Man könnte nun zunächst daran denken, diesen Zusammenhang durch den Versuch zu bestimmen, indem man die Stromstärke gemäß den Fortsetzungen

Fig. 376.



der Paragraphen 110 und 111, aus der Entladungsgeschwindigkeit bekannter Kapazitäten oder aus dem elektrostatisch gemessenen Potentialgefälle an geeigneten gewählten großen Widerständen bestimmt und die magnetischen Wirkungen der zu gemessenen Ströme vergleicht. Man würde jedoch sofort bemerken, daß die magnetischen Wirkungen derartiger Ströme viel zu schwach sind, um mittels eines einfachen Kreis-

stromes nachgewiesen zu werden, man bedarf zu diesem Nachweis der weitaus in § 119 zu besprechenden empfindlichen "Spiegelgalvanometer".

Ein viel empfehlenswerterer Weg besteht darin, daß man eine neue Definition der "Stromstärke" einführt, indem man festsetzt:

B. Die "Stromstärke" ist dem magnetischen Felde des Stromes proportional.

Daß die so definierte Stromstärke sich von der früheren mittels elektrostatischer Wirkungen definierten nur durch einen von der Wahl der Einheiten abhängigen Faktor unterscheidet, wird später besonders nachgewiesen werden.

Setzen wir also gemäß unserer Definition

$$J = k H$$

(2)

wo J die Stromstärke in einem Kreisstrom, H das Magnetfeld im Mittelpunkt und k ein von der Wahl der Einheit abhängiger Faktor, so ergibt sich aus (1) und (2):

$$J = k H_2 \tan \varphi$$

(3)

Diese Gleichung gilt natürlich nur, wenn das Stromfeld senkrecht zum magnetischen Meridian gerichtet ist; welche Stellung des Kreisstromes dieser Neigung entspricht, ist noch zu untersuchen.

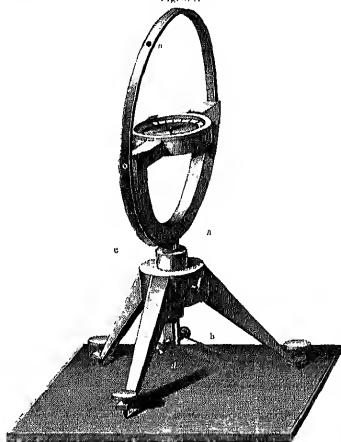
Das geschilderte Meßprinzip ist zuerst von Foucault¹⁾ angewandt worden; das von ihm angegebene Meßinstrument besteht im wesentlichen aus einem um eine senkrechte Achse drehbaren Kreisstrom und einer in dessen Mitte aufgehängten kleinen Magnetnadel mit Feilkerne, so hat wegen der durch Gleichung (3) ausgedrückten Proportionalität zwischen Stromstärke und Tangente des Ablenkungswinkels den Namen "Tangentenbusssole" erhalten.

Fig. 377 zeigt eine einfache Ausführungsform der Tangentenbusssole; ein Kupferband o ist kreisförmig gelagert bis auf die Enden ab und cd , die nahezu parallel zueinander und durch einen Eisenbleistreifen isoliert verlaufen und in zwei Klammern endigen. In der Mitte des Kreises befindet

¹⁾ U. N. 4. 267 (1832).

h die in Fig. 378 besonders abgebildete kurze Nadel *AN* mit einem über
am Teilkreis stehenden Zeiger *ii*. Die ganze Vorrichtung ist mittels

Fig. 377.



den konischen Zapfen in einem Dreifuß drehbar. Eine für sehr genaue
Messungen eingerichtete Busssole nach F. Kohlrausch¹⁾ zeigt Fig. 379; die

Fig. 378.



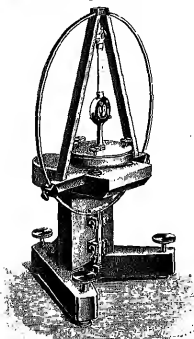
ablesung erfolgt mittels Spiegel und Skala²⁾. Für Vorlesungszwecke ist
die in Fig. 380 abgebildete Busssole nach Hartmann u. Braun konstruiert.

¹⁾ Wied. Ann. 15, 552 (1882). Fabrikant: Hartmann u. Braun, Frankfurt a. M.

²⁾ Die Spiegelablesung wurde zur Strommessung zuerst von W. Weber (im Jahre 1833) angewandt.

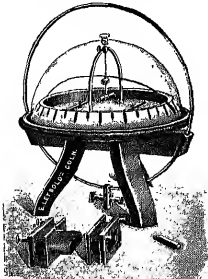
Sie entsteht aus dem in Fig. 47 abgebildeten Magnetometer durch Hinzufügung des auf einem hölzernen Fuße befestigten Leiterkreises (vgl. auch Fig. 374).

Fig. 376.



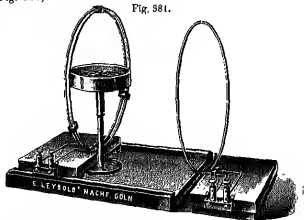
Für unsere folgenden Versuche über die Wirkungsweise der Tangentenbusssole, namentlich über die Richtung des Stromfeldes,

Fig. 380.



über seine Abhängigkeit von der Größe des Leiterkreises und von seiner Windungszahl ist eine von E. Grimschl¹⁾ herrührende Anordnung sehr geeignet (Fig. 381):

Fig. 381.



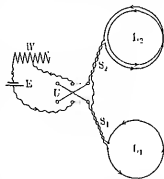
Von zwei auf einem hölzernen Schlitten verschiebbaren Stromkreisen besteht der eine aus einer Windung, der andere aus zwei eng nebeneinander

¹⁾ Physik. Zeitschr. 3, 462 (1902). [Fabrikanten E. Leybold, Nachf., Köln; A. Krüss, Hamburg.

verlaufenden kreisförmigen Windungen von 10 cm Radius. Beide Kreise lassen sich so auf den Schlitten aufschieben, daß eine ähnlich wie in Fig. 378 gebaute Magnetnadel sich genau im Mittelpunkt der Windungen befindet.

Fig. 382 zeigt die Art der Einschaltung in den Stromkreis; es bedeutet: E ein galvanisches Element von möglichst konstanter Wirkung (am besten ein Akkumulator), W einen Regulierwiderstand von etwa 10 Ohm, U einen Stromwandler, S_1 und S_2 zwei Doppelleitungsschnüre von etwa 2 m Länge, I_1 und I_2 die beiden Kreisleiter.

Fig. 382.



An Stelle der Doppelleitungsschnüre können auch gewöhnliche zusammengedrehte Drähte benutzt werden. Durch die Verdrehung wird bewirkt, daß keine störende Wirkung der Zuleitungen auf die Magnetnadel stattfindet; denn da in den dicht nebeneinander verlaufenden Drähten der Strom gleiche Stärke, aber entgegengesetzte Richtung hat, so heben sich die Wirkungen auf.

Erster Versuch: Wir bringen beide Kreisleiter auf den Schlitten und stellen sie so, daß die Kreisebene parallel dem magnetischen Meridian, also parallel der Nadel liegt. Schließen wir dann einen Strom in gleicher Richtung durch beide Leiter, so erfolgt eine Ablenkung der Nadel.

Wir unterbrechen den Strom und drehen das ganze Gestell so, daß die Kreisebene senkrecht zum magnetischen Meridian, d. h. senkrecht zur Richtung der unabgelenkten Nadel steht. Schließen wir jetzt den Strom, so erhalten wir keine Ablenkung, das Stromfeld ist jetzt also dem Erdfeld parallel gerichtet, oder:

C. Das Feld eines Kreisstromes im Mittelpunkte des Kreises steht senkrecht auf der Kreisebene.

Daraus folgt, daß Gleichung (3) gilt, wenn wir die Kreisebene parallel zum Meridian stellen.

Zweiter Versuch: Wir bringen zuerst den einfachen Kreisleiter I_1 mit seiner Ebene parallel dem magnetischen Meridian über die Nadel, während wir den ebenfalls in den Stromlauf eingeschalteten doppelten Kreisleiter I_2 so weit wie möglich entfernen, so daß er keine merkliche Einwirkung auf die Nadel ausübt. Auch den Widerstand W entfernen wir möglichst von der Nadel, um eine magnetische Einwirkung seiner Drahtwindungen auszuschließen.

Von der Abwesenheit störender Einflüsse des ganzen übrigen Leiterkreises, außer I_1 selbst, überzeugen wir uns einfach dadurch, daß wir die Enden der Doppelleitung S_1 von I_1 trennen und untereinander verbinden; I_1 ist jetzt völlig ausgeschaltet, und der nunmehr bloß im übrigen Kreise fließende Strom darf keinen Ausschlag der Nadel hervorbringen. Eventuell können wir durch geeignete Drehung von W und I_2 für Verschwinden des etwa noch vorhandenen Ausschlages sorgen.

Wir lassen jetzt einen Strom durch die Leiter fließen und erhalten zunächst einen von I_1 allein herrührenden Ausschlag φ_1 . Dann entfernen wir, ohne am Stromlauf etwas zu ändern, I_1 und schieben I_2 auf; es entsteht ein größerer Ausschlag φ_2 . Endlich schieben wir auch I_1 wieder auf,

der abermals vergrößerte Ausschlag betrug jetzt q_3 . Die drei Ausschläge sind bei gleich bleibender Stromstärke, aber verschiedenen Windungszahlen des Kreisstromes, die in Verhältnis 1:2:3 stehen, erhalten. Folgende Tabelle enthält die Resultate einer ausgeführten Beobachtung:

Windungszahl n	Ablenkung α	$\lg p$	$n: \lg p$
1	22,1	0,40	2,50
2	38,5	0,80	2,50
3	50,0	1,19	2,52

Zu ganz ähnlichen Resultaten gelangen wir, wenn wir durch geeignete Verschiebungen des Nagnirwiderstandes der Stromstärke kleineren oder größeren Werte geben; stets ist $n \lg p$ konstant, oder:

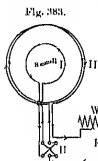
D. Es besteht bei gleicher Stromstärke Proportionalität zwischen der Windungszahl und der Tangente des Ablenkungswinkels.

Oder wegen Gleichung (1):

E. Das Magnetfeld eines aus mehreren Windungen bestehenden Kreisstromes ist der Windungszahl proportional.

Da wir die Stromstärke oben durch Induktion proportional dem Stromableger setzen durften, so folgt, daß n von gleichen Strömen durchflossene Windungen die selbe Wirkung ausüben wie der n -fache Strom in einer einzigen Windung. Dieses experimentelle Ergebnis zeigt, daß unsere Definition II sehr zweckmäßig gewählt ist; denn ebenso, wie sich das Feld mehrerer Ströme hier als die Summe der von jedem von ihnen herrührenden Einzelfelder ergibt, so können wir umgekehrt auch in Gedanken jeden oben durchfließenden Strom in eine beliebige Anzahl von einzelnen „Stromfäden“ zerlegt denken und entsprechend dem Strömfeld in eine Summe von Einzelfeldern zerlegen, die von den einzelnen Fäden herrühren. Eine derartige Zerlegung ist bei manchen theoretischen Betrachtungen sehr zweckmäßig.

Dritter Versuch: Wir stellen die Tangentenbussole I mit einfachem Leiterring so auf eine Unterlage, daß wir sie mit einem aus zwei Windungen vom doppelten Radius bestehenden Kreis II konzentrisch umgeben können (Fig. 383), und leiten den Strom in entgegengesetzter Richtung durch die beiden Kreise.



Die Wirkung auf die Nadel ist Null. Zur Kontrolle kehren wir den Strom im Äußeren oder im inneren Kreise allein um und erhalten einen kräftigen Ausschlag. Da der doppelt gewundene Kreis ebenso wirkt wie ein einfacher mit doppelter Stromstärke, so folgt, daß im Mittelpunkt eines Kreises vom Radius $2r$ ein Strom von der Stärke $2J$ dieselbe, ein Strom J also eine halb so große Wirkung ausübt wie der Strom J im Mittelpunkt eines Kreises vom Radius r . Mit anderen Worten:

F. Das magnetische Feld im Mittelpunkt eines Kreisstromes ist dem Radius des Kreisstromes umgekehrt proportional.

Besohlen wir also mit n die Windungszahl, mit r den Radius der Tangentenbussole und mit J die Stromstärke, so erhalten wir als mathematischen Ausdruck der gefundenen Sätze:

$$H = k \cdot n \cdot I / r \quad . \quad . \quad . \quad . \quad . \quad . \quad (4)$$

und

$$I g q = H' H_0 = k \cdot n \cdot I / r H_0 \quad . \quad . \quad . \quad . \quad . \quad . \quad (5)$$

oder

$$I = r H_0 \cdot I g q / k n \quad . \quad . \quad . \quad . \quad . \quad . \quad (6)$$

Gleichung (6) enthält eine Definition der „elektromagnetischen Stromeinheit“, wenn eine geeignete Fortsetzung über die Größe des Faktors k getroffen wird.

Aus Gründen, die mit der Formulierung der im Kapitel VIII zu besprechenden elektromagnetischen Grundgesetze zusammenhängen, ist es praktisch

$$k = 2 \pi \quad . \quad . \quad . \quad . \quad . \quad . \quad (7)$$

zu setzen, so daß man erhält:

$$H = 2 \pi n I / r \quad . \quad . \quad . \quad . \quad . \quad . \quad (8)$$

und

$$I = \frac{r \cdot H_0}{2 \pi n} \cdot I g q \quad . \quad . \quad . \quad . \quad . \quad . \quad (9)$$

Durch Gleichung (8) ist die elektromagnetische Stromeinheit folgendermaßen definiert:

1. Stromeinheit ist derjenige Strom, der im Mittelpunkt eines Kreiskreises von 1 cm Radius ein magnetisches Feld von der Stärke 2π erzeugt¹⁾.

Gleichung (9) gibt an, wie man aus der Ablenkung der Nadel einer Tangentenboussole von gemessenen Dimensionen und dem unterwiegend bestimmten Werte der Horizontalintensität des Erdfeldes die absolute Stärke eines Stromes bestimmen kann. Wir wollen die absoluten elektromagnetischen Einheiten als „CGS-Einheiten“ bezeichnen, zum Unterscheid von den früher definierten „elektrostatischen“ oder „E“-Einheiten.

Die absolute CGS-Einheit des Stromes ist für die Praxis un bequem groß, da Ströme von etwa 2 Einheiten bereits die Grenze der bei gewöhnlichen Laboratoriumsversuchen vorkommenden Intensitäten darstellen. So hat z. B. der Strom einer Projektionsbogenlampe etwa eine Stärke von 1 bis 2 Einheiten.

Man hat deshalb eine „praktische Einheit“ definiert, die gleich $\frac{1}{10}$ der absoluten Einheit ist und als ein „Ampere“ — abgekürzt: 1 A — bezeichnet wird²⁾. Es ist also

$$1 \text{ Ampere} = 0,1 \text{ absolute Einheiten,}$$

oder abgekürzt:

$$1 \text{ A} = 0,1 \text{ CGS-E.}$$

¹⁾ Der Urheber dieser Definition ist W. Weber (H. Kohlrausch und W. Weber, Elektrodynamische Maßbestimmungen IV, Leipzig 1856); es ist deshalb bedauerlich, daß für die weiter unten definierte praktische Stromeinheit der Name Ampere und nicht Webers gewählt worden ist. Weber benutzte übrigens Milligramm und Millimeter als Einheiten, so daß seine Stromeinheit 100mal kleiner war als die jetzige.

²⁾ Internationaler Elektrotechniker-Kongreß, Paris 1881. Wied. Ann. 14, 708 (1881).

Bei Messung des Stromes in Ampere gehen die Gleichungen (8) und (9) über in:

$$H = \frac{0,2 \cdot \pi n J_A}{r} \quad \dots \dots \dots (8a)$$

$$J_A = \frac{10 r H_0}{2 \pi n} \cdot \operatorname{tg} \varphi \quad \dots \dots \dots (9a)$$

Die Ausdrücke:

$$C = r \cdot H_0 / 2 \pi n \quad \dots \dots \dots (10)$$

und

$$C_A = 10 \cdot r \cdot H_0 / 2 \pi n \quad \dots \dots \dots (10a)$$

bezeichnet man als „Reduktionsfaktoren“ der Tangentenbusssole auf absolutes bzw. auf praktisches Strommaß.

Bei sehr genauen Messungen muß der Umstand berücksichtigt werden, daß die Pole der Nadel sich nicht im Mittelpunkt des Stromkreises befinden und daß sie ferner durch die Ablenkung aus der Kreisebene heranstreten; wenn sich aber die Pole der Nadel bei verschiedenen Stromstärken an verschiedenen Stellen des Feldes befinden, so gilt die Proportionalität zwischen Feld und Stromstärke nicht mehr. Das Feld des Stromes nimmt von der Stromkreisebene nach außen hin ab, die Ablenkungen wachsen also langsamer als nach dem einfachen Tangentengesetz. (H. v. Helmholtz¹⁾ und Gauss²⁾ haben gezeigt, daß dieser Fehler bedeutend verkleinert wird, wenn man die Nadel außerhalb der Kreisebene in einem Punkte der Achse des Kreises aufstellt, der von seiner Ebene um $r/2$ entfernt ist.

Der Reduktionsfaktor einer solchen Helmholtz-Gauss'schen Tangentenbusssole lautet:

$$C = 1,397 \cdot r H_0 / 2 \pi n \quad \dots \dots \dots (11)$$

Die in Fig. 379 abgebildete Tangentenbusssole nach Kohlrausch gestattet eine derartige Verschiebung der Nadel aus der Windungsebene heraus.

Anwendungsbereich der Tangentenbusssole:

1. Relative Strommessung. Will man bloß Stromstärken miteinander vergleichen, ohne daß es auf Kenntnis des Absolutwertes ankommt, so kann eine Tangentenbusssole ohne weiteres dazu benutzt werden, falls ihre Windungszahl und ihr Windungsdurchmesser geeignet gewählt sind, so daß ein passender Ausschlag entsteht. Bei Ablesung an einer Gradteilung ist die prozentische Genauigkeit der Ablesung bei einem Ausschlag von 45° am größten. Für schwächerer Ströme wird man Spiegelablesung vorziehen.

Ist L der Abstand der Skala vom Spiegel, in Skalenteilen gemessen, und „der Ausschlag in Skalenteilen“, so ist der Drehungswinkel durch folgende Gleichung gegeben:

$$\varphi = [1/2 \cdot \operatorname{arc} \operatorname{tg}(n/L)] \quad \dots \dots \dots (12)$$

In Kohlrausch's Lehrbuch der praktischen Physik befindet sich eine Tabelle, mittels der die abgelesenen Ausschläge durch Subtraktion kleiner Korrekturen den Tangenten der Ablenkungswinkel proportional gemacht werden können. Solange n/L kleiner als $1/6$ ist, beträgt die Korrektur

¹⁾ Sitzungsber. d. physik. Ges. Berlin 1849.

²⁾ O. R. 36, 191 (1858). Pogg. Ann. 88, 442.

niger als 1 Proz., so daß man die Ströme meist ohne weiteres den Skalen-
einstellungen proportional setzen kann.

II. Absolute Strommessung. Zur Messung von Strömen in abso-
luten Maß muß man den Reduktionsfaktor C der Tangentenbussole kennen.
Zur Berechnung von C nach Gleichung (10) oder (10a) nötigen
sich r und u ohne weiteres messen bzw. zählen. Dagegen be-
steht die Bestimmung der Horizontalintensität des Erdmagnetismus H_0 einer
einmaligen besonderen Messung, da sich ja H_0 im Laufe der Zeit ändert.
Die Messung muß an demselben Orte angestellt werden, an dem nachher
die Tangentenbussole stehen soll, da in Laboratoriumströmen manchmal
einige Träger in der Wand oder eigene Gasrohre H_0 abnorme Werte
haben. Der Reduktionsfaktor ist also sowohl räumlich als auch zeitlich ver-
änderlich und eine absolute Strommessung mit der Tangentenbussole ist
größen Unbequemlichkeiten verknüpft.

III. Eichung von Strommessern. Wegen der oben erwähnten
Schwierigkeiten zieht man es im allgemeinen vor, Ströme von mehr als etwa
1 A nicht mit der Tangentenbussole zu messen, sondern mit anderen Instru-
menten, deren Angaben möglichst unabhängig vom Aufstellungsort und von
Zeit sind; die Skala dieser „technischen Strommesser“ (siehe
auch VIII) ist empirisch geeicht. Zu dieser einmaligen Eichung kann die
Tangentenbussole dienen; man schaltet diese mit dem zu eichenden Instrument
seriell in denselben Stromkreis, gibt dem Strom mittels eines Wider-
standes eine Reihe verschiedener Werte, für die man gleichzeitig beide
Instrumente abliest und erhält so zunächst eine relative Skala des zu eichenden
Instrumentes. Dann muß man noch eine Bestimmung von H_0 (s. § 25)
führen, um C zu berechnen und damit die Absolutwerte der Skala fest-
setzen.

Aber auch diese Idee einer auszuführenden absoluten Auswertung der Tan-
gentenbussole ist wegen der Unschärfe der H_0 -Bestimmung nicht Jedermann
klar und nur bei sehr großer Geschicklichkeit mit der Feinheit auszuführen,
der man die Skala eines Strommessers ablesen und verschiedene Strommesser
einander vergleichen kann. Man hat sich deshalb nach anderen Wirkungen des
Stromes umgesehen, die relativ einfacher zu messen sind und von zufälligen Veränderungen
frei sind und deren Vergleichung mit dem absoluten Strommaß durch besondere Vor-
richtungen sorgfältig ausgeführt ist. Eine derartige Wirkung des Stromes ist die
elektrolytische Zersetzung von Lösungen, die wir bereits in § 118 kennen gelernt haben.
Da, wie im Kapitel VII gezeigt worden wird, die Menge der in Lösung oder
auf der Elektrode abgeschiedenen Zersetzungsprodukte eines Elektrolyten dem
Strom und damit der Stromstärke und Zeit proportional ist, so kann man aus den in einer
bestimmten Zeit abgeschiedenen Zersetzungsprodukten die mittlere Stromstärke
berechnen und damit den Skalenwert eines in den Stromkreis
geschalteten Strommessers bestimmen. Über die Ausführung derartigen elektro-
lytischen Strommessungen und die dazu dienenden, „Voltameter“ genannten Apparate
vergleiche man, Kap. VII.

Über Strommessungen mit dem „Kompensationsapparat“ s. § 140.

Bei häufigen Anforderungen an die Genauigkeit genügt es natürlich,
die Tangentenbussole so aufzustellen, daß sie mindestens einige Meter von
den Eisenteilen entfernt ist und für H_0 den aus Tabellen (s. Kap. „Erd-
magnetismus“) zu entnehmenden Wert einzusetzen.

§ 119. Nadelgalvanometer. Mit dem Namen Galvanometer be-
zeichnet man jedes Instrument, das zur relativen Messung elektrischer

Ströme geeignet ist. Wir beschreiben zunächst nur die „Nadelgalvanometer“, so genannt, weil bei ihnen ein beweglicher Magnet, dessen Form allerdings von der einer Nadel vielfach stark abweicht, zur Messung des eines feste Spule durchfließenden Stromes dient.

„Spulengalvanometer“, bei denen eine bewegliche Spule im Felde eines festen Magneten schwingt, sollen in Kapitel VIII beschrieben werden.

Während bei der Tangentenbussole die Rücksicht auf Berechenbarkeit der Wirkung in absolutem Maße nur weite Windungen und damit nur ziemlich geringe Empfindlichkeit erlaubt, macht man bei den Galvanometern die Windungen so eng wie möglich, um eine möglichst große Empfindlichkeit zu erzielen.

Die Proportionalität zwischen der Tangente des Ablenkungswinkels und der Stromstärke ist bei Anwendung der Spiegelablesung einigermaßen erfüllt; denn die Bewegungen der Nadelenden sind meist klein gegen die kleinsten Abstände zwischen Nadel und Windungen, so daß man die durch die Nadelbewegung verursachte Änderung des auf die Nadel wirkenden Feldes vernachlässigen kann. Bei genaueren Messungen ist eine Kalibrierung der Skala mittels einer der weiter unten in § 186 beschriebenen Methoden anzuraten.

Wir beginnen mit einer Beschreibung der allen Nadelgalvanometern gemeinschaftlichen Hauptteile:

1. Die „Nadel“ oder das „Gehänge“ besteht aus dem Magnet, dem Spiegel und manchmal noch aus einer Dämpfungsvorrichtung (s. weiter unten, Abschnitt 4 dieses Paragraphen).

Die genannten Teile sind untereinander fest verbunden und an einem Korkfaden oder neuerdings auch an einem Quarzfaden¹⁾ aufgehängt.

Von verschiedenen Formen des Magneten seien außer der einfachen Nadelform noch genannt: Eine aufgeschlitzte Glocke (Siemenssche Glockenmagnet, Fig. 388 und 389); ein vertikal hängender Ring (Meyerstein, Edelmann, Fig. 390); eine vertikal hängende Scheibe (Wiedemann Fig. 391); mehrere parallel zueinander auf die Achse oder auf den Spiegel aufgeklebte aus einer Uhrfeder geschnittene kurze Nadeln (W. Thomson, du Bois und Rubens und andere).

Der Spiegel besteht aus einer möglichst dünnen, versilberten Glasscheibe und ist nach Bedarf eben oder konkav. Bei dem scheibenförmigen Wiedemannschen Magnet ist die Spiegelfläche direkt an einer Seite des Magneten angeschliffen²⁾.

2. Die Wickelung besteht aus mehr oder weniger zahlreichen voneinander isolierten Drahtwindungen, welche entweder in einer einzigen oder in mehreren getrennten Abteilungen auf einen oder mehrere Rahmen gewickelt sind. Die Drahtrahmen sind entweder ein- für allemal befestigt oder, was vorzuziehen ist, in verschiedenem Abstände von dem Magneten verstellbar und mit anderen Drahtspulen vertauschbar. Wenn die Wickelung aus mehreren Abteilungen oder Spulen besteht, so ist es zweckmäßig, jede Abteilung zu einem be-

¹⁾ Nach V. Boys.

²⁾ Ein ähnlicher Spiegelmagnet, aber mit seiner magnetischen Achse senkrecht zur Spiegelfläche, findet sich bereits bei W. Weber, Elektrodynamische Maßbestimmungen I, 18 (1848).

sonderen Klemmenpaar zu führen, so daß man nach Bedarf eine oder mehrere Spulen einschalten und auch die Spulen parallel oder hintereinander verbinden kann (s. auch § 133).

3. Die Ablesevorrichtung besteht, wenn genaue Messungen beobachtet sind, meist aus Fernrohr und Skala. Für geringere Ansprüche an Genauigkeit, sowie für Demonstrationen im Hörsaal benutzt man die sogenannte objektive Ablesung (Fig. 384 und 385). Das Licht eines er-

Fig. 384.

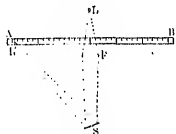


Fig. 385.

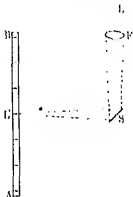
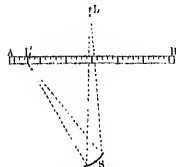


Fig. 386.



leuchteten Spaltes L oder noch einfacher, des Fadens einer Glühlampe oder Nernstlampe wird durch eine Linse F konvergent gemacht und fällt auf den Hohlspiegelspiegel S , von dem es auf eine Skala AB reflektiert wird, auf der bei richtiger Einstellung der Linse ein reelles Bild L' (s. Bd. II, § 78) der Licht-

quelle entworfen wird. Statt durch Linse und Planspiegel kann das Bild auch ohne Linse direkt durch einen konkaven (Hohlspiegelspiegel) entworfen werden (Fig. 386).

Die Vorderfläche der Skala hat man sich in den Figuren 384 bis 386 durch eine Drehung um 90° um ihre Längsachse senkrecht zur Zeichnungsebene gestellt zu denken.

4. Die Dämpfung. Um die Schwingungen des Magnets vor dem Eintreten der neuen Gleichgewichtslage abzukürzen oder ganz zu unterdrücken, werden Dämpfungsvorrichtungen angebracht. Dieselben beruhen entweder auf mechanischen oder auf elektromagnetischen Wirkungen.

Bei den mechanischen Dämpfungen wird die Nadel durch den Widerstand, den eine miterschwingende Platte in Luft¹⁾ oder in einer tropfbaren Flüssigkeit erleidet, in ihren Bewegungen aufgehalten.

Die häufiger angewendete elektromagnetische Dämpfung beruht auf der Rückwirkung von elektrischen Strömen, die der Magnet durch seine Bewegung

¹⁾ A. Töpfer, „Über einige Anwendungen der Luftreibung bei Messinstrumenten“. Wien. Ber. 1875; Pogg. Ann. 149, 416.

in umgebenden Leiteru erzeugt. Diese Ströme (Induktionsströme) werden wir später (Kap. IX) kennen lernen. Hier genügt zu wissen, daß diese Dämpfung desto stärker ist, je besser leitend nach Material und Form und je näher an Magnet gelegen die umgebenden Metallmassen sind. Man gibt ihnen die Form dickwandiger kupferner Gehäuse¹⁾. Vorteilhaft ist es auch, diese Metallmassen in verschiedene Abstände vom Magnet bringen zu können (regulierbare Dämpfung).

Die rascheste Einstellung der Nadel erreicht man, wenn man die Dämpfung so einreguliert, daß die Nadel ihre Bewegung gerade „aperiodisch“ ausführt, d. h. ohne Umkehrung ihrer Richtung in die neue Ruhelage hineingeht²⁾. Ist die Dämpfung geringer, so geht durch die Schwingungen Zeit verloren, ist sie größer, so „kriecht“ die Nadel unnötig langsam in ihre Ruhelage.

Da die zur Erreichung des aperiodischen Zustandes nötige Dämpfung nicht nur von der Gestalt der Nadel, sondern auch von der wirkenden Richtkraft abhängt, so muß man bei etwaiger Veränderung der Astasierung (siehe Abschnitt 5) eventuell auch die Dämpfung neu einregulieren.

5. Die Astasierung. Nur wenn man die allerhöchste Empfindlichkeit erreichen will, wendet man bei Spiegelgalvanometern astatische Nadelpaare an. Dagegen gebraucht man häufig zur mehr oder weniger weitgehenden Kompensation des Erdmagnetismus einen außerhalb des Instrumentes angebrachten „Richtmagneten“³⁾. Mittels desselben kann man nicht nur eine fast völlige Kompensation des Erdfeldes erzielen, so daß fast nur noch der Torsionswiderstand des Aufhängefadens die Nadel richtet, sondern man kann auch der Nadel jede beliebige Richtung erteilen, so daß man nicht nötig hat, die Windungsebene des Galvanometers parallel zum magnetischen Meridian zu stellen. Den Astasierungsgrad beurteilt man am besten aus der Schwingungszahl der Nadel (nachdem man, wenn nötig, die Dämpfung beseitigt hat). Je langsamer die Nadel schwingt, desto geringer ist die Richtkraft, desto größer die Empfindlichkeit.

Bei sehr hochgradiger Astasierung muß man darauf achten, daß der Aufhängefaden nicht tordiert ist; wenn nämlich die Richtkraft des Fadens größer ist als die des Magnetfeldes, so dreht sich die Nadel in Richtung der Endtorsion, bis sie anschlügt.

6. Schutzvorrichtungen gegen magnetische Störungen. Wenn sich die Richtung des auf die Nadel wirkenden Feldes ändert, so ändert sich auch ihre Ruhelage; finden diese Änderungen unregelmäßig und plötzlich statt, so ist eine genaue Ablesung unmöglich. Sehen wir von den meist langsamen und geringfügigen Änderungen des eigentlichen Erdfeldes ab, so kommen namentlich die von den elektrischen Straßenbahnen und sonstigen elektrischen Anlagen verursachten störenden Felder in Betracht.

Die Magnetfelder, die von den Elektromagneten der Straßenbahnmotoren und der zur Stromerzeugung dienenden Dynamomaschinen, ferner von den in den Drahlleitungen selbst und durch den Erdboden fließenden Strömen erzeugt werden, wirken in ganz unregelmäßiger Weise störend auf die Nadel

¹⁾ W. Weber, Elektrodynamische Maßbestimmungen I, 18 (1840), wendete als erster diese Dämpfungsmethode an einem Magnetometer an.

²⁾ E. du Bois-Reymond, Berl. Ber. 1869 u. 1870.

³⁾ Melloni, Arch. de l'électr. I, 662 (1841).

eines Galvanometers ein. Ferner können auch an anderen Stellen des Laboratoriums erzeugte oder veränderte magnetische Felder störend einwirken.

Zum Schutz gegen derartige Störungen umgibt man sehr empfindliche Galvanometer mit Schutzschüllen aus Eisen¹⁾ (vgl. S. 47); zwei moderne Formen derartiger „Panzergalvanometer“ nach du Bois und Rubens zeigen die Fig. 397 und 398.

Ein sehr störender Uebelstand beim Gebrauch des Panzergalvanometers ist die „magnetische Nachwirkung“ im Eisengepanz. Nach jeder Vorstellung der Blödmagneten ändert sich auch der im Panzer induzierte Magnetismus und nimmt erst nach einiger Zeit einen konstanten Endwert an. Diese Änderungen machen sich durch ein „Wandern“ des Nullpunktes der Nadel bemerkbar.

Praktisch völlig frei von magnetischen Störungen sind die bereits erwähnten „Spulengalvanometer“ (weiter unten Kap. VIII).

7. Mechanische Störungen; Juliusssche Aufhängung. Die sehr leichten Nadeln hochempfindlicher Galvanometer geraten auch durch mechanische Erschütterungen, die z. B. durch vorbeifahrende Wagen oder auch bloßes Gehen im Beobachtungszimmer erzeugt werden, in störende Schwingungen. Diese Bewegungen werden, wie Julius²⁾ gezeigt hat, beträchtlich verringert und praktisch so gut wie unschädlich gemacht, wenn man das Galvanometer an drei möglichst dünnen und langen Stahldrähten aufhängt. Fig. 399 auf S. 396 (nach Siemens u. Halske mit du Bois-Rubens'schem Panzergalvanometer) zeigt eine derartige Aufhängung, doch hat man sich die Mühe viel Mühe zu denken; die Regulierungssehranten dienen dazu, den Schwerpunkt der ganzen an den Drähten hängenden Masse genau in die Ebene der unteren Drahtenden zu bringen, da in dieser Lage der Schutz am größten ist. Zur Dämpfung der Pendelschwingungen des Ganzen dient ein in Öl tauchendes Blechkreuz.

Ausführungsformen:

Des historischen Interesses halber sei erwähnt, daß die ersten Spiegelgalvanometer W. Webers Magnete von einem halben bis zu mehreren Kilogrammen Gewicht besaßen, die an etwa 1 m langen mehrfachen Seidenfäden hingen; die Skala befand sich in mehreren Metern Entfernung; die Schwingungsdauer des völlig ungedämpften Magneten betrug etwa 14 Sekunden, so daß die Ablenkungen nur aus den Umkehrpunkten der schwingenden Nadeln errechnet werden konnten. Die außerordentliche Genauigkeit, durch die sich die Untersuchungen Webers auszeichneten, konnte bei Anwendung dieser unhandlichen und untransportablen Instrumente nur unter Aufwendung großer Geduld und umfangreicher Rechnungsarbeit erreicht werden.

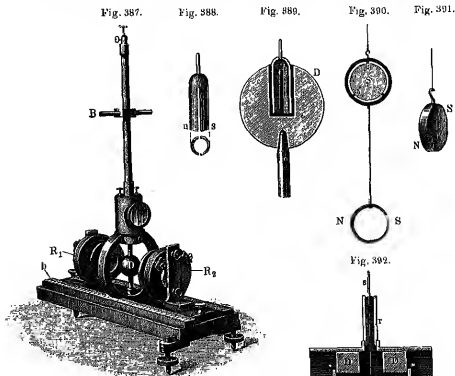
Bereits mehr den jetzigen Anforderungen an Bequemlichkeit der Handhabung entsprechend ist das Galvanometer von G. Wiedemann³⁾, das in seinen Einzelheiten später mannigfach veränderte worden ist. Fig. 387 zeigt es in einer Ausführung von Edelmann in München. Der Glockenförmige Magnet (Fig. 388 und 389) schwingt in einer dämpfenden Kupferfalle *D*. Die beiden Spulen *H*₁ und *H*₂ sind längs einer Skala *b* verschiebbar und gegen solche mit anderer Windungszahl vertauschbar, so daß die Empfindlichkeit in weitesten Grenzen geändert werden kann. Wenn auch die

¹⁾ F. Dronn, *Zentralz. f. Optik u. Mechanik* 4, 129 (1883). *Reich. d. Ann. d. Phys.* 7, 780 (1888).

²⁾ *Wied. Ann.* 56, 151 (1895).

³⁾ *Pogg. Ann.* 80, 504 (1853). *Elektrizität* II, S. 297, 3. Aufl.

Dämpfung veränderlich sein soll, so benutzt man an Stelle des Glockenmagneten besser den in Fig. 390 dargestellten Ringmagneten oder den



Wiedemannschen Scheibenmagneten (Fig. 391) und ordnet den Dämpfer in Gestalt zweier verschiebbarer Kupferringe *D* an (Fig. 392).

Zur Aestasierung und Nullpunktseinstellung dient der Richtmagnet *B*. Durch seine weitgehende Verstellbarkeit bildet das Wiedemannsche Galvanometer bei nicht zu großen Ansprüchen an die Empfindlichkeit eine Art von Universalinstrument.

Sehr bequem durch seinen geringen Raumbedarf und leicht transportabel ist das Galvanometer von F. Kohlrausch¹⁾ (Fig. 393 bis 395). Der mit angeschlossener Spiegelfläche versehene Scheibenmagnet *m* hängt an einem Kokonfaden, der zuerst durch eine kleine Öse geht und auf ein Hölchen *r* aufgewickelt wird. Der aus elektrolytischem Kupfer hergestellte verschiebbare Dämpfer, Fig. 395, paßt in den Windungsrahmen und wird, wenn volle Dämpfung verlangt wird, bis zu einem Anschlag über den Magnet geschoben, den eine zylindrische Hölzung aufnimmt. Die Drahtwindungen bestehen aus zwei Paaren von Lagen dicken und dünnen Drahtes, die so bewickelt sind, daß man über die relativen Empfindlichkeiten 1, 2, 10 und 20 verfügt. Die

¹⁾ Wien. Ber. 67, 101. Fabrikant: Hartmann u. Braun, Frankfurt a. M.

inneren Widerstände der Drahtrollen betragen je nach Kombination ungefähr $\frac{1}{4}$, $\frac{1}{2}$, $1\frac{1}{2}$, 2, 5, 50 (Ohm).

Als Stammform der neuesten Konstruktionen von Nadelgalvanometern kann das Instrument von W. Thomson betrachtet werden, das im Jahre 1858 zuerst bei der transatlantischen Kabeltelegraphie gebraucht, an Empfindlichkeit die damals bekannten Galvanometer um mehr als das 1000fache

Fig. 393.

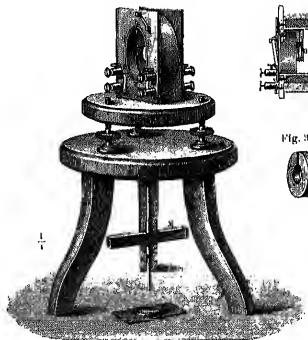


Fig. 394.



Fig. 395.



übertraf. Fig. 396 zeigt das Instrument mit abgenommenen Glaschülle; von den vier in Solenoiden beweglichen Drahtspulen sind die vorderen beiden aufgeklappt, um die astatische „Nadel“ sichtbar zu machen. Die Magneto bestehen aus je drei bis vier nur wenige Millimeter langen Uhrfederstreifen, die teils auf die Rückseite des zwischen den oberen Spulen schwingenden Spiegels *a*, teils auf ein als Luftkammer dienendes Glimmer- oder Aluminiumblech *b* geklebt sind, das zwischen den unteren Spulen schwingt. Die ganze Nadel mit ihrer aus Aluminiumdraht bestehenden Achse wiegt nur Bruchteile eines Grammes.

Das Thomsonsche Galvanometer wurde später von du Bois und Rüchens²⁾ beträchtlich verbessert. Der Kokonfaden wurde durch einen Quarzfaden ersetzt, wodurch bessere Konstanz des Nullpunktes und weitgehendere Astasierungsmöglichkeit erzielt wurde. Das Gewicht des Magnetensystems wurde noch weiter verringert; das leichteste System wiegt nur noch etwa 100 μ g. Endlich wurde die Solenoidbewegung der Spulen durch Aufwickeln auf Führungslifte ersetzt, die gleichzeitig auch den Kontakt mit

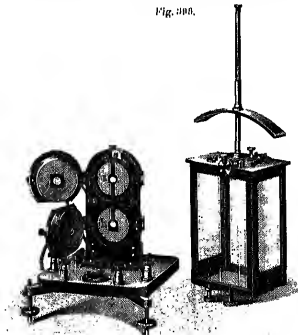
¹⁾ Über die Widerstandseinheit, das „Ohm“, s. weiter unten § 122.

²⁾ Wied. Ann. 48, 838 (1868).

den Zuleitungen vermitteln; dadurch wurde es ermöglicht, Spulen verschiedener Windungszahl rasch gegeneinander auszuwechseln. Außer dem vier-spuligen statischen, wurde auch noch nach demselben Konstruktionsprinzip ein zweispuliges Galyvanometer mit einfacher Nadel gebaut. Ferner hat Szymanski ein vereinfachtes Schulmodell des vier-spuligen Instrumentes angegeben¹⁾.

Von einer Abbildung des ursprünglichen du Bois-Rubensschen Galyvanometers sehen wir ab, da es von denselben Autoren einige Jahre später²⁾

Fig. 386.



noch weiter verbessert wurde durch Umwandlung in das gegen magnetische Störungen geschützte Panzorgalyvanometer.

Fig. 387 zeigt das vier-spulige statische Panzorgalyvanometer nach Fortnahme des zylindrischen äußeren Stahlpanzers. Die Spulen selbst befinden sich an den inneren halbkugelförmigen Stahlbohlen, die einen zweiten, inneren Panzer bilden. Der Spiegel ist, abweichend von den meisten anderen Konstruktionen, links Erzielung größerer Stabilität der leichten Nadeln am unteren Ende derselben angebracht.

Fig. 388 zeigt das nach gleichem Prinzip gebaute zweispulige Kugelpanzorgalyvanometer in teilweise demontiertem Zustande. Wegen der starken Schirmwirkung der Panzer sind außer den beiden äußeren noch zwei innere Hohlmagnete angebracht. Drehung der beiden Magnete eines Paares in entgegengesetzter Richtung wirkt bloß stärkend oder schwächend auf deren Hohlkraft; Drehen in gleicher Richtung wirkt verändernd auf den Null-

¹⁾ Patbkant: Kaiser u. Schmidt, Berlin.

²⁾ Ztschr. f. Instrumentenk. 1900, Patbkant: Siemens u. Halske, Charlottenburg.

punkt der Nadel. Fig. 309 zeigt das Kugelpanzergalvanometer in Julius-scher Aufhängung (s. oben) im Inneren eines dritten zylindrischen Panzers, der gleichzeitig als Transportgehäuse dient.

Fig. 307.

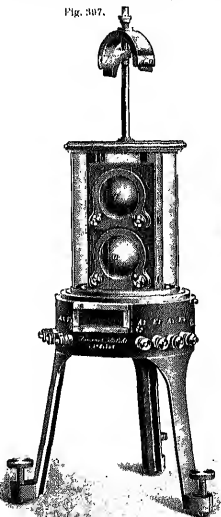


Fig. 308.



Die Magnetgehäuse haben inklusive Spiegel bei dem vier-spuligen Instrument Gewichte von 800 bzw. 60 mg, bei dem zweispuligen von 165 bzw. 80 mg.

Noch leichtere Magnet-systeme von nur 5 bzw. 2 mg (Gewicht einschließlich Spiegel haben F. Paschen¹⁾ und V. Hays hergestellt.

Es braucht wohl kaum be-sonders bemerkt zu werden, daß das Arbeiten mit diesen äußerst empfindlichen Instru-

menten ganz besondere Vorsicht und Sachkenntnis erfordert; näheres über die Handhabung erfährt man aus den zitierten Originalbeschreibungen.

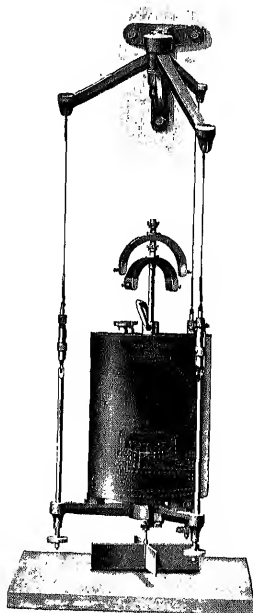
War die geeignete Wicklungsmethode des Galvanometers, da viele dünne oder wenige dicke Windungen, s. weiter unten § 183. Über Methoden zur Empfindlichkeitsbestimmung und Gradierung der Skala s. § 186. Bei Galvanometern mit geringem inneren Widerstand und großer Empfindlichkeit treten manchmal thermoelektrische Ströme störend auf; man vermeidet sie dadurch, daß man alle Stellen, wo verschiedene Leiter aneinandergrenzen, sorgfältig in Watte verpackt. Die stromführenden Teile des Galvanometers selbst, einschließlich Klemmen, sollen nur aus Kupfer bestehen.

¹⁾ Wied. Ann. 48, 279 (1893) u. 50, 415 (1893).

Nebenschlüsse:

Um hochempfindliche Galvanometer auch für stärkere Ströme benutzen zu können, bringt man nach dem Vorgange von W. Weber¹⁾ sogenannte

Fig. 400.



schiedenen Stromkreisen fließender Ströme die Stromstärke selbst zu kennen braucht.

¹⁾ Elektrodynamische Meßmaschinen I, 21 (1844)

Fig. 400.

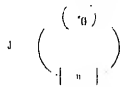
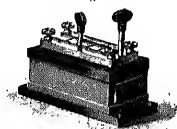


Fig. 401.



„Nebenschlüsse“ an, durch die der größte Teil des zu messenden Stromes fließt, während nur ein Bruchteil durch das Galvanometer selbst fließt. Fig. 400 zeigt die Schaltung. Man wählt den Widerstand des Nebenschlusses meist so, daß der das Galvanometer durchfließende Zweigstrom $\frac{1}{10}$, $\frac{1}{100}$ usw. des Gesamtstromes beträgt. Fig. 401 zeigt einen Nebenschluß, der so eingerichtet ist, daß die gewünschten Empfindlichkeiten durch Einstellen eines Stöpsels eingestellt werden. Über die Berechnung dergleichen Nebenschlüsse s. weiter unten § 166, Abschnitt b.

Differentialgalvanometer:

Bei manchen elektrischen Meßmethoden (s. § 130) kommt es darauf an, die genaue Gleichheit zweier gleichzeitig in verlaufenden Strömen, ohne daß man

Dies geschieht am besten mit

den „Differentialgalvanometer“¹⁾, das aus einem Galvanometer mit zwei möglichst gleichen Wickelungen besteht, durch die man die zu vergleichenden Ströme in entgegengesetzter Richtung hindurchschickt; bei Gleichheit der Stromstärken heben sich ihre Wirkungen auf und die Nadel bleibt in Ruhe.

Bei geringen Anforderungen an Genauigkeit kann man jedes der oben beschriebenen Galvanometer, die ja alle mindestens zwei gleiche Spulen haben, als Differentialgalvanometer benutzen. Doch hat die Anordnung der beiden Wickelungen auf getrennten Spulen den Nachteil, daß die genaue gegenseitige Aushebung der Wirkungen nur dann erfolgt, wenn die Spulen auch genau symmetrisch zur Nadel stehen; kleine Neigungen des Instrumentes können die Kompensation schon vernichten. Größere Genauigkeit erreicht man durch „bifilare Wickelungen“, d. h. durch Aufwickelung zweier parallel laufender Drähte auf denselben Rahmen. In dieser Weise ist z. B. das oben beschriebene Kohlrauschsche Galvanometer gewickelt. Dann muß bei jeder beliebigen Nadelstellung die Wirkung von zwei die Drähte in entgegengesetzter Richtung durchfließenden gleichen Strömen gleich Null sein. Man überzeugt sich von der Richtigkeit eines Differentialgalvanometers dadurch, daß ein einziger die beiden Wickelungen in entgegengesetzter Richtung hintereinander durchfließender Strom die Nadel unabgelenkt läßt.

Ballistisches Galvanometer:

In manchen Fällen, z. B. bei der Untersuchung von Induktionsströmen (s. weiter unten Kap. IX), kommt es darauf an, nicht einen konstanten Strom, sondern nur einen kurz dauernden Stromstoß zu messen. Fließt ein solcher Stromstoß nur während einer Zeit, die kurz ist gegen die Schwingungsdauer der Galvanometernadel, so besteht seine Wirkung einfach darin, daß nach Ablauf des Stromstoßes die Nadel zwar eine gewisse Geschwindigkeit erlangt, sich aber noch nicht merklich aus ihrer Ruhelage entfernt hat; die Weiterbewegung der Nadel findet dann nur vorüber ihrer Teilzahl statt. Es läßt sich zeigen, daß der entstehende erste Ausschlag, also die Entfernung von der Ruhelage bis zu dem Punkte, in dem die Nadel ihre Bewegungsrichtung umkehrt, proportional der gesamten Elektrizitätsmenge ist, die während der Dauer des Stromstoßes durch das Galvanometer geflossen ist.

Man nennt ein zur Messung von Stromstoßen geeignetes Galvanometer ein „ballistisches“. Geeignet ist jedes Galvanometer, dessen Schwingungsdauer groß ist im Vergleich zur Dauer der in Betracht kommenden Stromstoße. Bei Induktionsversuchen dürfte eine halbe Schwingungsdauer von etwa 10 Sekunden meist genügen. Die Dämpfung nimmt man möglichst gering, um die der Nadel erteilte Bewegungsenergie möglichst auszunutzen.

Bei gar nicht oder sehr schwach gedämpfter Nadel gilt zwischen der Dauer einer halben Schwingung T , der ballistischen Empfindlichkeit, d. h. dem Ausschlag für die Einheit der hindurchgehenden Elektrizitätsmenge, und der Stromempfindlichkeit, d. h. dem Ausschlag für einen konstanten Strom von der Stärke Eins, die Beziehung:

$$\text{Ballistische Empfindlichkeit} = \pi T \cdot \text{Stromempfindlichkeit} \quad (1)$$

¹⁾ Becquerel, Ann. de chim. et phys. 32, 422 (1824).

Einheit der Elektrizitätsmenge ist hierbei diejenige Menge, die von der Stromeinheit in einer Sekunde transportiert wird.

Empfindlichkeitstabelle:

Da bei den verschiedenen Galvanometertypen die Art der Bewickelung und die Astasierung in weiten Grenzen veränderlich sind, so kann man eine Vergleichung der Empfindlichkeit nur ausführen, wenn man alle Galvanometer bei gleicher, durch Astasierung mittels des Richtmagnetes einregulierter Schwingungsdauer und bei einer bestimmten Normalwicklung vergleicht. Für andere Schwingungsdauern und andere Wickelungen läßt sich dann die Empfindlichkeit leicht berechnen.

Sind etwa für ein bestimmtes Galvanometer zwei Wickelungen von äußerlich gleicher Gestalt gegeben, von denen aber die eine doppelt so viele Windungen hat wie die andere, so wird die erstere auch die doppelte Stromempfindlichkeit besitzen. Da der Draht dieser Wickelung die doppelte Länge und den halben Querschnitt besitzt, so hat er nach dem Ohmschen Gesetz den vierfachen Widerstand der anderen Wickelung; die Stromempfindlichkeit eines Galvanometers für verschiedene äußerlich gleichgestaltete Wickelungen ist also der Quadratwurzel aus dem Widerstande der Wickelungen proportional. Ferner ist das Quadrat der Schwingungsdauer der Richtkraft, die die Nadel in ihre Ruhelage zurückzuführen sucht, umgekehrt proportional; der von einem bestimmten Strom erzeugte Ausschlag ist ebenfalls der Richtkraft umgekehrt proportional; also ist die Empfindlichkeit eines gegebenen Galvanometers bei verschiedener Astasierung dem Quadrate der Schwingungsdauer proportional.

Bezeichnung des Instrumentes	Normalempfindlichkeit in Skalenteilen pro Mikro- ampere bei 10 ⁶ Schwin- gungsdauer, 1 Ohm Spulenwiderstand und 1000 Tm. Skalenabstand	Gemessene Empfind- lichkeit		Bemerkungen
		in Skalen- teilen pro Mikro- ampere	bei einem Wider- stand in Ohm	
Galvanometer n. G. Wiedemann . . .	—	10	400	Panzergalvanometer
„ o F. Kohlrausch . . .	—	2,5	50	
„ n W. Thomson . . .	42	3 550	7 000	
„ n du Bois n. Reichenz . . .	—	—	—	
a) zweispulig schwere Nadel . . .	80	1 100	200	
b) „ leichte „ . . .	800	11 000	200	Nadel mit Spiegel wiegt bloß 5 mg, Magnet 1 mm lang
c) vierspulig schwere „ . . .	160	3 200	400	
d) „ leichte „ . . .	1000	20 000	400	
Galvanometer n. Thomson-Paschen . .	4280	27 000	40	
Demonstrationsgalvanoskop n. Hartmann u. Braun	—	M.-Amp. 1° = 40	10	Ablesung der Ablenkung am Teilreiss, deshalb die Empfindlichkeit in Mikroampere pro Grad Ablenkung ausgedrückt
Galvanoskop n' Paschen	—	1° = 2	10	
Multiplikator n. Nobili-du Bois-Rey- mond	—	1° = 0,2 1° = 0,05	600 10 000	

In der vorstehenden Tabelle ist als „Normalempfindlichkeit“ nach den Vorschlägen von Ayrton und Mather¹⁾ und H. du Bois²⁾ der Ausschlag in Skalenstellen für einen Strom von $\frac{1}{1000000}$ Ampere = 1 „Mikroampere“ bezeichnet, wenn die Kalibrierung zwischen Spiegel und Skala 1000 Skalen-teile beträgt, der Widerstand der Wickelung gleich 1 Ohm und die Halbschwingungsdauer gleich 10 Sekunden ist. Bei einigen Instrumenten ist statt dessen auch die „geschätzte“ Empfindlichkeit neben dem wahren Widerstande angegeben; die Zahlen beziehen sich dann auf die mittels der Asta-birierungsmethode praktisch erreichbare Höchstepfindlichkeit.

Die experimentellen Methoden zur Empfindlichkeitsbestimmung setzen alle die Kenntnis der Gesetze der Stromverzweigung voraus und können deshalb erst später (§ 130) besprochen werden.

Beispiel für Anwendung der Tabelle:

Es soll die Stromempfindlichkeit eines zweifachen Paarergalvanometers mit schwerer Nadel bei 5" Schwingungsdauer und einem Spulenwiderstand von 2 : 5 = 10 Ohm bei 2000 Th. Skalenabstand berechnet werden. Aus der Normalempfindlichkeit zu erhält man die wahre Empfindlichkeit:

$$80 \cdot \frac{2000}{1000} \cdot \frac{5}{10} \cdot \sqrt{10} = 29,6 \frac{\text{Skalen-teile}}{\text{Mikroampere}}$$

Knapp sei noch auf eine vergleichende Studie über Galvanometer von Th. des Guignes³⁾ hingewiesen, die manches enthält, was hier übergegangen werden mußte

§ 120. Verhältniss der elektrostatischen zur elektromagnetischen Stromstärke. Haben wir früher (§ 116) gezeigt, daß man mit galvanisch erzeugter Elektrizität elektrostatische Wirkungen hervorbringen kann, so müssen wir nunmehr auch zeigen, daß das Fließen elektrostatisch erzeugter Ladungen durch einen Leitungsdraht magnetische Wirkungen hervorbringt, daß also wirklich der Vorgang im Schließungsdraht eines galvanischen Elements, der sich nach außen hin durch die Ablenkung einer Magnetnadel bemerkbar macht, mit dem in § 100 als „elektrischer Strom“ bezeichneten Entladungsvorgang wesensgleich ist. Wir haben schon in § 107 darauf aufmerksam gemacht, daß die von einer Elektrisiermaschine gelieferte Elektrizitätsmenge sehr klein gegen die von einer galvanischen Batterie gelieferte Menge ist. Deshalb lassen sich die magnetischen Wirkungen der elektrostatisch erzeugten Elektrizität nur mittels sehr empfindlicher Galvanometer nachweisen⁴⁾.

Wir verbinden die beiden Kondaktoren einer Influenzmaschine mit einem Galvanometer, das mindestens 1 Mikroampere zu beobachten gestattet, und setzen die Maschine in Bewegung. Ist die Empfindlichkeit des Galvanometers bekannt, so finden wir, daß der Strom der Maschine einen Ausschlag erzeugt, der je nach deren Größe und Umdrehungsgeschwindigkeit einem Strom von etwa 1 bis 100 Mikroampere entspricht. Bei einem Widermannschen Galvanometer mit vier hintereinandergeschalteten Spulen von je 100 Ohm Widerstand erhalten wir z. B. mit einer kleinen Winkelmagnetmaschine von etwa 20 cm Plattendurchmesser bei einer Kurbelumdrehung

¹⁾ Phil. Mag. (5) 30, 55 (1890); (5) 45, 349 (1898).

²⁾ Verh. d. Gem. Deutsch. Naturf. u. Ärzte, Wiesbaden 1898.

³⁾ Elektrische. Zeitschr. 3 (1897).

⁴⁾ Colladon, Pogg. Ann. 8, 393 (1826).

pro Sekunde einen Ausschlag von nur 10 bis 15 Skalentheilen. Dagegen würde selbst das schwächste galvanische Element, etwa ein Stückchen Zink und ein dünner Platindrht, zwischen den angefeuchteten Fingern und Zeigefinger je einer Hand gepreßt und mit den Zuleitungen des Galvanometers in Berührung gebracht, das Galvanometer schon über die Skala hinaustreiben.

Da andererseits (vgl. § 86) schon eine geringere Siegelackstränge Liniertheile von elektrostatischen Einheiten enthält und die Luftwegzunahme in jeder Sekunde eine noch vielmals größere Menge liefert, so folgt, daß ein Strom, der, in elektrostatischem Maß gemessen, Tausende von Einheiten beträgt, in elektromagnetischem Maße nur einen geringen Bruchtheil einer Einheit ausmacht.

Kann man die Ergiebigkeit der Elektrisirmaschine in elektrostatischen Einheiten pro Sekunde, sowie die Empfindlichkeit des Galvanometers in elektromagnetischen Einheiten, so kann man auch den elektromagnetischen Wert des durch das Galvanometer fließenden Maschinenstromes und erhält durch Division das Verhältnis der beiden Arten von Einheiten.

Dieses Verhältnis ist von einer großen Anzahl von Beobachtern nach verschiedenen Methoden bestimmt worden¹⁾. Das Mittel sämtlicher Beobachtungen beträgt:

$$\text{Elektromagnetische Stromeinheit} \quad \dots \dots \dots = 3,00 \cdot 10^{10} \quad \dots \quad (1)$$

$$\text{Elektrostatische Stromeinheit}$$

Von der angegebenen Größe dieser Zahl kann man sich eine Vorstellung machen, wenn man bedenkt, daß die elektrostatische Kapazität der Erdoberfläche gleich ihrem Radius ist, also $0,84 \cdot 10^8 \text{ cm}$ beträgt. Würde man also eine Kugel von der Größe der Erde auf eine Spannung von 50 oegs laden, was einer Funkenablagweite von etwa 4 mm entspricht, so würde diese ungeheure Ladung von $50 \cdot 0,84 \cdot 10^8 = 8,2 \cdot 10^{10}$ oegs gerade etwas über eine Sekunde lang einen Strom von einer elektromagnetischen (CGS-)Einheit liefern können. Um mit Elektrisirmaschinen einen derartigen Strom zu erzeugen, müßte man Tausende der stärksten Maschinen gleichzeitig wirken lassen.

Es ist eine auffällige Tatsache, daß die Zahl c genau gleich der Lichtgeschwindigkeit im Vakuum in Zentimetern pro Sekunde ist. Dies ist kein bloß zufälliges Zusammentreffen, sondern ist von fundamentaler Bedeutung für die Maxwell'sche Theorie, wie weiter unten Kapitel XI gezeigt werden wird.

Wir teilen an dieser Stelle noch eine einfach auszuführende experimentelle Bestimmung von c mit, obgleich ein Teil der Versuche, nämlich die Messung des Induktionsmoduls in elektromagnetischem Maß, erst weiter unten genauer mitgeteilt werden kann.

Ein Wiedemann'sches Induktionsmotor, dessen vier Spulen zu je 100 Ohm hintereinandergeschaltet waren, hatte eine Empfindlichkeit von 1 Skalentheil für $2,8 \cdot 10^{-7} \text{ A}$.
 $\therefore 2,8 \cdot 10^{-8} \text{ Oersted}$.

Eine kleine Wincobritzmaschine von 20 cm Scheibendurchmesser erzeugte in diesem Galvanometer bei einer Kurbelumdrehung pro Sekunde einen Ausschlag von 12,5 Skalentheilen $\therefore 35 \cdot 10^{-8} \text{ Oersted}$.

Um die Stromstärke der Maschine in elektrostatischem Maße zu ermitteln, wurde die Maschine mit einem Kohlradschleichen Luftkondensator (Fig. 185) verbunden und parallel zu diesem eine Funkenstrecke geschaltet. Die Länge der Funkenstrecke betrug 0,11 cm zwischen Kugeln von 0,5 cm Radius, der Abstand

¹⁾ Literatur s. Poincaré, Rapports du congrès d'Institut d. physique, Paris 1900.

der Kondensatorplatten betrug 0,21 cm, ihr Radius 7,5 cm. Daraus berechnet sich (Gleichung 3, § 90) die Kapazität des Kondensators zu 87 cm. Die Kapazität der übrigen Leiterplatte wurde zu etwa 10 cm geschätzt, so daß die gesamte Kapazität 77 cm betrug. Eine Entladung durch die Funkenstrecke tritt ein, wenn die Spannung 17 oer beträgt (s. Kohlrusch, Lehrb. d. prakt. Physik, 10. Aufl., Tab. 36). Bei jeder Umdrehung der Maschine sprangen neun Funken über, einer entladenen Elektrizitätsmenge von

$$q = 9 \cdot 77 \cdot 17 = 11800 \text{ oer}$$

entsprechend. Da der Maschinenstrom von 35,10–8 CGS ebenfalls bei einer Umdrehung pro Sekunde erhalten wurde, so ist e gleichmäßig die elektrostatische gemessene Stromstärke der Maschine. Es ist also

$$e = 11800 \cdot 10^9/35 = 3,4 \cdot 10^{10}$$

Das Resultat ist in Anbetracht der sehr rohen Ausführung der einzelnen Messungen ganz befriedigend.

Daß die erhaltenen Bestimmungen der Größe e zu (Klein-)Stromstärken Werten führten, obgleich die Stärken der von den einzelnen Beobachtern bei ihren Messungen verwandten Ströme sehr verschieden waren, zeigt uns, daß die in § 118 eingeführte Proportionalsetzung der Stromstärke mit dem Magnetfeld des Stromes ein sehr glücklicher Griff war. Ist J die Stromstärke in elektromagnetischem Maß, so ist die in elektrostatischem Maß gemessene Elektrizitätsmenge, die in der Zeit t den Draht durchfließt, gleich $J \cdot t \cdot c$.

Bemerkung für weitere Betrachtungen ist es offenbar, wenn wir auch eine neue „elektromagnetische Einheit der Elektrizitätsmenge“ einführen, damit, daß die in der Zeit t den Draht durchfließende Menge gleich $J \cdot t$ ist.

Diese neue Einheit der Elektrizitätsmenge ist offenbar c mal größer als die elektrostatische Einheit.

Wir können also an Stelle von Gleichung (1) auch schreiben:

$$\begin{array}{l} \text{Elektromagnetische Ladungseinheit} \\ \text{Elektrostatische Ladungseinheit} \end{array} = c = 3 \cdot 10^{10} \quad (2)$$

Auch hier hat man außer der absoluten CGS-Einheit noch eine praktische Einheit eingeführt, die gleich $1/10$ der absoluten ist und den Namen „Coulomb“ erhalten hat.

Ein Strom von J Ampere transportiert also in t Sekunden eine Elektrizitätsmenge gleich

$$J \cdot t \text{ „Coulomb“}.$$

§ 121. Ohmsches Gesetz; experimenteller Beweis desselben. Wenn auch aus der im vorigen Paragraphen nachgewiesenen Proportionalität zwischen elektrostatisch und elektromagnetisch gemessener Stromstärke hervorgeht, daß das Ohmsche Gesetz auch gelten mußte, wenn wir die Stärken der im § 100 bei seinem Nachweis gebrauchten sehr schwachen Ströme mit einem empfindlichen Galvanometer messen würden, so ist daraus doch nicht ohne weiteres zu schließen, daß es auch für die so außerordentlich viel stärkeren Ströme galvanischer Elemente gilt. Wir haben also die Nützlichkeit des Ohmschen Gesetzes für diese Ströme experimentell nachzuweisen.

Wir gebrauchen zu den folgenden Versuchen ein Apparat: 1. Ein Chronamperometer von der in Fig. 402 abgebildeten Form, bestehend aus Müller-Pouillet-Fluoridier. IV.

zwei rechteckigen hänglichen Glaskästen, dessen Querschnitt von den beiden Elektroden, einer Zink- und einer Kohlenplatte, möglichst ausgefüllt wird. Eine der beiden Platten ist parallel verschiebbar.

2. Zwei ähnliche Elemente wie das erste, aber mit nur halb so hängen Trög.

Da es bei den Versuchen weniger auf große Stromstärke als auf möglichst Freigabe von Elektrolyt (vgl. S. 322) ankommt, so benutze man als Elektrolyt eine Lösung von etwa 10 Proz. doppeltkohlensaurem Kali mit nur ganz wenig Schwefelsäure. Ferner schließe man bei den Versuchen den Strom nur stets so lange, als zur Ableitung unbedingt nötig ist.

Fig. 402.



Fig. 403.



Fig. 404.



3. Eine Tangentenbussole mit zwei nebeneinander, genau gleichen Wicklungen von je vier bis sechs Windungen aus Kupferdraht von etwa 2,5 mm Dicke.

4. Einen Quecksilberumschalter (Fig. 404) mit drei Napfen 1, 2, 3, von denen 1 mittels passender Drahtbügel entweder mit 2 oder mit 3 oder mit 2 und 3 gleichzeitig verbunden werden kann. Man kann statt dessen auch die drei Napfe *d*, *e*, *f* der in Fig. 389 abgebildeten „Wippe“ benutzen.

5. Etwa je 10 m Kupferdraht, Eisendraht und Neusilberdraht von 1 mm Durchmesser.

Im folgenden ist bei den einzelnen Versuchen die Art der Verbindung der einzelnen Teile untereinander nur schematisch angegeben. Man achte bei der Ausführung darauf, daß ähnlich wie auf dem Schema immer Hin- und Rückleitung des Stromes dicht nebeneinander liegen, um störende Wirkungen der Leitungen auf die Tangentenbussole auszuschließen.

Erster Versuch. Wir verbinden die Platten *k* und *z* unseres großen Tröges durch zwei Drähte mit den beiden Klammern der einen Wicklung der Bussole und tauchen die Platten in den gefüllten Trög. Es entsteht ein Strom, der um so stärker wird, je tiefer wir die Platten eintauchen und je mehr wir sie voneinander schieben. Der Widerstand der Flüssigkeit im Trög hängt also offenbar von der Länge und dem Querschnitt der Flüssigkeitsleitung ab, er nimmt ab, wenn die Länge abnimmt und wenn der Querschnitt wächst. Ersetzt man die zunächst nur kurz genommenen Drähte nach und nach von mehreren Metern Länge, so beobachten wir eine Schwächung des Stromes, umso mehr, je endlich den Drahtquerschnitt, indem wir an Stelle jeden der langen dünnen Drähte einen gleich langen von größerem Querschnitt setzen oder aber mehrere dünne Drähte parallel miteinander verbinden, so erhalten wir wieder einen stärkeren Strom. Der Drahtwiderstand hängt also in ähnlicher Weise wie der Flüssigkeitswiderstand von Länge und Querschnitt ab.

gesamten Leitung zu untersuchen, stellen wir die in Fig. 406 dargestellte Schaltung her. Die beiden dicht bei einander befindlichen Wickelungen I und II der Tangentenbussole sind der Distanz halber in einigen Abstand gezeichnet. Wird Napf 1 mit 2 verbunden, so fließt der Strom nur durch die auf der linken Hälfte der Figur befindlichen Leitungen. Wird dagegen 1 mit 3 verbunden, so durchfließt der Strom auch die rechts befindlichen Leitungen, die so abgepaßt sind, daß die gesamte Drahtlänge gerade verdoppelt ist. Ziehen wir bei der zweiten Stellung nun auch noch die Elektroden des Elements auf den doppelten Abstand auseinander, so haben wir die gesamte Leitungslänge verdoppelt.



Wir finden, daß der Ausschlag der Nadel in beiden Fällen derselbe ist, da aber die Windungszahl der Tangentenbussole im zweiten Falle die doppelte ist, so ist der Reduktionsfaktor halbiert und die Stromstärke ist ebenfalls halbiert (vgl. Gleichung 9 und 10, § 118). Wir finden also:

A. Der Strom ist der Länge des Leitersystems umgekehrt proportional.

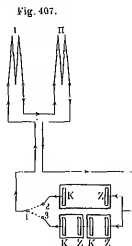
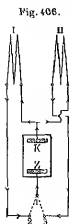
Dritter Versuch. Mit der in Fig. 406 dargestellten Schaltung können wir die Abhängigkeit des Stromes vom Querschnitt der Leitung untersuchen. Wir gießen zunächst den Trog nur halb voll und verbinden die Nöpfe 1 und 2, so daß der Strom nur durch die Wickelung I fließt. Der Ablenkungswinkel der Busssole sei φ_1 . Dann gießen wir den Trog ganz voll und verbinden durch einen zweiten Drahtbügel auch noch die Nöpfe 1 und 3. Der Strom hat jetzt die beiden völlig symmetrischen Wege durch I und II zur Verfügung, es muß also jeder Weg von der Hälfte des Gesamtstromes durchflossen werden und die Wirkung ist offenbar dieselbe, als wenn bloß eine einzige Leitung vom doppelten Querschnitt vorhanden wäre. Der Ablenkungswinkel sei φ_2 . Dann ergibt der Versuch, daß

$$\lg \varphi_2 = 2 \cdot \lg \varphi_1.$$

Die Stromstärke hat sich also verdoppelt; das bedeutet:

B. Der Strom ist dem Querschnitt des Leitersystems direkt proportional.

Vierter Versuch: Es bleibt noch die Abhängigkeit des Stromes von der elektromotorischen Kraft zu bestimmen. Mittels der Schaltung Fig. 407



können wir entweder den langen Trög mit ganz auseinandergeschobenen Platten oder ahor die beiden halb so langen Tröge einschieben. Der Widerstand ist in beiden Fällen derselbe, da die Länge aller Drahtleitungen und auch die gesamte Länge der Flüssigkeitskule unverändert geblieben ist. Die Beobachtung der Tangentenbussole ergibt im zweiten Falle die doppelte Stromstärke. Das heißt:

C. Die Stromstärke ist der elektromotorischen Kraft direkt proportional.

Wir können die drei gefundenen Sätze in eine einzige Gleichung zusammenfassen, wenn wir die EMK mit E , die Längen und Querschnitte der einzelnen verschiedenartigen Teile des Leiterkreises mit $L_1, L_2 \dots$ bzw. $q_1, q_2 \dots$ und mit $s_1, s_2 \dots$ den einzelnen Teilen zukommende spezifische Faktoren bezeichnen. Dann wird:

$$J = \frac{E}{s_1 L_1 / q_1 + s_2 L_2 / q_2 + \dots} \quad (1)$$

Gleichung (1) ist die Form, in der G. S. Ohm das nach ihm benannte Gesetz zuerst darstellte. Er nannte die im Nenner stehenden Summanden die „reduzierten Längen“ der einzelnen Leitungsteile. Jetzt bezeichnet man den Nenner als den gesamten „Widerstand“ der Leitung und die Summanden als die „Widerstände“ der einzelnen Leitungsteile.

Der Widerstand w eines Leiters von der Länge L und dem Querschnitt q hat also den Wert:

$$w = s \cdot L / q \quad (2)$$

(vgl. Gleichung 15, § 101), wobei s der sogenannte „spezifische Widerstand“, d. h. der Widerstand eines Leiters von der Länge Eins und dem Querschnitt Eins. Der Wert von s hängt noch von der Wahl der Einheit des Widerstandes ab.

Der Gesamtwiderstand W des ganzen Stromkreises setzt sich aus den einzelnen Widerständen additiv zusammen, so daß:

$$W = w_1 + w_2 + \dots \quad (3)$$

und

$$J = E / W = E / (w_1 + w_2 + \dots) \quad (4)$$

Das Ohmsche Gesetz ist von einer großen Anzahl von Forschern eingehend geprüft und bestätigt worden. Neueste Versuche von E. Lecher¹⁾ haben ergeben, daß Stromstärke und EMK einander proportional sind oder, was dasselbe bedeutet, daß der Widerstand metallischer Leiter konstant ist, von dem allerschwersten Strömen bis herauf zu Stromstärken von 80 Ampères (Veränderlichkeit $\frac{1}{1000}$).

Über weitere Folgerungen aus dem Ohmschen Gesetz, s. auch die §§ 131 u. 132.

§ 122. Einheit des Widerstandes. Als Einheit des Widerstandes hat zuerst Jacobi den Widerstand eines Kupferdrahtes von 1 m Länge und 1 mm Durchmesser vorgeschlagen. Es ergab sich aber bald, daß Widerstandesmaße, welche nach dieser Definition in verschiedenen Werkstätten angefertigt waren, bedeutende Differenzen zeigten, weil der Widerstand der Drähte selbst durch geringen Gehalt an fremden Metallen stark beeinflusst wird. Jacobi hat deshalb später²⁾ diesen ersten Vorschlag fallen lassen und einen ganz willkürlich gewählten Kupferdraht (er war 7,62 m lang und 0,607 mm dick), der nur durch Kupieren vervielfältigt werden sollte, zum Widerstandesmaße bestimmt und mehrere Kopien davon an verschiedene Physiker versandt, in der Meinung, daß sie sich dieses Maßes als elektrischer Widerstandseinheit bedienen sollten. Es zeigte sich aber bald, daß verschiedene Kopien dieses Maßes bis zu 8 Proz. voneinander differierten und daß selbst der Leitungswiderstand eines und desselben Exemplars nicht unverändert blieb. Ein brauchbares Maß muß aber vor allem die Eigenschaft der Unveränderlichkeit und der Reproduzierbarkeit besitzen.

Diese Bedingungen erfüllte die Siemenssche Quecksilbereinheit. Siemens³⁾ schlug nämlich vor, eine Quecksilbersäule von 1 m Länge und 1 mm Querschnitt bei 0° C zum Widerstandesmaße zu nehmen. Das Quecksilber als Normmetall hat den großen Vorzug, daß man es stets in genügender Reinheit erhalten kann, daß es von den Verwiderlichkeiten der Molekularzustände, welche feste Körper zeigen, unabhängig ist, und daß sein Leitungswiderstand viel weniger von der Temperatur abhängig ist als derjenige der anderen reinen Metalle.

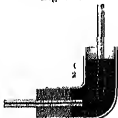
Die praktische Herstellung einer Siemensschen Quecksilberwiderstandes geschah so, daß man das sorgfältig gereinigte Quecksilber im Vakuum in eine möglichst zylindrische Glasröhre einzieht. Die Röhre liegt wagerecht und mündet an beiden Enden in ein Quecksilbergeläß (Fig. 408), in das ein dicker Kupferdraht (weniger ein amalgamierter Platindraht) als Zuleitung eintaucht. Das Ganze kommt dann noch in ein durch schmelzendes Eis auf 0° abgekühltes Ölbad.

Bezeichnen wir die Länge des Rohres mit l , seinen Halbmesser mit r , so ist der Leitungswiderstand der darin enthaltenen Quecksilbersäule

$$w = \frac{l}{\pi r^2} \text{ Siemensseinheiten,}$$

wenn l in Metern, r in Millimetern ausgedrückt ist, oder

Fig. 408.



¹⁾ Wien. Ber. 116 (IIa), 40 (1907).

²⁾ Im Jahre 1846; s. W. Weber, Elektrodynamische Maßbestimmungen 2, 199.

³⁾ Pogg. Ann. 116, 1 (1860).

$$w = \frac{0,101}{\pi r^2} J, \quad (1)$$

wenn r und J in Millimetern ausgedrückt sind.

Der Kubikinhalt der Röhre ist aber $V = \pi r^2 l$, also das in Milligrammen ausgedrückte Gewicht des darin enthaltenen Quecksilbers $G = \pi r^2 l d$, wenn d das spezifische Gewicht des Quecksilbers bezeichnet und r und l in Millimetern ausgedrückt sind, daraus aber folgt

$$r^2 = \frac{G}{\pi l d}$$

und wenn man diesen Wert von r^2 in Gleichung (1) einsetzt:

$$w = \frac{J^2 d}{100 G l} \quad (2)$$

wonach man leicht den Leitungswiderstand w der Quecksilbersäule berechnen kann, wenn man die Länge l (mm) des Glasrohrs gemessen und das Gewicht G (mg) des darin enthaltenen Quecksilbers bestimmt hat, was natürlich viel genauer ausführbar ist als die Messung des Rohrdurchmessers.

Außerdem ist aber auch kann eine Glasröhre zu finden, welche vollkommen zylindrisch ist; die Gleichung (2) bedarf deshalb noch gewisser Korrekturen, die von der Unvollkommenheit des Rohrenquerschnittes abhängen. Man „kalibriert“ die Röhre, indem man einen einige Zentimeter langen Quecksilberfaden in der Röhre vorstreckt und seine Länge zu möglichst vielen Punkten mißt. Über die Berechnung der Korrekturen siehe Kohlrausch, Prakt. Physik, 10. Aufl., S. 435. Ebendort findet man auch weitere Literaturangaben über Quecksilbernormalwiderstände.

Zu dem Widerstand des Quecksilberfadens im Glasrohr kommt noch der Ausbreitungswiderstand zwischen der Mündung des Rohres und dem Zuleitungsdraht. Der Ausbreitungswiderstand wirkt so, als wäre die Röhre an jedem Ende um 0,8 r verlängert (Maxwell, Elektr. u. Magn., § 800).

Die Siemenssche Widerstandseinheit (abgekürzt: S. E.) hat den Physikern die besten Dienste geleistet, sie hat nur den theoretischen Nachteil, daß sie nicht in einfacher Beziehung zum absoluten Maßsystem steht. Ein solches absolutes Maß des Widerstandes verdanken wir W. Weber¹⁾.

Von W. Weber aufgestellte absolut. Widerstandseinheit sticht auf zweierlei Weise mit den Fundamenteinheiten der Länge, Masse und Zeit in Zusammenhang. Einmal können wir diesen Zusammenhang mittels der Warmwirkungen des elektrischen Stromes herstellen, dann aber auch — und dies war die ursprüngliche Ableitung — gehen wir zur absoluten Widerstandseinheit durch die später zu besprechenden Induktionsgesetze. Wir wollen zunächst den ersten Weg einschlagen.

In § 102 [Gleichung (6)] hatten wir für die von einem Strom J in einem Widerstande w pro Sekunde entwickelte Warmemenge Q gefunden:

$$Q = J^2 w \quad \text{(Joule'sches Gesetz)} \quad (3)$$

Hierbei war der Strom J in elektrostatischen (cgs-)Einheiten gemessen, da Q direkt kalorimetrisch meßbar ist, so kann Gleichung (3) als Definition

¹⁾ Elektrodynamische Maßbestimmungen (L. Abh. d. Königl. Sachs. Ges. d. Wiss., Leipzig 1850).

Gleichung für die elektrostatische Widerstandseinheit dienen. Da nun das Joulesche Gesetz, wie in § 141 gezeigt worden wird, auch für die viel stärkeren galvanisch erzeugten Ströme noch gilt, so können wir ebenso gut den Strom in CGS-Einheiten messen und Gleichung (8) als Definitionsgleichung für die elektromagnetische Widerstandseinheit benutzen. Setzen wir $w = 1$ und $J = 1$, so wird auch $Q = 1$. In Worten:

A. Absolute Einheit des Widerstandes ist derjenige Widerstand, in welchem die absolute Stromeinheit in der Zeiteinheit eine Wärmemenge entwickelt, die der absoluten Arbeitseinheit äquivalent ist.

Wählen wir also ein Stück Draht so lang, daß der Strom 1 (CGS) = 10 Amp. in demselben die einem Erg äquivalente Wärmemenge von 1 Grammkalorien pro Sekunde entwickelt, so gilt dessen Widerstand als Widerstandseinheit (CGS).

Der andere Weg, den W. Weber eingeschlagen hat, um zur Definition der absoluten Widerstandseinheit zu gelangen und welcher zu der nämlichen Einheit führt, liegt uns hier zwar fern, doch wollen wir ihn, des Zusammenhanges wegen, wenigstens in der Hauptsache andeuten.

Wenn in einem magnetischen Felde, dessen Intensität 1 Gauss beträgt, ein Leiter von 1 cm Länge mit der Geschwindigkeit von 1 cm pro Sekunde senkrecht durch die Kraftlinien bewegt wird, so entsteht in ihm eine elektromotorische Kraft (siehe weiter unten Kap. IX), welche wir im absoluten Maße = 1 Eins (CGS) setzen. Derjenige Widerstand eines Leiters, in welchem durch eine solche elektromotorische Kraft Eins (CGS) ein Strom = 1 Eins (CGS) entsteht, gilt als absolute Widerstandseinheit (CGS).

Da Gleichung (8) sowohl für das *esu*-System als auch für das CGS-System gelten muß und Q in beiden Fällen in gleichem Maße gemessen wird, so folgt aus dem in § 120 ermittelten Verhältnis $J_{\text{CGS}} : J_{\text{OHS}} = 3 \cdot 10^{10}$, daß $w_{\text{CGS}} : w_{\text{OHS}} = 9 \cdot 10^{20}$. In Worten:

B. Die elektromagnetische Widerstandseinheit ist $9 \cdot 10^{20}$ -mal kleiner als die elektrostatische.

Die elektromagnetische Widerstandseinheit ist für die Praxis unbenutzbar klein. Da nun sorgfältige Messungen¹⁾ ergeben haben, daß eine Quecksilbersäule von 1 mm Querschnitt und 1,003 m Länge gleich 10^9 elektromagnetischen Widerstandseinheiten sind, so setzte man fest, daß ein derartiger Widerstand unter dem Namen „Ohm“ (abgekürzt Ω oder Θ) als praktische Widerstandseinheit zu dienen habe und daß demnach:

10^9 Widerstandseinheiten (CGS) = 1 Θ = 1,003 Siemenseinheiten zu setzen sei. Theoretisch gilt also:

C. Ein Ohm ist derjenige Widerstand, in welchem der Strom Eins (CGS) pro Sekunde 10^9 Erg oder $\frac{10^9}{42\,000\,000} = 24$ (Grammkalorien entwickelt.

¹⁾ Literatur siehe bei E. Dorn, Wissenschaftl. Abhandl. d. Physik.-Techn. Reichsanstalt 2, 261. Ztschr. f. Instrumentenk. 1893.

Da die entwicklung Warmannege dem Quinrad der Schmelzstärke proportional ist und 1 Amp. — $\frac{1}{10}$ Stromeinheit (CGS) ist, so folgt

Der Strom 1 Amp. entwickelt in dem Widerstande 1 Ohm pro Sekunde eine Arbeit von 10^7 Erg, äquivalent mit 0,24 Gramm-kalorien.

Da der Querschnitt einer Quecksilberstule praktisch aus ihrem Gewicht ermittelt wird (vgl. (Uebung (2))), so lautet die offizielle internationale Festsetzung für das Ohm dahin, daß es gleich dem Widerstande eines Quecksilberzules bei der Temperatur 0° sein solle, die bei 1,068 m Länge ein Gewicht von 14,452 g habe. Man bezeichnet dieses Ohm als „internationales“ Ohm zum Unterschiede von dem früher, im Jahre 1881, provisorisch definierten „abgelen“ Ohm, das gleich 1,0185 K. ist. In England war früher längere Zeit eine auf Grund provisorischer Messungen ermittelte Widerstandseinheit von 1,048 K. K. in Gebrauch, der man den Namen „British-Association-Unit“, abgekürzt B. A. U., gegeben hatte.

Da die Vergleichung von Widerständen untereinander mit viel größerer Genauigkeit möglich ist als die Zurückführung eines Widerstandes auf absolutes Maß, so hat man überzugeskommen, an der obigen Definition des internationalen Ohm auch dann festzuhalten, wenn später genauere Messungen etwa ergeben sollten, daß die Zahl 1,0680 noch eine Korrektur in der vierten Dezimalstelle erforderte. Dasselbe gilt übrigens auch bezüglich der bereits in § 118 am Schlusse erwähnten elektromagnetischen Stromeinheit. Man hat überzugeskommen, als 1 Ampere einen Strom zu bezeichnen, der in der Sekunde 1,118 mg Silber abscheidet (s. Kap. VII), und an dieser Festsetzung festzuhalten, auch wenn die Bestimmung zur elektromagnetischen Stromeinheit später einmal mit noch größerer Genauigkeit ermittelt werden sollte.

Da die exakte Herstellung von Quecksilberwiderständen sowie ihre Handhabung schwierig und unhandlich ist, so dienen sie nur als absolut unveränderliche und stets reproduzierbare „Urnormale“ zum Zwecke gelegentlicher Vergleichung mit anderen aus Draht oder Blech hergestellten „Normalwiderständen“ (s. § 128), die dann ihrerseits dazu dienen, die zum täglichen Gebrauch dienenden Widerstände zu stellen.

§ 128. Spezifischer Widerstand; Leitfähigkeit. In § 121 haben wir für den Widerstand w eines Leiters von der Länge l und dem Querschnitt q den Ausdruck

$$w = s \frac{l}{q}$$

gegeben, worin s eine mit dem Namen spezifischer Widerstand bezeichnete Konstante des Materials ist, deren Zahlenwert von den Einheiten abhängt, nach welchen w , l und q gemessen werden. Der reziproke Wert von s , also $\sigma = \frac{1}{s}$, heißt die „Leitfähigkeit“.

Um diese Größen ebenfalls nach dem absoluten (CGS)-System zu messen, muß man konsequent w nach Widerstandseinheiten (CGS), l nach Zentimetern, q nach Quadratcentimetern messen. Hierdurch bekommt der spezifische Widerstand s die Bedeutung desjenigen Widerstandes, welchen ein Würfel des Materials von 1 cm Größe dem Durchgange der Elektrizität von einer Fläche zur gegenüberstehenden darbietet. Dann setzt man in der

Gleichung $s = w \frac{q}{l}$ die Größen $q = 1$ und $l = 1$, so wird $s = w$.

	18°	Querschnitt. in 1 M ²	
Silber	0,010 8	61,4	Jäger u. Messelhorst ¹⁾
Kupfer	0,017 5	57,2	
Gold	0,024 2	41,3	
Aluminium	0,031 7	31,6	Dowar u. Fleming ²⁾
Magnesium	0,040 5	21,5	
Natrium	0,055 3	18,4	
Zink	0,062 5	16,0	Jäger u. Messelhorst ¹⁾
Cadmium	0,075 8	13,2	
Platin	0,108	9,24	
Zinn	0,113	8,82	Matthiessen u. v. Bose ³⁾
Eisen (fast rein)	0,12	8,4	
Stahl	0,23	5,0	
Blot	0,207	4,84	Jäger u. Messelhorst ¹⁾
Antimon	0,30	2,8	
Quecksilber	0,341	1,963	
Wismut	1,10	0,84	Collier ⁴⁾
Retortenkohle	—	0,019	
Bogenblechkohle	—	0,015—0,027	
Graphit	—	0,001 8	Dowar u. Fleming ²⁾
Glühlampenkohle	—	etwa 0,02	
Selen (bestehende Modifikation)	2,5 · 10 ⁶	etwa 4 · 10 ⁻¹⁰	Sh. Hildwell ⁵⁾
Tellur	500	0,002	Matthiessen ⁶⁾
Schwefelkohlen, 30 Proz.	13 500	0,000 074	—
Ziemenit, 25 Proz.	208 000	0,000 0048	—

¹⁾ Wissenschaft. Abh. d. Physik.-Techn. Reichsanstalt B, 200 (1900).

²⁾ Phil. Mag. (5) 30, 271 (1895).

³⁾ Nouv. Elements (5) 6, 21 (1908).

⁴⁾ Pogg. Ann. 115, 353 (1862).

⁵⁾ Wied. Ann. 61, 511 (1897).

⁶⁾ Phil. Mag. (5) 34, 326 (1892).

⁷⁾ Phil. Mag. (5) 31, 251 (1891), s. a. § 126.

⁸⁾ Pogg. Ann. 115, 385 (1862).

Quadratmillimetern gemessen. Es wird dann für Kupfer $s = 0,017$, $\alpha = 59$. Diese Zahlen sagen: Der Leitungswiderstand von 1 m Kupferdraht von 1 qmm Querschnitt beträgt 0,017 Ohm, die Länge eines Kupferdrahtes von 1 qmm Querschnitt und 1 Ohm Widerstand beträgt 59 m. Diese Zahlen sind aus den vorigen durch Division bzw. Multiplikation mit 10^6 zu erhalten.

Endlich findet man auch in vielen Tabellen die spezifischen Widerstände für 1 cm Länge und 1 qmm Querschnitt, aber in Ohm als Einheit angegeben. Diese Werte sind 10^6 mal kleiner als die in Ohm pro Meter und Quadratmillimeter berechneten.

Die vorstehende Tabelle enthält die spezif. Widerstände in Ohm . qmm/m, und die Leitfähigkeiten für eine Reihe von chemisch einfachen Leitern erster Klasse bei einer Temperatur von 18° und zum Vergleich auch die Zahlen für zwei gut leitende Elektrolyte. Die Metalle sind im Zustande größtmöglicher Reinheit und Weichheit untersucht. Da jedoch selbst die kleinsten Beimengungen bereits großen Einfluß auf die Leitfähigkeit haben, so kann man den Zahlen keine größere absolute Genauigkeit als etwa 5 bis 10 Proz. zuschreiben; denn um diesen Betrag weichen die Resultate verschiedener gleich zuverlässiger Beobachter, die mit Metallen verschiedener Herkunft arbeiteten, voneinander ab. Für „künstlich reine“ Metalle sind die Leitfähigkeiten meist etwas kleiner, die spezifischen Widerstände also etwas größer.

§ 124. Einfluß der Temperatur auf die Leitfähigkeit der Metalle.

Der spezifische Widerstand der einfachen Metalle nimmt mit steigender Temperatur zu. Es ist dies leicht durch den Versuch nachzuweisen; wir brauchen nur in den Schließungskreis eines möglichst großplattigen konstanten Elementes eine Tangentenbussole und außerdem noch einen ungefähr 1 m langen und gegen 1 mm dicken spiralförmig aufgewundenen Eisendraht einzuschalten. Die Tangentenbussole wird eine bestimmte Ablenkung zeigen. Erwärmen wir nun den Draht mittels einer Gasflamme, so geht die Nadel zurück, ein Beweis, daß der Widerstand des Drahtes zugenommen hat.

Für Versuche vor einem größeren Auditorium kann die Tangentenbussole auch durch ein kleines Glühlämpchen (2 Volt-Lampe) ersetzt werden; erhitzen wir die Drahtspirale, so wird die Lampe dunkler; tauchen wir die Spirale in ein Gemenge aus fester Kohlensäure und Alkohol (etwa -80°), so brennt die Lampe heller; noch beträchtlicher ist die Helligkeitszunahme, wenn wir die Spirale in flüssige Luft (etwa -180°) tauchen.

Zwischen 0° und 100° läßt sich der Widerstand der meisten Metalle auf wenige Prozent genau durch die Gleichung ausdrücken:

$$s = s_0(1 + \alpha t) \dots \dots \dots (1)$$

worin s_0 den spezifischen Widerstand bei 0° , t die Temperatur und α den „Temperaturkoeffizienten“, d. h. die relative Widerstandszunahme bei einer Temperaturerhöhung um 1° bedeutet.

Für die meisten chemisch einfachen Metalle hat α nahezu denselben Wert¹⁾ zwischen etwa 0,0034 und 0,0042; α ist also nicht sehr verschieden von dem Ausdehnungskoeffizienten der Gase²⁾, der 0,00367 beträgt. Daraus

¹⁾ A. Ardlisen, Pogg. Ann. 104, 1 (1858).
²⁾ Clausius, Pogg. Ann. 104, 666 (1856).

würde folgen, daß der spezifische Widerstand der einfachen Metalle ungefähr der absoluten Temperatur (vgl. Bd. III, § 197) proportional ist.

Da α ebenso wie der spezifische Widerstand selbst durch kleine Verunreinigungen stark beeinflusst wird, genauere Zahlen sind also nur auf die von den betrachteten Beobachtern gerade benutzten Metallproben bezogen worden, so mag die folgende Tabelle¹⁾ genügen:

Metall	$\frac{1}{\alpha}$	1000 . α	Metall	$\frac{1}{\alpha}$	1000 . α
Gold	4,0		Platin (rein)	0,9	
Kupfer	4,1		Platin (künstlich)	2 bis 3	
Gold	4,0		Eisen	has 6	
Aluminium	8,0		Blei	4,0	
Zink	3,7		Wismut	4,2	

Für genauere Messungen, namentlich bei höheren Temperaturen, reicht die einfache Gleichung (1) nicht mehr aus; dagegen genügt, soweit die Metalle nicht vorher schmelzen oder innere Umwandlungen erleiden (s. weiter unten), die quadratische Formel:

$$R = R_0 (1 + \alpha t + \beta t^2) \quad (2)$$

Der Wert von β liegt zwischen $\frac{1}{2}$ und 7 Millionstel; eine Tabelle findet man in Winkelmanns Handbuch der Physik 4, 362.

Beim Schmelzen treten plötzliche Änderungen des Widerstandes auf; so steigt z. B. nach Beobachtungen von A. Hornig²⁾ der Widerstand des Natriums beim Schmelzpunkt (97,6°) plötzlich auf das 1,54-fache, während der Temperaturkoeffizient von 0,0014 auf 0,0033 ansteigt. Beim Quecksilber, das bei - 39° schmilzt, beträgt das Verhältnis der Widerstände im flüssigen und festen Zustande etwa 4:1³⁾.

Ähnliche sprunghafte Änderungen des Widerstandes finden auch beim Eisen⁴⁾ an dessen Umwandlungspunkte statt, also bei derselben Temperatur, bei der seine Magnetisierbarkeit plötzlich verschwindet (vgl. § 6).

Trägt man die spezifischen Widerstände eines Metalles als Funktion der Temperatur graphisch auf, so erhält man eine Kurve, die sich jedoch wegen der Kleinheit von β in Gleichung (2) nur äußerst wenig von einer Geraden unterscheiden. Fig. 409 zeigt den Verlauf für Kupfer nach Beobachtungen von Dewar und Fleming⁵⁾.

Wenn man nun, unter der Annahme, daß die Gleichung (2) auch noch für tiefe Temperaturen gelte, die Linie nach rückwärts verlängert, so schneidet sie die Abszissenachse bei einer Temperatur von etwa $-1/\alpha$ Grad, also zwischen etwa - 220 und - 800°. Man hat früher vielfach die Vermutung ausgesprochen, daß der wirkliche Schnittpunkt mit dem „absoluten Nullpunkt“, - 273°, zusammenfalle, daß also bei dieser Temperatur der Widerstand aller reinen Metalle gleich Null werde. Neuere Untersuchungen von

¹⁾ Nach Kohlrausch, Prakt. Phys., 10. Aufl., Tabelle 30.

²⁾ Nov. Ulan. (6) II, 21 (1906).

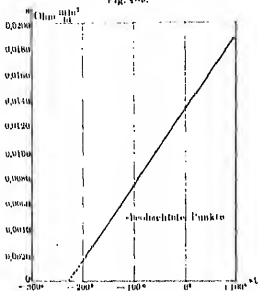
³⁾ J. Dewar und J. A. Fleming, Proc. Roy. Soc. 80, 76 (1898).

⁴⁾ Le Chatelier, Compt. rend. 110, 288 (1890); 111, 454 (1890).

⁵⁾ Phil. Mag. (5) 34, 326 (1892).

3. Lawar¹⁾), sowie von A. Kottuck²⁾, Kaderbeger³⁾ und A. K. haben ergeben, daß dies wahrscheinlich nicht der Fall ist. Die Widerstandskurve sinkt zwar zunächst bis etwa -200° nahezu geradlinig weiter; da ab wird jedoch ihre Neigung geringer, so daß die zuerst von Lord Kelvin ausgesprochene und neuerdings von Kamerlingh-Onnes⁴⁾ und

Fig. 100.



J. Königsberger und O. Reichenheim⁵⁾ angenommene Vermutung Wahrscheinlichkeit sehr gewinnt, daß nämlich bei den allertiefsten, bis je experimentell noch nicht erreichten Temperaturen der Widerstand der Metalle wieder zunimmt und beim absoluten Nullpunkt unendlich werde.

Sehr deutlich ist das Verhalten der Metalle bei den tiefsten bis je erreichten Temperaturen aus der Fig. 110 zu ersehen, die den Widerstandverlauf von Gold und Platin nach den Messungen von Kamerlingh-Onnes und Guay darstellt. Die Ordinatenmaßstäbe sind willkürlich so gewählt, daß die Kurven sich bei -204° schneiden.

Es scheint kaum zweifelhaft, daß bei noch tieferen Temperaturen, wie wir sie vielleicht einmal erreichen werden, wenn es gelungen ist, das Helium zu verflüssigen, die Kurven wieder ansteigen und etwa so verlaufen, wie die gestrichelten Linien, der Kelvinischen Annahme entsprechend, es müßte sich dann in § 126 noch einmal hierauf zurückkehren.

Von besonderer Wichtigkeit sind die Temperaturkurven des Quecksilbers und des Platins; die des ersteren wegen seiner Bedeutung für die Herstellung von Normalwiderständen, die des letzteren wegen seiner Verwendung als Thermometer bei sehr hohen und tiefen Temperaturen (vgl. § 34, 161. 11

¹⁾ Proc. Roy. Soc. 118, 360 (1901).

²⁾ Comm. Phys. Labor. Leiden XL (1901).

³⁾ Rend. 115 (1901).

⁴⁾ Abhandl. Supplem. 11 (1904).

⁵⁾ Physik. Zeitschr. 7, 570 (1906).

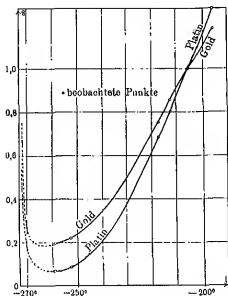
Für Quecksilber lautet die Gleichung ¹⁾ für Temperaturen zwischen 0 und + 30°:

$$w_t = w_0 (1 + 0,000883 t + 0,00000126 t^2).$$

Für reines Platin genügt nach L. Holborn ²⁾ zwischen - 190 und 0° die Gleichung:

$$w_t = w_0 (1 + 0,003934 t - 0,000000988 t^2).$$

Fig. 410.



Zwischen 0 und + 500° dagegen lautet die Gleichung:

$$w_t = w_0 (t + 0,003966 t - 0,000000582 t^2).$$

Beide Gleichungen sind natürlich bloße Interpolationsformeln. Über eine alle Temperaturen umfassende theoretisch begründete Gleichung siehe § 126 und Kap. XIII.

§ 125. Leitfähigkeit der Legierungen. Über die Leitfähigkeit der Metallegierungen haben zuerst Matthiessen ³⁾ und seine Mitarbeiter umfangreiche Untersuchungen angestellt. Sie fanden, daß die Metalle hinsichtlich des Verhaltens ihrer Legierungen in zwei Klassen geteilt werden können, nämlich:

- A. diejenigen Metalle, welche, miteinander legiert, die Elektrizität in dem Verhältnis ihrer relativen Volumina leiten;
- B. diejenigen Metalle, welche, mit einem Metall der Klasse A oder miteinander legiert, die Elektrizität nicht im Verhältnis ihrer Volumina, sondern stets schlechter leiten.

Zur Klasse A gehören: Blei, Zinn, Cadmium und Zink.

¹⁾ Kretschgauer und Jäger, Wied. Ann. 47, 518 (1882).

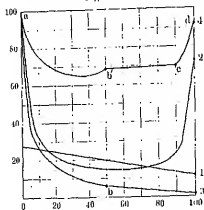
²⁾ L. Holborn, Ann. d. Phys. (4) 6, 242 (1901).

³⁾ Pogg. Ann. 110, 190 (1860); 116, 369 (1862); 122, 19, 68 (1864).

Zur Klasse B gehören: Wismut, Quecksilber, Antimon, Nisän, Aluminium, Platin, Gold, Kupfer, Silber usw.

Fig. 411, Kurve 1, zeigt graphisch das Verhalten von Legierungen aus zwei Metallen der Gruppe A, nämlich Zink und Zinn. Die Abszissen stellen in Volumprozenten die Menge des dem Metalle I zugesetzten Metalles II dar; der Punkt 55 bedeutet also eine Mischung von 55 Proz. des Metalles II und 45 Proz. des Metalles I. Die Ordina-

Fig. 411.



tionen sind die Leitfähigkeiten der Legierung. Von dem viel komplizierteren Verhalten der Mischungen der Gruppe B oder von II mit A gehen die Kurven 2, 3 und 4 Beispiele. Kurve 2 entspricht etwa den Mischungen von Silber und Gold, 3 denjenigen von Silber und Wismut, 4 denjenigen von Silber und Kupfer.

Neuere Untersuchungen über das physikalische Verhalten der Legierungen haben wesentlich klärend gewirkt. Le Chatellier¹⁾ hat zuerst gezeigt, daß zwischen der Leitfähigkeit und der Struktur der Legierungen ein enger Zusammenhang besteht. Man kann nämlich zwei Klassen von Legierungen unterscheiden; die erste Klasse besteht aus einem bloßen Gemenge der Kristalle der beiden einzelnen Metalle und es behält jeder einzelne kleine Kristall die Eigenschaften des reinen Metalls; die Leitfähigkeit muß sich aus der Mischungsregel berechnen lassen. Zu dieser ersten Klasse gehören die Legierungen der Gruppe A.

Die zweite Klasse der Legierungen dagegen besteht aus „Mischkristallen“, d. h. Kristallindividuen, die beide Bestandteile in physikalisch nicht mehr trennbarer Weise vereinigt enthalten. Wenn die Bildung solcher Mischkristalle in beliebiger Zusammensetzung vom reinen Metalle I bis zum reinen Metalle II möglich ist, so erhält man Kurven der Gestalt 2.

Ist endlich die Bildung von Mischkristallen nur innerhalb eines beschränkten Bereiches möglich, so erhält man Kurven wie 3 oder 4. In 3 hat man zunächst Mischkristalle von a (reines Silber) an bis zu b (51 Proz. Wismut, etwa der Verbindung $Ag_{51}Bi$ entsprechend). Zwischen b und c dagegen hat man ein Gemenge von Kristallen der Legierung b einerseits und des reinen Wismuts andererseits.

In Kurve 4 endlich bestehen Mischkristalle von (Gold und Kupfer sowohl zwischen a und b', als auch zwischen c und d. Zwischen b' und c dagegen besteht ein Gemenge der Kristalle von der Zusammensetzung b einerseits und c andererseits.

Der Temperaturkoeffizient der Legierungen der Gruppe A ist nahezu gleich dem der reinen Metalle; bei den Legierungen der Gruppe B oder von B mit A ist er stets bedeutend kleiner als für die reinen Metalle und kann sogar negativ werden (siehe z. B. das Constantan in folgender Tabelle).

¹⁾ Rev. gén. des sciences (5), 531 (1895); Contrib. à l'étude des alliages Paris (1895).

Für die Elektrotechnik ist eine Reihe von Legierungen wichtig geworden, die man wegen ihres hohen spezifischen Widerstandes und ihres geringen Temperaturkoeffizienten zur Herstellung von Normal- und Regulierwiderständen benutzt. Die folgende Tabelle¹⁾ enthält die Namen, die ungefähre Zusammensetzung, den spezifischen Widerstand und den Temperaturkoeffizienten der wichtigsten von ihnen.

Namen	Zusammensetzung in Gewichtprozenten	Spezifischer Widerstand	Temperatur- koeffizient
Constantan	58 Cu, 41 Ni, 1 Mn	0,50	— 0,000 03
Nickelín	51 Cu, 26 Ni, 20 Zn	0,41	0,000 2
Manganin	84 Cu, 4 Ni, 12 Mn	0,43	0,000 02
Munsillier	60 Cu, 21 Ni, 19 Zn	0,34	0,000 37

Zu Telegraphen- und Telefonleitungen werden auch Kohle aus Siliciumkürper und sogenannter Phosphorkohle verwendet. Ersteres hat ungefähr den auerthalbfachen, letztere den dreifachen Widerstand des Kupfers. Der Vorteil dieser Materialien liegt in ihrer größeren Festigkeit.

Zu den Legierungen gehören endlich auch die Amalgame, d. h. Legierungen des Quecksilbers mit anderen Metallen. Für diese hat neuerdings F. Skanppy [Zeitschr. f. physik. Chem. 58, 560 (1907), Beibl. 31, 788 (1907)] einige interessante Beobachtungen gefunden, die den für verdünnte elektrolytischen Lösungen geltenden (s. Kap. VII) analog sind. Bezüglich weiterer Einzelheiten über das Verhalten der Legierungen sei verwiesen auf die Monographie von H. Ruer, „Metallographie in elementarer Darstellung“, Hamburg und Leipzig 1907.

§ 120. Leitfähigkeit der Metalloxyde und -sulfide. Die in der Überschrift genannten Körper unterscheiden sich von den Metallen und ihren Legierungen sowie von den verschiedenen Kohlearten bezüglich ihrer elektrischen Leitfähigkeit durch eine Reihe von Besonderheiten, die noch nicht in allen Einzelheiten aufgeklärt sind. Sie scheinen eine Art Mittelstellung zwischen den metallischen Leitern und den in Kap. VII näher zu besprechenden Elektrolyten zu bilden, indem sie zum Teil wenigstens bei niederen Temperaturen elektrolytisch leiten, also unter gleichzeitiger chemischer Veränderung, während bei höheren Temperaturen die Leitung eine rein metallische wird.

Besonders auffällig ist die zuerst von Faraday²⁾ und Hittorf³⁾ festgestellte enorme Abhängigkeit der Leitfähigkeit von der Temperatur; eine Vermehrung der Leitfähigkeit auf das Millionenfache bei einer Temperaturzunahme von einigen Hundert Grad ist nichts Seltenes. Der Sinn der Temperaturabhängigkeit ist dabei gerade umgekehrt wie bei den Metallen.

Die folgende Darstellung, die weit davon entfernt ist, das noch ganz in Finst befindliche Forschungsgebiet auch nur einigermaßen zu erschöpfen, folgt im wesentlichen einem von J. Königsberger⁴⁾ kürzlich veröffentlichten Referat.

¹⁾ Nach Strawinkel und Strooker, Hilfsbuch für die Elektrotechnik.

²⁾ Experim. Unters. über Elektr., Nr. 280 ff. (auswähl. Klassiker, Nr. 64. Pogg. Ann. 31, 241 (1834)).

³⁾ Pogg. Ann. 84, 1 (1854).

⁴⁾ Jahrb. d. Radioaktiv. u. Elektr., 4, 158 (1907).

Eine Hauptschwierigkeit bei der Widerstandsbestimmung von Oxyden und Sulfiden liegt darin, daß diese Körper bei ihrer chemischen Herstellung meist in Pulverform erhalten werden. Die von F. Streintz¹⁾ angewandte Methode, die Pulver unter starkem Druck in Stangen zu pressen, scheint nicht geeignet, zu übereinstimmenden Resultaten zu führen. Sicher scheint nur die Herstellung von Stangen durch Gießen von geschmolzenem Material oder die Benutzung natürlicher Kristalle, wo solche in genügender Größe und Reinheit zur Verfügung stehen. Ferner benutzte K. Bädcker²⁾ auf Glas oder Glimmer niedergeschlagene Metallspiegel, die nachträglich durch Erhitzen in einer Sauerstoff- oder Schwefelatmosphäre in die gewünschte Verbindung übergeführt wurden. Bei den Kristallen entstehen häufig Anomalien kompliziertester Art infolge kapillarer Sprünge, die meist Flüssigkeit enthalten und elektrolytische Leitung des Kristalles selbst vortäuschen können.

Die Veränderlichkeit mit der Temperatur ist nach Streintz im allgemeinen um so größer, je größer der spezifische Widerstand selbst ist. Bei einem gewissen Wert des Widerstandes wird sie Null und kehrt bei den am besten leitenden Verbindungen ihr Vorzeichen um, so daß sie mit dem Verhalten der Metalle übereinstimmt.

Nach J. Königsberger und O. Reichenheim³⁾ läßt sich der Zusammenhang zwischen dem Widerstande und der Temperatur für alle Leiter erster Klasse, also auch für die Metalle, durch folgende Formel ausdrücken:

$$s = s_0(1 + \alpha t \pm \beta t^2) \cdot e^{q(1/T - 1/273)} \quad (1)$$

Hierin bedeutet s_0 den spezifischen Widerstand bei 0°, α , β und q Konstanten, t die gewöhnliche, T die von — 273 an gerechnete „absolute“ Temperatur. α ist auch bei Oxyden und Sulfiden nur wenig von dem für reine Metalle gefundenen Wert verschieden.

Der allgemeine Verlauf dieser Formel läßt sich wie folgt diskutieren:

a) Ist q/T sehr klein, also q klein oder T sehr hoch, so ist das Exponentialglied nahezu gleich Eins und es bleibt nur der erste Faktor übrig, der durchaus mit Gleichung 2 in § 124 übereinstimmt, durch welche der Widerstand der Metalle dargestellt wird. Der Widerstand wächst dann, da meist β klein gegen α , nahezu proportional der Temperaturzunahme. Die graphische Darstellung ergibt eine fast gerade Linie.

Ohne auf die Bedeutung der Konstanten q , von der in Kap. XIII noch die Rede sein wird, hier näher einzugehen, genügt hier der Hinweis, daß das Verhalten der Metalle bei nicht allzu niedrigen Temperaturen durch Annahme eines genügend kleinen Wertes für q erklärt werden kann.

b) Ist q/T groß, also entweder q sehr groß oder T sehr klein, so ändert sich bereits in sehr kleinen Temperaturintervallen der Wert des Faktors $e^{q/T}$ sehr stark, so daß wir einen mit sinkender Temperatur rasch zu enormen Werten ansteigenden Widerstand erhalten. Dieses entspricht durchaus dem Verhalten der meisten Oxyde und Sulfide bei mittleren und wahrscheinlich dem der Metalle bei äußerst niedrigen Temperaturen.

¹⁾ Ann. d. Phys. (4) 3, 1 (1900) und 9, 354 (1902).

²⁾ Ebend. (4) 22, 749 (1907).

³⁾ Physik. Zeitschr. 7, 570 (1906).

c) Bei mittleren Werten von q/T undlich muß es ein Gebiet geben, innerhalb dessen die von dem Gliede $(1 - \alpha t + \beta t^2)$ herrührende Widerstandsannahme bei steigender Temperatur durch die vom Exponentialgliede herrührende Abnahme gerade kompensiert wird, so daß der Widerstand nahezu konstant bleibt. Ein derartiges Verhalten zeigt z. B. der Pyrit zwischen 0 und 200; Ähnlich verhalten sich aber auch die Metalle Gold und Platin bei den allertiefsten bis jetzt erreichten Temperaturen (vgl. § 124).

In Fig. 412 ist nach Königshorger der Verlauf von s für Pyrit als Funktion der Temperatur graphisch dargestellt.

Bei den Metallen müßte der (bis jetzt noch nicht beobachtete) mit wachsender Temperatur steil abfallende Teil der Kurve wegen der Kleinheit von q dicht beim absoluten Nullpunkt liegen, wie schon in Fig. 410 angedeutet; bei vielen Oxyden und Sulfiden hingegen liegt der annähernd gerade ansteigende Teil der Kurve weit jenseits der erreichbaren Höchsttemperaturen, so daß nur der abfallende Teil beobachtet wird.

Folgende Tabelle gibt als Beispiel das Verhalten des Eisenglanzes parallel der kristallographischen Hauptachse nach Messungen von Königshorger und Reichenheim wieder. Die Zahlen der dritten Spalte sind mittels der Gleichung:

$$s = 0,876 (1 - 0,00387 t + 0,00000026 t^2) \cdot e^{1000 (1/T - 1/273)}$$

berechnet und bedeuten Ohm für 1 cm Länge und 1 qm Querschnitt. Da bei niedrigen Temperaturen wegen der dort sehr großen Steilheit der Kurve kleine Fehler der Temperaturbestimmung sehr große Änderungen von s bedingen, so ist dort nicht s berechnet, sondern die zu dem beobachteten s gehörige berechnete Temperatur.

Spezifischer Widerstand des Eisenglanzes parallel der Achse

t	s beobachtet	s berechnet
247	0,150	0,150
107	0,184	0,188
101	0,198 5	0,197
140	0,250	0,248
123	0,269	0,270
98	0,363	0,366
40	0,554	0,553
18	0,708 5	0,702
0	—	0,878
		t berechnet
- 74	4,86	- 78
- 130	57,2	- 132
- 140	120,5	- 146
- 185	etwa 3000	- 178

In der Richtung senkrecht zur Achse ist der Widerstand des Eisenglanzes zwischen 0 und 1000 etwa halb so groß als parallel der Achse.

Die folgende Tabelle und Kurve (Fig. 412) für Pyrit zeigt das Verhalten in der Nähe des Widerstandeminimums; die berechneten Werte der dritten Spalte sind nach der Gleichung:

$$s = 0,0240 \cdot (1 + 0,00385 t + 0,0000037 t^2) \cdot e^{245(1/T - 1/273)}$$

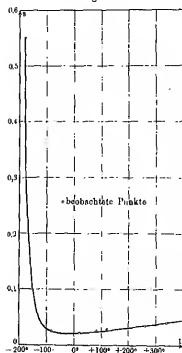
erhalten.

Spezifischer Widerstand des Pyrits.

t	s beobachtet	s berechnet
-180	0,550	0,550
-78	0,0251	0,0245
0	—	0,0240
20	0,0240	0,0240
85	0,0279	0,0268
121	0,0800	0,0278
260	0,0857	0,0851
340	0,0888	0,0402

Die folgende Tabelle enthält die spezifischen Widerstände einiger von K. Bädcker¹⁾ untersuchter Schwermetallverbindungen bei Zimmertemperatur.

Fig. 412.



Spezifischer Widerstand in Ohm.cm²/cm.

Leiter	s
Cu	0,0000017
Pt	0,000014
Bi	0,00012
CuS	0,000125
PbO ₂	0,00023 (?)
CdO	0,0012
Ag ₂ S (bei 200°)	0,0017
Graphit	0,0028
Cu ₂ O	40
CuO	400 (?)

Wie man sieht, kommt der Widerstand der bestleitenden Verbindung, des CuS, dem des am schlechtesten leitenden Metalles, des Wismuts, schon sehr nahe.

Beim Silbersulfid (Ag₂S) konnte Bädcker zeigen, daß es wahrscheinlich bei 175° von elektrolytischer zu metallischer Leitung überspringt.

Rein elektrolytisch leiten bei Zimmertemperatur die Halogenverbindungen des Ag und des Cu. Von diesen hat das CuJ den für einen Elektrolyten

¹⁾ Ann. d. Phys. (4) 22, 749 (1907).

hüßig kleinen Widerstand 0,045. Es leitet also etwa 30 mal besser als beständige Schwefelkugeln (daher hierüber siehe Kap. VII).

Außer den genannten, bereits bei Zimmertemperatur merklich leitenden Körpern gibt es eine Reihe von solchen, die bei Zimmertemperatur fast völlige Nichtleiter sind, während sie bei Rot- oder Weißglut zu guten Leitern werden. Zu dieser Körperklasse gehören namentlich die Oxyde der Erdalkalien und der sogenannten seltenen Erden. Die letzteren haben wegen ihrer Verwendung in den Glühstäben der Nernstlampen außer der wissenschaftlichen auch eine hervorragende technische Bedeutung erlangt. Auch hier ist die Form von Königsteiger anwendbar, nur haben sowohl σ_0 als auch q sehr große Werte.

Eine ausführliche Untersuchung dieser Körper hat F. Hurler¹⁾ angestellt. Als Beispiel für die enorme Abnahme des Widerstandes bei steigender Temperatur seien die folgenden genannt:

CaO	
$l = 430$	$s = 7,26 \cdot 10^8$
$l = 1108$	$s = 9,07 \cdot 10^2$
BaO	
$l = 34$	$s = 1 \cdot 10^6$
$l = 224$	$s = 22,7$

Zu Demonstrationszwecken sind die überall käuflichen Nernstlampen geeignet, sofern man vorsichtig durch Abkratzen mit einer Zange die Heizvorrichtung, die aus selbsttätigen Ankeren des Brenners besteht, und schalte die Lampe neben einem hochempfindlichen Galvanometer in den Stromkreis der Beleuchtungsleitung von 110 oder 220 Volt Spannung. Das Galvanometer zeigt keinen Ausschlag, die Lampe ist also vollkommen nichtleitend. Man entferne nun das Galvanometer und ersetze es durch ein weniger empfindliches Instrument (Tangentenbuss oder schulisches Amperemeter), das Ströme von etwa 1 Ampere bequem abzulesen gestattet, und erwärme nun den Stüt mit einer Flamme. Bei Rotglut des Stüttes tritt plötzlich ein Ausschlag des Amperemeters und gleichzeitig erwartet sich ein helles Weißglut infolge der von Strom erzeugten Wärme. Eine 10 Volt-Lampe von 25 Kerzenstärke verbraucht bei 110 Volt Spannung etwa $\frac{1}{10}$ Ampere. Ihr Widerstand im heißen Zustande beträgt also etwa 220 Ohm, während er im kalten Zustande viele Millionen Ohm beträgt.

§ 127. Leitfähigkeit des Selen, Eine ganz merkwürdige Sonderstellung nimmt das Selen unter den chemischen Elementen bezüglich seiner Leitfähigkeit ein; nicht nur, weil die verschiedenen allotropen Modifikationen, in denen dieser Körper, ähnlich wie die ihm chemisch verwandten Elemente Schwefel, Phosphor und Tellur vorkommt, ein weit voneinander verschiedenes Leitvermögen haben, sondern vor allem deshalb, weil einige seiner Modifikationen ihren Widerstand bei Belichtung beträchtlich verringern. Diese von W. Smith²⁾ entdeckte Eigenschaft des Selen ist namentlich in der neuesten Zeit (Jahreszahl zahlreicher, teils rein wissenschaftlicher, teils mehr technischer Untersuchungen gewesen, um so daß es auch bis jetzt die Frage nach der Ursache der Lichtempfindlichkeit als ungelöst gelistet betrachtet werden könnte.

¹⁾ Phil. Mag. (6) 11, 505 (1900).

²⁾ Millin. Journ. (3) 105, 301 (1878).

Gute Übersicht der bisherigen Forschungsergebnisse über das Selen bieten eine Schrift von L. Amaduzzi¹⁾, sowie die unten zitierten Arbeiten von R. Marc.

Das Selen kommt ähnlich wie die verwandten Elemente Schwefel, Phosphor und Tellur in mehreren allotropen Modifikationen vor, die zuerst von Mitscherlich²⁾ genauer untersucht sind. Danach sind zu unterscheiden: 1. Pulverförmig amorphes Selen, das durch chemische Reduktion von seleniger Säure entsteht. 2. Glasig amorphes Selen, das aus dem vorigen durch Erwärmung auf 45° und folgende Abkühlung entsteht. 3. Rotes kristallinisches Selen, aus der zweiten Modifikation bei wechenlanger Aufbewahrung in Schwefelkohlenstoff entstehend. 4. Graues, kristallinisches Selen, auch metallisches genannt, das aus den vorgenannten Formen durch Erhitzen auf Temperaturen über 97° entsteht.

Die letzte Form des Selenes allein besitzt eine merkliche elektrische Leitfähigkeit und Empfindlichkeit gegen Belichtung. Daß das nichtleitende Selen durch längere Erhitzung leitend wird und seine Leitfähigkeit auch nach Abkühlung bewahrt, wurde von W. Hittorf³⁾ gefunden. Nach der schon erwähnten Entdeckung der Lichtempfindlichkeit durch Smith haben sich dann eine große Reihe von Forschern, in der ersten Zeit namentlich W. Siemens⁴⁾, mit den Entstehungshedingungen der verschiedenen Modifikationen befaßt, wobei sich ergab, daß es nicht eine, sondern mehrere leitende Modifikationen gibt. Die in manchen Beziehungen voneinander abweichenden Ergebnisse der einzelnen Forscher werden durch die neuesten Versuchsergebnisse von R. Marc⁵⁾ verständlich, aus denen hervorgeht, daß vermutlich zwei metallische Modifikationen A und B existieren, von denen A bei Temperaturen zwischen 97° und 170° entsteht; bei Temperaturen zwischen 170 und 217°, wozu letztere dem Schmelzpunkt entspricht, entsteht außer A noch eine zweite Form B in mit zunehmender Temperatur größerem Mengenverhältnis; dabei geht die Umwandlung so langsam vor sich, daß die Erreichung des Gleichgewichtes mehrere Tage erfordert. Letzterer Umstand erklärt die verschiedenen Resultate früherer Beobachter. Wegen der Langsamkeit der Umwandlung kann man die bei lang dauernder hoher Temperatur entstandenen Modifikationen rasch auf Zimmertemperatur abkühlen, ohne daß sie sich zurückverwandeln. Bei Zimmertemperatur ist die Reaktionsgeschwindigkeit bereits derart gegen ihren ohnehin auch bei höheren Temperaturen kleinen Betrag vermindert, daß dann eine weitere Rückverwandlung bis zu dem für Zimmertemperatur geltenden Gleichgewichtsverhältnis von A zu B erst im Laufe von Tagen und Wochen stattfindet.

Eine merkliche Leitfähigkeit besitzt bloß B, während A nur leitet, wenn es Verunreinigungen enthält. Lichtempfindlich sind Gemenge von A

¹⁾ Il Selenio. Bologna 1904 (Attualità scientifica No. 7).

²⁾ Ann. d. chim. et phys. (3) 46, 801 (1856).

³⁾ Pogg. Ann. 84, 219 (1851).

⁴⁾ Ebend. 159, 117 (1876).

⁵⁾ Ber. d. deutsch. chem. Ges. 39, 697 (1906). Zeitschr. f. anorgan. Chemie 37, 469 (1903); 48, 393 (1904); 50, 446 (1906); 53, 298 (1907) und Monographie. „Die physikalisch-chemischen Eigenschaften des metallischen Selenes.“ Hamburg u. Leipzig 1907.

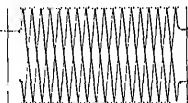
und H. Fast reines Selen H, wie man es durch plötzliche Abkühlung von
 ingero Zeit über 2000° erhitzten Selen erhält, ist deshalb zunächst fast un-
 empfindlich gegen Licht und wird erst allmählich empfindlich infolge Rek-
 verwandlung eines Teiles von H in A. Gewisse Beimengungen, z. B. Silber,
 wirken beschleunigend auf die Einstellung des Gleichgewichts zwischen A
 und H, doch ohne das Gleichgewichtsverhältnis selbst zu ändern.

Nach Sh. Bidwell¹⁾ beträgt der spezifische Widerstand des reinen
 selens H etwa $2,6 \cdot 10^7 \text{ Ohm} \cdot \text{mm}^2 \cdot \text{m}$, ist also im Vergleich zu dem der Metalle
 außerordentlich hoch. Kleine Beimengungen von Metallseleniden, wie sie
 schon durch bloße längere Berührung mit unedlen Metallen entstehen können,
 setzen den Widerstand bis auf $\frac{1}{2000}$ des genannten Wertes herab.

Um die Lichtempfindlichkeit des Selen zu zeigen, muß man ge-
 wöhnlich wegen seiner geringen Durchsichtigkeit als auch wegen seines sehr
 hohen spezifischen Widerstandes das Selen in sehr dünnen Schichten ver-
 werten und den den Strom zuführenden Metall- oder Kohleelektroden einen
 sehr großen Querschnitt geben. Eine der am meisten benutzten Ausführungs-
 formen ist die von Bidwell angegebenen und in Fig. 413 abgebildete.

Auf eine an den Längsranden eingetriebene Glasplatte sind zwei sehr
 dünne Platindrähte dicht nebeneinander, doch ohne sich zu berühren, auf-
 gewickelt²⁾. Man legt die Platte auf eine erhitzte Asbesttafel und streicht
 dann das amorphe stangenförmige Selen in möglichst gleichmäßiger Schicht
 Schicht auf. Die weitere Behandlung ist bereits oben erwähnt. Je nach dem
 Grade und der Dauer der Erhitzung erhält man Präparate von verschie-
 denen Verhältnissen bezüglich Widerstand und Lichtempfindlichkeit. Fürtherartige
 Selenwiderstände ist der etwas seltsame
 Namen „Selenzelle“ gebräuchlich ge-
 worden. Um die angeblich schädlichen

Fig. 413.



Einfluss der Luftfeuchtigkeit auszuschließen, kann man die Selenzelle
 auch in ein luftleer gemachtes Gefäß einschließen. Fig. 414 zeigt ein der-

Fig. 414.



artige „Vakuumzelle“ nach Ruhmer mit Glühlampenfassung und zylind-
 rischer Oherfläche.

Um die Lichtempfindlichkeit besser zeigen zu können, schließt man
 die Zelle in ein Isolierglas Gehäuse ein, das mit einer Klappe versehen
 ist (Fig. 415). Man schließt die Zelle, deren Widerstand im Dunkeln meist
 zwischen etwa 10000 und 100000 Ohm liegen wird, mit einem Galvano-
 meter von genügender Empfindlichkeit in den Stromkreis einer galvanischen

¹⁾ Phil. Mag. (5) Bt., 251 (1891).

²⁾ In der Figur ist der Abstand der Drähte wegen viel zu groß gezeichnet.

Batterie. Der zunächst nur kleine Ausschlag des Galvanometers vergrößert sich bei Beleuchtung der Zelle und kann bei sehr kräftiger Beleuchtung bis

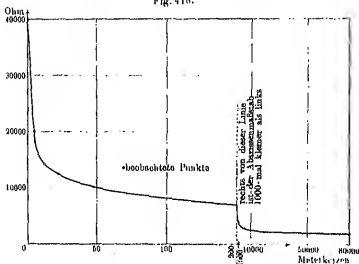
Fig. 415.



etwa auf das 20fache steigen. Da gegenüber dem sehr hohen Widerstande des Solens der Widerstand der galvanischen Batterie und des Galvanometers kaum in Betracht kommt, so sind die Ausschläge bei verschiedener Lichtstärke direkt den Leitfähigkeiten des Solens proportional.

Die Abhängigkeit des Widerstandes von der Lichtstärke ist zuerst von Rosse¹⁾, dann von Adams²⁾ und von W. Siemens³⁾ untersucht worden. Alle drei finden, daß die Widerstandsverminderung proportional der Quadratwurzel aus der Lichtstärke ist. Aus späteren Untersuchungen mit bedeutend größeren Lichtstärken folgt jedoch, daß das genannte Gesetz nur den Wert einer Annäherung für schwaches Licht hat, da für sehr starke Beleuchtung offenbar der Widerstand sich einem kleinsten Grenzwert annähert. Die graphische Darstellung in Fig. 416 nach Ruhmer⁴⁾ zeigt dies Verhalten deutlich. Um die ganze Kurve von 0 bis zu 80 000 Meterkerzen Lichtstärke auf ein Blatt zeichnen zu können, ist für die Lichtstärken über 200 der Abszissen-

Fig. 416.



maßstab 1000 mal kleiner genommen als für die kleineren Lichtstärken. Die Kurve bezieht sich auf ein Solenpräparat, das von Ruhmer als „weich“

¹⁾ Phil. Mag. (4) 47, 161 (1874).

²⁾ Proc. Roy. Soc. 23, 585 (1875); 24, 193 (1875); 25, 113 (1876). Pogg. Ann. 150, 629 (1876).

³⁾ Pogg. Ann. 150, 384 (1875). Wied. Ann. 2, 534 (1877).

⁴⁾ Physik. Zeitschr. 3, 471 (1902).

schwachere Belohnung geringer, bei starker dagegen größer ist als die des Erstrators, enthält vorantlich eine größere Menge von Selen Z .

Würde das oben angegebene Quadratwurzelgesetz streng gelten, so wäre aus der Widerstandsverminderung: $40000 - 7000 = 33000$ Ohm bei 200 Meterkerzen eine solche von $\frac{1}{2} \times 33000 = 16500$ Ohm bei 400 Meterkerzen folgen. In Wirklichkeit beträgt die Änderung viel mehr, nämlich $40000 - 10000 = 30000$ Ohm. Dagegen beträgt für 12,5 bzw. 4,0 Meterkerzen das Verhältnis $\sqrt{\frac{12,5}{4,0}} = 1,75$ und das Ver-
hältnis der Widerstandsänderungen $(40000 - 14300) : (40000 - 20000) = 1,78$. Für schwache Lichter gilt also das Gesetz angenähert.

Auch der zeitliche Verlauf der Widerstandsänderung ist Gegenstand der Untersuchung gewesen ¹⁾ und besitzt außer dem wissenschaftlichen auch großes technisches Interesse. Bei plötzlicher Belohnung der vorher lange Zeit im Dunkeln gehaltenen Selenzelle nimmt der Widerstand zunächst sehr rasch, dann immer langsamer ab, und steigt sogar schließlich wieder ein wenig an, bis im Verlauf mehrerer Stunden seinen Endwert zu erreichen. Vermehrte Lichtabsorption der am stärksten beeinflussten äußeren Schichten und dadurch zunächst erfolglosle Abschwärzung der tieferen Schichten, sowie vielleicht auch Diffusionsvorgänge sind die Ursachen der schließlichen Widerstands-
änderung. Ganz ähnlich ist auch der Verlauf bei plötzlicher Verdunkelung; auf eine anfängliche rasche Zunahme folgt eine weitere langsame, die erst nach mehreren Stunden wieder zum „Dunkelwiderstande“ der Zelle zurück-
kehrt. Auch hier wirkt Zusatz von einigen Prozenten Silber beschleunigend auf die Erreichung des Endzustandes.

Der außerordentlich rasche Verlauf der ersten Phase der Widerstands-
änderung hat sich auch (Graham Hall) dadurch nachweisen, daß man die mit einem Telefon und einer Batterie eines Sekundärelemente Zelle mit rasch Inter-
mittierendem Licht beobachtet. Man hört dann im Telefon einen Ton, dessen Schwingungszahl gleich der Zahl der Interruptionen. Die intermittierende Belohnung kann man durch eine rotierende Sektorenscheibe oder durch eine numeri-
sche Flamme nach König (vgl. Bd. I, § 214) erzeugen. Ein vollständiges Instrumentarium für derartige Versuche hat J. W. Githney²⁾ in Delft (Holland)
angefertigt.

Temperaturerhöhung verringert die Lichtempfindlichkeit, die bei etwa 100°C fast ganz verschwindet. Dagegen nimmt die Geschwindigkeit, mit der der Endwert erreicht wird, mit steigender Temperatur zu. Bei Abkühlung auf tiefe Temperaturen ruht sich die Empfindlichkeit wenig; es ist noch beobachtet worden ³⁾ die Empfindlichkeit bei -185° noch etwa drei Viertel der-
selben bei Zimmertemperatur.

Über die Abhängigkeit der Widerstandsänderung von der Wellenlänge des Lichtes finden sich bei älteren Autoren etwas schwankende Angaben, nach denen das Maximum der Wirkung im gelben bis roten Teil des Spek-
trums liegen soll; die Widersprüche erklären sich leicht aus der Verschieden-
heit der angewandten Lichtquellen, deren Spektren ganz verschiedene Energie-

¹⁾ Ruhner, I. c. mit M. Sperling, Dissertation. Göttingen 1908.

²⁾ Bullm. Journ. (8) 22, 808 (1880).

³⁾ Physik. Zeitachr. 2, 878 (1901) und 4, 287 (1908).

⁴⁾ Atti d. Lincei II, 289 (1902).

verteilungen besitzen. Bezieht man die Empfindlichkeit auf gleiche Strahlungsenergie der verschiedenen Spektralbezirke, so liegt nach A. H. Pfund¹⁾ das Empfindlichkeitsmaximum bei einer Wellenlänge von etwa 0,7 Mikron, also ziemlich in der Mitte des Rot.

Zum Schlusse mögen noch die zur Erklärung der Widerstandsänderung aufgestellten Theorien kurz besprochen werden. Die älteste, von W. Siemens²⁾ stammende, nimmt an, daß das Selen durch das Licht in eine besser leitende Modifikation verwandelt werde. Später sprach dann Sh. Bidwell³⁾ die Anschauung aus, daß die Leitung im Selen elektrolytischer Natur sei und von den an den Elektroden unter dem Einfluß des Lichtes sich bildenden Metallseleniden herrühre. Diese Ansicht wurde durch Versuche von G. Beradt⁴⁾ und A. H. Pfund⁵⁾ widerlegt, die beide auch mit Kohleelektroden empfindliche Selenzellen herstellten, obwohl die Kohle sich bei den in Frage kommenden Temperaturen nicht in nachweisbarer Menge mit dem Selen verbindet. Aus den Arbeiten von Mare und Sperling scheint mit Sicherheit hervorzugehen, daß die Lichtempfindlichkeit von einer durch das Licht verursachten Verwandelung von Selen α (nichtleitend) in Selen β (leitend) herrührt. Damit stimmt die vermehrte Einstellungsgeschwindigkeit bei hohen Temperaturen, da ja alle chemischen Reaktionen bei hoher Temperatur rascher verlaufen. Es erklärt sich auch die Unempfindlichkeit des reinen Selen β , wie man es durch Abschrecken von 200° auf 20° oder durch Erhitzen auf 200° erhält. Endlich erklärt sich auch die Gleichheit des Einflusses von Silberzusatz auf die chemische Gleichgewichtseinstellung zwischen α und β im Dunkeln einerseits und auf die Schnelligkeit der Änderung im Lichte andererseits.

§ 128. Präzisionswiderstände. Bei Ausführung elektrischer Messungen entsteht vielfach die Aufgabe, irgendwelchen Teilen eines Stromkreises einen Widerstand von ganz bestimmtem Betrag zu geben. Bei geringen Anforderungen an die Genauigkeit können hierzu schon die in § 114 beschriebenen Regulierwiderstände dienen, wenn sie mit einer Vorrichtung versehen sind, an der der Betrag des eingeschalteten Widerstandes abgelesen werden kann. Unter etwa 1 Proz. wird allerdings der mögliche Fehler bei Benutzung derartiger Widerstände nicht herabzudrücken sein.

Für genaueste Messungen (siehe namentlich die §§ 135 bis 140) dienen die Präzisionswiderstände, bei deren Herstellung auf folgende Punkte Rücksicht zu nehmen ist:

1. Der Widerstand soll bei einer bestimmten Temperatur, meist 20° C, bis auf etwa $1/10000$ mit dem Sollwert übereinstimmen.
2. Der Widerstand soll sich im Laufe der Zeit nicht merklich ändern.
3. Die Abhängigkeit von der Temperatur soll möglichst gering sein.
4. Die Drahtdicken sind so zu bemessen und die Ableitung der vom Strom entwickelten Wärme ist so zu gestalten, daß keine Erwärmung des Widerstandes eintritt, die den Widerstand um mehr als etwa $1/10000$ verändert (bei Manganin entspricht dies einer Temperaturerhöhung von 5°).
5. Die thermoelektrische Kraft (s. Kap. XIII) gegen Kupfer, das als Material für die Verbindungsleitungen ja fast allein in Betracht kommt, soll möglichst klein sein, um größere Störungen durch thermoelektrische Ströme bei den Messungen auszuschließen.

¹⁾ Phil. Mag. (6) 37, 26 (1904).

²⁾ Wied. Ann. 2, 534 (1877).

³⁾ Phil. Mag. (5) 20, 178 (1885); 40, 243 (1895).

⁴⁾ Physik. Zeitschr. 5, 121 (1904).

⁵⁾ 1 c.

6. Die Wickelung der Drahtrollen soll so ausgeführt sein, daß Störungen durch Selbstinduktion und gegenseitige Kapazität der Drahtwindungen abgelenkt werden können (s. Kap. IX).

Durch eine große Reihe von ausgedehnten Untersuchungen in der physikalisch-technischen Reichsanstalt¹⁾ sind die Methoden zur praktischen Befolgung der genannten Bedingungen ermittelt worden.

Als Material kommt ausschließlich Manganin (s. § 125) in Betracht, das von den jetzt genannten Widerstandsmaterialien den kleinsten Temperaturkoeffizienten hat; gegenüber dem Konstantan mit nicht viel größerem Koeffizienten hat es den Vorteil einer 20mal geringeren Thermoelektrischen Kraft gegen Kupfer (etwa $2,5 \cdot 10^{-6}$ Volt/Grad). Die mit Seide bespannten Mangandrähte werden „diffusor“²⁾ auf ein mit lackierter Seide lackiertes dünnwandiges Metallrohr von möglichst großem Durchmesser in einer einzigen

Fig. 417.



Lage gewickelt, mit Schellack abgezogen und vor dem endgültigen Abgeben 10 Stunden lang auf etwa 140° erwärmt. Durch diese Behandlung werden die beim Wickeln entstehenden Spannungen im Draht beseitigt, so daß spätere Temperaturschwankungen und Erschütterungen keine dauernden Änderungen des Widerstandes mehr hervorbringen (vgl. das „künstliche Alter“ der Magnete in § 11). Die in der Reichsanstalt ausgeführten Untersuchungen ergaben, daß sich die Manganinwiderstände während mehrerer Jahre um weniger als $\frac{1}{20000}$ ihres Wertes veränderten. Durch die Aufwicklung auf das Metallrohr wird für schnelle Abführung der vom Strom entwickelten Wärme gesorgt.

Der eigentliche Widerstand wird durch Hartlötlung mit den kupfernen Zuleitungen verbunden, deren aus der Schutzhülle hervorragende Enden zur Verbindung mit anderen Teilen des Stromkreises dienen.

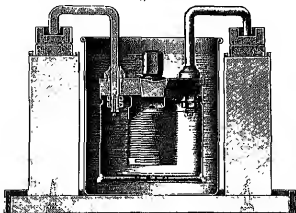
Zu den Ausführungsformen übergehend, beginnen wir mit der Beschreibung der „Normalwiderstände“, die, als von der Reichsanstalt geprüfte

¹⁾ Als ausführende Beobachter bei diesen Untersuchungen seien genannt (in alphabetischer Reihenfolge): Dronke-Hopert, Feussner, Jäger, Kahl, Kohlrausch, Lindbeck; s. Veröffentl. d. physik.-techn. Reichsanstalt.

²⁾ Die zur Vermeidung der „Selbstinduktions“-wirkungen beim Schließen und Öffnen des Stromes dienende „diffuse“ Wickelung besteht darin, daß der Draht in der Mitte um 180° gedreht wird, so daß seine beiden Hälften nebeneinander liegen und beim Aufwickeln eine doppelgelenkige Schraubenlinie entsteht, deren beide Teile von Strom in entgegengesetzter Richtung durchflossen werden. Über den physikalischen Effekt dieser Wickelungsart s. Kap. IX. Sehr große Widerstände werden besser nach einer von Glasperon (Compt. rend. 108, 760, 1889) angegebenen Methode bewickelt, indem abwechselnd mehrere Windungen rechtsgerichtet, dann ebenso viele linksgerichtet gewickelt werden. Dadurch werden auch noch die bei der Minuswicklung sehr stark auftretenden Kapazitätswirkungen aufgehoben.

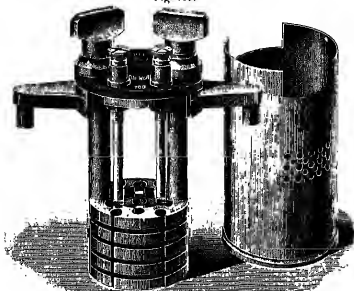
Etalons, hauptsächlich dazu dienen, andere Gebrauchswiderstände zu kontrollieren. Fig. 417 zeigt ein nach den Vorschriften der Reichsanstalt gebautes Normalohm in äußerer Ansicht¹⁾; Fig. 418 im Durchschnitt. Die Stromzuleitung geschieht durch Quecksilbernäpfe, in die die dicken kupfernen Hängel eingehängt werden.

Fig. 418.



Das durch einen Stöpsel verschließbare Loch im Hartgummidockel dient zur Einführung eines Thermometers. Bei Beanspruchung mit starken Strömen

Fig. 419.



wird der Widerstand zur Kühlung in ein Petrolenbad eingesenkt. In der beschriebenen Weise sind die Normalwiderstände im Betrage von 0,1, 1, 10 usw. bis zu 100 000 Ohm konstruiert.

¹⁾ Fabrikanten u. a.: O. Wolff, Berlin; Siemens u. Halske, Charlottenburg; Hartmann u. Braun, Frankfurt a. M.

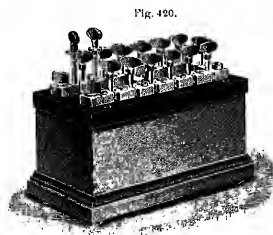


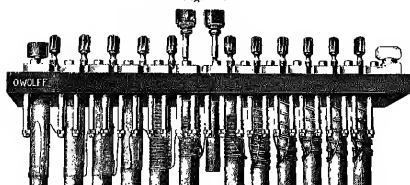
Fig. 420.

je zwei Klötze kann ein schwach konischer Stöpsel eingesteckt werden, wodurch die entsprechende Widerstandsrolle „kurzgeschlossen“ wird. Es sind also in den gesamten Stromkreis immer nur diejenigen Widerstände eingeschaltet, deren Stöpsel „gezogen“ sind. Der Übergangswiderstand zwischen den Messingklötzen und den Stöpseln beträgt bei sauberem Zustande ¹⁾ der letzteren nur wenige Tausendstel Ohm.

In die Messingklötze selbst sind meist noch Löcher gebohrt, in die man mit Klemmschrauben versehene „Abzweigstöpsel“ einsetzen kann. In Fig. 420 und 421 sind je zwei solcher Abzweigstöpsel sichtbar.

Die Widerstände sind meist ähnlich wie Gewichtesätze in der Reihenfolge 0,1, 0,2, 0,2, 0,5, 1, 2, 2, 5, 10, 20, 20, 50, 100, 200, 200, 500 usw.

Fig. 421.



Ohm angeordnet. Durch geeignete Auswahl der gezogenen Stöpsel kann man also jeden Widerstandswert von 0,1 Ohm bis zum doppelten Wert des höchsten Einzelwiderstandes in Abstufungen von je 0,1 Ohm herstellen. Auch die Anordnung 0,1, 0,2, 0,3, 0,4, 1, 2, 3, 4, 10, 20, 30, 40 usw. ist bisweilen in Gebrauch.

Die namentlich bei großer Anzahl der vorhandenen Stöpsel doch nicht immer ganz zu vernachlässigende Unsicherheit wegen des Übergangswider-

¹⁾ Zum Schutz gegen Oxydation reibt man die Stöpsel von Zeit zu Zeit mit etwas Petroleum ein. Bei Nichtegebrauch sind sämtliche Stöpsel nur ganz lose einzustecken; beim Gebrauch drückt man die Stöpsel mit leichter Drehung in ihre Löcher. Gezogene Stöpsel legt man nicht auf den Tisch, wo sie leicht mit Quecksilber oder Schmutz in Berührung kommen, sondern in eine Schale oder auf ein sauberes Papierblatt.

des der Stöpsel hat zur Konstruktion der sogenannten „Dekadenwiderstände“ geführt.

Jeder Dekade besteht aus zehn hintereinandergeschalteten Widerständen in je 0,1 oder 1 oder 10, 100 usw. Ohm.

Fig. 422 zeigt einen Dekadenwiderstand von 1 bis 10 Ohm;

Einbau der hintereinander-

geschalteten einzelnen Rollen

mit den kleinen Klötzchen ver-

binden; mittels bloß eines

Spieles kann jeder beliebige

Widerstand von 1 bis 10 Ohm

gengeschaltet werden, während

der zuerst beschriebenen An-

ordnung, z. B. beim Ziehen von

Stöpsel 1 Ohm, in einem Kasten von im ganzen 10 Ohm drei Stöpsel stecken

müssen. Natürlich sind die Dekadenwiderstände wegen der größeren Rollen-

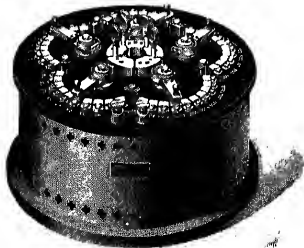
zahl teurer als die zuerst beschriebenen.

An Stelle des wandernden Stöpsels bei Dekadenwiderständen kann auch ein Kurbel dienen. Man erhält so eine Anordnung, die prinzipiell gleich derjenigen der in § 114 beschriebenen Kurbelregulierwiderstände ist, nur ist hier alles genauer gearbeitet und namentlich dafür gesorgt, daß an der rindischen und den Selbstkontakten keine schädlichen Übergangswider-

Fig. 422.



Fig. 423.



stände auftreten. Fig. 423 zeigt einen Kurbelwiderstand von Siemens Halske mit vier Kurbeln für die Zehntel, Einer, Hundertel und Tausender und außerdem Stöpsel für die Zehntausender.

Die oben beschriebenen Präzisionswiderstände eignen sich ihrer ganzen Bauart nach nicht für Belastung mit stärkeren Strömen. Als Belastungs-

A. 1 Volt (abgekürzt 1 V) ist diejenige elektromotorische Kraft, welche in einem Leiter von 1 Ohm Widerstand eine Stromstärke von 1 Amp. entwickelt.

Die elektromotorische Kraft eines Daniellschen Elementes, dessen Elektrolyte aus 16proz. Schwefelsäure und konzentrierter Kupfersulfatlösung bestehen, beträgt nach A. v. Walzenhofen¹⁾, dem wir die erste genaue Bestimmung dieser Zahl verdanken, 1,088 V.

Auf die praktische Ausführung absoluter Voltbestimmungen soll erst später eingegangen werden. Hier genügt der Hinweis auf eine prinzipiell ausführbare Methode: Wenn man das zu messende Element in einen Stromkreis von bekanntem Gesamtwiderstand R einschaltet und an einer mitangeschalteten Tangentenableser die Stromstärke I beobachtet, so ist: $E = I \cdot R$ die EMK des Elementes.

Da es viel leichter ist, elektromotorische Kräfte untereinander zu vergleichen (s. S. 140), als sie in absoluten Maß zu messen, so ist es vorsehenswerter, als konstantes Vergleichsobjekt eine stets reproduzierbare, un- für allemal in absoluten Maß gemessene EMK zu besitzen. Diesen Zweck erfüllen die sogenannten „Normallemente“. Die wesentlichen Bedingungen, die ein Normallement zu erfüllen hat, sind:

1. Elektroden und Elektrolyte im Element müssen aus solchen Substanzen bestehen, die in genügender Reinheit herstellbar sind, so daß bei vorschriftsmäßiger Zusammensetzung das Normallement stets dieselbe EMK besitzt.
2. Die EMK darf sich im Laufe der Zeit nicht ändern und darf auch nach Entziehen mäßiger Ströme keine dauernden Änderungen zeigen.
3. Die Abhängigkeit der EMK von der Temperatur soll möglichst klein sein.

Den genannten Bedingungen entspricht das Danielllement, das früher bisweilen als Normallement benutzt wurde, nur sehr schlecht. Dagegen hat das Element von Latimer Clark, kurz als Clarkelement bezeichnet, eine weite Verbreitung gewonnen. Seine Elektroden sind Quecksilber und 10proz. Zinkamalgam. Das Quecksilber ist mit einer Lauge aus Hg_2SO_4 und $ZnSO_4$ bedeckt und der übrige Raum mit gewässelter $ZnSO_4$ -Lösung gefüllt.

Näheres über die Einzelheiten bei der Herstellung und Füllung findet man in *Kalkenstein, Lehrb. d. physik. Physik*, 10. Aufl., S. 378; scheinbar auch *Literaturangaben*.

Die EMK des Clarkelementes für eine Temperatur t zwischen 0 und 18° beträgt nach den in der Physikalisch-Technischen Reichsanstalt ausgeführten Untersuchungen:

$$E = 1,4202 - 0,00123(t - 18) - 0,000007(t - 18)^2 \text{ Volt.}$$

Bei $t = 18^\circ$ ist also $E = 1,4202$ Volt.

Wegen der verhältnismäßig großen Änderung der EMK mit der Temperatur, die mehr als $\frac{1}{1000}$ Volt pro Grad beträgt, muß die Temperatur genau bekannt sein; die Clarkelemente enthalten deshalb meist auch ein Thermometer. Fig. 424 zeigt ein Clarkelement nach Angabe von Foussner mit eingebautem Thermometer, dessen Skala in einem Ausschnitt des Deckels sichtbar ist²⁾.

¹⁾ Pogg. Ann. 133, 465 (1868). Zeitschr. f. Elektrotechnik 1884, S. 707.

²⁾ Bezugswindeln: Homen u. Halse, Hartmann u. Braun, O. Wolff u. v.

Nonovrlings ist an Stelle des Clarkelements ein der Weston-Electric-Comp. patentiertes Element in Gebrauch gekommen, das meist kurz als Weston-Element bezeichnet wird und sich von Clarksehem wesentlich dadurch unterscheidet, daß Zink und Zinksulfat durch Cadmium und Cadmiumsulfat ersetzt sind. Die Lösung enthält bei 4° gesättigtes Cadmiumsulfat. Die EMK beträgt:

Fig. 424.



$$E = 1,0187 - 0,000035(t - 18) \\ - 0,0000035(t - 18)^2 \text{ Volt.}$$

Der Hauptvorteil des Weston-Elements gegenüber dem Clark-Element ist der 35 mal kleinere Temperaturkoeffizient, der meist ganz vernachlässigt werden kann.

Normal-Elemente dienen nicht zur Strom-herforung, sondern nur zu Messungen mittels sogenannter Nullmethoden (siehe weiter unten § 140), bei denen höchstens Ströme von einigen tausendstel Ampere dem Element entnommen werden. Störkreis-Bemessung bewirkt Sinken der EMK durch Polarisation, die erst nach längerer Zeit wieder verschwindet. Am besten schützt man das Element vor Überanstrengung dadurch, daß man stets einen Widerstand von etwa 500 Ohm vorschaltet.

Fig. 425.



Zur Aufladung von Elektromotoren auf konstante Spannung und andere ähnliche Zwecke hat F. Kröger¹⁾ eine Batterie aus 100 kleinen finger-

¹⁾ Physik. Zeitschr. 7, 182 (1906). Fabrikant: Spindler u. Hoyer, Göttingen.

von Kadmiumelementen konstruiert, die zusammen etwa 102 Volt Spannung besitzen. Fig. 426 zeigt die Anordnung der Batterie in verschließbarem Schutzkasten. Die Klemmen gestatten eine Abstufung der Spannung zu 20 Volt.

430. Elektromagnetische Einheit der Spannung und der Kapazität.
Wenn wir die beiden Elektroden eines galvanischen Elementes mit einem genügend empfindlichen Elektromotor, etwa mit dem Quadranten- oder Radantenelektromotor verbinden, dessen Nadel mit einer hohen Hilfsbelastung ist, so finden wir, daß eine Potentialdifferenz oder Spannungsabweichung zwischen den beiden Elektroden vorhanden ist.

Ein solches Quadrantenelektromotor paßt auch ein Millenelektromotor (Fig. 427), dessen Mittchen man mit der einen, dessen Nadel man mit der anderen Elektrode verbindet. Will man auch ein gewöhnliches Millenelektromotor in Verbindung mit einem Voltaschen Kondensator benutzen.

Wenn wir mehrere gleichartige Elemente hintereinander, so finden wir, daß die Spannung an ihren äußeren Enden proportional ihrer Anzahl, ganz ähnlich wie in § 107 an dem Platten einer Voltaschen Säule gefunden haben. Wenn wir endlich die an verschiedenartigen Elementen, etwa an einem Daniell- und einem Bunsenelement elektrometrisch gemessenen Spannungen vergleichen, so finden wir sie proportional mit den Stromstärken, die dieselben in Stromkreisen von gleichem Widerstande erzeugen. Bei Ausführung dieser Versuche ist der Bruchwiderstand im Kreise so hoch zu nehmen, daß der verschiedene innere Widerstand der Elemente nicht in Betracht kommt. Es muß ein Galvanometer von genügend hoher Empfindlichkeit zu Grunde liegen. Ein Spiegelgalvanometer von etwa 1 Skalenteil Ausschlag bei 1 Amp. und ein Leitungswiderstand von 10000 Ohm würde bei einem Daniell-Element etwa 100 und bei einem Bunsenelement etwa 200 Tls. Ausschlag geben.

Bei dieser Vergleichung der elektrometrischen und galvanometrischen Spannungen folgt:

Die Potentialdifferenz an den Elektroden einer ruhenden Strom liefernden galvanischen Batterie ist ihrer elektromagnetischen Kraft proportional.

Um diese Proportionalität zu einer Gleichheit zu machen, muß für die Spannungsdifferenz ebenfalls eine elektromagnetische Einheit einführt und diese gleich derjenigen Spannung sein, die an den Elektroden einer stromlosen Batterie von der Größe der EMK herrschen würde.

Ein galvanisches Element, dessen EMK gleich 1 Volt oder gleich 1 Einheiten, würde also an einem Elektromotor eine Spannung von 1 Volt oder 10⁸ CGS-Einheiten erzeugen.

Wenn wir also unser Elektromotor einmal mit einem Element von bestimmter EMK in Volt oder CGS-Einheiten gewogen haben, etwa mit einem Weston-Element, so können wir die EMK jedes beliebigen anderen Elementes an dem Elektromotor messen.

Wir wollen noch das Verhältnis der elektromagnetischen zur elektromagnetischen Spannungseinheit bestimmen.

- Poullet-Labandier. IV.

Aus dem Ohmschen Gesetz folgt:

$$J = I/w \text{ oder } I = J.w \quad (1)$$

ferner haben wir in § 122 mittels des Jouleschen Gesetzes die Widerstandseinheit dadurch definiert, daß der Strom $J = 1$ CGS im Widerstand $w = 1$ CGS eine Wärmemenge von $Q = 1$ Erg pro Sekunde entwickeln sollte. Nach Gleichung (3) in § 122 war

$$Q = J^2.w \quad (2)$$

oder wegen Gleichung (1):

$$Q = E.J \text{ Erg/Sek.} \quad (3)$$

Da nun nach Gleichung (4) in § 102 dieselbe Beziehung auch bei elektrostatischer Messung von E und J gilt, so erhalten wir die Gleichung:

$$E_{\text{CGS}}.J_{\text{CGS}} = E_{\text{egs}}.J_{\text{egs}} \quad (4)$$

oder

$$\frac{E_{\text{CGS}}}{E_{\text{egs}}} = \frac{J_{\text{egs}}}{J_{\text{CGS}}} = 3.10^{10} \text{ (vgl. § 120)} \quad (5)$$

Aus (5) folgt: Die elektromagnetische Spannungseinheit ist 3.10^{10} mal kleiner als die elektrostatische.

Da ferner 1 Volt gleich 10^8 CGS ist, so folgt:

$$\frac{3.10^{10}}{10^8} = 300 \text{ Volt} = 1 \text{ cgs-Einheit} \quad (6)$$

Wenn nun auch EMK und Potentialdifferenz oder Spannung durch die gleichen Maßeinheiten ausgedrückt werden, so sind beide doch Größen ganz verschiedener Art und dürfen nicht miteinander verwechselt werden.

Es können z. B. bei elektrostatischen Versuchen Potentialdifferenzen vorhanden sein ohne EMK, und es sind Fälle denkbar, wo zwischen zwei Punkten eines Leitersystems eine EMK angenommen werden muß, obgleich beide Punkte auf gleichem Potential sind.

Unter einer EMK verstehen wir eine Ursache, durch welche unter Verbrauch irgend welcher (chemischer, thermischer oder mechanischer) Energie das Gleichgewicht der Elektrizität dauernd gestört wird, so daß entweder ein Strom, oder aber, wenn der Kreis unterbrochen ist, bloß eine Potentialdifferenz entsteht. Eine EMK besteht also z. B. an der Berührungsstelle zwischen einer Zinkplatte und dem Elektrolyten eines galvanischen Elementes, denn dort wird chemische Energie verbraucht, um Elektrizität aus der Zinkplatte in die Flüssigkeit zu treiben, so daß diese ein höheres Potential annimmt als jene. Die Elektrizitätsbewegung findet also dabei entgegen den elektrostatischen Kräften statt, die allein nur eine Bewegung von höheren zu niederen Potential hervorbringen.

Die EMK eines Elementes ist nur im stromlosen Zustande gleich der Potentialdifferenz seiner Elektroden. Denn denken wir uns etwa das Element durch einen ganz kurzen, dicken Draht geschlossen, so ist die Potentialdifferenz der Elektroden fast Null. Die EMK des Elementes ist aber dieselbe geblieben, wenn wir von Polarisationserscheinungen hier absehen. Dagegen würden wir jetzt zwischen den an die Elektroden grenzenden Flüssigkeitsschichten eine Potentialdifferenz etwa gleich der EMK finden, während im stromlosen Zustande die ganze Flüssigkeit dasselbe Potential hat. (Näheres hierüber siehe auch § 131.)

Einheit der Kapazität:

Aus der Einheit der Potentialdifferenz und der in den §§ 118 und 120 definierten Einheit der Elektrizitätsmenge erhalten wir die Einheit der Kapazität im CGS-System, indem wir in der Gleichung (1) des § 74:

$$\Phi = e/K \text{ oder } K = e/\Phi \quad (7)$$

auf der rechten Seite statt der Werte in egs-Einheiten diejenigen in CGS-Einheiten setzen. Demnach gilt:

$$K_{\text{CGS}} = e_{\text{CGS}}/\Phi_{\text{CGS}} \quad (8)$$

In Worten:

B. Die Einheit der Kapazität (CGS) wird von der Einheit der Elektrizitätsmenge (CGS) auf das Potential 1 (CGS) geladen.

Das Verhältnis der Zahlenwerte einer gegebenen Kapazität in elektromagnetischen und elektrostatischen Maß ergibt sich zu:

$$K_{\text{CGS}}/K_{\text{egs}} = e_{\text{CGS}}/e_{\text{egs}} \cdot \Phi_{\text{egs}}/\Phi_{\text{CGS}} = \frac{1}{9 \cdot 10^{20}} \quad (9)$$

Die elektromagnetische Kapazitätseinheit ist also $9 \cdot 10^{20}$ mal größer als die elektrostatische. Von dieser Größe mag man sich einen Begriff machen aus der Angabe, daß der Radius einer Kugel von der Kapazität 1 CGS etwa 200 mal größer ist als der Abstand zwischen der Sonne und dem Sirius, und vom Lichte in etwa 1000 Jahren durchlaufen werden würde.

Man ist deshalb übereingekommen, auch für die Kapazität eine praktische Einheit einzuführen, die man zweckmäßigerweise so wählte, daß die Gleichung (7) gültig bleibt, wenn man für Kapazität, Elektrizitätsmenge und Spannung in Stelle der absoluten die praktischen Einheiten einsetzt. Die praktische Kapazitätseinheit hat den Namen „Farad“ erhalten. Es gilt also:

$$1 \text{ Farad} = \frac{1 \text{ Coulomb}}{1 \text{ Volt}} \quad (10)$$

Da 1 Coulomb $= 10^{-1}$ CGS und 1 Volt $= 10^8$ CGS, so folgt:

$$1 \text{ Farad} = 10^{-9} \text{ CGS} \quad (11)$$

Auch diese Einheit ist noch immer un bequem groß, da eine Kugel von 1 Farad Kapazität einen Radius von $9 \cdot 10^{11}$ cm haben würde. Man rechnet deshalb meistens mit 1 Millionstel Farad $= 1$ „Mikrofarad“ als einer in Form von Papier- oder Elmuorkondensatoren (vgl. § 77) bequem herstellbaren Einheit. Sie entspricht einer Kugel von 9 km Durchmesser. Man merke noch die für Umrechnungen nützliche Beziehung:

$$1 \text{ Mikrofarad} = 10^{-6} \text{ CGS} = 900\,000 \text{ egs} \quad (12)$$

§ 131. Weitere Bestimmungen des Ohmschen Gesetzes 4). In § 121 haben wir das Ohmsche Gesetz für die galvanisch erzeugten Ströme in der Form abgeleitet, daß, wenn E_0 die gesamte EMK der wirkenden Batterie und Π_0 die Summe aller Widerstände war, die Stromstärke durch den Ausdruck:

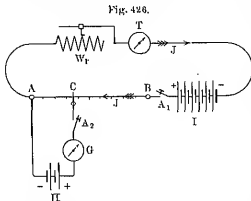
$$J = E_0/\Pi_0 \quad (1)$$

4) Die in den Jahren 1825 und 1824 in Schweiggers Journal veröffentlichten Abhandlungen Ohms, deren Resultate hier in § 131 des 196 entwickelt werden, sind in dem bereits auf S. 209 erwähnten Werk zusammengefaßt.

gegeben war. Wir wollen im Folgenden zeigen, daß wir auch hier (genau wie in § 101 für sehr schwache Ströme in schlechten Leitern direkt und in § 102 für rasch veränderliche Ströme in metallischen Leitern indirekt nachgewiesen wurde) das Ohmsche Gesetz auf jeden beliebigen Teil eines Stromkreises anwenden können. Ist also E die Spannungsdifferenz an den Enden irgend eines vom Strome J durchflossenen Drahtstückes vom Widerstande W , so soll auch hier gelten:

$$J = E/W. \quad (2)$$

Spannungsgefälle: Greifen wir aus einem vom Strome J durchflossenen Drahte AB (Fig. 426) ein beliebiges Stück $AC = L$ heraus, so ist dessen Widerstand der Längedes Stückes proportional. Die Spannungsdifferenz E der Enden von AC muß also, da J im ganzen Drahte gleich groß, nach Gleichung (2) der Länge L proportional sein.



Um die Richtigkeit dieses Schlusses experimentell nachzuweisen, könnte man, während ein mittels eines Regulierwiderstandes W , konstant gehaltenen Strom den Draht durchfließt, die Punkte A und C mit den Quadrantenpaaren

eines empfindlichen Quadranten elektrometers (Schaltung I, § 99) oder mit den beiden Platten eines Voltaschen Kondensators verbinden, und so die Spannungen direkt elektrostatisch messen¹⁾. Für Vorlesungszwecke ist folgende, von L. Clark²⁾ stammende Anordnung bequemer.

Eine Batterie I von etwa 6 Volt (drei Bunsenelemente oder Akkumulatoren, oder sechs Daniell-Elemente, oder fünf große Trockenelemente) sendet einen mittels eines Regulierwiderstandes W , von maximal etwa 20 Ohm regulierbaren Strom J durch eine Tangentenbusssole T , einen gerade ausgespannten Manganinddraht AB von etwa 1 m Länge und 0,8 mm Querschnitt und einen Ausschalter A_1 . Auf dem Drahte läßt sich ein verschiebbarer Kontakt C maßbar verschieben (vgl. Fig. 341, S. 364).

Der Draht hat etwa 6 bis 7 Ohm Widerstand und hält den bei völlig ausgeschalteter W , entstehenden Strom von etwa 1 Amp. ohne übermäßige Erhitzung kurze Zeit aus. Man halte A_1 nur so lange geschlossen, als für die Ausföhrung eines Versuches nötig. Eine Tangentenbusssole von etwa 20 cm Radius mit 10 Windungen gibt passende Ausschläge.

Mit den Punkten A und C ist eine Zweigleitung verbunden, die ein empfindliches Galvanometer G und eine Batterie II von konstanten Elementen enthält, die, weil sie nur wenig Strom zu liefern haben, sehr klein sein können. Es genögen sechs bis acht ganz kleine Trockenelemente. Ein

¹⁾ Tatsächlich so ausgeföhrt von R. Kohlrausch, Pogg. Ann. 78, 1 (1849).

²⁾ Journ. de phys. 1, 367 (1872).

Erhöher der Anschalter A_2 (vgl. Fig. 334 oder Fig. 335, S. 342) gestattet, die Zweigleitung nur auf einen Augenblick zu schließen.

Erster Versuch: Wir schalten bei II zuerst bloß ein Element mit der in der Figur angedeuteten Polrichtung ein, machen W möglichst klein, schließen den Strom J bei A_1 und verschieben dann C so lange, bis beim Niederdrehen von A_2 das Galvanometer G keinen Ausschlag zeigt. Der Punkt C wird ziemlich nahe an A liegen. Sei L_1 die Länge AC . Dann schalten wir zwei Elemente bei II ein und finden, daß wir umsoviel C nach B hin verschieben müssen bis zu einem Abstand $AC = L_2$. Dasselbe machen wir dann mit drei und mehr Elementen bei II, bis der Punkt C dicht an B heranrückt. Während der ganzen Versuchreihe maß, wenn nötig, durch kleine Verschiebungen von W , der Strom J konstant gehalten werden.

Ist n die Zahl der bei II eingeschalteten Elemente und L_n die zugehörige Länge von AC , so ergibt der Versuch, daß L_n proportional n ist.

Beispiel: Ablenkung der Tangentenbussole $\varphi = 44,5^\circ$, entsprechend etwa 0,74 Ampere.

$n \leftarrow$	1	2	3
$L, n \leftarrow$	20,3	58,8	87,2 cm
$J, n \leftarrow$	20,3	20,4	20,1

Was folgt nun aus diesem Versuche? Aus der Stromlosigkeit in der Zweigleitung folgt, daß das Potential jedes zusammenhängenden metallischen Teiles konstant sein muß (vgl. § 87, Satz A). Es herrscht sich also C auf gleichem Potential, wie der $+$ -Pol, und A auf gleichem Potential wie der $-$ Pol der Batterie II. Da diese Stromlos, so ist die Potentialdifferenz ihrer Elektroden gleich ihrer EMK (vgl. § 130), also proportional der Anzahl n der eingeschalteten Elemente; n ist somit proportional der Potentialdifferenz zwischen C und A , und aus der Konstanz der letzten Zeile der Tabelle folgt:

A. Die Spannungsdifferenz zweier Punkte eines stromdurchflossenen Drahtstücken ist der Länge dieses proportional, oder das „Spannungsgefälle“ längs des Drahtes ist konstant.

Man kann diesen Satz benutzen, um beliebige meßbar veränderliche Spannungen zu erzeugen; z. B. kann man die Skala eines Quadranten elektrometers eichen, indem man die beiden Quadrantenpaare mit A und C verbindet; ist der Strom im Leitdraht konstant, so sind die Spannungen proportional den Längen AC .

Zweiter Versuch: Wir schalten bei II drei Elemente ein, schieben den Kontakt C möglichst nahe an das Ende B und regulieren den Strom durch Änderung von W , so ein, daß die Zweigleitung stromlos wird. Dann machen wir denselben Versuch, ohne C zu verschieben, mit zwei Elementen bei II. Wir müssen, um wieder Stromlosigkeit der Zweigleitung zu erzielen, den Strom J im Drahte AB abschwächen, indem wir W , entsprechend vermehren. Können noch weitere Abschwächung des Stromes ist nötig, wenn wir bloß ein Element bei II einschalten.

Folgende Tabelle zeigt die Ergebnisse einer Versuchreihe:

$AB \leftarrow$	100 cm,	$AC \leftarrow$	90 cm
$n \leftarrow$	1	2	3
$\varphi \leftarrow$	18°	33°	44°
$Iq \varphi \leftarrow$	0,32	0,65	0,97
$Iq \varphi \cdot n \leftarrow$	0,32	0,32	0,32

Das Resultat besagt, da n die Spannungsdifferenz an AC und l/g den Stromstärke mißt:

B. Das Spannungsgefälle an einem stromdurchflossenen Draht ist der Stromstärke proportional.

Dritter Versuch: Die in Fig. 427 dargestellte Vorrichtung besteht aus drei parallelen Mangandrähten AB von je 100, zwei parallelen Drähten BC von je $60\frac{1}{2}$ und einem Draht CD von $38\frac{1}{2}$ cm Länge, die mit ihren Enden so an Messingklötze verschraubt oder verlötet sind, daß der Strom die drei Strecken hintereinander durchfließen muß. An Stelle der parallel verbundenen Drähte können auch einfache Drähte vom doppelten bzw. dreifachen Querschnitt des einfachen Drahtes benutzt werden. Wir schalten die

Fig. 427.



Vorrichtung mit ihren Enden A und B an Stelle des Drahtes AB in die Schaltung Fig. 428 ein und legen eine Zweigleitung mit einem Element zunächst an die beiden Punkte A und B und regulieren an Länge, bis die Zweigleitung stromlos ist.

Wenn wir jetzt bei konstant bleibendem J die Zweigleitung von A nach B fortnehmen und an B und C oder an C und D anlegen, so erhalten wir ebenfalls Stromlosigkeit, die Spannungsdifferenz ist also an den drei Teilen AB , BC und CD dieselbe. Daraus folgt, in Verbindung mit Satz A:

C. Das Spannungsgefälle an einem stromdurchflossenen Drahte ist dem Drahtquerschnitt umgekehrt proportional.

Wir können die drei gefundenen Sätze in die einheitliche Zusammenfassung:

$$E = k \cdot J \cdot l \cdot q \quad (3)$$

Hierin bedeutet E die Spannungsdifferenz an den Enden der Drahtstrecke von der Länge l und dem Querschnitt q , k ist ein Proportionalitätsfaktor, der noch vom Drahtmaterial abhängt; wir bestimmen ihn leicht folgendermaßen:

Wir betrachten einen Stromkreis, der aus einem Elemente und einer Reihe verschiedenartiger Leiter von den Längen $l_1, l_2 \dots$ und den Querschnitten $q_1, q_2 \dots$ besteht; auch die Elementenflussigkeit selbst werde hierin eingerechnet. Dann erhalten wir für jeden einzelnen Leiter eine Gleichung von der Form der Gleichung (B). Addieren wir sie alle, so erhalten wir links die Summe E_n aller Spannungsdifferenzen, d. h. die EMK des Elementes. Es gilt also:

$$E_n = J \cdot (k_1 l_1 / q_1 + k_2 l_2 / q_2 + \dots) \quad (4)$$

Vergleichen wir dies mit Gleichung (1) in § 121, so sehen wir, daß der Klammerausdruck weiter nichts ist, als der Widerstand R_n des gesamten Stromkreises.

Die Faktoren k_1, k_2 usw. sind also die spezifischen Widerstände der einzelnen Leiterstücke, und die Gleichung (3) geht über in:

$$E = J \cdot l \text{ oder } l = E/J \text{ oder } l = E \cdot W \quad (5)$$

was mit Gl. (2) identisch ist. Damit ist die Anwendbarkeit des Ohmschen Gesetzes auf beliebige Leiterstücke bewiesen.

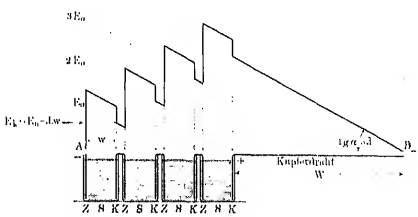
Stellt man ein Leiterstück durch eine horizontale Strecke dar, deren Länge gleich dem Widerstand des Stückes ist („reduzierte Länge“ nach ihm, vgl. § 101) und trägt die an jedem Punkte herrschende Spannung als Ordinate auf, so erhält man, wie schon in § 101, Fig. 271 gezeigt wurde, ein Ohmsches „Spannungsdiagramm“ eine gerade Linie, deren Neigungswinkel α mit der Stromstärke durch die Gleichung

$$\tan \alpha = J \text{ (vgl. § 101, Gl. 8)} \quad (6)$$

sammenhängt.

In ganz ähnlicher Weise erhält man das Diagramm für einen vollständigen Stromkreis. Fig. 428 stellt z. B. die Spannungsverteilung an

Fig. 428.



dem Kreise dar, der aus vier Zink-Kupfer-Elementen besteht, die durch einen Kupferdraht von solcher Länge verbunden sind, daß sein Widerstand gleich dem Gesamtwiderstand der Batterie ist. Ferner ist der Widerstand der einzelnen Elemente verbindenden Drähte gleich $1/3$ des Flüssigkeitswiderstandes w in Elementen angenommen. Den Widerstand der Elektroden können wir vernachlässigen. An den Berührungsstellen der Elektroden mit der Flüssigkeit finden „Potentialsprünge“ statt, deren Differenz E_0 , d. i. der EMK des Elementes ist. Der Stromkreis ist in der Figur aufgeschnitten dargestellt. Man hat sich die beiden Endpunkte A und B einander berührend vorzustellen. Ferner ist angenommen, daß B mit Erde abgeleitet sei.

1) Aus $J = \frac{E}{W} = \frac{E_0}{W_0}$ folgt $E/E_0 = \frac{W}{W_0}$; diese Beziehung, die von H. Kohlrausch elektrometrisch geprüft wurde. [Pogg. Ann. 78, 1 (1849).]

Wird Punkt B ein anderer Punkt abgeleitet, so rückt, genau wie in Fig. 271, das ganze Diagramm parallel mit sich selbst herunter.

Klemmspannung: Wie aus der Figur unmittelbar zu sehen, beträgt die Potentialdifferenz der Elektroden jedes Elementes bei geschlossenen Stromkreise nicht E_0 , sondern

$$E_k = E_0 - w \cdot I \quad \text{oder} \quad E_k = E_0 - w \cdot J \quad (7)$$

oder für die ganze Batterie:

$$E_k = n E_0 - n w J \quad (8)$$

Man bezeichnet E_k als die „Klemmspannung“ des Elementes. Den Elementwiderstand w bezeichnet man auch als „inneren Widerstand“, während man den Widerstand W der übrigen Leitung den „äußeren Widerstand“ nennt.

Sind n Elemente hintereinandergeschaltet, so ist:

$$J = n E_0 / (n w + W) \quad (9)$$

denn $n E_0$ ist die Summe aller EMK und $(n w + W)$ ist die Summe aller Widerstände.

Läßt man hierin W immer mehr wachsen, im Diagramm also den Punkt B immer weiter nach rechts rücken, so wird J immer kleiner. Für $W = \infty$ wird schließlich $J = 0$ und $E_k = n E_0$, d. h. im stromlosen Zustande ist die Klemmspannung der Batterie gleich ihrer EMK.

Aus (8) und (9) folgt:

$$\frac{E_k}{n E_0} = 1 - \frac{n w}{n w + W} \quad (10)$$

Das Verhältnis der Klemmspannung zur EMK hängt also nur von dem Verhältnis des inneren zum gesamten Widerstand ab. Je kleiner dieses Verhältnis, desto mehr nähert sich die Klemmspannung der EMK.

§ 132. Günstigste Schaltungswise einer Batterie. In § 113 sind die verschiedenen Verbindungsmöglichkeiten galvanischer Elemente beschrieben. Das Ohm'sche Gesetz liefert uns die Möglichkeit, die jeweils günstigste Schaltung einer gegebenen Elementenzahl zu ermitteln. Wir betrachten zunächst zwei extreme Fälle:

1. W sei sehr klein gegen w . Das ist der Fall, wenn man eine Anzahl maßig großer Elemente durch einen sehr kurzen, nicht gar zu dünnen Draht verbindet, wie z. B. bei dem in § 110 dargestellten Uhuversuch. Dann können wir in Gl. (8) W gegen $n w$ vernachlässigen und erhalten in erster Annäherung:

$$J = n E_0 / n w = E_0 / w \quad (11)$$

Der Strom ist also mit n hintereinandergeschalteten Elementen nicht wesentlich stärker als mit einem einzigen.

Andero ist das Resultat bei paralleler Schaltung der Elemente. Dann ist die EMK gleich E_0 geblieben, der innere Widerstand dagegen auf den n ten Teil, also auf w/n gesunken und der Strom wird:

$$J = \frac{E_0}{w/n} = n \frac{E_0}{w} \quad (12)$$

Der Strom ist also n mal stärker geworden. Bei sehr kleinem äußeren Widerstand schaltet man deshalb am besten die Elemente neben-

einander, oder man nimmt ein einziges Element mit möglichst großer Oberfläche!)

2. W sei sehr groß gegen nw . Wenn die Elemente hintereinander verbunden sind, so erhalten wir bei Vernachlässigung von nw gegen W in (11. (8)) für J den Wert:

$$J = n \cdot E_0 / W \quad (13)$$

der Strom wird also proportional der Elementenzahl. Schalten wir dagegen die Elemente parallel, so ist der summierte innere Widerstand n erst recht zu vernachlässigen und der Strom ist

$$J = E_0 / W \quad (14)$$

Bei sehr großem äußeren Widerstand schaltet man also die Elemente am besten hintereinander; dagegen hat die Größe der Elemente wenig Einfluß auf die Stromstärke. Dieser Fall tritt z. B. bei Telegraphenanlagen ein, wo der Widerstand der Elemente gegen den Hunderte von Ohm betragenden Widerstand der Leitungen gar nicht in Betracht kommt.

Für den allgemeinen Fall, daß innerer und äußerer Widerstand von vergleichbarem Wert sind, erhält man die günstigste Schaltung folgendermaßen. Wenn man aus den

$$n = a \cdot b \quad (15)$$

Elementen b hintereinandergeschaltete Gruppen von je a parallelgeschalteten Elementen bildet, so ist die EMK der Batterie gleich bE_0 . Ihr innerer Widerstand ist, da jede einzelne Gruppe den Widerstand w/a hat:

$$w_i = b \cdot \frac{w}{a} = \frac{b^2 w}{n} \quad (16)$$

Also ist:

$$J = \frac{b E_0}{\frac{b^2 w}{n} + W} = \frac{E_0}{\frac{b w}{n} + \frac{W}{b}} \quad (17)$$

J ist am größten, wenn der Nenner des Bruches am kleinsten. Wir suchen also denjenigen Wert von b aufzusuchen, für den der Ausdruck

$$\frac{b w}{n} + \frac{W}{b} \text{ ein Minimum}$$

ist. Wir betrachten zunächst b als kontinuierlich veränderlich, obgleich es eigentlich eine ganze Zahl sein muß, und definieren einen bestimmten Wert b_0 so, daß:

$$\frac{b_0 w}{n} = \frac{W}{b_0} \text{ also } \frac{b_0 w}{n} + \frac{W}{b_0} = 2 \frac{W}{b_0} \quad (18)$$

Wir wollen beweisen, daß b_0 der gesuchte Wert ist:

Wir setzen $b = \alpha b_0$, wo α ein beliebiges Zahlenfaktor, dann wird

$$\frac{b w}{n} + \frac{W}{b} = \alpha \frac{b_0 w}{n} + \frac{W}{b_0} \cdot \frac{1}{\alpha} = \frac{W}{b_0} \left(\alpha + \frac{1}{\alpha} \right) \quad (19)$$

*) Zum Beispiel einen Akkumulator.

Nun ist $\alpha + \frac{1}{\alpha}$ stets größer als 2, mag α größer oder kleiner als 1 sein.

Nur für $\alpha = 1$ ist $\alpha + \frac{1}{\alpha} = 2$.

Es ist also $\frac{b_{II'}}{n} + \frac{II'}{b}$ stets größer als $2 \frac{II'}{b_0} = \frac{b_0 II'}{n} + \frac{II'}{b_0}$. Das Resultat gewinnt die einfachste Gestalt, wenn wir Gl. (18) mit b_0 erweitern, dann wird:

$$\frac{b_0^2 II'}{n} = II' \quad (20)$$

Die linke Seite ist aber nach (16) der innere Widerstand der Batterie, so daß das Resultat in Worten lautet:

A. Mit einer gegebenen Anzahl von Elementen erhält man den stärksten Strom, wenn man sie so verbindet, daß der innere Widerstand möglichst nahe gleich dem äußeren wird.

Zur bequemen Berechnung schreiben wir an Stelle von (20):

$$b = \sqrt{\frac{II' \cdot n}{w}} \quad (21)$$

Beispiel: Man habe acht Daniell-Elemente zur Verfügung, für die $w = 0,5$ Ohm und $E_0 = 1,1$ Volt. Der äußere Widerstand betrage $II' = 1,5$ Ohm. Dann ist:

$$b = \sqrt{\frac{1,5 \cdot 8}{0,5}} = 4,0 \text{ oder rund } \approx 5.$$

Da aber 8 durch 5 nicht teilbar, so ist $b = 4$ die günstigste mögliche Kombination. Folgende Tabelle enthält die Stromstärken nach Gl. (17) für die möglichen vier Schaltungen (vgl. Fig. 816 bis 819, S. 357).

b	n	α	I
8	1	1	1,00 Ampere
4	2	2	1,76 "
2	4	4	1,20 "
1	8	8	0,705 "

§ 123. Günstigste Bewickelung eines Galvanometers. Wenn die konstruktiven Einzelheiten eines Galvanometers, also Form und Größe der Nadel und der zu bewickelnden Spulen gegeben sind, so kann man dem Instrument doch noch eine sehr verschiedene Empfindlichkeit geben, je nach der Dicke des Drahtes, mit dem man den verfügbaren „Wicklungsraum“ ausfüllt. Bei der Frage nach der günstigsten Wickelungsart wird man zwei Fälle unterscheiden müssen:

I. Der zu messende Strom sei fest gegeben, während man über die zu seiner Erzeugung nötige EMK frei verfügen kann. Dann erhält man offenbar den größten Effekt im Galvanometer, wenn man die Wicklungszahl möglichst groß nimmt, also den Wicklungsraum mit möglichst dünnem Draht ausfüllt.

11. Die den Strom erzeugende elektromotorische Kraft, sowie die Widerstände der Stromquelle und der Zuleitungen zum Galvanometer seien gegeben. Dann wird die Frage komplizierter; nimmt man sehr dicken Draht zur Bewickelung der Galvanometerspule, so ist der Galvanometerwiderstand klein, der Strom wird also möglichst stark. Da von dem dicken Draht aber nur wenige Windungen in den verfügbaren Wicklungsraum hineingehen, so ist die Wirkung auf die Nadel doch verhältnismäßig klein. Nimmt man dagegen sehr dünnen Draht, so erhält man zwar sehr viele Windungen und starke Multiplikationswirkung, aber der Widerstand des Galvanometers ist jetzt so groß, daß die dadurch bewirkte Stromschwächung die verstärkende Wirkung der Windungszahl aufhebt. Es muß also zwischen beiden Extremen eine günstigste Windungszahl geben.

Es sei Q der Querschnitt des „Wicklungsraumes“, u die mittlere Länge einer Windung, n die Windungszahl und q der Drahtquerschnitt. Wir nehmen der Einfachheit halber an, daß die Dicke der Isolations-schicht zu vernachlässigen sei, so daß die Drähte den Raum völlig ausfüllen. Dann ist:

$$n = \frac{Q}{uq} \quad (1)$$

Die gesamte Drahtlänge ist nu ; wenn also s der spezifische Widerstand des Drahtes, so ist der Widerstand der Galvanometerspule:

$$w_g = s \cdot nu/q = s \cdot Q u/q^2 = s \cdot V/q^2 = s \cdot u^2 V/q^2 \quad (2)$$

wobei $V = Q \cdot u$ der Inhalt des Wicklungsraumes.

Ist w der Widerstand der übrigen Teile des Stromkreises, so ist die Stromstärke:

$$J = E_0 / (w + w_g) \quad (3)$$

Der Ausschlag der Galvanometernadel ist dem Produkte

$$n \cdot J = \frac{E_0}{w/n + s V n / q^2} \quad (4)$$

proportional. Der Ausschlag wird also bei gegebenem E_0 am größten, wenn der Nenner in Gl. (4) am kleinsten wird.

Bezeichnen wir mit n_0 denjenigen Wert von n , für den die Gleichung gilt:

$$w/n_0 = s V n_0 / q^2 \quad (5)$$

und setzen $n = \alpha n_0$, so erhalten wir wieder, genau wie in Gl. (19) des vorigen Paragraphen:

$$w/n + s V n / q^2 = w/n_0 \cdot (1/\alpha + \alpha) \quad (6)$$

Der Ausdruck wird also am kleinsten für $\alpha = 1$ oder für $n = n_0$. Multipliziert man aber Gl. (5) mit n_0 , so erhält man mit Rücksicht auf Gl. (2):

$$w = w_g \quad (7)$$

Das Galvanometer gibt also bei gegebenem EMK den größten Ausschlag, wenn man seinen Widerstand w_g gleich dem Widerstand w des übrigen Stromkreises macht.

Ist also w gegeben, so erhält man den geeigneten Drahtquerschnitt für die Bewickelung aus Gl. (2) und (7) zu:

$$q = \sqrt{s V / w} \quad (8)$$

$$n = \frac{Q}{\int \frac{r^2}{r} dr}$$

Da die Empfindlichkeit proportional $n \cdot J$ und nach (1) mit n proportional $\sqrt{w_0}$, so folgt, daß die „Stromempfindlichkeiten“, also die Ausschläge für eine gegebene Stromstärke, sich bei verschiedener Bewickelungsweise eines bestimmten Galvanometers wie die Wurzeln der Wickelungswiderstände verhalten. Dieses Gesetz wurde bereits in § 119 erwähnt.

Bei genauerer Durchführung der Rechnung, mit Berücksichtigung der Dicke der isolierenden Drahtbespinnung, erhält man an Stelle von (7) die Gleichung:

$$w_0/w = r/r' \quad (10)$$

wo r die Dicke des nackten und r' die Dicke des bespinnenen Drahtes.

Sind mehrere einzelne Spulen vorhanden, so kann man durch geeignete Verbindung in Parallel- oder in Reihenschaltung, ähnlich wie in § 132 für Elemente beschrieben wurde, den Galvanometerwiderstand dem günstigsten Werte möglichst nahe bringen.

Noch günstiger als eine Bewickelung mit gleichmäßig dicken Windungen ist übrigens, wie leicht einzusehen, eine solche, bei der die innersten, kürzesten Windungen, deren Widerstand ja einmiles klein ist, aus dünner, die äußeren Windungen dagegen, deren Länge und Widerstand größer, aus dickerem Draht hergestellt werden. Eine genaue Berechnung der besten Form und Dicke der einzelnen Drahtlagen findet man in Maxwell, Elektr. u. Magn. II, Art. 215 bis 220.

§ 134. Stromverzweigung: Kirchhoff's Sätze. Wird der Stromkreis einer galvanischen Kette nicht durch eine einfache Leitung gebildet, sondern ist die Leitung verzweigt, so lassen sich dennoch die Intensitäten des Stromes in jedem einzelnen Stromzweige aus dem Ohm'schen Gesetze ableiten. Es ist dies auch dann noch möglich, wenn die Stromverzweigung nicht eine einfache, sondern eine kompliziertere ist, und wenn nicht eine einzige, sondern mehrere Stromquellen in verschiedenen Zweigen vorhanden sind. Dieses Problem ist schon früher von Ohm¹⁾ und Pouillet²⁾, später von Poggendorff³⁾ und W. Weber⁴⁾, zuletzt aber in größter Allgemeinheit von Kirchhoff⁵⁾ gelöst worden.

Wie Kirchhoff gezeigt hat, lassen sich nämlich alle einschlägigen Probleme mit Hilfe zweier Sätze lösen, welche lauten:

- I. An jedem Knotenpunkte (Kreuzungspunkte) ist die algebraische Summe der Stromstärken gleich Null, wenn man die gegen den Knotenpunkt gerichteten und die von demselben ausgehenden Ströme mit entgegengesetztem Zeichen nimmt.
- II. In jedem geschlossenen Stromkreise, der durch die Verzweigung gebildet wird, ist die Summe der elektromotorischen Kräfte gleich der Summe der Produkte aus den Stromstärken mit den Widerständen der einzelnen Strecken.

¹⁾ „Die galvanische Kette usw.“ (vgl. S. 280).

²⁾ Compt. rend. 4, 287 (1837).

³⁾ Pogg. Ann. 54, 172 (1841).

⁴⁾ Ebend. 67, 273 (1846).

⁵⁾ Ebend. 64, 512 (1845); 72, 407 (1847); 75, 189 (1848).

Der Satz I ist sofort einleuchtend. Es sei in Fig. 429 der Punkt o ein Knotenpunkt. Auf den Leitern $a_1 o$, $a_2 o$ seien Ströme mit den Intensitäten i_2 gegen o gerichtet, auf den Leitern $b_1 o$, $b_2 o$, $b_3 o$ ströme Elektrizität mit der Stärke i_4 , i_1 , i_3 von o ab. Soll es nun nicht zu einer Anhäufung von Elektrizität am Punkte o kommen, so muß $-i_2 - i_2 - i_4 + i_1 + i_3 = 0$ sein. Der Satz II ergibt sich auf folgende Weise:

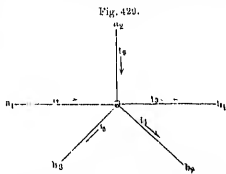
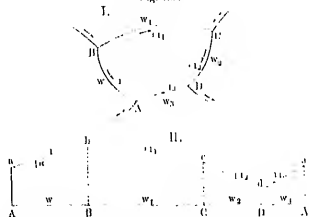


Fig. 429.

Es stelle zunächst Fig. 430, I

ein Fragment eines beliebigen Netzes von Leitern dar, in welchem sich ein in sich geschlossener Kreis $BCDA$ findet, der, wie wir zunächst annehmen wollen, keinen EMK enthält.

Fig. 430.



Die in dem Kreise vorhandenen Ströme müssen daher von außen zugeführte und dahin abfließende Ströme sein. Nun denken wir uns diesen Kreis bei A durchgeschnitten und geradlinig ausgestreckt (Fig. 430, II). Die Abszissenstücke AB , BC usw. denken wir uns so gewählt, daß sie den Widerständen w_1, w_2, w_3, w_4 der Leiterstücke entsprechen. Werden in den Punkten A, B, C, D, A die Ordinaten gleich den Potentialhöhen erteilt, so ergibt die gezeichnete Gerade das Potentialdiagramm des Stromkreises, die trigonometrischen Tangenten der Neigungswinkel α entsprechen den Stromstärken i_1, i_2, i_3, i_4 . Die Produkte $i w_1, i_1 w_1, i_2 w_2$ und $i_3 w_3$ sind dann nach dem Ohmschen Gesetz die Abfälle des Potentials von einem Knotenpunkt zum anderen, wobei ein negativer Abfall in Rechnung kommt. Gehen wir von A über B, C, D bis A , so müssen wir auf dieselbe Potentialhöhe zurückkommen: es muß daher die Summe der Abfälle und Anstiege gleich Null sein und die Beziehung bestehen:

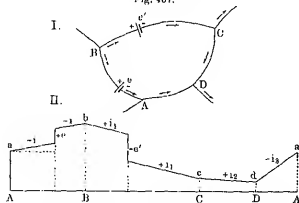
$$i w_1 + i_1 w_1 + i_2 w_2 + i_3 w_3 = \Sigma i w = 0. \quad (1)$$

Es ist nur dann möglich, wenn entweder alle $i = 0$ sind, oder die verschiedenen Vorzeichen sind. Die Ströme werden positiv ge-

rechnet, wenn die positive Elektrizität in Richtung des Uhrzeigers den Kreis durchströmt. Gleichung (1) bedeutet in Worten:

A. In einem geschlossenen Stromkreise, der keine elektromotorische Kraft enthält, ist die algebraische Summe der Pro-

Fig. 431.



dukte aus den Stromstärken der einzelnen Strecken mit deren Widerständen gleich Null.

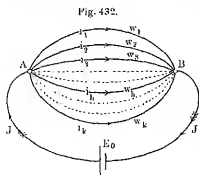
Jetzt gehen wir zu dem Fall über, daß der Stromkreis auch elektromotorische Kräfte enthält. Fig. 431 I und II stellen dies in der früheren Weise im Grundriß und im Potentialdiagramm dar. Der Stromkreis entspricht dem früheren, nur sind zwei elektromotorische Kräfte von der Größe \mathcal{E} und \mathcal{E}' eingeschaltet. Das Zeichnen der Ströme werde wiederum als positiv angenommen, wenn der Strom in Richtung des Uhrzeigers fließt. Die Bäl K wird als positiv angesehen, wenn sie für sich allein einen positiv gerichteten Strom erzeugen würde. Es ist, wie aus II ersichtlich, \mathcal{E} positiv, \mathcal{E}' negativ angenommen. Geht man nun wiederum von A über B, C, D nach A, so

müssen wiederum alle Abfälle und Anstiege einander kompensieren, was zu der Gleichung führt:

$$i\mathcal{W} + i_1 w_1 + i_2 w_2 + i_3 w_3 - \mathcal{E} - \mathcal{E}' = 0,$$

oder abgekürzt:

$$\Sigma i\mathcal{W} = \Sigma \mathcal{E} \quad (2)$$



aus einer beliebigen Anzahl k nebeneinanderliegender Drähte von verschiedenen Widerständen $w_1, w_2 \dots w_k$. Die in den einzelnen Zweigen fließenden Ströme seien $i_1, i_2, \dots i_k$. Der Strom im unverzweigten Teile sei i .

Die Zweigströme sollen als positiv gelten, wenn sie von A nach B, also in der gleichen Richtung wie der Hauptstrom i fließen. Die positiven Richtungen sind durch die Pfeile in der Figur angedeutet.

§ 135. Anwendung der Kirchhoffschen Sätze. a) Widerstand verzweigter Leitungen. Zwischen zwei Punkten A und B eines Stromkreises (Fig. 432) bestehe der Leiter

Wenden wir den zweiten Kirchhoffschen Satz auf einen aus zwei beliebigen Zweigen i_h und i_k gebildeten geschlossenen Kreis an, so erhalten wir, wenn Umlauf dieses Kreises der eine Teil im Sinne des positiven, der andere im Sinne des negativen Stromes umlaufen wird:

$$i_h w_h - i_k w_k = 0 \text{ oder } i_h / i_k = w_k / w_h. \quad (1)$$

Da die w_h und w_k notwendig positiv, so folgt, daß alle Zweigströme gleiches Zeichen haben. Aus dem ersten Kirchhoffschen Satze erhalten wir:

$$J = i_1 + i_2 + \dots + i_k = \Sigma i \quad (2)$$

Die Summe der Zweigströme ist also gleich dem Hauptstrom. Ist J die Potentialdifferenz zwischen A und B , so gilt nach dem Ohmschen Gesetz:

$$i_1 = J / w_1; \quad i_2 = J / w_2 \text{ usw.} \quad (3)$$

Auch aus dieser Gleichung lassen wir Gl. (1) ableiten können.]

Folglich ist, nach Gl. (2):

$$J = E \cdot \left\{ \frac{1}{w_1} + \frac{1}{w_2} + \dots + \frac{1}{w_k} \right\} = J \cdot \Sigma \frac{1}{w} \quad (4)$$

Setzen wir nun anstatt dem Ohmschen Gesetz für einen einfachen Leiter auch hier:

$$J = J' W' \quad (5)$$

wo W' der „Widerstand des verzweigten Leiters“, so wird wegen (4):

$$1 / W' = \Sigma 1 / w = 1 / w_1 + 1 / w_2 + \dots + 1 / w_k \quad (6)$$

Sind speziell bloß zwei Widerstände w_1 und w_2 parallel geschaltet, so ist:

$$\frac{1}{W'} = \frac{1}{w_1} + \frac{1}{w_2}$$

oder

$$W' = \frac{w_1 \cdot w_2}{w_1 + w_2} \quad (7)$$

Man kann hiervon eine Anwendung machen, wenn man einen gegebenen Widerstand so um einen sehr kleinen Betrag δw verkleinern will. Ist z. B. $W' = 1/10000$ Ohm, so dürfte es schwer sein, eine derartige Verkleinerung etwa durch Anschaltung eines Stücks Draht aus dem Hauptkreis oder gar durch Stöpelung zu erzeugen, da die Änderung der Kontakte allein Unsicherheiten von beträchtlichem Betrage bedingt. Setzt man aber parallel zu w einen Widerstand w' , so ist jetzt der Gesamtwiderstand beider:

$$w = \delta W = \frac{w \cdot w'}{w + w'} = w \cdot \frac{1}{1 + \frac{w}{w'}}$$

oder wenn w' sehr groß gegen w :

$$w = \delta W = w \cdot \left(1 - \frac{w}{w'} \right),$$

also

$$\delta W = \frac{w^2}{w'}.$$

Ist z. B. $w = 1$ Ohm und $w' = 10000$ Ohm, so ist $\delta W = 1/10000$ Ohm.

b) Nebenschluss für Galvanometer. Bereits in § 119 wurde auf die Möglichkeit hingewiesen, den Meßbereich von Strommessern nach

oben hin zu erweitern, indem man durch Anbringen eines „Nebenschlusses“¹⁾ bewirkt, daß nur ein Bruchteil des zu messenden Stromes durch das Galvanometer fließt. Wir können jetzt den Widerstand w_n berechnen, den bei gegebenem Galvanometerwiderstand w_g ein solcher Nebenschluß haben muß, damit der Strom i_g im Galvanometer einen bestimmten Bruchteil $1/m$ des Hauptstromes J betrage.

Es soll also sein:

$$i_g = J/m \quad (8)$$

Ist i_n der Strom im Nebenschluß, so ist nach (2):

$$i_g + i_n = J \quad (9)$$

woraus folgt:

$$i_n/i_g = m - 1 \quad (10)$$

Nach (1) ist aber $i_n/i_g = w_g/w_n$, also:

$$w_n = w_g(m - 1) \quad (11)$$

Gewöhnlich gibt man m Werte wie 10, 100, 1000 usw., so daß denselben Galvanometerausschlägen die 10-, 100-, 1000fachen Werte von J entsprechen. Dann ist

für $m = 10$	100	1000	usw.
$w_n/w_g = 1/9$	1/99	1/999	usw.

Derartige Nebenschlüsse sind namentlich bei technischen Strommessern gebräuchlich. Die innere Einrichtung solcher Strommesser kann erst später besprochen werden; hier genügt die Tatsache, daß durch irgend welchen Mechanismus ein Zeiger in Bewegung gesetzt wird und daß die Ableseskala direkt in Ampere geteilt ist. Steht der Zeiger auf der 1, so bedeutet das ohne Nebenschluß eine Stromstärke von 1 Amp., mit Nebenschluß von $w_n = w_g/9$ dagegen 10 Amp. usw. Man bezeichnet diese Instrumente als „Ammperemeter“.

c) Galvanometrische Spannungsmessung; Voltmeter. Das Ohm'sche Gesetz $J = E_g/(w + w_g)$, wo E_g die EMK der Stromquelle w den Widerstand des Galvanometers und w denjenigen des übrigen Schließungsbogens, einschließlic der Stromquelle, bedeutet, geht für den Fall, daß der Galvanometerwiderstand w_g sehr groß gegen den übrigen Widerstand w ist, über in:

$$J = E_g/w_g \quad \text{oder} \quad E_g = J \cdot w_g \quad (12)$$

Verbindet man also mit einem gegebenen Galvanometer von sehr großem inneren Widerstand nacheinander zwei verschiedene Stromquellen, deren EMK gleich E_0 und E'_0 , und sind die am Galvanometer abgelesenen Ströme J und J' , so verhalten sich:

$$E_0/E'_0 = J/J' \quad (13)$$

Man kann also durch relative Messung zweier Ströme direkt die EMK zweier Stromquellen vergleichen²⁾; der innere

¹⁾ In der elektrotechnischen Literatur ist hierfür der dem Englischen entnommene Ausdruck „shunt“ (sprich schön) gebräuchlich.

²⁾ Pechner, Pogg. Ann. 45, 232 (1838).

erstand der letzteren braucht dabei nur so weit bekannt zu sein, man weiß, daß er klein gegen den Galvanometerwiderstand ist.

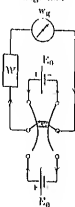
Es ist leicht einzusehen, daß w_g nicht unbedingt der Widerstand der Galvanometerwicklung selbst zu sein braucht. Man kann auch einen mehr oder weniger großen Teil von w_g in die Leitung verlegen, nur muß der Teil der Leitung bei beiden Messungen derselbe sein. Fig. 433 zeigt, wie man mit Hilfe einer Pohlischen Wippe (Fig. 340), aus der man die beiden kreuzweise laufenden Induktoren entfernt hat, die gegenseitige Vertauschung beider zu vergleichenden Stromquellen bequem vornehmen kann. Bei dieser Anordnung tritt offenbar an die Stelle von w_g in Gl. (12) der Widerstand $(1V + w_g)$ des für V lagen der Wippe konstant bleibenden Teiles des Widerstandes von der Wippe durch das Galvanometer und Vorwiderstand $1V$ zur Wippe zurück. Dagegen ist der Widerstand eines der Elemente nebst dem Vorwiderstand vom Element bis zur Wippe. Der große Vorteil von $(1V + w_g)$ und die infolgedessen kleinen Stromstärken bedingen den Vorteil, daß die EMK nicht oder wenig durch Polarisation geschwächt wird.

Durch geeignete Wahl von $1V$ kann man stets $(1V + w_g)$ so groß machen, daß der Ausschlag des Galvanometers einen passenden Wert erhält. Ist man bei einem sehr großen w_g das $1V$ so, daß es gleich dem 9fachen dem 99fachen von w_g ist, so wird der Gesamtwiderstand $(1V + w_g)$ dann 10mal oder 100mal größer, als wenn daß das Galvanometer selbst schaltet wäre; denselben Stromstärken entsprechen jetzt die 10fachen oder hundertfachen Spannungen. Man kann also bei Spannungsmessungen durch „Widerstandskette“ zum Galvanometer in ganz ähnlicher Weise den Bereich erweitern, wie es bei Strommessungen mittels „Nebenschleifen“ geschieht.

Auch für Spannungsmessungen hat die Technik Instrumente hergestellt, die direkte Ableitung der zu messenden Spannungen gestatten. Diese als „Voltmeter“ bezeichneten Instrumente unterscheiden sich von den Amperemetern nur durch ihren höheren Widerstand, also durch Herabsetzung mit vielen dünnen Drahtwindungen, während die Amperemeter wenige dicke Windungen haben. Da ein Voltmeter nichts weiter ist als ein Strommesser von großem Widerstand, so könnte es scheinen, als ob man auch hier eine Meßfehlerverkleinerung durch Nebenschleifen vornehmen könnte. Dies ist nicht zulässig. Denn angenommen, man zur Messung der Spannung einer Stromquelle von $1/2$ Ohm innerem Widerstand ein Instrument von 100 Ohm, so würde man durch die Vernachlässigung des Nebenschleifens in dem halben Ohm einen Fehler von etwa $1/200$ Proz. begangen. Würde man aber der Ausschlag des Instruments die Skalengrenze um das 10fache erweitern, so würde zwar der Ausschlag auf ein Zehntel verkleinert werden, der Widerstand des Instruments würde nur noch 10 Ohm und der begangene Fehler 5 Proz. betragen. Die Meßfehlerverkleinerung darf deshalb bei Spannungsmessungen nur durch Vorwiderstände bewirkt werden.

1) Spannungsmessung an stromdurchflossenen Leitern. Da sei AB (Fig. 434) ein Draht vom Widerstand w ; „in Nebenschleife“ H , d. h. von den Endpunkten A und B abzweigend liege eine Leitung, deren Strommesser G (Galvanometer, Tangentenbussole oder Voltmeter) und

Fig. 433.



etwaige Verschiebung des Stromes in der unverzweigten Leitung, I derjenige in AB und i in der Zweigleitung, E die Spannungsdifferenz zwischen A und B , so gelten zunächst die Beziehungen

$$I = J_0 + i = J_0 + E/w \quad \text{Kirchhoffscher Satz} \quad (14)$$

$$J = J_0 - i = J_0 - E/w \quad \text{Kirchhoffscher Satz} \quad (15)$$

oder:

$$J = J_0 - E/w \quad \text{wie i H} \quad \text{und} \quad i = J - J_0 = E/w \quad (16)$$

Andert man nun beliebig die Stromstärke J_0 oder den Widerstand w zwischen den Verzweigungspunkten A und B , während man E konstant

hält, so ist nach Gl. (14) der Strom i in der Zweigleitung proportional der Spannungsdifferenz E ihrer Enden A und B .

Bereichen Messungen es vorderuntion) kommt man die Aufgabe vor, die Spannung zu messen, die an den Endpunkten irgend eines von einem Stromes J_0 durchflossenen Leiters herrscht.

Denken wir uns in Fig. 134 die Zweigleitung zunächst fort und auch AB vom Strome J_0 durchflossen, so wird nach Analogie der Zweigleitung sich sofort alles ändern, denn der Widerstand zwischen A und B hat sich durch Anlegung der Zweigleitung vermindert und der gesamte Strom J_0 infolgedessen vergrößert. Ferner fließt jetzt gar nicht mehr J_0 durch AB , sondern $iJ_0 = iJ$. Wir messen also durch i nicht die Spannung, die vor Anlegung der Zweigleitung vom Strome J_0 hervorgerufen wurde, sondern die veränderte Spannung, die der durch die Zweigleitung veränderte Strom, nämlich der Strom J erzeugt.

Nur unter einer Bedingung kann man praktisch $J = J_0$ setzen und i proportional der von J_0 erzeugten Spannung, nämlich wenn w sehr groß gegen E ist. Dann erhalten wir nämlich an Stelle von Gl. (14) bis (16) die ungenährten Gleichungen:

$$I = J_0 + E/w = E/w \quad (14')$$

$$J = J_0 - J_0 = 0 \quad E/w \quad (16')$$

Der Strom in der Zweigleitung ist also in diesem Falle praktisch der Spannungsdifferenz an den Enden AB des vom Strome J_0 durchflossenen Widerstandes w proportional. Ist das Meßinstrument in der Zweigleitung ein „Voltmeter“, so liest man an ihm direkt die Spannungsdifferenz ab, und kann z. B. durch Verschieben des einen Abzweigpunktes B längs der Hauptleitung das Gesetz vom konstanten Spannungsfalle verifizieren.

Bei größeren Anforderungen an die Genauigkeit der Messung kann man übrigens leicht die an den abgelesenen Strömen i oder an den abgelesenen Spannungen) anzuhängenden Korrekturen ermitteln, da die abgelesene Spannung vom Strom J herrührt, während man die von J_0 erzeugte sucht,

braucht man, da die Spannung an AB dem hindurchfließenden Strom proportional ist, den abgelesenen Wert nur mit dem Faktor

$$J_0/J = 1 + w/W$$

zu multiplizieren; je größer W gegen w , desto mehr nähert sich dieser Faktor dem Werte Eins.

c) Gebrauch des Voltmeters zur Strommessung. Wenn man außer einem Voltmeter noch einen genau bekannten Widerstand w besitzt, der klein gegen den Eigenwiderstand des Voltmeters, so kann man mittels der in nebenstehender Fig. 435 abgebildeten Schaltung das Voltmeter zur Strommessung benutzen, da ja nach Gleichung (16'):

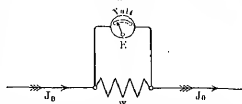
$$J_0 = E/w.$$

Um Rechnung zu ersparen, gibt man dem Widerstand w hierbei meist runde Werte, z. B. 1 oder 0,1 oder 0,01 Ohm. Dann ist der Strom gleich

der am Voltmeter abgelesenen Spannung E oder gleich deren 0- oder 100fachen Betrage. So lassen sich mittels des in Fig. 419 abgebildeten Präzisionswiderstandes¹⁾ von 1/10 000 Ohm und eines bis mindestens 0,03 Volt reichenden Voltmeters Stromstärken bis zu 300 Amp. messen,

während die Konstruktion eines Amperometers oder einer Tangentenbussole für derartige große Stromstärken offenbar technisch kaum ausführbar ist, weil man die zur Leitung so starker Ströme nötigen dicken Kupferslangen kaum genügend regelmäßigiger Windung um eine Magnetnadel führen könnte.

Fig. 435.



§ 136. Eichung und Widerstandsmessung von Galvanometern. Es sei die Aufgabe gestellt, die Skala eines sehr empfindlichen Galvanometers zu eichen. Als Vergleichsinstrument stehe eine Tangentenbussole zur Verfügung. Zu einer bloß relativen Eichung der Galvanometerangaben, für die ja aus bereits in § 119 diskutierten Gründen das Tangentengesetz nur angenähert gilt, genügt folgende Anordnung (Fig. 436).

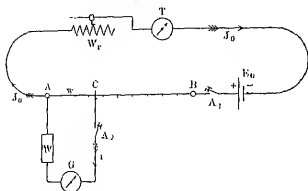
Wir stellen aus einer Batterie E_0 , einem Ausschalter A_1 , einem geradlinig ausgespannten Draht AB mit Gleitkontakt C , einem Regulierwiderstand W , und einer Tangentenbussole T einen Stromkreis her mit der Stromstärke J_0 . In eine an AC gelegte Zweigleitung legen wir das zu eichende Galvanometer nebst einem Ausschalter A_2 und einem Präzisionswiderstande W' . Ist W' groß gegen den Widerstand w des Drahtstückes AC , so sind die vom Zweigstrom i herrührenden Galvanometerauschläge proportional der Spannungsdifferenz an AC . Diese läßt sich nun auf dreierlei Weise meßbar machen:

1. Wir ändern bei konstanter geladener Länge AC die mittels T meßbare Stromstärke J_0 , dann ändert sich i im gleichen Verhältnis. Durch geeignete Wahl von w und W' bewirkt man leicht, daß i einen der Empfindlichkeit des Galvanometers angepaßten Wert erhält.

¹⁾ Die Stromzuführung geschieht durch die Hauptklemmen; das Voltmeter kommt an die „Abzweigklemmen“.

Beispiel: Die Empfindlichkeit betrage etwa 10^{-6} Amp. pro Skalenteil, der stärkste meßbare Strom an einer vom Nullpunkt nach beiden Seiten 500 Teil langen Skala ist also $\frac{1}{5000}$ Amp. Die Tangentenbussole gebe passende Ausschläge zwischen etwa 1 und 5 Amp.; es muß also, damit gleichzeitig beide Instrumente das obere Ende ihres Meßbereiches erreichen, $i/J_0 = \frac{1}{10000}$ sein. Wenn also der ganze Leitdraht von 1 m Länge 10 Ohm hat, so mache man $AC = 5$ cm, somit $w = \frac{1}{4}$ Ohm und $W = 5000$ Ohm.

Fig. 430.



Die zu den abgelesenen Ausschlägen des Galvanometers gehörigen Stromwerte verhalten sich dann wie die Tangenten der Ablenkungen der Bussels.

2. Wir halten w und J_0 konstant, und ändern W . Ist w_g der Widerstand des Galvanometers selbst, so sind die Stromstärken i proportional $1/(W + w_g)$, solange $(W + w_g)$ groß gegen w bleiben.

3. Wir halten W und J_0 konstant, und ändern w durch Verschieben des Kontaktes C. Solange w klein gegen $W + w_g$, ist i proportional w , also proportional der Länge des Drahtstückes AC .

Die Übereinstimmung der Resultate der genannten drei Methoden kann als Beweis für die Richtigkeit der zugrunde liegenden Gesetze dienen.

Um die Empfindlichkeit des Galvanometers, d. h. den absoluten Wert des einem Ausschlage von einem Skalenteil entsprechenden Stromes zu bestimmen, verfährt man am einfachsten so, daß man den Strom eines Elementes von genau bekannter EMK unter Verschalung eines genügend hohen bekannten Widerstandes durch das Galvanometer schickt.

Erstes Beispiel. Es liege ein Galvanometer von vermutlich nicht sehr großer Empfindlichkeit vor. Der Widerstand der Rollen sei $w_g = 20$ Ohm. Wir schalten das Galvanometer in den Kreis eines Daniell-Elementes ($E_0 = 1,1$ Volt) und eines Stapselwiderstandes von $W = 10000$ Ohm. (Fig. 437, den „Nehenschluß“ w_n , denken wir uns zunächst fort.) Der Ausschlag betrage $n = 55$ Skalenteile. Der Strom ist:

$$J = E_0 / (W + w_g) = 1,1 / 10020 = 0,00011 \text{ Amp.}$$

Also entspricht einem Skalenteil der Strom

$$J = E_0 / n (W + w_g) = 0,00011 / 55 = 0,000002 = 2 \cdot 10^{-6} \text{ Amp.}$$

¹⁾ Petrina, Pogg. Ann. 57, 111 (1842).

Bei dieser Berechnung ist der Einfachheit halber angenommen, daß die Skalenausschläge dem Stromstärken proportional seien, was bei kleinen Ausschlägen wohl meist der Fall sein wird. Ist die Proportionalität nicht vorhanden, so müssen wir bei der Reduktion auf 1 Skalenteil die Resultate der oben beschriebenen relativen Eichung berücksichtigen.

Fig. 437.

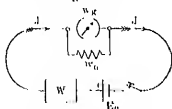
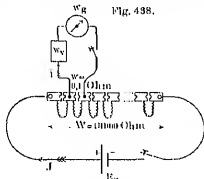


Fig. 438.



Zweites Beispiel: Die Bauart des Galvanometers, leichte Nadel, dünnere Wicklung usw., oder die Angaben des Fabrikanten lassen große Empfindlichkeit vermuten. Die verfügbaren Stöpselwiderstände genügen nicht, um bei direkter Einschaltung den Strom auf einen meßbaren Wert herabzudrücken. Das Galvanometer habe $w_g = 150$ Ohm Widerstand. Wir schließen zunächst einen Stromkreis (Fig. 438, den Vorschaltwiderstand w_v denken wir uns zunächst fort) aus dem Danielllement $E_0 = 1,1$ Volt und einem Stöpselwiderstand von $W = 10000$ Ohm. Das Galvanometer legen wir vermittelt zweier „Abzweigstöpsel“ (vgl. § 128) in Nebenschluß zu einem Widerstand von $w = 0,1$ Ohm. Der Ausschlag betrage $n = 20$ Skalenteile.

Für die Spannung E an dem Abzweigwiderstand gilt:

$$E \cdot E_0 = w \cdot W = 0,1 \cdot 10000 \text{ oder } E = E_0 \cdot w / W = 0,11 / 10000 = 0,000011.$$

Der Strom im Galvanometer beträgt also:

$$i = E / w_g = 0,000011 / 150 = 7,34 \cdot 10^{-8}.$$

Ein Skalenteil entspricht somit einem Strom von

$$i_n = 7,34 \cdot 10^{-8} \cdot 20 = 1,47 \cdot 10^{-6} \text{ Amp.}$$

Widerstand eines Galvanometers: Bei den oben beschriebenen Empfindlichkeitsmessungen wurde der Widerstand des Galvanometers als bekannt angenommen. Meist ist er vom Fabrikanten den Drahtrollen aufgedruckt; ist dies nicht der Fall, so läßt sich mit der Empfindlichkeitsmessung leicht eine Widerstandsmessung vereinigen. Bei dem ersten Beispiel, wo das Galvanometer im Hauptkreis lag, und der Vorschaltwiderstand, um den Ausschlag in den Skalenteil zu bringen, sehr groß sein mußte, lege man direkt an die Galvanometerklemmen einen Nebenschluß von bekanntem Betrage w_n . Der Widerstand des gesamten Stromkreises ist jetzt $W + \frac{w_g \cdot w_n}{w_g + w_n}$, also kleiner als der frühere Wert $W + w_g$. Der Strom I ist also stärker geworden; da jedoch W sehr groß ist gegen w_g , so macht die Änderung praktisch nichts aus und wir können den Gesamtstrom als unverändert betrachten, so daß wir haben:

$$J = i_2 (w_2 + w_3 + w_4) + w_3 w_4$$

oder:

$$w_2 = w_4 (J i_2 - 1)$$

Auf der rechten Seite dieser Gleichung ist J mit genügend genäuer Genauigkeit einfach gleich dem Verhältnis der Galvanometerausschläge ohne und mit Nebenschluß zu setzen, oder bei größeren Anforderungen mit Rücksicht auf die vorher ausgeführte Skaleneinstellung zu korrigieren. Wird x B. durch $w_4 = 10$ Ohm der Galvanometerausschlag von 25 auf 15 Skalenteile verringert, so ist

$$w_2 = 10 (25/15 - 1) = 20/3 \text{ Ohm.}$$

Am genauesten wird die Messung, wenn J i_2 etwa gleich 2, also w_2 etwa gleich w_4 gemacht wird, was durch Ausprobieren leicht zu erreichen.

Bei dem zweiten oben genannten Beispiel eines wegen sehr großer Empfindlichkeit in Nebenschluß zu einem kleinen Widerstand begabten Galvanometers würde ein Nebenschluß zum Galvanometer ganz wirkungslos sein; denn wenn man x B. neben die 150 Ohm des Galvanometers noch weitere 150 Ohm legt, so wäre der Widerstand der gesamten Zweigleitung halbiert, der Strom verdoppelt, und die Hälfte hiervon, also ebensoviel wie vorher, würde durch das Galvanometer fließen. Hier müssen wir den Galvanometerstrom durch einen hinzugefügten Vorschaltwiderstand w_v vermindern. Sollen i_1 und i_2 die Ströme ohne und mit Vorschaltwiderstand, so haben wir offenbar

$$i_1/i_2 = (w_2 + w_v)/w_v$$

also:

$$w_2 = w_v (i_1/i_2 - 1)$$

Beispiel: Durch Vorschaltung von 100 Ohm von dem Galvanometer sinkt der Ausschlag von 20 auf 12 Skalenteile. Dann ist

$$w_2 = 100 (20/12 - 1) = 150 \text{ Ohm}$$

§ 127. Wheatstonesche Brücke. Da die Aufgabe, den Widerstand irgend eines Leiters zu bestimmen, bei allen elektrischen Untersuchungen immer wieder vorkommt, so sind die Methoden zur Ausführung dieser Aufgabe sehr mannigfaltig und bis zu einem sehr hohen Grade der Vollkommenheit ausgebildet worden. Es ist möglich, Widerstände mittlerer Größe bis auf weniger als 1/10000 ihres Wertes miteinander zu vergleichen. Von den zur Widerstandsbestimmung dienenden Methoden besprechen wir zuerst diejenigen, bei denen der unbekannte Widerstand mit einem bekannten verglichen wird; die gebräuchlichste hierzu dienende Anordnung ist die sogenannte „Wheatstonesche Brücke“. Die Theorie der Anordnung geht aus der schematischen Fig. 130 hervor. Vier Widerstände w_1, w_2, w_3 und w_4 sind zu einem geschlossenen Viereck verbunden. An zwei gegenüberliegenden Ecken A und C wird der Strom J einer Batterie B_0 zu- und abgeführt, die beiden anderen Ecken B und D sind durch ein Galvanometer verbunden. Denken wir uns die Galvanometer- oder „Brückenleitung“ zunächst unterbrochen, so teilt sich der Hauptstrom J in die beiden

Zwe
ist e

wo
der

und

nog
in e
die

das
Spa
weg

sich

stär

Wi

sein

Wi

in

hine

lich

Au

der

etw

die

sie

Ans

oir

lio

in

der

du

ore

me

so

gle

¹⁾ Phil. Trans. 2, 323 (1843), Pogg. Ann. 112, 548

weige $i_1 = i_2$ und $i_2 = i_1$. Nach dem zweiten Kirchhoffschen Satze ist dann:

$$i_1 \cdot (w_1 + w_3) = i_2 \cdot (w_2 + w_4) = E \quad \dots \quad (1)$$

Es ist die Spannungsdifferenz zwischen den Punkten A und C. Ferner ist der Spannungsabfall von A bis D gleich:

$$E_D = i_1 \cdot w_1 = E \cdot w_1 / (w_1 + w_3) \quad \dots \quad (2)$$

und ähnlich der Abfall von A bis B gleich:

$$E_B = i_2 \cdot w_2 = E \cdot w_2 / (w_2 + w_4) \quad \dots \quad (3)$$

Die Spannungsdifferenz zwischen D und B ist also gleich:

$$E_H = E_D - E_B = E \cdot \frac{w_2 w_3 - w_1 w_4}{(w_1 + w_3)(w_2 + w_4)} \quad \dots \quad (4)$$

Da der Zähler je nach der Größe der vier Widerstände positiv oder negativ sein kann, so geht bei Verbindung der Punkte B und D ein Strom in der einen oder anderen Richtung durch die Brückeleitung.

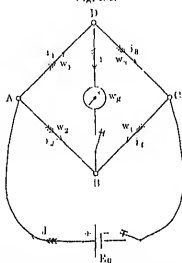
Nur wenn $E_H = E_D - E_B = 0$, bleibt das Galvanometer stromlos. Die Spannungsdifferenz ist aber Null, wenn $w_2 w_3 - w_1 w_4 = 0$, oder:

$$w_1/w_2 = w_3/w_4 \quad \dots \quad (5)$$

Die beschriebene Anordnung eignet sich also zur Vergleichung von Widerständen; sei etwa w_3 der unbekannte Widerstand, dann gebraucht man zu einer Messung noch drei andere bekannte Widerstände, von denen mindestens einer in möglichst kleinen Abstufungen veränderlich sein muß, um Gl. (5) mit möglicher Genauigkeit erfüllen zu können. Aus Gl. (5) geht ferner hervor, daß von den drei Widerständen w_1, w_2, w_4 nur einer, etwa w_1 , seinen absoluten Wert nach bekannt zu sein braucht, während es für die anderen beiden genügt, wenn man nur ihr Verhältnis kennt. Endlich zeigt man aus der Symmetrie der Fig. 439 sofort, daß sich an Gl. (5) nichts ändert, wenn man das Galvanometer und die Stromquelle miteinander vertauscht.

Für die praktische Ausführung ist noch die Kenntnis der Empfindlichkeit der Anordnung wichtig; die Empfindlichkeit ist offenbar durch die in der Brücke entstehende Stromstärke i gegeben, die entsteht, wenn einer der vier Widerstände um einen gewissen Bruchteil seines Wertes von dem nach Gl. (5) gegebenen abweicht. Es läßt sich zeigen, daß die beste Anordnung darin besteht, daß alle vier Widerstände und auch der des Galvanometers, möglichst von gleicher Größenordnung sind. Ist dies nicht erreichbar, so macht man wenigstens je zwei der vier Widerstände paarweise ungefähr gleich. Die vollständige Formel für den Strom i in der Brücke lautet, wenn

Fig. 439.



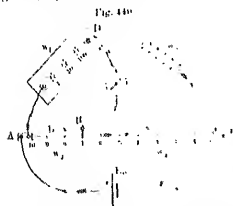
des Galvanometers bezeichnet werden

$$I = H_1 u_1 (u_1 + u_2 + u_3) + H_2 u_2 (u_1 + u_2 + u_3) + H_3 u_3 (u_1 + u_2 + u_3) \quad (6)$$

$$(u_1 + u_2 + u_3) \{ H_1 + H_2 + H_3 \} = H_1 u_1 + H_2 u_2 + H_3 u_3$$

Man erhält diese Gleichung, wenn man die beiden Kirchhoffschen Sätze auf die vier Knotenpunkte 1 bis 4 und auf die vier geschlossenen Kreise $AHDA$, $BDDB$, $EDDE$ und $FEFE$ anwendet. Von den acht Gleichungen sind zwei aus den anderen ableitbar, also überflüssig; die übrigen sechs genügen zur Berechnung der sechs Stromstärken i_1, i_2, i_3, i_4, i_5 und I .

Zur praktischen Ausführung der Wheatstoneschen Brücke abgeleitet, beginnen wir mit der einfachsten, von Kirchhoff herührenden Anordnung, bei der zwei Widerstände, x (z. B. u_1) und u_2 durch einen einfachen Leitdraht ersetzt sind, längs dessen der Kontaktkontakt H meßbar verschieben werden kann (Fig. 440).



Die Schaltung u_1 ist durch einen Widerstand, der bloß drei Stellen, nämlich 1, 10 und 100 Ohm enthält. Man zieht zunächst einen beliebigen Stempel und anschließend dann den Gleitkontakt so lange, bis das Galvanometer auslenkt.

Die offenbar $u_1, u_2 = x/I$ ist, weil x die Länge des ganzen Leitdrahtes und x die des zwischen u_1 und u_2 gelegenen Stückes, so wird nach Gleichung (5):

$$u_1 = u_2 = x/I \quad (7)$$

Ist z. B. $u_1 = 100 \text{ Ohm}$ und wie in der Figur $x = 20 \text{ cm}$, $l = 100 \text{ cm}$, so ist:

$$u_2 = 10 \text{ Ohm} = 20/200 \text{ Ohm}$$

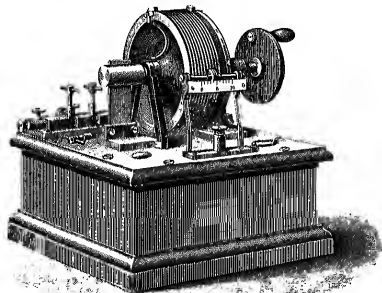
Da x/l jeden beliebigen Wert zwischen 0 und 1 annehmen kann, so würde theoretisch für u_1 ein einziger Widerstand genügen. Man erzielt jedoch die größte Genauigkeit, wenn man sich mit dem Leitkontakt möglichst wenig von der Mitte des Leitdrahtes entfernt. Deshalb ziehe man für die endgültige Messung stets denselben Stempel, der u_1 möglichst nahe gleich dem unbekannten Widerstand macht.

Der Leitdraht darf keinen zu geringen Widerstand haben, weil sonst die Empfindlichkeit der Messung zu gering wird, und außerdem der Draht sich zu sehr durch den Strom erwärmen würde¹⁾, daher finden sich passende Werte.

¹⁾ Wenn der Widerstand des Leitdrahtes zu gering ist, so genügt es, wenn die Spannungsdifferenz zwischen 1 und 2 gleich U , und U eine kleine Wärme proportional $I^2 R$ ist, wo R der Widerstand des Leitdrahtes.

147. N. HARTMANN'SCHE DRUCKE. 457
 Als geeigneter Leitdraht kann z. B. der in Fig. 341, S. 364 abgebildete dienen, der genau 100 cm lang und $\frac{1}{2}$ bis $\frac{1}{3}$ mm dick ist. Als Material dient Manganin oder eine der anderen in § 126 genannten Widerstandslegierungen.

Fig. 441.



Größere Länge des Leitdrahtes vermehrt die Genauigkeit der Ablesung. Zur Vermeidung unbequemer Dimensionen des Apparates wickelt man sehr langen Leitdraht auf eine Walze, wie es der in Fig. 441 abgebildete Apparat¹⁾ nach F. Kohlrausch zeigt. Die Zuleitung zu den Enden des Drahtes geschieht durch Federn, die an der Achse schleifen, der Leitkontakt besteht aus einem gegen den Draht gepreßten kleinen Köllchen, das an einer Skala entlanggleitet, die die Zahl der eingeschalteten Windungen angibt. Die Bernsteinteile werden am Umfang der Walze selbst abgelesen. Man sieht ferner hinter der Walze eine Stüßstange; diese enthält die Vergleichswiderstände n , (vgl. Fig. 440), die hier gleich mit eingehakt sind und sich im Innern des Kastens befinden.

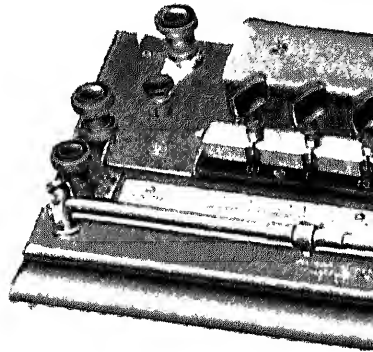
Fig. 442 zeigt eine Leitdrahtbrücke, ebenfalls nach Kohlrausch¹⁾, mit geradem, kurzem (und sehr dünnem) Leitdraht, nebst Vergleichswiderständen von 0,1 bis 1000 Ohm. Die Klammern dienen zur Verbindung mit dem unbekannten Widerstand sowie mit Galvanometer und Stromquelle. Der Leitdraht ist hier nicht in gleiche Teile geteilt, sondern so, daß die Teilstücke direkt das Verhältnis $x/(l-x)$ angeben, und man den Widerstand X ohne weitere Rechnung einfach durch Multiplikation der abgelesenen Zahl mit dem Werte des gezogenen Stüßpols erhält.

Man sieht ferner an der einen der mit „Batterie“ bezeichneten Klammern einen federnden Einschalter; die Anbringung eines solchen empfiehlt sich bei allen Widerstandsmessungen. Man schaltet den Strom immer nur für einen

¹⁾ Fabrikant: Hartmann u. Braun, Frankfurt.

Augenblick ein, da es ja genügt, wenn sich bewegt oder nicht. Längere Ein-
Erwärmung der Leitungen und die
Widerstände. Auch in den Brückenz-
lichen Federkontakt; wenn nämlich d

Fig



1:4

die Vergleichswiderstände, bifilar gew-
wenn Gl. (5) erfüllt ist, doch im erste-
stromes ein kurz dauernder Strom in
Man vermeidet diese Störung, wenn m-
dann erst den Brückenweig schließt;
umgekehrt, indem man zuerst den Br-
unterbricht. Man hat „Doppelschluss-
matisch ausführen (Fig. 443).

Bei der Messung sehr großer Wide-
manchmal behufs Erhöhung der Empfind-

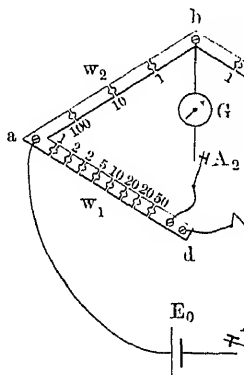
man zuerst durch eine rohe Messung, ohne Berücksichtigung des das ungefähre Verhältnis w_3/w_1 bestimmt, und dann die Längsleitungen auf beiden Seiten so abpaßt, daß ihr Verhältnis etwa gleich dem Verhältnis der Querschnitte ist. Die nächste Messung gibt dann einen verbesserten Wert, den man noch weiter korrigieren kann, wenn man nun auch noch einmal die Längen der Zuleitungen korrigiert.

Noch kleinere Widerstände als etwa 0,1 Ohm können in der gewöhnlichen Wheatstoneschen Brücke überhaupt nicht mehr genau gemessen werden; über die Messung derartiger Widerstände siehe weiter unten.

Die Genauigkeit der Messung mittels Gleitdraht wird begrenzt durch etwaige Ungleichmäßigkeiten in der Dicke und der inneren Beschaffenheit des Drahtes. Namentlich die Dicke des Drahtes wird, wenn sie noch so genau gleichmäßig war, doch durch die Reibung des Kontakts durch Oxydation und sonstige Beschädigungen im Laufe der Zeit ändern. Bei sehr großen Ansprüchen an die Genauigkeit wird solchen Anordnungen den Vorzug geben, bei denen sämtliche Widerstände aus bifilar gewickelten Rollen bestehen. So ist in Fig. 444 schematisch dargestellte Anordnung.

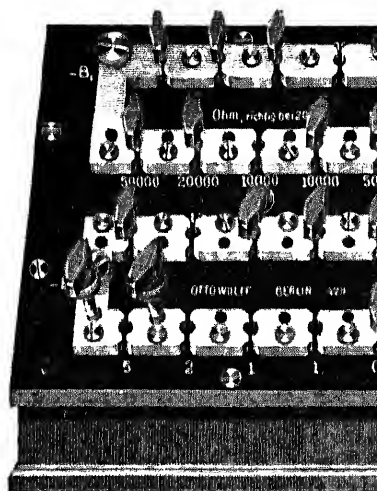
An Stelle des Gleitdrahtes sind zwei Stöpselwiderstände w_1 und w_2 zu treten, die jeder die Werte 1, 10 und 100 Ohm enthalten. w_1 ist der stufenförmige Stöpselwiderstand; im Schema ist die kleinste Stufe der Maximalwert, wenn alle Stöpsel gezogen sind, beträgt 99 Ohm. In der praktischen Ausführung kann man natürlich auch mit 0,1 Ohm arbeiten, die obere Grenze ist lediglich eine Kostenfrage. Man macht v

Fig. 444.



100 Ohm und drei den Punkten *AB*.
 Daran schließt sich im Zickzack an-
 gehende Vergleichswiderstand. Zwei-
 gangswiderständen besonders stark ge-

Fig



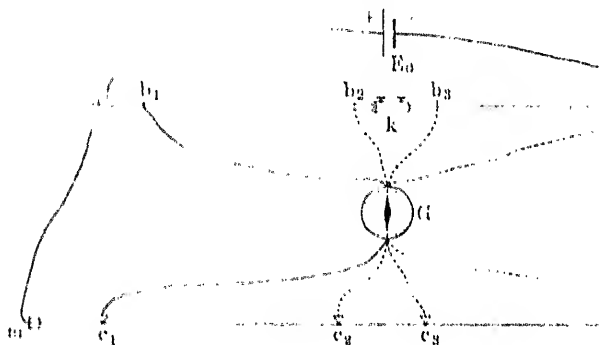
Seite kommt der zu messende Widerstand
 werden unter Vermittelung der beiden
 angeschaltet.

Bisweilen werden die Widerstände
 man sie mittels einer einfachen Stöpsel-
 kann. Nimmt man dann aus beiden
 Fehler vermieden, die von einer etwa
 stände herrühren.

Eine kompensierte Verbindung von

b_2 und c_2 , b_3 und c_3 , b_4 und c_4 . Da den Punkten je gleiche Potentialhöhe zukommen muß, so ist die Potentialhöhe b_1 und b_2 gleich jener zwischen c_1 und c_2 , sowie jene zwischen b_3 und b_4 gleich jener zwischen c_3 und c_4 . Folglich verhalten sich $b_1 b_2 : b_3 b_4 = c_1 c_2 : c_3 c_4$, also auch wie die zugehörigen Drahtlängen. Die Verbindungsstücke am und dn dürfen nicht

Fig. 446.



sonst die Punkte c_1 und c_4 über das Ende des Meßdrahtes hinaus. Die Messung ergibt direkt zunächst nur das Widerstandsverhältnis $b_1 b_2$ und $b_3 b_4$, woraus die Widerstände der ganzen Drahtlängen mit dem Verhältnis der ganzen zur abgeteilten Länge berechnet werden. Die Methode eignet sich namentlich zur Untersuchung von Materialien wie Kohle, Kristallstücke u. dgl., die sich nicht zu langen Drahtstücken lassen.

Etwas komplizierter ist die von W. Thomson ¹⁾ gegebene „Doppelbrücke“; sie hat aber den Vorteil, daß bei nacheinander folgenden Messungen der oben beschriebenen Art, während deren sich unter Umständen bereits die Temperatur der

Es läßt sich nun zeigen, daß das Galvanometer

$$W_1:W_2 = W'_1:W'_2 = w_1:w_2.$$

Beweis: Es werden, wenn die Brückenleitung u und w_2 , W_1 und W_2 sowie W'_1 und W'_2 von gleicher Länge sind, die Widerstände W_1 und W_2 sowie W'_1 und W'_2 von gleicher Größe sein. Deshalb ergibt das Ohmsche Gesetz, falls Gl. (1) erfüllt ist,

$$\frac{\Phi_1 - \Phi_2}{\Phi_3 - \Phi_4} = \frac{w_1}{w_2} \quad . \quad . \quad .$$

$$\frac{\Phi_2 - \Phi_1}{\Phi_5 - \Phi_3} = \frac{W_1}{W_2} = \frac{w_1}{w_2} \quad .$$

$$\frac{\Phi_1 - \Phi_6}{\Phi_6 - \Phi_4} = \frac{W'_1}{W'_2} = \frac{w_1}{w_2} \quad .$$

Da nun, wenn zwei Brüche a/b und c/d einen Wert $(a+b)/(c+d)$ denselben Wert hat, so können wir von Gl. (2) und (3) einzeln addieren und erhalten:

$$\frac{\Phi_1 - \Phi_5}{\Phi_5 - \Phi_4} = \frac{w_1}{w_2} = \frac{\Phi_1 - \Phi_6}{\Phi_6 - \Phi_4}$$

oder:

$$\Phi_5 = \Phi_6; \quad . \quad . \quad .$$

bei Verbindung von b_5 und b_6 entsteht also kein Strom. Die Ströme an den Abzweigpunkten b_1 bis b_4 gehen nur durch W_2 , W'_1 und W'_2 ein. Da von diesen aber nur das Galvanometer durchfließt, so kann man sie stets so groß machen, daß die Widerstände W_1 und W_2 zu vernachlässigen sind.

Bei der praktischen Ausführung nimmt man, wie bei Fig. 418, für w_2 einen geeigneten Normalwiderstand, der an den Abzweigstellen so angebracht sind (vgl. Fig. 419), daß der Sollwert des Widerstandes enthalten ist. Ferner sind W_1 und W_2 so groß zu wählen, daß der erste der beiden Widerstände einen

$$J_2 = E_0 / w \quad . \quad . \quad . \quad .$$

daraus folgt:

$$W = E_0 \cdot (1/J_1 - 1/J_2) \quad . \quad . \quad .$$

2. Der zu messende Widerstand sei sehr groß, so daß vernachlässigen. Dann genügt eine einzige Messung und es ist

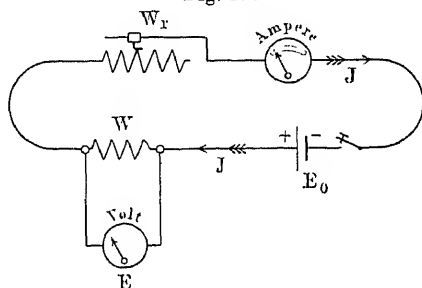
$$W = E_0 / J \quad . \quad . \quad . \quad .$$

Die Meßmethode verwandelt sich in eine Vergleichsmethode, wenn man die Ströme J_1 und J_2 , die zwei sehr große Widerstände W stehen lassen, diesen umgekehrt proportional setzt („Method der Ausschläge“); E_0 braucht dann überhaupt nicht, J nur relativ

Als Meßinstrument hat bei großem W an Stelle der o. Amperemeter ein geeichtes Galvanometer zu treten.

3. Der zu messende Widerstand W sei sehr klein (etwa 1 Ohm). Ist jetzt der übrige Widerstand w groß gegen W , so ist die Differenz der beiden Ströme J_1 und J_2 zu gering, und dadurch ungenau. Macht man auch w sehr klein, so werden die Ströme J_1 und J_2 den Widerstandsdraht oder für das Amperemeter und für die

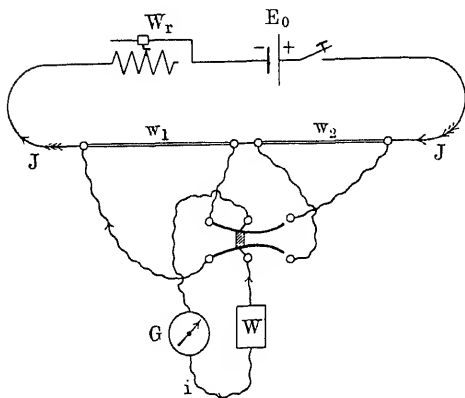
Fig. 448.



kann man die Messung so ausführen, wie Fig. 448 zeigt. Man misst den Widerstand W einen Strom J , dessen Stärke man mittels des Widerstands

beide Male den gleichen Wert hat. S
 W , so gilt $i = E_1 / W_1 = E_2 / W_2$, un
 ist auch $W_1 / W_2 = w_1 / w_2$. Zur Fests
 Fällen bedient man sich an Stelle der U
 galvanometers (vgl. § 119). Dann

Fig. 449.



Schaltung. Die beiden das Differen
 gesetzter Richtung durchfließenden Str
 Nadel in Ruhe bleibt. Weitere Method
 man in Kohlrauschs Lehrbuch der pr
 standsmessung galvanischer Elemente s

**§ 140. Kompensationsmethode
 und Strömen.** Unter „Kompensationsm
 verstanden, bei denen eine bekannte un
 bestimmende Spannung so gegeneinander

liches Galvanometer mit dem Gleitkontakt C verbunden ist, verschiebt, bis das Galvanometer stromlos wird. Dann ist die Potentialdifferenz, die der durch AB fließende Strom an den Enden

$$E_{AC} = E_0 = J \cdot W_{AC};$$

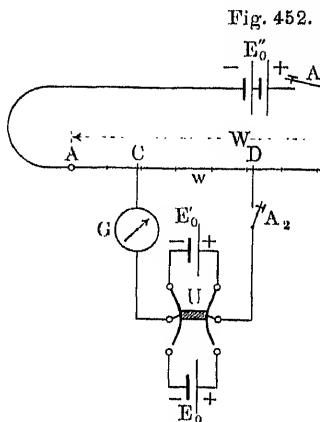
da andererseits bei Vernachlässigung des inneren Widerstandes der Zelle E'_0 und des Widerstandes der Zuleitungen die Spannung an den Enden des Drahtes $E_{AB} = E'_0 = J \cdot W_{AB}$ ist, so folgt

$$E_0 / E'_0 = W_{AC} / W_{AB} = \overline{AC} / \overline{AB}.$$

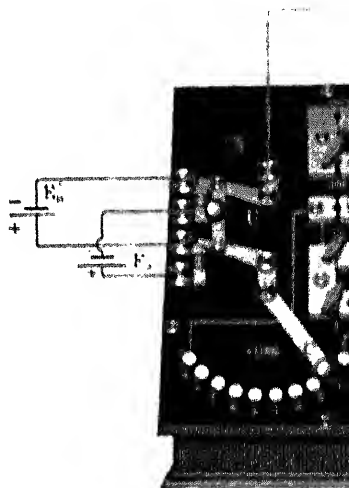
Zur Vermeidung unnützen Stromverbrauches dienen die Kontakte A_1 und A_2 . Man schließt zuerst A_1 , dann A_2 und dann A_1 . Über automatische Doppelschlüssel vgl. Fig. 443.

In dieser Form hat die Methode noch den Nachteil, daß einem der zu vergleichenden Elemente Strom entnommen wird, wodurch Polarisation, d. h. Verminderung der EMK entsteht, und daß außerdem genau genommen nicht die EMK, sondern die „Klemmspannung“ (vgl. § 131) des stromliefernden Elementes gemessen wird.

Man vermeidet diesen Fehler durch die in Fig. 452 dargestellte Anordnung: Der Gleitdraht wird von einem Strom durchflossen, dessen EMK nicht bekannt zu sein braucht, sondern möglichst konstant und größer sein als die beiden zu vergleichenden EMK's, die durch einen Umschalter U abwechselnd



der Technik haben dazu geführt, einen Apparat, dem sogenannten „Kontakt-Apparat“, zu konstruieren, mittels dessen niedrige wie hohe Widerstände gemessen werden können. Fig. 10 zeigt die in der Literatur (z. B. v. S. 100) angegebenen Konstruktion



mit den entsprechenden der Fig. 10. dient hier eine Reihe von Widerständen, die in der oberen und unteren Reihe der Stöpsel angeordnet sind. Belieben ein- und ausgeschaltet werden können. Die Widerstände der Stöpselwiderstände sind ein 50 bis 2 Ohm; die Stöpsel dieser Reihe gezogenen Stöpsel in wird. Endlich ist noch eine

Durch Umstecken der Stöpsel wird also w verändert, Widerstand W konstant bleibt. Endlich kann man die von w in Stufen von 0,1 bis 2,9 Ohm an der unteren nehmen; hierbei wird allerdings auch W um den geändert, doch ist diese Änderung meist zu vernachlässigen, kleiner als 9997, der Fehler also höchstens $1/8000$ ist.

Der Umschalter u an der linken Seite gestattet zu vergleichenden Spannungen; der Schlüssel A_2 an der rechten Seite gestattet, die Zweigleitung mit dem Galvanometer zunächst auf einen Widerstand von etwa 100 000 Ohm hindurch behufs vorläufiger Einstellung dann direkt einzuschalten zur endgültigen Abgleichung. In dieser Anordnung sollen sowohl das Galvanometer, als auch die Zellen gegen zu hohe Ströme geschützt werden.

Die Ausführung der Messungen gestaltet sich nun

a) Niedrige Spannungen (1 bis 10 Volt). E_0'' sei die Spannung von über 10 Volt. Da sie nur etwa $1/1000$ Amp. zu liefern vermag, kleine Trockenelemente benutzt werden. E_0' sei die zu E_0'' ein Normalelement; zuerst machen wir den Widerstand D gleich

$$w' = 1000 E_0'' \quad . \quad . \quad .$$

also $w' = 1019$ Ohm, wenn ein Westonelement, und $w' = 18$ Ohm, wenn ein Clarkelement gebraucht wird.

Dann regulieren wir mittels der oberen beiden Stöpsel die das Normalelement enthaltende Zweigleitung stromlos, indem wir offenbar an den Punkten C und D , d. h. an den Enden der Zweigleitung die Spannung $E = E_0'$ und der den Apparat durchfließenden Strom $J = E_0''/w' = 1/1000$ Amp. Nun schalten wir U auf die Spannung E_0' und regulieren bei unverändert bleibendem Strom $J = 1/1000$ Amp., den Widerstand zwischen C und D auf den Wert w , daß wieder das Galvanometer stromlos wird; w

anschlagt werden. Die absolute EMK des Normalelementes ab

bei hohen Spannungen Spannung an Stelle der jetzt ein Normalelement. Wir ma dann W auf Stromlosigkeit de

$$E_0 = E_0' = 1$$

Man sieht leicht, daß die du Bois-Reymond im Prin der Methode sind hier aber hohe Stöpselwiderstände vern

Entsprechend dem größte man Spannungen bis zu 110

Zu noch höheren Spannun macht; dann wird $E_0' = W$ wurde man für $n = 200 E_0'$ er

und als obere Grenze der Messen durch stärkere Belastung der W kann man noch bei unveränderten Präzisionswiderständen, also Ver

c) Strommessung bedingt eine EMK zu sein, v Enden eines stromdurchflosser die Schaltung, wenn man die abzweigenden Drähte an Stell apparat verbindet.

w ist am besten ein Norm die Verbindungsdrähte zum Ke stand selbst von dem zu m Werte w_0 des Normalwiderst

Die Methode der Strommessung mittels des Kompen- den Vorzug sehr großer Genauigkeit; sie hat dagegen c Stromwert nicht direkt an einem Zeiger abgelesen wird achter erst durch Vorstellen von Kurbeln und Stöpsen muß; die Methode ist also nur bei sehr konstanten. Deshalb liegt ihr Wert auch weniger in ihrer Bedeutung thode für laufende Messungen, als vielmehr darin, c Eichungsmethode für Strommesser (Galvanometer) besitzt, die bei viel bequemerer Handhabung eine min (Genauigkeit bietet, wie die beste Tangentenbussole, d absoluten Messungen von $1/1000$ Genauigkeit immerhin mentelle Gewandtheit voraussetzt. Und was von der T das gilt in mindestens gleichem Maße auch vom Kup- meter. Deshalb werden in der Praxis wohl alle Stro- Kompensationsmethode geeicht.

Diese Tatsache führt zu einem eigentümlichen Verhält- luten Maßsystems. Da von den drei Größen J , E und W kürlich definiert sind, durch das Ohmsche Gesetz die drei dürfen nur zwei von ihnen gesetzlich festgelegt werden; wü- nieren, so würde sich jedesmal, wenn die Genauigkeit der M wird, die Frage ergeben, welche von den drei Größen man mit den verbesserten Messungen im Einklang zu bleiben.

Durch internationale Vereinbarung vom Jahre 1905 schlossen, daß nur das Ampere und das Ohm gesetzlich sollen. Der Wert des Ohm ist bereits in § 122 als Wider- stände von bestimmten Dimensionen erläutert. Dieser We- behalten werden, wenn einmal sich ergeben sollte, daß er- dem aus dem absoluten Maßsystem sich ergebenden überei- Ampere einen greifbaren Etalon zu erhalten, hat man fest- einheit (Ampere) durch die Silbermenge definiert sein soll- in einem Silbervoltmeter (s. Kap. VII) ausscheiden. Eine- den Werten dieser Zahl steht einstweilen noch aus, doch- eine Reihe sehr präziser Messungen als wahrscheinlichen W 1,118 mg gefunden. Auch dieses noch gesetzlich zu sankti-

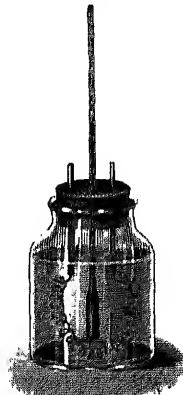
Für die Praxis und auch für die m
übrigens die ganze Unstimmigkeit wenig
unter einigen Zehntausendstel der zu n

§ 141. Wärmeentwicklung (Satz von Joule¹⁾). Daß der elektr
wärmt, wurde bereits mehrfach erwäh
für die rasch veränderlichen Entladun
gewiesen, daß die Wärmeentwicklung

Wir wollen jetzt die Gültigkeit
satzes“ für konstante Ströme nachw

Erster Versuch: Wir bilden
Batterie, einer empfindlichen Tangen

Fig. 454.



Strommesser mit
Skala, einem Reg
abgebildeten App
Alkohol oder Pe
Flüssigkeit gefül
Flüssigkeit tauch
Kupferdrähte, die
draht verbunden
Strome entwickel
keit abgegeben.
fische Wärme, /
entwickelte Wär

Für genauere
besser durch ein
Wasserwert (vgl. Bd. III, § 44) dann
z. B. das L. Pfaunder'sche „Strom
nutzen, von dessen zwei hintereinand

Beispiel. Füllung der Flasche: 50 g Petroleum.
lang und 0,2 mm dick, spezifischer Widerstand 0,14, also W

$$w = 0,14 \cdot (\pi \cdot 0,1^2) = 4,46 \text{ Ohm.}$$

Tangentenbussole mit 10 Windungen von 20 cm Radius,
Faktor für Ampere:

$$C_A = \frac{10 \cdot 20 \cdot H}{2 \cdot 10 \cdot \pi},$$

also für $H = 0,19$ Gauss:

$$C_A = 0,605.$$

Batterie von vier Bunsenelementen; Regulierwiderstand
 q ist der Ausschlag der Tangentenbussole, t die Temperatur
5 Minuten:

$\varphi =$	19,5°	28°	35°	41,5°	47°	5
$tg \varphi =$	0,354	0,531	0,700	0,885	1,07	1
$t =$	0,66°	1,5°	2,6°	4,2°	6,0°	8
$t/(tg \varphi)^2 =$	5,25	5,8	5,3	5,35	5,25	5

(im Mittel 5,26).

Aus der Konstanz der letzten Zeile folgt:

A. Die vom Strome in einer bestimmten Zeit
Wärme ist dem Quadrat der Stromstärke proporti

Dritter Versuch. Wir wiederholen den zweiten V
Platinspirale von kleinerer Länge oder größerem Querschn
Längen ermittelt man das Verhältnis der Querschnitte dur
finden, daß die Werte der Konstanten $t/(tg \varphi)^2$ sich in beiden
die Längen oder umgekehrt, wie die Querschnitte verhalten

B. Bei gleicher Stromstärke verhalten sich die
gestalteten, aber chemisch gleichartigen Leiter
wickelten Wärmemengen wie deren Widerstände.

Den Wert der Konstanten α lie
der elektromagnetischen Widerstan
Einheit des Widerstandes als jener
Stromeinheit in der Zeiteinheit eine
luten Arbeitseinheit äquivalent ist.
der absoluten Arbeitseinheit.

die ihm äquivalente Wärmemenge is
wir also die Stromstärke J und der
(CGS), die Zeit t in Sekunden, die
wird die Konstante:

$$\alpha = \frac{1}{41\,900\,000} =$$

Messen wir aber den Widersta
standseinheiten (CGS), so wird α a
zeitig die Stromstärken nach Ampere
so wird α wiederum 100mal kleiner

Für die Maße Ampere, Ohm, S
demnach:

$$\alpha =$$

In Worten:

A. Die Wärme, welche ein
von W Ohm pro Sekunde entwi
kalorien.

So ergeben z. B. die Versuche au

$$t = 5,26 (tg \varphi)^2 :$$

die spezifische Wärme des Petroleum
nuten = 300'' :

oder

$$Q =$$

Die damit verbundenen entgegengesetzten Wärmeeffekte und es kommt daher nur diejenige Erwärmung, welche der Wärmeentwickselung entspricht, zur Geltung. Über die Wärmeentwicklung s. Kap. VII.

§ 142. Stromarbeit, Stromeffekt¹⁾ und deren kurz in Erinnerung, daß wir als Arbeit die Überwindung eines Widerstandes definieren und dieselbe im praktischen Maßsystem nach Erg messen, in absoluten Maßsystemen nach Erg messen, gleichgültig, in welcher Zeit der Angriffspunkt der Kraft liegt, d. h. der Begriff der Arbeit ist ganz unabhängig von der Zeit, ist es mit der Arbeitsintensität oder dem Effekt (Leistung), darunter die Arbeit pro Sekunde und messen diesen Effekt im praktischen Maßsystem nach Kilogrammetern pro Sekunde, in absoluten Maßsystemen nach Erg pro Sekunde. In der Technik wird die Einheit der Arbeit als „Pferdestärke“ bezeichnet und dieses Maß durch 1 HP (vom englischen *horsepower*) ausgedrückt. Es ist

$$1 \text{ PS} = 75 \text{ kgm/Sek.} = 75 \cdot 9,81 \times 10^7 \text{ Erg/Sek.} =$$

Diese Maße für Arbeit und Effekt werden auch für die Berechnung von Energiemengen und Energiequellen angewendet.

Eine gehobene Wassermasse gibt beim Niedersinken mechanische Energie ab, welche durch das Produkt aus Gewicht und Höhe ausgedrückt ist. Ein Wassergefälle leistet pro Sekunde eine Arbeit, welche gleich ist dem Produkte aus dem Gewichte des Wassers, welches pro Sekunde durch den Querschnitt strömt (der Strom), und der verfügbaren Niveaudifferenz.

Nun übertragen wir diese Anschauungen auf die Elektrizität. Eine Elektrizitätsmenge e von einem Potentialniveau Φ_1 herabstromt, so wird dabei eine Arbeit

$$A = (\Phi_1 - \Phi_2) \cdot e$$

1 Watt = 10^7 Erg/Sek., äquivalent
und wegen Gl. (1):

$$1 \text{ PS} = 736$$

In der elektrotechnischen Praxis rechnen wir in Hekto- und Kilowatt, nämlich 1 Hektowatt = 100 Watt und 1 Kilowatt = 1000 Watt. Wir berechnen z. B. die Kosten elektrischer Beleuchtung in „Kilowattstunden“. So läßt z. B. eine Kohlelampe bei 110 Volt Spannung einen Strom von etwa 0,44 Ampere ziehen, d. h. verbraucht sie bei 110 Volt Spannung einen Strom von etwa 44 Watt. Brennt die Lampe 2 Stunden pro Tag,

$$\frac{365 \cdot 2 \cdot 44}{1000} = 32,1 \text{ Kilowattstunden}$$

Das Produkt von Leistung \times Zeit ergibt die elektrische Energie, die wir in $J \cdot t$ eine Elektrizitätsmenge, die wir pro Sekunde messen, so ist die praktische Einheit die „Voltcoulomb“ (abgekürzt VCb) oder kilovoltcoulomb (kVcb).

$$1 \text{ Joule} = 10^7 \text{ Erg} = 1/9,81 \text{ Kilogramm}$$

§ 143. Erhitzung von Leitern durch Strom. Hitzdrahtstrommesser. Im § 141 war es nicht aber von der Temperaturerhöhung der Leiter. Wenn die Temperatur der metallischen Leiter steigt, so ändert sich auch der Widerstand und hierdurch ändert sich auch die Leistung. Von dieser Änderung wollen wir aber vorläufig absehen. Die Temperatur der Drähte so lange, bis sie ein gewisses Maß erreicht. Die Wärmeverluste nach außen der Wärmezufluß zu gleichen. Den Wärmeverlust pro Zeit t setzen wir proportional der Oberfläche $\pi \cdot d \cdot l$, und dem Temperaturerhöhung t proportional setzen, solange t nicht allzu groß ist.

$$V = \varepsilon \cdot \pi \cdot d \cdot l \cdot t$$

wo ε eine Konstante ist, die man als „Emissivität“ bezeichnet. Offenbar der Wärmeverlust durch 1 qcm

wobei s in Ohm pro Centimeter Länge und Quadratcentimeter d in Centimetern zu messen.

Die Theorie verlangt also, daß die Temperaturerhöhung

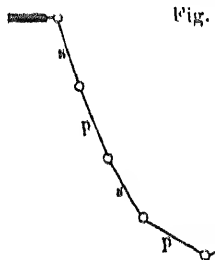
1. Proportional dem Quadrat der Stromstärke
und bei gegebener Stromstärke
2. proportional dem spezifischen Widerstande,
3. verkehrt proportional dem Emissionsvermögen,
4. verkehrt proportional dem Kubus der Drahtdick-
5. unabhängig von der Drahtlänge.

Da nun die Temperaturen, bei welchen verschiedene I beginnen, nur wenig voneinander abweichen, so ergeben s das Glühen von Drähten folgende qualitative Versuche.

Aus 2. folgt, daß in einem Schließungsbogen, der s dicken, aber verschiedenartigen Drahtstücken zusammen schlechter leitenden Stücke bereits erglühen können, während leitenden noch dunkel bleiben.

Leitet man z. B. einen genügend starken Strom durch Fig. 455, welche abwechselnd aus gleich dicken Platin- und besteht, so werden bei einer gewissen Stromstärke die Platin- dagegen die Silberdrähte dunkel bleiben. Aus 4. folgt s auch, bei welchem die Kette aus abwechselnd dünnen und dicken Platin- drähten besteht, wobei dann die dünnen glühen, die dicken dunkel bleiben.

Bezüglich 5. mag folgender Versuch gemacht werden: Man spannt von einem längeren ziemlich dünnen Platin- draht ein mehrere Centimeter langes Stück zwischen zwei Holtzsche Fuß- klemmen und schaltet in den Stromkreis



einen Strom zum mäßigen Rotglühen. Spirale zur Hälfte in kaltes Wasser, so k der nicht eintauchende Teil viel lebhafter

Durch das Abkühlen der Hälfte des I stand, folglich steigt die Stromstärke und in im nicht abgekühlten Teile des Drahtes.

Bei etwaigen quantitativen Versuchen raturerhöhungen beschränken, da für gr und Lufttemperatur die abgegebene Wär proportional ist, sondern in komplizierter abhängt.

Aus Gl. (5) ergibt sich der Durchmesser Strom J führen und dessen Temperatur nich soll, zu :

$$d = \sqrt[3]{\frac{8J^2}{t} \cdot \frac{0,097}{\varepsilon}}$$

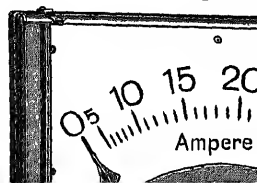
wo α eine von der Natur und Oberflächent Größe. Für frei hängende blanke Kupferdrä d in Millimetern mißt. Daraus ergibt sich z eine als zulässig erachtete Temperaturerhöhu

$$d = 0,74 \sqrt[3]{\frac{100}{30}} =$$

Für andere Drähte variiert α etwa prop spezifischen Widerstand.

Eine wichtige Anwendung der Proport raturerhöhung und Quadrat der Strom

Fig. 456.



Ist α der thermische Ausdehnungskoeffizient, so ist die Dehnung Δl proportional $\alpha \cdot t$, also bei gegebenem Strom proportional mit:

$$\alpha \cdot s \cdot i \cdot d^2 \text{ [vgl. (11. (5))].}$$

Da die Wärmeabgabe bei geringer Temperaturerhöhung durch Luftströmungen erfolgt, so ist t ziemlich bei allen Messungen das günstigste Metall für ein Heizdrahtinstrument ist dasjenige, welches den größten Wert hat; danach ist Neusilber das geeignetste Material. Man richtet sich nach der zu messenden maximalen Stromstärke.

Fig. 456 zeigt ein Heizdrahtamperemeter nach Ha. AB ist der vom Strome erwärmte Draht; an einem Ende A ist ein Faden befestigt, der sich um die den Zeiger tragende Spirale wickelt. Da einer kleinen Fadenverlängerung eine ziemlich große Drehung entspricht, so ist die Empfindlichkeit ziemlich beträchtlich. Die Spirale ist an den Polen des Magneten M sich drehende Aluminiumscheiben, die die Dämpfung der Zeigerbewegung. Die Schraube S dient dazu, den Nullpunkt vor jeder Messung; dies ist nötig, weil die Nullpunktstellung von der Zimmertemperatur abhängig ist.

Die Hauptbedeutung der Heizdrahtinstrumente besteht in der Messung der Stromstärke unabhängig von der Stromrichtung, wodurch die Messung von sogenannten „Wechselströmen“ (s. Kap. 144) möglich wird.

Bei genügend empfindlicher Konstruktion lassen sich Heizdrahtinstrumente auch als Voltmeter eichen.

Die Abhängigkeit des Nullpunktes von der Zimmertemperatur kann man durch besondere Einrichtungen vermeiden, auf die hier jedoch nicht eingegangen werden kann.

Das bereits mehrfach erwähnte Riesssche Luftthermometer kann als ein „ballistisches“ Heizdrahtinstrument betrachtet werden.

Sieb

Elektrizitätsleitung Leitern zweiter

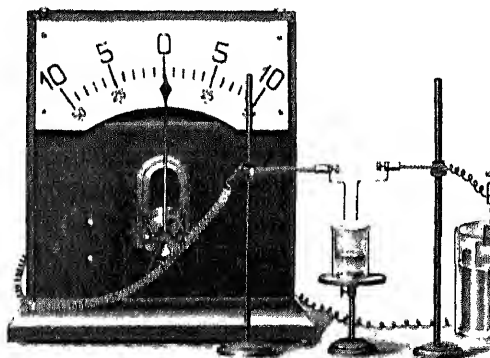
§ 144. Grundtatsachen.

bereits darauf hingewiesen worden, daß in den Metallen keine stoffliche Leitung stattfindet. In der Gruppe von Leitern solche hiesigen „Leitern zweiter Klasse“ die Knüpfung mit stofflichen Veränderungen stattfindet. Die Beziehungen der elektrischen und chemischen Vorgänge, bilden. Diese Beziehungen können von der elektrischen Energie zur Erzeugung der Theorie der Elektrolyse; die Gesetze der Vorgängen in der Theorie der galvanischen Zellen.

Wir wollen zunächst die Gesetze der einfachen Versuche kennen lernen. Wir betrachten zwei galvanische Elemente — e

festen Nichtleiter, z. B. Schwefelpulver und Glaspulver, auch das Gemisch nicht; löst man einen Nichtleiter bleibt auch hier in vielen Fällen die Leitung aus, z. B. oder Rohrzucker in Wasser; in anderen Fällen aber z. B. bei Essigsäure und Wasser. Es gibt also schon bei dem Vorgange der Auflösung in einem anderen, daß eine gutleitende Lösung entsteht - man nennt die

Fig. 457.



Läßt man nun in der angegebenen Anordnung den Elektrolyten einige Zeit einen Strom fließen, so gelangt man zu folgenden Tatsachen zur Wahrnehmung:

So sieht man in Kupfersulfat zwischen Ku eine konzentriertere, dunklere Lösung, v hellere Lösung sich ausbreiten.

III. Wir haben als Stromquelle für di geschaltete Daniell-Elemente verwendet. weder durch die verdünnte Schwefelsäure, zwischen Platinplatten dauernder Stromd wir statt des Daniell-Elementes ein Le dessen elektromotorische Kraft größer is durch die Kupfersulfatlösung, nicht aber Wir erkennen so, daß zur Zersetzung ver elektromotorische Kräfte erforderlich sind.

Ihre Verschiedenheit tritt hervor in d Gegenkräften. Schalten wir nämlich n Stromquelle (Fig. 457) aus und schließen den Elektrolyten, so erkennen wir einen A tung als bei dem vorher erfolgten Stromc Ausschlag im Falle der Schwefelsäure grö Die vorher vollkommen gleichen Elektro gang selbst zu Elektroden eines galvanis polarisiert.

Entsprechend diesen drei Gruppen v behandelt werden:

- I. Vorgänge an den Elektroden.
- II. Vorgänge im Innern des Elekt
- III. Energieaufwand und Energieg gängen.

§ 145. Vorgänge an den Elektroden

Um die bei der Elektrolyse verdünnter sich entwickelnden Gase in einem Vor

so daß bei der Elektrolyse der verdünnten Schwefelsäure Wasserzersetzung bewirkt worden ist.

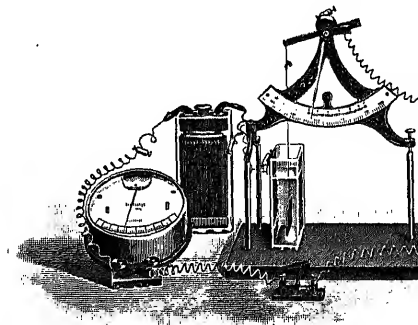
An der Hand derartiger Versuche erkannte Faraday das Gesetz der Elektrolyse. Schickte er denselben Strom, dessen dem eingeschalteten Galvanometer kontrollieren konnte, durch verdünnten, z. B. verdünnte Schwefelsäure, während 10, 20, 30 Minuten, hielten sich die an jeder Elektrode abgeschiedenen Gasmengen in dem Verhältnis 1:2:3. Wurde darauf die jedesmalige Versuchszeit konstant gehalten, die Stromstärke im Verhältnis von 1:2:3 variiert, so schiedenen Mengen wieder im gleichen Verhältnis. Entsprechend wurden erhalten, wenn die aus einer Metallsalzlösung, z. B. Silbernitrat oder aus Silbernitrat ausgeschiedenen Metallmengen gewogen wurden, abgeschiedenen Mengen verhielten sich wie die Produkte aus Strom und Zeit, d. i., wie die hindurchgegangenen Elektrizitätsmengen.

Zu einem weiteren Ergebnis führte die Fragestellung, in welchem Verhältnis die durch dieselbe Elektrizitätsmenge aus verschiedenen Elektrolyten abgeschiedenen Substanzmengen stehen. Die Versuchsbedingungen sind am einfachsten erfüllt durch Hintereinanderschaltung, d. h. durch die Anordnung der verschiedenen Elektrolyte in demselben Stromkreis. Werden in dieser Weise verdünnte Schwefelsäure in der Anordnung der Fig. 458 und Silbernitratlösung mit einer Platin-kathode und einer Silberanode — letzteres zur Erhaltung des Silbergehaltes der Lösung — elektrolysiert, so verhalten sich die Gewichte des abgeschiedenen Wasserstoffs (berechnet nach Reduktion des abgelesenen Volumens auf 0° und 760 mm) und des abgeschiedenen Silbers wie 1:107,93, d. h.

Vorlesungsversuch innerhalb weniger Minuten werden in der Weise, wie es die Fig. 459 zeigt. An dünnen Drähten hängen die kleinen Platin- oder Goldkathoden, die erst durch oben auf den Hebelarm der Waage gewichte die Nullstellung der Waage erreicht. Die Kathoden zu den beweglichen Kathoden ist dadurch ein Draht hängendraht über einen etwas stärkeren Kathoden in zwei Metallschneiden drehbar ruht. Die Kathoden lassen das Verhältnis der abgeschiedenen Mengen kennen¹⁾.

Mit derselben Anordnung läßt sich ein Gesetz demonstrieren, die sich auf mehreren Wertigkeitsstufen auftreten, da der Strom aus verschiedenen Elektrolysen abscheidet, so muß z. B. aus Cuprosalzen, die doppelte Menge abgeschieden werden als

Fig. 459.



zweiwertigen Kupfers. Zur Demonstration der Anordnung die Kupfersulfatlösung in dem

Kupfers erweisen und unter Umständen auch elektrolytisch ausfällt, ist von Wohlwill¹⁾ und von Förster²⁾ gezeigt worden. Das chemische Gleichgewicht zwischen metallischem Kupfer einerseits und Cuprosalz andererseits, das sich mit steigender Temperatur in die eine oder andere Richtung zunehmender Konzentration an Cuprosalz verschieben kann, hat man also eine Lösung von Kupfersulfat oberhalb 70°, so wie man es zur Anreicherung an Cuprosalz bei höherer Temperatur anzuwenden pflegt, geltend machen, daß die Entladung des Kuprikupfers nicht zu metallischem Kupfer, sondern nur bis zum Cuprokupfer geht. Man hat dann an der Elektrode keine Metallabscheidung, sondern statt dieser durch den Strom eine Anreicherung an Cuprosalz. Dies ist, wird erkennbar, wenn man die Lösung nach der Stromentladung kühlt. Es stellt sich dann das der tieferen Temperatur entsprechende Gleichgewicht ein, indem das Cuprosalz zerfällt unter Bildung von metallischem Kupfer, welches innerhalb der Lösung in Form von Kristallen auskristallisiert.

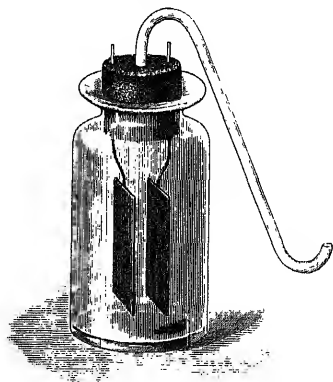
Besonders auffällig sind diese Vorgänge bei der Elektrolyse zur Abscheidung des Goldes, welches in Lösung ein- und dreiwertig vorliegt. Die Abscheidung erfolgt hier so wechselnd zwischen den verschiedenen Werten, daß man mit Recht behaupten konnte: „Wenn man Untersuchungen auf Lösungen solcher Art, wie die Goldlösungen, beschränkt hätte, würde er nie zur Erkenntnis seiner Natur gelangen“. Von der Annahme ausnahmsloser Gültigkeit des Faraday'schen Gesetzes aus haben sich diese³⁾ scheinbaren Ausnahmen erklären lassen, als herbeigeführt durch die Anwesenheit von Wasserstoffstufen.

Auch die Tatsache, daß unter Umständen beim Durchgang eines schwachen Stromes durch wässrige Lösungen von einer Elektrode zur anderen Elektroden überhaupt nichts wahrnehmbar wird — eine metallische, d. h. den Leiter nicht nur im Endeffekt, sondern im Moment unverändert lassende Stromleitung angesehen werden kann —

Gesetzes erfolgen. — Das Faraday
eines der genauesten Naturgesetze

§ 146. Anwendung des Faraday'schen Gesetzes zur Messung. Voltameter (Coulometer) zur Messung der Strommenge und chemischer Wirkungen zu verwenden. Die Vorrichtungen

Fig. 460.



das Volumen des entwickelten Wasserstoffes zu messen. Knallgasvoltameter — oder eines

Fig. 461 a.

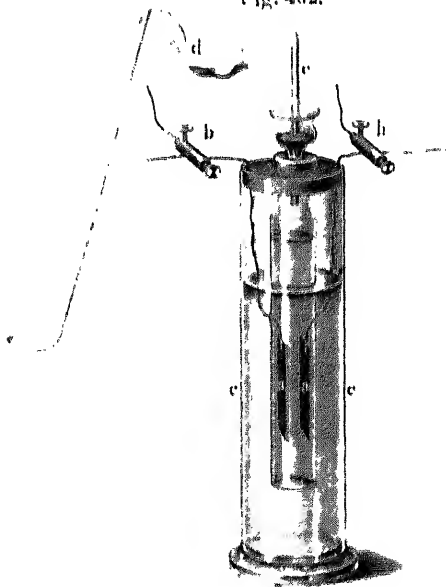


§ 146. Anwendung d. Faradayschen Gesetzes z. Strommes

etwa in der Art, wie sie die Fig. 461 a zeigt, angebr.
Boden eines Glasgefäßes ist ein Kork aufgekittet, welches
meterrohr trägt und der, wie Fig. 461 b zeigt, mit einer
nahme des Gasableitungsrohres versehen ist.

Will man Knallgas trocken über Quecksilber auffangen,
sich des von Bunsen konstruierten Zersetzungsapparates.
Das unten geschlossene Glasgefäß, in welchem sich die
finden, ist in ein weiteres, etwa mit Weingeist gefülltes

Fig. 462.



dessen Zweck darin besteht, eine allzu starke Erhitzung
flüssigkeit und der Zuleitungsdrähte zu verhindern.
gebildeten Zuleitungsdrähte der Platinplatten *a* sind in
setzungsgefäßen eingeschmolzen. In den dann sich
erweiternden Hals des Zersetzungsgefäßes ist das Glas
zum besseren Schutz ist etwas Quecksilber in den Trieb

§ 146. Anwendung d. Faradayschen Gesetzes z. Stromme-

Sauerstoff O_2 Ozon O_3 entsteht, was entsprechend der C ein zu geringes Volumen ergibt. Es hat sich gezeigt, welche an einer Platinanode in Schwefelsäure und auch an einer Nickelnode in Kalilauge vollständig ausbleibt.

Durch einen Kunstgriff gelingt es, die elektrolyt auch in solchen Fällen zur Messung der Stromstärke zu diese nicht konstant ist; es ist dabei weder eine Zeitmessung erforderlich noch eine Volumbestimmung, sondern lediglich die Ablesung eines Druckes. Die Stromstärke ist ja proportional der Geschwindigkeit der Gasentwicklung und diese Geschwindigkeit kann als Druck gemessen werden. Eine dazu geeignete Anordnung wurde von Bredig und Hahn ²⁾ angegeben (Fig. 465).

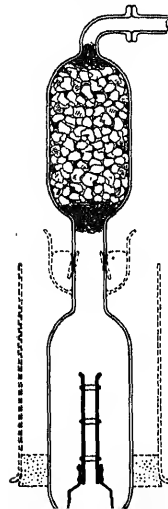
Das elektrolytisch entwickelte Knallgas strömt durch das Glasrohr *d* und tritt in die Erweiterung *e*, in welcher es durch Watte filtriert und so von mitgerissenem Flüssigkeitsstaub gereinigt wird. Alsdann entweicht das Gas durch die Kapillare *f*, deren Länge bei passender Weite sich sehr leicht so abgleichen läßt, daß das mit *d* kommunizierende Wassermanometer *g* bei 1 Amp. Stromstärke z. B. auf der verschiebbaren Skala gerade den Wasserdruk 1 cm anzeigt. Will man den Meßbereich und damit die Empfindlichkeit ändern, so braucht man nur eine andere abgegliche Kapillare *f* in *e* an Stelle der ersten zu setzen, so daß jetzt z. B. bei 1 Amp. Strom ein Druck von 10 cm Wassersäule entsteht. Das Instrument ist also durch einfache Auswechslung

demonstriert mit einem solchen
Höhe, wofür 0,404 bzw. 0,202
bei einer Stromstärke von 1,4
pro Teilstrich hatte, so erhielt
durch Projektion bequem we
Einrichtung am besten so, d
selbst den Strom schließt un
öffnet. Für Konstanterhaltung
nung mit großem eingesch
Apparat dürfte sich zur Dem
kurzdauernder Vorgänge rech

Gewichtsvoltameter.

kann das Knallgasvoltameter

Fig. 467.



entwickelte
vor und na
Form ist in
troden best
gebogen sin
leihen. Vo
stege gesc
zwischen G
besten dire
1 g entspre

Ein Nac
eine beträc
brauchen,
gesamten S
des Knallga
gang unter
Voltametern
zur Wägun
diese Vor

durch Erwärmen trocknen und zur Wägung bringen. Das Äquivalent ist 107,93, während z. B. Kupfer in der That ein Äquivalent $\frac{63,6}{2} = 31,8$ hat. Endlich machen sich

einer zweiten Wertigkeitsstufe für gewöhnlich nicht. Fig. 468 zeigt ein solches Instrument. Es besteht aus einem Schälchen oder -tiegel, welcher auf eine durch die negative Pol leitend verbundene Unterlage gestellt ist. In eine mit einer 10proz. Lösung von Silbernitrat gefüllte Tauchzelle taucht als Anode ein von einer Metallklemme getragener Silberstift. Um das Herabfallen von Teilen des Silberanodes in den Platintiegel zu verhindern, wird er mit einem Leinwandläppchen umhüllt oder ein kleines Glasgefäß untergehängt. Nach dem Versuch wird der Silberanode mit Wasser und Alkohol gewaschen und bei 160° getrocknet. Die Genauigkeit, die mit dem Silbervoltameter erreichen läßt, beruht auf der Tatsache, daß man die gesetzliche Definition des Coulomb darauf gegründet hat. Es wurde als internationaler Mittelwert die Beziehung vereinbart, daß 1,118 mg Silber. Die Unabhängigkeit dieses Wertes wurde von K. Kohlrausch und R. H. Weber²⁾ festgestellt.

Bei sehr geringen Strommengen bereitet die verschiedenen feinen Silberfitterchen Schwierigkeiten. Silber aus Komplexsalzen, wie Kaliumsilbercyanid, nitrat kristallinisch, sondern als kohärenter Überzug wendung dieser Lösung im Voltameter stand aber daraus stets zu wenig Metall ausfiel. Nernst u. Grund dafür in der Löslichkeit des Silbers in Cyan des Luftsaurostoffs. Es gelang, diesen auszuschließen voltameter herzustellen, in welchem ein Strom von

platte als Kathode zwischen zwei star-
platten als Anoden bringt. Auf 1 qcm
0,005 Amp. und nicht mehr als 0,03 A
wird mit Wasser und Alkohol abgespült
auch mit dem Kupfervoltmeter sich
Fehlerquellen. Resultate von dersel-
voltmeter erreichen lassen, bewiesen.

Auch Quecksilber hat man zu V-
zähler²⁾ Fig. 469a in einer sehr dünn-
Form des abgeschiedenen Metalls Ge-

Fig. 469a.



kennt man
silber, de
staltete Ge

Titrationselektrolyse. Zur Messung kleinerer Mengen haben sich Titrationselektrolysen als recht brauchbar erwiesen. Man stellt ein hohes cylindrisches Gefäß in verdünnter Salpetersäure mit einer Silberanode und oben eine Platinkathode, so löst sich unten Silber auf und gelangt vermöge des hohen spez. Gewichts der entstehenden Lösung nicht an die Kathode. Man beendet den Versuch das gelöste Silber mit Rhodanlösung.

Oder man bestimmt die kathodische Reduktion eines Eisenoxydsalzes. In diesem Falle wird die untere Platinelektrode (die Kathode) mit einer konzentrierten angesäuerten Lösung des Eisenoxydsalzes bedeckt, darüber befindet sich verdünnte Schwefelsäure, die Anode taucht. Der Strom reduziert an der Kathode das Eisenoxydsalz, welches nach dem Versuch mit Permanganatlösung titriert wird.

Am häufigsten verwendet wird das Jodvolumenmeter. Hierher gehört die von der Fig. 470 wiedergegebene Jodvolumenmessung. Unten befindet sich als Anodenlösung konzentrierte angesäuerte Jodkaliumlösung, oben verdünnte Salzsäure. Der Strom scheidet also unten an der Anode Jod ab, welches nach dem Herauslassen der gesamten Lösung durch einen Glasstutzen mit Natriumthiosulfat titriert wird ¹⁾.

§ 147. Allgemeinere Fassung des Faradayschen Gesetzes. Wir haben an den zahlreichen Beispielen gesehen, daß die Äquivalenz zwischen Strommenge und chemischem Umsatz zutrifft bei der kathodischen (Wasserstoff, Metalle) oder anodischen (Sauerstoff, Jod) Abscheidung von Elementen und ebenso bei ihrer Auflösung (Silbertitrationselektrolyse). Wir erkannten aber auch, daß das Gesetz gilt, wenn es sich nicht um Abscheidung oder Auflösung von Elementen handelt, sondern um die Lösung von Verbindungen.

§ 148. Theoretische Deu-
 Helmholtz. Elementarquantität
 gesprochene Zusammenfassung
 aufstellte, von welcher die durc-
 wendige gefordert wurden. In
 den Begriff der Wertigkeit oder
 mischen Atoms gibt an, mit w-
 bzw. wieviel solche Atome in V-
 Faradaysche Gesetz erhält d-
 sich als Einheit dar nicht nur
 Atome oder Atomkomplexe, son-
 Verhalten der Atome zur Ele-
 chemischen Atoms nur dafür in
 dieses oder jenes Elementes ei-
 Zahl der Atome nur von deren
 hier von der Natur des chemisc-
 oder negativer Elektrizität sich
 wieder nur bestimmt durch die
 nun die hier in Betracht komm-
 elektrochemischer Art unter v-
 annehmen, daß die Elektrizität
 atomistischer Struktur ist, d-
 noch zwei Arten von einwertig-
 und diejenige negative Elektrizität
 chemischen Atom oder mit j-
 können. Wir nennen sie das p-
 oder, nach einem Vorschlage
 Elektron.

Wie wir nun bei einem m-
 ermitteln versuchen, indem wir
 mit einem Gramm Wasserstoff

Nun hat man aber in der kinetischen Gastheorie Wege zur Kenntnis nicht nur der relativen Atomgewichte, sondern auch der absoluten geführt haben, welche uns also die Möglichkeit geben, nur auf eines von ihnen als Einheit bezogen angegeben werden kann. Das Gewicht eines Atoms in Gramm kennen lehrten. Ein Atom wiegt danach 10^{-21} mg, ein Atom eines Elementes mit dem Atomgewicht A also $A \cdot 10^{-21}$ mg. Wir sahen, daß 1 g Wasserstoff 96 540 Coul. bindet, 1 mg also 96,54 Coul. Wasserstoff $96,54 \cdot 10^{-21}$ — etwa 10^{-10} Coul. Dies ist das Gewicht des Elektrons, die kleinste Elektrizitätsmenge, die nachweisen lassen. Jede größere Elektrizitätsmenge ist eine Vielfache der Auffassung von der atomistischen Struktur der Elektrizität. Die grundlegende und weitreichende Erkenntnis wird in späteren Kapiteln dargestellt werden. Während wir es in der Elektrochemie zu tun haben, zeigen die Methoden, das Elektron in isoliertem Zustande darzustellen, Eigenschaften in diesem Zustande zu studieren.

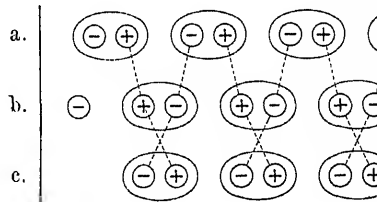
§ 149. Konzentrationsänderungen an den Elektroden. Überführungszahlen. Wanderung der Ionen. Von den unmittelbar wahrnehmbaren Erscheinungen wenden wir uns nun den Vorgängen, welche ihren Sitz im Inneren des Elektrolyten haben. Die Ursache, von der wir ausgehen, ist die Konzentrationsänderung, welche man während der Elektrolyse von den Elektroden in den Inneren des Elektrolyten ausbreiten sieht.

Die Demonstration dieser Erscheinung geschieht am besten an einer Zelle, in der von Gasentwicklung durch Projektion eines kleinen planparallelen mit verdünnter und mit Schwefelsäure angesäuerten Kupfersulfatlösung und in welchen als Elektroden zwei U-förmig gebogene Kupferdrähte durch einen Akkumulator erkannt man sofort

— mehrere Jahrzehnte nach ihrer Entstehung
 Gedanke seine weitreichende Bedeutung

Hittorf ging aus von der Vorstellung
 Vorgängen im Innern eines Elektrolyten
 gegeben hatte. Von Faraday waren
 standteile im Molekül eines Elektrolyten
 hatte als erklärungsbedürftig die Tatsache
 — wie weit auch die in einen Elektrolyten
 einander entfernt sind — doch gleichzeitige
 Zersetzungsprodukte sich zeigen. Es
 sein, welches sie liefert. Wenn aber an
 Moleküle ihre entgegengesetzten Bestandteile

Fig. 47



Kathode

dann in beiden Fällen mit den zurückbleibenden
 Grotthuss fand die Antwort, daß sie mit den
 nächsten Moleküle zusammentreten und die
 Elektrolyten hin sich fortsetzt. Seine Ansicht

Nach der Vorstellung von Grotthuss
 Moleküle in eine gerichtete Lage bringen
 an den Elektroden vor sich gehen und
 Austausch (b); endlich hätte wieder ein
 welche die Moleküle der Elektrode mit ihm
 zudreht (c), worauf dann wieder der b e

Hittorf nahm diese Anschauung —

Daß in der Tat eine Bewegung der gelösten Stoffe bei S. beiden Elektroden hin stattfindet, läßt sich durch einen einfachen Versuch zeigen. In einem U-Rohr mit Ansatz von beistehender Abb. 149 ist das Ansatzgebiet gefüllt mit einer verdünnten Lösung des tischen Kupfersulfats, welches mit einigen Tropfen des in 1. Phenolphthaleins versetzt ist. Diese violett gefärbte Mischlösung läßt man in die Ansatzkapillare bis etwa 1 cm unter dem Hahn einsteigen. Dann wird das U-Rohr etwa zur Hälfte mit verdünnter Ammoniaklösung gefüllt und in diese läßt man durch Öffnen des Hahnes die violette Lösung langsam einsteigen, bis sie die Biegung des U-Rohres ausfüllt. In die nunmehr darüber befindliche Lösung in jedem Schenkel tauchen etwa 0,5 cm tiefe Platindrähte als Elektroden ein. Bei Stromdurchgang sieht man dann aus der violetten Lösung in die farblose Lösung an der Kathodenseite die tiefblaue, an der Anodenseite die tieferrote herauswandern.

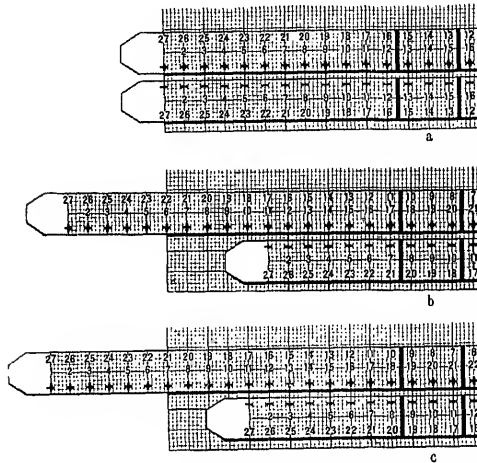
Erfahrungsgemäß macht die Erfassung der Hittorfschen Überlegungen Schwierigkeiten. Hittorf selbst hat die Ionenbewegungen in Zeichnungen dargestellt, die aber nicht ohne Mühe zu überblicken sind. So kam es, daß eine ganze Reihe von mechanischen Modellen¹⁾, zum Teil von recht komplizierter Natur, zur Demonstration in der Vorlesung angegeben wurden. Der Verfasser pflegt seine Zuhörer in die eigene Betätigung (unter Variation der Zahlenverhältnisse) an einem selbst herzustellenden, sehr einfachen Schema zu empfehlen.

Aus steifem Koordinatenpapier sind drei Streifen geschnitten, wie sie die Fig. 473 a zeigt. Der breitere erhält die quer eingeschnittenen zur Hervorhebung geschwärtzte Bänder, unter welchen die zwei schmaleren Streifen verschiebbar sind. Auf diesen sind von 5 zu 5 mm (Kationen und Anionen) angebracht, welche zur Erleichterung nach beiden Seiten hin numeriert sind, und die in der Mitte und nach jedem Versuch, sich immer untereinander befinden. Der Weg von einer Ruhelage zur anderen beträgt also hier gesetzt wandernde Anion- und Kationpaar in Summa 1 cm. Jedes faches davon. Sobald aber die Summe der entgegengesetzten Bewegungen 5 mm beträgt, ist immer, wie der Versuch an

können. Nun sind durch Wanderung $\frac{1}{2}$ müssen also vorhanden sein $2 + 5 = 7$ Kationen auf der selben Seite auch fünf fortgewandert, so daß somit ebensoviele wie Kationen, also 5 Moleküle auf der Anodenseite. Die Fig. 473 b gibt die Verhältnisse, daß die Mittelschicht unverändert geblieben ist, während jeder Gattung hinein- und herausgewandert.

Jetzt nehmen wir den Fall, daß die Wanderung in ungleichen Teilstrecken, etwa im Verhältnis

Fig. 473 a, b, c



und betrachten wieder den Endzustand, nach d. i. 10×5 mm, zurückgelegt sind. Die 10 so, daß $\frac{3}{5} \cdot 10 = 6$ davon vom Kation zurück,

des Modells ist um 6×5 mm nach links z vom Anion (der untere Streifen ist um $4 \times$ Wieder sind also 10 Kationen und 10 A

dort festgestellt, d. h. es sind von den ursprünglichen 12 vorhanden, wie auch die Fig. 473 c zeigt.

An der Anodenseite (rechts) sind 10 Anionen ent- ohne Zuwanderung nur noch $12 - 10 = 2$ vorhanden

$\frac{2}{5} \cdot 10 = 4$ hinzugewandert, also $2 + 4 = 6$ Anionen vor-

zeitig sind Kationen von der Anodenseite fortgewandert und

es sind also noch vorhanden $12 - 6 = 6$ Kationen. St- lichen 12 Mol. sind also an der Anodenseite noch 6 Mol. v-

Das Gesamtergebnis stellt sich also so dar:

	Kathodenseite		
Vorher vorhanden . . .	12 Kationen u. 12 Anionen	12 Kat	
Abgeschieden	— 10 "		
Hinzugewandert	+ 6 "		
Fortgewandert	— 4 "	— 6	
Nachher vorhanden . . .	8 Kationen 8 Anionen	6 Kat	
Konzentrationsänderung } (Verlust)	12 — 8 = 4 Mol.		1

Das Schema erlaubt, alle gefundenen Verhältnisse darzu- dabei praktisch die abgeschiedene Menge so groß, daß keine H- auftreten. Bei der Salzsäure (Wanderungsgeschwindigkeit des des Chlors wie 5:1) läßt man also 6 Mol. zersetzt werden (ober- nach links, unterer Streifen 1×5 mm nach rechts) und hat da-

	Kathodenseite		
Vorher vorhanden . . .	12 Wasserstoff u. 12 Chlor	12 Wa	
Abgeschieden	— 6 "		
Hinzugewandert	+ 5 "		
Fortgewandert	— 1 "	— 5	

Der Elektrizitätstransport durch ein Salz
zwischen den beiden Ionen nach Maßgabe der
Schicken wir durch einen Elektrolyten
jenige Elektrizitätsmenge, welche 1 Gram
= 36,5 g HCl) zersetzt und ist n der Ionenwert
Anion durch die Lösung transportiert, $1 - n$ der
Rest, d. i. $1 - n$, auf das Kation. Dieses Ver-
hältnis der transportierten Ionen ist mit dem
Ausgeführten identisch sein muß mit dem Ver-
hältnis der Ionen- oder Wanderungsgeschwindigkeiten (das wir $l_A : l_K$ nennen wollen)
aus dem Verhältnis der Konzentrationsänderungen

$$\frac{n}{1 - n} = \frac{l_A}{l_K} = \frac{\text{Verlust an Anionen}}{\text{Verlust an Kationen}}$$

Hittorf nennt n und $1 - n$ die Überfüllungszahlen der
Kationen. Die Werte n und $1 - n$ stellen die Ionen-
geschwindigkeiten dar, d. h. die Wanderungsgeschwin-
den im Verhältnis zur Summe der Wanderungsgeschwin-
den.

Das Prinzip der Hittorfschen Apparate ist in Abb. 1
führungsanzahlen gibt das oben besprochene Prinzip
in drei Teile zerlegbar sein, deren mit Hilfe der
verändert zu erweisen ist.

Die Trennung der Apparate in drei Teile ist
ermöglichen. Die Verwendung tierischer Membranen
Hittorf selbst später¹⁾ gezeigt hat, als nicht möglich
indem an diesen Membranen selbst Konzentrations-
Schlierenbildung in der Flüssigkeit erkennbar ist.

Als möglichst einfaches Beispiel für eine Berechnung der Überföhrungszahlen sei die oben (S. 497) an der Hand des Modells eines U-Rohrs der Salzsäure gewählt. Der Versuch ist leicht als Übung auszuführen. In Fig. 476 abgebildeten Apparat¹⁾ (Coehn, Ber. d. chem. Ges. 2673, 1902) ausführbar.

Man erkennt, daß ein U-Rohr dadurch in drei Teile zerlegt wird, indem es auf einer größeren Spiegelglasplatte, welche die Biegung des Rohrs bildet, zwei kleinere mit den eingeschlifften geraden Rohrteilen aufgesetzt wird. Der Apparat wird nach der Zusammensetzung bis auf einen bestimmten Stand der Flüssigkeit eingestellt.

Fig. 474.

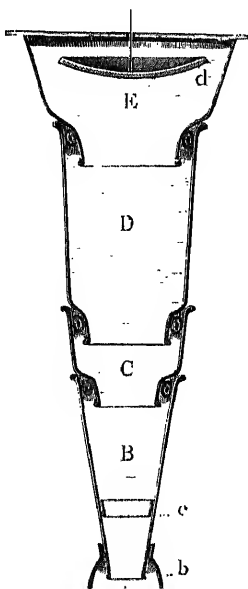


Fig. 475.

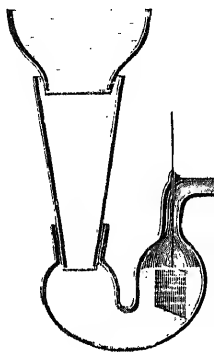


Fig.



Becherglas fließt. Mit einer kleinen Menge dann nachgespült, was geschehen kann, da für ist, daß alle veränderte Salzsäure in das kl belanglos ist, wieviel unveränderte Salzsäure d dann die während der Elektrolyse zugewandert In einem Versuch gingen 0,025 Amp. etwa d schieden sich im Voltameter ab 0,1802 g Ag.

$$\frac{\text{Ag}}{\text{H}} = \frac{107,93}{1,008} = \frac{0,1802}{x}; \quad x =$$

Die Titration der unveränderten Salzsäure geben, daß in 1 g HCl-Lösung sind:

0,000 103 g H (von F

Nach dem Versuch wird die veränderte änderter HCl herausgespült. Im Becherglas s diese nicht verändert, so müßten sie enthalten

38,38.0

Die Titration ergibt aber nur

Also ist der Verlust der Kathodenlösung. . .

Der Verlust durch Ausscheidung betrug . . .

Also sind zugewande

Demnach ist

$$\frac{0,001\,389}{0,001\,683} = 0,825 \text{ die Überf}$$

und

$$1 - 0,825 = 0,175 \text{ „}$$

Hittorf hat so in seinen Untersuchungen

§ 150. Leitfähigkeit. Ersetzt man in einem Stromquelle wie früher zwei Daniellelemente sein mögen, einen Leiters durch einen Elektrolyten selbst von sehr verdünnter Flüssigkeit, etwa durch verdünnte Schwefelsäure zwischen Platinblechen, so kennt man an einem eingeschalteten Galvanometer ein Maß der Stromstärke. Daß der Grund dafür nicht allein in dem des Leitungswiderstandes zu suchen ist, sondern auch in den Elektroden, wird sofort kenntlich, wenn man die Elektrode, an welcher sich der Sauerstoff entwickelt, durch eine Kupferelektrode ersetzt. Hier wird dann anodisch nicht Sauerstoff entwickelt, sondern Kupfer, und der Strom steigt an. Gelangt sodann das entstehende Kupfer zur Kathode, wodurch an die Stelle der Wasserstoffentwicklung die Kupferabscheidung tritt, so entsteht ein abermaliger Stromanstieg. Kenntnis des Leitungswiderstandes des Elektrolyten zu gewinnen, ist sich von dem Elektrodenvorgange und der dadurch herbeiführenden Polarisation der Elektroden, welche, wie wir früher (S. 480) sah, wirkt und dadurch den Widerstand scheinbar vergrößert, freizumachen, geschieht, indem man die Flüssigkeitssäule von vornherein ausschaltet und nur den Abstand der Elektroden ändert.

Die Anzahl Ohm, die an dem gleichzeitig eingeschalteten aus- oder eingeschalteten Widerstand zu kompensieren, um die Verlängerung der Flüssigkeitssäule zu kompensieren, gibt dann den Widerstand der ein- oder ausgeschalteten Flüssigkeit. Um eine Vorstellung von den Größen zu geben, sei erwähnt, daß die bestleitenden Elektrolyte etwa 10000 mal schlechter leiten als eine Quecksilbersäule von gleichen Dimensionen (vgl. die Tabelle S. 409).

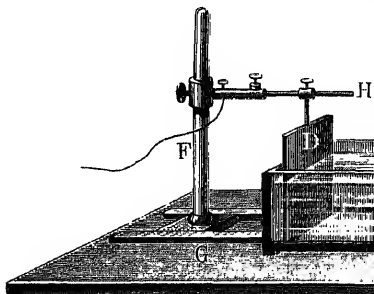
Becquerel führte derartige Messungen in dem Apparate Fig. 477 aus, in welchem die Elektroden *a* und *b* vertikal übereinander stehen und der wohl aus der Figur hinlänglich verständlich ist. Als untere,

durch erreicht, daß er durch die Flüssigkeit und dabei die Richtung wechselnden Stromes hindurchstromt. Der Strom wird durch einen (später zu besprechenden) Rheostaten erhalten. Infolge des fortwährenden Polwechsels der Flüssigkeit die darauffolgende entgegengesetzte aufgewandte Kraftstärke ist in diesem Falle nicht mittels eines Rheostaten möglich, wohl aber mittels des später zu besprechenden Rheometers.

Für genauere Messungen verwendet man die Wheatstonesche Brücke in der Form, die durch F. Kohlrausch gegeben worden ist. Die Richtung des Stromes im Brückenarm wird durch einen Rheostat statuiert.

Bei der praktischen Ausführung der Messungen wird die gewöhnliche Brückenschaltung (S. 456) zu verwenden. Die Meßinstrumente miteinander zu vertauschen. Die vom Induktorium ausgehende Strom; im anderen

Fig. 4



kontakt der sehr kleine Strom zu passieren hat. Die gesuchten Stellung auf Stromlosigkeit im Brückenarm

Dieser Einheitskörper wird etwa dargestellt durch 1 zentige) Schwefelsäure von Blutwärme ¹⁾.

Die älteren Angaben beziehen sich auf Quecksilber von 1 cm Kantenlänge. Ein solcher Würfel den Widerstand von $\frac{1}{10\,630}$ Ohm hat. Die darauf bezogenen Widerstände (k) sind also mit 10 630 zu multiplizieren, um die neueren (κ) zu erhalten:

$$\kappa = 10\,630\,k.$$

Man würde also κ , das Leitvermögen eines Centimeter Kubik Einheitskörpers, als spezifische Leitvermögen der Elektrolyte, sofort erhalten, wenn man den Widerstand w in einem Centimeterwürfelgefäß messen würde, dessen gegenüberstehende Seiten die platiniierten Platinelektroden wären.

Hat man ein anderes zylindrisches Gefäß, etwa ein Glasgefäß, in dem man anschließend an die Glaswand, zwei kreisförmige Elektroden von der Fläche in dem Abstände von l cm trägt, so ist das spezifische Leitvermögen κ gegeben durch:

$$\kappa = \frac{l}{w} \cdot \frac{1}{w},$$

wobei w wieder der gemessene Widerstand in Ohm ist. Bei der Temperatur von 18° für eine Normal-KCl-Lösung, welche ein Molekulargewicht in Gramm (74,60 g KCl) in 1 Liter Wasser enthält, ist:

$$\kappa_{18^\circ} = 0,098\,22,$$

für eine Zehntelnormal-KCl-Lösung (7,460 g KCl) im Liter Wasser:

$$\kappa_{18^\circ} = 0,011\,19.$$

Ist man auf diese Weise einmal zur Kenntnis des spezifischen Leitvermögens einer Lösung, z. B. n-KCl, gelangt, so bedarf es zur Leitfähigkeit anderer Lösungen nicht mehr solcher Gefäße, deren Form man abmessen darf. Man bestimmt dann die „Widerstandskapazität“ C denjenigen Widerstand (C , welchen der Einheitskörper von 1 Ohm Widerstand hat) darin zeigen würde. Dazu benutzt man eine Zelle, deren Elektroden bereits hergestellt sind.

Keiner Wagung oder ar.

3. Gesättigte Chlornatr.

4. Gesättigte Cupelösung

Zur Herstellung von s
genannten, ist reines „Leuf
wird, indem man Wasser durc
flüchtigen Salzen, nach Zusat
nach Zusatz von etwas Sch
reingt. Geringe Mengen sin

Fig. 479

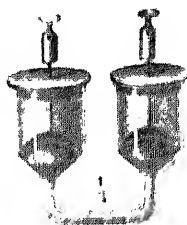
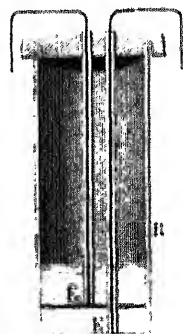


Fig. 482.

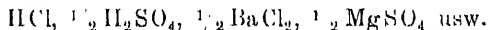


aust
welch
der
gena
Wale
zwise
Kaj
lute

§ 151. Äquivalent-Leitvermögen. Die spezifische Leitfähigkeit wie die Zahlen für n -KCl und $0,1\ n$ -KCl (S. 503) andeuten, der Lösung. Um verschiedene Elektrolyte miteinander zu vergleichen, man chemisch gleichwertige Lösungen, d. h. Lösungen, die eine gleiche Menge von Grammäquivalenten (nicht Molekülen) enthalten. Ein Grammäquivalent ist das Formelgewicht in Gramm, dividiert durch die chemische Äquivalente, die zu seiner vollständigen elektrolytischen Zersetzung erforderlich wären, also:

$$39,15 : 2 = 35,15 \text{ --- } 74,60 \text{ g KCl}$$

und entsprechend



Man bezeichnet mit η die Äquivalentkonzentration einer Lösung, d. h. die Anzahl Grammäquivalente des gelösten Stoffes im Kubikcentimeter Lösung. Dividiert man κ durch η , so erhält man das Leitvermögen pro Grammäquivalent oder das Äquivalentleitvermögen A ---

Das spezifische Leitvermögen steigt im allgemeinen mit der Konzentration an, und zwar um so weniger, je mehr die Konzentration bei Elektrolyten, die höhere Konzentrationen zulassen, über ein Maximum, was unmittelbar aus der früher erwähnten Tatsache folgt, wird, daß die reinen Komponenten auch gut leitender sind. Zur Demonstration des Maximums schließt man einen Stromkreis eines Induktoriums ein lautsprechendes Telephon, in dem geschrieben worden wird, und reines Wasser zwischen Platinplatten, die in Essigsäure taucht, spricht kaum an, ebensowenig, wenn man an die Stelle des reinen Wassers Essigsäure bringt. Fügt man aber Wasser zur Essigsäure, so wächst die im Telephongeräusch kenntliche Leitfähigkeit der Lösung.

Die folgende Tabelle gibt die Werte von κ für verschiedene Lösungen nach Kohlrausch.

Unfähigkeit, in wässriger Lösung bei 18°.

$\text{NaOH} \cdot \text{H}_2\text{O}$	1	2	3	4	5	6	7	8	9	10	11	12	13	14	15	16	17	18	19	20	21	22	23	24	25	26	27	28	29	30	31	32	33	34	35	36	37	38	39	40	41	42	43	44	45	46	47	48	49	50	51	52	53	54	55	56	57	58	59	60	61	62	63	64	65	66	67	68	69	70	71	72	73	74	75	76	77	78	79	80	81	82	83	84	85	86	87	88	89	90	91	92	93	94	95	96	97	98	99	100
AgNO_3	1	2	3	4	5	6	7	8	9	10	11	12	13	14	15	16	17	18	19	20	21	22	23	24	25	26	27	28	29	30	31	32	33	34	35	36	37	38	39	40	41	42	43	44	45	46	47	48	49	50	51	52	53	54	55	56	57	58	59	60	61	62	63	64	65	66	67	68	69	70	71	72	73	74	75	76	77	78	79	80	81	82	83	84	85	86	87	88	89	90	91	92	93	94	95	96	97	98	99	100
KNO_3	1	2	3	4	5	6	7	8	9	10	11	12	13	14	15	16	17	18	19	20	21	22	23	24	25	26	27	28	29	30	31	32	33	34	35	36	37	38	39	40	41	42	43	44	45	46	47	48	49	50	51	52	53	54	55	56	57	58	59	60	61	62	63	64	65	66	67	68	69	70	71	72	73	74	75	76	77	78	79	80	81	82	83	84	85	86	87	88	89	90	91	92	93	94	95	96	97	98	99	100
KJ	1	2	3	4	5	6	7	8	9	10	11	12	13	14	15	16	17	18	19	20	21	22	23	24	25	26	27	28	29	30	31	32	33	34	35	36	37	38	39	40	41	42	43	44	45	46	47	48	49	50	51	52	53	54	55	56	57	58	59	60	61	62	63	64	65	66	67	68	69	70	71	72	73	74	75	76	77	78	79	80	81	82	83	84	85	86	87	88	89	90	91	92	93	94	95	96	97	98	99	100
KBr	1	2	3	4	5	6	7	8	9	10	11	12	13	14	15	16	17	18	19	20	21	22	23	24	25	26	27	28	29	30	31	32	33	34	35	36	37	38	39	40	41	42	43	44	45	46	47	48	49	50	51	52	53	54	55	56	57	58	59	60	61	62	63	64	65	66	67	68	69	70	71	72	73	74	75	76	77	78	79	80	81	82	83	84	85	86	87	88	89	90	91	92	93	94	95	96	97	98	99	100
ClO_2	1	2	3	4	5	6	7	8	9	10	11	12	13	14	15	16	17	18	19	20	21	22	23	24	25	26	27	28	29	30	31	32	33	34	35	36	37	38	39	40	41	42	43	44	45	46	47	48	49	50	51	52	53	54	55	56	57	58	59	60	61	62	63	64	65	66	67	68	69	70	71	72	73	74	75	76	77	78	79	80	81	82	83	84	85	86	87	88	89	90	91	92	93	94	95	96	97	98	99	100
ZnCl_2	1	2	3	4	5	6	7	8	9	10	11	12	13	14	15	16	17	18	19	20	21	22	23	24	25	26	27	28	29	30	31	32	33	34	35	36	37	38	39	40	41	42	43	44	45	46	47	48	49	50	51	52	53	54	55	56	57	58	59	60	61	62	63	64	65	66	67	68	69	70	71	72	73	74	75	76	77	78	79	80	81	82	83	84	85	86	87	88	89	90	91	92	93	94	95	96	97	98	99	100
MgCl_2	1	2	3	4	5	6	7	8	9	10	11	12	13	14	15	16	17	18	19	20	21	22	23	24	25	26	27	28	29	30	31	32	33	34	35	36	37	38	39	40	41	42	43	44	45	46	47	48	49	50	51	52	53	54	55	56	57	58	59	60	61	62	63	64	65	66	67	68	69	70	71	72	73	74	75	76	77	78	79	80	81	82	83	84	85	86	87	88	89	90	91	92	93	94	95	96	97	98	99	100
BaCl_2	1	2	3	4	5	6	7	8	9	10	11	12	13	14	15	16	17	18	19	20	21	22	23	24	25	26	27	28	29	30	31	32	33	34	35	36	37	38	39	40	41	42	43	44	45	46	47	48	49	50	51	52	53	54	55	56	57	58	59	60	61	62	63	64	65	66	67	68	69	70	71	72	73	74	75	76	77	78	79	80	81	82	83	84	85	86	87	88	89	90	91	92	93	94	95	96	97	98	99	100
SrCl_2	1	2	3	4	5	6	7	8	9	10	11	12	13	14	15	16	17	18	19	20	21	22	23	24	25	26	27	28	29	30	31	32	33	34	35	36	37	38	39	40	41	42	43	44	45	46	47	48	49	50	51	52	53	54	55	56	57	58	59	60	61	62	63	64	65	66	67	68	69	70	71	72	73	74	75	76	77	78	79	80	81	82	83	84	85	86	87	88	89	90	91	92	93	94	95	96	97	98	99	100

(Fähigkeit) in wässriger Lösung bei 18°.

$MgSO_4$	$ZnSO_4$	$CaSO_4$	$NiSO_4$	HCl	HNO_3	$H_2K_2O_4$	$C_2H_4O_2$	$NaOH$	KOH	NH_4OH
14,56	114,71	115,30	—	—	—	—	—	—	—	—
109,90	109,53	109,95	—	—	—	—	107	—	—	66
108,07	107,46	107,90	—	—	—	—	80	—	—	53
104,21	103,16	103,56	—	—	—	368	57	—	—	38,0
99,89	98,39	98,56	—	377	375	361	41	208	234	28,0
94,14	92,05	91,94	—	376	374	351	30,2	206	233	20,6
84,53	81,76	80,98	—	373	371	330	20,0	203	230	13,2
76,21	72,76	71,74	—	370	368	308	14,3	200	228	9,6
67,68	63,73	62,40	—	367	364	286	10,4	197	225	7,1
56,92	52,68	51,16	—	360	357	253	6,48	190	219	4,6
49,65	45,34	43,85	—	351	350	225	4,60	183	213	3,3
43,19	39,08	37,66	—	342	340	214	3,24	178	206	2,30
40,4	36,8	35,5	—	336	334	210	2,65	176	203	1,83
35,4	32,3	30,8	30,6	327	324	205	2,01	172	197	1,35
28,91	26,21	25,77	25,4	301	310	198	1,32	160	184	0,89
21,4	20,1	20,1	19,25	254	258	183	0,80	131,4	160,8	0,532
15,3	15,3	15,0	15,07	215	220	137	0,54	108,0	140,6	0,364

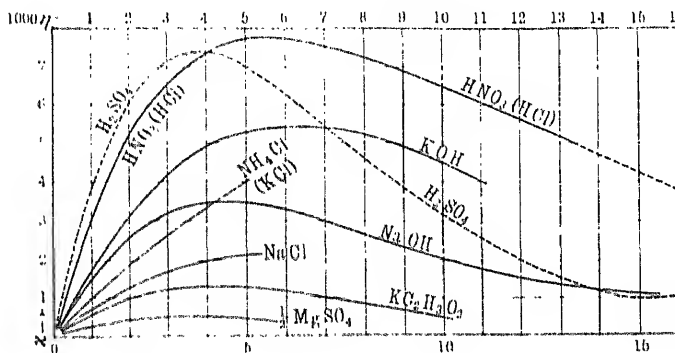
Äquivalentleitfähigkeiten bei 2

	32
KClO	122,
KF	114,
K Mn O ₄	121,
Rb Cl	138,
Na H S O ₄	311,
Li Cl	103,
Ti N O ₃	128,
Pb Cl ₂	99,
H Br	398
H F	59,
H ₃ P O ₄	156
Ca (O H) ₂	—
Ba (O H) ₂	410
Ni S O ₄	66,
Co S O ₄	66,
Co Cl ₂	107,
Al ₂ (S O ₄) ₃	51,
Cr ₂ (S O ₄) ₃	67,
Ameisensäure	31,
Benzoesäure	—
Zitronensäure	—
Essigsäure	9,
Monochloressigsäure	77,
Dichloressigsäure	269,
Trichloressigsäure	344,
Oxalsäure	285
Äthylamin	28,
Diäthylamin	39,
Triäthylamin	29,
Essigsaures Natrium	78,

äquivalente im Kubikcentimeter, also 1000η die Grammäquivalente η — $\frac{1}{1000 \eta}$ ist die Verdünnung in Litern dividiert durch äquivalente; A ist das Äquivalentleitvermögen.

Man erkennt unmittelbar beim Überblicken der beiden von unten nach oben, daß die Äquivalentleitfähigkeit der „schwachen“ Säuren und Basen, wie Essigsäure und Ammonium, verdünntesten Lösungen mit der Verdünnung noch erheblich

Fig. 483.



die gut leitenden Lösungen der Neutralsalze und der „starken“ Basen. Hier wird bei ansteigender Verdünnung bald ein Maximum erreicht, bei weiterer Verdünnung sich nur noch wenig ändert.

Dem allmählichen Anwachsen der Leitfähigkeit vermochte ich keine Interpretation zu geben, welche der experimentellen Praxis entsprechen würde. Wohl aber gelang ihm in der Deutung des Maximalwertes gut leitender Lösungen ein für die Theorie wesentlicher Fortschritt. Findet nämlich jedes Ion bei seiner Verdünnung ein bestimmtes Maximum, so ist die Leitfähigkeit

Es folgt:

$$\text{III. } l_K = (1 - n) A; \quad l_A = n A$$

So fand sich z. B. für KCl (S. 506) der Extrapolation auf unendlich verdünnte Lösungen (Äquivalent KCl in einer unendlich großen W) $A_\infty = 129,9$. Hittorfs Überführungsversuch

$$n = 0,503 \quad \text{und} \quad 1 - n =$$

Daraus folgt:

$$l_K = 0,497 \cdot 130,10 = 64,7 \quad \text{und} \quad l_A =$$

Die Gleichung II spricht das Gesetz von der Ionen aus. Denn sind einmal auf dem a werte l_K und l_A für verschiedene Ionen festges Addition irgend zweier Werte l_K und l_A sich di Lösung vorhersagen lassen, welche den aus den k Elektrolyten in weitgehender Verdünnung enth Verhalten einer Eigenschaft in einem Schema v welches zeigt, daß die Differenzen der verschie sind und ebenso der Vertikalreihen :

	Li	K	Na
$\text{JO}_3 \dots$	—	98,49	77,42
$\text{Cl} \dots$	131,47	130,10	108,99
$\text{NO}_3 \dots$	127,75	126,50	105,33
$\text{F} \dots$	112,5	111,35	90,15
Differenz		1,2 bis 1,37	21,07 bis 21,21

Man sieht aus der Tabelle, mit welcher gefundenen Werte sich der Forderung der A vier aufgeführten Kaliumverbindungen KJO_3 , KCl , KNO_3 , KF verhält.

Die Tabelle der von Kohlrausch gefundenen Werte uns in den Stand, für alle Neutralsalze und für die gut Säuren und Basen die Äquivalentleitfähigkeit Λ_∞ durch treffenden l_K und l_A unmittelbar anzugeben.

§ 152. Die absoluten Wanderungsgeschwindigkeiten
gebrauchten Werte für die Wanderungsgeschwindigkeiten l der Anschaulichkeit. Sie sind ausgedrückt in „Leitfähigkeit“ d. h. — da die Einheit der Leitfähigkeit ein Körper war, der einen Würfel den Widerstand 1 Ohm hatte — in „reziproken Ohm“.

Um ein anschauliches Bild dieser Geschwindigkeiten zu geben, setzen wir sie in dem üblichen Geschwindigkeitsmaß aus und fragen, wie viele Zentimeter in der Sekunde Kation und Anion unter dem Antrieb einer bestimmten Kraft, als die wir die Potentialdifferenz von 1 Volt pro Centimeter festsetzen wollen, zurücklegen.

Eine normale, d. h. ein Grammäquivalent im Liter haltende Salzsäurelösung von 18° bilde eine Flüssigkeitssäule von 1 qcm Querschnitt, wie die Fig. 484 andeutet. Durch zwei Flächen A und B im Abstände von 1 cm denken wir uns einen Kubikcentimeter herausgeschnitten. Da im Liter 1 g-Äquivalent HCl sich befinden, so enthält der Kubikcentimeter 0,001 g Äquivalent vorhanden. Wir nehmen nun den Wert Λ_∞ als die Leitfähigkeit eines Kubikcentimeters bereits erreicht. Die Leitfähigkeit des Kubikcentimeters

$$0,001 \Lambda_\infty = 0,001 (l_{\text{H}} + l_{\text{Cl}}) = 0,001 (318 + 35,4) = 0,03534$$

d. h. der Widerstand des Kubikcentimeterwürfels wäre $\frac{1}{0,03534}$.

In dieser Zeit werden alle Wasserstoffatome, die in der Ebene *A* waren, in die Ebene *B* gelangt sein, wenn die Feldstärke von 1 Volt pro Centimeter 303,58 Sek. schieben. Ihr Weg in der Sekunde oder

$$U = \frac{1}{303.58} = 0.003294 \text{ cm/sec}$$

Allgemein ist also die Wanderungsgeschwindigkeit in einer Sekunde in einem Felde von 1 Volt/cm gleich der Leitfähigkeit in reziproken Ohm, dividiert durch die Ladungszahl.

$$U = \frac{l_H}{96540} = \frac{318}{96540}$$

für Chlor also:

$$U = \frac{l_{Cl}}{96540} = \frac{65}{96540}$$

Es mögen die Werte für einige Kationen sein:

U_K	= 0,000 669 cm/sec
U_{Na}	= 0,000 450 "
U_{Li}	= 0,000 346 "
U_H	= 0,003 294 "

Die absolute Wanderungsgeschwindigkeit kann auf einfacher Weise nach Nernst¹⁾ bei farbigen Elektrolyten in Vorlesungsversuche messen. Man bedient sich eines geeigneten Apparates. Man gießt in den Apparat eine Kaliumpermanganatlösung und läßt diese Lösung bis zur Annäherung an die Kathode aufsteigen. Sodann füllt man bei geschlossener Klemme ein Drittel der Höhe eine 0,003 n.-Lösung mit Wasser. Entweichen sich entwickelnder Gase nur langsam, wird der Hahn

um 0,8 cm gewandert. Bei einem Potentialgefälle von wäre also das MnO_4 -Ion bei Zimmertemperatur gewandert

$$\frac{0,8}{300 \cdot 4,2} = 0,00063 \text{ cm.}$$

Abegg und Steele ¹⁾ haben gezeigt, daß die Methylenionen zu beschränken ist. Auch bei ungefärbten Ionen und ihre Verschiebung durch die verschiedene Lichtbrechbarkeit gemacht werden.

§ 153. Dissoziationstheorie. Hittorf hatte auf seiner Theorie (S. 494, Fig. 471) die Anschauung ausgebildet, daß beim Stromdurchgang die Strecke aus einem Molekularvermögen mit verschiedener Geschwindigkeit zurücklegen.

Kohlrauschs Gesetz von der unabhängigen Verschiebung spricht aus, daß in sehr verdünnten Lösungen die Bewegung eine ihm eigentümliche Größe ist, unabhängig von der „verbundenen“ anderen Ions.

Die Folgerung, welche sich hier mit Notwendigkeit ergibt, scheint, war eine der herrschenden chemischen Auffassungen, die nicht gezogen wurde, trotzdem ihre Notwendigkeit von anderem Gesichtspunkte aus erwiesen war. Bestätigung der Wirkung im Innern einer Lösung darin, daß die mit endlicher Konzentration gehaltenen Teile des Elektrolyten, z. B. KCl , auseinander bedürfte es zum Stromdurchgang einer bestimmten, die Konzentration überwindenden elektromotorischen Kraft. Das ist zu sehen werden, für die Ausscheidung der Bestandteile an den Elektroden auch der Fall. Umgehen wir aber die Konzentration des Elektrolyten an den Elektroden, indem wir sogenannte Konzentrationselektroden verwenden, z. B. Kupfer in Kupfersulfat, Zink in Zinksulfat, wobei nach außen alles unverändert bleibt —, so genügt eine elektromotorische Kraft, um Stromdurchgang zu erzeugen.

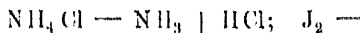
Im dritten Bande dieses Werkes ist g
Dampfdruckerniedrigung einer Lösung d
Das Entsprechende fand sich für die Sied
die Gefrierpunktserniedrigung (ebenda S. 4
Größen gegenüber derjenigen des reinen L
gelöste Stoffe die gleiche, wenn deren Men
gewichte standen. Diese einfache Gesetz
untersuchten Größen hatte sich aber erst g
nächstliegenden Beispiele zu wählen, näm
anorganischen Salze in Wasser. Diese h
den jener einfachen Gesetzmäßigkeit ents
abweichen, daß eine größere Anzahl von M
als aus der gelösten Menge zu berechnen
begnügen, für jeden solchen Stoff denjenig
der geforderte Wert für die Dampfdrucke
und Gefrierpunktserniedrigung zu multipl
Werte zu geben.

Zu dieser Gruppe von Erscheinung
mäßigkeit und Ausnahmen ganz den bei je
der osmotische Druck — dessen Zustandel
(Band III, S. 326) beschrieben wurden
Stoffe den gleichen Wert, wenn auf gleich
gleiche Anzahl gelöster Grammmoleküle k
nicht salzartige, zumeist organische Stoffe
Lösung waren. Für Stoffe dagegen wie
gemessene Wert den aus dem Molekularg
für jedes Salz den Faktor i ermittelte, m
multiplizieren war, um den gefundenen z
dem aus dem Dampfdruck, Siedepunkt un

In seiner Theorie der Lösungen faßt
Gesetzmäßigkeiten unter einheitlichem Ge

oder indirekt an der Dampfdruckerniedrigung, S. Gefrierpunkterniedrigung — gab die Theorie Arrhenius ¹⁾ erkannte das Gemeinsame der nicht „1“ Stoffe darin, daß sie in Lösung den elektrischen Strom dazu in engen Zusammenhänge stehen muß zur Abweichung von den Normalwerten des osmotischen Druckes. Es ging schon daraus hervor, daß, wie die Leitfähigkeitsabweichungen um so mehr anstiegen, in je mehr Wasser das Salz gelöst war.

van't Hoff hatte die Gültigkeit der Avogadro'schen Hypothese für gelöste Stoffe erwiesen. Abweichungen der Gase von der Dampfdichtebestimmung in der Richtung, daß die beobachteten Dichten eine kleinere, als die aus der eingewogenen Menge berechnete waren, führten (wie z. B. beim Benzoldampf oder Essigsäure) zur Annahme einer Assoziation, die Bildung von Doppelmolekülen (C_2), welche zurückgeführt werden. Die Ergebnisse in umgekehrter Richtung, wie beim Chlorammonium oder beim Jod, führten entsprechend zur Annahme einer Dissoziation.



Es schien nur eines konsequenten Weiterschreitens bedürfen, um bei Lösungen zu verfahren, wie bei Gasen. Derjenigen einer Assoziation — für die man sich zu entscheiden — stand keinerlei Schwierigkeit im Wege, die Standpunkte der Chemie undenkbar, in Lösung die Moleküle in ihre Komponenten, etwa von Chlor und Wasser, zu zerlegen, anzunehmen. War doch die heftige Einwirkung der molekularen Natriums auf Wasser bekannt; um was man sich die Fähigkeit solcher Lösungen, den elektrischen Strom zu leiten, daß man es hier nicht mit chemischen Atomen —

fähigkeit / dissoziiert in

α aus der Dichte

Arrhenius zeigte, daß im Druck direkt oder indirekt zu ist, um den Dissoziationsgrad nämlich allen aus dem gelöst wie jedem Molekül, so auch den osmotischen Druck zu, im osmotischen Druckes über der Bruchteil nicht „normaler“ Mole lassen.

Führen wir die Herrechnung direkten Methode zur Messung des Gefrierpunktes. Es soll werden, in welcher eine bekannt Gefrierpunktes der Lösung Wassers um t° . Ware keine Liter der Lösung befindlichen Gefrierpunkt angeben lassen. zählter Substanzen (Bd. III, S. Wasser den Gefrierpunkt um 1 punktuerniedrigung für unsere beiden Werte können wir der Durch die Dissoziation bis erniedrigenden Einzelindividuen

$\alpha = \frac{4}{5}$, so wären von 100 ge

der Rest $(1 - \frac{4}{5}) 100 = 20$

einstimmung. Von dem Grade dieser Übereinstimmung Zusammenstellung nach van't Hoff und Reicher¹⁾ sind darin die Werte von $i = 1 + (n-1)\alpha$ verzeichnet, Faktor, welcher angibt, in welchem Verhältnis die Molekular-Dissoziation vergrößert ist. i_1 fand de Vries²⁾ aus Molekulardruckes (er verwendete die plasmolytische Methode einer halbdurchlässigen Membran umgebene Pflanzenzelle verschiedener Konzentration gebracht und diejenigen aufgefunden, welchen die Zelle sich weder ausdehnte noch zusammenzog, Wasser weder zum Ein- noch zum Heraustreten brach, d. h. osmotischen Druck, wie der Zellinhalt hatten). Indem man eine Zuckerlösung mit einer Chlorkaliumlösung von gleichem Molekulargehalt aber verschiedenem Molekulargehalt verglich, ergab sich das i_2 ist der aus der Gefrierpunkterniedrigung von Arrhenius, i_3 der aus der Leitfähigkeit von van't Hoff und Reicher ermittelte.

Salz	Konzentration in Gramm- äquivalenten	i_1 osm. Druck	i_2 Gefrierpunkt	i_3 Leitfähigkeit
KCl	0,14	1,81	1,81	1,81
Ca(NO ₃) ₂	0,18	2,48	2,48	2,48
MgSO ₄	0,38	1,25	1,25	1,25
LiCl	0,13	1,92	1,92	1,92
SrCl ₂	0,18	2,69	2,69	2,69

Mit der Verfeinerung der Methoden gestaltete sich die Übereinstimmung noch vollkommener. So fand Loomis für KCl:

Molekulargehalt	i aus dem Gefrierpunkte	i aus der Leitfähigkeit
-----------------	------------------------------	------------------------------

Kations l_h bekannt ist, z. B. N
dann für das Essigsäure- l_h l_a
Säuren das l_h für das Wasser
nicht zu ermittelnde l_h für
der Leitfähigkeit L der Lösung

Konzentration zukommenden

§ 154. Folgerungen aus
reichend verdünnten Lösungen
sehen sind, so ist anzunehmen
worden ist — die Wanderung
der Natur des entgegengesetzt
sondern daß auch eine Reihe

Fig. 205

Li	
Cd	
Am	
Zn	
K	
Ni	
Mg	
Cu	
H	

einer Reihe von übermangansäuren Salzen von gleicher Salzkonzentration untereinander photographierte und damit das Zusammenfallen der Konzentrationsstreifen erwies.

Daß die Dichte verdünnter Salzlösungen sich berechnet als Summe zweier Werte, deren einer dem Kation des gelösten Salzes, der andere dem Anion eigentümlich ist, geht aus einer von B. früher erkannten Gesetzmäßigkeit hervor. Er ging von einer Ammoniumlösung (Dichte = 1,0157) aus und ermittelte die Dichte einer Anzahl von Kationen und Anionen die „Moduln“. B. bezeichnete er diejenigen Werte, um welche die Dichte einer Ammoniumlösung sich vergrößert, wenn man NH_4 durch das Kation oder Cl durch ein Anion ersetzt. Diese Moduln, multipliziert

NH_4	0	$\frac{1}{2} \text{Mg}$	356	Cl
K	289	$\frac{1}{2} \text{Mn}$	410	Br
Na	238	$\frac{1}{2} \text{Zn}$	606	J
Li	78	$\frac{1}{2} \text{Cd}$	606	NO_3
$\frac{1}{2} \text{Ba}$	735	$\frac{1}{2} \text{Pb}$	1087	$\frac{1}{2} \text{S}$
$\frac{1}{2} \text{Sr}$	500	$\frac{1}{2} \text{Cu}$	434	$\text{C}_2\text{H}_3\text{O}_2$
$\frac{1}{2} \text{Ca}$	280	Ag	1061	

So ergibt sich z. B. für eine normale Lösung von KCl

$$1,0157 + 0,0001 (434 + 206) = 1,0793$$

Für μ -fach normale Lösungen ist, wie Bender²⁾ zeigte, die Dichte einer μ -fach normalen NH_4Cl als Ausgang zu wählen und die Dichte der in obiger Tabelle zu entnehmenden Moduln noch mit μ zu multiplizieren.

$$d = D_\mu + \mu (M_K + M_A).$$

Ist die Dichte einer 3 n- NH_4Cl -Lösung 1,0451, so berechnet sich die Dichte einer 3 n- CaBr_2 -Lösung zu

$$1,0451 + 0,0003 (280 + 373) = 1,0451 + 0,0003 (653) = 1,0451 + 0,001959 = 1,047059$$

bringen zweier verdünnter Salzlösungen, etwa von KCl und NaCl , einen Wärmeeffekt auftritt. Es trifft ebenso zu, wenn man verdünnte Säuren wie HCl und HNO_3 oder verdünnte Basen wie KOH und NaOH bringt. Ein ganz anderes Verhalten, nämlich eine starke Wärmetönung zeigt sich, wenn die verdünnte Säure mit einer Base, etwa NaOH , vermischt wird. Man kann die auftretende Wärmetönung mit großer Genauigkeit in einem von Nernst angegebenen sehr einfachen Apparat (Fig. 486) messen. Innerhalb eines weiten Becherglases schneiden, die mit Siegellack festgekittet sind, ein zweites engeres, oben abgesprengtes Becherglas. Durch einen Holzdeckel, der auf dem äußeren Becherglase aufliegt, gehen ein Beckmannsches Thermometer (Bd. III, S. 35) und ein aus Messing gefertigter Rührer, an dessen oberem Ende ein aus schlechtleitendem Material (Hartgummi, Holz) gefertigter kleiner Griff sich befindet. Man wägt in einer Pipette, die durch Eindrücken eines am Ende zur Kugel gestalteten Glasstabes in ein angesetztes Stück Gummischlauch verschließbar ist, eine bestimmte Menge $2n\text{-HCl}$ ab und bringt diese in die Kalorimeterflüssigkeit, eine gewogene Wassermenge, welche NaOH in etwas größerer als zur Neutralisation der angewendeten HCl ausreichender Menge enthält. Aus der Temperaturerhöhung der Kalorimeterflüssigkeit ergibt sich dann die Wärmetönung der Reaktion $\text{HCl} + \text{NaOH} \rightarrow \text{NaCl} + \text{H}_2\text{O}$ zu 13700 Kalorien. Eben-dieselbe Zahl findet man, wenn man statt der Salzsäure eine andere starke (gutleitende) Säure und statt der Natronlauge eine andere dero-

Anion der Säure und dem Kation der Base als von der Dissoziationstheorie gefordert nur erfüllt sein kann bei einer wenig dissoziierte Essigsäure z. B. muß bei der Dissoziation erst in die Ionen aufgespalten werden. Diesem Vorgange entspricht, muß die Wärmeänderung ändern erscheinen. Je nachdem die Dissoziation kleiner ist als 13700 Kalorien, wird die Säure oder Base als unter Wärmeentwicklung laufend zu erkennen geben. So findet man bei der wenig dissoziierten Essigsäure mit der schwachen Flußsäure 16270 Kalorien. Die Essigsäure ist also positiv 13700 - 13700 = negativ 13700 - 16270 = 2570 Kalorien.

§ 157. Gleichgewicht in Salzlösungen. Wir haben gesehen, daß der zerfallene Bruchteil der überhaupt vorhandenen Salzmoleküle der Gefrierpunktniedrigung und dem osmotischen Druck wie aus der Leitfähigkeit sich ergibt. Die Lösung ist nach den Anschauungen der Dissoziationstheorie nicht im Gleichgewicht, sondern er erhält sich im Schwanken zwischen Dissoziation und Wiedervereinigung. Das sich einstellende Gleichgewicht ist kein statisches, sondern ein kinetisches Gleichgewicht zwischen den Molekülen KA und Wiedervereinigung. Wenn wir diese Teilvorgänge in der Lösung betrachten, so findet man die Wiedervereinigung um so häufiger in der Lösung, je größer die Konzentration der Kationen und Anionen ist. Wenn wir die Konzentration von Anion c_A und Kation c_K beider Konzentrationen setzen:

Dies ist der Ausdruck für das Gesetz der chemischen Wirkung, das für Nichtelektrolyte, angewandt also auf neutralen Moleküllarten von Williamson, Guldberg und Pfaundler u. a. erwiesen worden ist. Auf die Elektrolyte hat es Ostwald ¹⁾ angewendet. Er zeigte an einer ganzen Reihe von schwachen Säuren, daß ihr durch Messung der Leitfähigkeit ermittelter Dissoziationsgrad für verschiedene Verdünnungen sich mit dieser speziellen Form als Verdünnungsgesetz der Elektrolyte, in Übereinstimmung fand. Da bei der Auflösung eines Elektrolyten die Zahl der positiven und negativen Ionen gleich sein muß (wenn c_I die Konzentration des einen Ions und c_M die des anderen Ions bedeutet) zu

$$\frac{c_I^2}{c_M} = K.$$

Wenn bei der Gesamtkonzentration c des gelösten Stoffes der Dissoziationsgrad α ist, so ist die Konzentration jedes der Ionen αc und die Konzentration der nicht dissoziierten Moleküle $c_M = (1 - \alpha)c$.

$$K = \frac{\alpha^2 c}{1 - \alpha}.$$

Um den Sinn der Dissoziationskonstante K anschaulicher zu machen, setze man $c = K$, die Konzentration gleich dem Werte der Dissoziationskonstante. Dann wird $\alpha^2 = 1 - \alpha$ und $\alpha = 0,618$, d. h. die Dissoziation ist diejenige Konzentration, bei welcher der Dissoziationsgrad α die Hälfte der Konzentration ist. Oder man setze $\alpha = \frac{1}{2}$, dann wird $K = \frac{1}{2} c$, d. h. die Dissoziationskonstante ist die Hälfte derjenigen Konzentration, bei welcher der Dissoziationsgrad α die Hälfte der Konzentration ist.

Man erhält also die Dissoziationskonstante K , indem man die Dissoziation α für irgend eine Konzentration c feststellt, so

$v = \frac{1}{\eta}$	100 α a fähig
0,994	0,
2,02	0,
15,9	1,
18,1	1,
1 500	14,
3 010	20,
7 480	30,
15 000	40,

Eine ebenso gute Übereinstimmung zwischen Säuren und Basen. Ihnen allen gemeldet sind, daß also wie bei Essigsäure A_{∞} experimentell nicht erreichbar ist.

Bemerkt sei, daß für den Fall sei, daß in der Formel $K = \frac{\alpha^2 c^2}{(1-\alpha)c}$ der Wählerhältnisse leicht zu überblicken sind und Vereinfachung, daß dann die Konzentration aus der Gesamtkonzentration: αc prop.

Für stark dissoziierte Elektrolyten Formel, so für alle Neutralsalze und Versucht man z. B. für Chlorkalium die gemessenen Dissoziationsgrade ergibt sich:

Molekulargehalt	
0,000 1	0,
0,001	0,
0,01	0,

bildung mitwirkt, die alle dazu führen würden, daß die Methoden nicht den wahren Dissoziationsgrad ergeben, was, von der man das aus später zu erörterndem Grunde muß, noch auch die osmotischen Methoden. Jedenfalls war es hier hervorzuheben, da sie ein vielbearbeitetes Problem. Die Erledigung eine wesentliche Erweiterung unserer Kenntnisse dieser Stoffe erwartet werden darf.

Die Dissoziationskonstante ist eine charakteristische Eigenschaft des Elektrolyten und hängt eng mit deren chemischer Natur zusammen. Bei organischen Säuren und Basen für die Änderung der Dissoziationskonstanten mit dem substituierenden Eintritt verschiedener Gruppen in den Molekularkomplex eine Reihe von Gesetzmäßigkeiten. Die Erörterung aber zu weit in chemisches Gebiet führen.

§ 158. Folgerungen aus dem Verdünnungsgesetz. Bisher nur den Fall betrachtet, daß die Ionen in der Lösung aus dem Zerfall des aufgelösten Elektrolyten. Für Elektrolyten, die dem Massenwirkungsgesetz gehorchenden Elektrolyten, z. B. CH_3COOH , irgend einen anderen Elektrolyten, z. B. CH_3COONa , bleibt die Dissoziation der Essigsäure unbeeinflusst; das heißt die Gleichung der Dissoziationskonstanten nicht mehr durch den zugesetzten Elektrolyt ein Ion mit dem in Lösung befindlichen. Fügen wir zu der verdünnten Essigsäure z. B. NaOH , so wird die Dissoziation sich nicht ändern, die Gleichung

$$\frac{[\text{CH}_3\text{COO}^-][\text{H}^+]}{[\text{CH}_3\text{COOH}]} = K$$

nicht mehr erfüllt sein. Denn durch Vermehrung der Ionen wäre der Zähler des Bruches zu groß geworden. Die Konstante bleibt aber, daß der Wert unter allen Umständen erhalten bleibt. Wenn mit dem Wachsen des Zählers auch der Nenner wachsen, so tritt ein Rückgang der Dissoziation eine Vermehrung der neutralen Moleküle ein. Dasselbe wäre der Fall, wenn statt durch Zufügen der Konzentration des positiven Ions vergrößert, durch Zufügen der Konzentration des negativen Ions vergrößert würde. Der Rückgang

Zusatz (z. B. von HCl zu CH_3COOH) die c_0 vermehrt, so geht die Dissoziation zurück c_M vergrößert auf c'_M . Es ist dann:

$$\frac{c'_I(c'_I + c_0)}{c'_M}$$

und die unverändert gebliebene Gesamt-Elektrolyten (in unserem Beispiel der Essig).

Von den zahlreichen chemischen An- hingewiesen, die auch von physikalischen Indikatoren in der bisher gebrauchten Form.

Die in der chemischen Maßanalyse be- Säuren oder Basen, deren Radikal als I- nichtdissoziierten Molekül. So ist Phenolp Molekül farblos ist. Durch Zusatz von das wie die meisten Neutralsalze stark d- phtaleins: man erkennt die tiefrote Far- man wieder Säure hinzu, so bleibt die rot- freien OH -Ionen in der Lösung die Ne- gegangen sind. Ein minimaler darüber h- stoffionen (Säure) drängt die Dissoziation zurück und es zeigt sich statt des rote- übersieht leicht, daß es von der Schwäche wird, wie empfindlich sie als Indikator Wasserstoffionen zum Zurückdrängen der

§ 159. Löslichkeitserniedrigung.

tionsgleichung nur auf homogene elektro- Nernst²⁾ zeigte ihre Übertragbarkeit auf gewichte, in welchen die Lösung angre- gesättigt ist. Der als fester „Bodenkör- stimmter Temperatur eine bestimmte Lös- gleichzeitigen Anwesenheit anderer gelös- der undissoziierten Moleküle muß bei verändert bleiben auch bei Zusatz irgend

Qualitativ sind diese Verhältnisse gut demonstrierbar an der Lösung von Kaliumchlorat $KClO_3$. Fügt man zu dieser Lösung Chlorarsäureionen in Form irgend eines ihrer Salze, so tritt Dissoziation des $KClO_3$ und damit Auskristallisation an. Das geschieht ebenso bei Zusatz einer Lösung von Natriumchlorat. Dagegen bleibt die Löslichkeit von Chlorammonium, da hier kein Ion gemeinsam ist, unbeeinflusst.

Quantitativ ergibt sich die Löslichkeitsbeeinflussung folgender Weise. Es sei

m_0 die Löslichkeit des festen Elektrolyten in reinem Wasser,

α_0 der Dissoziationsgrad (in Grammäquivalent pro Liter) bei dieser Konzentration (in Grammäquivalent pro Liter).

Dissoziationsgrad; daher also

$m_0 (1 - \alpha_0)$ die Konzentration der nicht dissoziierten Teilchen,

$m_0 \alpha_0$ die Konzentration des dissoziierten Anteils.

Wird nun ein zweiter Elektrolyt zugesetzt, dessen Ionen mit den des ersten Elektrolyten gemeinsame Ionen besitzen, so ist

m die dadurch verringerte Löslichkeit,

α der dann vorhandene Dissoziationsgrad.

Es muß aber konstant geblieben sein die Löslichkeit des festen Elektrolyten, also

$$m_0 (1 - \alpha_0) = m (1 - \alpha).$$

Ebenso muß erhalten geblieben sein die Dissoziationskonstante

$$K = \frac{(m_0 \alpha_0)^2}{m_0 (1 - \alpha_0)} = \frac{m \alpha (m \alpha + x)}{m (1 - \alpha)}.$$

Und da die vorige Gleichung besteht, ist $(m_0 \alpha_0)^2 = m \alpha (m \alpha + x)$

$$m = \frac{2 \alpha}{x} + \sqrt{m_0^2 \left(\frac{\alpha_0}{\alpha} \right)^2 + \frac{x^2}{4 \alpha^2}}.$$

Man kann also die Löslichkeit m eines Elektrolyten nach dem Zusatz eines zweiten Elektrolyten mit gleichem Ionen berechnen aus der

nicht merklich geändert wird, können wir die Konzentration setzen und erhalten als Dissoziationskonstante des Wassers bei

$$K_w = [\text{H}^+] \cdot [\text{OH}^-] = 10^{-14}.$$

§ 162. Einfluß der Temperatur. Die Leitfähigkeit κ nimmt im allgemeinen mit der Temperatur zu und zwar für dünnter Lösung pro Grad um 2 bis 2,5 Proz., für Basen um 4 bis 5 Proz., für Säuren um etwa 1,5 Proz.

Es ist aber nicht ungängig, dieses Verhalten eines Stoffes für elektrolitische Leitung anzunehmen. Auf Grund der Dissoziation ist von Arrhenius die Möglichkeit elektrolytischer Leiter vorauszusetzen. Er hat das Verhalten vorausgesagt und sodann durch die Tatsachen bestätigt worden. Es sind nämlich bei der Temperatursteigerung vor allem zwei verschiedene Einflüsse auf die Leitfähigkeit als wirksam zu betrachten. Einmal kann der Reibungswiderstand, welchen die vorhandenen Ionen in dem Lösungsmittel finden, d. h. also die Beweglichkeit der Ionen sich mit der Temperatur ändern, dann aber auch die Zahl der Ionen durch Zu- oder Abnahme der Dissoziation mit der Temperatur. Die Änderung der Beweglichkeit allein tritt ein, wenn man sie nicht aus der Leitfähigkeit erschließt, sondern aus der früher (S. 512) angegebenen Methoden direkt die Abwanderungsgeschwindigkeit mißt — vorausgesetzt, daß dabei genügende Genauigkeit erreichbar wäre. Aus dem Temperaturkoeffizienten der Leitfähigkeit ergibt sich derjenige der Beweglichkeit allein, wenn man die Leitfähigkeit von Lösungen benutzt, daß Λ_∞ annähernd erreicht ist, so daß die Änderung der Dissoziation ohne Einfluß ist.

Nach Kohlrausch läßt sich Λ_∞ für verschiedene Temperaturen darstellen durch den Ausdruck:

$$\Lambda_t = \Lambda_{18} \{ 1 + \alpha(t - 18) + \beta(t - 18)^2 \}.$$

Die Werte der Konstanten α und β hat Kohlrausch für eine Reihe von

an M_∞ seinen Einfluß auf die Leitfähigkeit. Aus dem Standpunkte der Thermodynamik ist die Dissoziation mit steigender Temperatur selbst unter Wärmeverbrauch. Der Zusammentritt chemischer Elemente zur Verbindung entwickelt und auch unter Wärmeabgabe. Bei exotherme und endotherme Reaktionen. Der Zusammentritt der Ionen zum Molekül ist mit dem umgekehrtem Vorzeichen der Wärmetönung verbunden. Die Dissoziation bindung sich unter Wärmeverbrauch. Das Prinzip von Le Chatelier allgemein bewiesen. Bei einer Störung eines Gleichgewichts eine solche Änderung der Störung entgegengewirkt wird. Eine Temperaturerhöhung, die Bildung befördern, die Dissoziation wirken, wenn die Verbindung sich

Die Dissoziation und mit ihr

muß also mit steigender Temperatur. Die Dissoziation negativ ist, d. h. wenn die Dissoziation mit steigender Temperatur entwickelt wird. van 't Hoff hat die Beziehung quantitativ beherrschen

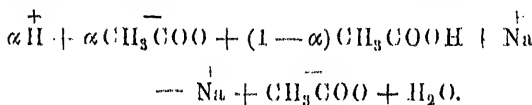
$$\frac{d \ln K}{dT} = \frac{Q}{RT^2}$$

Darin bedeutet q die Dissoziationswärme

in chemischem Maße ($-1,99$ Kalorien),

Zunahme des natürlichen Logarithmus der Dissoziation durch die zugehörige Temperatursteigerung.

entspricht der — je nach dem Sinne der Abweichung positiven — Wärmetönung bei dem Zerfall des Essigsäuremoleküls. Für die Berechnung ist noch der geringe Dissoziationsgrad zu berücksichtigen, womit die vollständige Gleichung für die



Die Differenz der Wärmetönung dieses Vorganges gegen die Wärmetönung für die Aufspaltung von $1 - \alpha$ Gramm in die Ionen, woraus sich diejenige für ein Grammmolekül

Andererseits ermittelt man durch Messung der Leitfähigkeit unter Berücksichtigung des Temperaturkoeffizienten der Beweglichkeitskonstante für zwei verschiedene Temperaturen aus der obigen Gleichung daraus die Dissoziationswärme q . Die durchgeführten Messungen ergaben vollständige Übereinstimmung der Werte mit dem aus der Neutralisationswärme erhaltenen. Von Interesse ist, daß Arrhenius hier eine nach den bis dahin bekannten Tatsachen über die elektrolytische Leitfähigkeit völlig unerwartete Vorhersage konnte: In Fällen positiver Dissoziationswärme, d. h. Dissoziation mit steigender Temperatur ab. Der Einfluß der Dissoziationswärme auf die Leitfähigkeit kann bei besonders großer Dissoziationswärme durch die der Leitfähigkeit durch erhöhte Beweglichkeit (Abnahme der Dissoziationswärme) überwiegen, so daß der Temperaturkoeffizient der Leitfähigkeit positiv wäre. Besonders groß ist die Dissoziationswärme der Phosphorsäure (bei 35° 2458 cal, bei 21,5° 2103 cal) und der phosphorigen Säure (bei 35° 4301 cal, bei 21,5° 3745 cal). Arrhenius fand, daß die Leitfähigkeit normaler Lösungen bei 74°, der letzteren oberhalb 54° mit steigender Temperatur abnimmt.

§ 163. Hydrolyse. Der Dissoziationszustand des Wassers macht sich geltend durch die Eigenheit des Wassers, sondern überwiegen der Hydroxylionen. Zerlegt sich das Wasser unter Aufwirkung der Neutralsalze durch die Dissoziation.

Lösen wir Chlornatrium in Wasser, so wird der Dissoziationszustand des Wassers durch die Beteiligung von Wasserstoff- und Hydroxylionen, und NaOH, wären selbst in ihrer Dissoziation. Natriumacetat, so würde wieder der Dissoziationszustand, das aber dissoziiert bleibt, das aber nur gering dissoziiert ist (S. 52). Geschieht dies aber, dann sind die Dissoziationen, ebensoviel H^+ wie OH^- vorhanden.

handen, sondern, da das CH_3COOH nicht gebunden hat, überwiegen die Hydroxylionen. Die Lösung reagiert alkalisch.

Hier ist die Säure schwach, die Base stark. Hier ist die Säure schwach, die Base stark.

Was die Stärke des hydrolytischen Dissoziationszustandes, daß sie berechenbar ist aus der Dissoziation der in Betracht kommenden Stoffe. Natriumacetat die Konstante der Dissoziation.

$\text{CH}_3\text{COONa} + \text{H}_2\text{O} \rightleftharpoons \text{CH}_3\text{COOH} + \text{OH}^-$
 ist gegeben durch den die vier Dissoziationen

welche durch OH-Ionen, proportional ihrer Konzentration, bes zu deren Messung in Lösungen von Salzen mit schwacher Säur

Endlich hat man die aus solcher direkten Messung gewor des Hydrolysegrades benutzt, um mit Hilfe der drei Dissoziat für Salz, Säure und Base aus obiger Gleichung die Dissoziat des Wassers zu berechnen, und hat diese in Übereinstimmung Leitfähigkeit ermittelten gefunden.

Den Temperatureinfluß auf die Hydrolyse läßt jene Gleic des Sinnes und als einen besonders starken unmittelbar erken allen auf der rechten Seite vorkommenden Größen ändert sich l anderung weitaus am meisten die Dissoziationskonstante des haben ihre starke Zunahme mit der Temperatur kennen gelern auch die hydrolytische Spaltung eines Salzes mit der Tempe wachsen.

Qualitativ läßt sich dies leicht zeigen. Bringt man z. B. Aluminiumchlorid und Natriumacetat bei Zimmertemperatur

reichen die durch Hydrolyse des Natriumacetats vorhandenen C aus, um $\text{Al}(\text{OH})_3$ auszufällen. Erwärmt man aber die Lösu durch die zunehmende Hydrolyse die Konzentration der OH-Io $\text{Al}(\text{OH})_3$ ausfällt.

§ 164. Einfluß des Druckes auf die Dissoziation.

Einfluß des Druckes muß das erwähnte allgemeine Prinzip von gelten: Komprimieren wir ein chemisches System bei kons Temperatur, so verschiebt sich das Gleichgewicht nach derjen in welcher eine Volumverminderung eintritt. Aus dem Sin anderung bei der Dissoziation muß also derjenige für die Druckes auf die Dissoziation sich unmittelbar ableiten lassen.

die weitere Herabsetzung des V also durch Druck die Diss.

Das hat Panjunga¹⁾ best. Säuren bei Drucken zwischen bestimmte. Aus dieser heß Säuren bei der Neutralisation thermodynamischem Wege ab

Darin ist Δr das Dissoziations-
Änderung für den Zerfall α
 R die Gaskonstante (in Atmos-
Temperatur und der Bruch α
Dissoziationskonstante mit de-
tionavolumen der schwachen
einstimmung mit dem von Os-
Es seien einige Werte angefu-

TABLE

Ammoniumsäure
Essigsäure
Propionsäure
Buttersäure

Die Wirkung des Druck
näher untersucht worden; es

Die allgemein geringere Dissoziation in anderen von Nernst¹⁾ und unabhängig von J. J. Thomson Dielektrizitätskonstante dieser Lösungsmittel auf Grundung zurückgeführt worden. Die Kräfte, welche den Moleküle in die Ionen veranlassen, sind uns nicht bekannt, muß ihrer Betätigung die elektrostatische Anziehung geladenen Ionen entgegenwirken. Die Anziehung zwischen geladenen Massenpunkten hängt nun ab von der Dielektrizitätskonstante des Mediums (vgl. Kap. III, § 10). Je größer diese Konstante ist, um so schwächer, je größer die Dielektrizitätskonstante des Mediums, desto stärker die Dissoziation. Man findet also in dem Medium von größter Dielektrizitätskonstante, d. h. es ist dort die Dissoziation am stärksten. Nach folgender Zusammenstellung:

Medium	Dielektrizitätskonstante	Elektrolytische Dissoziation
Gasraum	1,0	Nicht nachweisbar bei gewöhnlicher Verdünnung.
Benzol	2,8	Äußerst geringes, aber sich nachweisbares Lösungsvermögen für viele Salze.
Äther	4,1	Merkliches Lösungsvermögen für viele Salze.
Alkohol	25	Ziemlich starke Dissoziation.
Acetonsäure	62	Starke Dissoziation gelöster Salze.
Wasser	80	Sehr starke Dissoziation.

Der hiermit angedeutete Zusammenhang tritt deutlich bei der ausführlichen Untersuchung, in welcher von Walden²⁾ das Verhalten des selben Salzes, Tetraäthylammoniumjodid $N(C_2H_5)_4J$ in verschiedenen organischen Lösungsmitteln untersucht wurde: mit der Dielektrizitätskonstante wächst die dissoziierende Kraft des Lösungsmittels.

nebel können nicht zur Anode diffundieren und lagern auf dem am Boden liegenden Metall ab. Es zeigte sich, Art gewonnene Metallmenge dem Faradayschen Gesetz die Vermutung, daß die Leitung geschmolzener Salze eine sein könne, widerlegt wird.

Die Untersuchungen der Leitfähigkeit geschmolzener Salze sind noch nicht abgeschlossen. Sie haben zu allgemeinen von Bedeutung noch nicht geführt. Geschmolzene Metalle leiten nur sehr wenig, geschmolzene Metallsalze meist recht wenig. z. B. die Äquivalentleitfähigkeit A einer normalen KCl -Lösung (in reziproken Ohm) beträgt, ist sie für geschmolzenes KCl (in reziproken Ohm) beträgt, ist sie für geschmolzenes KCl Wie weit das auf starke Dissoziation und wie weit auf hohe Temperatur zurückzuführen ist, konnte bisher nicht sicher entschieden werden. In den Leitfähigkeitsmessungen, bei welchen Konzentrationsunterschiede zwischen den Elektrolyten lassen sich bei einer einheitlichen Substanz nicht ausfüllen, haben Faust¹⁾ ein Gemisch mehrerer Metallsalze, KCl und $NaCl$ zu dem Zwecke verwendet.

Das Fortbestehen der Leitung im festen Zustand. Bei Quarz eingehend von Warburg und Tögelmeier²⁾ untersucht. Quarz ist elektrolytisch in der Richtung seiner Hauptachse. Von Quarz wurde die von Faraday bereits angenommene elektrolytische Leitung untersucht. An der Anodenseite bildet sich bei Stromfluss eine schlecht leitende Schicht von Kieselsäure. Dies geschieht, wenn die Stromstärke bleibt erhalten, wenn an der Anode ein Natriummalgam gebraucht wird. Es läßt sich zeigen, daß die Abgabe des Faradayschen Gesetzes durch das Glas bestätigt wird. Das Natrium kann durch Lithium ersetzt werden, nicht durch Kalium, bei dessen Verwendung die ohne Alkalimetall gefundene Spannung an der Anodenseite auftritt.

Für Porzellan sind ähnliche Versuche von Haber³⁾ durchgeführt.

Als dritte Tatsachengruppe wurden Erscheinungen aufgefaßt, welche sich einer der ursprünglichen entgegenwirkenden Kraft äußern.

Beide Änderungen, welche der Strom hervorrufen kann, sind geeignet, ein- sowohl die Ionenentladung an den Elektroden als auch die Änderung im Innern der Elektrolyte zu bewirken.

Ia. Zwei gleichmäßig behandelte Elektroden zeigen keine merkliche elektromotorische Kraft. Bei elektrolytisch Wasserstoff und Sauerstoff wird der Stromquelle eine Potentialdifferenz mitgeteilt. Diese elektromotorische Kraft wesele wir daran, daß sie sich nicht merklich umrühren und so eine eventuelle Kinetik der Elektroden zerstören.

Denselben Zustand der Elektrodenanalyse auch dadurch herbeiführen, daß man nicht elektrolytisch an ihnen entwickelt und so die Elektroden damit beladet, dann wie vorher ungefähr 1 Volt. Dann als Elektrizitätsquelle bedient man sie (in diesem Falle ein Gaselement nur als Träger und metallische Ableiter des Stromes.)

Ib. Befindet sich als zu elektrolytischen platten nicht Schwefelsäure, sondern vorher Sauerstoff abgeschieden, an den Elektroden, so daß sodann — nachdem einige Zeit Strom fließt — aus und messen die elektromotorische Kraft höher, etwa 1,7 Volt. Die gleiche

zeigen —, so kann der Stromdurchgang, da er nur das die Natur der Elektroden ändert, auch keinen Anlaß in der eben erörterten Art erzeugen. Trotzdem ergibt Ausschaltung des elektrolysierenden Stromes eine solche die früheren, und wir bedürfen zu ihrer Messung einer elektromotorische Kräfte auch unterhalb eines Zehntel Volt, sie wächst mit der Zeitdauer der vorhergegangenen in ihren Sitz nicht an den Elektroden, sondern in der Lösung gerührt, so verschwindet die elektromotorische Kraft. Aus der Elektrolyse wissen wir, daß während der Elektrolyse Verdünnung, an der Anode Konzentrationssteigerung des Elektrolyten ist. Stellen wir also wieder diesen Zustand ohne Elektrolyse z. B. in die Schenkel eines U-Rohrs, in dessen gebogenen Boden Watte gestopft ist, einerseits verdünnte, andererseits konzentrierte Zinksulfatlösung bringen, so zeigen die eintauchenden Elektroden eine elektromotorische Kraft, die dem Sinne nach entgegen der Konzentration erscheint, die durch Elektrolyse einer homogenen Lösung hergestellt hätte, d. h. das Kupfer löst sich in der verdünnten und wird aus der konzentrierteren niedergeschlagen. Bei den Konzentrationen wie 1 : 100, so ist die elektromotorische Kraft 0,06 Volt.

Daß hier in erster Linie dieses Konzentrationsverhältnis die Natur der Elektroden maßgebend ist, zeigt sich, wenn man eine Kombination Zinkelektroden in zwei Zinksulfatlösungen von Konzentrationsverhältnis 1 : 100 eintauchen: die elektromotorische Kraft dann denselben Wert wie vorher.

Wir haben also eine zweite Art von galvanischen Elementen, welchen lösliche Metalle in verschiedenen konzentrierten Elektrolyten eintauchen; man nennt sie Konzentrations-elemente.

III. Während den besprochenen Arten von Elementen

zweier verschieden konzentrierter Lösungen an der Grenze verschiedener Elektrolyten. Man kann die Theorie ansehen, die Einzelbeiträge im galvanischen Element zu der gesammten elektromotorischen Kraft diese als Summen jener darzustellen. Man kann sie zunächst als zu hoch gesteckt ansehen. Man kann die Gesamtheit als eine Maschine betrachten, die einen chemischen Prozeß bei seinem Ablauf in elektrische Arbeit umzuwandeln suchen, welche den Betrag dieser Arbeit angeben sollen.

Die ersterwähnte Aufgabe versucht die Theorie der Dissoziationshypothese zu lösen.

Die zweite Aufgabe stellt sich die Aufgabe, das Wesen der Thermodynamik entsprechend der Anfangs- und Endzustand des betrachteten Systems zu erklären, dieser als der historisch älteren und einfacheren.

§ 168. Thermodynamische Theorie der Anwendung des ersten Hauptsatzes. Die Thermodynamik ist der Satz von der Äquivalenz der Energie, daß eine bestimmte Energiemenge der Wärme äquivalent ist einer bestimmten mechanischen Arbeit, gemessen in deren Eigenmaß. Er gibt die Einheit der Energie das willkürlich gewählte Eigenmaß an, um die äquivalente Menge Energie in mechanische Arbeit ausdrücken. Die Einheit der Wärmeenergie ist die Temperatur eines Gramms Wasser, die 42 600 Einheiten der mechanischen Arbeit, auch äquivalent 4,189 Einheiten der elektrischen Arbeit, Ampere-Sekunden oder Watt-Sekunden.

gemessener Strom während einer bestimmten Zeit hindurch, dann EIt oder $J^2et = a \text{ cal}$, und man findet für eine K gegebenen Wert. Die durch einen chemischen Vorgang entw. menge wird nun auf ein Grammäquivalent der reagierenden die Wärmetönung für die Auflösung des Silbers bezieht sic Silber, die des Zinks auf $\frac{65,4}{2} = 32,7 \text{ g Zink}$. Von dieser

Mengen aber lehrt das Faradaysche Gesetz, daß sie bei ele Vorgängen die Träger gleicher Elektrizitätsmengen sind, nämlich äquivalent 96540 Amp.-sec oder Coulomb. Dies ist in der : Mengen bezogenen Gleichung für EIt der Wert für It . M tönung ändert sich also nur noch E , und die früher aufg nach dem Zusammenhange chemischer und elektrischer Energ vereinfacht: Läßt sich allein aus der Wärmetönung eines in schen Element sich abspielenden chemischen Prozesses die ele Kraft des Elements berechnen?

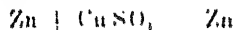
Helmholtz hat diese Frage in seiner Abhandlung „Über der Kraft“ ohne nähere Prüfung bejahend beantwortet, und hat die Antwort an einem speziellen Falle als zutreffend erwie Element gelieferte elektrische Arbeit für den Umsatz eines Gra ist 96540 E , wobei E die elektromotorische Kraft ist; um dies anzugeben, müssen wir den Ausdruck mit dem oben gewor tionalitätsfaktor

$$1 \text{ Volt-Coul.} = \frac{1}{4,189} \text{ cal} = 0,2387 \text{ cal}$$

multiplizieren. Diese in Wärmemaß ausgedrückte elektrisch galvanischen Elements soll dann gleich sein der Wärmetönung Element abspielenden chemischen Vorganges:

$$0,2387 \cdot 96540 E = H$$

anzusetzen die vorige vermehrt um diejenige stoff und Sauerstoff. Es sind also nur W. Thomson prüfte die Gleichung an Element, dem Danielllement (siehe S. 352). Seite die Auflösung von Zink in Schwefelsäure wird aber die Konstanz des stattfindenden man ein Metall aus der Lösung seines Salzes Wasserstoff, so reduziert das Zink auch edler Silber, Kupfer usw. scheiden sich aus ihren metallischen Zink aus. Wie man nun die Zink dadurch elektromotorisch wirksam macht örtlich getrennte Teile zerlegt, so auch die eine Platte aus Platin, Kupfer, Silber oder in Kupfer aus Kupfersalzen reduziert, dessen Lösung eine Lösung von Kupfersulfat. An diesem schloß die Kupferausfällung durch die Aufhe säure, die vom Kupfersulfat durch ein die diaphragma getrennt ist. Der Gesamtvorgang Zink in Kupfersulfat eintauchen: Es tritt es bildet sich metallisches Kupfer und Zink dieses Prozesses zu messen, gibt die Thermo bereits festgestellten Daten für die Bildung Kupfersulfats aus den Elementen zu entnehmen interessierenden Umsetzung



muß die Differenz sein der Bildungswärmen für äquivalente Mengen. Die Bildungswärme Zinksulfat in verdünnter Lösung aus Zink, Wasser beträgt 53 045 cal, diejenige für Ku

Wärmeenergie tue. Daher rühre es, daß chemische Energie in mechanische oder elektrische Energie vollständig in andere Energie umwandelbar sei; chemische Energie sei vielmehr von der Wärmeenergie und wie diese nur beschränkt verwandelbar. Die von Thomson theoretischen Folgerungen haben sich zwar als nicht haltbar in sorgfältigen Versuche bedeuten jedoch eine experimentelle Bestätigung der Thomsonschen Regel.

Ihre theoretische Unhaltbarkeit wurde wohl zuerst von Helmholtz dargetan. Ein besonders treffendes Argument sei hervorzuheben. Untersuchungen, deren in jeder Beziehung schwere Zugabe die unmittelbare Einwirkung auf den Gang der Wissenschaft hat, haben in zahlreichen Fällen sich als Vorwegnahme später von anderen Forschern Resultate erwiesen. Gibbs führte aus, daß, wenn man in einem vom Typus des Daniell-Elements das Zink durch ein leicht lösliches Metall in der Lösung bzw. in der Schmelze seines Salzes ersetzt, die Thomson'sche Regel fordert, daß beim Schmelzpunkte des Metalles die elektromotorische Kraft geringer sein muß, wenn das Metall noch fest, als wenn es geschmolzen ist, da ja im letzteren Falle bei konstanter Temperatur noch die Schmelzwärme zugeführt werden muß. Nun hatten aber Messungen von Helmholtz, Elektroden aus Wismut, Zinn und Blei bereits gezeigt, daß die elektromotorische Kraft am Schmelzpunkte des Metalles ansteigt. Diese Regel muß daher prinzipiell falsch sein: Der zweite Hauptsatz der Thermodynamik gibt nicht das Mittel, um die elektromotorische Kraft galvanischer Elemente zu berechnen. Die Übereinstimmung der elektromotorischen Kraft muß eine zufällige sein. Es entsteht also die Frage: Lassen sich die Bedingungen der Übereinstimmung und für Sinn und Größe der Abweichungen angeben? Die Antwort ist der Ausdruck für den Zusammenhang beider Größen.

abgeschieden; schicken wir in um
Kupfer gelöst und Zink abgeschieden
quantitativ wieder in den Anfangszustand
ment denken wir uns nun als ein
Wärmemenge Q , die es seiner Umgebung
Maschine, in Arbeit verwandeln
machten Ausführungen, daß beim

luten Temperatur $T + dT$ auf T

geleistet wird. Nun aber hat das gesamte (beim Durchgang von 9 von 1 Grammäquivalent) geleistete die von außen aufgenommene W. Reaktion entsprechende Wärme, δ äquivalent. Wir bezeichnen sie in Wärme Q als die Änderung der ments wird auf Kosten beider ge Äquivalenz, oder, wenn wir alles

Die von Q in maximo zu erhalte

Hauptsatz zu $dA = Q \frac{dT}{T}$ bes

$$A =$$

Helmholtz¹⁾ hat diese Gleichung abgeleitet. Das Element, welche motorische Kraft E besitzt, wird Temperaturdifferenz dT nur ein Bruchteil der elektromotorischen Kraft

zuführen die Wärmemenge $E - U$. Es ist also bei dem g
prozeß die Arbeit

$$E + dE - E = dE$$

geleistet worden und dabei die Wärmemenge $E - U$ von d
 $T + dT$ auf T gesunken. Darüber aber sagt, wie S. 543 aus
der zweite Hauptsatz aus, daß die geleistete Arbeit sich zur ü
Wärmemenge verhält wie die Temperaturdifferenz zur absolut
also hier

$$\frac{dE}{E - U} = - \frac{dT}{T}$$

oder

$$E - U + T \frac{dE}{dT}.$$

Die elektromotorische Kraft eines reversibel arbeiten
schen Elements ist gegeben durch die Summe der W
des chemischen Vorganges und der Änderung der el
schen Kraft mit der Temperatur, multipliziert mit d
Temperatur.

Diese Gleichung löst nicht das Problem, die elektrom
eines Elements aus der Wärmetönung zu berechnen. Aber i
beiden Größen mit einer neuen, dem Temperaturkoeffiziente
motorischen Kraft verknüpft, gibt sie bei Kenntnis zweier die
dritte. Man übersieht also aus der Gleichung sofort, in welc
Falle die Thomsonsche Regel $U = E$ zutrifft und wie im
weichung nach den zwei möglichen Richtungen der Sinn de
koeffizienten sein muß. Im Falle

$$U = E \text{ ist } \frac{dE}{dT} = 0 \quad . \quad . \quad .$$

$$U < E \quad \frac{dE}{dT} \text{ negativ}$$

fähig ist. Als Änderung der gebundenen Wärmemenge, welche während der Umwandlung in andere Formen selbst Wärme bleibend umwandelbar ist. In der Gleichung (1) ist E die Änderung der inneren Energie, E' die Änderung der gebundenen Energie, welche bei der Arbeitsleistung in mechanische Arbeit zu leisten lediglich von höherer Qualität ist.

Die elektromotorische Kraft eines galvanischen Elements ist als Maß für die ablaufenden chemischen Vorgänge in der Chemie ist, die Änderung der inneren Energie bestimmen, so ist es eine Aufgabe der Elektrochemie, d. i. die Arbeitsfähigkeit eines Elements zu bestimmen.

Eine mehr qualitative Prüfung wurde von Czapski¹⁾ ausgeführt. Er maß die Temperaturänderung bei der Zinkauflösung in der Zelle $\text{Zn} | \text{ZnCl}_2 \text{aq} | \text{AgCl} | \text{Ag}$. Die Änderung mit der Temperatur unter Silber. J. Thomsen bestimmten die Bildungswärme. Diese Wärmetönung übersteigt bei der elektrischen Arbeit E . Damit in der elektromotorischen Kraft bei steigender Temperatur. stellte Gockel²⁾ derartige Untersuchungen an.

Eine volle quantitative Bestätigung der Helmholtzschen Gleichung ergab die Messung der Temperaturkoeffizienten der elektromotorischen Kraft. wurde dieser Wert unmittelbar experimentell. Helmholtzschen Gleichung ergab

Punkten A , B und der sich anschließende Amperemeterkreis meter angebracht, so würde dessen Angabe (aus der eingewogenen Silbermenge in Milligramm multipliziert mit der Zahl 15, tönung U des chemischen Vorganges entsprechen. Nun ab im Kalorimeter nur das Element selbst. Die gesamte Wärmetönung U setzt sich also zusammen aus drei Teilen:

a) dem im Kalorimeter gemessenen Wärmeeffekt W im Element,

b) der Stromwärme in der Zuleitung vom Element zu den Abzweigungspunkten A und B . Ist deren Widerstand ϱ und die am Amperemeter abgelesene Stromstärke J , so ist die hier während der Zeit t entstandene Stromwärme $J^2 \varrho t$.

c) Hinzu kommt noch die Stromwärme im Amperemeterkreis. Während das Voltmeter — ohne Stromdurchgang durch den Amperemeterkreis — an den Punkten A , B die Potentialdifferenz des Elements E angab, zeigt es — bei Stromdurchgang durch den Amperemeterkreis — zwischen A , B eine geringere Potentialdifferenz e , da ja die Spannung E längs des Widerstandes ϱ abgefallen ist. Die Stromwärme in diesem Kreise entspricht $e J t$.

Insgesamt ist also die „chemische Wärme“

$$U = W + J^2 \varrho t + e J t.$$

Die Helmholtzsche Gleichung ergibt dann aus der Differenz „chemischen“ und der „chemischen“ Wärme

$$E J t - (W + J^2 \varrho t + e J t)$$

die „Helmholtzwärme“ oder sekundäre Wärme $T \frac{dE}{dT}$, d. i. d. Menge, um deren Betrag die Thomsonsche Regel ($U = E$) nicht abweicht.

Dieser Wert der „Helmholtzwärme“ wird nun von

$$EJt - U$$

Die direkte Messung ergab den
schen Kraft

$$\frac{dJ}{dT}$$

also die „Helmholtzwärme“ für
der absoluten Temperatur 273

$$T \frac{dE}{dT} = 273 \cdot C$$

Die beiden Ergebnisse stimmen

Die Kleinheit des Wertes für

Daniellelement die Thomson'sche

Die nebenstehende Tabelle
auf die von uns gebrauchten Elemente

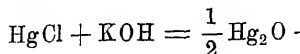
Die Übereinstimmung des
gefundenen VI für die sekundäre
eine vollkommen befriedigende
Wärmetönung größer als die
bei isothermer Arbeitsleistung
zuerst angeführten Elemente ver-
ist größer als die Wärmetönung
Wärme aus der Umgebung in 1

Auf das praktisch wichtige
hat F. Streintz²⁾ die Helmholtz

Von besonderem Interesse
Element ein endothermer chemischer
unter Aufnahme äußerer Wärme
Wie allgemein endotherme Prozesse

I. Bestimmung	II.	III. 2. Bestimmung	IV. Berechnet	V. 3. Bestimmung		VI. Aus V	
				$\frac{dE}{dT}$	Val	$\frac{dE}{dT}$	cal
E 96540.024		T	II — III			273	96540.024
1	cal	cal	cal	Val			
32	25.20	25.055	+ 205	— 0,000 634		—	214
34	30.42	30.768	— 206	+ 0,000 585		—	2392
36	35.455	36.025	— 250	— 0,000 409		—	2541
37	40.146	44.456	— 1310	— 0,000 21		—	1305
40	50.168	53.483	— 1327	— 0,000 202		—	1255

Die sich im Element abspielende Reaktion



verläuft unter Absorption von 3280 cal. T, welchem an der einen Seite Quecksilber sich löst, an der anderen Seite aus Calor sich bildet, an der anderen Seite aus Calor beträchtlicher elektrischer Arbeitsleistung, im Die sekundäre Wärme und der Temperatur sprechend groß.

Von Richards und Lewis¹⁾ wurde d Elemente von dem Typus Zink, Zinksulfat, Z in der Richtung arbeitet, daß Zink sich löst u Die Messung der elektromotorischen Kraft un ergab die Amalgamationswärme des Zinks dem von Favre durch direkte kalorimetrische

§ 170. Normalelemente. Galvanische holtzschen Gleichung genügen und sich d erweisen, sind geeignet, als Bezugselemente rischer Kräfte zu dienen. Dafür ist erforder erhaltenden Substanzen sich zusammensetzen offenem Zustande unverändert bleiben. Dag sie erhebliche Stromentnahme gestatten, da große Widerstände und für kurze Zeit gesch.

Als ein solches Normalelement hat element benutzt und in älteren Angaben find Kräfte meist in „Daniell“ ausgedrückt. D des Elements, von dem bei Erörterung d oben ausführlich die Rede war, ist ein bes

Nr.	Pol	Elektrolyt	Depolarisator	+ - Pol
1.	Zn	ZnSO_4	CuSO_4	Cu
2.	Zn	ZnSO_4	Hg_2SO_4	Hg
3.	Zn	ZnSO_4	HgO	Hg
4.	Zn	ZnCl_2	Hg_2Cl_2	Hg
5.	Zn	ZnCl_2	AgCl	Ag
6.	Cd	CdSO_4	Hg_2SO_4	Hg

Von diesen Elementen ist das Gouysche nur halb zu fuhr (Stromdurchgang entgegen der eigenen elektro- neue Phase Hg_2SO_4 gebildet wird; die übrigen E- kommen reversibel¹⁾).

Wirklich praktische Bedeutung besitzen von di- nur das Clarke'sche (Nr. 2) und das Weston'sche (Nr. 6) der Physikalisch-technischen Reichsanstalt geprüft v- wenn ihre Ausführungsform der Forderung genügt, rung transportabel sind. Man fertigt sie sich lei- selbst an, am besten in der von Lord Rayleigh a- gegebenen H-Form (Fig. 489).

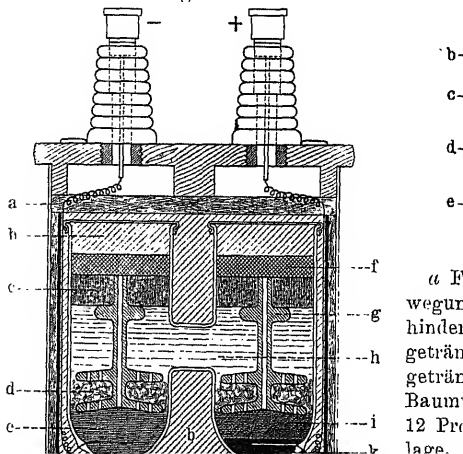
Auf die eingeschmolzenen kurzen Platindräl- kommt für das Clarkelement - einerseits ein Zin- amalgam aus 90 Thn. Quecksilber und 10 Thn. Zink. I- bei gewöhnlicher Temperatur feste Amalgam wird h- eingefällt.

Auf die andere Seite wird Quecksilber gebracht, welch- mit einer Paste bedeckt wird, die durch Zusammen- reiben von Quecksilber, Quecksilberoxydulsulfat und - sättigter Zinkauflösung hergestellt ist. Das Ganze w- mit gesättigter Zinkauflösung, in welcher sich noch - eufällt. Auf beide Seiten werden einige Tropfen I-

nung annehmen kann. Es handelt sich gewöhnlichen Hydrats des Zinksulfats $\text{ZnSO}_4 \cdot 6\text{H}_2\text{O}$. Diese Umwandlung erfolgt bei 39° verschiedene Löslichkeit dieser Hydrate fest der verschiedenen elektromotorischen Kraft längere Zeit oberhalb 39° gehalten, so daß und löslichere Hydrat umgewandelt ist, so damit die ihm entsprechende kleinere elektromotorische Kraft erhalten bleibt. Durch Einwerfen Hydrats $\text{ZnSO}_4 \cdot 7\text{H}_2\text{O}$ kann man die Umwandlung unterhalb 39° stabile Hydrat bewirken. Das Salz kristallisiert dann aus und das Element verliert seine elektromotorische Kraft, die ihm, wenn es unter 39°

Von diesem für praktische Zwecke allerdings etwas fehlerhaft ist das von Weston vorgeschlagene Element (Fig. 490.)

Fig. 490.



§ 171. Berechnung elektromotorisch. Kräfte auf thermodynam.

Zinksulfat Cadmiumsulfat tritt. Das Amalgam enthält 1 bei einem Mehrgehalt an Cadmium treten allmähliche Z ein, welche die elektromotorische Kraft ändern. Wie enthält die gesättigte Lösung überschüssige Kristalle. Di Kraft ist zu berechnen nach der Formel:

$$E = 1,0186 - 0,000038 (t - 20^{\circ}) - 0,00000065$$

Der Temperaturkoeffizient beträgt hiernach etwa den zw dem des Clarkelements. Das Element hat:

bei 10°	1,0189
„ 15°	1,0188
„ 18°	1,0187
„ 25°	1,0184

Die Westongesellschaft liefert das Element nicht in wesenheit von Kristallen) stets gemittigt gehaltener Lös Kristalle mit einer Lösung, die bei 4° gesättigt hergesto Element ist gänzlich unabhängig von der Temperatur un Betracht kommenden Temperaturen

$$E = 1,0190 \text{ Volt.}$$

Die Westongesellschaft hat diesem Elemente eine l Fig. 490 und 491 unmittelbar ersichtliche Einrichtung g den Transport geeignet zu machen.

Für den praktischen Gebrauch empfiehlt es sich Westonelement mit gesättigter Lösung herzustellen u beider dadurch zu kontrollieren, daß man ihr Verhältnis

$$\begin{array}{l} \text{Clark 15}^{\circ} \\ \text{Weston 20}^{\circ} \end{array} \quad 1,1067.$$

der in den beiden Hauptsätzen der Theorie die Erfahrung von der Unmöglichkeit des Perpetuum mobile (vgl. Bd. III, S. 672) widerspricht.

Helmholtz zeigte, daß bei Konzentrationen, die gangbar ist, um die maximale Arbeitsleistung des stromliefernden Prozesses zu ermitteln. bereits (S. 538) erwähnt. Läßt man z. B. Silbernitrat zwischen Silberelektroden durch einen 96 540 Coulomb hindurchgegangen sind, so wird (= 107,93 g) Silber aufgelöst bzw. abgeleitet. Nach Verdünnung der Lösung eingetreten, da ein äquivalent Silber nur der Bruchteil 1 — ersetzt worden ist, der Bruchteil n von ihm derselbe Bruchteil n des Anions NO_3 , Grammäquivalents AgNO_3 fehlt. An der Auflösung von Silber erfolgt, hat gleichviel zugenommen. Diese so entstandenen Zellen, die sich unter Leistung äußerer Arbeit wieder zu einer stromliefernden Zelle troden verbindende metallische Leitung gesetzt gerichteten Strom durchflossen werden, in der verdünnteren Lösung sich auflöst, aus wobei die Rückwanderung von Anion und Kationen — Wanderung — im Verhältnis ihrer Überwanderung — in der einen und anderen Richtung ist:

$E. 96\,540\text{ V}$

Es kann nun dieser Ausgleich, die Konzentration und Konzentration der verdünnteren Lösung, man Wasser aus der verdünnteren Lösung hinüberdestilliert. Da, wie früher (S. 514) der Druck des Wassers durch gelöste Stoffe

§ 171. Berechnung elektromotorisch. Kräfte auf thermodyn.

Um die Temperatur konstant zu erhalten, muß die dieser Wärmemenge zugeführt werden.

Den sodann von der verdünnten Lösung getrennten Dampf ausdehnen bis zu dem kleineren Drucke p_2 , welcher dem konzentrierteren Lösung entspricht. Die dabei geleistete Arbeit

$$\int_{p_1}^{p_2} p dv$$

oder, da $p v = R T$ ist,

$$R T \ln \frac{p_1}{p_2}.$$

Den Dampf, welcher nunmehr den Druck p_2 und da bringen wir endlich mit der konzentrierteren Lösung vom rührung und vereinigen ihn mit dieser, wobei eine Arbeit betrage von

$$p_2 (v_2 - v_1).$$

Da nun $p_1 v_1 = p_2 v_2$ ist (unter der Annahme, daß der Dampf konstanten Temperaturen bis zu seiner Sättigung dem M folgt) und da $v_2 (p_2 - p_1)$ wegen der Kleinheit von v_2 zu v sind der Arbeitsaufwand beim ersten und der Arbeitsgewinn Einzelvorgänge gleich und es bleibt nur übrig die Ausdehn

Gewichtseinheit Wasserdampf betrug $R T \ln \frac{p_1}{p_2}$; für die be

Betracht kommende Wassermenge $1 - n$ also:

$$A = (1 - n) R T \ln \frac{p_1}{p_2}.$$

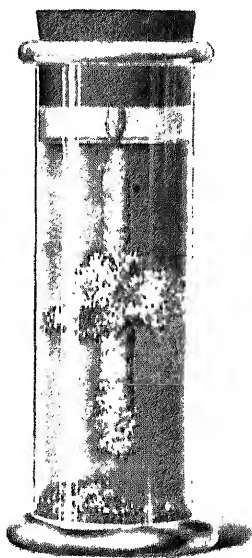
Diese Arbeit muß gleich sein der auf anderem umkehrl bei Betätigung des Systems als galvanisches Element gele

Die Übereinstimmung zwischen Versuch und Rechnung Elementen aus Kupfer in verschiedenen konzentrierten Lösun und an Zink in Zinksulfatlösungen erwiesen. Wir verschieben d Beispiels bis zur Besprechung der Theorie, in welcher Nernst Helmholtz durch eine anschauliche Betrachtung vereinfac Erkenntnis des Mechanismus der Einzelvorgänge erweitert h

Qualitativ läßt sich die Abhängigkeit von Konzentration

Prinzip beruhende Gravitationselement und gezeigt, daß auch bei ihnen die elektromotorische Kraft berechnen läßt. In einem 110 cm langen U-Rohr sind die Elektroden von Jodcadmium; in Ansätzen an den Enden Elektroden aus Cadmiumamalgam. Bei N

Fig. 402.



elektromotorische Kraft unterschied v
23,81 Proz. h

Dieses R
Hittorfschen
wendete Salz
welche von d
1 = n elek
kation in abs
aufsteigender
Elektrode gel
gebenden Fak
berücksichtige
Abhandlung v

§ 172.
schen Kraft
gewicht. Ein
elektrischer V
zur Lösung d
die elektrochem

mente aus der Kenntnis andersartiger Gr
Hoff angegeben.

Wir wollen diesen Weg an der Hand
welchen von Bredig u. Knüpfler²⁾ erbrac
1) Lössung dardel mit einer Lösung von D

§ 172. Berechnung d. elektromotor. Kraft aus d. chemisch. G.

Da aber jeder feste Stoff eine bestimmte Löslichkeit besitzt, so ist die Löslichkeit der beiden festen Stoffe ihre in Lösung befindliche Konzentration, bleibt, so reduziert sich die Gleichung auf

$$K = \frac{[\text{KCl}]}{[\text{KSCN}]}$$

und, da die positiven Ionen identisch sind und in äquival. Konzentrationen, auf:

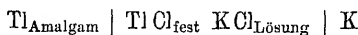
$$K = \frac{[\text{Cl}^-]}{[\text{SCN}^-]}$$

Bringen wir also in Anwesenheit der beiden festen Stoffe Kalium und Rhodankalium in dem durch den Wert von K festgesetzten Konzentrationsverhältnis zusammen, so bleibt alles unverändert. Verändern wir die Konzentrationen nach der einen oder anderen Seite von K ab, so ändert sich das System in der Richtung der Tendenz zur Einstellung des Gleichgewichtes entsprechend jedem freiwillig verlaufenden Vorgang, so ist es möglich, wenn man ihn in geeigneter Anordnung ablaufen läßt, die Arbeit zu gewinnen. Es ist unmittelbar einleuchtend, daß die Arbeit größer sein muß, je weiter das System vom Gleichgewicht entfernt ist. Um es noch anschaulicher auszudrücken, aus je größerer Entfernung dem Nullwert der Arbeitsfähigkeit, d. h. dem Gleichgewicht, man sich entfernt, desto größer ist die Arbeit, die man gewinnen kann. Hoff hat für die maximale Arbeit, die ein chemischer Prozess leisten kann, den Ausdruck abgeleitet

$$A = RT \ln \frac{K}{\mathfrak{K}}$$

Darin bedeutet R die Gaskonstante, T die absolute Temperatur, \mathfrak{K} den Konzentrationsquotienten, während K den nach demselben Schema aufgestellten Ausdruck für die beliebig gewählten Anfangskonzentrationen bedeutet. Man sieht, daß man nicht von beliebigen Anfangskonzentrationen aus, sondern von der Konzentration, in der sich die beiden in Reaktion tretenden Molekülararten im Gleichgewicht befinden, die Ausgangskonzentrationen wählen muß.

und sodann mit einer Chlorkaliumlösung, festem Thalliumrhodanid und einer Rhodanidlösung dem Schema:



kann im Sinne des positiven Stromes von links nach rechts, links Tl-Ionen in Lösung gehen und, wenn die Konzentration von festem TlCl damit bereits gesättigt ist, rechts Tl aus dem festen TlSCN sich in die Lösung gelassen. In der Lösung sind dann rechts SCN-Ionen hinzugekommen, was die Konzentration geändert ist. Würde das Element bei umgekehrtem Strome im umgekehrten Sinne durchfließen, so würden aus der Lösung verschwinden und Cl-Ionen hinzukommen.

Benutzt man Chlorkalium- und Rhodanidlösungen gleicher Gleichgewichtskonzentrationen, so muß die Potentialdifferenz Null sein. Denn was auf einer Seite auf eine bestimmte Weise sein, was chemisch im anderen Kompartiment trisch sein.

Mit Hilfe der Gleichung:

$$A = 96540 E$$

ließ sich durch Messung von E bei verschiedenen Temperaturen und mit dem auf chemischem Wege für die Konzentrationen vergleichen:

Temperatur °C	Konzentration analytisch chemisch gefunden
39,9	0,8
20,0	1,2
0,8	1,7

ermittelt und damit die maximale Arbeit dieser Reaktion bekannt war, wurde diese auch direkt gemessen in einem galvanischen Element, in welchem jene Reaktion sich abspielt.

§ 173. Berechnung elektromotorischer Kräfte nach dem Nernstschen Wärmetheorems. Die Gleichung $A = RT \ln K$ für die maximale Arbeit eines chemischen Prozesses und damit die elektromotorische Kraft eines reversiblen galvanischen Elements, in welchem er abläuft, ist eine Funktion der Gleichgewichtskonstante, die durch eine besondere chemische Messung zu ermitteln ist, wie in dem behandelten Beispiel gezeigt wurde, zu ermitteln ist. Das ist ein thermodynamisches Problem, welches die Thomsonsche Regel und der Berthelot'sche Satz im vorigen Abschnitt als falsch nachgewiesen wurden. Man hat versucht, die Angabe der maximalen Arbeit eines Elements lediglich aus thermischen Messungen, war ungelöst geblieben, bis Helmholtz wieder aufgenommen, indem er von der auffallenden Tatsache ausging, dass bei galvanischen Elementen, bei welchen in der Gleichung des Stromes nur feste Körper und sehr konzentrierte Lösungen vorkommen, die Werte von A und E sehr klein sind. Beim absoluten Nullpunkt der Temperatur fallen die beiden Größen zusammen, wie aus der früher eingehend diskutierten Gleichung:

$$A = E = T \frac{dA}{dT} \quad \dots \dots \dots$$

für $T = 0$ unmittelbar hervorgeht.

Man kann nun nach dem ersten Hauptsatz setzen:

$$\frac{dQ}{dT} = \Sigma c_1 + \Sigma c_2 \dots \dots$$

wo c_1 und c_2 die Molekularwärmen der entstehenden und verbrauchten Substanzen bedeuten. Diese Molekularwärmen sind erfahrungsgemäß Funktionen der Temperatur, also:

$$c = aT + bT^2 \dots \dots$$

Man kann demnach auch Q als eine Funktion der Temperatur darstellen, wenn man mit Q_0 die Wärmetönung bei $T = 0$ bezeichnet:

$$Q = Q_0 + aT + \frac{1}{2}bT^2 + \dots \dots$$

Dies in (1) eingesetzt und integriert ergibt für A :

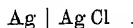
$$A = Q_0 + aT \ln T + \frac{1}{2}bT^2 \ln T + \dots \dots$$

Der Vorteil ist also im wesentlichen konstante a wegfällt und man nun rein auf c kann. Da auch a wegfällt, wird nämlich

$$\frac{dQ}{dT} = c_1 - c_2 =$$

Kennt man also bei einer Reaktion die W , so kann man A berechnen.

Ein Beispiel bilde das Element¹⁾:



Die Wärmetönung ist gemessen aus $Q = 12350$ cal bei 20°C oder 293° abs. messen zu:

$$\begin{array}{r} \frac{1}{2} \text{Pb} = 3,15 \\ \text{AgCl} = 13,07 \\ \hline c_1 = 16,22 \end{array}$$

also:

$$c_1 - c_2 = 1,15 =$$

Aus diesen Größen berechnet sich Q

$$Q = 11904 + 0,01006$$

also:

$$A = E \cdot 23046 = 11904 + 0,$$

In der folgenden Tabelle sind die so mit den in cal umgerechneten von Bröns

T absolut	F gefu
273	11
303,5	11
331,3	11
362,0	10

Die aus den rein thermischen Daten gemessenen überein.

Nernst zeigt also, daß man für ein

§ 174. Osmotische Theorie der galvanischen Elemente. Flüssig-

Wege, auf welchem sie geleistet wird, bauten sich die auf Elemente bezüglichen Schlüsse auf.

Die thermodynamische Betrachtung beschäftigt sich mit dem Anfangs- und Endzustand des Elements vor und nach dem Durchgange und der Energiedifferenz dieser beiden Zustände. Eine Zustandekommen des elektrischen Stromes gewinnen wir durch die Theorie, welche solche ist von Nernst in der osmotischen Theorie der galvanischen Elemente entwickelt worden.

Wenn man ein Gemisch zweier Gase an einen von ihm durch einen dritten Gas erfüllten Raum angrenzen läßt, so tritt Diffusion in diesen Raum hinein. Ist die Diffusionsgeschwindigkeit der beiden Gase verschieden groß, so muß das schneller diffundierende Gas schneller durchdringen. Man kann dies in einem einfachen von Pöbel herrührenden Versuche zeigen. Wird ein Stück festen Salmiaks in der Mitte eines offenen Rohres aus schwer schmelzbarem Glase erhitzt, so zerfällt es in Ammoniak und Salzsäure. Verlangsamt man einseitig die Diffusion durch einen Stopfen aus Asbestwolle, so läßt sich zeigen, daß der schneller diffundierende Ammoniak eher durchdringen wird, nämlich jenseits des Asbeststopfens ein Stück rotes Lackmuspapier, so wird dies blau, während ein Stück diesesseits des Stopfens durch das zurückbleibende Salzsäure rot wird.

Ein Analogon dazu bildet ein Gemisch von Lösungen, in dem ein reines Lösungsmittel überschichtet ist. Grenzt z. B. ein Gemisch aus einem schnell diffundierenden Farbstoffe an reines Wasser, so wird der Farbstoff rascher wandern, während der rascher diffundierende leicht kenntlich. Die

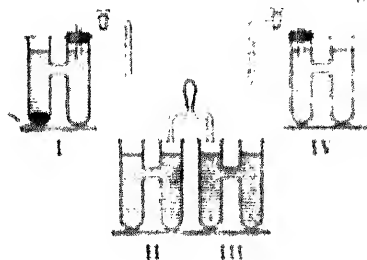
so daß als der chemisch nachweisbare Endpunkt die Salzsäure erscheint.

Nun ist aber die elektrische Ladung pro Grammäquivalent so groß, daß, wenn durch ihr Voraneilen auch noch sehr wenig Salzsäure nachweisbar bleibt, doch die Diffusion erfolgt, konstatierbar durch die Nachweisbarkeit der Salzsäure.

Verwendet man an Stelle der Kalomel-Lösung ein Kaliumhydroxyd KOH , bei welchem die Diffusion wandernde ist (vgl. S. 510), so erfolgt, negative Ladung aufweisend, die Diffusion.

Dieses qualitative Ergebnis der Diffusion in zehenden Lösungen eines Elektrolyten.

Fig. 493



und mit Hahn verschließbare Heber einmal und kann nach Verschließen der losen Heber ausgewechselt werden und V sind Platindrähte eingesetzt, welches mit etwas Kalomel Hg_2Cl_2 selbe Chlorkaliumlösung. Eine

und sind von gleicher Größe, da dafür nach Nernst nicht sondern nur das Verhältnis der Konzentrationen maßgebend. Sie heben sich also auf und es bleibt bestehen nur die elektrochemische Kraft zwischen II und III, eben deren Richtung wir suchen. In dem Galvanometer gibt, mit den Elektroden verbunden, einen Strom. Man ersetzt man die mit Salzsäure gefüllten Röhren II, III in anderer Weise durch die mit Natronlauge gefüllten, so geht der Auftrieb auf der anderen Seite und zwar in etwas geringerer Stärke, da hier die Widerstände der Wanderungsgeschwindigkeiten weniger erheblich ist.

Nernst hat gezeigt, daß sich nicht nur der Sinn, sondern auch die Größe der elektromotorischen Kraft solcher Flüssigkeitsketten bestimmen, wenn das Verhältnis der Konzentrationen und die Beweglichkeit der Ionen bekannt sind. Er gibt dazu zwei Wege an.

Auf dem ersten wird aus dem Konzentrationsgefälle und den Diffusionsgeschwindigkeiten diejenige Menge eines jeden der beiden Ionen berechnet, die in einer bestimmten Zeit durch einen Querschnitt der Flüssigkeit fließen würde, wenn die Ionen wie bei Nichtelektrolyten — allein die osmotischen Kräfte die ihre Bewegung bestimmenden wären. Sodann wird geschätzt, welche Menge von jedem der beiden Ionen unter dem Einfluß der osmotischen ausgehenden elektrostatischen Kräfte bei einem bestimmten Querschnitt selbst durch den Querschnitt (und zwar, da das eine Ion hindern, das andere beschleunigt wird, in verschiedenen Richtungen) fließen würde.

Die in Wirklichkeit durch den Querschnitt diffundierende Menge der beiden Ionen ergibt sich durch Addition bzw. Subtraktion der osmotischen Kräfte entsprechenden Mengen. Diese in Wirklichkeit durch den Querschnitt fließenden Mengen müssen endlich für beide Ionen gleich sein, da ja die Summe der beiden Ionenarten eben wegen ihrer Ladung nicht stattfinden kann. Der so erhaltenen Gleichung zwischen der Summe der beiden Ionenarten und der Differenz der Kräfte für das andere ist die elektromotorische Kraft, welche sich als die elektromoto-

Kationen:

$$\text{Querschnitt} \times \text{Konzentration} \times \text{Kraft pro Gu.}$$

$$q \quad \times \quad \eta \quad \times \quad \frac{1}{\eta} \cdot \frac{dp}{dx}$$

Anionen:

$$q \quad \times \quad \eta \quad \times \quad \frac{1}{\eta} \cdot \frac{dp}{dx}$$

d. i. — $U \cdot q \frac{dp}{dx} dz$ für das Kation und — $V \cdot q$

Da U und V z. B. für HCl verschieden sind, wenn sie lediglich dem osmotischen Druck folgen, findet nicht statt, weil zwischen den entgegengesetzten elektrischen Kräften eine wirksame ist. Ist deren Potentialstück auf das eine Ion beschleunigend, auf das andere hemmend, so ist die Kraft $\frac{dP}{dx}$.

Die durch die elektrische Kraft allein bewirkte Bewegung:

Kationen:

$$\text{Querschnitt} \times \text{Konzentration} \times \text{Kraft pro Gu.}$$

$$q \quad \times \quad \eta \quad \times \quad -\frac{dP}{dx}$$

Anionen:

$$q \quad \times \quad \eta \quad \times \quad +\frac{dP}{dx}$$

$$\text{also } -Uq\eta \frac{dP}{dx} dz \text{ und } +Vq\eta \frac{dP}{dx} dz.$$

Die durch beide Kräfte bewegten Mengen müssen gleich sein, d. h. es muß die Gleichung erfüllt sein:

$$-Uqdz \left(\frac{dp}{dx} + \eta \frac{dP}{dx} \right) = -Vqdz \left(\frac{dp}{dx} - \eta \frac{dP}{dx} \right)$$

Daraus folgt:

$$\frac{dP}{dx} = -\frac{U-V}{U+V} \cdot \frac{dp}{dx}$$

U und V sind die in Centimeter pro 8

§ 174. Osmotische Theorie der galvanischen Elemente. Flüssigkeiten auf den kleineren Druck p_2 , so leistet es dabei, wie wir haben (vgl. S. 555) die Arbeit:

$$A = RT \ln \frac{p_1}{p_2}.$$

Geht ein Strom durch die Berührungsfläche zweier in zwei einwertigen Ionen bestehenden Elektrolyten, z. B. HCl in einer Lösung den osmotischen Druck p_1 , in der anderen den p_2 haben, so werden dabei die Kationen in der Stromrichtung entgegengesetzt geführt, und zwar im Verhältnis ihrer Wanderlichkeiten. Geht im ganzen ein Grammäquivalent hindurch,

l_K Äquivalente Kationen vom osmotischen Druck p_1 nach p_2 ,
 $l_K + l_A$
 Das entspricht der Arbeitsleistung:

$$A_K = \frac{l_K}{l_K + l_A} RT \ln \frac{p_1}{p_2}.$$

Die den entgegengesetzt wandernden Anionen entsprechende

$$A_A = \frac{l_A}{l_K + l_A} RT \ln \frac{p_2}{p_1},$$

die Gesamtarbeit also:

$$A = A_K + A_A = \frac{l_K - l_A}{l_K + l_A} RT \ln \frac{p_1}{p_2}$$

womit wir, da bei vollständiger Dissoziation $\frac{p_1}{p_2} = \frac{\eta_1}{\eta_2}$ ist, den aus dem
 anderem Wege abgeleiteten Ausdruck wiedergefunden haben.

Wird nicht Strom von außen durch die Grenzfläche geleitet, sondern die Kette in der Weise, wie es das oben angeführte Beispiel zeigte, geschlossen, so fließt natürlich der Strom in die Richtung, in welcher Arbeit geleistet wird, d. h. wenn $l_K > l_A$, im Sinne der Verdünnung, ist $l_K < l_A$ von der verdünnten zur konzentrierten Lösung.

Man bezeichnet diese Zahl als *Elektronenwert*, wenn man sie in den Ausdruck der *osmotischen Druckformel* zugleich durch Division mit u , d. h. mit dem *Briggschen Logarithmus* um, so

$$RT \ln \frac{P_1}{P_2} = u E$$

Für Zimmertemperatur T

der gesuchte Wert für die *elektronenwert*

$$E = \frac{i_A}{i_A + i_K}$$

d. h. bei einem Konzentrationsverhältnis von 100:1 (angenommenen) Lösungen der

Elektrolyten ist $E = \frac{i_K}{i_A + i_K} = \frac{1}{100 + 1} = 0,0099$

100:1 ist $E = \frac{i_K}{i_A + i_K} = \frac{1}{100 + 1} = 0,0099$

Handelt es sich nicht um ein Gramm, sondern um ein Kilogramm, so wird der Wert von jedem Gramm um 1000 erhöht, d. h. $9,96540$ Coul. Aus der Ableitung geht hervor, daß die Gleichung dann lauten muß

$$E = \frac{i_A}{i_A + i_K}$$

Der Fall, daß nicht versch. Elektrolyten, sondern Lösungen der — was den Sinn der entstehenden

Aus der Tatsache, daß die Elektroden in den Flüssigkeiten Anteil an der Erzeugung der elektromotorischen Kraft haben, muß ein nur aus Flüssigkeiten bestehender Kreis zu bilden, in welchem, bis zum Ausgleich der Konzentrationen, ein Strom fließt. Man könnte sich so (Fig. 495 a) die Lösungen in dem zuletzt besprochenen Element angeordnet denken: Die durch die kleinen Pfeile angedeuteten Kräfte heben sich gegenseitig auf; der Strom würde in Richtung des großen Pfeiles kreisen. Es besteht also für solche Flüssigkeiten nicht das Volta'sche Spannungsgesetz, nach welchem ein Stromkreis, der nur aus Metallen besteht, bei konstanter Temperatur keinen Strom geben kann.

Die Existenz eines Stromes in einem nur aus Flüssigkeiten bestehenden Kreise läßt sich in einer von F. Dolezalek u. F. Krüger¹⁾ angegebenen Versuchsanordnung demonstrieren.

Ein ringförmiges, 6 cm weites Glasgefäß mit der aus der Fig. 495 b ersichtlichen Öffnung, wird bis zur Hälfte mit 35 proz. Schwefelsäure gefüllt. Auf oben schwimmende Korkscheiben bringt man sodann mit Hilfe von Pipetten einerseits, etwa 2 cm hoch, eine 30 proz. Natriumacetatlösung; andererseits bis zum Schließen des Ringes 20 proz. Lithiumchloridlösung. Als elektromotorische Kraft dieser Kette berechnet sich ungefähr 0,065 Volt. Zum Nachweise des in dem Kreis fließenden Stromes dient ein kleines Magnetsystem, welches 3 cm langen Quarzfaden oder Wollastondraht hängt in ein vorn mit einem Glasfenster versehenen Kupferhülse. Das Magnet trägt einen Spiegel, der einen Lichtzeiger auf eine Skala wirft. Flüssigkeitsring über das Magnetsystem, so erhält man eine beim Umdrehen des Ringes um ebensoviel nach der anderen Seite. Durchschütteln und Vermischen der Lösungen erfolgt kein



§ 175. Metallelektroden. Die Lösungstension der Metalle, die die osmotische Theorie auch auf den Fall anzuwenden, daß ein Metall in einer Lösung auflösen oder abscheiden, hat Nernst den Begriff der elektromotorischen Lösungstension eingeführt. Bringt man festen Zucker

Dann hemmt der osmotische Druck des gel. weitere Auflösung. Entsprechend der Nat. Druck aufgefaßt wird, nehmen wir die den ebenfalls als einen Druck an und schreiben druck oder, nach der Bezeichnung von Ne

Stellt das Schema Fig. 496 einen feste Lösung eintaucht und ist die Länge des richteten Pfeiles P ein Maß für die Lösung der Vorgang der Auflösung beendet, wenn gesetzt wirkenden osmotischen Druck darst. Die Lösungstension P ist eine nur von der M von seiner Menge abhängige Größe; sie wi noch fester Stoff vorhanden ist. Hat ma gestellt und bringt sie mit dem festen Stoff kristallisiert umgekehrt so viel aus, bis $P = p$ erreicht ist.

Ist nun der feste Stoff nicht von der L in Lösung undissoziierte Moleküle bildet un

Fig. 496.

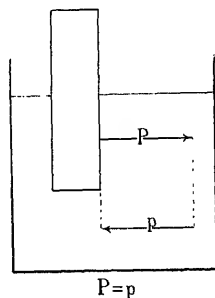
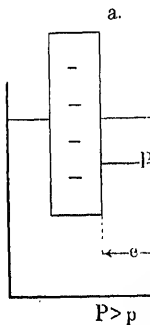


Fig. 497 a.



welches in Lösung in beide Arten von I

Bringt man umgekehrt das Metall in eine Lösung, von dem Metallsalz enthält, daß der osmotische Druck bereits jene Gleichgewichtskonzentration $p = P$ übersteigt, so scheiden sich positive Ionen auf dem Metall ab und das Metall wird positiv geladen, während die Lösung negativ geladen zurückbleibt. Die elektrostatische Anziehung der räumlichen Trennung wirkt entgegen und damit dem Fortgang des Vorganges entgegen. Es tritt ein, wenn, wie es die Fig. 497 b veranschaulicht, die elektrostatische Anziehung e gleich der Differenz $p - P$ geworden ist (s. Fig. 497 a).

Ist endlich von vornherein $P = p$, so ist das System im Gleichgewicht und es zeigt weder Metall noch Lösung elektrische Ladung (s. Fig. 496 veranschaulicht).

Auf jeden Fall aber kann die beim Eintauchen in eine Lösung eintretende Auflösung oder Abscheidung von Metallionen nur mit einer bestimmten Ladung der Ionen ist eine so große (vgl. S. 492), daß schon sehr geringer Mengen die elektrostatische Anziehung zu groß wird, so daß der Fortgang des Vorganges gehemmt wird.

Als einen experimentellen Beweis der Anschauung vom Zustandekommen der Ladung eines in seine Salzlösung getauchten Metalls kann man einen Versuch von Palmaer [Zeitschr. f. physik. Chem. 25, 265 (1898)] auffassen. Quecksilber hat eine sehr geringe Lösungstension. Es nimmt daher auch in einer verdünnten Lösung von Merkursalz positive Ladung an, da sich - entsprechend der Fig. 498 - Merkurionen auf ihm anscheiden.

Würde man also, wie in beistehender Fig. 498 angedeutet, metallisches Quecksilber aus einem Trichter in solche Lösung eintropfen lassen, so würde ein im Trichter frisch sich bildender Tropfen sich positiv laden und daher negative Ionen aus der Lösung an sich sammeln, d. h. er würde im ganzen Quecksilbersalz aus seiner Umgebung an sich gezogen haben. Abtropfend würde er dieses nach unten befördern, wo er in die Lösung wieder abzusinken wird. Palmaer

der Auflösung eines Metalls, welches einwertig ist, bei Zimmertemperatur (18°):

$$E = 0,058 \frac{10}{n} \log \frac{c_2}{c_1}$$

Und wenn das Metall nicht einwertig, sondern n -wertig ist:

$$E = \frac{0,058}{n} \frac{10}{\log} \frac{c_2}{c_1}$$

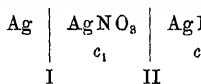
Statt des osmotischen Druckes p führt die diesem proportionale Ionenkonzentration c ein, dann auch die Lösungstension des Metalls π . Man wendete Nernstsche Formel für die elektromotorische Kraft der Elektroden lautet:

$$E = \frac{0,058}{n} \frac{10}{\log} \frac{c_2}{c_1}$$

E wird 0, wenn entsprechend dem Schema

§ 176. Konzentrationsketten. Ähnlich wie bei der Lösungstension c . Die Lösungstension ist eine zum Metall charakteristische Konstante. Kombinationen von zwei aus demselben Metall bestehenden, aber in verschiedenen Konzentrationen desselben Metallsalzes eintauchen, so kann eine Konzentrationskette entstehen, die nicht von der an der Lösungstension des Metalls abhängen, also eine Konzentrationskette des Metalls. Sie hängt vielmehr unter Berücksichtigung der Ionen nur ab von dem Verhältnis der Ionenkonzentrationen.

Eine Kette, bestehend aus zwei Silber Elektroden in Silbernitrat der beiden Konzentrationen c_1 und c_2 :



weist drei Elektrodenstellen elektromotorische

Die Wanderungsgeschwindigkeiten sind für $l_{\text{Ag}} = 6$ (vgl. S. 510). Ist nun die Konzentration $c_1 = 0,1$ und $c_2 = 0,001$ Molekül pro Liter, so berechnet sich

$$E = - \frac{2 \cdot 60,8}{55,7 + 60,8} \cdot 0,058 \log \frac{0,1}{0,001} \\ = - 2 \cdot 0,522 \cdot 0,058 \cdot 1 = 0,061$$

Die Messung ergab 0,055 Volt. Nernst berechnet unter Berücksichtigung der unvollständigen Dissoziation der AgNO_3 -Lösung eine bessere Übereinstimmung mit dem gefundenen Wert.

Es ist für viele Zwecke erwünscht, die elektromotorische Kraft der Konzentrationskette durch Berührungsstelle der beiden Lösungen auszuschalten. Nernst dadurch, daß man statt reinen Wassers als Lösung eine verdünnte Lösung eines gegen die Elektroden und Elektrolyten benutzten Elektrolyten benutzt. Stellt man so die beiden Elektroden in einer etwa normalen Kaliumnitratlösung her, so ist die ganze Kette in gleichmäßiger Konzentration vorhanden, die weit aus überwiegen, so übernehmen diese Elektrolyten den Strom und der Unterschied der Ag-Elektroden an der Berührungsstelle kann sich nicht geltend machen. Kraft der Kette ist dann:

$$E = 0,058 \log \frac{0,1}{0,001} = 0,058,$$

für das Konzentrationsverhältnis 0,1:0,001 ist E die elektromotorische Kraft. Für das Ansteigen des Konzentrationsverhältnisses wächst die elektromotorische Kraft der Konzentrationskette.

Ein noch allgemeiner anwendbarer Kunstgriff ist die Messung der Potentialdifferenz an der Berührungsstelle der beiden Elektroden in einer starken Lösung eines Elektrolyten, dessen Ionen gleiche Beweglichkeit haben, zwischen die zu prüfenden Lösungen. Diese Methode hat die Anwendbarkeit dieser einfachen Methode

gebogenen Teil, bringt vorsichtig Silberelektrode mit einem empfindlichen Galvanometer mit Widerstand. Richtet man einen zweiten A-Weise, nur mit CuSO_4 -Lösungen im Verhältnis (vorher gut gereinigten) Kupferelektroden her, den halben Ausschlag wie im ersten Fall.

§ 177. Anwendungen der Nernstsc

$$E = 0,058 \log \frac{c_1}{c_2}$$

erlaubt, durch Messung der elektromotorischen Kette bei bekanntem c_1 die Bestimmung von c_2 in den zahlreichen Fällen, in welchen die Analyse wäre, so bei der Löslichkeit sehr schwer löslicher Substanzen wie AgJ usw. Kombiniert man eine solche durch eine gesättigte Lösung, deren Gehalt analytisch bestimmt wird, beschriebenen Weise mit einer Silbernitratlösung, die an den eingetauchten Silberelektroden gemessen wird,

$$E = 0,058 \log \frac{c}{x}$$

So findet man z. B. für 0,001 n-AgNO₃ (1,0 n-KNO₃) gegen gesättigte AgJ-Lösung $E = 0,22$

$$0,22 = 0,058 \log \frac{0,001}{x},$$

d. h. 1 Liter enthält $1,6 \cdot 10^{-8}$ Grammoleküle AgJ. Ist früher (S. 527) die Messung der Leitfähigkeit beschrieben worden; sie ergibt für Jodsilber $1,6 \cdot 10^{-8}$ Grammoleküle im Liter.

Nur das in der Form freier Ag⁺-Ionen in

Wasserstoff-Ionen-Konzentrationskette. Säure-Alkalikette.

Die Bindung der Silberionen in Lösung durch die Komplexbildner, z. B. Cyankalium, Natriumthiosulfat usw. eine verschiedene Art ergibt mit der Messung der elektromotorischen Spannung der noch frei gebliebenen Ag^+ -Ionen, auf die all- anspricht. Hat man so durch Potentialmessung die

Komplexbildner nach ihrer Fähigkeit angeordnet, Silber zu entfernen, so läßt sich voraussagen, ob durch diese Substanzen zu einer Silberverbindung der Übergang in Lösung erfolgt oder nicht, denn es muß sich stets die Verbindung mit

Ag-Konzentration bilden.

und Ostwald bei der Messung von 0,1 n- AgNO_3 gegen

gegen	AgCl in KCl (wodurch nach S. 526 die Löslichkeit des AgCl noch herabgedrückt ist)	0,1
gegen	Silbernitrat in Ammoniak	0,1
"	AgJ in KJ	0,1
"	KAgCy_2 in KCy	1,0

Chlorsilberniederschlag muß sich also in Ammoniak auflösen, Jodsilberniederschlag. Dagegen wird auch dieser in

Demonstration des geschilderten Verhaltens eignet sich. Fig. 499 zeigt. An die beiden Ansätze sind mit Quetschzangen Gummi-schläuche angebracht. In den gewinkelten Teil des U-Rohres wird Watte gestopft und Silbernitratlösung bis unterhalb der Ansätze eingebracht. Zwei in die geraden Teile eintauchende Elektroden sind mit einem empfindlichen Voltmeter und einem Stromschlüssel ver-

so gibt die elektromotorische K
tration. Damit ist eine Meth
bestimmen, ohne sie, wie bein
mit Hilfe der Wasserstoffkon
(vgl. S. 528) ermittelte Dissoz

der Konzentration von H^+ -Ionen
konstant (vgl. S. 529). Man

einer Lösung, deren OH^- -I
 H^+ -Ionen mißt. In einer 0,1

Konzentration der OH^- -Ionen
erniedrigung der Lösung zeigt

die Konzentration der OH^- -Ionen

gegen eine Lösung von beka

gegen 0,1 n-HCl, deren H^+ -Io
gung sich zu 0,0924 berechne

Lösungen zeigen bei 25° di

motorische Kraft an der Ber

(nach der S. 566 abgeleiteten

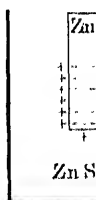
und zwar wirkt sie der von

die von diesen allein herrühr

ist als die gemessene, also

konzentration in der Alkalilös

läßt sich, da es eine große Lösungstension besitzt, also p
Lösung entsendet, auch in konzentrierter Zinksulfatlö
Kupfer mit sehr kleiner Lösungstension ist auch in verd
lösung positiv. Beide Vorgänge, derjenige der Auflösun
der Abscheidung von Kupfer werden, wie bei Einführung
Lösungstension (S. 568) dargelegt wurde, durch die el
gehemmt. Verbindet man nun die beiden
Metalle durch einen Draht, so gleicht sich
der Potentialunterschied aus, die Hemmung
ist aufgehoben und weiteres Zink löst sich
auf, während weiteres Kupfer sich abscheidet
und dieser Vorgang geschieht stetig, indem
die positive Ladung von Kupfer durch den
Draht zum Zink fließt.



Die elektromotorische Kraft des Elements setzt s
(wenn wir von der kleinen Potentialdifferenz der Flüssigkeits-
Berührungsstelle der beiden Lösungen absehen) aus d
gesetzten Potentialdifferenzen, welche sich an d
der beiden Metalle mit ihren Lösungen ausbilden. Es is

$$E = \frac{0,058}{2} \cdot \log \frac{C_{Zn}}{c_{Zn}^{1,1}} - \frac{0,058}{2} \cdot \log \frac{C_{Cu}}{c_{Cu}^{1,1}}$$

$$= \frac{0,058}{2} \left(\log \frac{C_{Zn}}{C_{Cu}} - \log \frac{c_{Zn}^{1,1}}{c_{Cu}^{1,1}} \right)$$

Wählt man die Lösungen von Zinksulfat und Kupf
Konzentration, so verschwindet das zweite Glied in der Klamm
motorische Kraft ist lediglich gegeben durch das Verhältnis
von Zink und Kupfer. Es ist nun nicht möglich, die diesen C
Zahlenwerte anzugeben, wozu nach der oben gegebenen D

motorische Kraft des Daniellelements mit normalen

$$E = 0,770 - (-0,329) = 1,099$$

Die Tabelle der entsprechenden Werte für eine tallen wird weiter unten bei der Besprechung der Z Elektrolyte gegeben werden.

Natürlich ist es nicht erforderlich, zur Messu selbst zu verwenden, sondern an ihre Stelle kann je

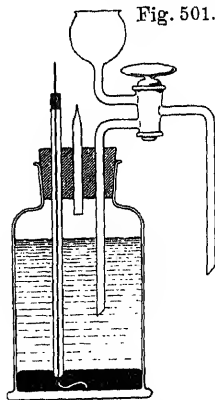


Fig. 501.

Wert gegen die Bezugselektrode. Besonders häufig bedient man sich der Normal-Wasserstoffelektrode, für welche die Formel angegeben ist.

Quecksilber ist mit etwa 1 cm darüber befindet sich eine Normal-Wasserstoffelektrode. Ein Heber erlaubt, die Elektrode zu verbinden und durch den Hahn zu verbinden und durch den Hahn des Dreiweghahnes der Hebevorrichtung wieder ausgespült werden. Quecksilber geschieht durch die Hebevorrichtung durch die Lösung in der Kammer. Das Potential der Normal-Wasserstoffelektrode ist 0,000 Volt.

Das negative Vorzeichen bedeutet wie vorher beim Daniell-Element, daß die Lösungselektrode die negative Elektrode ist.

Einfluß der Ionenkonzentration. Der Potentialwert für das Daniellelement bezog sich auf beiderseitige Normalkonzentrationen. Aus der Formel S. 571 ist ersichtlich, daß

die Potentialwerte für Zn-Ionen um eine Zehnerpotenz, also auf 0,1 normal

motorische Kraft um $\frac{0,058}{2} = 0,029$ Volt zunehmen.

Konzentrationsketten bezüglich der Elektroden. Änderung von
 umgekehrtes Daniell-Element, in welchem Kupfer sich löst
 wird.

Konzentrationsketten bezüglich der Elektroden.
 Die Lösungstension C ist eine für jedes Metall chara-
 1), Änderungen der Potentialdifferenz gegen eine Lösung
 Beeinflussung von c , der Ionenkonzentration herbeigeführt.
 besonderen Umständen hat man es in der Hand, auch C
 erte Platinplatte, welche mit Wasserstoff beladen ist,
 aus metallischem Wasserstoff bestände. Die Konzentration
 im Platin ist nach dem Henryschen Absorptionsgesetz
 proportional seinem Drucke. Dementsprechend ändert sich
 des Wasserstoffs, in Lösung zu gehen mit dem Drucke.
 dadurch herabsetzen, daß man dem gegen die Platin-
 Wasserstoff ein indifferentes Gas, etwa Stickstoff, beimengt.

eine solche Elektrode in derselben Lösung von dem
 ionen c mit einer anderen, gegen die Wasserstoff bei Atmosphä-
 red, so entsteht ein galvanisches Element, dessen Energie-
 fferenz des Wasserstoffs in den Elektroden ist. Es abhängt
 gleich dieses Unterschiedes, woraus sich die Stromrichtung
 T geht an der Elektrode mit dem höheren Druck als p
 und scheidet sich an der anderen ab. Setzen wir
 Wasserstoffe dort C_1 , hier C_2 , so ist die elektromotorische
 Leer gegeben durch die Differenz der Einzelpotentiale
 Elektroden gegen die Lösung:

$$E = \frac{RT}{2} \ln \frac{C_1}{c} - \frac{RT}{2} \ln \frac{C_2}{c}$$

Hier, wo die Arbeit nur vom Aus-
 muß umgekehrt die Ionenkonzentration
 entsprechend:

1/

Nicht nur bei Gasen, sondern
 Konzentrationsketten bezüglich der
 ein unedleres Metall, etwa Zink,
 Potential-bestimmend gegen die
 derselben Cadmiumauflösung
 verschiedenem Cadmiumgehalt gegen
 unter Ausgleich des Cadmiumgehaltes
 gehen Cd-Ionen in Lösung und
 Solche Ketten sind vielfach untersucht
 von G. Meyer²⁾ und von Th. W.
 resultate von verdünnten Lösungen
 insbesondere die letzte Arbeit d.

1/

wo C_1 und C_2 die Konzentrationen
 Wie aus den obigen Ausführungen
 geht, ist in der Formel die
 Quecksilber zweiwertig, d. h. eine
 Übereinstimmung der Resultate
 atomigkeit. Dieses Ergebnis steht
 Druckes von Metallen in Quecksilber.

Die Formel ist, wie die genaue
 Lösungen des einen Metalles im
 der Bedingung, daß das Verhält-

dieser letzten Art wurden Wasserstoffkonzentrationsketten besprochen. Eine Kombination dieser Knallgaskette. Grove, welcher sie 1839 zuerst untersucht in Fig. 502 abgebildete Form.

Ein Glas *V*, welches mit drei Hälsen versehen dünnter Schwefelsäure gefüllt. In die beiden seitlichen schließende Korken die Glasröhren *O* und *H* eingesenkt. Diese Glasröhren sind unten offen, oben geschlossen; in dem oberen Ende ist ein Platindraht eingeschmolzen, welcher oben ein Platinnäpfchen, unten ein fast bis zum unteren Ende der Röhre reichendes Platinblech trägt, welches mit Platinmohr überzogen ist. Sind die beiden Röhren eingesetzt, so werden sie zunächst mit verdünnter Schwefelsäure dadurch gefüllt, daß man den Hals bei *B* schließt und dann das ganze Gefäß umkehrt. Nachdem beide Röhren mit der Flüssigkeit gefüllt sind, läßt man in die eine mittels eines durch die Öffnung bei *B* eingeführten Gasentbindungsrohres Sauerstoffgas, in die andere Wasserstoffgas aufsteigen.

Die Knallgaskette arbeitet in der Weise, daß aus den Gasen an den Elektroden die Ionen des Wassers sich bilden, an der Wasserstoffelektrode H^+ -Ionen, an der Sauerstoffelektrode OH^- -Ionen, und zwar müssen beide Wirkungen, da die in Lösung gehenden Ionen entgegengesetzt geladen sind, als richtung hervorrufen, sich addieren. Die elektromotorische abhängig von der Lösung sein, in welcher beide Elektroden groß also z. B. in Natronlauge und Schwefelsäure, wie das angegeben. Denn da in allen wässrigen Lösungen das Potential und der OH^- -Ionen einen konstanten Wert hat (vgl. S. 100) beim Übergang von Säure zu Alkali das Potential der Wasserstoffelektrode um ebensoviel ansteigen, wie das der Sauerstoffelektrode



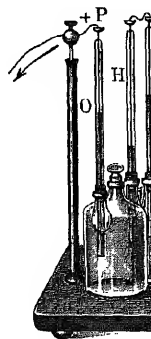
W s die Größe der elektromotorischen Kraft der K

Die Berechnung der geht von dem Gedanken a und Sauerstoff von Atmosph welchen Wasserstoff und S Wasserdampf besitzen. Di Die damit erlangte Ken $2\text{H}_2 + \text{O}_2 \rightleftharpoons 2\text{H}_2\text{O}$ erlau

anzuwenden und das Erge

Alle Messungen d Maximalwerte von 1,15 Abweichung konnte bish an der Sauerstoffelektro des gesuchten gemessen an anderen Elektroden

Zur technischen Ar gezogen werden können. von Knallgaselementen.



rode eines Elements zu verwenden. Daß sie unter h
len anodisch mit dem elektrochemischen Äquivalent $\frac{12}{4}$
des Faradayschen Gesetzes gelöst wird und aus solch
er ab geschieden werden kann, ist von Coehn ¹⁾ gezeigt
, daß diese Auflösung elektromotorisch wirksam gemacht
technische Ausgestaltung scheitert aber daran, daß molekul
träge reagiert, um als Gegenelektrode verwendbar zu sein
der hier geeigneten wirksameren Oxydationsmittel aber
and erfordert. Der zweite Weg ist die Verwendung von
Vorrichtungen, die auf die Energie, welche der Verbrennung
monoxyd entspricht und versucht dieses in einem Gaselone
Gegenelektrode elektromotorisch wirksam in Kohlensäure
Haupthindernis eines technischen Erfolges ist hier das
gen Fall. Einen bemerkenswerten Erfolg auf diesem We
reich erreicht, daß er die Reaktionsträgheit der benutz
peratursteigerung überwand. Als Elektrolyten benutz
ztes Glas, das an beiden Seiten mit Platin als Elektrode
hen einerseits Luft bzw. Sauerstoff vorübergeleitet wur
monoxyd. Die elektromotorische Kraft, etwa 1 Volt, er
Kenntnis des Gleichgewichts der Reaktion berechneten.

§ 182. Oxydations- und Reduktionsketten. Die Dis
die Begriffe der Oxydation und Reduktion, welche sich
Aufnahme und die Entziehung von Sauerstoff bezogen,
d wies darauf hin, daß, soweit Ionen im Spiele sind, jede
nahme von positiver (bzw. Abgabe negativer) Ladung vo
ion umgekehrt unter Abgabe positiver (bzw. Aufn
ungen. Man ist übereingekommen, auch dort, wo es sic
ne oder Abgabe von Sauerstoff handelt, die entspreche
als Oxydation bzw. Reduktion anzusehen zu kann.

duktions- und Oxydationsvorgang örtlich in Lösungen also etwa durch eine indifferente Elektrode in jede eine Platinelektrode bringt. Wenn

draht verbunden, so gehen die von dem Draht auf dem Wege durch diese

Aufladung noch fähigen Fe^{++} -Ionen über. Die Gleichheit der beiden Lösungen an den Elektroden, deren Potentiale aufgezwungen sein, deren Draht auszugleichen strebt und durch den Strom hergestellt.

Während aber bei allen bisher besprochenen Metallelektroden und Gaselektroden mit der Vorgang ihrer Aufladung nach dem Nernst'schen Gesetz erschien, indem beim Eintauchen der Elektrode in dem Verhältnis von Lösungstension und Elektrodenpotential Ionen sich bilden oder abscheiden, ist es nicht unmittelbar ersichtlich, wie dieser Ladungstransport beim Übergange von der Elektrode zur Lösung die Aufladungserscheinungen bei ihrer Aufladung an Materie gebunden. Nernst zeigte, daß die Aufladung unangreifbarer Elektroden wie Kaliumpermanganat und Reduktion von Wasserstoff ist. Er nimmt an, daß diese beiden Elektroden mit Wasserstoff beladen. In der Tat gibt es eine getauchte platinierte Platinplatte mit Wasserstoffentwicklung beladen, z. B. Chromchlorid, welches ein gutes Oxydationsmittel, welche Sauerstoffgas in Lösungen. Andererseits konnte z. B. bei der Reduktion nicht bis zur sichtbaren Gasentwicklung gehen, sondern stoff dadurch nachgewiesen werden ¹⁾, daß

gegen die Normal-Wasserstoffelektrode (unter Ausschalt der Berührungsstelle der beiden Lösungen) ein Potential, so muß Zinnchlorür in normal-saurer Lösung gegen eine Normal-Wasserstoffelektrode ein Potential zeigen, das um etwa 0,8 Volt verschiedenes Potential zeigen. Denn die

Lösung das Produkt der Konzentrationen $\frac{[H]}{[OH]} = 10^{-14}$ ist in Normal-Säurelösung, wo also $[H] = 1$ ist, $[OH] = 10^{-14}$ ist. In Normal-Alkalilösung, wo $[OH] = 1$ ist, $[H] = 10^{-14}$ ist. Eine Zehnerpotenz ändert sich an der Elektrode bei Zimmertemperatur um 0,058 Volt, also hat die Elektrode bei Zimmertemperatur um 14 · 0,058 = etwa 0,8 Volt. In der Normal-Säurelösung ist die Potentialdifferenz beider Lösungen 0,797 Volt. Es ist der Wert, den wir S. 574 für die Säure-Alkalikette mit Zinnchlorür gefunden. Die Verhältnisse sind auch vollkommen identisch mit der Elektrode mit gasförmigem Wasserstoff von Atmosphärendruck, während sie hier nur mit Wasserstoff von dem Partialdruck des Zinnchlorürs, beladen sind. Es fallen nur die Lösungstension C' des Wasserstoffs von der Säure-Alkalikette ab, aber als Wasserstoff-Ionenkonzentrationen 0,8 Volt bei Gleichheit von C' an beiden Seiten des Galvanischen Elements von dem Absolutwert von C' .

Dieser Wert von C' , im vorliegenden Falle der Partialdruck des Wasserstoffs, der die Gasbeladung der Elektrode erfolgt, muß bei derselben Konzentration ansteigen und muß herabgesetzt werden, wenn die Elektrode, welche in der Lösung bei dem Vorgange der Reduktion z. B. Ferrosulfat eine Platinelektrode mit Wasserstoff entsteht,



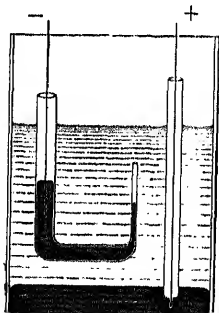
so muß dieser Vorgang nach dem Massenwirkungsgesetz von links nach rechts verschoben werden.

§ 183. Quecksilberelektroden. Elek

die Messungen der elektromotorischen Kraft von Lösungen auf einen willkürlichen Wert bezogen von Nernst auf eine Wasserstoffelektrode in Lösung, deren Wert gleich Null angesetzt. Potentialsprung Metall|Flüssigkeit selbst angol einem einwandfreien Abschluß nicht geführt, a praktisch wichtiger Resultate gefördert. Sie Bewegungserscheinungen, die man an Quecksil

Bringt man in ein Uhrglas einen Tropfen verdünnter Schwefelsäure, der wenige Tropfen bichromat zugesetzt sind, und berührt den Rand einem in die Säure eingetauchten blanken Eisen gerät der Tropfen — indem er herzförmige O mäßige Schwingungen, welche stundenlang an W. Kühne herrührende Versuch ist nach G. I zuführen, daß durch die kathodische Polar silber in dem Element Eisen, Säure, Quecksilber spannung erhöht wird: es zieht sich zusammen

Fig. 504.



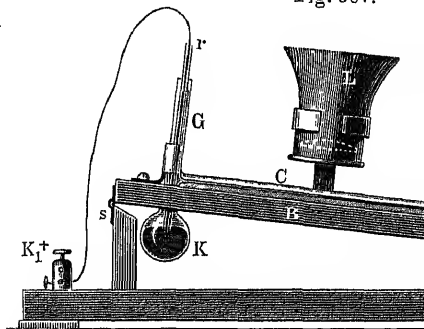
Oxydationsmittel hebt wieder auf: die Oberfläche Verbrauch des ihr un bichromats durch erne wieder verkleinert zu w

Reiner als in die Zusammenhang zwische Polarisation in der eina demonstrieren. Ein Maß des Quecksilbers ist die Kapillare erführt, die m muniziert. Ein H.-Rob

Beim Gebrauch verbindet man zuerst α Differenz auf 0 zu bringen, treibt etwas Quecksilber in den Manometer, indem man mittels der Schrauben V komprimiert, bis der Quecksilberdruck wieder her und stellt das Mikroskop auf die Nulllinie. Dann verbindet man die Klemmen α und β mit den Elektroden, die zu messen ist, und zwar α mit dem kathodischen Elektroden zurück. Man dreht nun bei V , bis der Meniskus wieder in die Nulllinie genommen hat, und liest am Manometer die Differenz ab. Das Instrument wird mit bekannten Potentialdifferenzen geeicht.

Das Instrument hat in dieser Form bei physiologischen Untersuchungen gefunden, bei Veränderungen von elektromotorischen Kräften der photographisch registrierten Kurve der Elektroden in kurzen Zeiteilen auftretende Änderung der Potentialdifferenz bestimmt. Die untere Empfindlichkeitsgrenze des Instruments nach Einthoven 0,013 Millivolt; die dabei erzielte Genauigkeit läßt das Instrument nur träge reagieren. Man kann es auch zu weniger empfindlichen, dafür aber rascher reagierenden Instrumenten ausbauen.

Fig. 507.

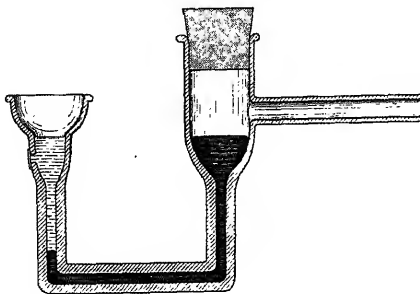


z verkleinern sucht, eine Gegenwirkung erfährt durch die elektrischen Kräfte, welche sich bei Berührung des Quecksilbers mit der Lösung ausbilden. Wie in der Fig. 508, welche die Vorstellung der entstehenden „Doppelschicht“ anschaulicht, ist unmittelbar zu ersehen, daß die Abstoßung der gleichnamig geladenen Teile die Oberfläche dehnen muß. Führt man nun das Quecksilber durch kathodische Polarisation negativ aus, so werden die positiven Ladungen neutralisiert, das Quecksilber verliert also mehr seine Gestalt allein von der Kraft der Oberflächenspannung. Die Oberfläche verkleinert sich. Und dies geschieht so lange, bis die kathodische Polarisation eingetreten ist. Wird dann noch höher kathodisch polarisiert, so bekommt das Quecksilber negative Ladung; jetzt stoßen diese Ladungen sich ab und die Oberfläche vergrößert sich wieder. Im Maximum der Oberflächenspannung ist die Potentialdifferenz zwischen Quecksilber und Lösung verschwunden. Wenn wir also bei der Anordnung der Fig. 504, S. 581 die Potentialdifferenz von 0,95 Volt brauchen, um das Quecksilber in der Kapillare bis zum Maximum der Oberflächenspannung und damit bis zum Verschwinden des Potentialunterschiedes an dieser Stelle zu polarisieren, so erhält das im Liegenden die gleiche Spannung den Sinn, daß die große Quecksilberfläche gegen die kleine eine Potentialdifferenz von 0,95 aufweist. Es wäre damit das Potentialgefälle zwischen Metall und Lösung nicht nur mit einem Zahlenwert, sondern unabhängig zu bestimmen.

Die osmotische Theorie hat nun, wie wir ausführlich dargestellt haben, gezeigt, daß die Potentialdifferenz Metall | Lösung, außer von der Konzentration des Metalls, abhängig ist von der Konzentration der betreffenden Lösung. Der Wert Quecksilber | Schwefelsäure ist also eigenartig definiert; er findet sich in praxi nur dadurch immer wieder, daß sich unmittelbar am Quecksilber unter Mitwirkung des Sauerstoffs der Lösung eine gesättigte Lösung von Merkursulfat bildet. In der Fig. 509 ist das Quecksilber — bei der Kleinheit seiner Lösungsextension

lichen Öffnung unter dem Trichter, entfalle sie durch Kaliumnitrat mit etwas Chlorkalium. Eine kleine Menge von Merkuroionen wird durch Zugabe von Merkurochlorids noch herabgesetzt: dies geschieht, wie bei kathodischer Polarisation vergrößert sich zurück. Dies geht noch weiter, wenn etwas Cyankalium bringt, weil sich Silbercyanid bildet. Durch Zusatz von konzentrierter

Fig. 509.



lassen. Jedoch hat Rothmund¹⁾ die Elektroden so beschaffen, daß sie sich dehnen können, indem er ihre Amalgamoberfläche im allgemeinen aus der Lage des Maximums des „Nullpunkt“ ergab.

Tropfelektroden. Ebenso, wenn die Ladungen des Quecksilbers seine Oberfläche also verkleinert wird, muß umgekehrt eine mechanische Dehnung der Oberfläche durch eine Differenz Metall | Lösung herbeiführen. Bei gleichartigen Ladungen auseinandergerückt, daraus, daß eine rasch abtropfende, ihr Volumen vergrößernde Quecksilbermenge

schnell. Die positiven Ladungen ziehen die negativen Ionen an und so führt jeder fallende Tropfen Quecksilbersalz auf der Tropfelektrode zu dem Quecksilber am Boden. Wie schon wurde, gelang es Palmaer in der Tat, diese Konsequenzen der Anschauung als zutreffend zu erweisen. Der Effekt dauerte, bis die Tropfstelle $P = p$ geworden ist, bis also keine Potentialdifferenz mehr vorhanden ist.

Die Methode der Tropfelektroden zur Potentialmessung (von Wald¹⁾ und von Paschen²⁾) ausgearbeitet worden.

Die weitere Prüfung der beiden Methoden hat jedoch die besprochene fundamentale Frage damit noch nicht gelöst. Allgemein erfüllt die zu stellenden Forderungen:

a) In derselben Lösung fällt das Potential der Elektrode mit demjenigen zusammen, welches dem Maximum der Oberflächenspannung entspricht.

b) In verschiedenen Lösungen liegt das Maximum der Oberflächenspannung nahezu gleich hoch.

Das Potential aber, bei welchem es eintritt, ist von der Lösung abhängig. Um dieselbe Differenz, die man als Potentialdifferenz zwischen zwei Elektroden, welche aus Quecksilberelektroden mit den betreffenden Elektrolyten bildet wird. Beides gilt aber nur für verdünnte Lösungen typischer Salze, das sind solche, in welchen das Metall als freies Ion vorhanden ist. Geht man aber zu Komplexsalzen über, wie KJ , KCN , $KCNS$ usw., so zeigt sich:

a) Das Maximum der Oberflächenspannung ist nicht mehr dasselbe, sondern wird mit zunehmender Konzentration des Komplexsalzes niedriger.

b) Zwar stimmen für jede Lösung noch das Potential der Elektrode und dasjenige für das Maximum der Oberflächenspannung überein, die verschiedenen Lösungen gegeneinander aber nicht.

der in verdünnten Lösungen typische des Potentials mit großer Annäherung

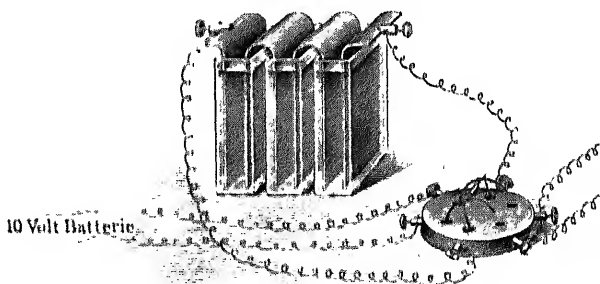
§ 184. Akkumulatoren. Für zu technischen Zwecken, welche größeren bisher bekannten galvanischen Elementen liefernden Stoffe und der Notwendigkeit nicht geeignet. Dagegen finden galvanische Zellen Anwendung für die Aufspeicherung elektrischer Energie oder Akkumulatoren.

Der einfachste Vorgang der galvanischen Ladung eines solchen Akkumulator: Platinplattenelektroden laden sich bei Stromdurchgang mit Wasserstoffgas. Ein solches entstandene Knallgaselement liefert Strom, wenn es sich unter Wasserbildung wieder auflädt. Die Platinplattenelektroden für die Gase und somit die Zelle ist aber nur sehr klein. Man kann statt der Platinplatten schwammiges Platin anwenden. Collardeau einen solchen Akkumulator in einem Leinwandbeutel gestopft und mit Platindrähten versehen. Der Schwamm als Elektrode diente; überdies wurde das Gas noch dadurch gesteigert, daß es mit Wasser gesättigt gebracht wurde. Der Nutzeffekt dieser Zelle ist gering. Die geladenen Strommenge beträgt 95 bis 100 C. pro Liter bei der hineingeladenen Energie (Spannung 1,7 Volt). Bei der Entladung nur eine Spannung von etwa 1,1 Volt.

Der heute am meisten in Gebrauch ist die Daniell'sche Zelle auf eine Beobachtung, welche Ritter 1800 entdeckte. Die Tragweite klar erkannte. Bleiplatten als Kathode bei Stromdurchgang so verändert, daß sie sich in

kommen die Endplatten entweder mit einer Akkumulator-Elementen oder mit einer kleinen 6 Volt-Glühlampe verbunden. Man läßt zuerst erkennen, daß die Glühlampe, in Verbindung keinen Stromdurchgang anzeigt; nach Aufladung der Platten erfolgt bei Einschaltung der Glühlampe ein kurzer Stromstoß, der dann völlig abklingen läßt. Und nun zeigt sich, daß

Fig. 510.



durchgang von 30 Sekunden die Kapazität der immer wieder entladenen Bleiplatten andauernd steigert, so daß die Ladezeiten entsprechende Aufleuchten von immer längerer

Die Beobachtung der Platten während der Ladung zeigt für den chemischen Prozeß, in welchem sich die elektrische Energie in Form chemischer Energie vollzieht. Die positiven Pol verbundene Bleiplatte färbt sich dunkelbraun bis schwarz (Bleisuperoxyd, PbO_2); an der negativen Elektrode wird Wasserstoff entwickelt. Nach dem Umschalten des Stromes wird das vorhandene Bleisuperoxyd zu feinkörnigem, schwammartigem Bleisuperoxyd, während an der anderen Seite die Auflockerung durch die Entwicklung von Wasserstoff einsetzt. So dringen Oxydation und Reduktion

oberflächenplatten“, welche nur nach einem sehr beschleunigten Verfahren, als Anoden in chlorsauren oder überchlorsaurigen Lösungen

Fig.

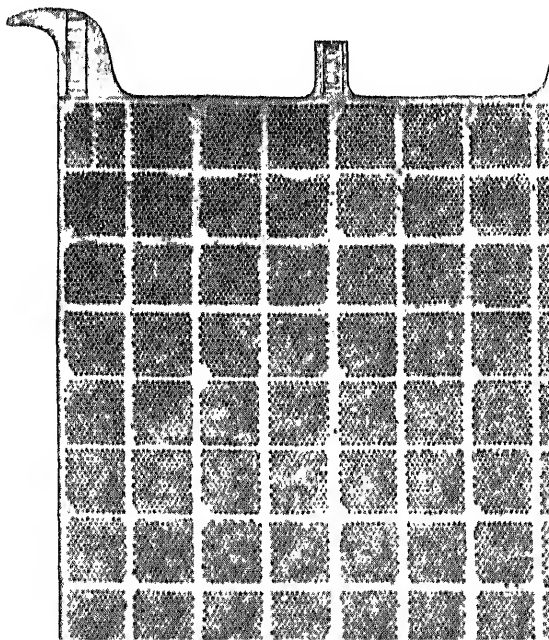


große Oberfläche bei geringstem Materialverbrauch. Die Platten aus Bleirippen verwendet, wie der Seitenansicht des Elektrolyse-

halten und ihm dadurch seine für die Leistungsfähigkeit
erforderliche Porosität bewahren.

Die Energiemenge, welche so formierte Platten pro
des Akkumulators aufzunehmen vermögen, beträgt etwa 2,
Stunden (Watt-Stunden) für stationäre Akkumulatoren,
Gewicht nicht stört. Für transportable Akkumulatoren
die Energieaufspeicherung pro Kilogramm auch auf Kosten
des Akkumulators höher zu treiben.

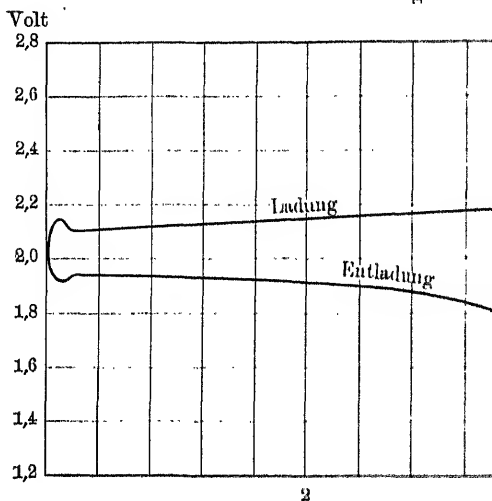
Fig. 514.



Abnahme bis auf 1,85 Volt. Ist die Spannung so erfolgt rasch ein weiterer Abfall bis 1,7 Volt. Ist die Spannung des Akkumulators ist das Verhältnis der bei den Ladung und Entladung von etwa 2,15 Volt für die Ladung und Entladung aufgenommenen und abgegebenen Energie. Der Akkumulator 10,16 Stunden lang mit 5 Amp. geladen, so hat er aufgenommen:

$$10,16 \times 2,15 \times 5 = 109$$

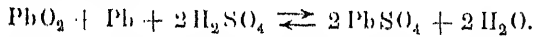
Fig. 515.



Wurde ihm nun bei der Entladung ein Strom von 1,88 Volt so lange entzogen, so dauerte das 7,35 Stunden. Der A

Akkumulatoren.

Umfassend diese vier Gleichungen stellt die Gesamtgleichung in der Form:

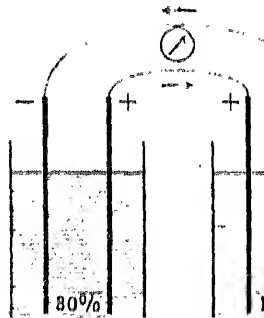


Die Gleichung, von links nach rechts gelesen, gibt den Entladungsvorgang, von rechts nach links den Ladungsvorgang. Man erkennt, daß bei der Entladung Schwefelsäure gebunden und Wasser gebildet wird, während bei der Ladung sich verdünnt, umgekehrt bei der Ladung. So ist es möglich, die Richtung der Säuredichte mit Hilfe des Aräometers den Fortschritt der Entladung in beiden Richtungen zu beurteilen. Die übliche Säuredichte ist im ungeladenen Zustande die Dichte 1,15, im geladenen die Dichte 1,25. Die obige Gleichung, vom Standpunkte des Massenwirkungsgesetzes betrachtet, nach welchem die Vermehrung der Konzentrationen das Gleichgewicht in Richtung nach der anderen Seite verschiebt, gibt, daß der Entladungsvorgang gefördert wird durch Verdünnung. In der Tat steigt mit dieser die elektromotorische Kraft des Akkumulators.

Die Abhängigkeit der elektromotorischen Kraft von der Säuredichte ist nach Dolezalok¹⁾ thermodynamisch auf zwei Wegen be-

trachtet, wie die Fig. 516 andeutet, bei Akkumulatoren von verschiedener Größe. Wenn zwei Akkumulatoren nebeneinander stehen, so entlädt sich der, A, indem der von niedrigerer Säuredichte, B, geladen wird. Der nach der Entladung fähige Prozeß der Kombination besteht nur darin, die Überführung von je 2.96540 Coul. Schwefelsäure von A nach B und die Überführung von Wasser von B nach A zu bewirken. Diese Überführung wird durch isotherme Destillation

Fig. 516.



die Abhängigkeit des Temperaturkoeffizienten von der Säurekonzentration, so daß damit der Temperaturkoeffizient

beiden gegeneinander geschalteten Akkumulatoren

Die Helmholtzsche Gleichung ergibt die freie Enthalpie des Systems:

$$\Delta E = U + T \Delta S$$

Die auf beiden Wegen berechneten freien Enthalpien stimmen unter sich und mit der gemessenen elektromotorischen Kraft überein. Daraus ist zu schließen, daß die chemische Reaktion der maximalen Arbeitsleistung verlaufen, daß die Zelle reversibel arbeitet. In der Tat ist das bei der Entladung mit sehr geringer Stromdichte der Fall. Die praktische Irreversibilität, die in dem bei der Ladung und Entladung hervortritt, ist auf Konzentrationspolarisation zu suchen. Wie die Gleichung (1) zeigt, der Vorgang im Akkumulator lehrt, steigt die Temperatur bei der Ladung und fällt bei der Entladung ab. Es vollziehen sich der Hauptsache nach inneren Vorgängen, können sich nur langsam durch Diffusion ausgleichen, aber, wie wir oben gesehen haben, die elektromotorische Kraft der trierteneren Schwefelsäure höher ist, so ist die Temperatur bei der Ladung und Entladung mit so geringen Stromdichten, daß Änderungen sich durch Diffusion ausgleichen können. Die begründete Reversibilität des Akkumulators ist nur bei kleinen Stromdichten möglich, während bei größeren Stromdichten die Temperaturerhöhung, als die Entladungsspannung.

Mit Hilfe der osmotischen Theorie h

bei Zimmertemperatur ($T = 273 + 18$) und mit Eins
Logarithmen:

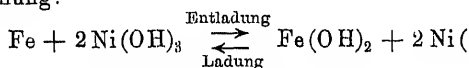
$$E = \frac{0,058}{2} \log \frac{C_{\text{Pb}}}{C_{\text{Pb}}^{++}} \cdot \frac{C_{\text{PbO}_2}}{C_{\text{PbO}_2}^-}$$

Die elektromotorische Kraft nimmt also sowohl bei
tration von Pb^{++} wie von PbO_2^- ab. Dementsprechend ist
in alkalischer Lösung, wo nach obigem die PbO_2^- -Konz
ist, wie auch in saurer Bleinitratlösung, wo die Pb^{++} -Ionen

Versuche mit anderen als Bleiakkulatoren¹⁾ hab
dauerndem Erfolge geführt. Einige Zeit hat man auf
Sammler (Waddell-Entz-Akkumulator) große Hoffnun
und Kupferoxydul stehen einander in alkalischer Zin
Bei der Entladung geht Zink in Lösung und das Kupferox
reduziert. Bei der Ladung wird Zink aus dem Elektr
und das Kupfer oxydiert. Erfolgt diese Oxydation abe
hinaus bis zur Oxydstufe, so geht Kupfer in Lösung, d
und bringt dieses unter Wasserstoffentwicklung zur
Mangel konnte bisher nicht abgeholfen werden.

Von dem Schweden Jungner und von Edison wur
superoxyd-Akkumulator in Vorschlag gebracht. Die neg
aus schwammigem Eisen, die positive aus Nickeloxiden
sind in sogenannte „Taschen“ aus perforiertem Nickel-
gebettet. Als Elektrolyt dient eine Lösung von Kalium

Bei dem Entladungsvorgang oxydiert sich Eisen zu
bzw. einem Hydrat desselben und das Nickeloxyd wir
 Ni(OH)_2 reduziert. Förster²⁾ gibt für die Vorgänge fo
Reaktionsgleichung:



Er zeigt aber, daß zu diesen Vorgängen noch andere

Als ein Nachteil ist der star-
entladenen Zustand anzusehen. V
entladungsperiode konstante Spa-
Sinken statt.

Ein großer Vorteil aber, der
lators verwendete Mühe rechtfert
lator starke Widerstandskraft geg
zu weitgehende Entladung und g

§ 185. Photochemische
zweier Metallplatten kann in ei
motorischen Kraft zwischen ihnen
Silberverbindungen durch Licht
Silberplatten, die als Anoden in C
mit Chlorsilber überzogen ware
gegenübergestellt. Er fand, daß
entstand, in welchem die bestrahl
hielten sich Brom- und Jodsilber.
längen des Lichtes ergab sich d
Vorbelichtung der Silberhaloide
Spektralbezirk ebenso änderte, v
Verbindungen, so daß also die M

Vollkommen reine Metalle
Verbindungen aber nicht nur die
Oxyde. Nach Gouy und Rigoll
empfindliches Lichtelement. Es
geeignet und ist in der Vorlesung
mit etwa 0,1 Proz. Chlornatrium
1 cm breite, blanke Kupferstre
U-Rohres eingehängt werden kön
lichen unregelmäßigen Farben
braune Färbung eintritt. Die

§ 186. Arbeitsaufwand bei der Elektrolyse. Zersetzungsspannung

a) Durch Bestrahlen des Halogensilbers entsteht freies Silber, welches belädt die Elektrode und erzeugt so ein Oxydationspotential.

b) Wie Arrhenius bewiesen hat, nimmt die Dissoziation des Halogensilbers bei Bestrahlung zu. Die Vermehrung der Ionenkonzentration in der bestrahlten Grenzschiebt veranlaßt eine Diffusion dieser Ionen von der bestrahlten Schicht zu den Elektroden. Bei einer geringeren Ionenkonzentration und führt so — bei Diffusionsgeschwindigkeit von Kation und Anion — zu Diffusion.

c) Endlich wirkt noch ein später bei den photoelektrischen Messungen näher zu besprechender Effekt mit: die Entladung der Elektroden aus dem Jodsilber.

Speziell für das Jodsilber hat Schell gezeigt, daß sich ein neuer Stoff bildet, der zwar ebenfalls photochemisch entsteht, aber von anderen und zwar längeren Wellen als das ursprüngliche Jodsilber. Dieses wandelt im Dunkeln sich der photochemisch erzeugte Stoff. Als Resultat der beiden einander entgegengerichteten Vorgänge, der Bildung und der Umwandlung des erwähnten Stoffes, ergibt sich eine Konzentration ein von Intensität und Farbe des einwirkenden Lichtes abhängiger Gleichgewichtswert, der im Violett am höchsten, im Rot am niedrigsten liegt.

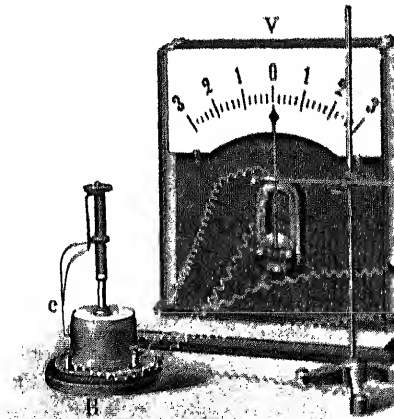
§ 186. Arbeitsaufwand bei der Elektrolyse. Zersetzungsspannung

Die elektrolytische Lösungsspannung, wie sie bei Behandlung der Elektrolyse definiert wurde, gibt ein relatives Maß für die Arbeit, die erforderlich ist, um die Elektrolyse zu bewirken. Bei der Elektrolyse finden wir dieselbe GröÙe, wenn wir das Vorzeichen wieder als diejenige Arbeit, welche erforderlich ist, um die geladenen Ionen aus einer für sie normalen Konzentration in den Zustand neutraler Moleküle überzuführen.

Le Blanc¹⁾ nannte Zersetzungsspannung eines

a) Man bringt in das Becherglas die Lösung von Kupfersulfat und beginnt mit dem Versuch. Der Voltmeter bleibt in Ruhe bzw. geht nach kleiner Ablage zurück, während man die am Voltmeter etwa 1,3 Volt steigert. Bei etwa 1,35

Fig. 517



bleibender Ausschlag ein, der dann bei rasch anwächst. Wir haben damit die Lösung von Kupfersulfat gefunden. Erst bei dieser setzt eine

Fig. 517 b.

Kupf
Sauer

A

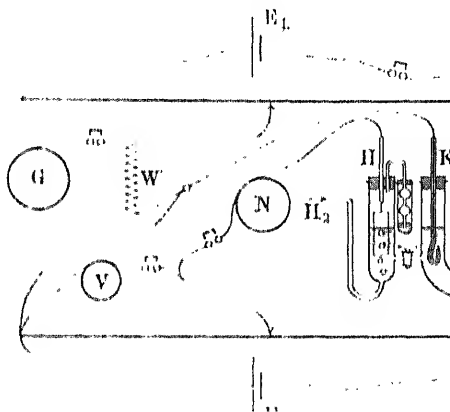
abscheidung aus normalen Lösungen. Nehmen wir nun, ganz entsprechend wie früher (§. 575), als Ausgangswert 0 für die Zählung der Ionen derjenigen des Wasserstoffs in einer für Wasserstoffionen normalen Lösung, so würde der in Normalschwefelsäure gemessene Wert 1,68 dem Vorgang zukommen, d. h. gegen eine Normal-Wasserstoffelektrode, entwickelt sich aus normaler Schwefelsäure an einer Platinanode Wasserstoff bei 1,68 Volt. Die drei erhaltenen Werte für die Kupfer-, Wasserstoff- und Zinkabscheidung sind also in dieser Zählung:

für Kupfer	1,35	— 1,68	—	0,33,
„ Wasserstoff	1,68	1,68	—	0,
„ Zink	2,45	— 1,68	—	+ 0,77.

Das negative Vorzeichen beim Kupfer bedeutet, daß Kupfer um 0,33 Volt leichter abscheidbar ist als Wasserstoff, das positive beim Zink, daß dieses Metall um 0,77 Volt schwerer abscheidbar ist als Wasserstoff.

Man hat so die Entladungspotentiale für eine größere Zahl von Ionen bestimmt. Um von dem Vorgange an der anderen Elektrode unbeeinflusst zu sein, mißt man nicht, wie in den obigen Versuchen, die Potentialdifferenz der beiden „Arbeitselektroden“, sondern mißt während des Stromdurchgangs zwischen diesen die Potentialdifferenz der einen zu untersuchenden Elektrode gegen eine Normal-Wasserstoffelektrode.

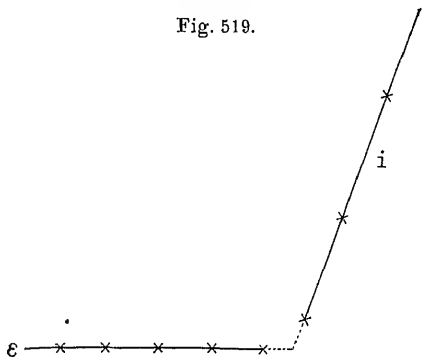
Fig. 518.



kein Strom. Mißt man für jedes eingetragene Galvanometeraussschlag von G und trage die Ordinate i in ein Koordinatensystem folgender Gestalt (Fig. 519):

Wir nennen diese Kurve eine Zersetzungsspannungskurve. Man erhält den gesuchten Zersetzungspunkt. Man erhält

Fig. 519.



die Galvanometeraussschläge selbst, sondern die Zersetzungsspannungskurve stellt sich dann als eine Gerade dar, die aus dem Ursprung zweier Geraden kenntlich.

Von besonderem, aber für näheres Interesse ist das genauere Studium des Verlaufes der Zersetzungsspannungskurve. Die Gesetzmäßigkeiten des hier vorliegenden sind von Nernst und seinen Schülern [Mitscherlich, Eucken¹⁾] behandelt worden.

In der folgenden Tabelle sind einige Zersetzungsspannungen für

Zersetzungsspannungen für

Sind die Lösungen nicht normal für die betreffende Ionen so ändert sich — genau in der früher bei den elektromotorisch besprochenen Weise — die Zersetzungsspannung pro Zehnerpotenz auf 0,058 Volt.

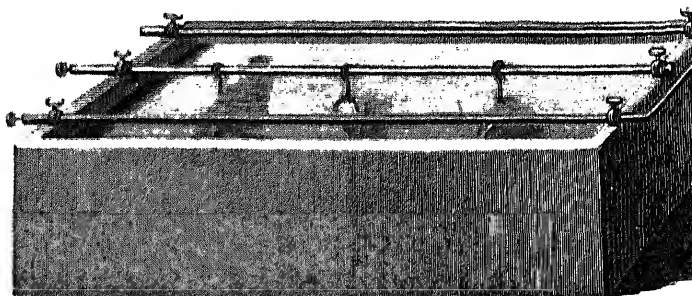
§ 187. Praktische Anwendungen der Elektrolyse.

analyse. Die Möglichkeit, die Metalle elektrolytisch abzuscheiden, ist eine der einfachsten und bequemsten Methoden der quantitativen Analyse ausgestaltet worden. Man bringt die zu analysierende Lösung in eine gewogene Platinschale. Mit dieser als Kathode und einer Platinanode wird elektrolysiert, bis sich in einem herausgenommenen Filtrat die Lösung das Metall nicht mehr nachweisen läßt. In neuerer Zeit verwendet man statt der Schale als Kathode meist ein engmaschiges Platinnetz.

Die mindestens anzuwendende elektromotorische Kraft ergibt sich aus den Werten für die Zersetzungsspannung, z. B. für AgNO_3 (da sich an der blanken Platinanode Sauerstoff entwickelt) — 0,77 Volt — + 0,01 Volt. Dieser Wert gilt aber nur für eine normale, d. h. zunehmender Verdünnung — wie sie während der Elektrolyse eintreten muß die elektromotorische Kraft in der oben angegebenen Weise zu erhöhen werden. Theoretisch müßte also zur vollständigen Ausfällung eine große elektromotorische Kraft angewendet werden. Nun nennt man „vollständig“ die Ausfällung dann, wenn mit den üblichen Nachweisreaktionen das Metall in der Lösung nicht mehr nachweisbar ist, z. B. mit Cl^- -Ionen. Hier ist also die „Vollständigkeit“ erreicht, sobald weniger Ag^+ -Ionen in Lösung sind, als in einer AgCl -Lösung. Für die Berechnung der Ag^+ -Ionenkonzentration nach der früher zwei verschiedene Wege (S. 527 und 572) kennen, beträgt für AgCl $1,04 \cdot 10^{-6}$. (Bei Anwesenheit eines Überschusses an Cl^- -Ionen ist sie noch entsprechend geringer.) Um soweit heranzukommen müßten wir die elektromotorische Kraft von 0,01 Volt entsprechend dem Unterschied der Konzentrationen in Zehnerpotenzen um etwa

wird. Von der Graphitschicht gehen als Stromzuführung Kupfer-
 Zur Reproduktion in Kupfer senkt man die Form als Kathode
 schwach mit Schwefelsäure angesäuerte etwa 20 prozentige Kupfer-
 Kupfervitriol und stellt als Anode in einem Abstände von 10 bis
 Kupferplatte gegenüber. Die Stromstärke reguliert man auf 2
 Quadratdezimeter Elektrodenfläche, wobei man pro Stunde und C
 meter 3 g Kupferniederschlag erhält. Für sehr feine Arbeiten (K
 platten) nimmt man den Strom schwächer, bis zu 0,8 Amp. pro C
 meter. Damit der Niederschlag von einer Kupferplatte sich leicht
 wird diese vorher schwach galvanisch versilbert und zur Bildung
 silber mit einer ätherischen Jodlösung übergossen. Es gelingt
 Weise, Holzschnitte oder Kupferstiche mit aller Schärfe des Origin
 vielfältigen, wodurch es möglich wird, von einer und derselben Pl
 viele Abdrücke zu erhalten, ohne daß die späteren den früheren
 Die Holzschnitte dieses Werkes sind mit solchen Kupfertypen ged

Fig. 520.



gestochene Kupferplatte hält bekanntlich nicht sehr viele Abdrücke
 bedeutend zu verlieren; die späteren Abdrücke sind immer schlechter,
 daher der Wert der sogenannten Drucke vor der Schrift

Es mögen hier einige Vorschriften folgen (Galvanostegie bewährt haben ¹⁾).

Versilberung. 25 g gefälltes reines Silber in einer Lösung von 25 g Cyankalium in 500 g Wasser verdünnt. Man arbeitet mit Silberanoden und Stromdichte bis 0,0045 Amp./qcm. Kupfer, Messing und andere Metalle tauchen sich direkt oder nach vorhergegangener Amalgamierung in eine Lösung von 20 bis 25 g Kaliumcyanid (Cyankalium in 1 Liter Wasser) versilbern. Silber wird verkupfert werden.

Vergoldung. Man unterscheidet kalte und heiße Vergoldung. Die erstere erfordert stärker goldhaltiges Wasser, die letztere für kleinere Gegenstände weniger. Für diese 2 g Goldchlorid (Goldchlorwasserstoffsäure) in 1 Liter Wasser, welches 15 g Cyankalium enthält, füllt man mit Ammoniak, filtriert, wäscht es und taucht die Gegenstände in 1 Liter Wasser, welches 15 g Cyankalium enthält, mit Gold- oder Platinanoden und benutzt eine Stromdichte von 0,001 Amp./qcm. Die Gegenstände müssen vorher verkupfert sein.

Vernickelung. Man löst 50 g Nickel in 1 Liter Wasser, dazu eine Lösung von 20 g Zitronensäure, die in 1 Liter Wasser gelöst ist, und versetzt mit 10 g Zitronensäure. Die Lösung ist so reguliert, daß blaues Lackmuspapier noch auf $\frac{1}{2}$ Liter verdünnt ist. Als Stromdichte ist 0,001 Amp./qcm geeignet.

Metallochromie. Auch anodische Metalle (PbO₂, MnO₂, Co₂O₃) werden zur Verzierung verwendet. Sie sind durchsichtiger als Metalle und werden dünner Blättchen. Man demonstriert die selbe Erscheinung leicht in einer Platinschale, wie sie zur Elektrolyse hält eine Lösung von Bleinitrat und Essigsäure. Die Schale wird bei 0,1 Amp. elektrifiziert, wobei die Schale

die sonst stark kristallinisch erscheinen, werden dadurch glänzend. Der Grund scheint darin zu liegen, daß die Metalle an der Kathode bei der Entladung zunächst in kolloidaler Form auftreten. Kolloide werden auch durch die Anwesenheit anderer „Schutzkolloide“ in Lösung gehalten, dann durch den später zu besprechenden Vorgang der Elektrodeposition an der Elektrode angepreßt werden.

III. Elektrometallurgie. In großem Maßstabe wird die Elektrolyse zur Reinnmetallgewinnung Gebrauch gemacht. Wenn man die Bedingungen, welche man z. B. für die Kupfergewinnung darauf anstellt, Anoden aus den Erzen unmittelbar aufzubereiten zu können, sich zu verwirklichen lassen, so benutzt man doch die Elektrolyse, um die Elektrode als Leitungsmaterial benötigte reine Kupfer zu gewinnen, unter gleichzeitiger Reingewinnung der begleitenden Edelmetalle. Für die Technik der Goldgewinnung war von größter Tragweite die Einführung des sogenannten „Cyanidprozesses“, bei welchem das Gold aus dem Gestein durch Auslaugen mit Cyankali das Metall bis auf die letzten verbleibenden weissen Spuren entzogen und sodann durch Elektrolyse gewonnen wird. Es gelangten dadurch gewaltige Halden von Gold aus früheren Aufbereitungsprozessen zu erneuter lohnender Verwertung.

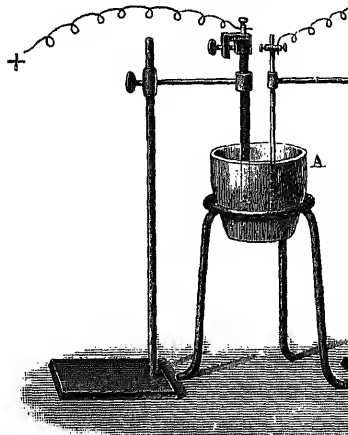
Für die Entwicklung der Chemie von großer Bedeutung wurde die Entdeckung im Jahre 1807 von Davy mit Hilfe der Voltaschen Säule gemacht, daß die Alkalien aus der Zerlegbarkeit der Alkalien 1). Davy fand nämlich, daß die Alkalien und Erden, welche man für einfache Körper gehalten hatte, durch die Wirkung des galvanischen Stromes in Sauerstoff und ein bis dahin unbekanntes Metall zerfallen. Das Metall des Kalis nannte er Kalium, das des Natriums wurde Natrium genannt.

Kaum waren die ersten unvollständigen Nachrichten über die Entdeckung verbreitet worden, als man an mehreren Orten die Zersetzung des Kalis mit Erfolg wiederholte. Das Wichtigste über die Versuche ist in den 28. Bande von Gilberts Annalen. Ermann und Simon in Berlin und in Wien publizierten abtald Näheres über die Art und Weise

man, nachdem mehrere solcher L
Poldraht von dem Ätzkali zur
Draht anhängende Ätzkali und
Kaliumkügelchen zerstreut. T
Kügelchen in Wasser, so detonie
stoffs des Wassers oxydieren, wo
wieder verbrennt.

In ähnlicher Weise wurde M
die Alkalien als Metalloxyde erk
die alkalischen Erden, Kalkerde

Fig. 521.



Metalle seien. Sie wurden in de
Elektrolyse erhalten.

Bunsen hat die Alkali- und

In der Technik wird die Elektrolyse geschmolzener Salze b. Aluminiumgewinnung benutzt¹⁾.

Ein anderer Weg, um wasserzersetzende Metalle elektrolytisch zu halten, besteht in ihrer Abscheidung als Amalgame an einer Quecksilberkathode.

Zur Demonstration eignet sich der von Nernst angegebene Versuch Fig. 522.

Als Kathode dient ein zusammenhängender Quecksilberstrahl. Als Anode ein spiralförmig gewundener Platindraht, als Elektrolyt z. B. eine Kaliumchloridlösung. Um das gebildete Amalgam vor dem Angriff des Chlorkaliums zu schützen, dient eine Schicht Chloroform. Das Amalgam tritt in ein Becherglas, mit Wasser übergossen zeigt es stürmische Wasserstoffentwicklung. Hat man dem Wasser einen Tropfen Phenolphthaleinlösung zugesetzt, so nimmt die tiefrote Farbe die Bildung von Kalilauge an.

Aus Ammoniumsalzen wird an einer Quecksilberkathode ein Amalgam gebildet, welches sich bei Zimmertemperatur unter starker Vergrößerung zersetzt.

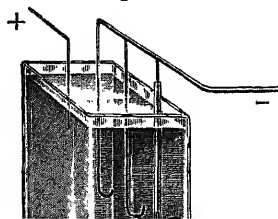
Auch andere Metalle als Quecksilber eignen sich dazu, wasserzersetzende Metalle vor dem Angriff des Lösungsmittels zu schützen. So lässt sich ein Amalgam aus einer Lösung, die Magnesiumsulfat und Nickelsulfat enthält, abscheiden. Die Lösung von Nickel und Magnesium abscheiden²⁾.

Eine dritte Methode zur Abscheidung wasserzersetzender Metalle ist die Verwendung nichtwässriger Lösungsmittel. Löst man z. B. Lithium in Pyridin, so wird das Metall leicht an einer Platinkathode abgeschieden.

§ 188. Wasserzersetzung. Überspannung. Besondere Schwierigkeiten liegen bei der elektrolytischen Wasserzersetzung vor. Kupfer lässt sich aus Kupfersulfat reversibel, d. h. bei demselben Potential (gegen eine Normalelektrode), welches eine Kupferplatte in Kupfersulfatlösung, analog tritt Wasserstoffentwicklung bei demselben Potential an einer Wasserstoffelektrode (s. S. 573) in derselben Lösung an, abscheiden.

Weniger einfach als beim Wasserstoff-Sauerstoff. Der zufällige Umstand, daß die Messungen zumeist mit Platinelektroden ausgeführt wurden, hat den Wert der reversiblen Entwicklung geliefert. Die Entwicklung findet aber erst bei einem Umstand statt, als eine Sauerstoffelektrode (Platin und Sauerstoff) und eine Wasserstoffelektrode (Platin und Wasserstoff) nebeneinander in einer Lösung (z. B. Sulfat) stehen. Dann findet die Wasserstoff- und Sauerstoffentwicklung an den Elektroden statt. Die Potentialdifferenz zwischen den Elektroden ist die Potentialdifferenz der Platinelektroden von 1,67 Volt. Dieser Wert ist von der Natur und Konzentration der verdünnten Sauerstoffelektrode und also auch der verdünnten Wasserstoffelektrode unabhängig. Der zukommende Wert ist aber — wie wir S. 609 gesehen haben — nicht 1,67 Volt, sondern 1,23 Volt; dabei ist das Zurückgehen der Potentialdifferenz unabhängig vom Elektrodenmaterial. Dagegen ist die Entwicklung ähnlich stark, aber in ganz anderer Weise abhängig vom Elektrodenmaterial und hat bis zu einer 0,05 Molarität der verdünnten Sauerstoffelektrode den theoretischen Wert (1,23) geführt. Die experimentellen Werte für die Überspannung des Wasserstoffs an verschiedenen Metallen bzw. deren Oxyden sind: Gold 1,75 Volt, Silber 1,65; Kadmium 1,65, Silber 1,63, Blei 1,53 Volt (platinisiert) 1,47, Kobalt 1,36, Nickel (blank) 1,28 Volt.

Fig. 523.



Während man bei der Entwicklung an Platinelektroden die Überspannung erhält man sie nicht, sondern erhält sie bereits bei 1,28 Volt.

Zur Demonstration auf die in Fig. 517 gezeigte Vorrichtung an einem Vorlesungstisch, die an der zu projizieren die Überspannung

(vgl. S. 609), getrennt erhalten werden können. Läßt man Chlor und Chlor im Elektrolyten aufeinander einwirken, so entstehen technisch wichtige Produkte, so unter bestimmten Bedingungen für Chlor und Temperatur das als Bleichlange verwendete Natriumhypochlorit, unter anderen Bedingungen die für die Sprengstoff- und Zündwarenindustrie wichtigen Chlorate und Perchlorate¹⁾.

Auch organische Präparate werden technisch auf elektrolytische Weise hergestellt, so das Jodoform durch Elektrolyse einer alkoholischen Natriumkarbonat versetzten Lösung von Jodkalium.

Von besonderem Interesse sind die durch elektrolytische Wasserstoff- bzw. Sauerstoffentwicklung bewirkten Reduktions- und Oxydationen in solchen Fällen, bei welchen verschiedene Stufen der Einwirkung werden können. Vom Nitrobenzol sind mehrere Reduktionsstufen bekannt, deren letzte das Anilin ist. Wie Haber²⁾ gezeigt hat, kann man die Kathodenspannung und damit den Druck des Wasserstoffs nicht über einen bestimmten Wert ansteigen lassen, sondern auf einer bestimmten Stufe festhalten. Automatisch regulieren sich die Kathodenpotential regulieren, indem man Kathoden von verschiedener Überspannung benutzt: an Kathoden mit hoher Überspannung, wie Zink, findet die Reduktion des Nitrobenzols quantitativ bis zum Anilin statt, während am Platin die Reduktion auf einer früheren Stufe stehen bleibt.

Andererseits haben sich Substanzen, deren Reduktion so leicht geht, daß sie auch an Silberkathoden, durch Benutzung der Überspannung des Wasserstoffs, zu Wasserstoff reduziert werden lassen³⁾.

Neben den auf die Überspannung zurückzuführenden Einflüssen der Elektrodenmaterialien haben sich andere spezifische Einflüsse der Elektrodenmaterialien für verschiedene Metalle feststellen lassen. Durch Verwendung bestimmter Elektrodenmaterialien können Reaktionen in bestimmter Richtung gelenkt werden, die bei anderem Elektrodenmaterial in andere Richtung ablaufen würden.

Dieser „passive“ Zustand ist zuerst am von Schönbein untersucht worden. Eisen- säure oder Salpetersäure leicht löslich ist, wenn man es darin kurze Zeit zur Anode Zustand auch ohne Strom herbeiführen, trierte Salpetersäure bringt oder zum Gl passiven Eisenanode läßt sich quantitativ am Platin. Eine kurzdauernde kathodische Zustand sofort wieder her; dasselbe wird e stoffstrome. Ähnlich verhalten sich Kobalt. Für jedes Metall ist eine Temperatur auftritt nicht mehr eintritt.

Während hier die Passivität sich in offenbart, erkannte Hittorf²⁾ am Chrom Passivität. Dieses Metall kann gerade wie wertige Ionen bilden und zeigt dann auch Wird aber Chrom anodisch polarisiert, die Bildung zweiwertiger Ionen auf. W nüglicher Steigerung des Anodenpotentials einsetzt, geht Chrom dann in veränderter F wertiges Chromion, das in Lösung Chroms solchen passiven Chromelektrode entspricht d. h. sie ist ebenso edel geworden wie Platin. riden verhindert im allgemeinen den Eintritt

Die viel diskutierte Erscheinung der Deutungsversuchen geführt:

a) Die Oxydtheorie, welche auf Faraday der Passivität eine Oxydschicht an, deren Grenze liegt und der eine metallische Leitfähigkeit diese Annahme spricht es, daß Oxydations

d) Ohne auf den Mechanismus der Passivität einzugehen, rufen sie den Phänomenen der Reaktionsgeschwindigkeit an, indem sie die Passivität als einen Zustand verminderter Bildungsgeschwindigkeit der Ionen auffaßt. Unbekannt aber bleibt die Ursache, welche die katalytische Wirkung ausübt.

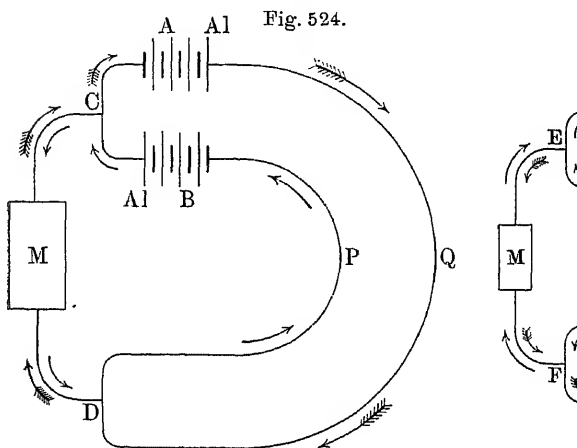
Die größte Wahrscheinlichkeit dürfte eine erweiterte Oxydation haben, welche annimmt, daß auf dem passiven Metall außer der Oxidschicht auch andere unlösliche Verbindungen in dünnster Schicht vorhanden sein können. So hat sich z. B. beim Gold gezeigt, daß es als Anode in Kaliumcyanid sehr leicht, in Kaliumcyanid nur schwer passiv wird. Der Tatsache, daß das auf der Anode sich bildende Natriumgoldcyanid das Kaliumgoldcyanid leicht löslich ist.²⁾

Daß auch die hartnäckig festgehaltene Unangreifbarkeit der Anode sich den Passivitätserscheinungen anreicht, zeigt sich z. B. bei der durch kurzdauernde kathodische Polarisierung aufgehobenen Passivität des Platin (s. oben³⁾) gelang es, Platin, das als Gleichstromanode unverändert bleibt, durch abwechselnde und ungleichmäßige kathodische und anodische Strombelastung wenigstens in geringer Menge aufzulösen. Ruor⁴⁾ zeigte, daß man einen Gleichstrom und gleichzeitig einen Wechselstrom an einer Platinanode benutzt, das Platin dort, wo es Anode des Gleichstroms ist, in Lösung geht. Die Auffassung, daß sich an der Platinanode eine Oxidschicht bildet, die durch den kathodischen Stoß des Wechselstroms zum Teil in Lösung geht, wird dadurch erwiesen, daß man die Passivierung statt durch einen Gleichstrom, durch ein hinzugesetztes Oxidationsmittel, z. B. Chromsäure, erzielen kann.

Die besprochenen Fälle der Passivität handeln von Leitern, an welchen bei Steigerung des Potentials bis zu demjenigen, bei dem die Gasentwicklung einsetzt. In anderen Fällen bildet sich eine Schicht von so schlechter Leitfähigkeit, daß sie den Strom durchläßt und erst bei einer sehr erheblichen Steigerung des Potentials in Lösung gehen kann. Dieses Verhalten wurde von Beetz am Aluminium beobachtet. Bei steigender Potentialsteigerung über 20 Volt

troffen werden. Wahrscheinlich entsteht zunächst ein Strom, welches durch die Ionen des Elektrolyten und aus den weitigen Erfahrungen — am leichtesten durch die Erfahrungen mit der Weinsäure oder Zitronensäure, ausgeführt durch eine Art elektroosmotischer Wirkung (s. die vorhergehenden Paragraphen) an die Anode gepreßt.

Der weitere Stromdurchgang durch eine solche Zelle, solange die Elektrode mit der schlecht leitenden Substanz bedeckt ist, sie zur Kathode gemacht, so geht der Strom hin und her, beständig wechselnder Strom würde also bis zu einer bestimmten Spannung durch eine Zelle mit einer Aluminiumelektrode nur in der Richtung Durchgang finden, für welche die Zelle ist. Durch Hintereinanderschaltung mehrerer solcher Zellen, den Stromdurchgang in der einen Richtung bis zu einer bestimmten



sungsmittel. Eine mechanische Wirkung, welche den gesamten Flüssigkeit in Bewegung setzt, läßt sich auf Grund der folgenden Erscheinungen aussagen.

Bei der Berührung zweier heterogener Stoffe bildet sich an der Grenzfläche eine elektrische Ladung - eine elektrische Doppelschicht - ein positiver Teil in den einen, und deren negativer Teil in den anderen Stoff, so auch bei Glas und Wasser; das Glas läßt sich dabei negativ, das Wasser positiv. Führt man

die Anordnung der Fig. 526 aus, so würde das Wasser in dem Glas anliegende positive Randschicht von der negativen Elektrode angezogen werden. Eine Bewegung dieser Schicht kann aber nicht wahr-

genommen werden, da ja in der von Ladungen freien Mitte das Wasser zurückfließt, als am Rande hinwandert. Macht man die Röhre so eng, daß die mittlere Schicht von der Randschicht durchgezogen wird, so muß eine Bewegung der Flüssigkeit stattfinden: In Kapillarröhren findet eine Bewegung des Wassers als

Das Phänomen, welches zuerst von Reuss 1807 beschrieben wurde, ist leicht nachzuversuchen, indem man in die Biegung eines U-Rohres ein Stopfen, es etwa zu halber Höhe mit destilliertem Wasser füllt und in die Schenkel mit feinen Lichtleitungen verbundene Platindrähte einführt. Durch

Fig. 526.

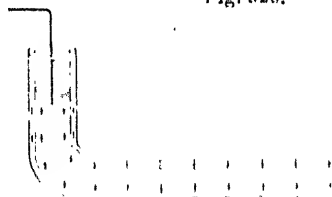
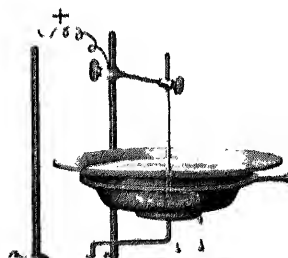


Fig. 527.



phorese“ bezeichnet. Ihre Gesetzmäßigkeiten gestellt worden. Zur Messung der übergelassen sich des Apparates Fig. 528.

Auf eine Tonzelle ist oben eine tubuläre Öffnung ein Rohr d mit seitlichem Ausfluß der Tonzelle steht ein Kupfer- oder Platinblech luftdicht in die Wand der Glasglocke ein Stromquelle führt. Außerhalb der Tonzelle das Ganze steht in dem Glaszylinder h . Die mit der zu untersuchenden Flüssigkeit gefüllt

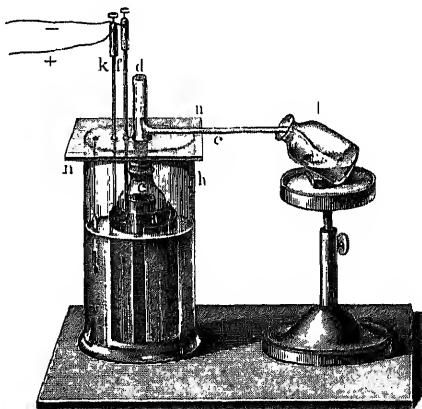
1. Bei derselben Flüssigkeit ist die

Menge m proportional der Stromstärke J ; c

bestimmte Flüssigkeit konstant: $m = cJ$.

2a. Vermindert man die Oberfläche der teilweise mit Wachs bedeckt, so muß, da

Fig. 528.



ändert. Wiedemann machte die Versuche von der inneren blängig, indem er an seinen Apparat das Rohr d verschloß und die Stelle des Ausflußgefäßes ein Manometer m brachte. In der Stromdurchgang das Quecksilber so hoch, bis sein Druck die aufstößende Kraft der Kataphorose gerade kompensierte.

Die Versuche mit dieser Anordnung ergaben, daß für eine bestimmte Flüssigkeit der im Manometer erreichte Druck p der elektromotorischen Kraft e ist: $p = c_1 e$; c_1 soll hier in allen Fällen den Proportionalitätsfaktor bezeichnen.

Dieses Ergebnis steht im Einklang mit dem vorher erhaltenen, denn wird eine Flüssigkeit bei konstantem Druck p durch Kapillaren ausfließen, so ist die ausfließende Menge direkt proportional der Anzahl der Kapillaren, bei Tondiaphragmen also proportional der Oberfläche o — proportional der Länge der Kapillaren, also der Dicke d der Membran. Es ist $m = c_2 \cdot \frac{p \cdot o}{d}$. Da nun m auch proportional J war, so ist

J proportional J oder $p = c_3 \cdot \frac{J \cdot d}{o}$. Es ist aber $\frac{d}{o}$ bei gleichem

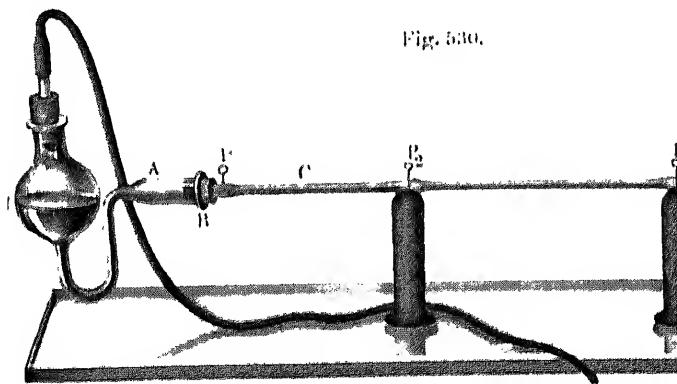


Fig. 530.

Skala bei D geblasen werden. Beim Anlegen an zwei von den Platindrähten tritt eine kleine, meßbare Verschiebung des Flüssigkeitsspiegels dem Steigungswinkel der Kapillare sich entsprechend übereinstimmend mit den bei Diaphragmen war auch hier die Steighöhe p proportional der Steighöhe d proportional der Länge der Kapillare l (entsprechend). Ein neues Moment für die Untersuchung galt, die Steighöhe fand sich dem Quadrat des Radius proportional. Daß die Angriffsfläche für die bew. unseren obigen Ausführungen, ausschließlich der hervor, daß mit Vergrößerung dieser Wandstärke Glasstabes in die weiteren Kapillaren die Steighöhe

Mit Änderung der Natur der sich berührenden Kapillarwand, ändert sich nicht nur die Steighöhe im Sinn der Kataphorese, indem die Flüssigkeit sich zur Anode wandert, wobei im übrigen die gefundene übergeführte Menge und die Steighöhe erhalten bleibt über den Sinn der Ladung bei der Berührung. Hierin erlaubt die S. 133 erwähnte Regel von Coehn die Dielektrizitätskonstante sich positiv laden bei niedrigerer Dielektrizitätskonstante. So läßt sich die konstante 2,2) bei Berührung mit Glas (5 bis 10) und wandert zur Anode, bei Berührung mit Terpentin und wandert zur Kathode.

Wanderung von suspendierten Teilchen. Nicht die Flüssigkeit in Kapillaren, sondern die Teilchen der Flüssigkeit beweglich, so wandert dieser in der Flüssigkeit. So wandert fein gepulverter Ton zur Anode, Schwefelpulver ebenso, Tonpulver in Terpentin. Schwefelpulver in Terpentin zur Anode.

0. Elektroosmose und Strömungsströme. Elektrostenolyse.

Das Diaphragma hindurchgepreßt, so läßt sich an Elektroden, die die Elektrolyse des Diaphragmas angebracht sind und die mit einem empfindlichen Voltmeter oder einem Elektrometer verbunden sind, die „Elektroosmose“ oder „Strömungsstromes“ nachweisen. Seine Gesetzmäßigkeit ist bei der Kataphorese gefundenen: Die elektromotorische Kraft der Elektroosmose ist unabhängig von deren Größe und Dicke wie die durchfließenden Menge Flüssigkeit und ist nur proportional dem äußeren Druck. Bei einzelnen Kapillarröhren zeigte sich ein Verhältniß der Röhrenweite: Für gleiche mittlere Geschwindigkeit der durchfließenden Flüssigkeit ist die entstehende elektromotorische Kraft proportional dem Radius ¹⁾.

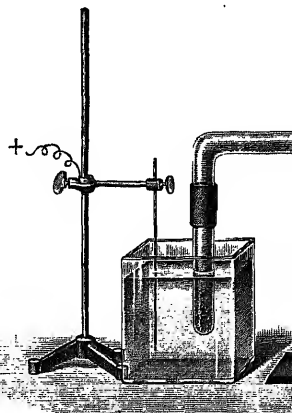
Die Theorie der Kataphorese und der Strömungsströme ist von den oben entwickelten Anschauung von Quincke von v. Helmholtz ²⁾, von Poluchowski ³⁾ und Lamb ⁴⁾ entwickelt worden. Die experimentellen Ausführungen unterscheiden sich dadurch, daß die einen Forscher ein Festhaften der äußersten Flüssigkeitsschicht annehmen, während Lamb ein direktes Gleiten der Flüssigkeit auf dem festen Material voraussetzt.

Technische Anwendung hat die Kataphorese bei der Gerbung. Man kann mit ihrer Hilfe die Gerbflüssigkeit durch die Poren der Leder durchziehen. Von Graf Schwerin ⁵⁾ ist ein Verfahren angegeben worden, die Entwässerung auf elektroosmotischem Wege durchzuführen. Nach dem Prinzip des Verfahrens, wenn man einen Holzrahmen, der aus einem Messingdrahtnetz bildet, mit feingemahlenem Torf füllt und mit dem Wasser angefeuchtet wird. Man legt eine Schicht Leder auf. Macht man diese zur Anode und das Drahtnetz zur Kathode, so tropft das Wasser durch das Drahtnetz.

Elektrostenolyse. Das von Braun ⁶⁾ entdeckte, allgemein bezeichnete Phänomen der Metallabscheidung in engen Kanälen (Loch) (Loehn ⁷⁾) gezeigt hat, in engem Zusammenhange mit der Elektroosmose. Erschließung ist durch Projektion leicht demonstrierbar in

Die Deutung des Phänomens ist darin zu
Kataphorese erkannt haben, in den Kapillare
ist. Sie übt eine Anziehung auf die positiv
ung aus. Würden diese sich aber abscheide
lichen Umständen dennoch nicht zu einer sich
schiede sich z. B. aus Kupfersulfat an der K
Kupfer aus, so würde dieses Kupfer sofort
an seinem anodischen Ende um ebensoviel a

Fig. 531.



Ende zunehmen, im ganzen also nicht wach
muß stattfinden, wenn die kathodische Zun
erfolgt. Das trifft zu:

a) Wenn das negative Radikal das abge
wie bei Platinsalzen.

b) Im Falle der Bildung von unlöslich

§ 191. Elektrolyse mit Wechselstrom. Geschwindigkeit von Ion

ist zu erwarten, daß im allgemeinen der anodische Stromstoß
dischen Stromstoß bewirkten Effekt rückgängig macht: Kupfer-
Kupfersulfat zeigen bei Durchgang von Wechselstrom kein

Verwendet man aber, wie es Le Blanc¹⁾ tat, Kalium-
Natriumsulfat, so geht an der anodisch polarisierten Elektrode
 Cu^{++} in Lösung. Befindet es sich beim Eintreffen des Kathoden-
stoßes noch in nächster Nähe der Elektrode, so wird es wieder
und der Gesamteffekt beider Stromstöße ist Null. Das ist
Stromwechsel zu erwarten. Ist dagegen bei Eintreffen des
Stromstoßes das Cu^{++} bereits aus der Nähe der Elektrode entfernt
durch den Strom fortgeführt, so wird es nicht wieder abge-

statt seiner wird ein anderes in der Nähe befindliches Ion
Bei langsamem Stromwechsel geht Kupfer in Lösung.

Eine bezüglich der Summe der anodischen Stromstö-
tative Auflösung ist in solchen Fällen zu erwarten, in welchen
Lösung die Metallabscheidung verhindert. Kupfer in Cyanid-
ein sehr stark komplexes Salz (vgl. den Versuch S. 576).
Lösungen dieser Art wird das Metall durch Gleichstrom nicht
Man hat also zu erwarten, daß Kupferelektroden in Cyanid-
Wechselstrom stark gelöst werden. Le Blanc fand, daß die
auch noch fast quantitativ erfolgt bei Wechselzahlen (100 bis
bei welchen in nicht komplexen Salzen schon keine Auflösung
Bei Steigerung der Wechselzahl auf immer höhere Werte
eine immer geringere und schließlich nahezu ein Aufhören
statt. Die Deutung dieser Tatsache scheint einen Einblick in den
nismus der Komplexbildung zu eröffnen.

Die Versuche, welche ('aspari²⁾) mit Gleichstrom über das
potential des Silbers aus verschiedenen Lösungen angestellt
ergeben, daß nach Überschreitung des Zersetzungspunktes

Unabhängig aber in Übereinstimmung Ergebnisse. Aus dem komplexen Kaliumkupferkonzentration) kathodisch kein Kupfer, den anodischen Stromstoß Kupfer gelöst, so Stromstoß unreduzierbar, sobald es in den Diese Komplexbildung aber erfordert Zeit.

vor Ablauf dieser geforderten Zeit ein, so wird und der Effekt des anodischen Stromstoßes in suchen konnte Le Blanc schließen, daß Komplexbildung noch nicht meßbar, nach $\frac{1}{1000}$ Minuten.

Bei Gleichstrom macht sich, wie A. Le Blanc, die Dissoziationsgeschwindigkeit komplexer Salze im Gebiete des Reststromes, also bei Spannungspunktes (vgl. S. 602) geltend: Die Stromstärke ist geringer, je kleiner die Dissoziationsgeschwindigkeit. In dem Studium des Reststromes zeigt sich also die absolute Geschwindigkeit der Dissoziation.

¹⁾ Zeitschr. f. physik. Chem. 64, 562 (1908)

Verlag von Friedr. Vieweg & Sohn in Br

Die Physik

auf Grund ihrer geschichtlichen
für weitere Kreise in Wort und

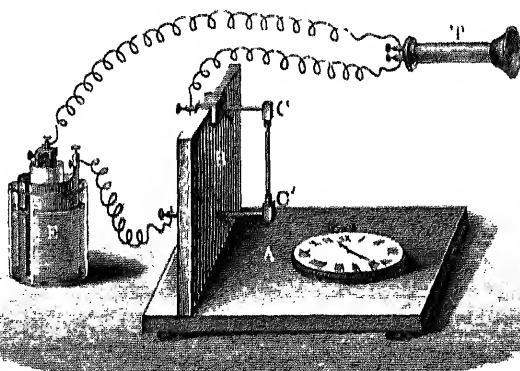
von

Paul La Cour und Jakob Appel

Autorisierte Übersetzung von G. Sieber

Reich ausgestattet mit zahlreichen Abb. im Text und auf Tafeln.
1905. (XII, 496 S. u. 2 Tafeln; VIII, 491 S. u. 4

Vollständig in einem Doppelband. Preis geh. M 15, —, geb.
in 15 Lieferungen zu je M 1, —.



Das ursprünglich dänisch veröffentlichte Werk von Paul La Cour und Jakob Appel „Historisk Fysik“, das wir hiermit in deutscher Übersetzung weiteren Kreisen zugänglich machen, nimmt unter den besten handelen Lehrbüchern und geschichtlichen Darstellungen

Verlag von Friedr. Vieweg & Sohn

Die Physik

mit Zusätzen aus der angewandten Mathematik
und Psychologie und mit 230 physikalischen

Verfaßt unter Mitwirkung

Prof. Dr. Eduard Maiß, Prof. Dr.

und von

Prof. Dr. Alois Höfler

Mit 981 Abb. im Text u. 12 Tafeln zum Teil in F.

Preis geheftet M 15,—, gebunden

Das **Archiv für Mathematik und Physik** ist eine der bedeutendsten Erscheinungen auf dem Gebiete der Wissenschaften. Die Hand des Lehrers bestimmt und soll ihm bei seiner Arbeit sowohl sachlich wie methodisch ein Führer sein. Der Herausgeber, Prof. Dr. E. Maiß, Wien und von Dr. Friedr. Poske, Professor am A. O. Wien, zu erfreuen gehabt hat, ist in der Lehrerwelt durch seine Lehrtätigkeit und die Methoden des physikalischen Unterrichts bekannt. Das Buch hat Höfler seine Erfahrungen aus einer reichhaltigen Lehrtätigkeit niedergelegt. Daß das Buch die Frucht eines eingehenden Studiums desselben beweist, aber, daß der Herausgeber mit großem Geschick und mit einem hohen Verständnis den Physikunterricht an dem Buche gearbeitet hat, das in eigenen Worten als ein nicht unwesentliches Stück